

資料 3 燃料移送系配管ダクトの耐震安全性評価について

目次

1. 評価方法	1
2. 評価条件	1
2.1 評価対象断面の方向	1
2.2 評価対象断面の選定	4
2.3 使用材料及び材料定数	8
2.4 地盤, マンメイドロック及び地盤改良体の物性値	8
2.5 評価構造物諸元	12
2.6 地下水位	13
2.7 耐震評価フロー	14
2.8 適用規格	15
3. 地震応答解析	17
3.1 地震応答解析手法	17
3.2 地震応答解析モデルの設定	18
3.2.1 解析モデル領域	18
3.2.2 境界条件	23
3.2.3 解析奥行幅	27
3.2.4 構造物のモデル化	28
3.2.5 隣接構造物のモデル化	29
3.2.6 地盤及びマンメイドロックのモデル化	29
3.2.7 地盤改良体のモデル化	30
3.2.8 ジョイント要素の設定	33
3.2.9 非線形ばね要素の設定	36
3.2.10 杭-地盤相互作用ばねの設定	38
3.2.11 杭先端ばねの設定	40
3.2.12 材料特性の設定	42
3.3 減衰定数	45
3.4 荷重の組合せ	46
3.4.1 機器・配管荷重	47
3.4.2 外水圧	47
3.5 地震応答解析の解析ケース	48
3.5.1 耐震評価における解析ケース	48
3.5.2 機器・配管系に対する応答加速度及び応答変位抽出のための解析ケース	51
4. 評価内容	52
4.1 入力地震動の設定	52
4.2 許容限界の設定	105

4.2.1 曲げ軸力に対する許容限界	105
4.2.2 せん断力に対する許容限界	107
4.2.3 基礎地盤の支持性能に対する許容限界	114
5. 評価結果	117
5.1 地震応答解析結果	117
5.1.1 解析ケースと照査値	118
5.1.2 層間変形角時刻歴波形（鉄筋コンクリート部材の曲げ軸力照査）	128
5.1.3 断面力分布（鉄筋コンクリート部材のせん断力照査）	130
5.1.4 曲率分布（鋼管杭の曲げ軸力照査）	135
5.1.5 せん断力分布（鋼管杭のせん断力照査）	138
5.1.6 最大せん断ひずみ分布	141
5.1.7 過剰間隙水圧比分布	145
5.2 鉄筋コンクリート部材の耐震評価	149
5.2.1 鉄筋コンクリート部材の曲げ軸力に対する評価結果	149
5.2.2 鉄筋コンクリート部材のせん断力に対する評価結果	151
5.3 鋼管杭の耐震評価	159
5.3.1 鋼管杭の曲げ軸力に対する評価結果	159
5.3.2 鋼管杭のせん断力に対する評価結果	161
5.4 基礎地盤の支持性能に対する支持力評価	163
5.4.1 基礎地盤の押込みに対する支持性能評価	163
5.4.2 基礎地盤の引抜きに対する評価	165
6. まとめ	167

参考資料

(参考資料 1) 軸力の変動が部材の非線形特性に与える影響について	参考 1-1
(参考資料 2) 杭頭部の耐震評価	参考 2-1
(参考資料 3) 積雪荷重の影響評価	参考 3-1
(参考資料 4) 燃料移送系配管ダクト接合部の健全性評価	参考 4-1
(参考資料 5) 杭先端の極限支持力度の設定について	参考 5-1
(参考資料 6) 静的地震力に対する耐震評価	参考 6-1
(参考資料 7) 新設地盤改良体の物性値設定が構造物の耐震評価及び機器・配管系に対する応答加速度に与える影響確認	参考 7-1

1. 評価方法

燃料移送系配管ダクトは、Sクラス設備である非常用ディーゼル発電設備燃料油系配管を間接支持する機能を求められる土木構造物である。燃料移送系配管ダクトについて基準地震動 S_s による耐震評価として、構造部材の曲げ、せん断評価及び基礎地盤の支持性能評価を実施する。

燃料移送系配管ダクトの地震応答解析においては、地震時の地盤の有効応力の変化に応じた影響を考慮できる有効応力解析を実施する。

有効応力解析に用いる液状化強度特性は、代表性及び網羅性を踏まえた上で、保守性を考慮して設定する。

構造物及び機器・配管系への加速度応答に対する保守的な配慮として、地盤の非液状化の影響を考慮した解析ケースを設定する。

構造部材の健全性評価については、構造部材の層間変形角、曲率及びせん断力が要求性能に応じた許容限界以下であることを確認する。基礎地盤の支持性能評価については、杭頭に生じる鉛直力が極限支持力及び極限引抜き力に基づく許容限界以下であることを確認する。

2. 評価条件

2.1 評価対象断面の方向

燃料移送系配管ダクトの位置を図 2-1 に示す。

燃料移送系配管ダクトは、鉄筋コンクリート造の地中構造物である。

評価対象断面の方向の選定に係る考え方を表 2-1 に示す。燃料移送系配管ダクトの縦断方向（EW 方向）は、加振方向と平行に配置される側壁又は隔壁を耐震設計上見込むことができることから、強軸断面方向となる。一方、横断方向（NS 方向）は、加振方向と平行に配置される構造部材がないことから、弱軸断面方向となる。

以上のことから、燃料移送系配管ダクトの耐震評価では、構造の安定性に支配的な弱軸断面方向である横断方向（NS 方向）を評価対象断面とする。

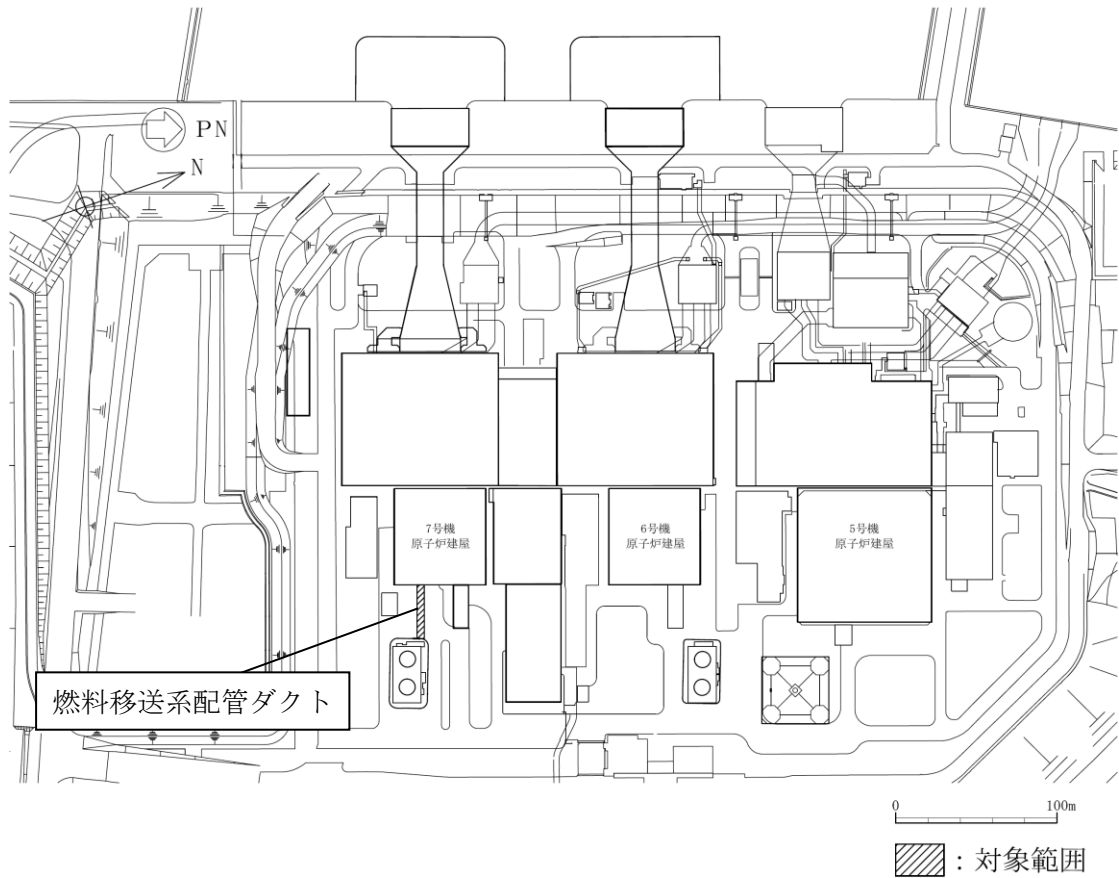
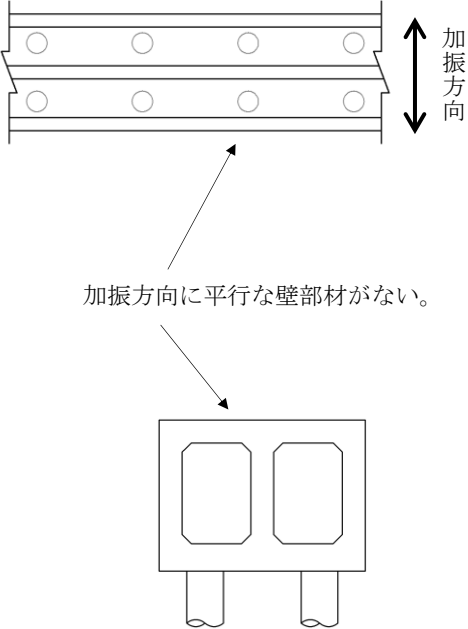
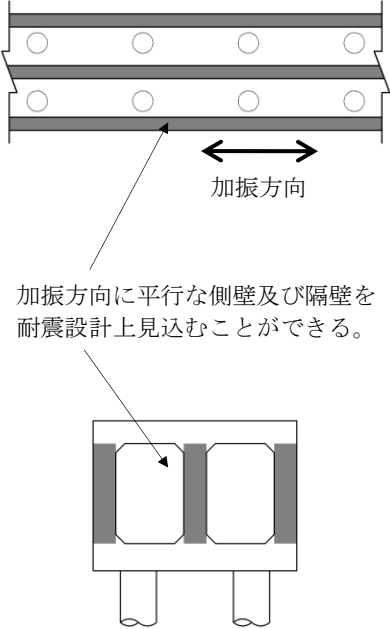


図 2-1 燃料移送系配管ダクトの位置図（平面図）

表 2-1 燃料移送系配管ダクトの評価対象断面の方向の選定

	横断方向 (NS 方向) の加振	縦断方向 (EW 方向) の加振
燃料移送系配管ダクト	 <p>加振方向に平行な壁部材がない。</p>	 <p>加振方向に平行な側壁及び隔壁を耐震設計上見込むことができる。</p>
	<ul style="list-style-type: none"> 横断方向は、加振方向に平行な壁部材がなく、弱軸断面方向にあたる。 	<ul style="list-style-type: none"> 縦断方向は、加振方向に平行な側壁及び隔壁を耐震設計上見込むことができ、強軸断面方向にあたる。
	<ul style="list-style-type: none"> 弱軸断面方向を評価対象断面とする。 	

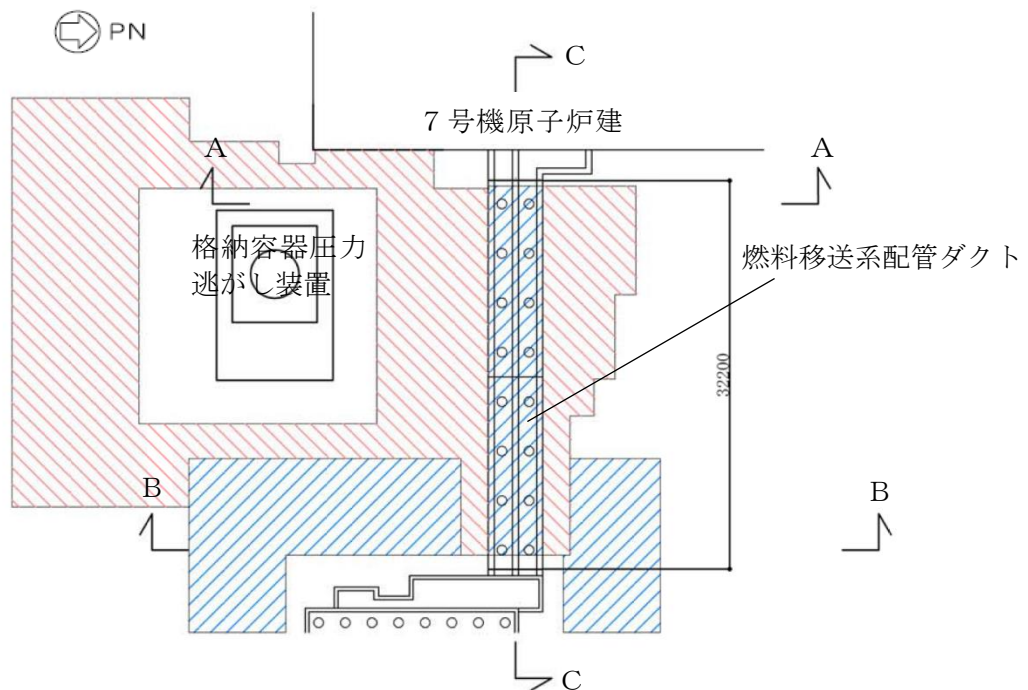
2.2 評価対象断面の選定

燃料移送系配管ダクトの平面図を図 2-2 に、断面図を図 2-3 及び図 2-4 に、縦断面図を図 2-5 に、配筋図を図 2-6 に示す。

燃料移送系配管ダクトは延長約 32m、幅約 4.5m、高さ約 3.3m の鉄筋コンクリート造の地中構造物であり、杭を介して十分な支持性能を有する西山層に支持される。ダクト及び杭の周辺には、地震時における変形抑制対策として、地盤改良を実施している。

評価対象断面は、KK7 補足-027-1「資料 1 屋外重要土木構造物の耐震安全性評価について」の「4.6 燃料移送系配管ダクトの断面選定の考え方」で記載したとおり、構造物の弱軸断面方向である A-A 断面及び B-B 断面を代表として耐震評価を実施する。また、強軸断面方向である C-C 断面についても、機器・配管系への加速度応答の観点から、地震応答解析を実施する。

なお、A-A 断面の耐震評価においては、燃料移送系配管ダクト南側に格納容器圧力逃がし装置が位置しているが、格納容器圧力逃がし装置の周囲に地盤改良体が設置されているとともに、燃料移送系配管ダクトとの離隔も大きいことから、格納容器圧力逃がし装置はモデル化しない。また、格納容器圧力逃がし装置西側に位置する地盤改良体についても、保守的に考慮しない。

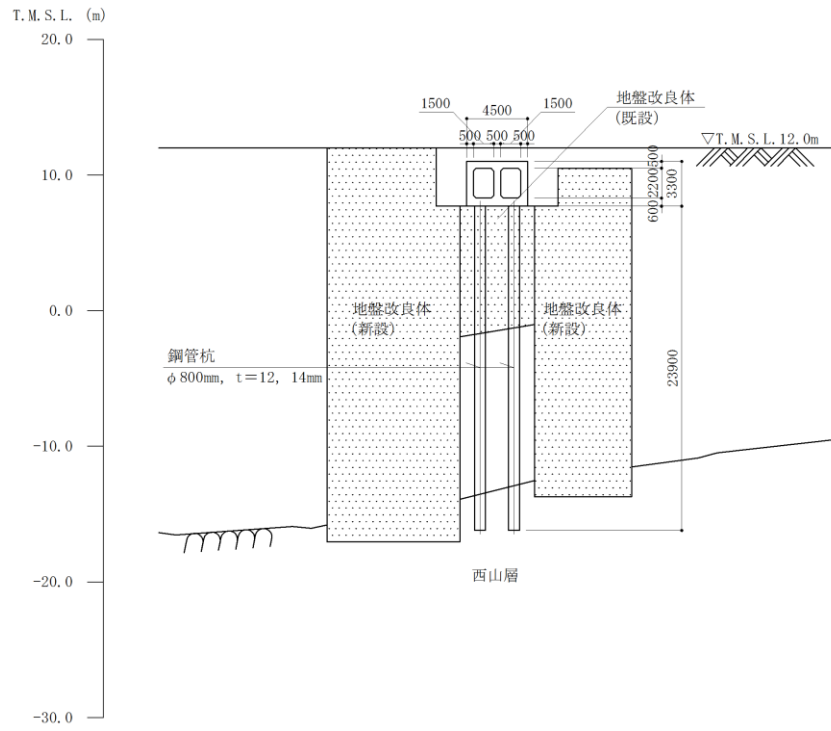


(単位：mm)

既設／新設	凡例	地盤改良工法
既設地盤改良体		置換 (CD掘削)
新設地盤改良体		置換 (CD掘削)

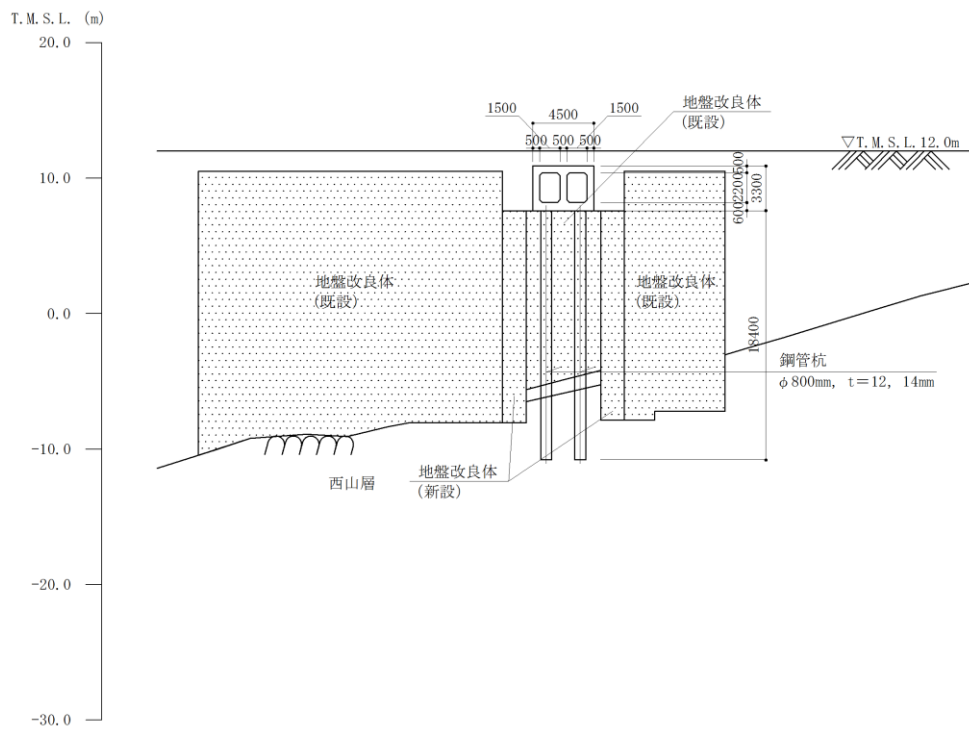
注：置換工法 (CD掘削) の施工範囲の内、地上構造物及び埋設構造物がある箇所では、高圧噴射または置換 (開削) を適用

図 2-2 燃料移送系配管ダクトの平面図



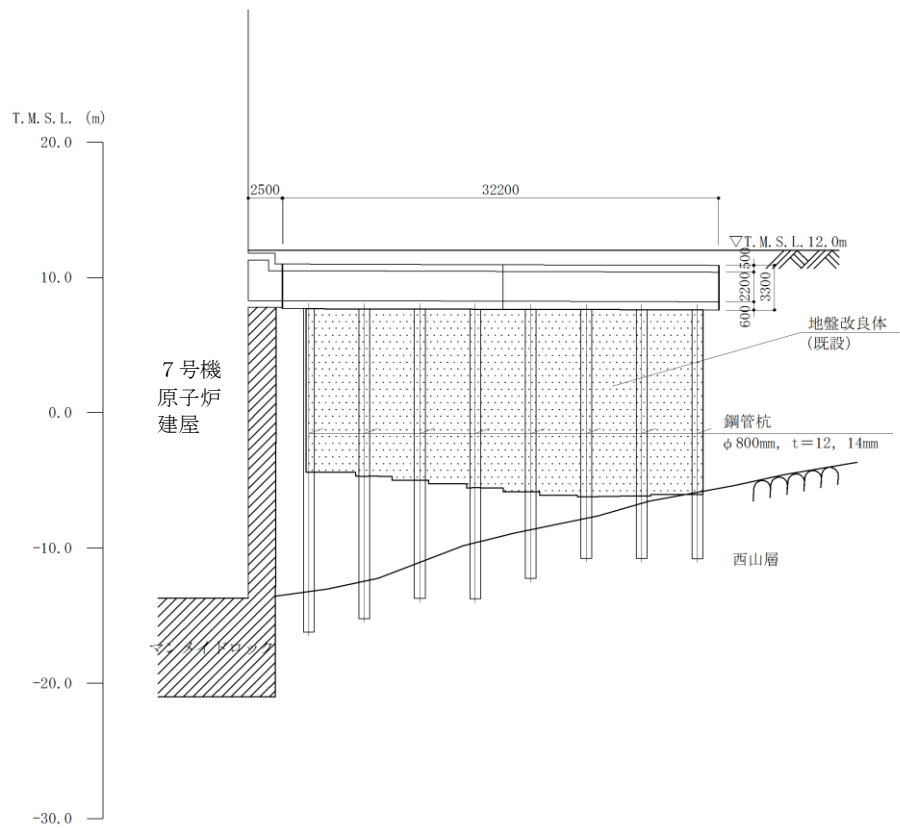
(単位：mm)

図 2-3 燃料移送系配管ダクト断面図 (A-A 断面)



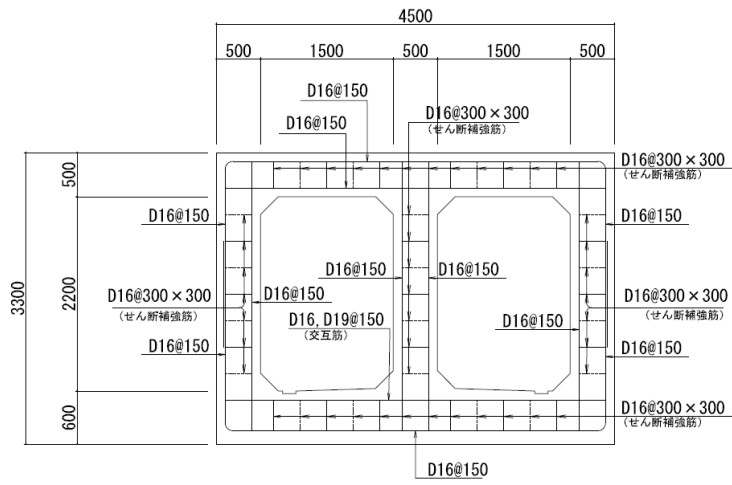
(単位：mm)

図 2-4 燃料移送系配管ダクト断面図 (B-B 断面)

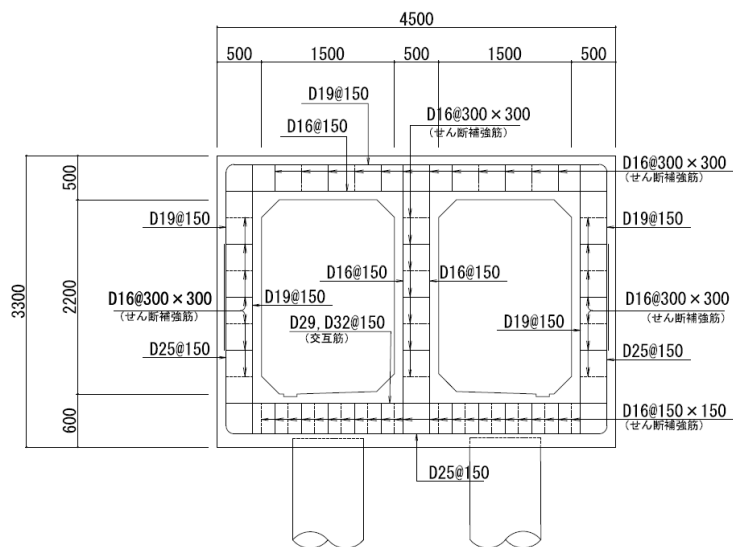


(単位：mm)

図 2-5 燃料移送系配管ダクト縦断図 (C-C 断面)



(a) 一般部



(b) 杭頭補強部

図 2-6 燃料移送系配管ダクト配筋図

2.3 使用材料及び材料定数

耐震評価に用いる材料定数は、建設時の設計値に基づき設定する。構造物の使用材料を表 2-2 に、材料物性値を表 2-3 に示す。

表 2-2 構造物の使用材料

諸元	
コンクリート	設計基準強度 23.5 N/mm ²
鉄筋	SD35 (SD345 相当)
鋼管杭	SKK400 (SKK41 相当)

表 2-3 構造物の材料物性値

材料	単位体積重量 (kN/m ³)	ヤング係数 (N/mm ²)	ポアソン比
鉄筋コンクリート	23.5*	2.45×10 ⁴ *	0.2*
鋼管杭	77*	2.06×10 ⁵ *	0.3*

注記* : 建設時の設計値に基づく

2.4 地盤、マンメイドロック及び地盤改良体の物性値

地盤、マンメイドロックの物性値は、V-2-1-3「地盤の支持性能に係る基本方針」にて設定している物性値を用いる。地盤改良体の物性値は、V-2-1-3「地盤の支持性能に係る基本方針」にて設定している物性値に基づき、地盤改良体の配置を考慮した物性値を設定する。地盤の物性値を表 2-4～表 2-6 に、マンメイドロックの物性値を表 2-7 に、地盤改良体の配置を考慮した物性値を表 2-8 に示す。

表 2-4 地盤の解析用物性値一覧（液状化検討対象層）

物性値		地質区分		埋戻土	新期砂層・沖積層			古安田層	
					新期砂層	沖積層上部 (砂質)	沖積層下部	A2s 層	A3s 層
		物理特性	密度 ρ (g/cm ³)			1.94	2.05	1.90	2.02
	間隙率 n		0.45	0.44	0.48	0.42	0.45	0.45	
変形特性	動せん断弾性係数 G_{sa} (kN/m ²)		1.04×10^5	1.26×10^5	1.25×10^5	1.92×10^5	2.14×10^5	2.14×10^5	
	基準平均有効拘束圧 σ_{ms}' (kN/m ²)		98.0	98.0	110.0	150.0	200.0	200.0	
	ポアソン比 ν		0.33	0.33	0.33	0.33	0.33	0.33	
	減衰定数の上限値 h_{max}		0.225	0.234	0.247	0.211	0.157	0.157	
強度特性	粘着力 c' (kN/m ²)		0.0	0.0	0.0	0.0	0.0	0.0	
	内部摩擦角 ϕ' (°)		35.9	34.6	36.7	35.6	36.6	36.6	
液状化特性	変相角 ϕ_p (°)		32.0	31.0	33.0	32.0	32.0	32.0	
	液状化パラメータ	S_1	0.005	0.005	0.005	0.005	0.005	0.005	
		w_1	5.50	7.90	11.0	8.0	25.0	25.0	
		p_1	0.50	0.50	0.50	0.50	0.50	0.50	
		p_2	1.00	0.70	0.70	0.65	0.80	0.80	
		c_1	1.69	2.13	2.41	2.00	8.75	8.75	

表 2-5 地盤の解析用物性値一覧（非液状化層）

物性値		地質区分		古安田層					
				A3c 層	A3a1 層	A2c 層	A2a1 層	A2g 層 (シルト質)	A1c 層
物理特性	密度 ρ (g/cm ³)		1.70	1.81	1.80	1.88	1.80	1.80	
	間隙率 n		0.57	0.52	0.52	0.48	0.52	0.52	
変形特性	動せん断弾性係数 G_{sa} (kN/m ²)		1.09×10^5	9.57×10^4	1.39×10^5	1.61×10^5	1.39×10^5	1.39×10^5	
	基準平均有効拘束圧 σ_{ms}' (kN/m ²)		60.0	94.0	140.0	170.0	140.0	140.0	
	ポアソン比 ν		0.33	0.33	0.33	0.33	0.33	0.33	
	減衰定数の上限値 h_{max}		0.114	0.162	0.110	0.147	0.110	0.110	
強度特性	粘着力 c' (kN/m ²)		99.6	29.2	113.0	82.8	113.0	113.0	
	内部摩擦角 ϕ' (°)		26.8	34.2	27.9	28.7	27.9	27.9	

表 2-6 地盤の解析用物性値 (西山層)

物性値		地質区分	西山層	
			T. M. S. L. -33.0m 以浅	T. M. S. L. -33.0m~-90.0m
物理特性	密度 ρ (g/cm ³)		1.73	1.69
	間隙率 n		0.56	0.56
変形特性	動せん断弾性係数 G_{sm} (kN/m ²)		4.16×10 ⁵	4.75×10 ⁵
	基準平均有効拘束圧 σ_{ms}' (kN/m ²)		98.0	98.0
	ポアソン比 ν		0.33	0.33
	減衰定数の上限値 h_{max}		0.257	0.257
強度特性	粘着力 c (kN/m ²)		1370-5.04Z*	1370-5.04Z*
	内部摩擦角 ϕ (°)		0.0	0.0

注記* : Zは、標高 (m) を示す

表 2-7 マンメイドロックの解析用物性値

名称		マンメイドロック	マンメイドロック (原子炉建屋下)
物理特性	密度 ρ (g/cm ³)	1.75	1.75
	間隙率 n	0.56	0.56
変形特性	動せん断弾性係数 G_{sm} (kN/m ²)	1.91×10 ⁶	2.11×10 ⁶
	基準平均有効拘束圧 σ_{ms}' (kN/m ²)	98.0	98.0
	ポアソン比 ν	0.36	0.36
	減衰定数の上限値 h_{max}	0.190	0.190
強度特性	粘着力 c (kN/m ²)	1840	1840
	内部摩擦角 ϕ (°)	0.0	0.0

表 2-8 地盤改良体（セメント改良）の配置を考慮した解析用物性値

既設／新設		既設地盤改良体		新設地盤改良体	
種別 (地盤種別)		置換	高圧噴射 (砂質土)	置換	高圧噴射 (砂質土)
物理 特性	密度 ρ (g/cm ³)	1.87	1.76	1.87	2.05
	間隙率 n	0.49	0.51	0.48	0.49
変形 特性	動せん断弾性係数 G_{ms} (kN/m ²)	2.87×10^6	1.20×10^6	1.19×10^6	1.32×10^6
	基準平均有効拘束圧 σ_{ms}' (kN/m ²)	98.0	98.0	98.0	98.0
	ポアソン比 ν	0.33	0.33	0.33	0.33
	減衰定数の上限値 h_{max}	0.060	0.100	0.050	0.050
強度 特性	粘着力 c (kN/m ²)	2117	1580	3640	3640

2.5 評価構造物諸元

照査を行う燃料移送系配管ダクトのダクト躯体に関する諸元を表 2-9, 鋼管杭に関する諸元を表 2-10 に, 評価部位を図 2-7 及び図 2-8 に示す。

表 2-9 構造物の評価部位とその仕様 (その 1: ダクト躯体 (鉄筋コンクリート部材))

部位	仕様		材料		機能要求
	部材幅 (m)	部材高 (m)	コンクリート f'_{ck} (N/mm ²)	鉄筋	
底版	1.000	0.600	23.5	SD35 (SD345 相当)	間接支持
北側壁	1.000	0.500	23.5	SD35 (SD345 相当)	
隔壁	1.000	0.500	23.5	SD35 (SD345 相当)	
南側壁	1.000	0.500	23.5	SD35 (SD345 相当)	
頂版	1.000	0.500	23.5	SD35 (SD345 相当)	

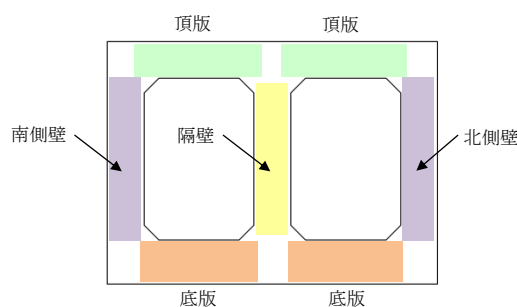
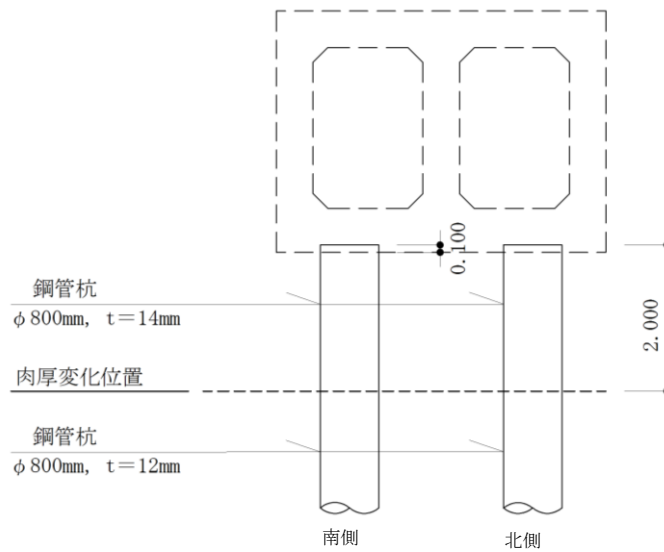


図 2-7 評価部位：躯体 (鉄筋コンクリート部材)

表 2-10 構造物の評価部位とその仕様 (その 2: 鋼管杭)

部位	仕様		材料	機能要求
	杭径 (mm)	肉厚 (mm)		
鋼管杭 (北側, 南側)	800	12 (杭頭部 14)	SKK400 (SKK41 相当)	間接支持



(単位: m)

図 2-8 評価部位: 鋼管杭

2.6 地下水位

地下水位はV-2-1-3「地盤の支持性能に係る基本方針」より, 地表面 (T. M. S. L. 12.0m) に設定する。

2.7 耐震評価フロー

図 2-9 に燃料移送系配管ダクトの耐震評価フローを示す。

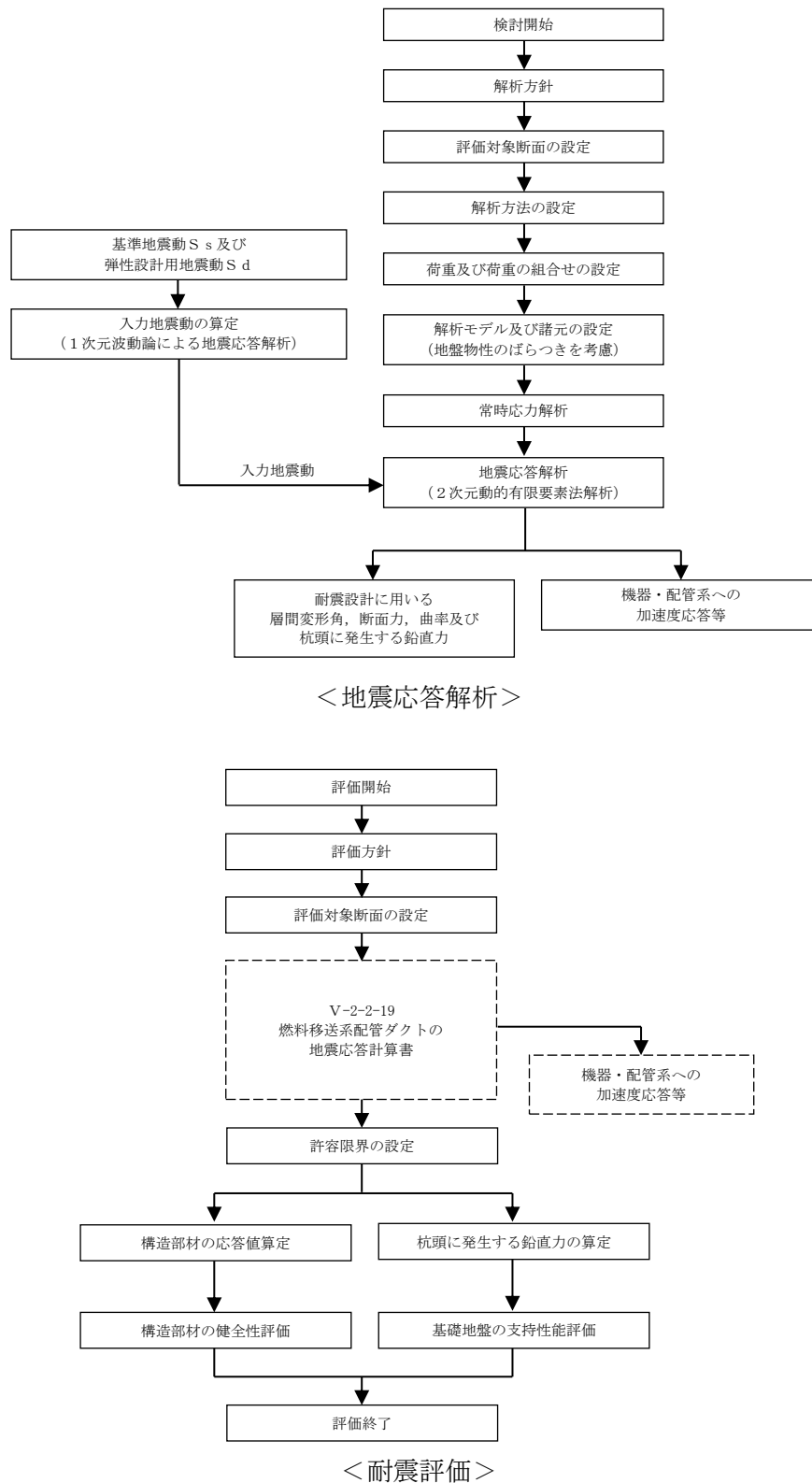


図 2-9 燃料移送系配管ダクトの耐震評価フロー

2.8 適用規格

燃料移送系配管ダクトの耐震評価に当たっては、コンクリート標準示方書〔構造性能照査編〕（土木学会，2002年）（以下「コンクリート標準示方書」という。），原子力発電所耐震設計技術指針 J E A G 4 6 0 1 -1987（日本電気協会）を適用するが，鉄筋コンクリート部材の曲げ及びせん断の許容限界については，原子力発電所屋外重要土木構造物の耐震性能照査指針・マニュアル（土木学会，2005年）（以下「土木学会マニュアル」という。）を適用する。鋼管杭の曲げ及びせん断の許容限界は，乾式キャスクを用いる使用済燃料中間貯蔵建屋の基礎構造の設計に関する技術規程 J E A C 4 6 1 6 -2009（日本電気協会）（以下「キャスク指針」という。），鋼・合成構造標準示方書〔耐震設計編〕（土木学会，2008年）（以下「鋼・合成構造標準示方書」という。）を適用する。また，基礎地盤の支持性能の許容限界は，道路橋示方書（I 共通編・IV 下部構造編）・同解説（日本道路協会，平成14年3月）（以下「道路橋示方書」という。）を適用する。

表 2-11 に適用する規格，基準類を示す。

表 2-11 適用する規格，基準類

項目	適用する規格，基準類	備考
使用材料及び材料定数	・コンクリート標準示方書〔構造性能照査編〕(2002年)	—
荷重及び荷重の組合せ	・コンクリート標準示方書〔構造性能照査編〕(2002年)	・永久荷重＋偶発荷重＋従たる変動荷重の適切な組合せを検討
許容限界	【鉄筋コンクリート部材】 ・原子力発電所屋外重要土木構造物の耐震性能照査指針・マニュアル(2005年)	・曲げに対する照査は，限界層間変形角を設定した上で，発生層間変形角が限界層間変形角を下回ることを確認* ・せん断に対する照査は，発生せん断力がせん断耐力を下回ることを確認*
	【鋼管杭】 ・乾式キャスクを用いる使用済燃料中間貯蔵建屋の基礎構造の設計に関する技術規程 J E A C 4 6 1 6 -2009 ・鋼・合成構造標準示方書〔耐震設計編〕(2008年)	・曲げに対する照査は，終局曲率を設定した上で，発生曲率が終局曲率を下回ることを確認* ・せん断に対する照査は，発生せん断力が終局せん断強度を下回ることを確認*
	【基礎地盤の支持性能】 ・道路橋示方書（I 共通編・IV 下部構造編）・同解説（平成 14 年 3 月）	・基礎地盤の支持性能に対する照査は，杭頭に発生する鉛直力が終局鉛直支持力及び終局引抜き力を下回ることを確認*
地震応答解析	・原子力発電所耐震設計技術指針 J E A G 4 6 0 1 -1987	・有限要素法による 2 次元モデルを用いた時刻歴非線形解析

注記*： 妥当な安全余裕を考慮する。

3. 地震応答解析

3.1 地震応答解析手法

燃料移送系配管ダクトの地震応答解析は、地盤と構造物の相互作用を考慮できる2次元有限要素法を用いて、基準地震動 S_s 及び弾性設計用地震動 S_d に基づき設定した水平地震動と鉛直地震動の同時加振による逐次時間積分の時刻歴応答解析にて行う。構造部材については、A-A断面及びB-B断面では全ての部材を非線形はり要素で、C-C断面については鉄筋コンクリート部材を線形平面ひずみ要素で、鋼管杭を非線形はり要素でモデル化する。非線形はり要素の非線形特性についてはコンクリート及び鋼管杭の $M-\phi$ 関係を適切にモデル化する。また、地盤については、有効応力の変化に応じた地震時挙動を適切に考慮できるようにモデル化する。地震応答解析については、解析コード「FLIP ver. 7.4.1」を使用する。

地盤の繰返しせん断応力～せん断ひずみ関係の骨格曲線の構成則を有効応力解析へ適用する際は、地盤の繰返しせん断応力～せん断ひずみ関係の骨格曲線に関するせん断ひずみ及び有効応力の変化に応じた特徴を適切に表現できるモデルを用いる必要がある。一般に、地盤は荷重を与えることによりせん断ひずみを増加させていくと、地盤のせん断応力は上限値に達し、それ以上はせん断応力が増加しなくなる特徴がある。また、地盤のせん断応力の上限値は有効応力に応じて変化する特徴がある。よって、耐震評価における有効応力解析では、地盤の繰返しせん断応力～せん断ひずみ関係の骨格曲線の構成則として、地盤の繰返しせん断応力～せん断ひずみ関係の骨格曲線に関するせん断ひずみ及び有効応力の変化に応じたこれら2つの特徴を表現できる双曲線モデル（H-Dモデル）を選定する。

地震応答解析手法の選定フローを図3-1に示す。

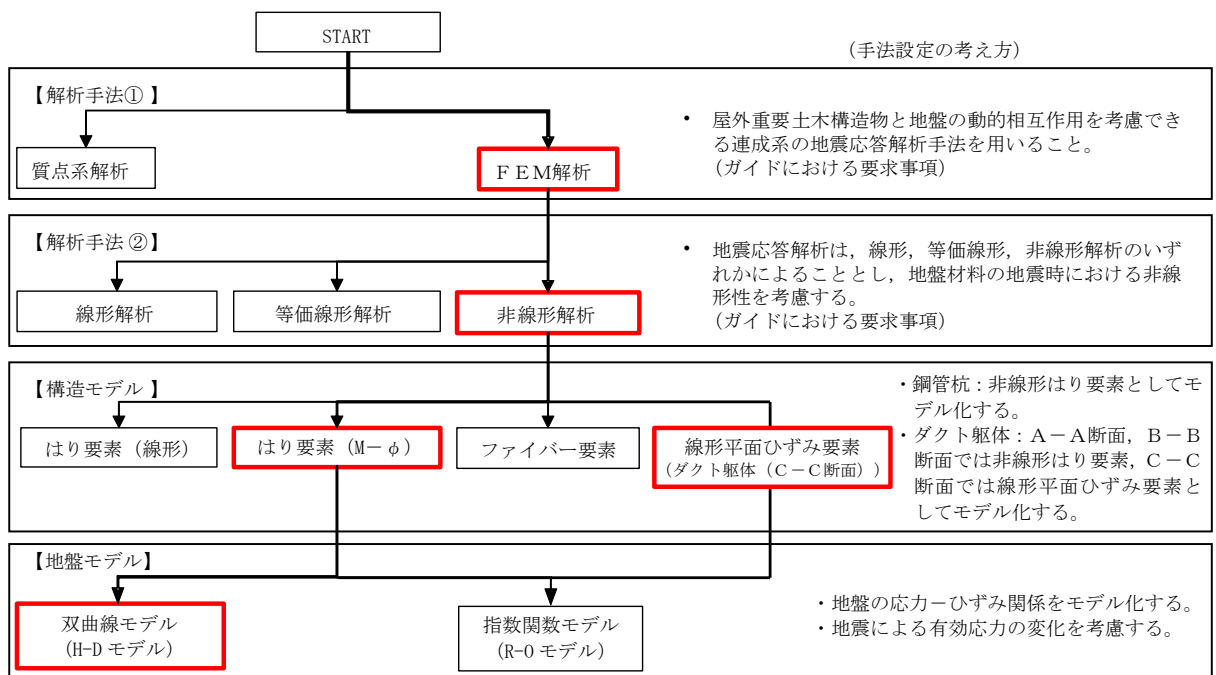


図 3-1 地震応答解析手法の選定フロー

3.2 地震応答解析モデルの設定

3.2.1 解析モデル領域

地震応答解析モデルは，境界条件の影響が地盤及び構造物の応力状態に影響を及ぼさないよう，十分広い領域とする。具体的には，原子力発電所耐震設計技術指針 J E A G 4 6 0 1 -1987（日本電気協会）を参考に，図 3-2 に示すとおりモデル幅を構造物基礎幅の 5 倍程度，モデル高さを構造物基礎幅の 2 倍程度とする。

なお，解析モデルの境界条件は，側面及び底面ともに粘性境界とする。

地盤の要素分割については，地盤の波動をなめらかに表現するために，最大周波数 20Hz 及びせん断波速度 V_s で算定される波長の 5 又は 4 分割，すなわち $V_s/100$ 又は $V_s/80$ を考慮し，要素高さを 0.5m~1m 程度まで細分割して設定する。

構造物の要素分割については，土木学会マニュアルに，線材モデルの要素分割については，要素長さを部材の断面厚さ又は有効高さの 2.0 倍以下とし，1.0 倍程度とするのが良い旨が示されていることを考慮し，部材の断面厚さ又は有効高さの 1.0 倍程度まで細分割して設定する。なお，杭の要素分割については，杭に接する地盤の要素分割に合わせて設定する。

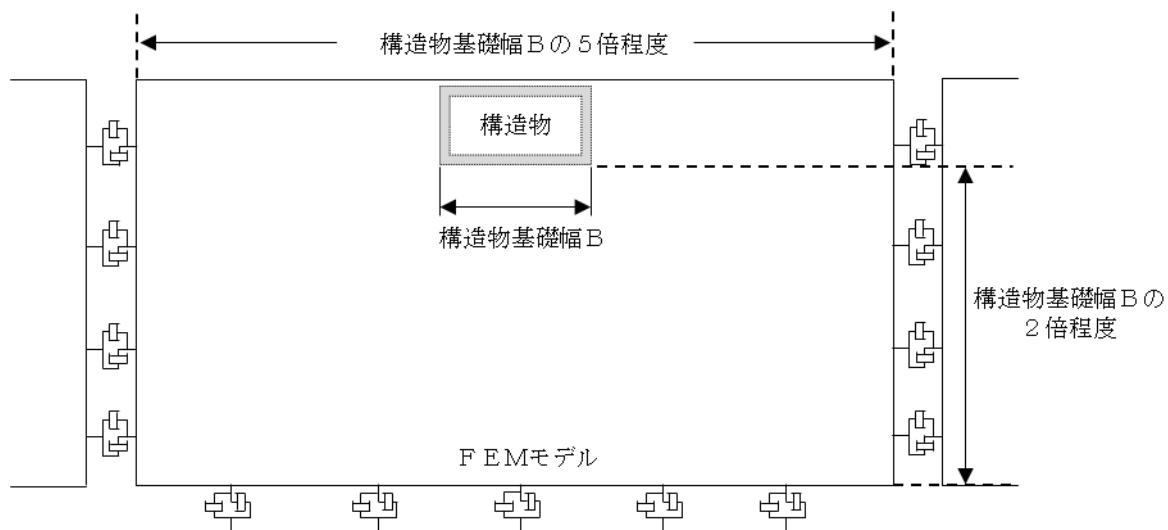


図 3-2 モデル範囲の考え方

2次元有効応力解析モデルは、検討対象構造物とその周辺地盤をモデル化した不整形地盤に加え、この不整形地盤の左右に広がる地盤をモデル化した自由地盤で構成される。この自由地盤は、不整形地盤の左右端と同じ地層構成を有する1次元地盤モデルである。2次元有効応力解析における自由地盤の初期応力解析から不整形地盤の地震応答解析までのフローを図3-3に示す。また、燃料移送系配管ダクト周辺の地質断面図を図3-4～図3-6に示す。

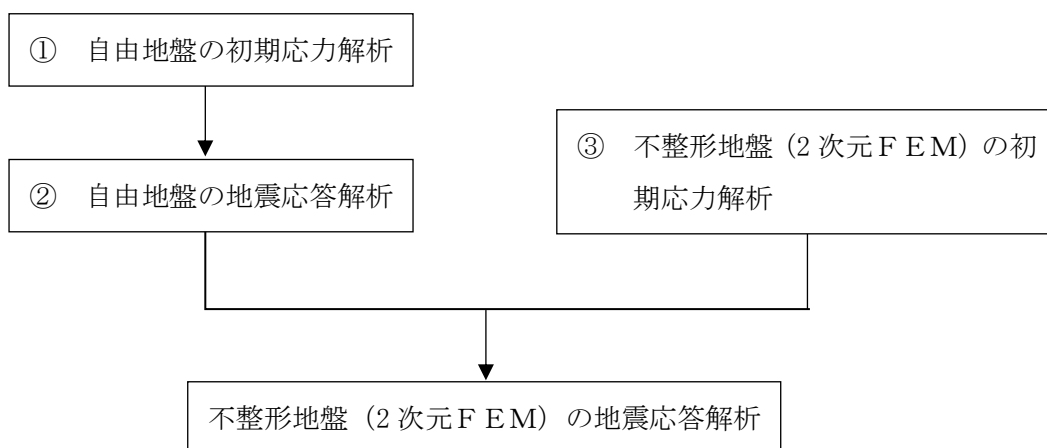
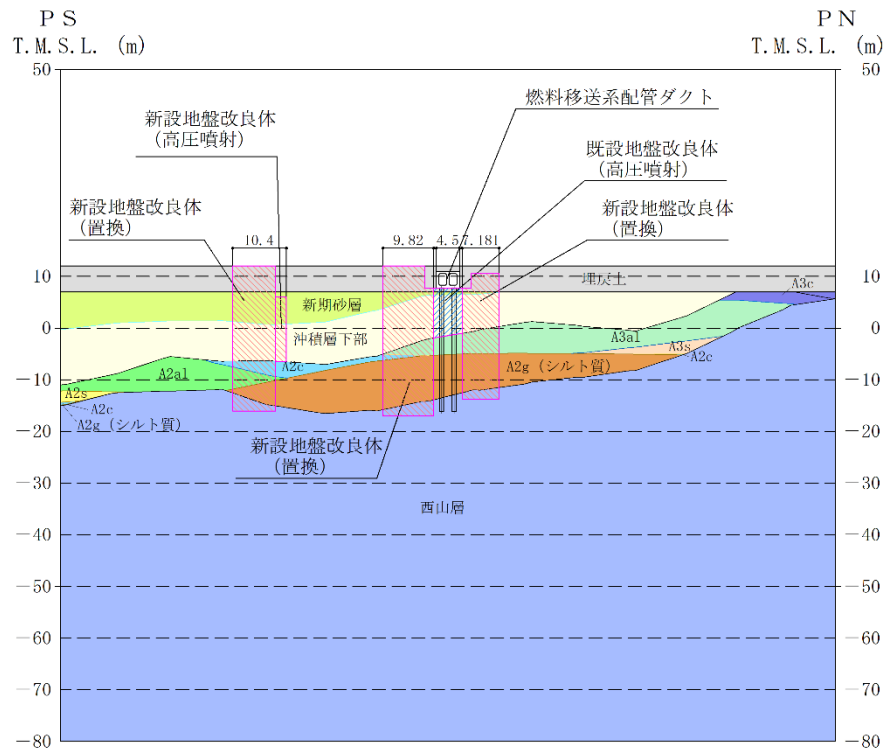


図 3-3 自由地盤の初期応力解析から不整形地盤 (2次元 F E M) の地震応答解析までのフロー

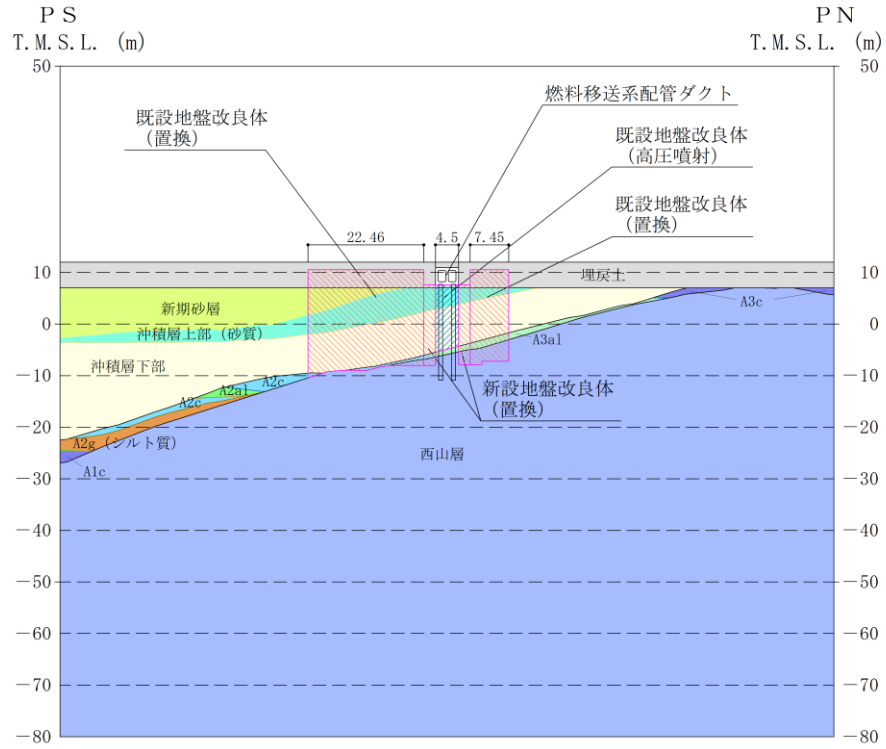


(単位：m)

既設／新設	凡例	地盤改良工法
既設地盤改良体		置換 (CD掘削)
新設地盤改良体		置換 (CD掘削)

注：置換工法 (CD掘削) の施工範囲の内、地上構造物及び埋設構造物がある箇所では、高圧噴射または置換 (開削) を適用

図 3-4 燃料移送系配管ダクト周辺地質断面図 (A-A断面)

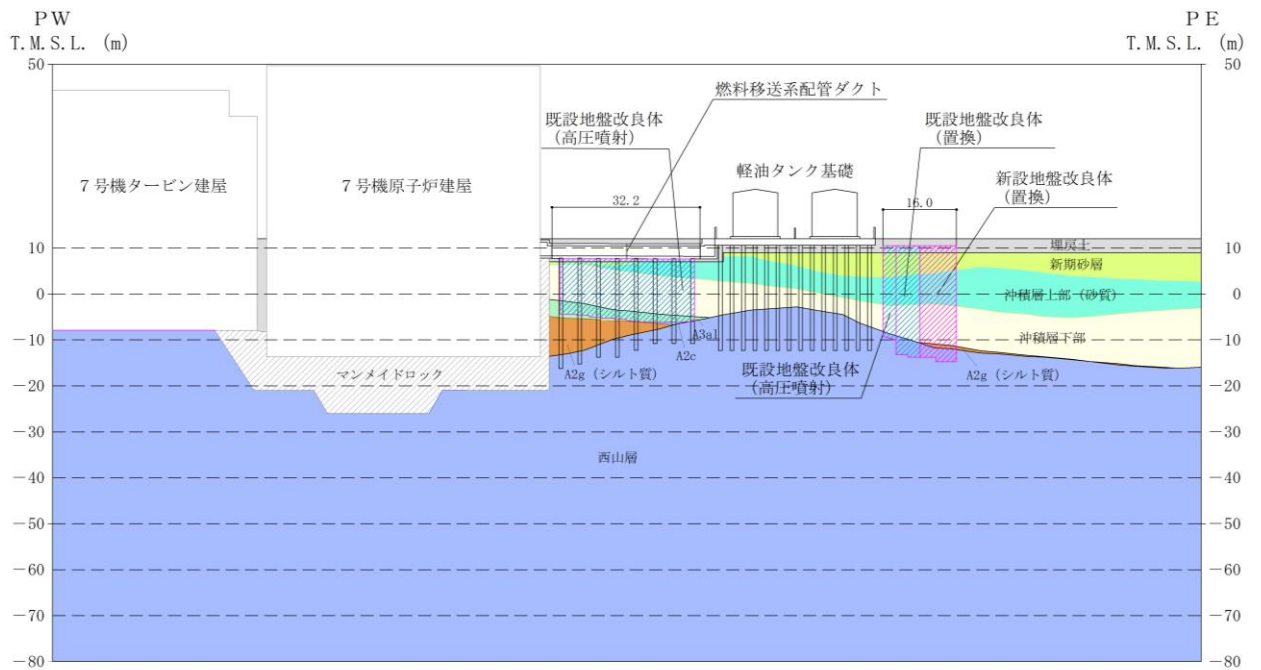


(単位：m)

既設／新設	凡例	地盤改良工法
既設地盤改良体		置換 (CD掘削)
新設地盤改良体		置換 (CD掘削)

注：置換工法 (CD掘削) の施工範囲の内、地上構造物及び埋設構造物がある箇所では、
 高压噴射または置換 (開削) を適用

図 3-5 燃料移送系配管ダクト周辺地質断面図 (B-B 断面)



(単位：m)

既設／新設	凡例	地盤改良工法
既設地盤改良体		置換 (CD掘削)
新設地盤改良体		置換 (CD掘削)

注：置換工法 (CD掘削) の施工範囲の内、地上構造物及び埋設構造物がある箇所では、高圧噴射または置換 (開削) を適用

図 3-6 燃料移送系配管ダクト周辺地質断面図 (C-C断面)

3.2.2 境界条件

(1) 初期応力解析時

初期応力解析は、地盤や構造物の自重等の静的な荷重を載荷することによる常時の初期応力を算定するために行う。初期応力解析時の境界条件は底面固定とし、側方は自重等による地盤の鉛直方向の変形を拘束しないよう鉛直ローラーとする。境界条件の概念図を図3-7に示す。

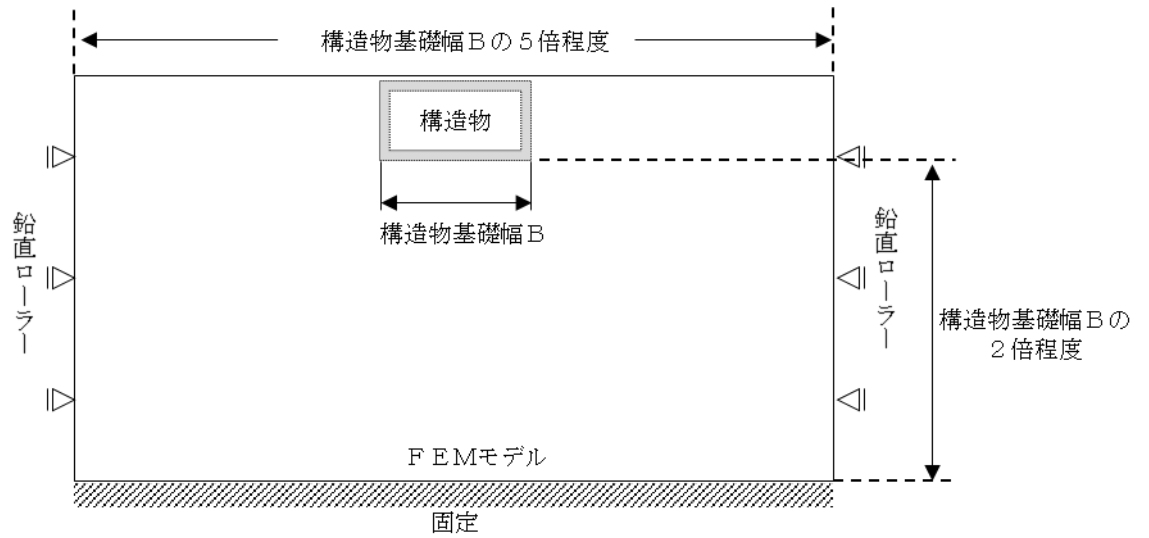


図 3-7 初期応力解析における境界条件の概念図

(2) 地震応答解析時

地震応答解析時の境界条件については、有限要素解析における半無限地盤を模擬するため、粘性境界を設ける。底面の粘性境界については、地震動の下降波がモデル底面境界から半無限地盤へ通過していく状態を模擬するため、ダッシュポットを設定する。側方の粘性境界については、自由地盤の地盤振動と不整形地盤側方の地盤振動の差分が側方を通過していく状態を模擬するため、自由地盤の側方にダッシュポットを設定する。燃料移送系配管ダクトの地震応答解析モデルを図 3-8～図 3-10 に示す。

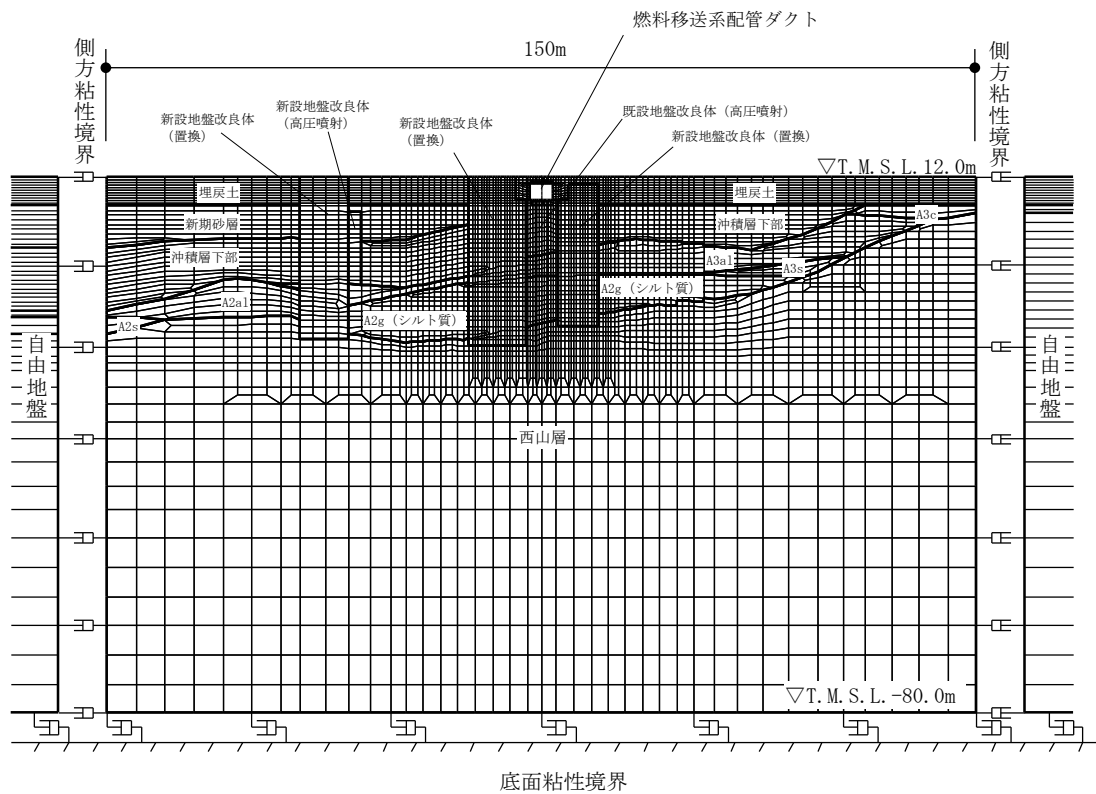


図 3-8 燃料移送系配管ダクトの地震応答解析モデル (A-A 断面)

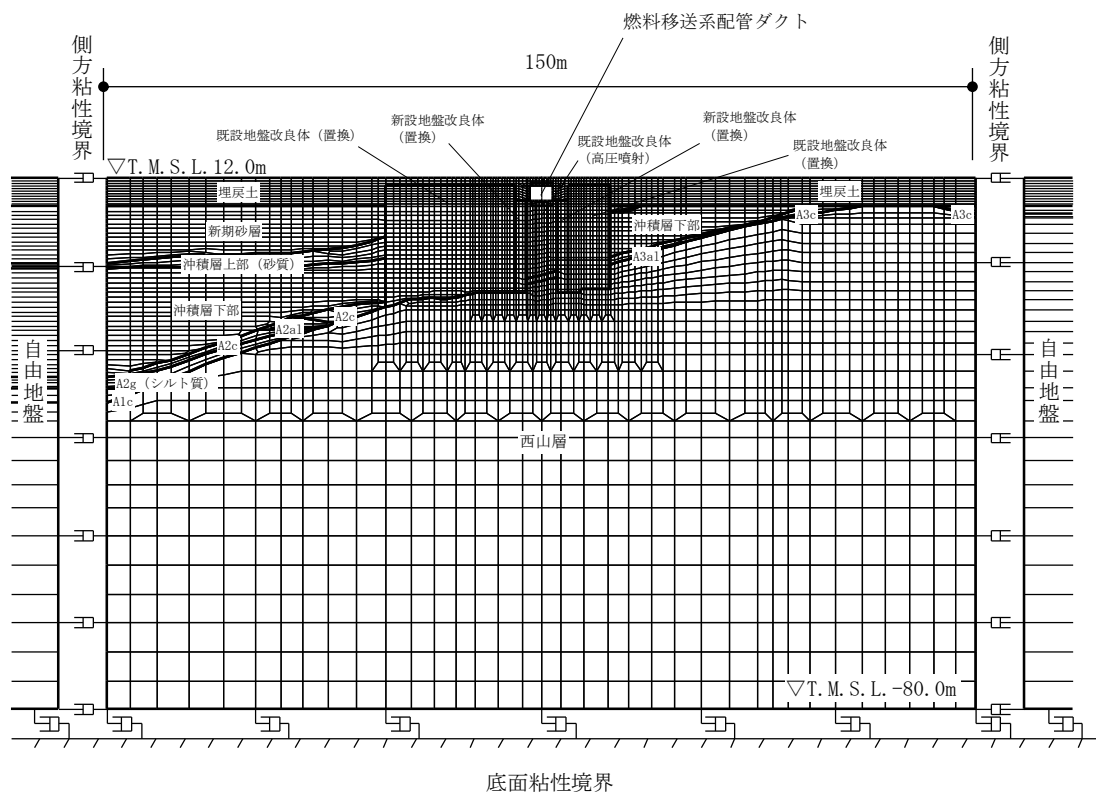


図 3-9 燃料移送系配管ダクトの地震応答解析モデル (B-B 断面)

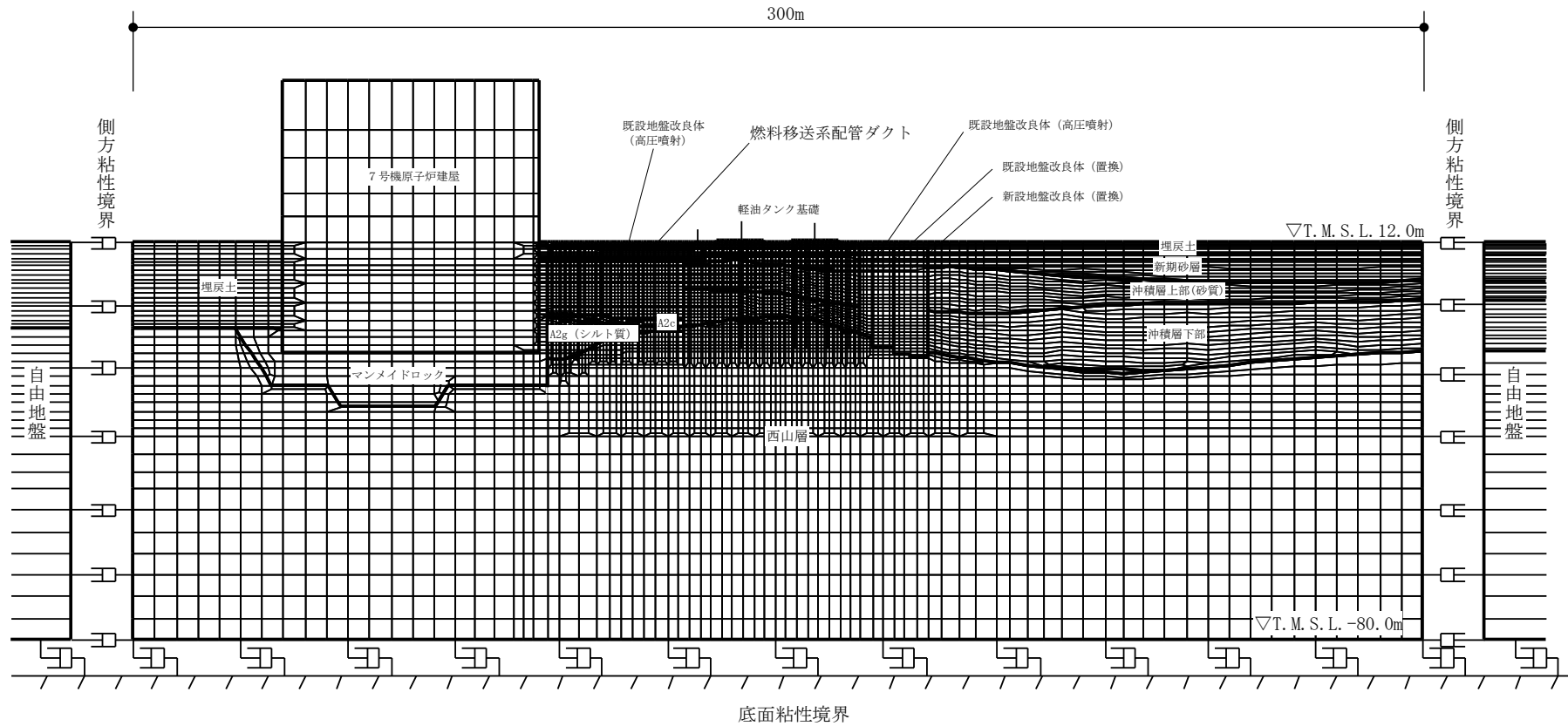


図 3-10 燃料移送系配管ダクトの地震応答解析モデル
(C-C断面 機器・配管系に対する加速度応答抽出用)

3.2.3 解析奥行幅

各断面の解析奥行幅の考え方を図 3-11 に示す。

A-A断面及びB-B断面の解析奥行幅は、単位奥行幅（1m）として設定する。

機器・配管系に対する加速度応答抽出用のC-C断面の解析奥行幅は、燃料移送系配管ダクト周辺に配置された地盤改良体の影響を適切に反映するため、燃料移送系配管ダクト東側に位置する軽油タンク基礎周囲の地盤改良幅分の解析奥行幅を設定する。なお、軽油タンク基礎東側の流動化処理土の範囲は、地盤改良体としての効果を期待せず、当該部分を空隙として評価を行う。

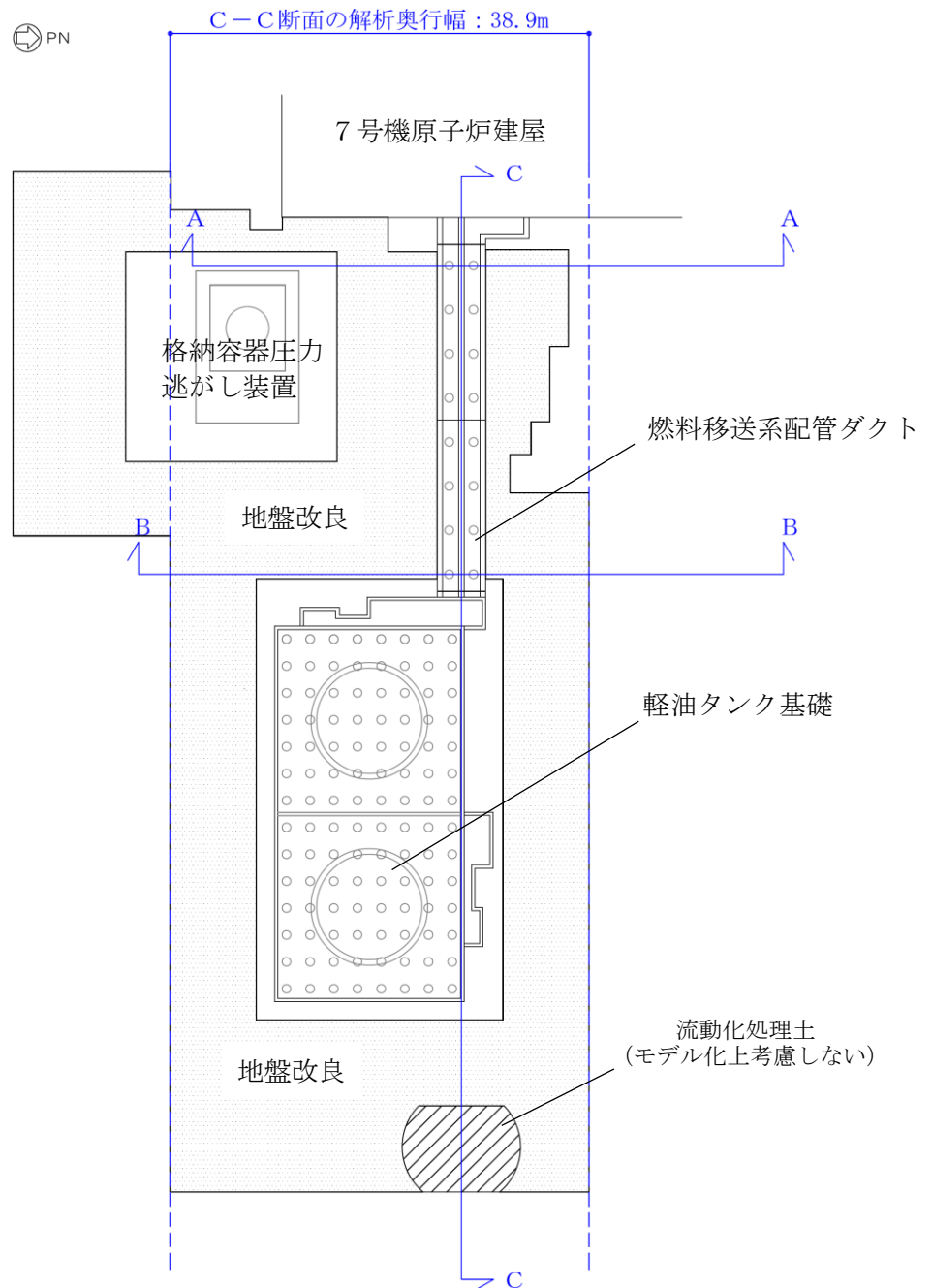


図 3-11 各断面の解析奥行幅の考え方

3.2.4 構造物のモデル化

燃料移送系配管ダクトの横断方向であるA-A断面及びB-B断面では、構造部材として考慮する側壁、隔壁、底版、頂版及び鋼管杭を非線形はり要素でモデル化する。

鉄筋コンクリート部材の非線形はり要素の交点には、コンクリート標準示方書に基づき剛域を設ける。

ダクト底版に結合する杭のはり要素は、ダクト底版に埋込まれる範囲を剛域とする。

燃料移送系配管ダクトの横断方向の解析モデルにおける構造物部分の拡大図を図 3-12 に示す。

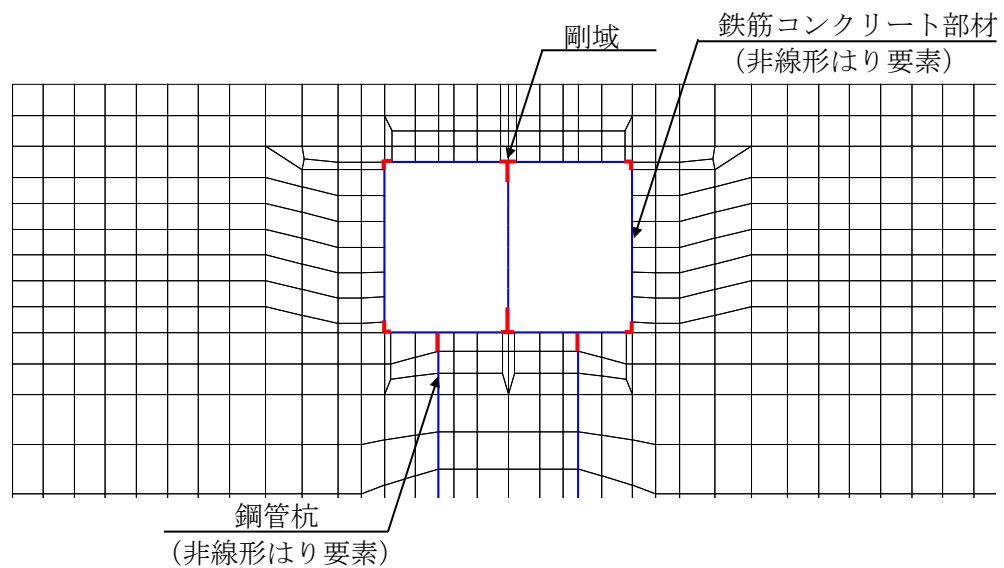


図 3-12 燃料移送系配管ダクト横断方向の解析モデル（構造物部分拡大部，A-A断面）

燃料移送系配管ダクトの縦断方向であるC-C断面は、鉄筋コンクリート部材を線形平面ひずみ要素で、鋼管杭を非線形はり要素でモデル化する。鋼管杭の杭頭部は鉄筋コンクリート部材と剛結する。

燃料移送系配管ダクトの縦断方向の解析モデルにおける構造物部分の拡大図を図 3-13 に示す。

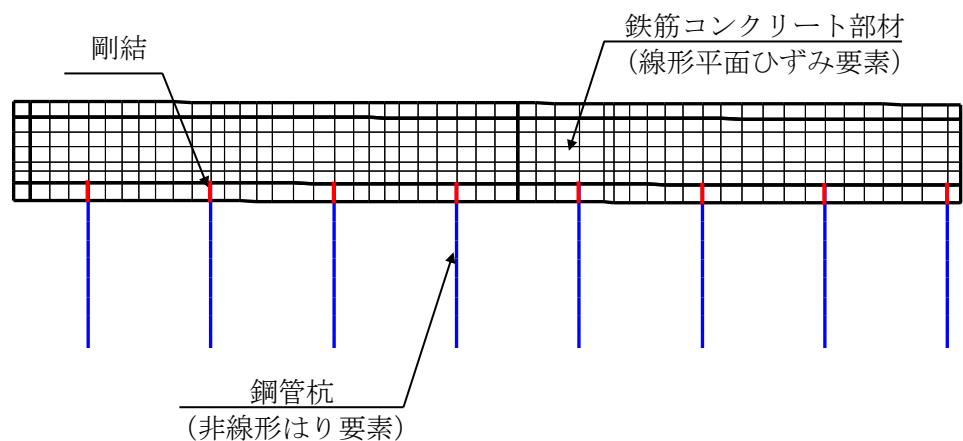


図 3-13 燃料移送系配管ダクト縦断方向の解析モデル（構造物部分拡大部，C-C断面）

3.2.5 隣接構造物のモデル化

(1) 7号機原子炉建屋

燃料移送系配管ダクトの評価対象断面のうちC-C断面には、隣接構造物である7号機原子炉建屋をモデル化している。7号機原子炉建屋のモデル化手法概念図を図3-14に示す。7号機原子炉建屋は、設置変更許可申請書の基礎地盤安定性評価におけるモデル化と同様に、質点系建屋モデルから建屋各層の水平剛性 K_H 、鉛直剛性 K_V 及び曲げ剛性 K_ϕ を用いて、せん断剛性 G_i 、ポアソン比 ν_i 及びヤング係数 E_i を求め、等価な有限要素モデルを作成する。

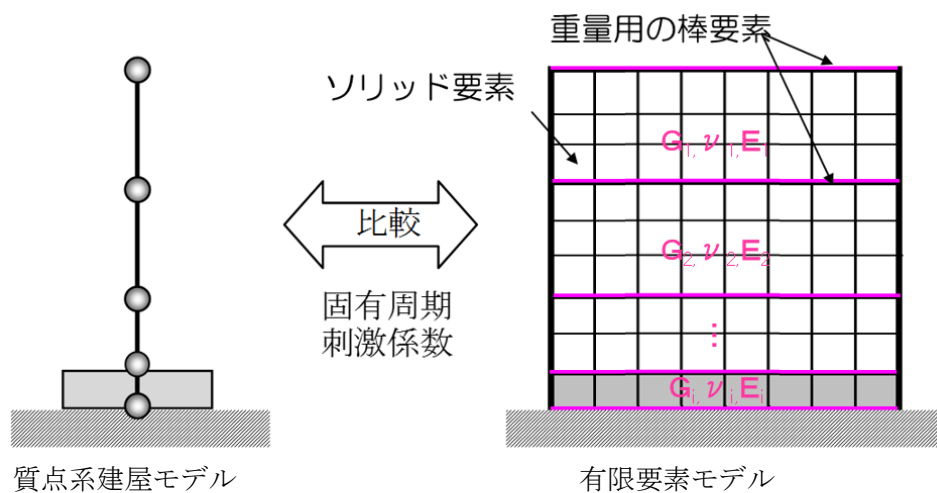


図 3-14 7号機原子炉建屋のモデル化手法概念図

3.2.6 地盤及びマンメイドロックのモデル化

地盤及びマンメイドロックはマルチスプリング要素及び間隙水要素でモデル化し、地盤については地震時の有効応力の変化に応じた非線形せん断応力～せん断ひずみ関係を考慮する。

3.2.7 地盤改良体のモデル化

構造物周辺の地盤改良体の効果を考慮するため、解析奥行幅の考え方に応じ、地盤改良体を適切にモデル化する。

A-A断面及びB-B断面では、評価断面に位置する地盤改良体を、改良率を考慮してモデル化する。

C-C断面では、燃料移送系配管ダクト近傍及び軽油タンク基礎東側に位置する地盤改良体については、改良率を考慮し、解析奥行幅（軽油タンク基礎周囲の改良幅）に応じた等価剛性を設定し、モデル化する。燃料移送系配管ダクト周辺に位置する地盤改良体については、改良率を考慮し、解析奥行幅に応じた等価剛性を設定し、オーバーラップでモデル化する。

オーバーラップでモデル化する範囲を図 3-15 に示す。また、オーバーラップする範囲を含めたC-C断面の断面図を図 3-16 に示す。

図 3-16 に示すとおり、オーバーラップでモデル化する範囲（以下、「オーバーラップ部」という。）と、それ以外の範囲（以下、「主体部」という。）の境界には、表 3-1 に示す境界条件を設定し、地震時の境界部における剥離、すべり及び定着を考慮する。

なお、オーバーラップ部と主体部が解析奥行方向に重なる場合は、その境界面を自由境界とする。

表 3-1 オーバーラップ部と主体部の境界条件

条件	境界条件
地盤と地盤	節点共有
地盤と地盤改良体	ジョイント要素*1
地盤改良体と地盤改良体	節点共有
構造物と地盤改良体	ジョイント要素*1

注記*1 : 「3.2.6 ジョイント要素の設定」参照。

PN

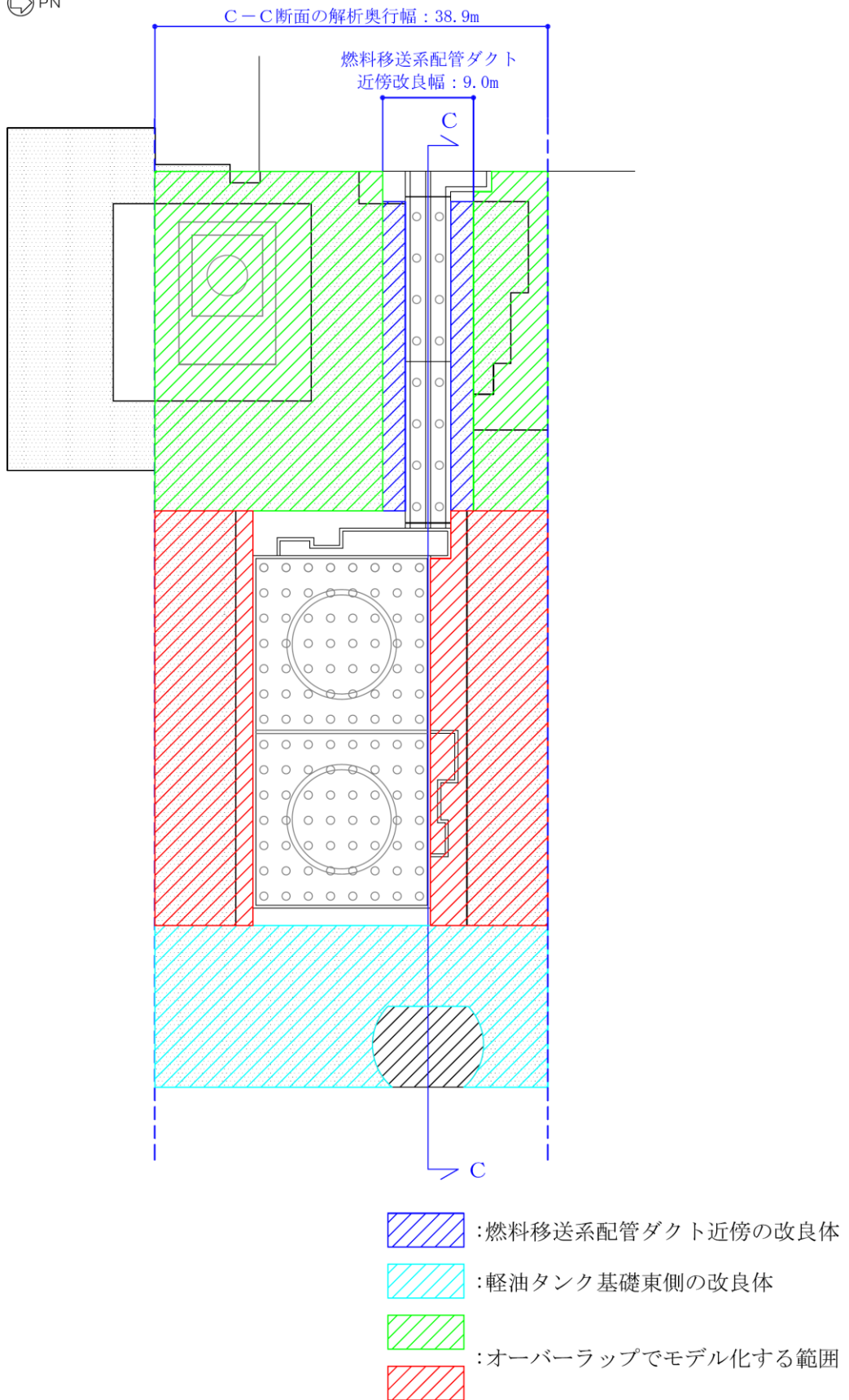


図 3-15 オーバーラップでモデル化する範囲 (C-C断面)

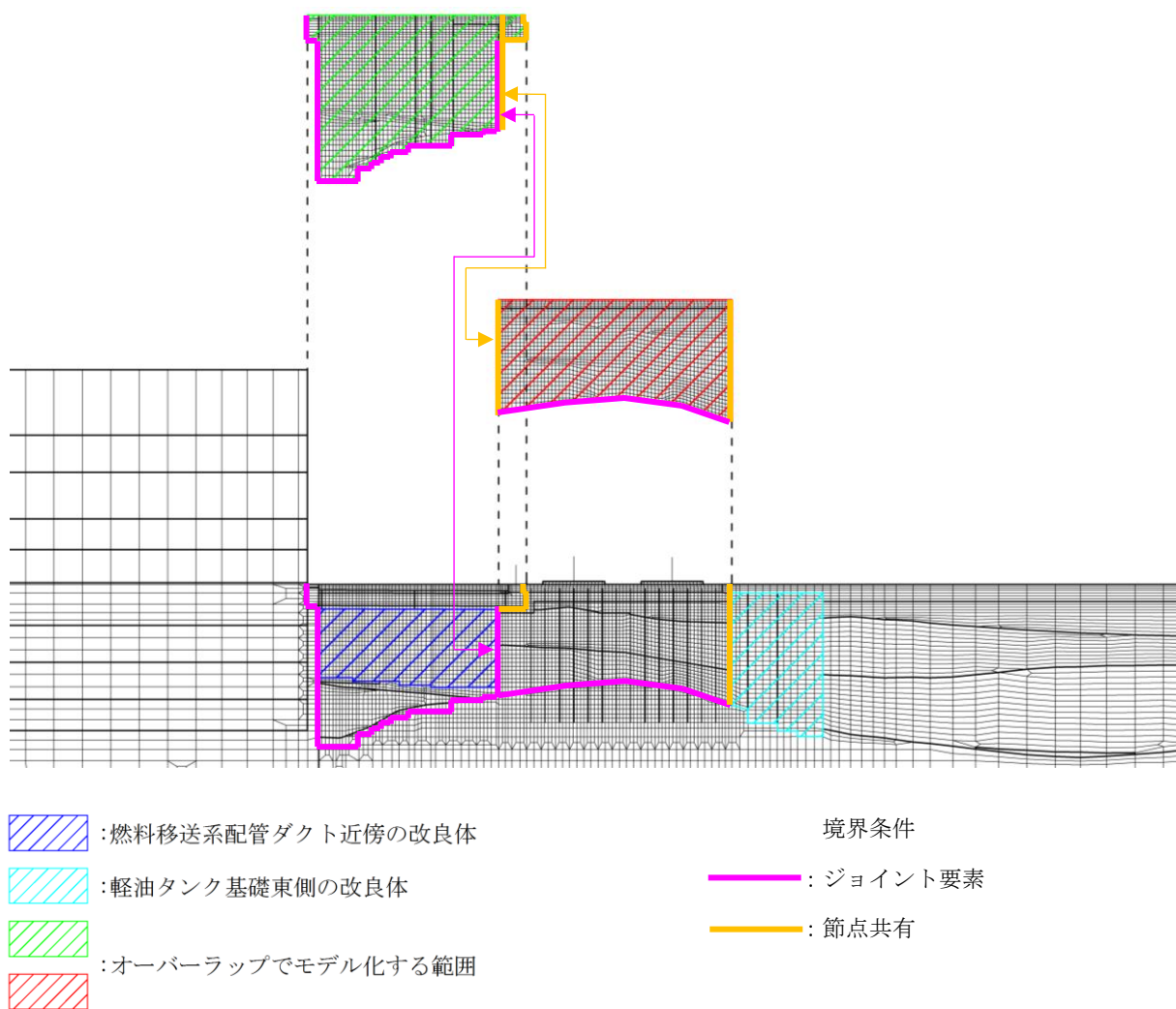


図 3-16 C-C断面における地盤改良体のモデル化

3.2.8 ジョイント要素の設定

「地盤と構造物」、「地盤改良体と構造物」及び「地盤と地盤改良体」との接合面にジョイント要素を設けることにより、地震時の接合面における剥離及びすべりを考慮する。なお、既設地盤改良体と新設地盤改良体との接合面については、既設地盤改良体に対し新設地盤改良体をラップさせて設置し、接合させることから、ジョイント要素は設定しない。

ジョイント要素は、隣接する要素の接合面で法線方向及びせん断方向に対して設定する。法線方向については、常時の圧縮荷重以上の引張荷重が生じた場合、剛性及び応力を零とし、剥離を考慮する。せん断方向については、各要素間の接合面におけるせん断抵抗力以上のせん断荷重が生じた場合、せん断剛性を零とし、すべりを考慮する。

なお、せん断強度 τ_f は、次式により設定する。

$$\tau_f = c_B + \sigma' \tan \phi_B$$

ここで、

σ' : 要素間の直応力

c_B : 付着力

ϕ_B : 摩擦角

要素間の付着力 c_B 、摩擦角 ϕ_B は、表 3-2 に示す道路橋示方書の設定を参考に、表 3-3 のとおり設定する。周辺地盤の粘着力 c 、内部摩擦角 ϕ は、V-2-1-3「地盤の支持性能に係る基本方針」に基づき、表 3-4 のとおり設定する。

表 3-2 周辺地盤の粘着力 c と内部摩擦角 ϕ

条 件	摩擦角 ϕ_B (摩擦係数 $\tan \phi_B$)	付着力 c_B
土とコンクリート	$\phi_B = \frac{2}{3} \phi$	$c_B = 0$
土とコンクリートの間に栗石を敷く場合	$\left. \begin{array}{l} \tan \phi_B = 0.6 \\ \phi_B = \phi \end{array} \right\} \text{の小さい方}$	$c_B = 0$
岩とコンクリート	$\tan \phi_B = 0.6$	$c_B = 0$
土と土又は岩と岩	$\phi_B = \phi$	$c_B = c$

ただし、 ϕ : 支持地盤のせん断抵抗角 (°) c : 支持地盤の粘着力 (kN/m²)

(道路橋示方書より引用)

表 3-3 要素間の付着力 c_B と摩擦角 ϕ_B

条件	付着力 c_B	摩擦角 ϕ_B (°)
地盤と構造物	0	$2/3 \phi$
地盤改良体*1と構造物	0	31
地盤と地盤改良体*2	c	ϕ

注記*1 : 地盤改良体は、その性状から道路橋示方書における岩とみなす。

*2 : 地盤と地盤改良体の付着力と摩擦角は、地盤の c, ϕ を適用する。

表 3-4 周辺地盤の粘着力 c と内部摩擦角 ϕ

地層区分	粘着力 c (kN/m ²)	内部摩擦角 ϕ (°)
埋戻土	0.0	35.9
新期砂層	0.0	34.6
沖積層上部 (砂質土)	0.0	36.7
沖積層下部	0.0	35.6
古安田層 A3a1 層	29.2	34.2
古安田層 A2c 層	113.0	27.9
古安田層 A2a1 層	82.8	28.7
古安田層 A2g 層	113.0	27.9
西山層	1370-5.04Z*	0.0

注記* : Z は、標高 (m) を示す

また、ジョイント要素のばね定数は、数値解析上不安定な挙動を起こさない程度に十分大きい値として、港湾構造物設計事例集 (上巻) (沿岸技術研究センター, 平成 19 年 3 月) に従い、表 3-5 の通り設定する。ジョイント要素の力学特性を図 3-17 に、ジョイント要素の配置を図 3-18 に示す。

表 3-5 ジョイント要素のばね定数

せん断剛性 k_s (kN/m ³)	圧縮剛性 k_n (kN/m ³)
1.0×10^6	1.0×10^6

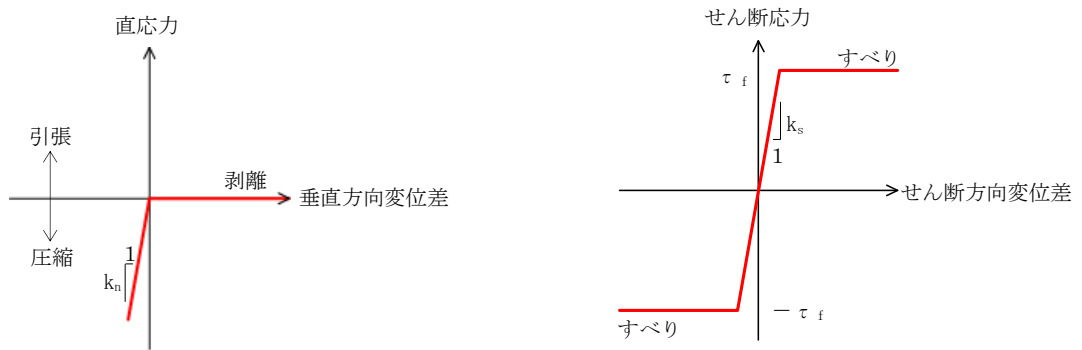


図 3-17 ジョイント要素の力学特性

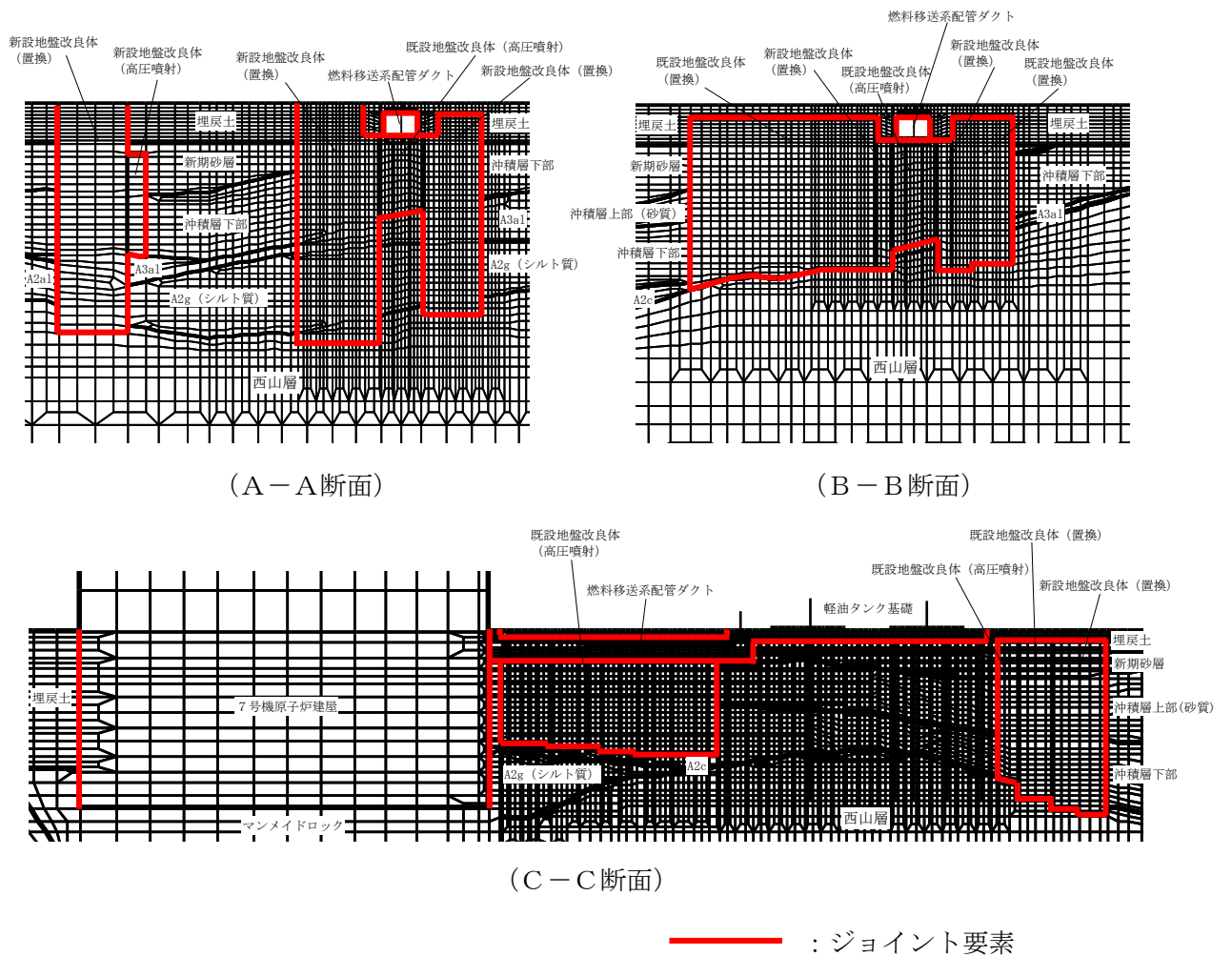


図 3-18 ジョイント要素の配置

3.2.9 非線形ばね要素の設定

燃料移送系配管ダクトの鉄筋コンクリート部は、図 3-19 に示すとおり、2つのブロックによって構成されており、各ブロックの端部及びブロック間には、耐震ジョイント及び緩衝材が設置されている。燃料移送系配管ダクト縦断方向の解析断面となるC-C断面では、この緩衝材の影響を適切に考慮するため、各ブロックの接合面に非線形ばね要素を設定し、地震時の接合面における圧縮力の伝達を考慮する。

非線形ばね要素は、各ブロックの接合面で法線方向に対して設定する。非線形ばね要素の圧縮剛性を表 3-6 に示す。圧縮剛性の第一勾配は緩衝材の剛性から設定し、緩衝材厚さ(5cmまたは2cm)までの変位に対して適用する。第二勾配は、数値解析上不安定な挙動を起こさない程度に十分大きい値として設定し、緩衝材の厚さ以上の変位が生じた場合、衝突を考慮する。非線形ばね要素の力学特性を図 3-20 に、非線形ばね要素の配置を図 3-21 に示す。

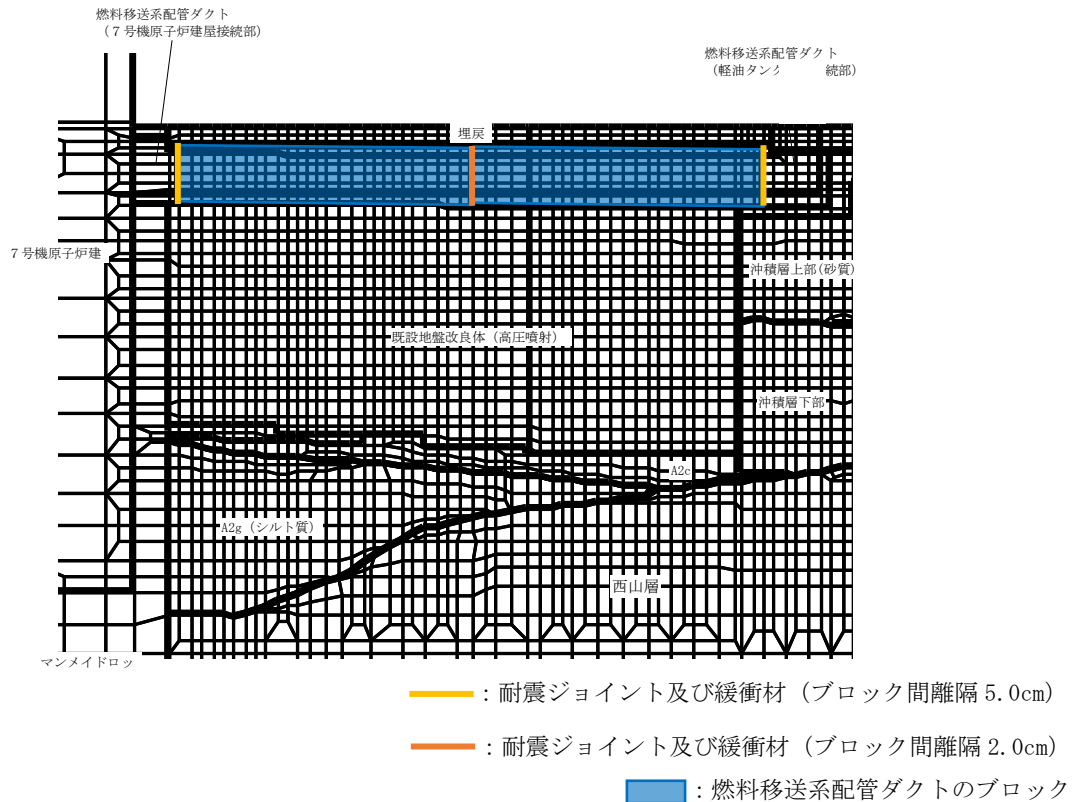


図 3-19 燃料移送系配管ダクトを構成するブロック

表 3-6 非線形ばね要素のばね定数

緩衝材	圧縮剛性 (第1勾配) k_{n1} (kN/m^3)	圧縮剛性 (第2勾配) k_{n2} (kN/m^3)
ブロック間離隔 5.0cm	$1.4 \times 10^4^*$	1.0×10^6
ブロック間離隔 2.0cm	$3.4 \times 10^4^*$	1.0×10^6

注記* : 緩衝材の剛性から設定

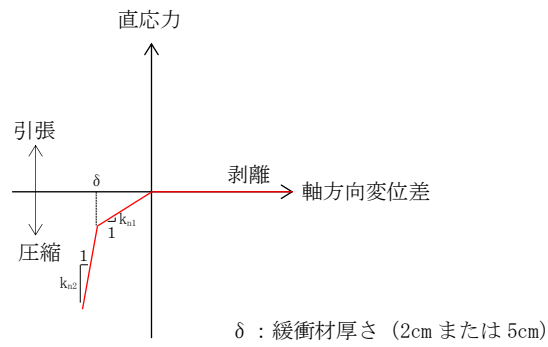


図 3-20 非線形ばね要素の力学特性



(C-C断面)

— : 非線形ばね要素

図 3-21 非線形ばね要素の配置

3.2.10 杭―地盤相互作用ばねの設定

地盤と杭の接合面に杭―地盤相互作用ばねを設けることにより、地震時の地盤と杭の接合面における相互作用の3次元効果を2次元モデルで適切に考慮する。

杭―地盤相互作用ばねの杭軸方向については、地盤と杭の接合面におけるせん断抵抗力以上のせん断荷重が発生した場合、せん断剛性を零とし、すべりを考慮する。図 3-22 に杭―地盤相互作用ばねの力学特性を示す。

せん断強度 τ_f は、次式により設定する。

$$\tau_f = c_B + \sigma' \tan \phi_B$$

ここで、

σ' : 要素間の直応力

c_B : 付着力

ϕ_B : 摩擦角

付着力 c_B 及び摩擦角 ϕ_B は、燃料移送系配管ダクトの杭が鋼管杭であることを踏まえ、鋼材と地盤間の条件であることを考慮し設定する。付着力 c_B は道路橋示方書に基づき、表 3-3 に示す「地盤と構造物」の条件から考慮しないものとする。摩擦角 ϕ_B は、港湾の施設の技術上の基準・同解説（日本港湾協会、平成 19 年 7 月）において、構造物と地盤間の壁面摩擦角を $15 \sim 20^\circ$ とする旨が記載されるとともに、港湾構造物設計事例集（上巻）（沿岸技術研究センター、平成 19 年 3 月）において、鋼材と地盤間の摩擦角を 15° と設定していることから、本解析における摩擦角 ϕ_B は 15° と設定する。

杭―地盤相互作用ばねの杭軸方向のばね定数は、数値解析上不安定な挙動を起こさない程度に十分大きい値として、港湾構造物設計事例集（上巻）（沿岸技術研究センター、平成 19 年 3 月）に従い、表 3-7 のとおり設定する。

また、杭―地盤相互作用ばねの杭軸直角方向のばね定数については、杭径及び杭間隔より設定する*。

杭―地盤相互作用ばねの力学特性を図 3-22 に、杭―地盤相互作用ばねの配置を図 3-23 に示す。

注記* : FLIP 研究会 14 年間の検討結果のまとめ「理論編」(FLIP コンソーシアム)

表 3-7 杭―地盤相互作用ばねのばね定数

	せん断剛性 k_s (kN/m^3)
杭軸方向	1.0×10^6

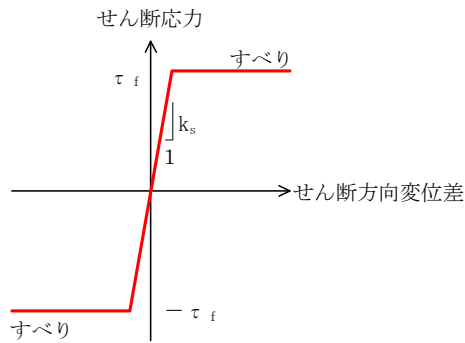
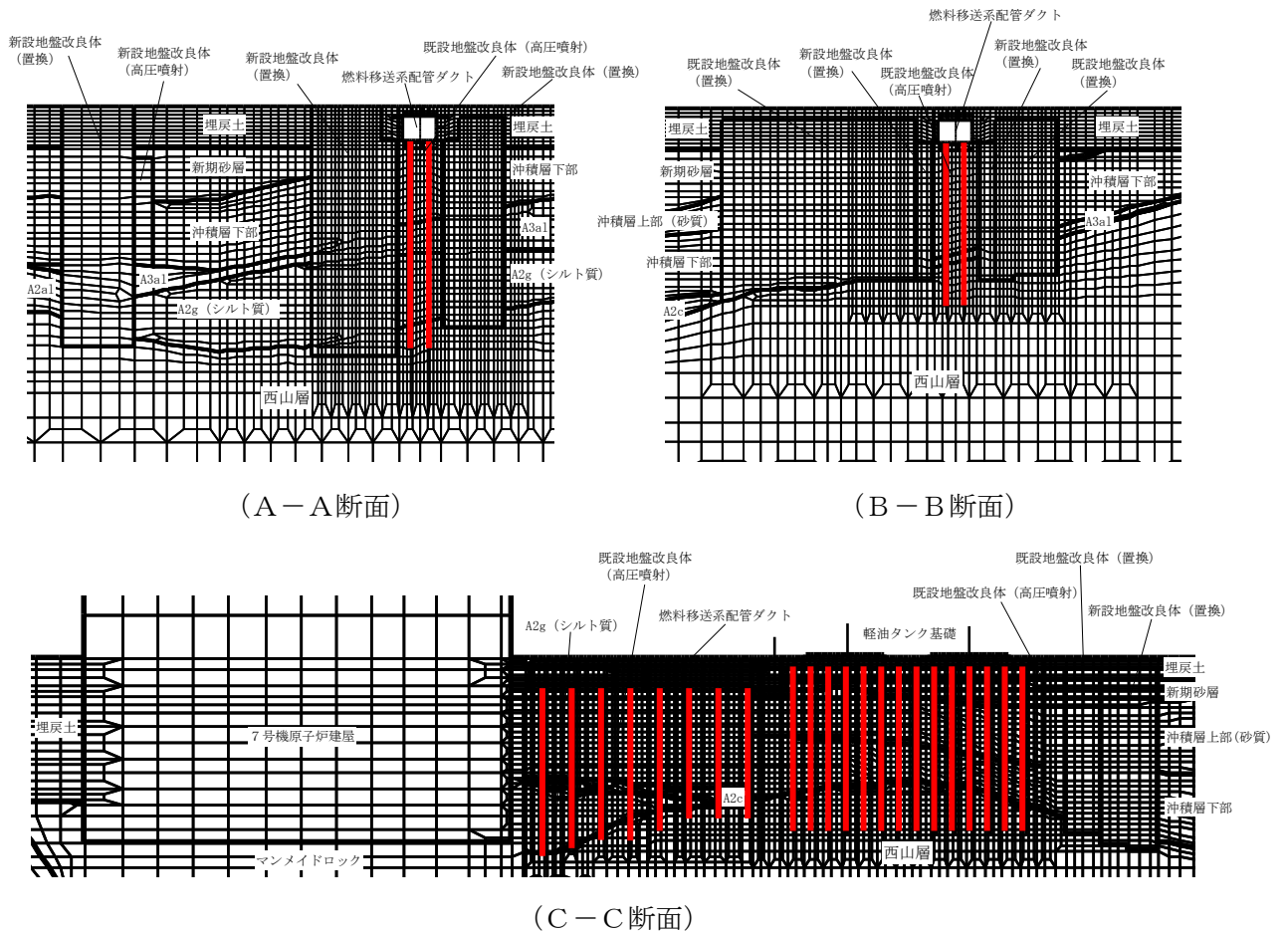


図 3-22 杭-地盤相互作用ばねの力学特性



— : 杭-地盤相互作用ばね要素

図 3-23 杭-地盤相互作用ばねの配置

3.2.11 杭先端ばねの設定

杭軸方向の荷重変位関係は、杭の鉛直載荷試験の結果等から図 3-24に示すとおり、双曲線型の関係を示すことが知られている。本解析においても実現象を精緻にモデル化する観点から、杭先端と地盤間にHirayama(1990)*による杭先端抵抗と杭先端変位の双曲線型の関係を杭軸方向のばねの抵抗力と変位差関係に置き換えたばねを設けることにより、杭先端における地盤と杭の相互作用を適切に考慮する。このばねは、圧縮側の関係を取り扱うため、杭先端と地盤間の変位差が引張り状態となった場合、剛性及び応力を零とし、剥離を考慮する。

杭先端ばねの杭軸方向のばねの抵抗力と変位差関係は、次式および図 3-25に示す双曲線型の式で設定される。

Hirayama(1990)では、N値が30または50程度の硬質な砂層地盤における橋梁建設時の杭の鉛直載荷試験結果に対して、当杭先端ばねを用いた荷重変位関係の再現解析を実施し、適用性を検証している。また、当杭先端ばねは「一般社団法人F L I Pコンソーシアム平成25年度研究成果報告書（F L I Pコンソーシアム，2013年）」にて、解析コードF L I Pに対して適用性を確認している。報告書では、砂層に対する杭の押込み実験結果の杭先端抵抗－杭先端変位関係を、当杭先端ばねが概ね再現可能であることを確認している。また、パラメータスタディとして支持層の相対密度を変化させた解析を実施し、当杭先端ばねの適用性を検証している。検証の結果、支持層に液状化等による剛性低下が生じず、所定の支持力を発揮できる場合、当杭先端ばねは解析コードF L I Pに対し適用性を有することが確認されている。

燃料移送系配管ダクトについては、杭の支持層は西山層であり、地震時においても液状化が生じず、所定の杭先端支持力が期待できる岩盤であることから、当杭先端ばねを適用できると判断した。

注記* : Load-settlement analysis for bored piles using hyperbolic transfer functions (Soils and Foundations, Vol. 30, No. 1, pp55-64, H.Hirayama, 1990)

$$q = z_e / (a_e + b_e \cdot z_e)$$

q : 杭先端抵抗

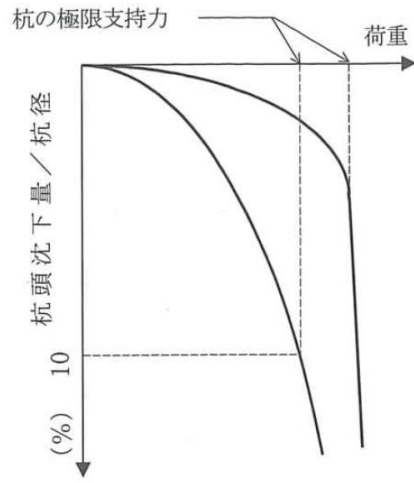
z_e : 杭先端変位

a_e : 基準変位を杭先端における極限支持力で除した値 (=0.25D_e/q_u l t)

b_e : 杭先端における極限支持力の逆数 (=1/q_u l t)

D_e : 杭径

q_u l t : 杭先端における極限支持力



(道路橋示方書より引用)

図 3-24 杭の鉛直載荷試験における一般的な荷重-変位関係

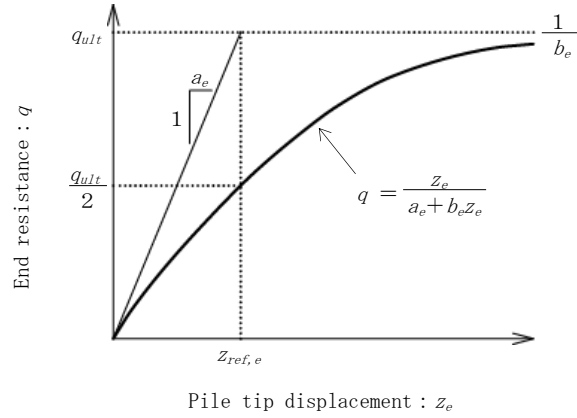


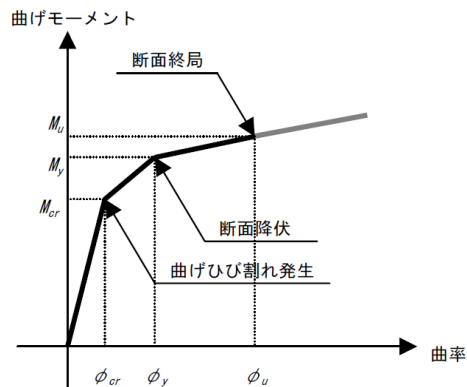
図 3-25 杭先端ばねの杭軸方向のばねの抵抗力と変位差関係 (Hirayama (1990))

3.2.12 材料特性の設定

A-A断面及びB-B断面の鉄筋コンクリート部材及び鋼管杭は、非線形はり要素を用いてモデル化する。非線形特性の設定においては、コンクリート、鉄筋及び鋼管杭について、それぞれの非線形性を考慮する。材料の非線形特性は、コンクリート標準示方書に基づき設定する。

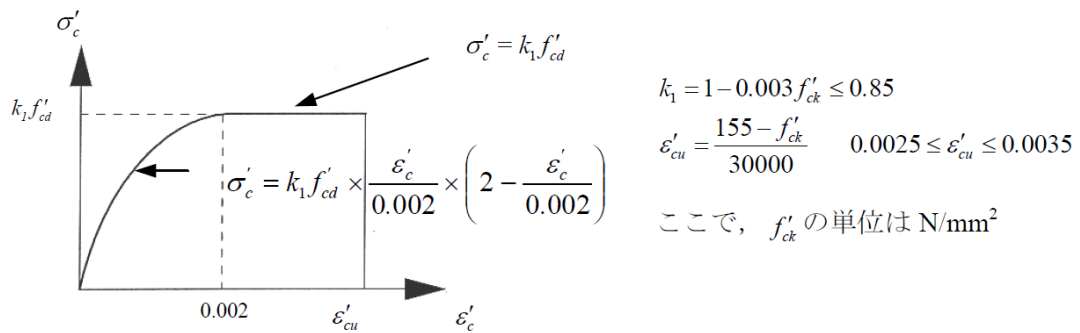
図 3-26 に鉄筋コンクリート部材におけるM- ϕ 関係のトリリニアモデルによる骨格曲線を示す。また、コンクリート及び鉄筋の応力-ひずみ曲線を図 3-27 及び図 3-28 に示す。トリリニアモデルによる骨格曲線と履歴特性の関係を図 3-29 に示す。履歴特性には、修正武田モデルを適用する。

有効応力解析コード「FLIP ver.7.4.1」における当該非線形特性では、地震時における部材の軸力は一定とされることから、常時応力解析により各部材に発生する軸力にて当該非線形特性を設定する。軸力変動が部材の非線形性に及ぼす影響については、(参考資料 1) に示す。



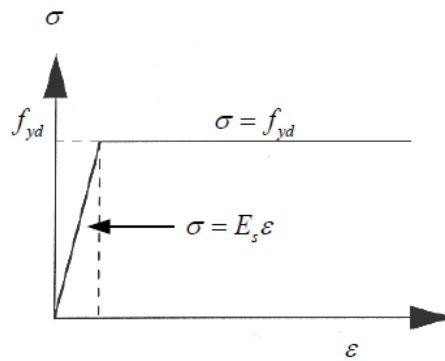
(土木学会マニュアルより引用)

図 3-26 M- ϕ 関係のトリリニアモデル (鉄筋コンクリート部材)



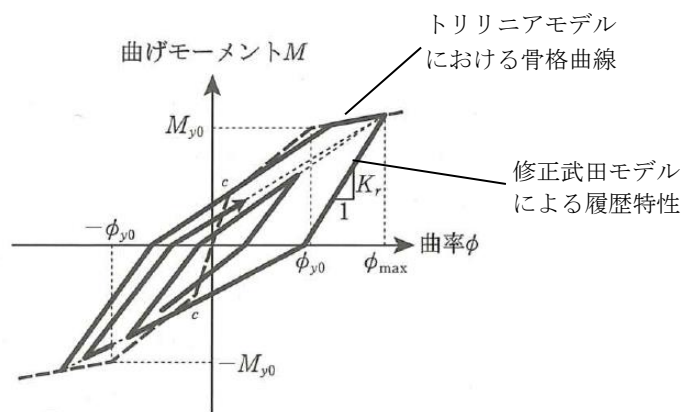
(土木学会マニュアルより引用)

図 3-27 コンクリートの応力-ひずみ曲線



(土木学会マニュアルより引用)

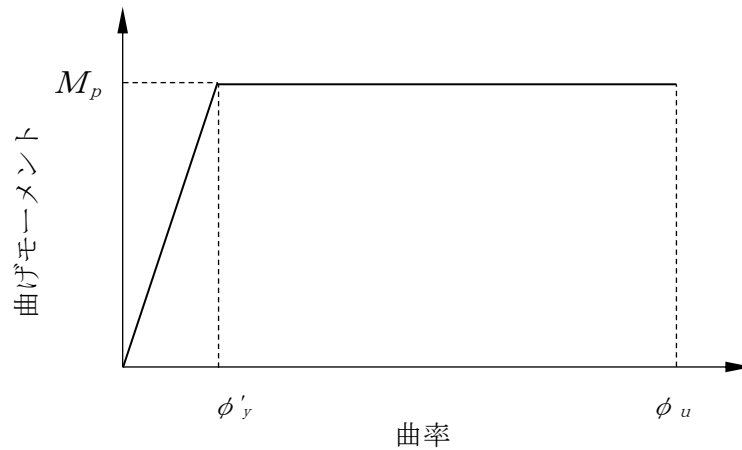
図 3-28 鉄筋の応力-ひずみ曲線



(道路橋示方書 (V耐震設計編)・同解説 (平成 14 年 3 月) に一部加筆)

図 3-29 鉄筋コンクリート部材の履歴特性

図 3-30 に、鋼管杭におけるM- ϕ 関係のバイリニアモデルを示す。また、鋼管杭の応力-ひずみ関係を図 3-31 に示す。なお、解析コードFLIPにおいては、鋼管杭の軸力変動に応じて非線形特性を自動的に設定し、応答を算定している。

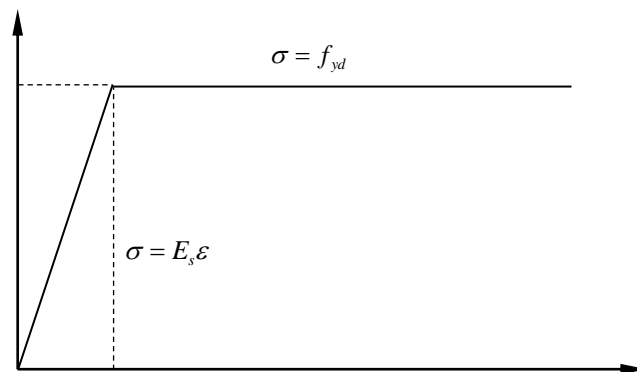


M_p : 終局曲げ強度 (全塑性モーメント)

ϕ'_y : 全塑性モーメントに至る時の曲率

ϕ_u : 局部座屈が発生する時の曲率

図 3-30 鋼管杭のM- ϕ 関係



f_{yd} : 鋼材の降伏応力

E_s : 鋼材のヤング係数

図 3-31 鋼管杭の応力-ひずみ関係

C-C断面について、鉄筋コンクリート部材は線形平面ひずみ要素を用いてモデル化する。鋼管杭は非線形はり要素を用いてモデル化し、非線形性を考慮する。

地盤は、マルチスプリング要素及び間隙水要素にてモデル化し、地震時の有効応力の変化に応じた非線形せん断応力～せん断ひずみ関係を考慮する。

3.3 減衰定数

減衰定数は、KK7 補足-027-1「資料 1 屋外重要土木構造物の耐震安全性評価について」に基づき設定する。

3.4 荷重の組合せ

耐震評価にて考慮する荷重は、通常運転時の荷重（永久荷重）及び地震荷重を抽出し、それぞれを組み合わせで設定する。地震荷重には、地震時土圧、機器・配管系からの反力による荷重が含まれるものとする。

積雪荷重については、燃料移送系配管ダクトが地中に埋設された構造物であることを考慮すると、構造物に与える影響は軽微であると判断し、地震力と組合せる荷重としては除外した。

なお、燃料移送系配管ダクトは、地中に埋設されている構造物であることから運転時の異常な過度変化時の状態及び設計基準事故時の状態の影響を受けないと考えられるため、当該状態についての組合せは考慮しないものとする。また、重大事故等対処時においても、地中で設計基準事故時の条件を上回るような事象は発生しないため、設計基準事故時の条件を上回る荷重はない。

荷重の組合せを表 3-8 に示す。

地震時に燃料移送系配管ダクトに作用する機器・配管系からの荷重については、機器・配管系を解析モデルに付加質量として与えることで考慮する。

表 3-8 荷重の組合せ

種別		荷重		算定方法
永久 荷重	固定 荷重	躯体自重	○	・設計図書に基づいて、対象構造物の体積に材料の密度を乗じて設定する
		機器・配管自重	○	・機器・配管の重さに基づいて設定する
		土被り荷重	○	・常時応力解析により設定する
		永久上載荷重	—	・地盤表面に恒常的に置かれる構造物はないため考慮しない
	静止土圧		○	・常時応力解析により算定する
	外水圧		○	・地下水位に応じた静水圧として設定する ・地下水の密度を考慮する
	雪荷重		—	・埋設構造物であるため、積雪を考慮しない
偶発荷重 (地震荷重)	水平地震動	○	・基準地震動 S_s 及び弾性設計用地震動 S_d による水平・鉛直同時加振を考慮する ・躯体、機器・配管の慣性力、動土圧を考慮する	
	鉛直地震動	○		

3.4.1 機器・配管荷重

(1) A-A, B-B断面

図 3-32 にA-A断面, B-B断面における機器・配管荷重図を示す。機器・配管荷重は解析の単位奥行き (1m) あたりの付加質量として考慮する。

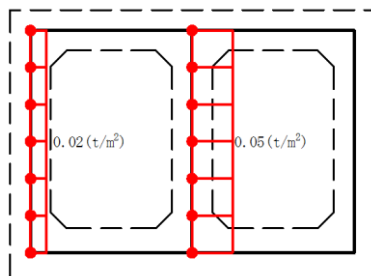


図 3-32 機器・配管荷重図 (A-A断面, B-B断面)

(2) C-C断面

図 3-33 にC-C断面における機器・配管荷重図を示す。機器・配管荷重は側壁・隔壁部材の質量に付加することで考慮する。

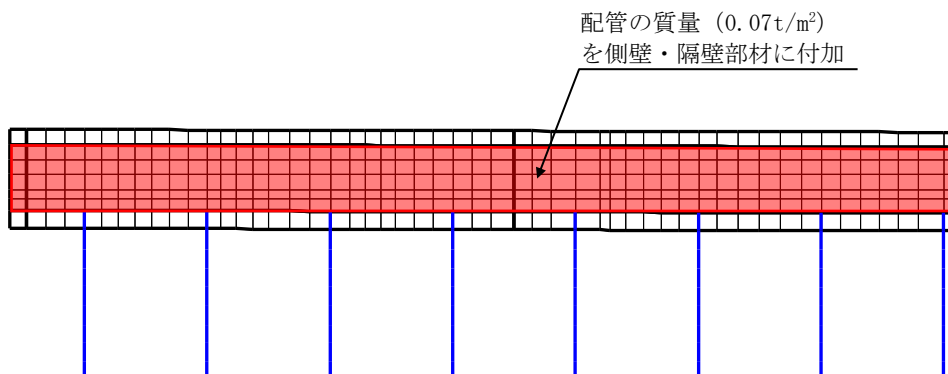


図 3-33 機器・配管荷重図 (C-C断面)

3.4.2 外水圧

地下水位は地表面 (T. M. S. L. 12.0m) として設定する。設定の際は, 地下水の密度として, 1.00g/cm^3 を考慮する。

3.5 地震応答解析の解析ケース

3.5.1 耐震評価における解析ケース

燃料移送系配管ダクトは地中埋設構造物であるため、地震時の応答は地盤の応答に大きく影響される。また、構造物の地震時の変形は、主に上載地盤から頂版に作用するせん断力及び側方地盤から作用する土圧によって生じ、これらの作用力は地盤のせん断弾性係数に大きく依存する。したがって、耐震評価においてばらつきを考慮する物性値は、地盤の初期せん断弾性係数 G_0 とする。

耐震評価における解析ケースを表 3-9 に示す。

地盤剛性のばらつきの影響を考慮するため、地表付近で地下水面をまたぐ地層（埋戻土及び新期砂層）のばらつきは、初期せん断弾性係数と有効拘束圧の関係から初期せん断弾性係数の標準偏差 σ を用いてせん断波速度のばらつきとして設定する。地下水以深の飽和土層（沖積層及び古安田層）のばらつきは、各地層のPS検層の結果から得られるせん断波速度の標準偏差 σ を求め、せん断波速度ばらつきとして設定する（解析ケース②, ③, ⑤）。

地盤の液状化強度特性は、代表性及び網羅性を踏まえた上で保守性を考慮し、液状化強度試験データの最小二乗法による回帰曲線と、その回帰係数の自由度を考慮した不偏分散に基づく標準偏差 σ を用いて、液状化強度特性を (-1σ) にて設定する（解析ケース①, ②, ③）。

また、構造物及び機器・配管系への加速度応答に対する保守的な配慮として、地盤の非液状化の条件を仮定した解析ケースを設定する（解析ケース④, ⑤）。

上記の地盤剛性及び液状化強度特性の設定を組み合わせた解析ケース（①～⑤）を実施することにより、地盤物性のばらつきの影響を網羅的に考慮する。

耐震評価においては、全ての基準地震動 S_s に対して解析ケース①（基本ケース）を実施する。また、解析ケース①において、曲げ軸力照査及びせん断力照査をはじめとした全ての評価項目について、各照査値が最も厳しい（許容限界に対する余裕が最も小さい）地震動を用い、追加解析ケースとして解析ケース②～⑤を実施する。最も厳しい地震動の選定は、照査値 1.0 に対して 2 倍の余裕となる照査値 0.5 以上を相対的に厳しい地震動の選定の目安として実施する。また、上記解析ケースの結果を踏まえ、さらに照査値が大きくなる可能性がある場合は、追加解析を実施する。

追加解析ケースを実施する地震動の選定フローを図 3-34 に示す。

表 3-9 耐震評価における解析ケース

解析ケース		①	②	③	④	⑤	
		基本ケース	地盤物性のばらつき (+1σ) を考慮した解析ケース	地盤物性のばらつき (-1σ) を考慮した解析ケース	非液状化の条件を仮定した解析ケース	地盤物性のばらつき (+1σ) を考慮して非液状化の条件を仮定した解析ケース	
地盤剛性の設定		地盤剛性 (平均値)	地盤剛性 (+1σ)	地盤剛性 (-1σ)	地盤剛性 (平均値)	地盤剛性 (+1σ)	
液状化強度特性の設定		液状化強度特性 (-1σ)	液状化強度特性 (-1σ)	液状化強度特性 (-1σ)	液状化パラメータを非適用	液状化パラメータを非適用	
地震動 (位相)	Ss-1	++*	実施				
		+ -*	実施				
		- +*	実施				
		--*	実施				
	Ss-2		実施				
	Ss-3	++*	実施				
		+ -*	実施				
		- +*	実施				
		--*	実施				
	Ss-4		実施				
	Ss-5		実施				
	Ss-6		実施				
Ss-7		実施					
Ss-8	++*	実施					
	- +*	実施					

全ての基準地震動 S_s に対して実施する①の解析ケース (基本ケース) において、せん断力照査及び曲げ軸力照査をはじめとした全ての照査項目について、各照査値が最も厳しい (許容限界に対する余裕が最も小さい) 地震動を用い、②~⑤より追加解析ケースを実施する。また、上記解析ケースの結果を踏まえ、さらに照査値が大きくなる可能性がある場合は、追加解析を実施する。

注記* : 表中の符号+, -は地震動の位相 (水平, 鉛直) を示す。

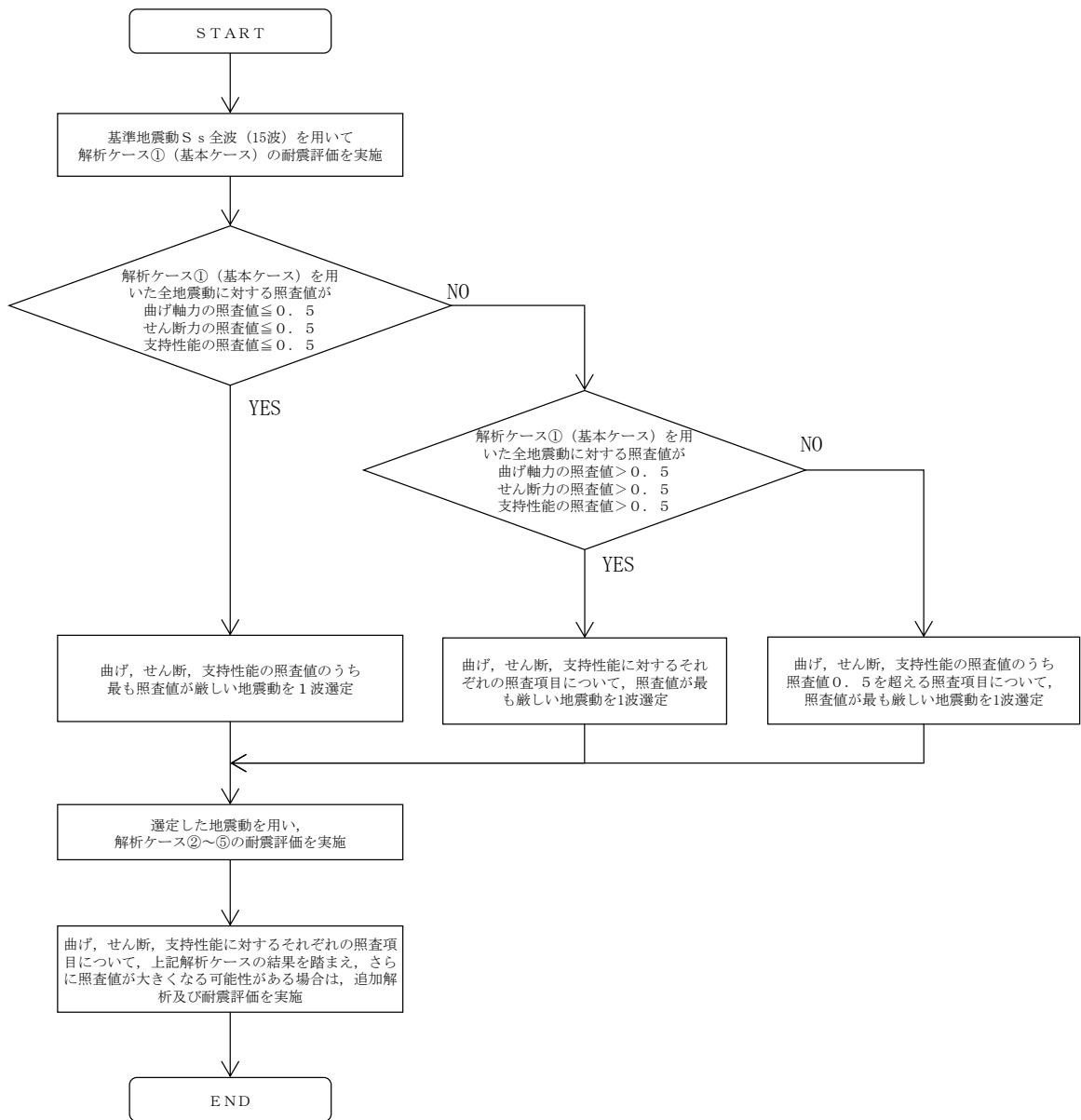


図 3-34 追加解析ケースを実施する地震動の選定フロー

3.5.2 機器・配管系に対する応答加速度及び応答変位抽出のための解析ケース

機器・配管系に対する応答加速度及び応答変位の抽出における解析ケースを表 3-10 に示す。

全ての基準地震動 S_s 及び弾性設計用地震動 S_d に対して、解析ケース③、④、⑤を実施する。機器・配管系に対する応答加速度及び応答変位抽出の基本ケースである解析ケース④に対し、応答加速度については、最も地盤が軟らかい条件となる解析ケース③及び最も地盤が固い条件となる解析ケース⑤を実施することで、地盤剛性のばらつき及び液状化の有無を網羅的に考慮する。

応答変位については、最も地盤が軟らかい条件となる解析ケース③を含んでいることから、変位を保守的に見込むことができる。

表 3-10 機器・配管系に対する応答加速度及び応答変位抽出のための解析ケース

解析ケース		③	④	⑤	
		地盤物性のばらつき (-1σ) を考慮した解析ケース	非液状化の条件を仮定した解析ケース	地盤物性のばらつき (+1σ) を考慮して非液状化の条件を仮定した解析ケース	
地盤剛性の設定		地盤剛性 (-1σ)	地盤剛性 (平均値)	地盤剛性 (+1σ)	
液状化強度特性の設定		液状化強度特性 (-1σ)	液状化パラメータを非適用	液状化パラメータを非適用	
地震動 (位相)	S _s -1 S _d -1	++*	実施	実施	実施
		+ - *	実施	実施	実施
		- + *	実施	実施	実施
		--*	実施	実施	実施
	S _s -2 S _d -2		実施	実施	実施
	S _s -3 S _d -3	++*	実施	実施	実施
		+ - *	実施	実施	実施
		- + *	実施	実施	実施
		--*	実施	実施	実施
	S _s -4 S _d -4		実施	実施	実施
	S _s -5 S _d -5		実施	実施	実施
	S _s -6 S _d -6		実施	実施	実施
	S _s -7 S _d -7		実施	実施	実施
	S _s -8 S _d -8	++*	実施	実施	実施
		- + *	実施	実施	実施

注記* : 表中の符号+, -は地震動の位相 (水平, 鉛直) を示す。

4. 評価内容

4.1 入力地震動の設定

地震応答解析に用いる入力地震動は、解放基盤表面で定義される基準地震動 S_s 又は弾性設計用地震動 S_d を 1次元波動論により地震応答解析モデルの底面位置で評価したものをを用いる。入力地震動の設定においては、V-2-1-3「地盤の支持性能に係る基本方針」に示す地下構造モデルとし、原子炉建屋と同様のものをを用いる。

入力地震動算定の概念図を図 4-1 に、入力地震動の加速度時刻歴波形と加速度応答スペクトルを図 4-2～図 4-53 に示す。入力地震動の算定には解析コード「S L O K Ver. 2.0」を使用する。

なお、基準地震動 S_s 及び弾性設計用地震動 S_d のうち特定の方向性を有しない地震動については、位相を反転させた場合の影響も確認する。

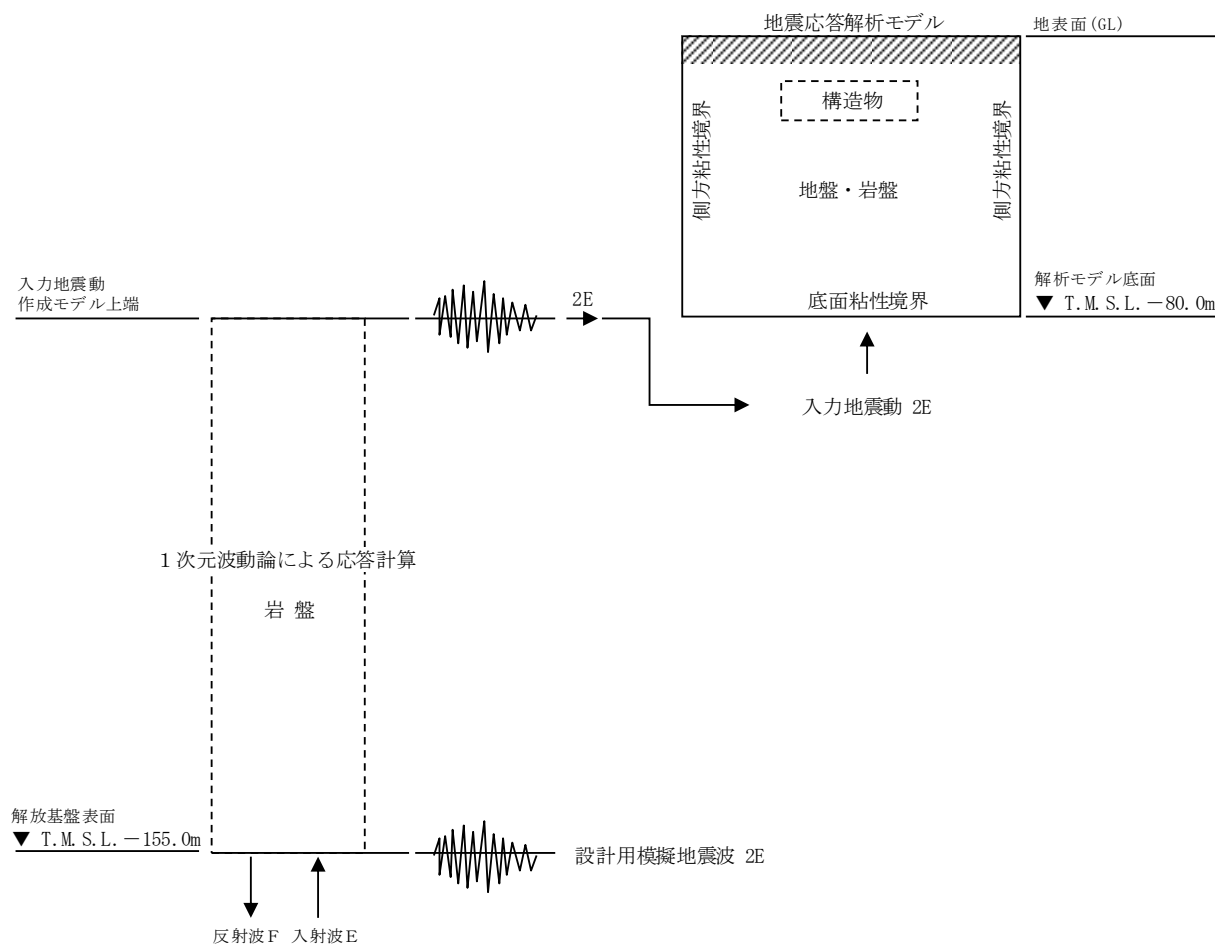
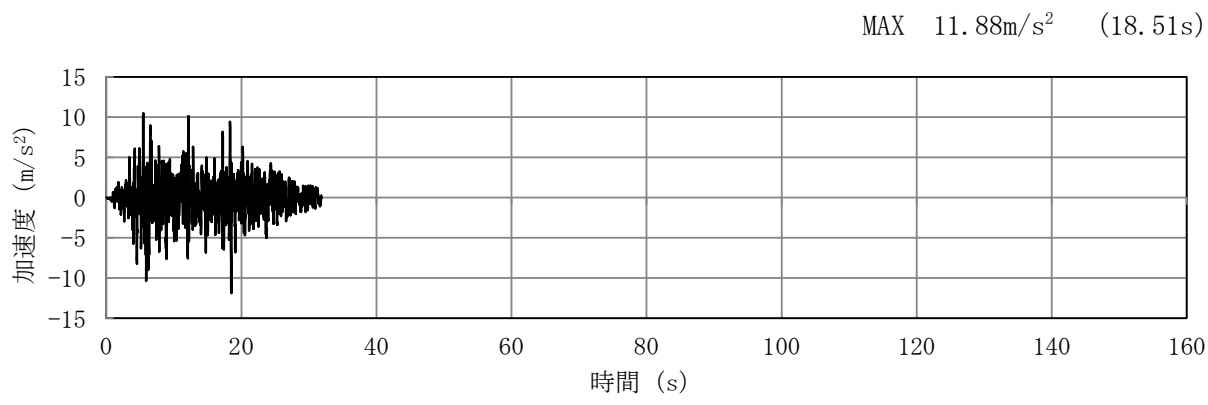
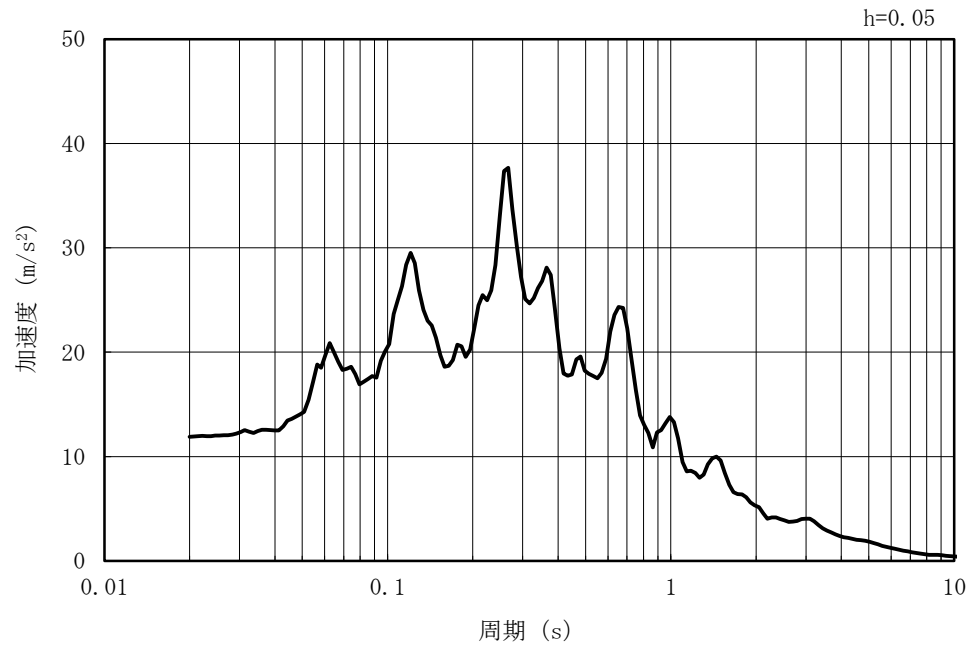


図 4-1 入力地震動算定の概念図



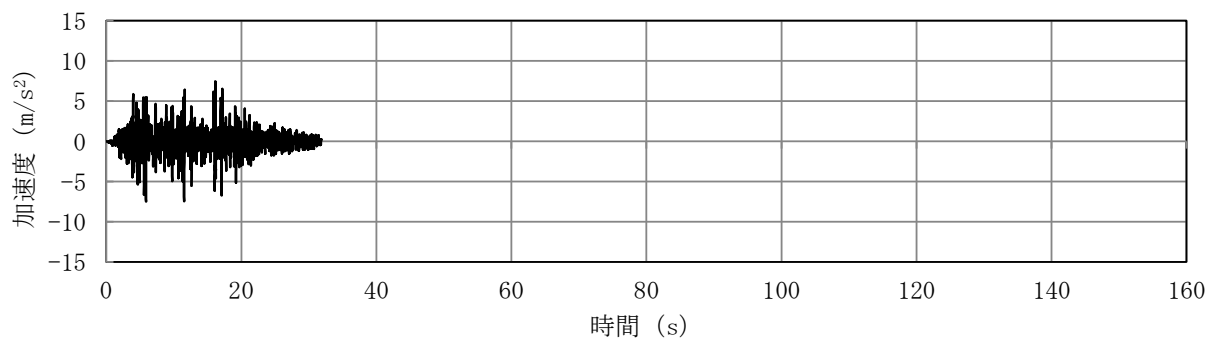
(a) 加速度時刻歴波形



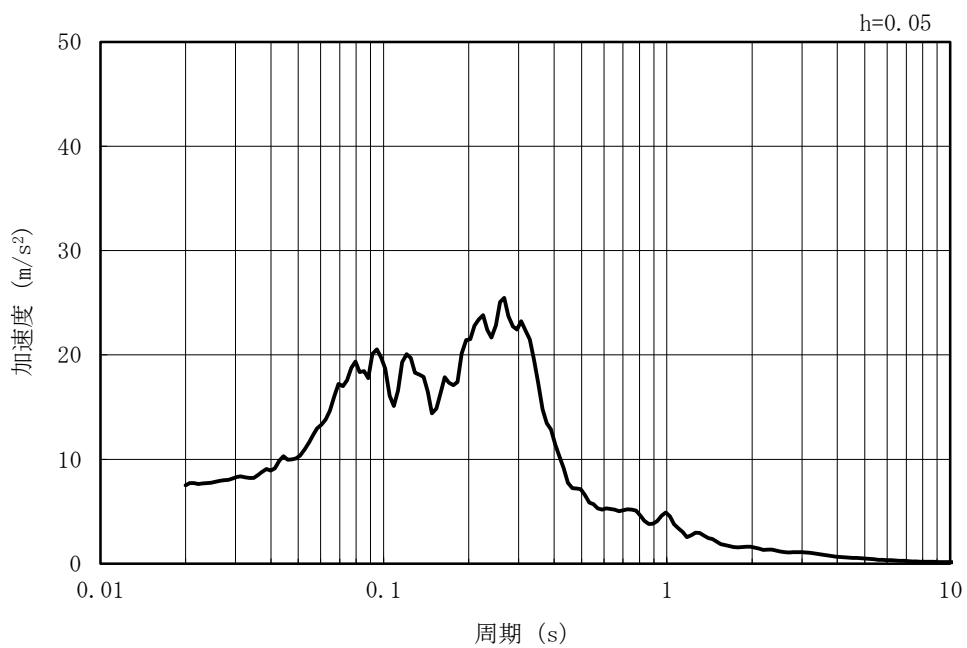
(b) 加速度応答スペクトル

図 4-2 入力地震動の加速度時刻歴波形及び加速度応答スペクトル
(水平方向 : Ss-1)

MAX 7.49m/s² (5.88s)

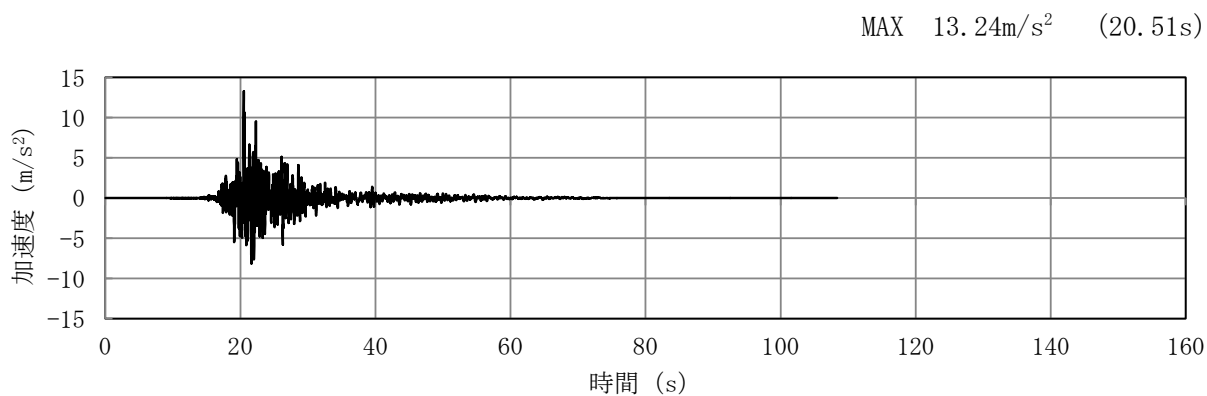


(a) 加速度時刻歴波形

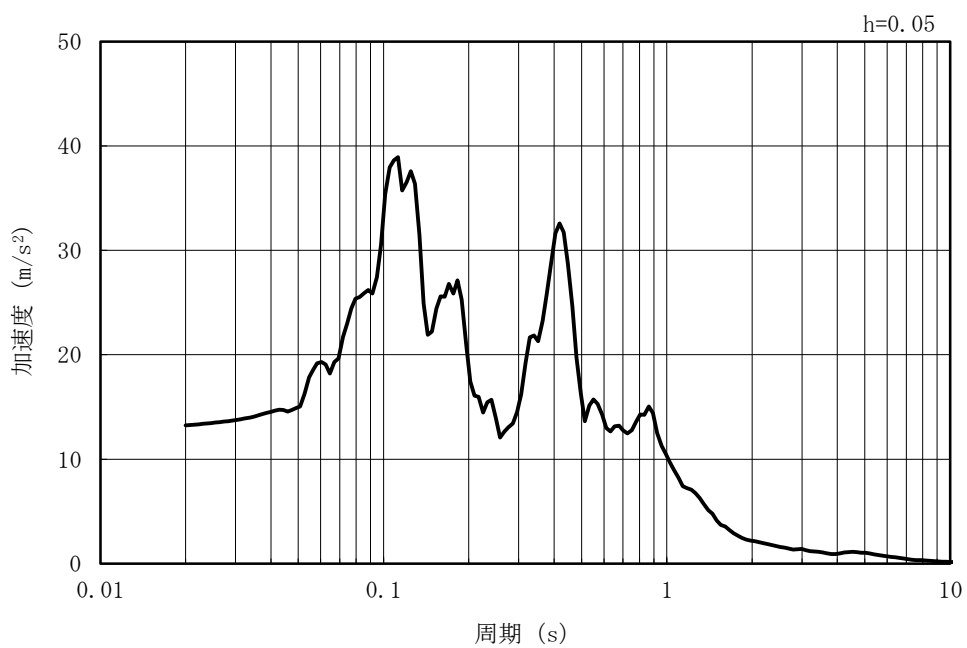


(b) 加速度応答スペクトル

図 4-3 入力地震動の加速度時刻歴波形及び加速度応答スペクトル
(鉛直方向 : Ss-1)

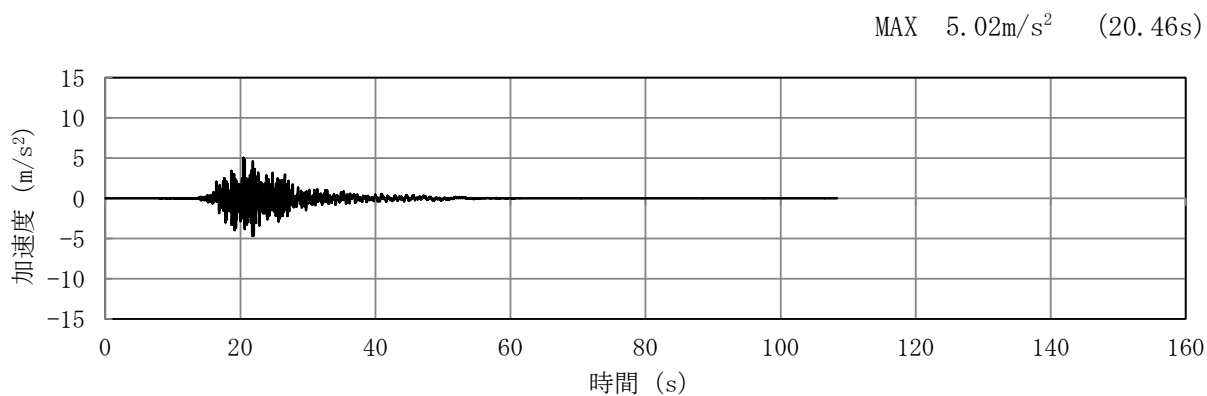


(a) 加速度時刻歴波形

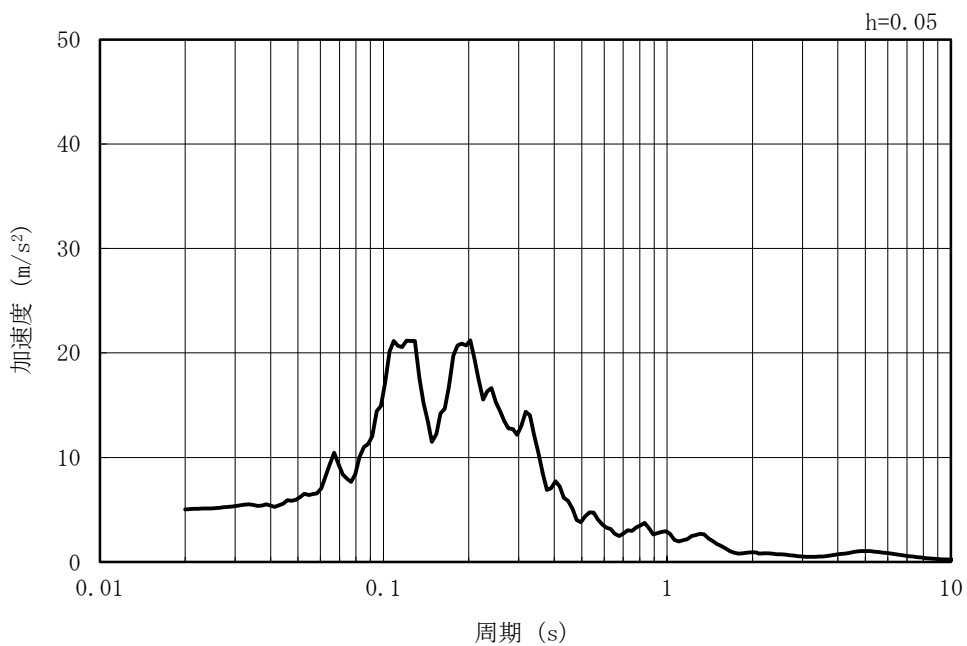


(b) 加速度応答スペクトル

図 4-4 入力地震動の加速度時刻歴波形及び加速度応答スペクトル
(水平方向 : Ss-2EW)

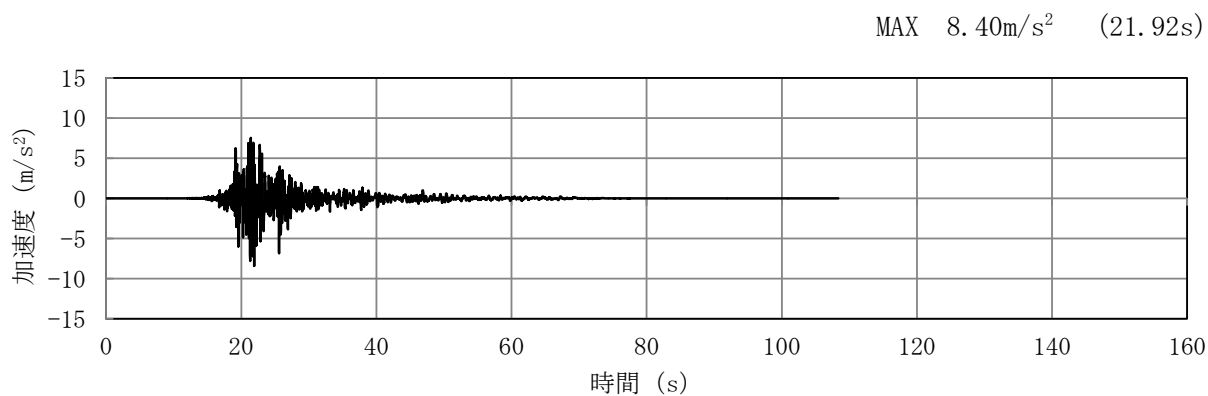


(a) 加速度時刻歴波形

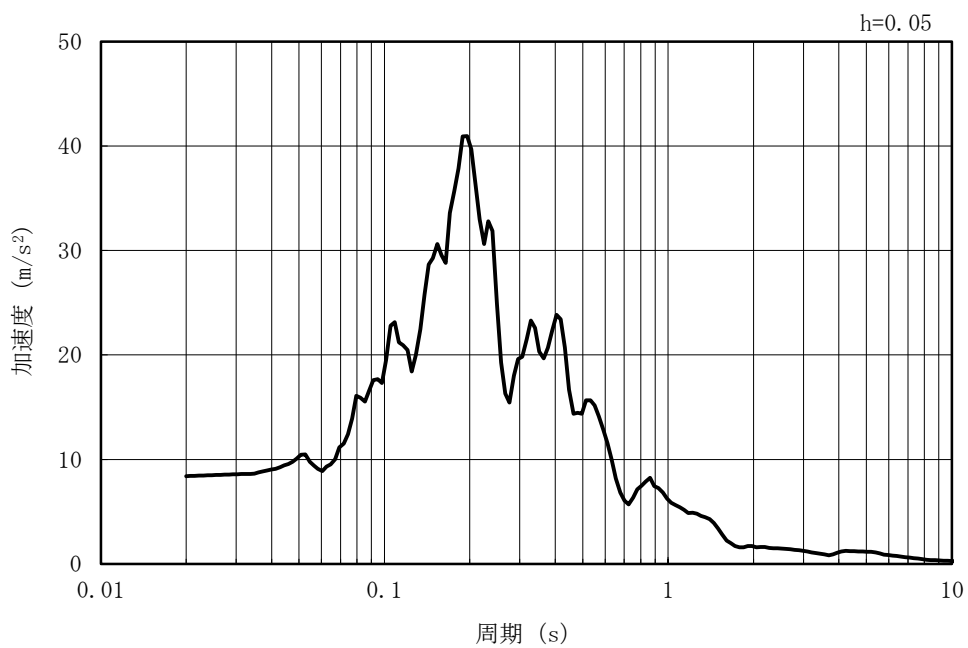


(b) 加速度応答スペクトル

図 4-5 入力地震動の加速度時刻歴波形及び加速度応答スペクトル
(鉛直方向 : Ss-2EW)

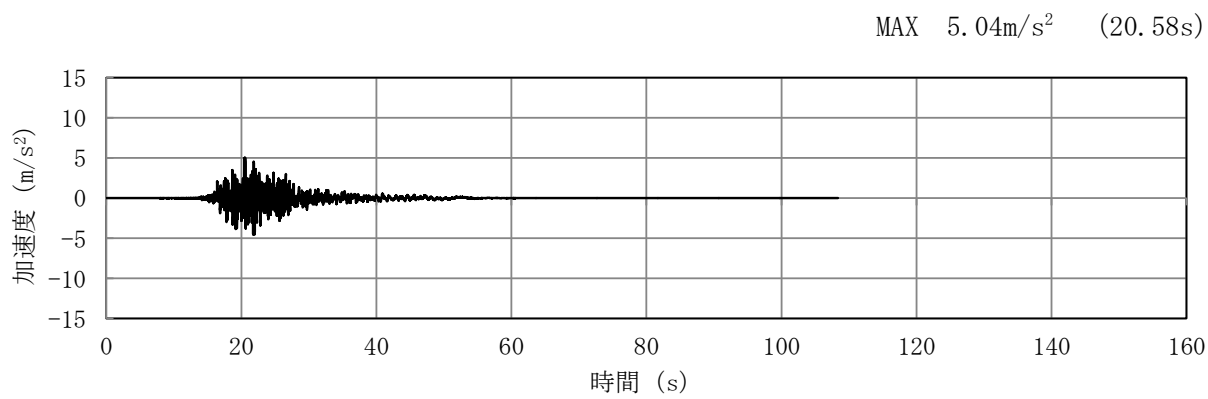


(a) 加速度時刻歴波形

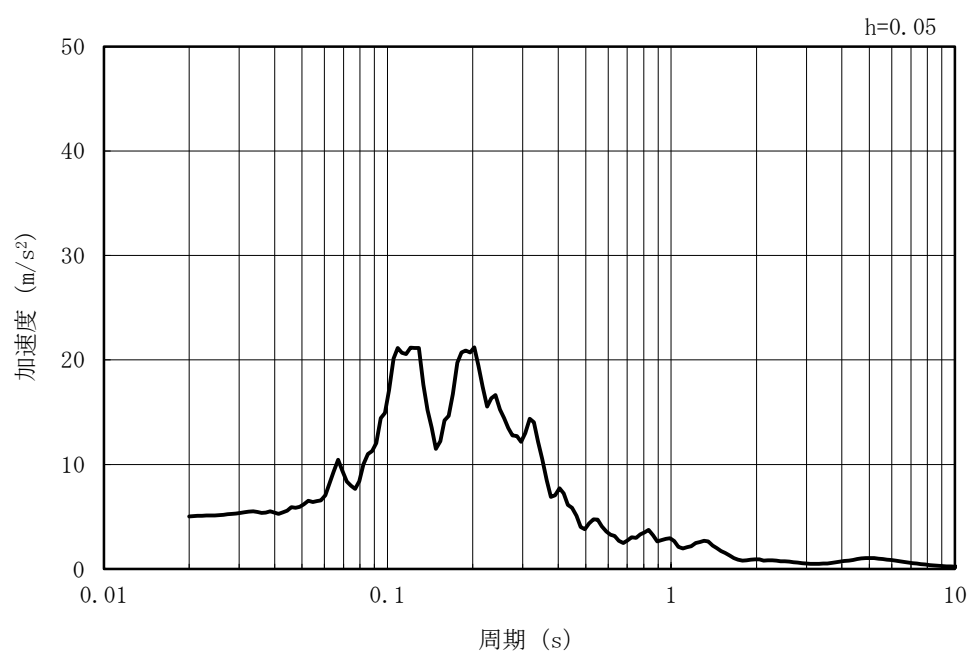


(b) 加速度応答スペクトル

図 4-6 入力地震動の加速度時刻歴波形及び加速度応答スペクトル
(水平方向 : Ss-2NS)



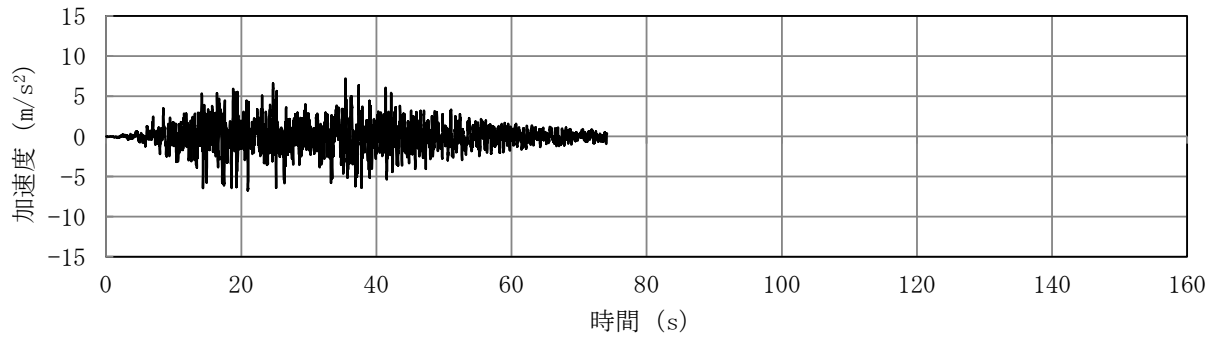
(a) 加速度時刻歴波形



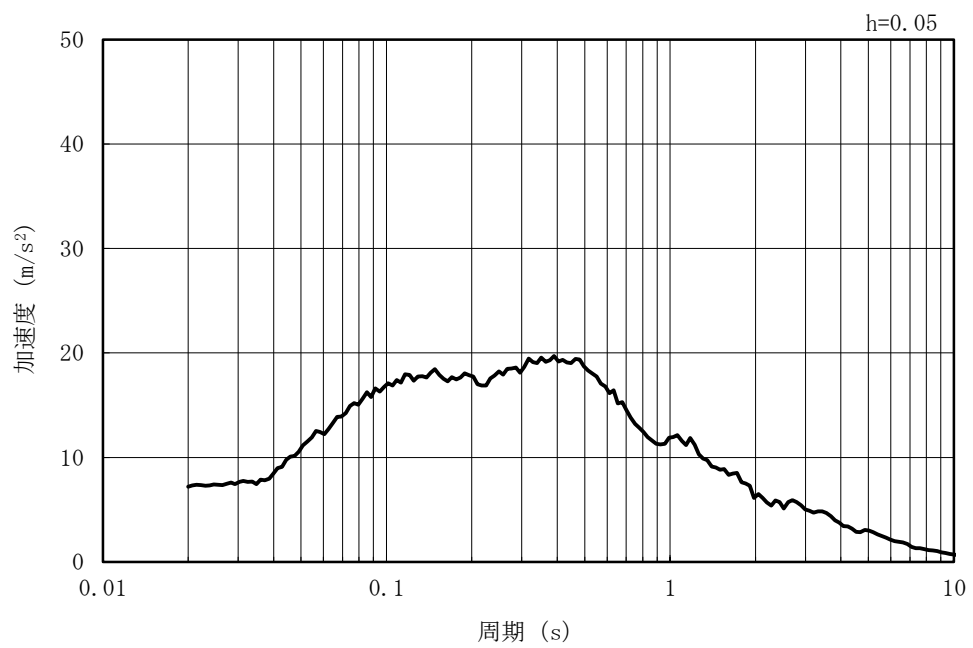
(b) 加速度応答スペクトル

図 4-7 入力地震動の加速度時刻歴波形及び加速度応答スペクトル
(鉛直方向 : Ss-2NS)

MAX 7.18m/s² (35.43s)

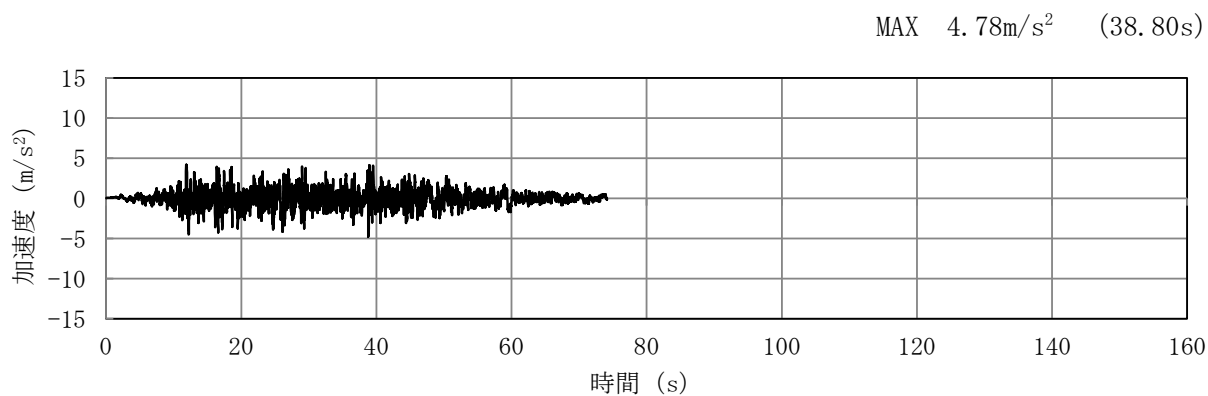


(a) 加速度時刻歴波形

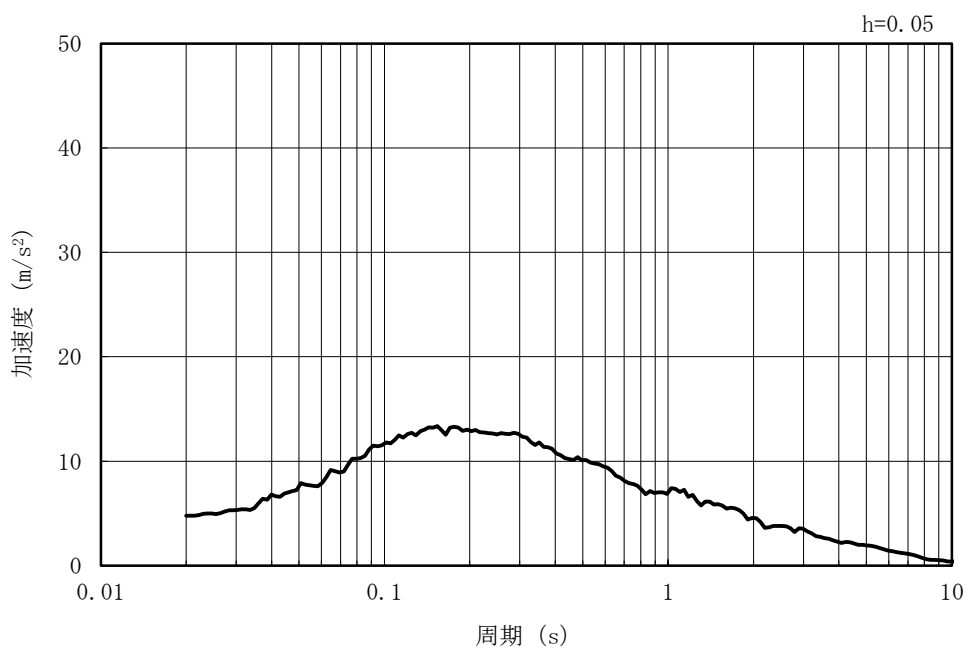


(b) 加速度応答スペクトル

図 4-8 入力地震動の加速度時刻歴波形及び加速度応答スペクトル
(水平方向 : Ss-3)

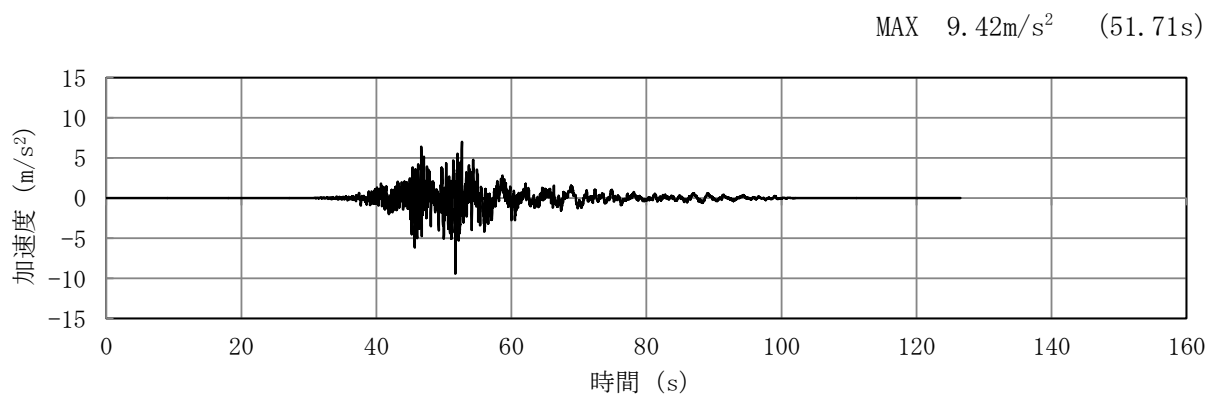


(a) 加速度時刻歴波形

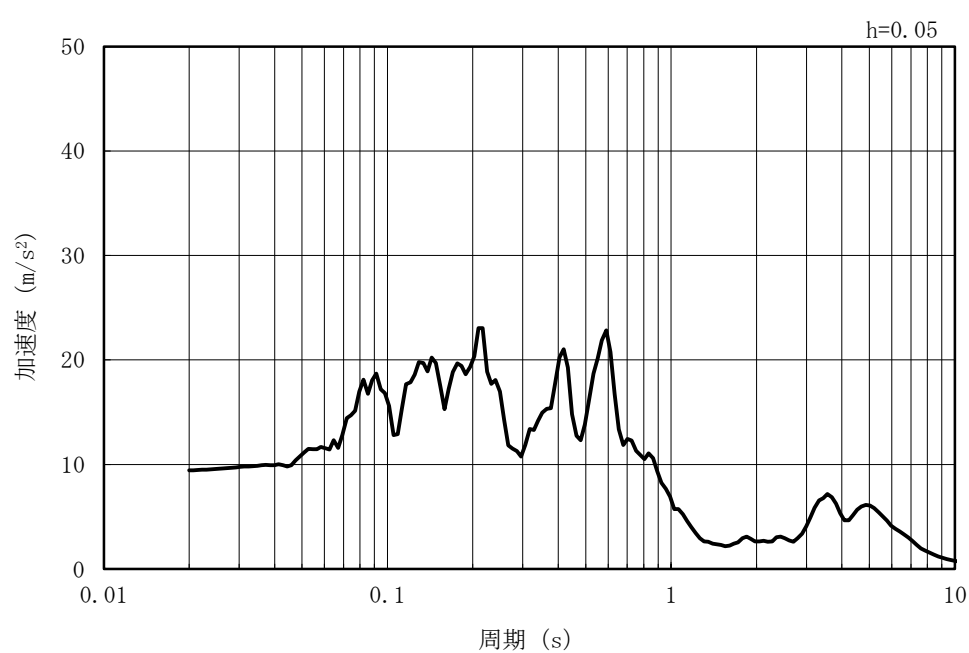


(b) 加速度応答スペクトル

図 4-9 入力地震動の加速度時刻歴波形及び加速度応答スペクトル
(鉛直方向 : Ss-3)

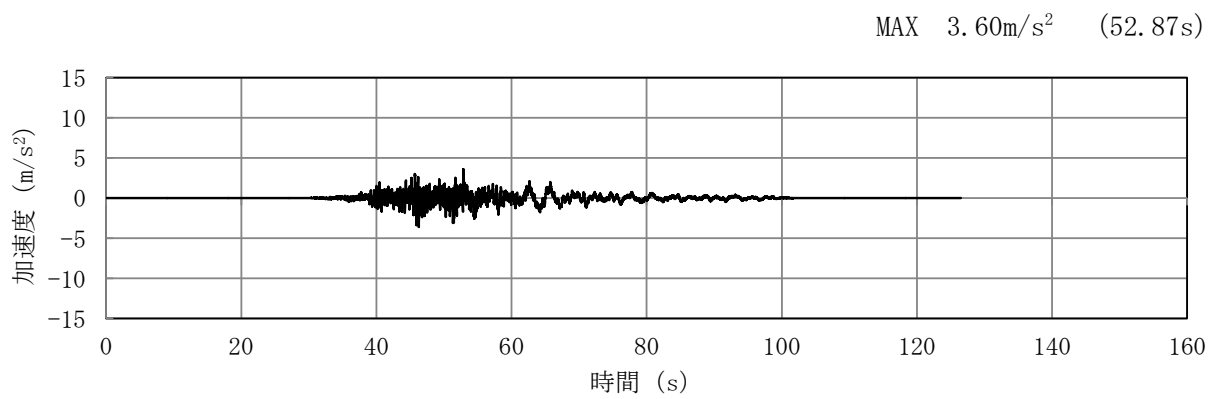


(a) 加速度時刻歴波形

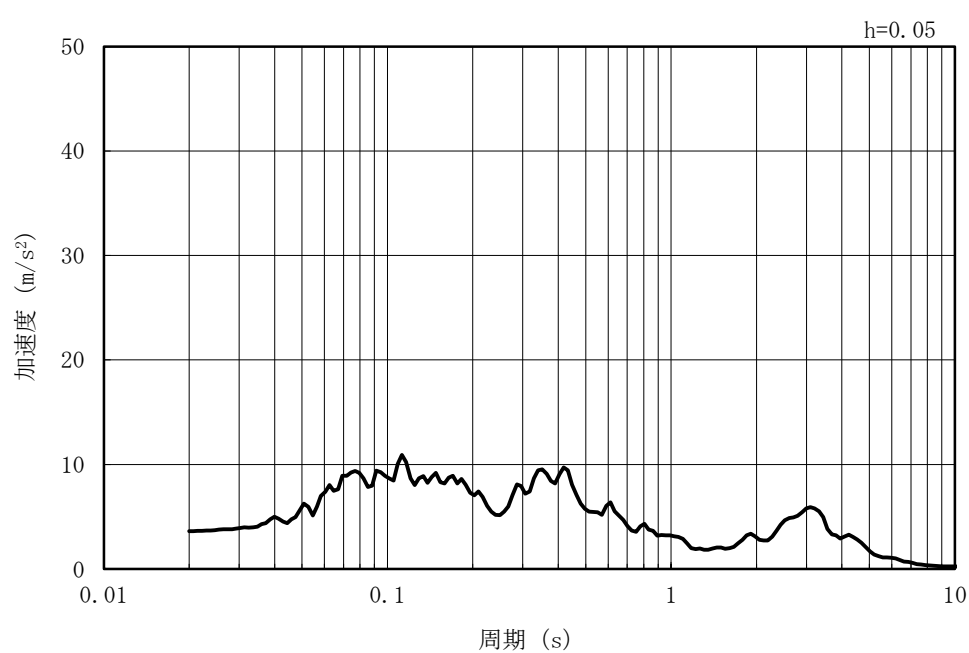


(b) 加速度応答スペクトル

図 4-10 入力地震動の加速度時刻歴波形及び加速度応答スペクトル
(水平方向 : Ss-4EW)

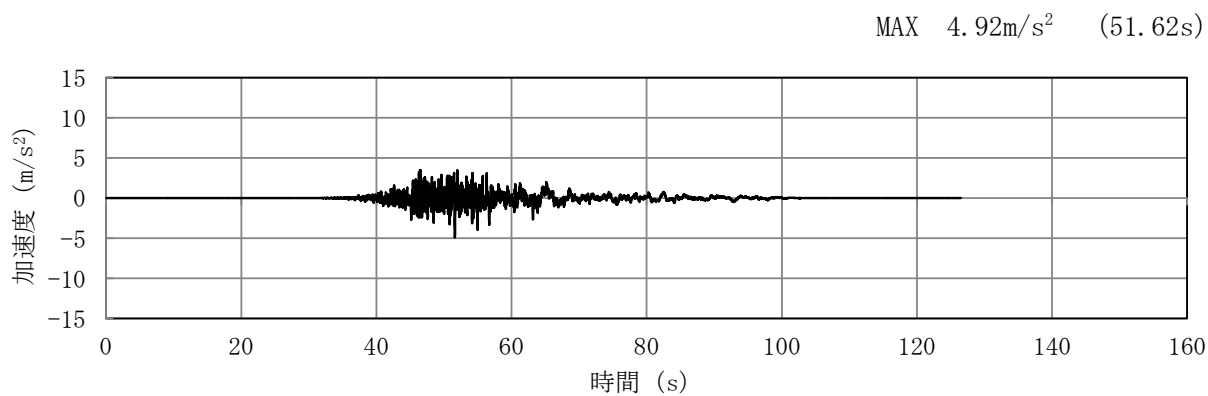


(a) 加速度時刻歴波形

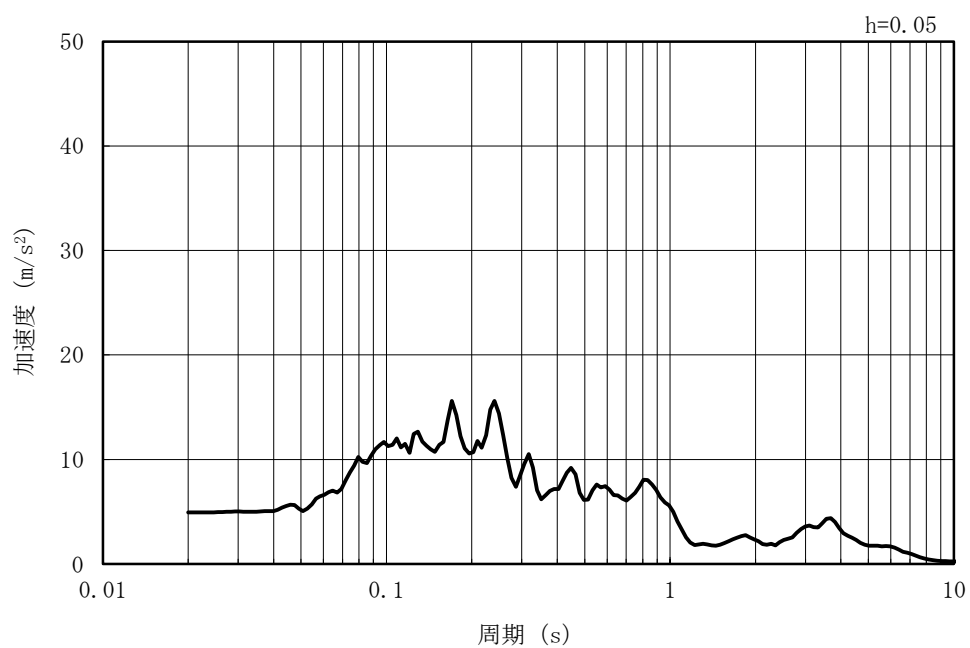


(b) 加速度応答スペクトル

図 4-11 入力地震動の加速度時刻歴波形及び加速度応答スペクトル
(鉛直方向 : Ss-4EW)

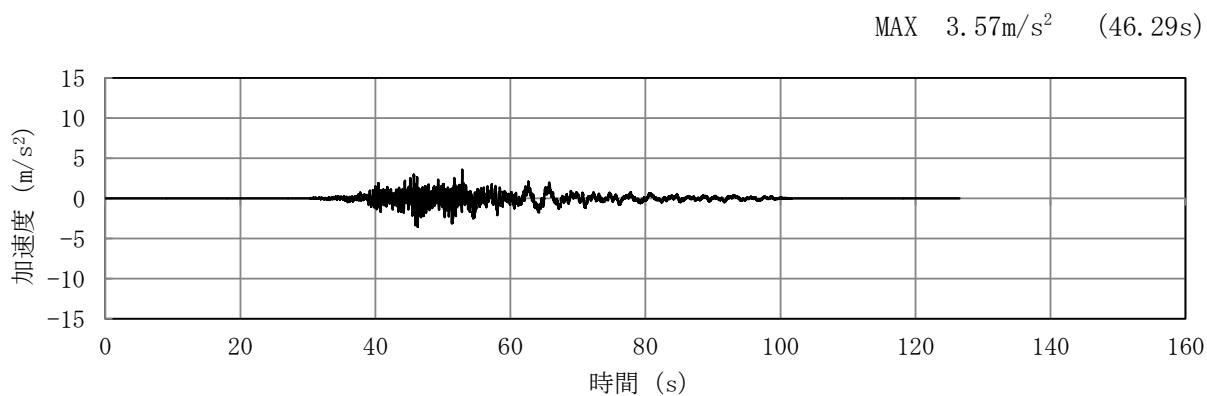


(a) 加速度時刻歴波形

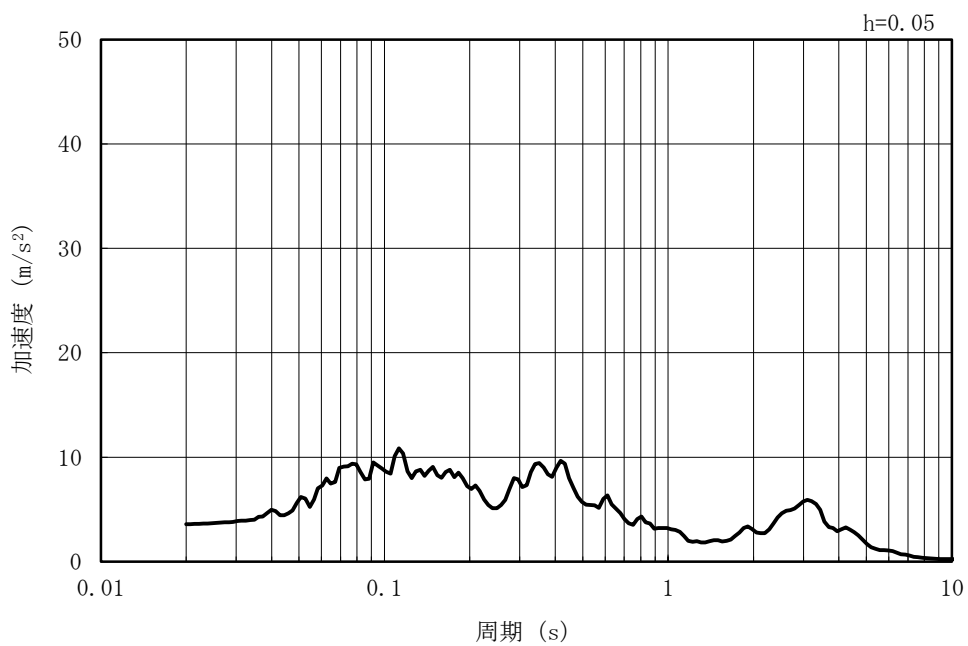


(b) 加速度応答スペクトル

図 4-12 入力地震動の加速度時刻歴波形及び加速度応答スペクトル
(水平方向 : Ss=4NS)

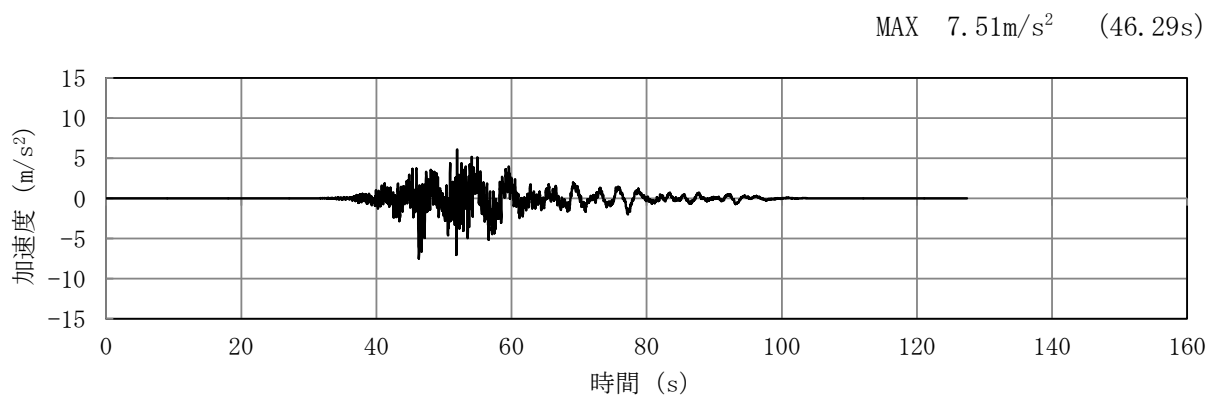


(a) 加速度時刻歴波形

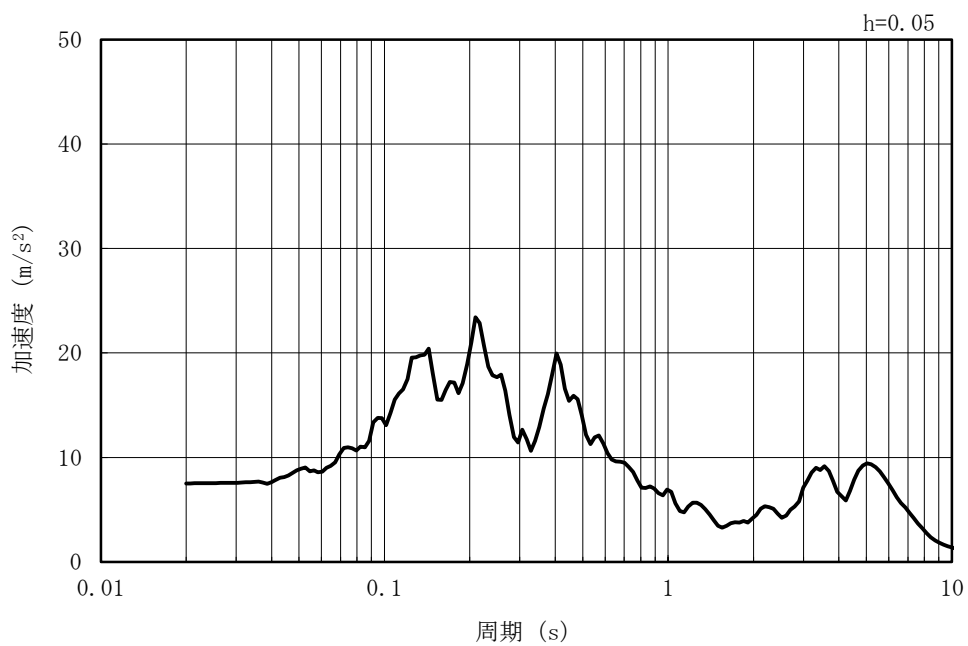


(b) 加速度応答スペクトル

図 4-13 入力地震動の加速度時刻歴波形及び加速度応答スペクトル
(鉛直方向 : Ss-4NS)

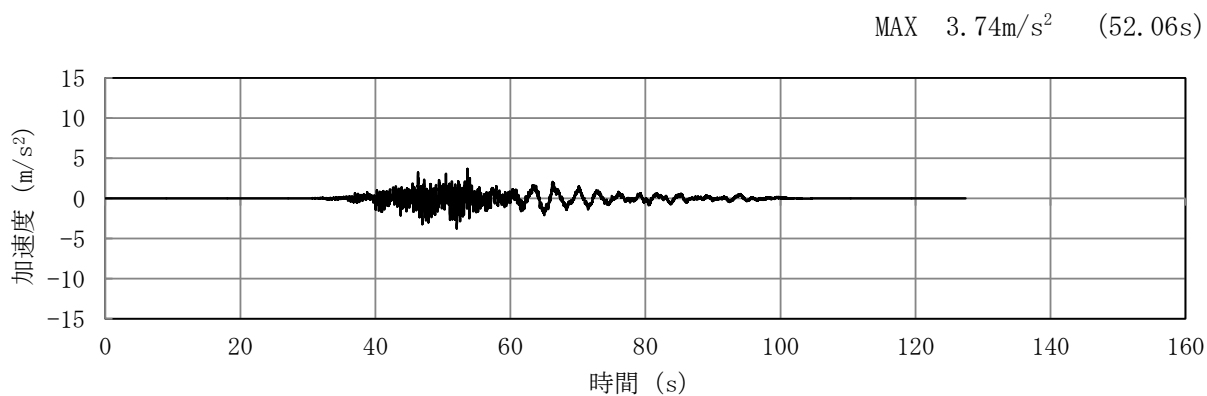


(a) 加速度時刻歴波形

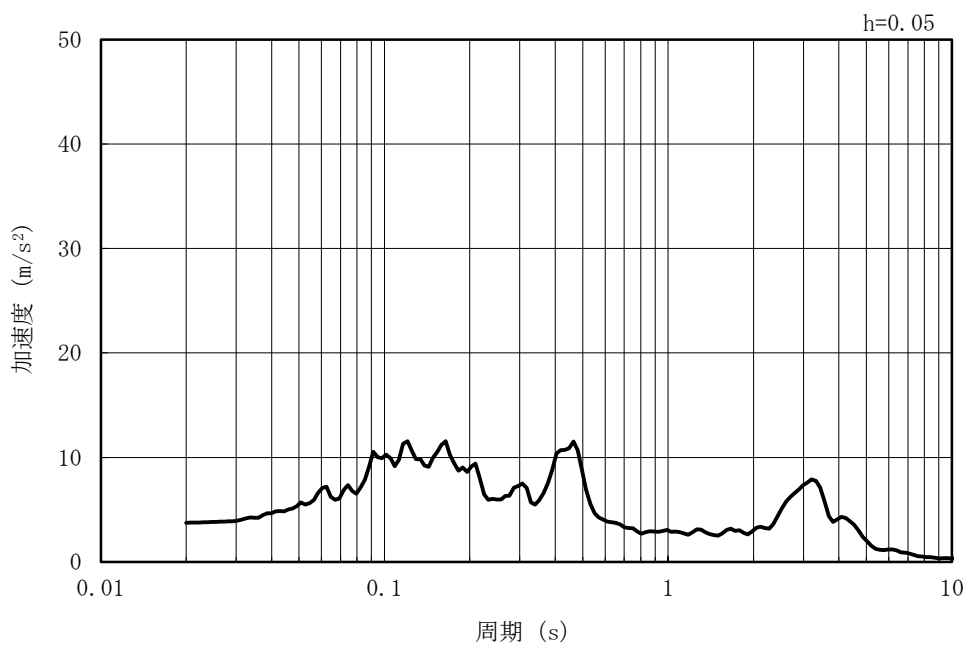


(b) 加速度応答スペクトル

図 4-14 入力地震動の加速度時刻歴波形及び加速度応答スペクトル
(水平方向 : Ss-5EW)

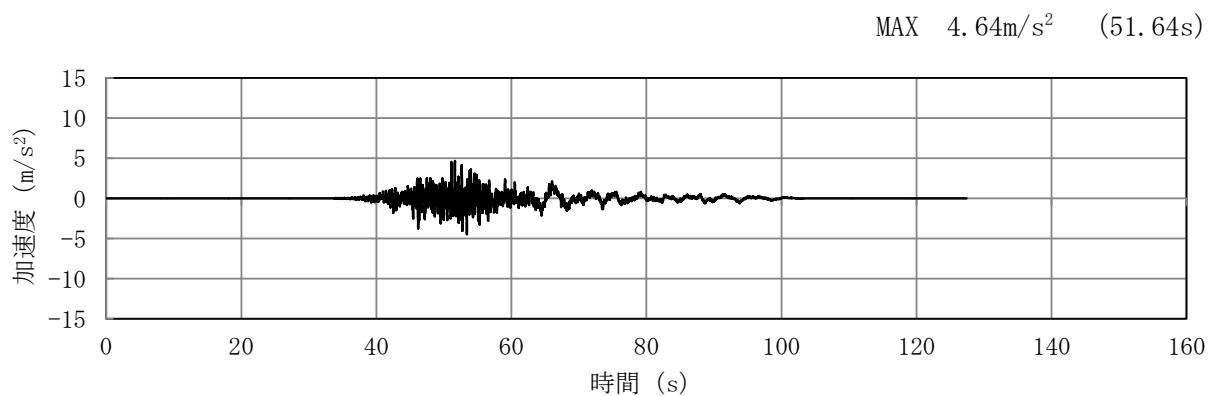


(a) 加速度時刻歴波形

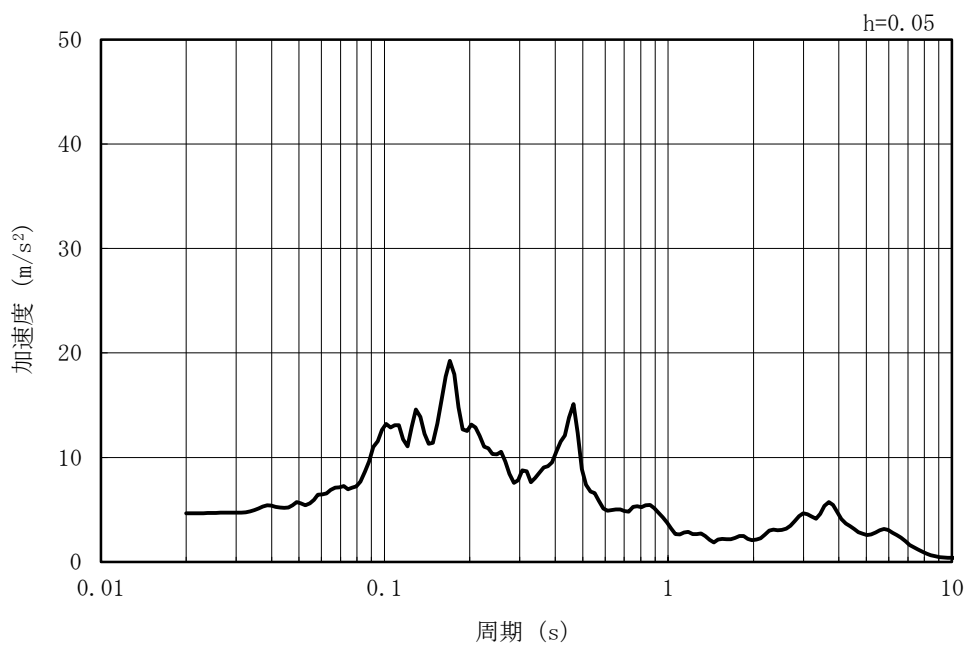


(b) 加速度応答スペクトル

図 4-15 入力地震動の加速度時刻歴波形及び加速度応答スペクトル
(鉛直方向 : Ss-5EW)

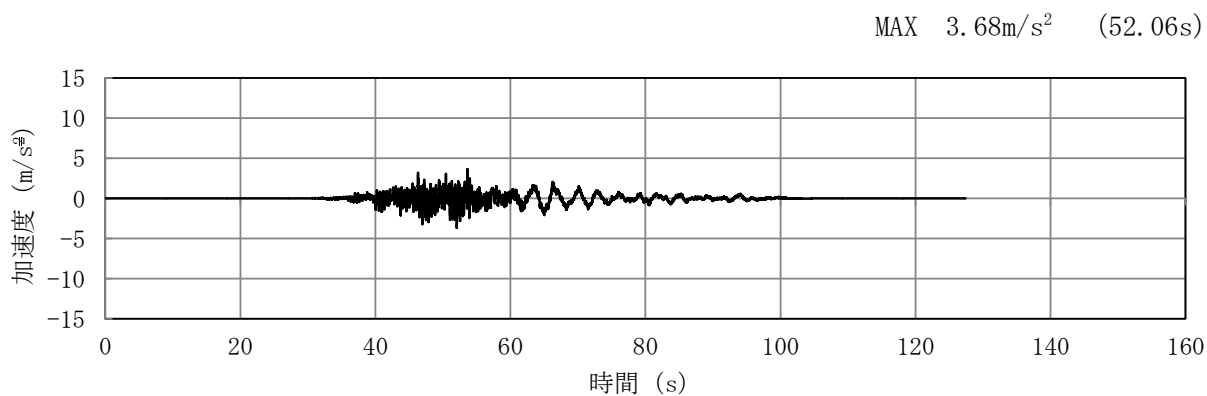


(a) 加速度時刻歴波形

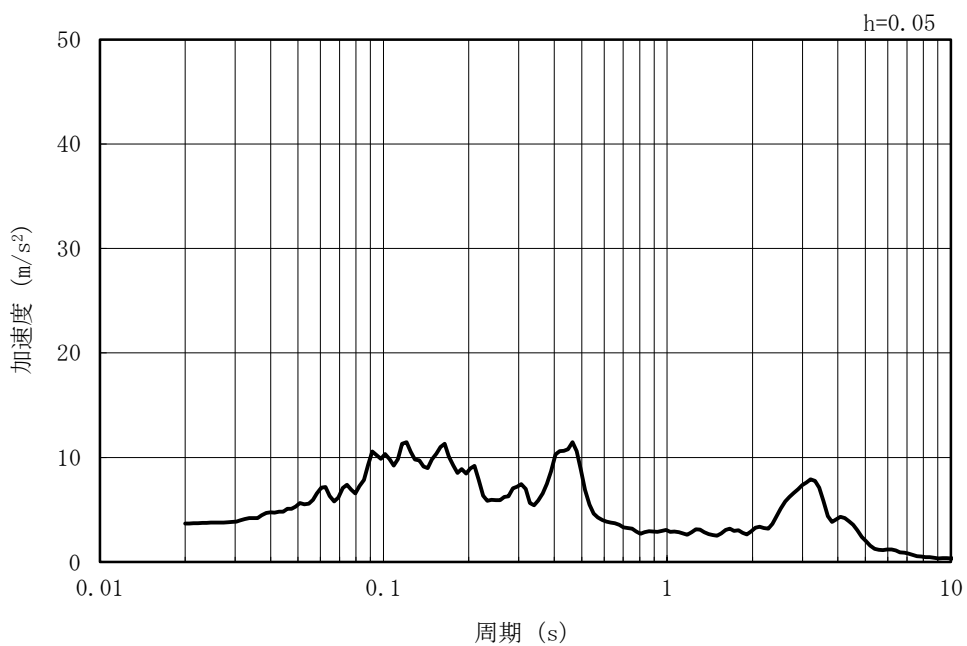


(b) 加速度応答スペクトル

図 4-16 入力地震動の加速度時刻歴波形及び加速度応答スペクトル
(水平方向 : Ss-5NS)

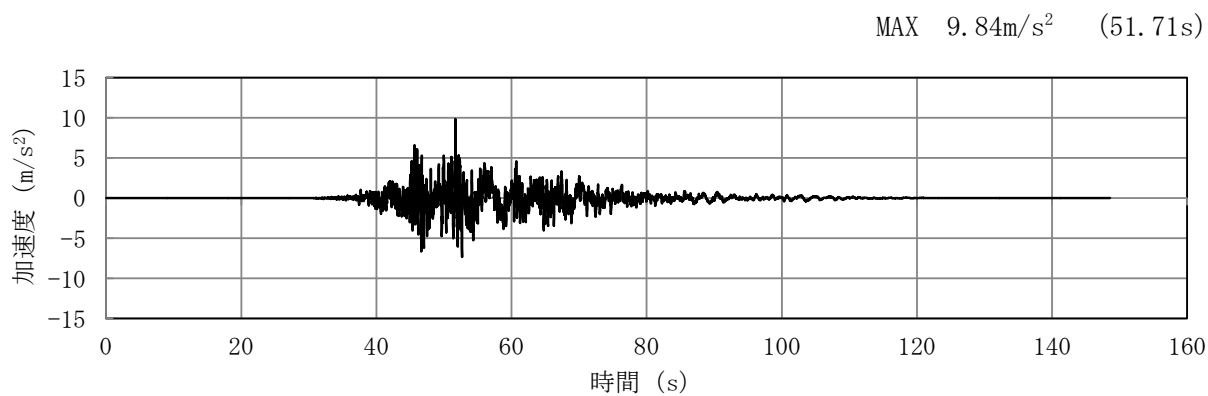


(a) 加速度時刻歴波形

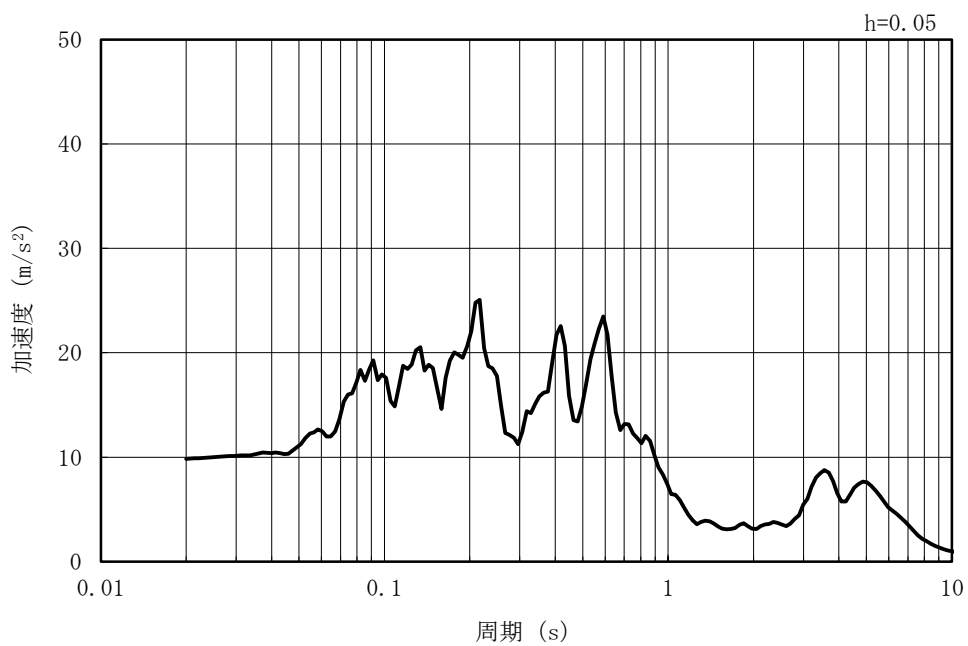


(b) 加速度応答スペクトル

図 4-17 入力地震動の加速度時刻歴波形及び加速度応答スペクトル
(鉛直方向 : Ss-5NS)

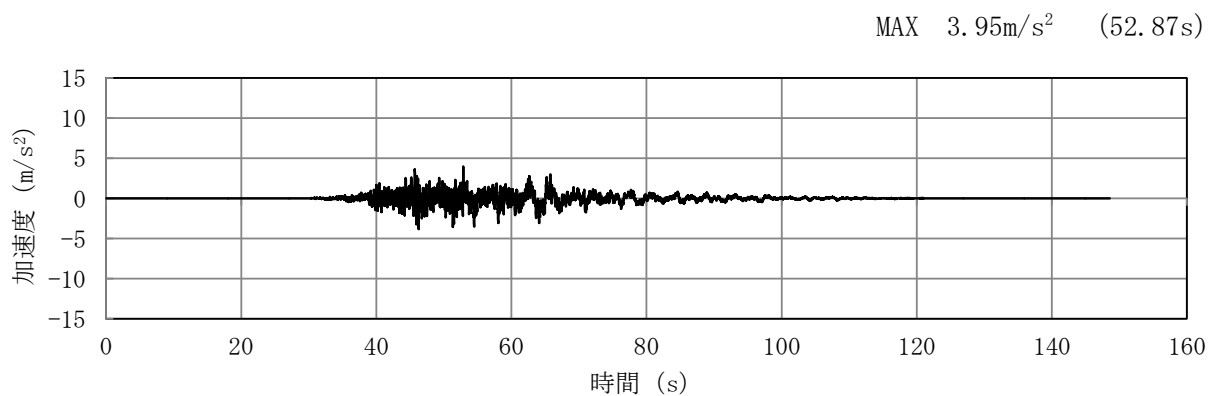


(a) 加速度時刻歴波形

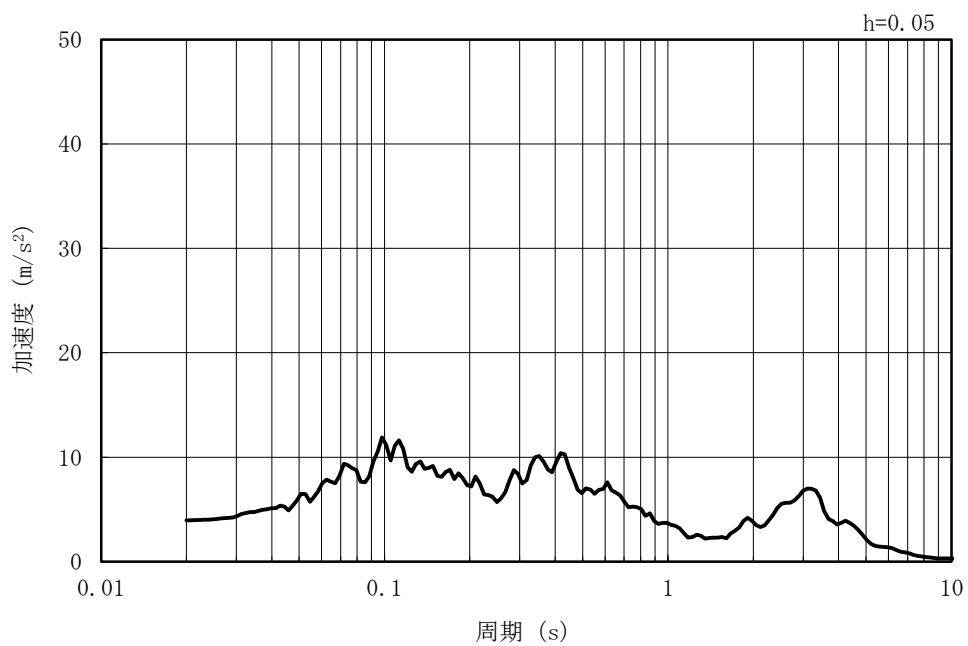


(b) 加速度応答スペクトル

図 4-18 入力地震動の加速度時刻歴波形及び加速度応答スペクトル
(水平方向 : Ss-6EW)

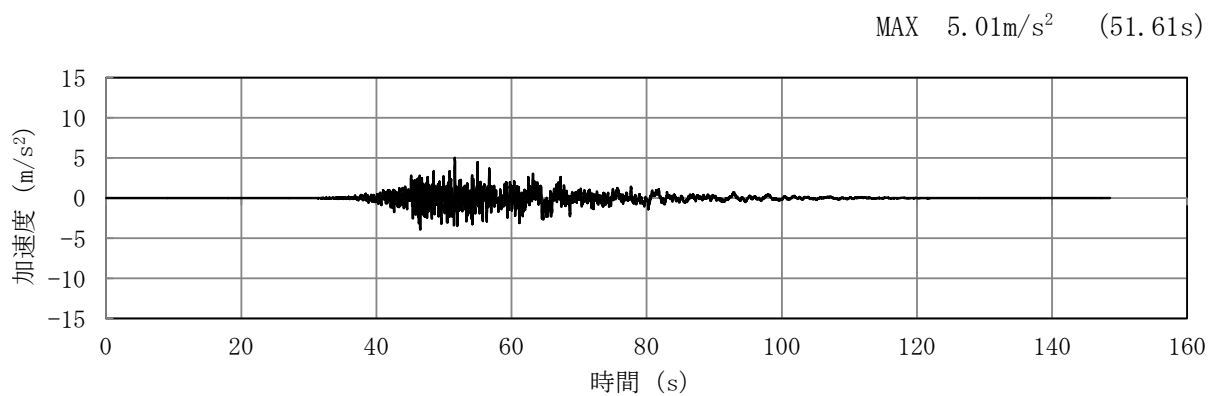


(a) 加速度時刻歴波形

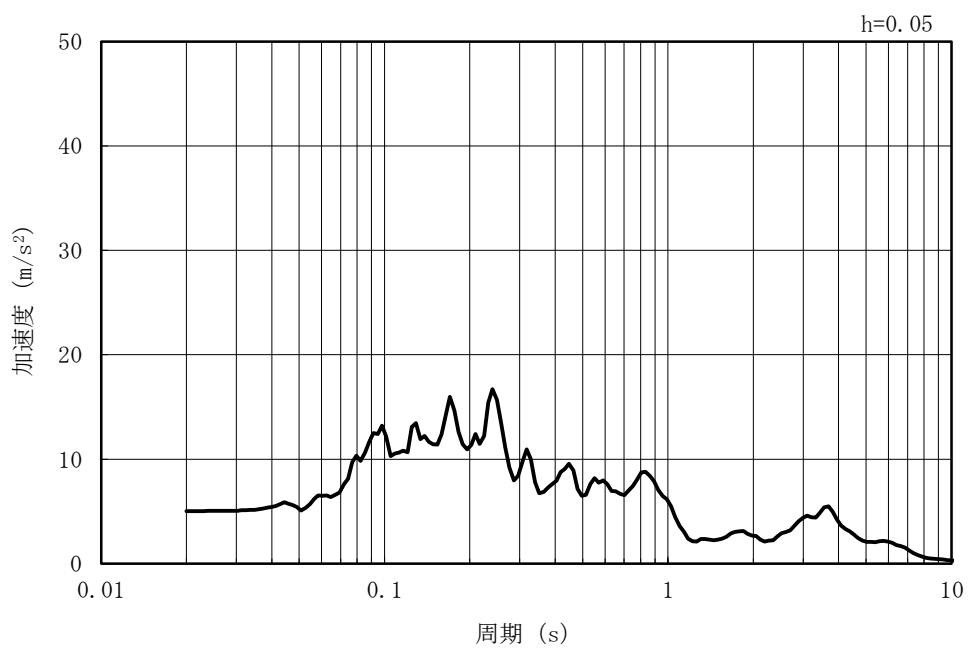


(b) 加速度応答スペクトル

図 4-19 入力地震動の加速度時刻歴波形及び加速度応答スペクトル
(鉛直方向 : Ss-6EW)

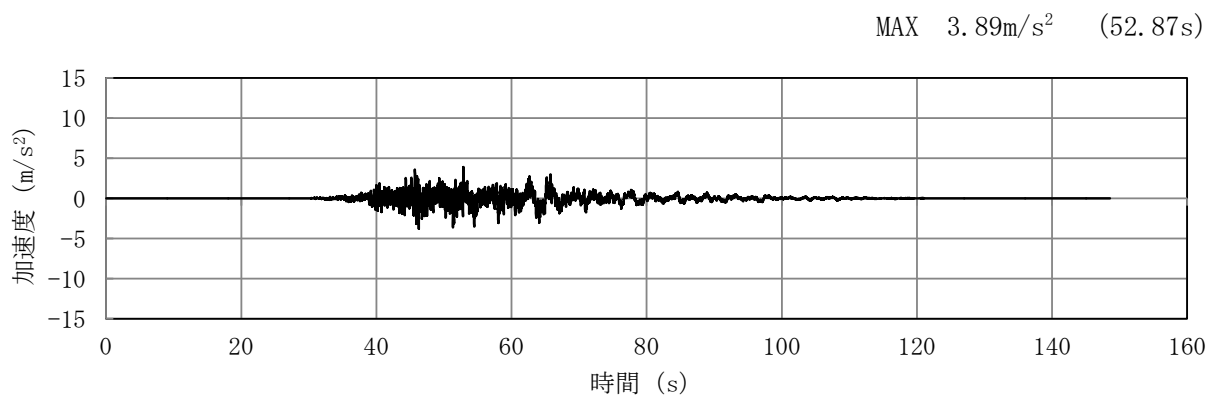


(a) 加速度時刻歴波形

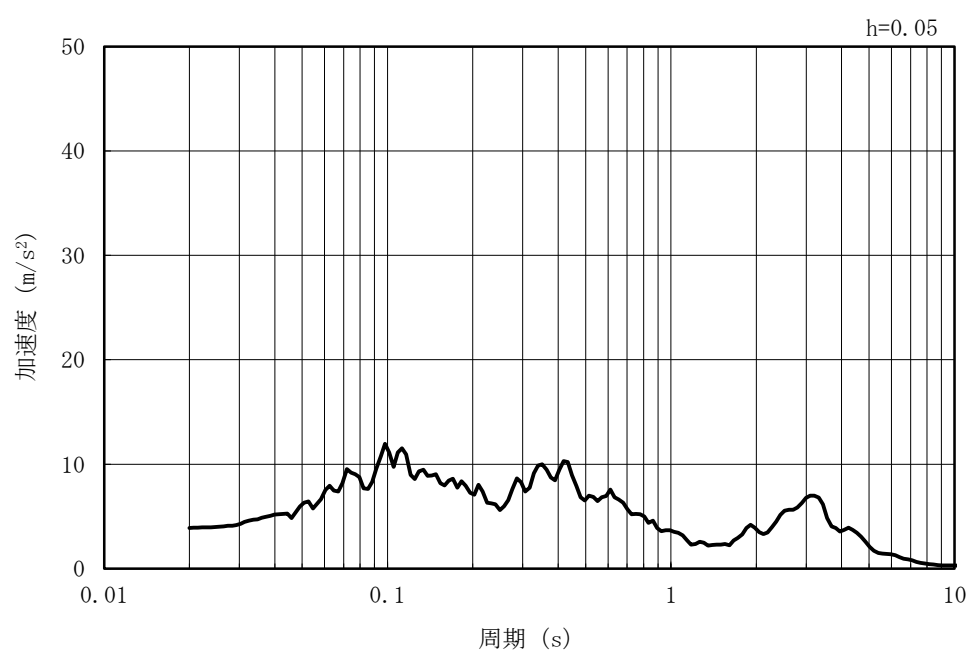


(b) 加速度応答スペクトル

図 4-20 入力地震動の加速度時刻歴波形及び加速度応答スペクトル
(水平方向 : Ss-6NS)

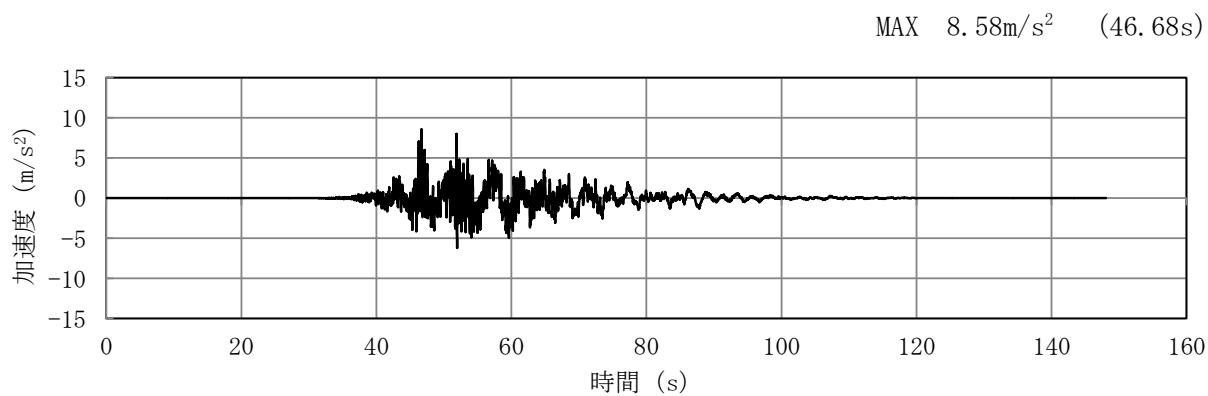


(a) 加速度時刻歴波形

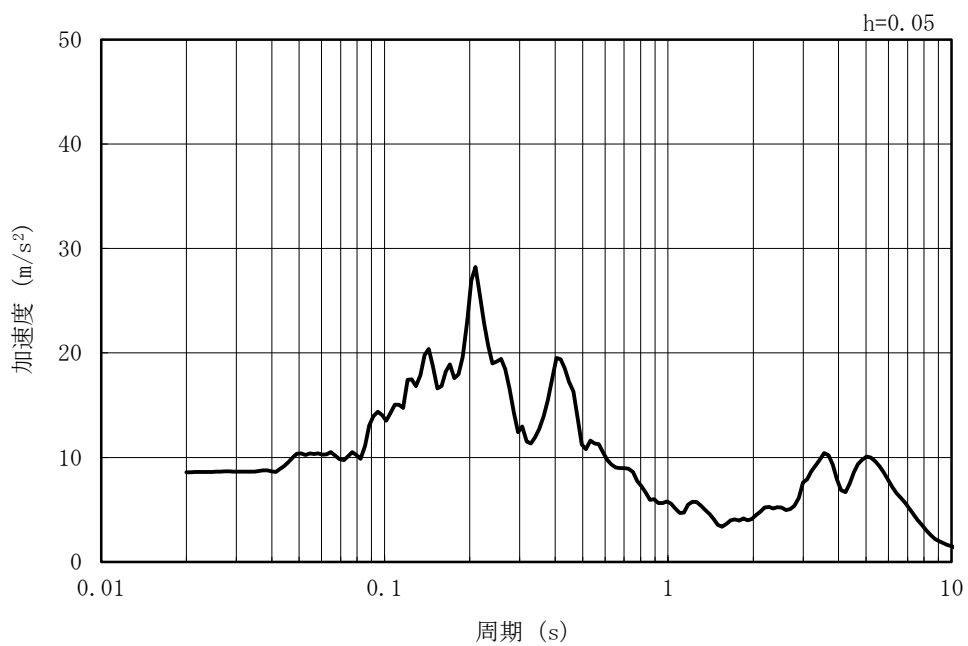


(b) 加速度応答スペクトル

図 4-21 入力地震動の加速度時刻歴波形及び加速度応答スペクトル
(鉛直方向 : Ss-6NS)

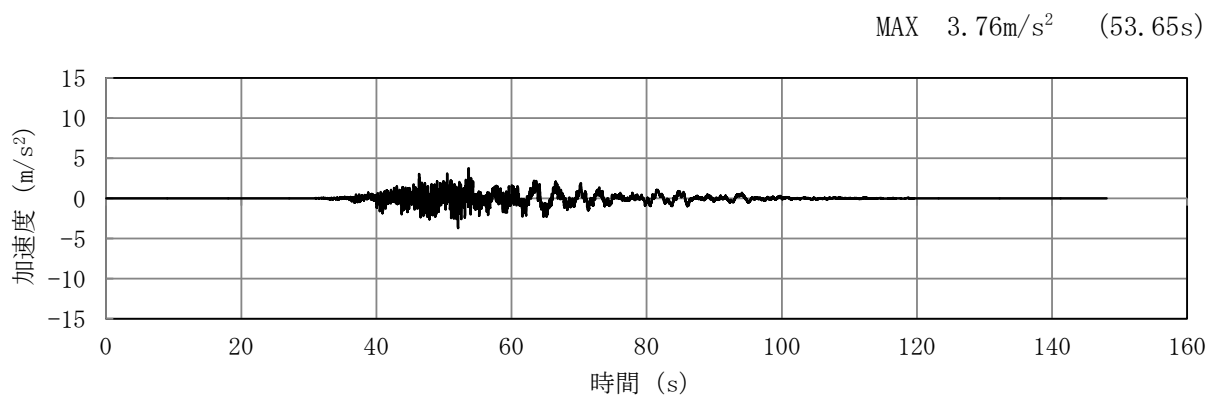


(a) 加速度時刻歴波形

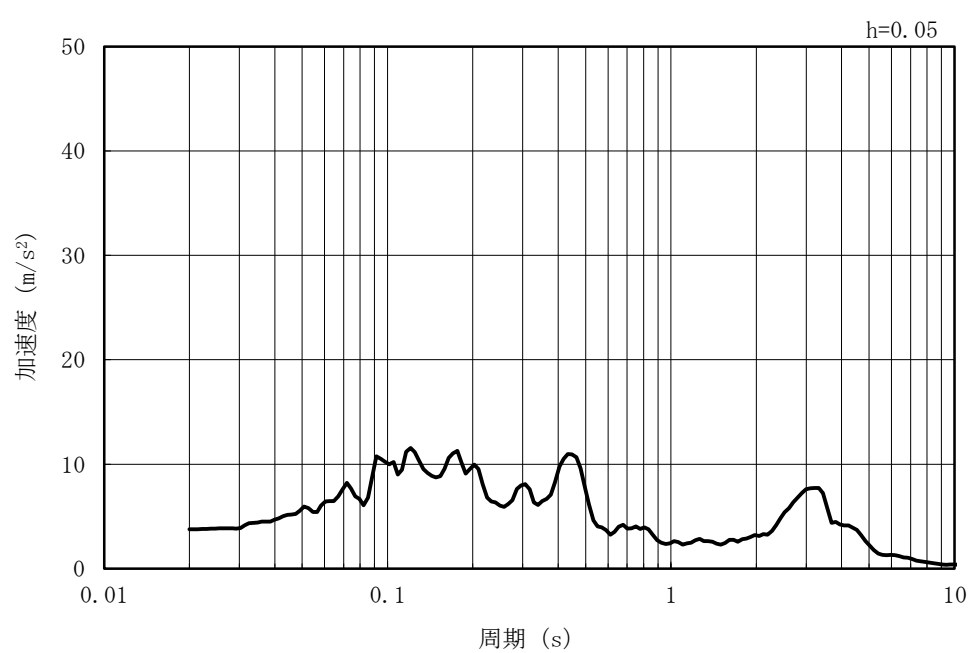


(b) 加速度応答スペクトル

図 4-22 入力地震動の加速度時刻歴波形及び加速度応答スペクトル
(水平方向 : Ss-7EW)

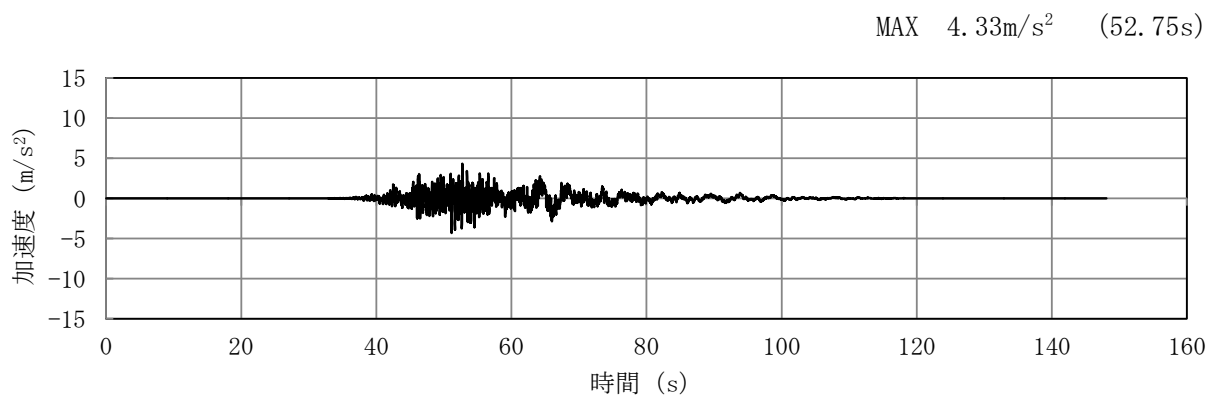


(a) 加速度時刻歴波形

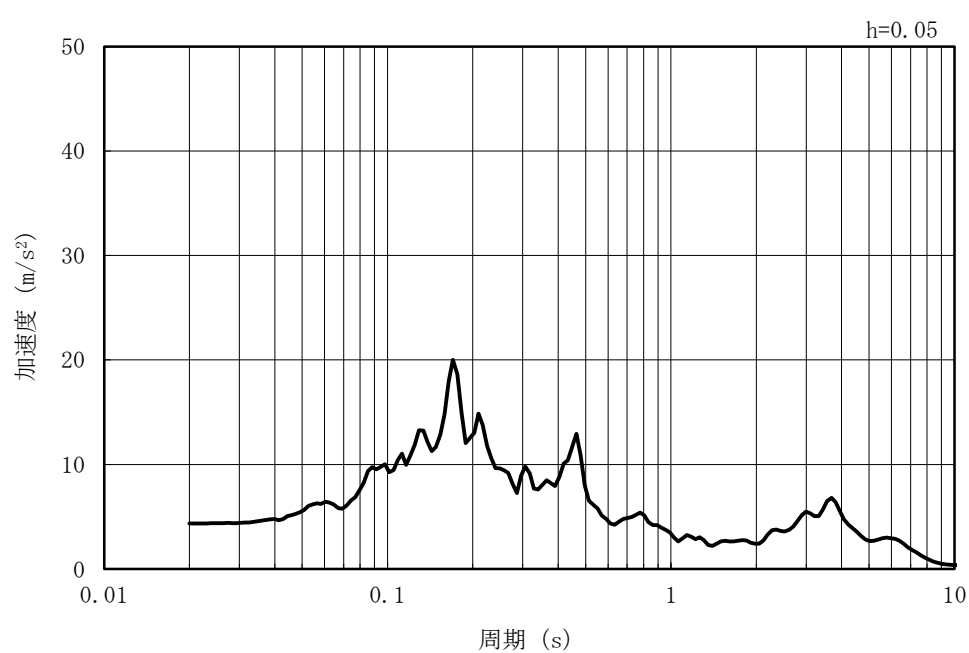


(b) 加速度応答スペクトル

図 4-23 入力地震動の加速度時刻歴波形及び加速度応答スペクトル
(鉛直方向 : Ss-7EW)

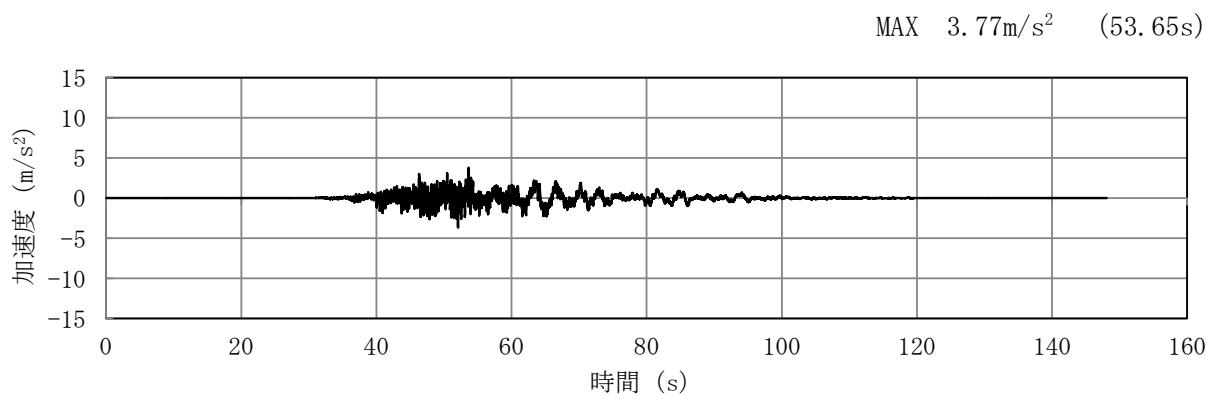


(a) 加速度時刻歴波形

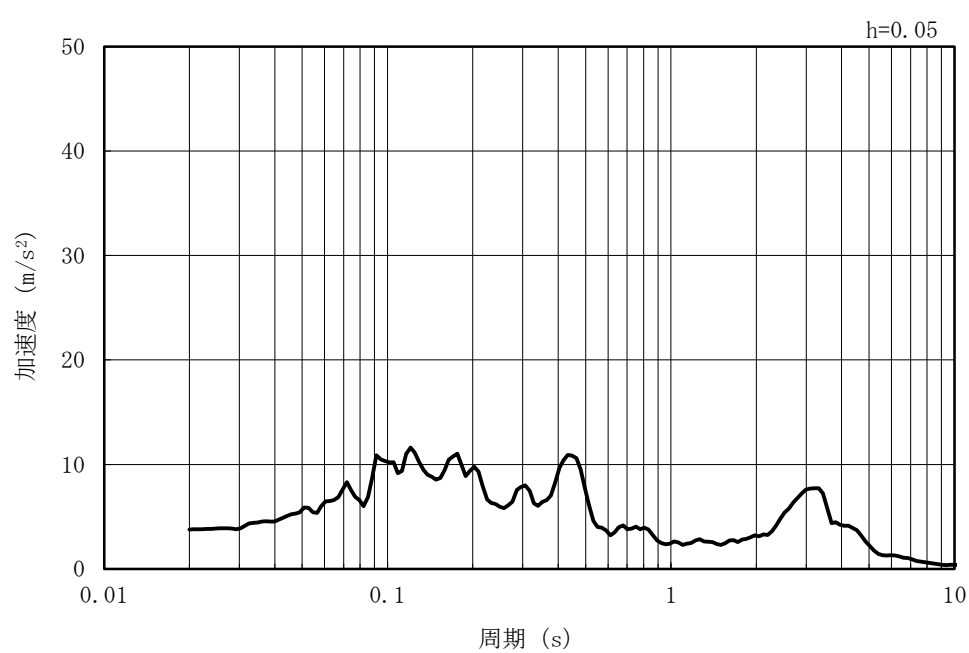


(b) 加速度応答スペクトル

図 4-24 入力地震動の加速度時刻歴波形及び加速度応答スペクトル
(水平方向 : Ss-7NS)

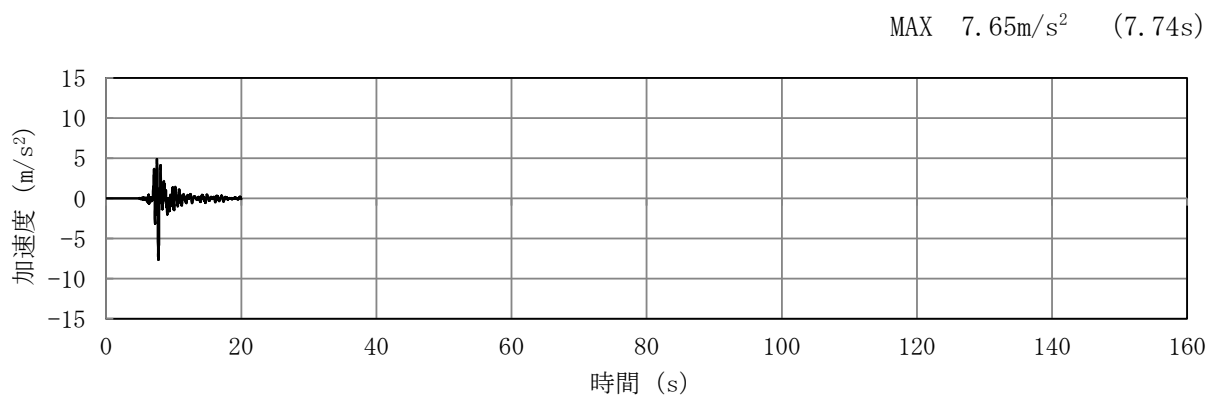


(a) 加速度時刻歴波形

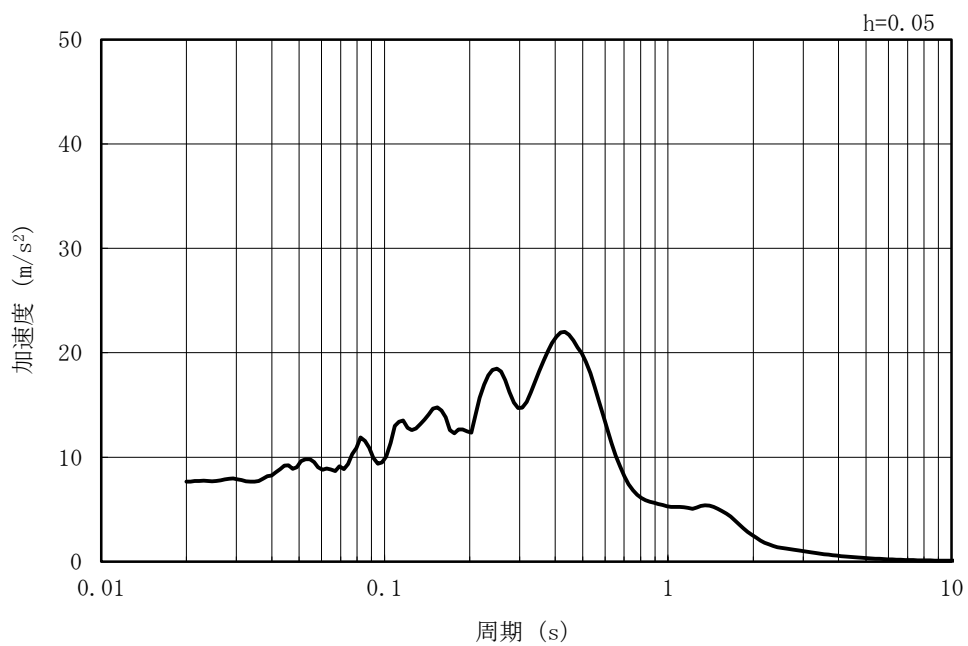


(b) 加速度応答スペクトル

図 4-25 入力地震動の加速度時刻歴波形及び加速度応答スペクトル
(鉛直方向 : Ss-7NS)

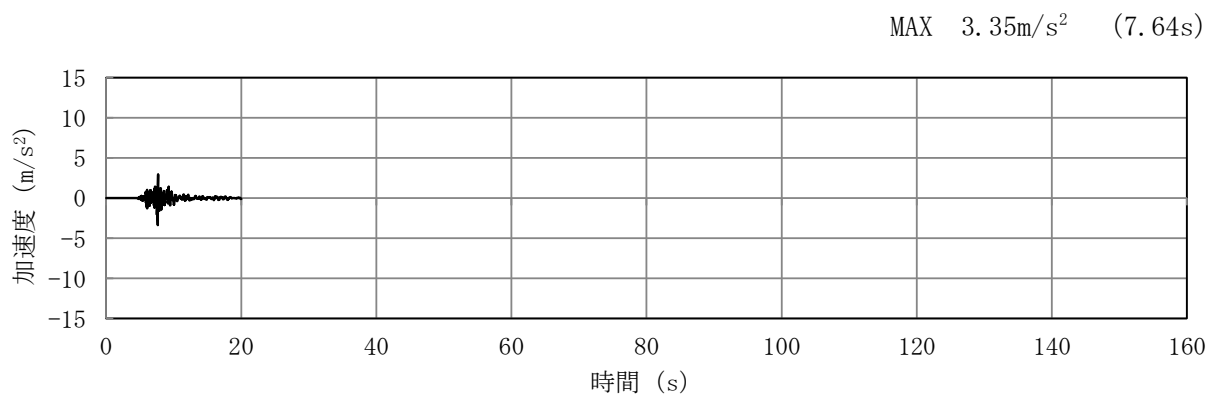


(a) 加速度時刻歴波形

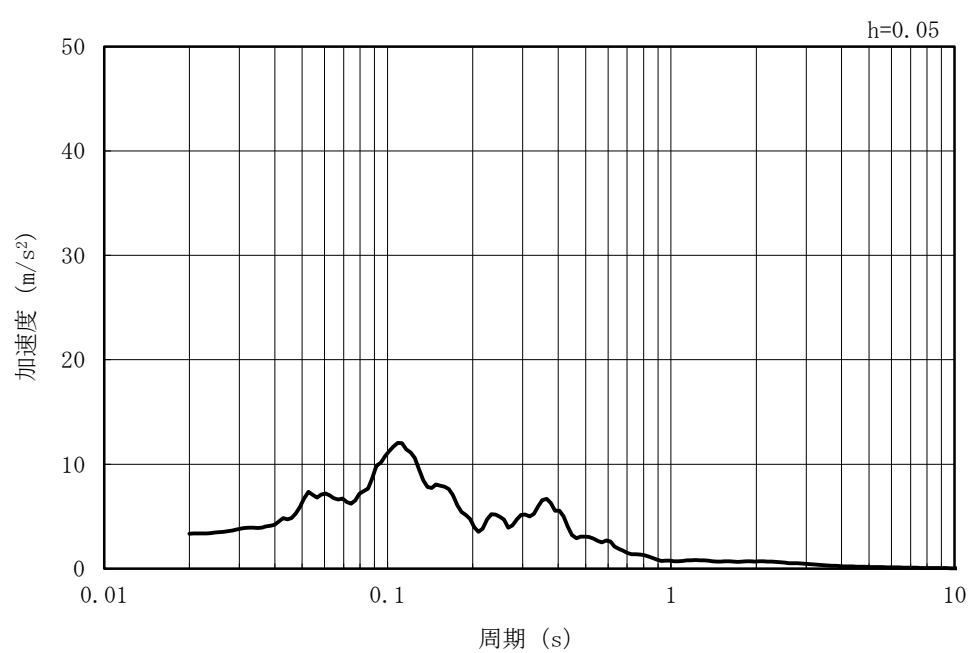


(b) 加速度応答スペクトル

図 4-26 入力地震動の加速度時刻歴波形及び加速度応答スペクトル
(水平方向 : Ss-8)

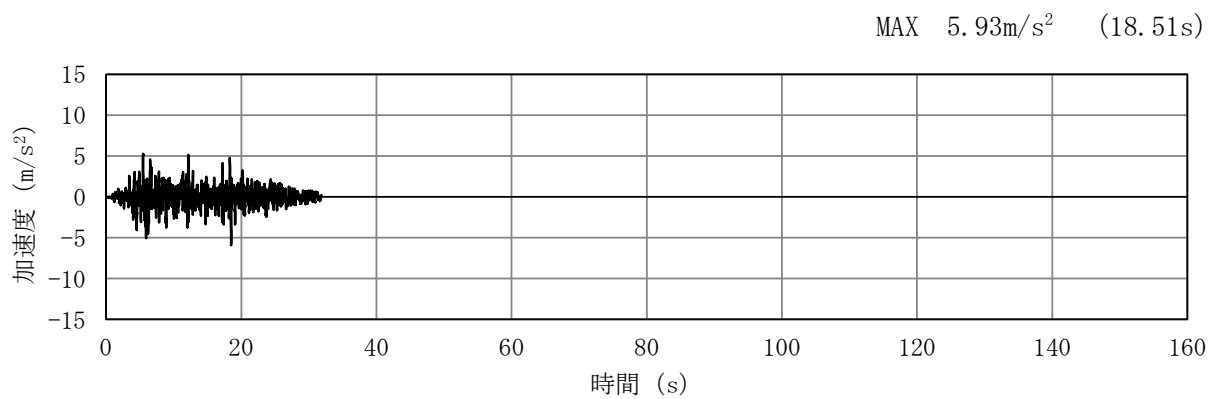


(a) 加速度時刻歴波形

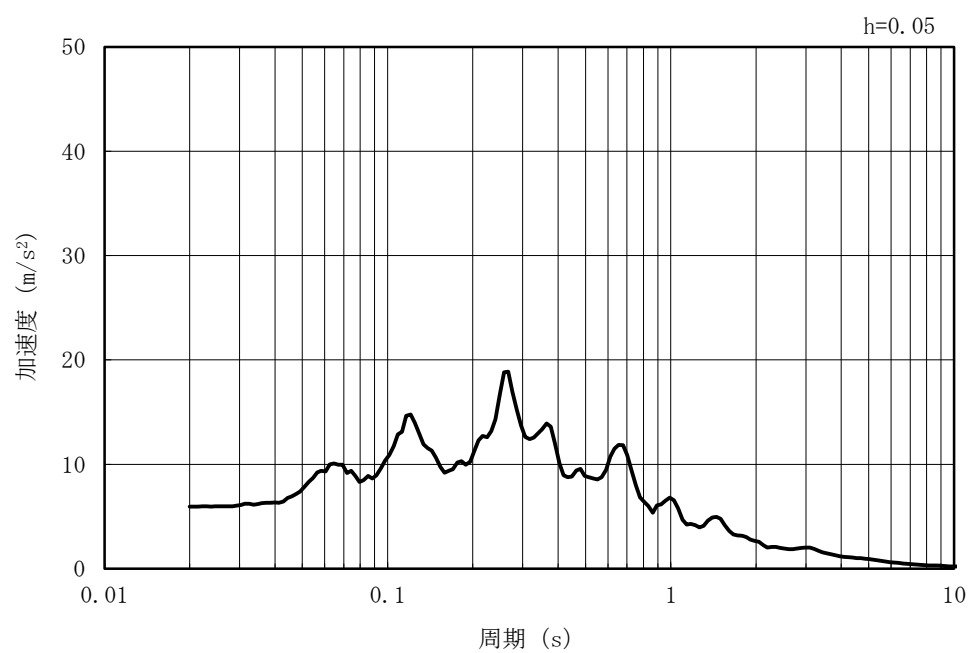


(b) 加速度応答スペクトル

図 4-27 入力地震動の加速度時刻歴波形及び加速度応答スペクトル
(鉛直方向 : Ss-8)

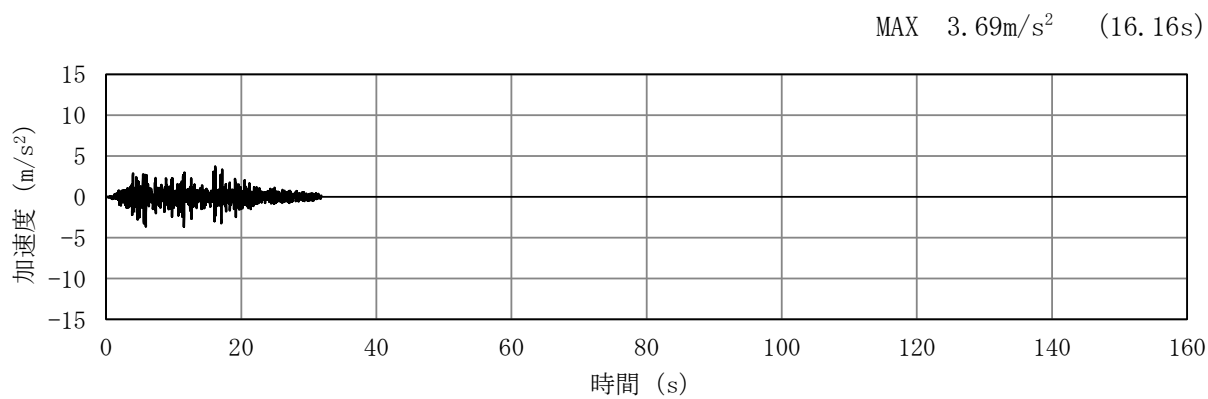


(a) 加速度時刻歴波形

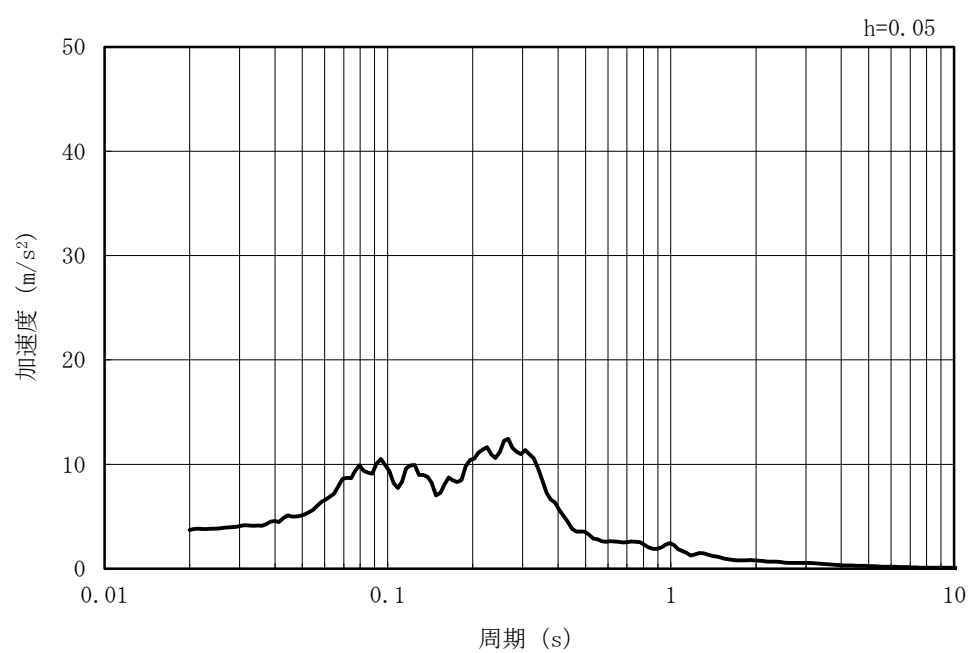


(b) 加速度応答スペクトル

図 4-28 入力地震動の加速度時刻歴波形及び加速度応答スペクトル
(水平方向 : Sd-1)

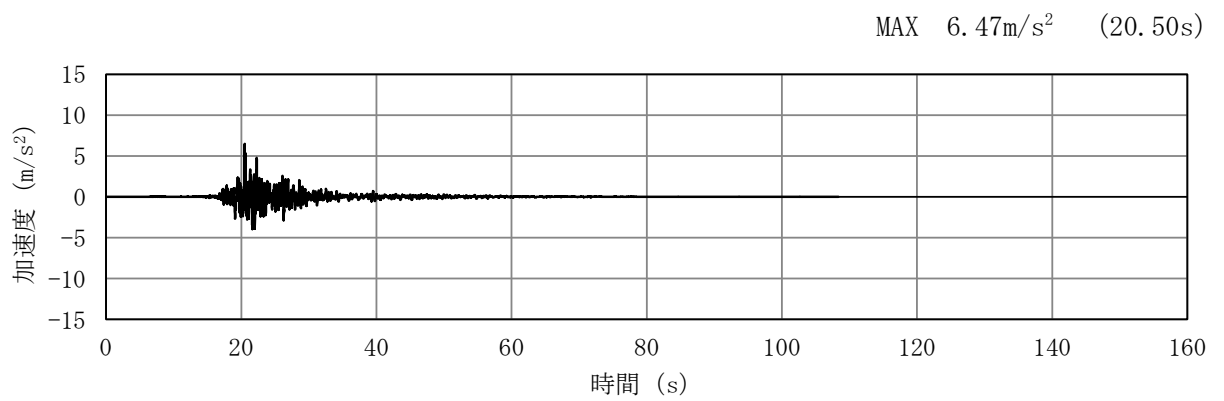


(a) 加速度時刻歴波形

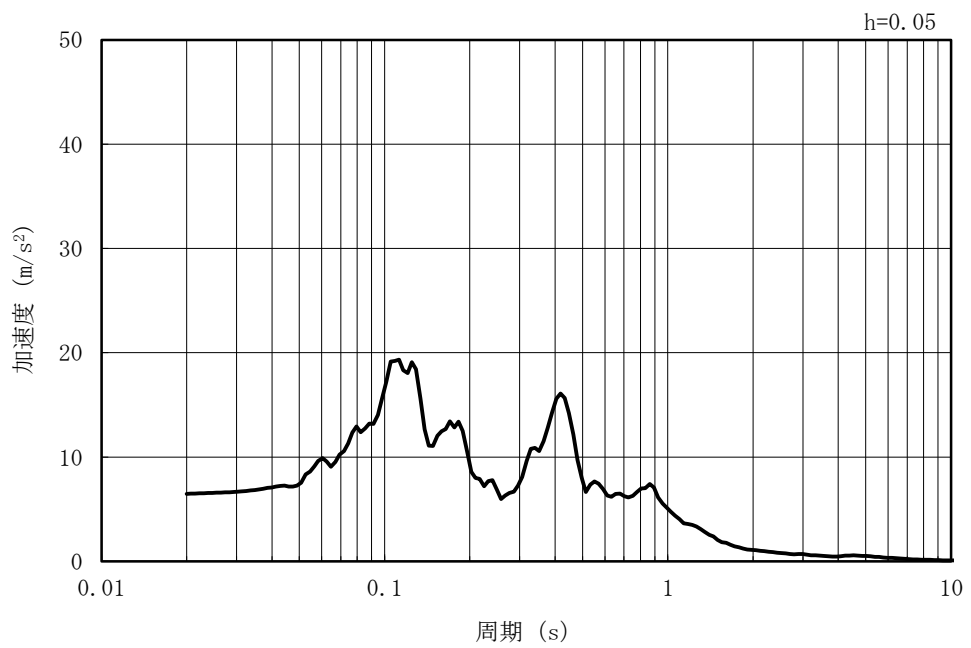


(b) 加速度応答スペクトル

図 4-29 入力地震動の加速度時刻歴波形及び加速度応答スペクトル
(鉛直方向 : Sd-1)

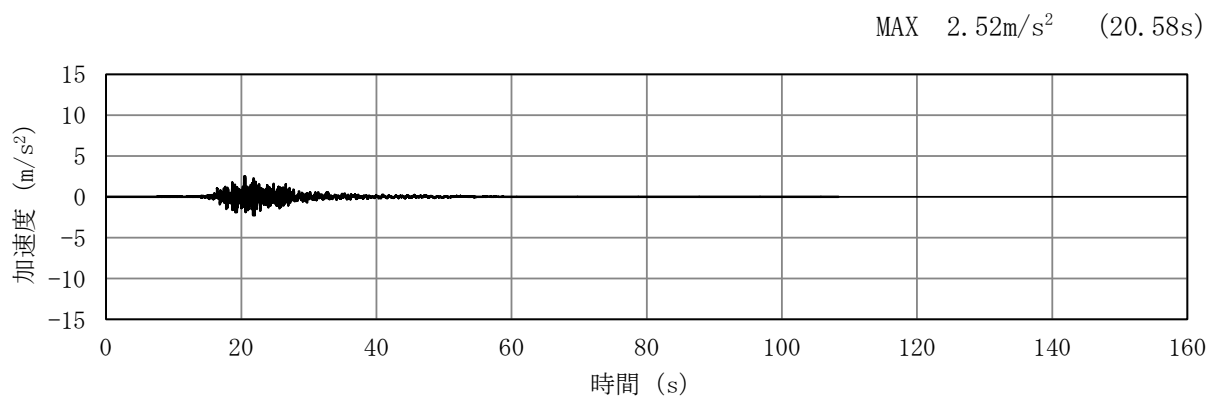


(a) 加速度時刻歴波形

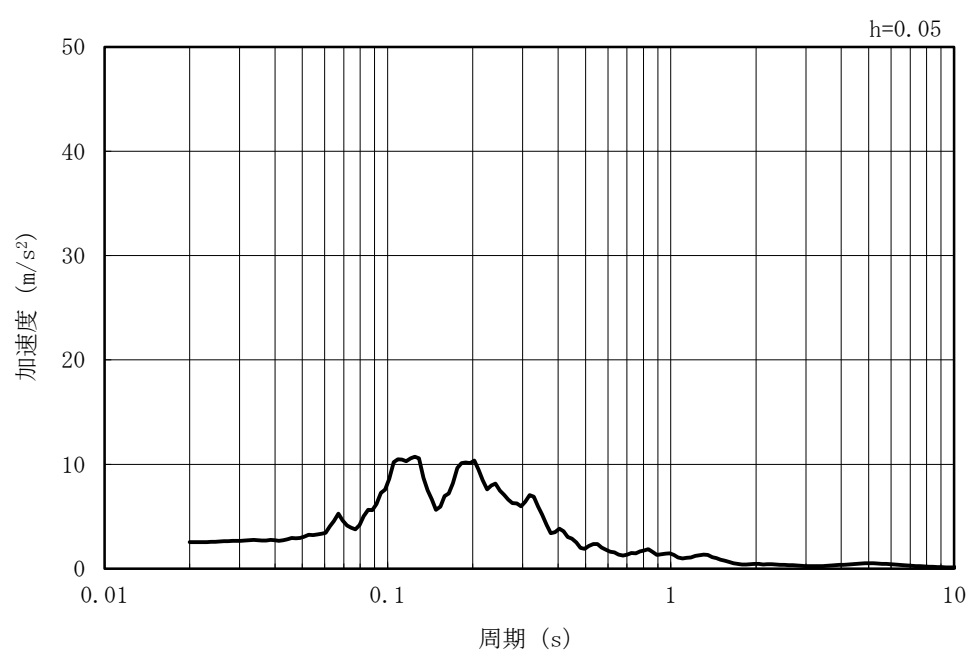


(b) 加速度応答スペクトル

図 4-30 入力地震動の加速度時刻歴波形及び加速度応答スペクトル
(水平方向 : Sd-2EW)

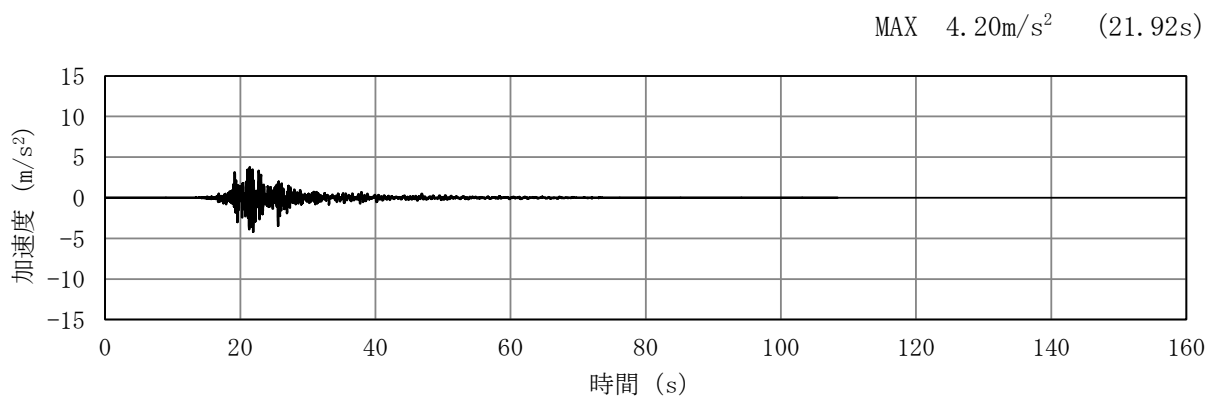


(a) 加速度時刻歴波形

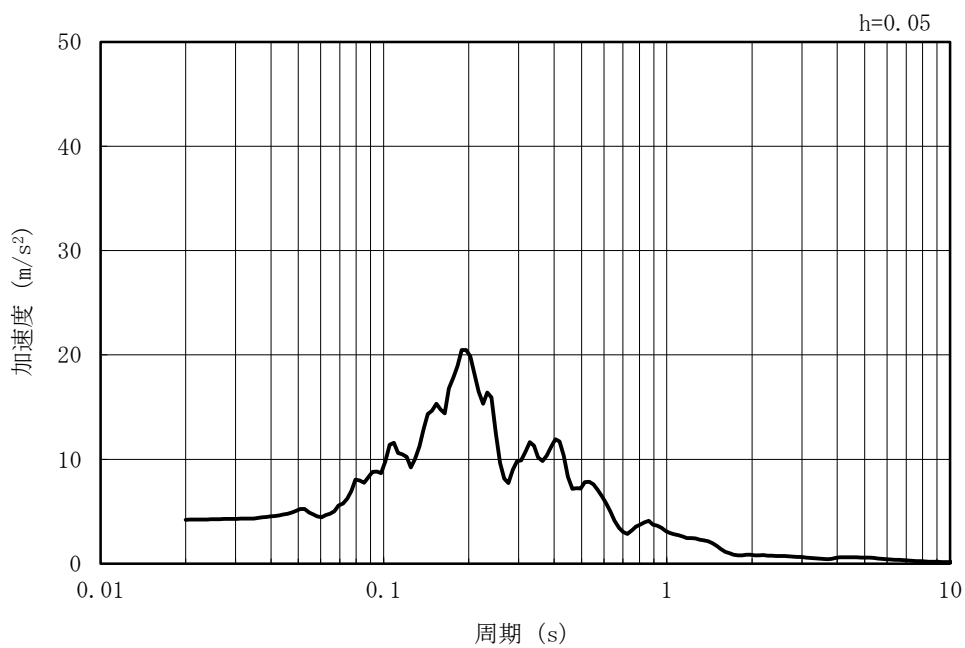


(b) 加速度応答スペクトル

図 4-31 入力地震動の加速度時刻歴波形及び加速度応答スペクトル
(鉛直方向 : Sd-2EW)

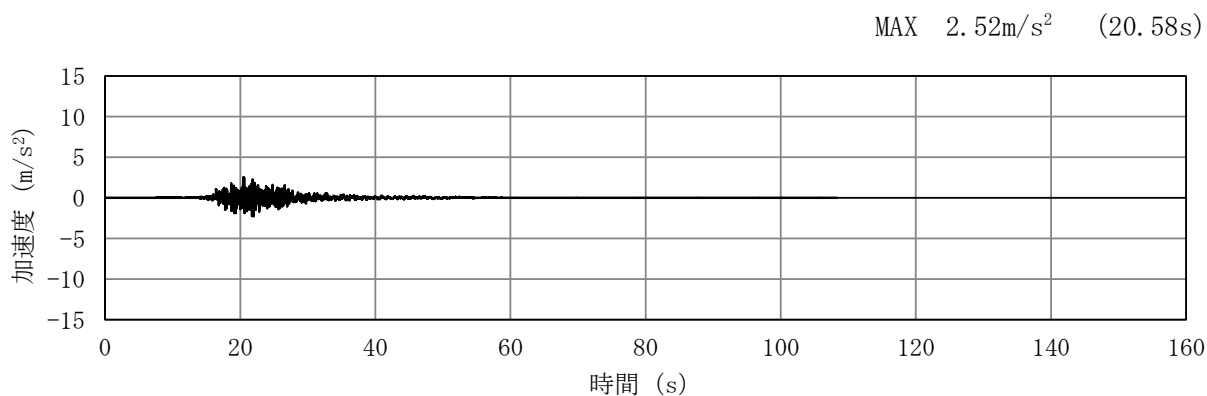


(a) 加速度時刻歴波形

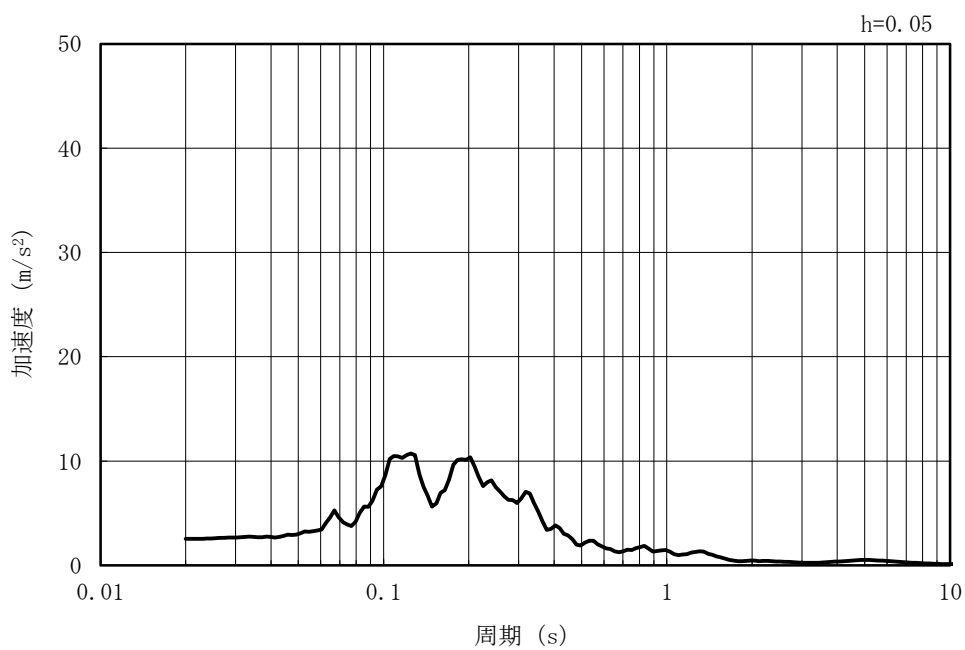


(b) 加速度応答スペクトル

図 4-32 入力地震動の加速度時刻歴波形及び加速度応答スペクトル
(水平方向 : Sd-2NS)

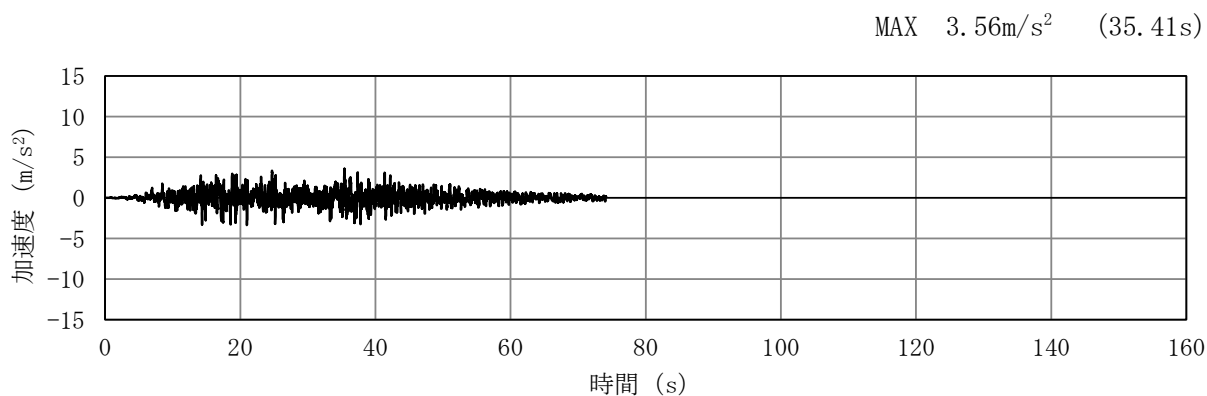


(a) 加速度時刻歴波形

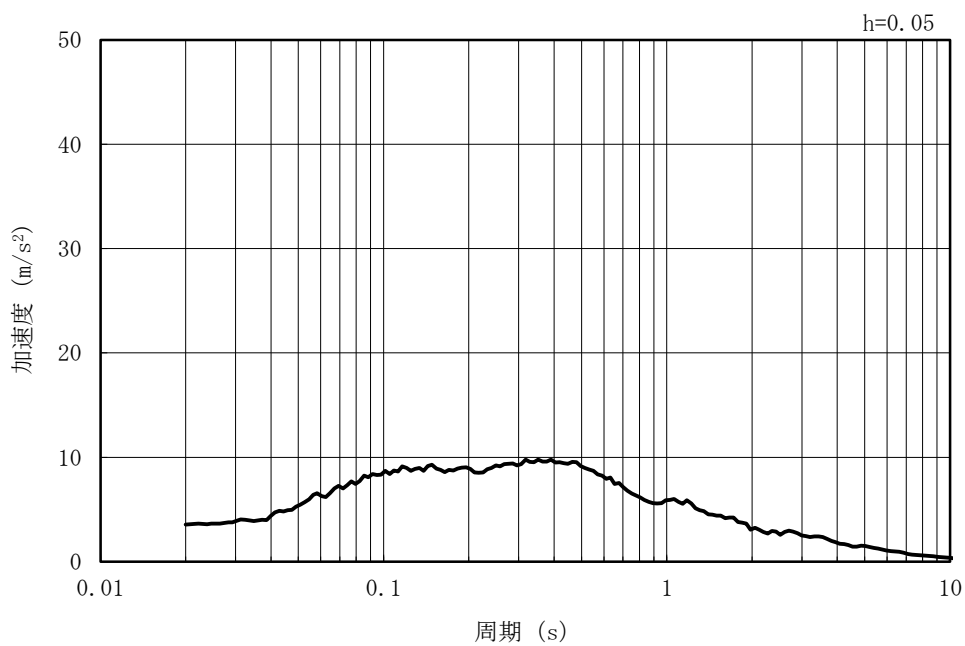


(b) 加速度応答スペクトル

図 4-33 入力地震動の加速度時刻歴波形及び加速度応答スペクトル
(鉛直方向 : Sd-2NS)

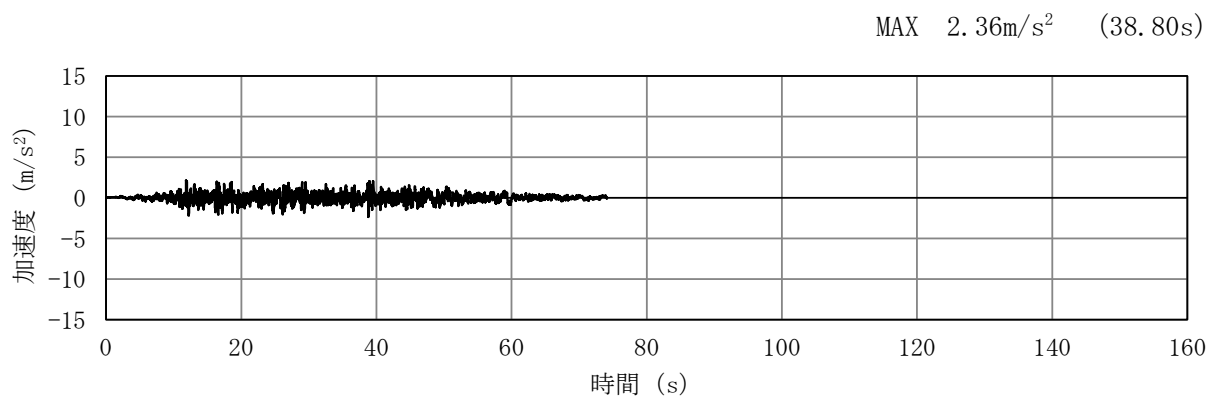


(a) 加速度時刻歴波形

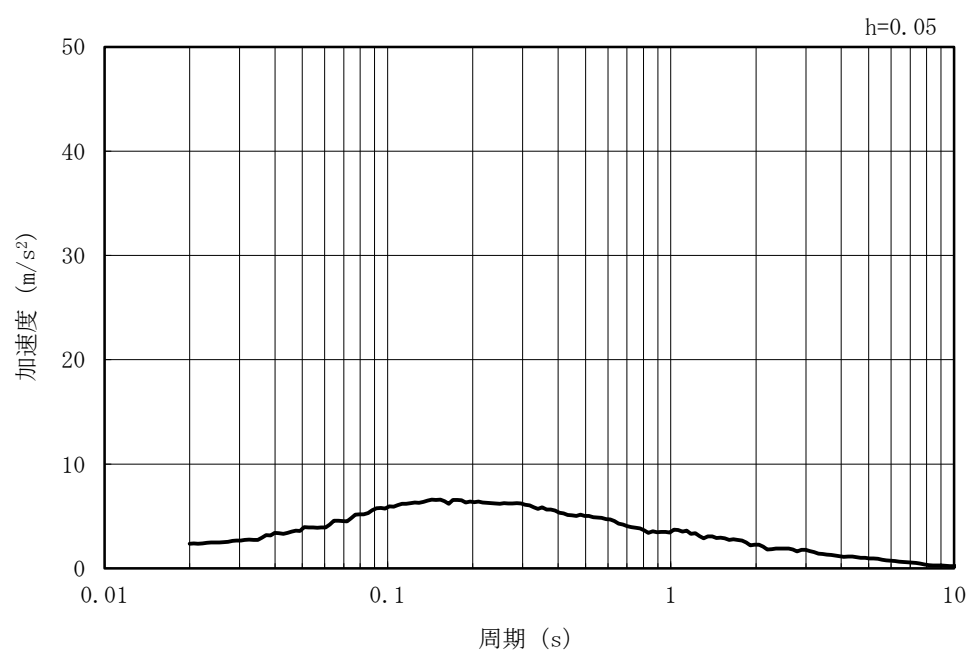


(b) 加速度応答スペクトル

図 4-34 入力地震動の加速度時刻歴波形及び加速度応答スペクトル
(水平方向 : Sd-3)

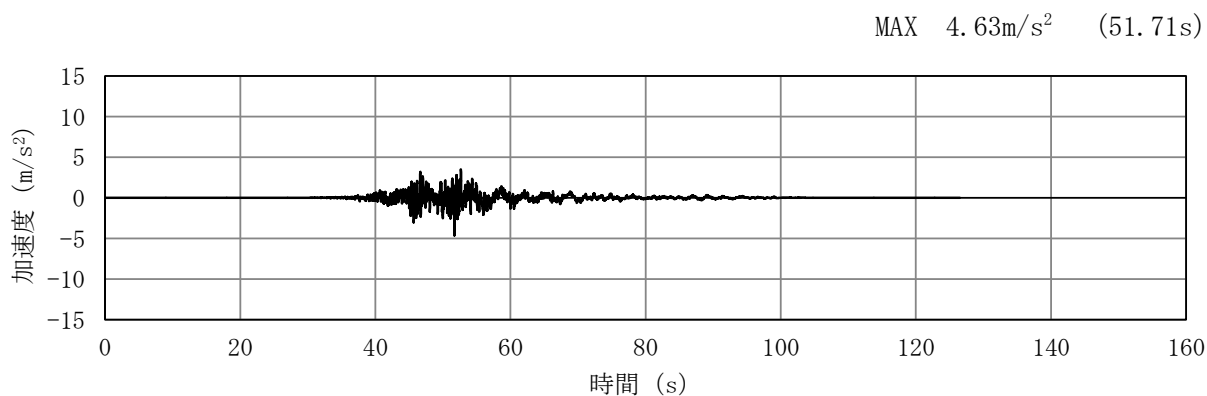


(a) 加速度時刻歴波形

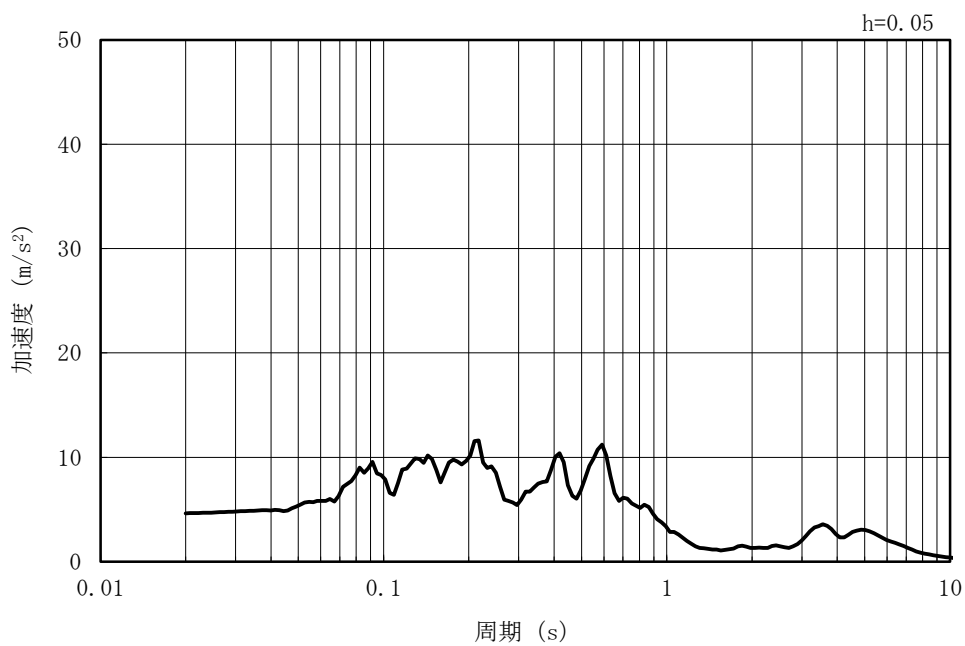


(b) 加速度応答スペクトル

図 4-35 入力地震動の加速度時刻歴波形及び加速度応答スペクトル
(鉛直方向 : Sd-3)

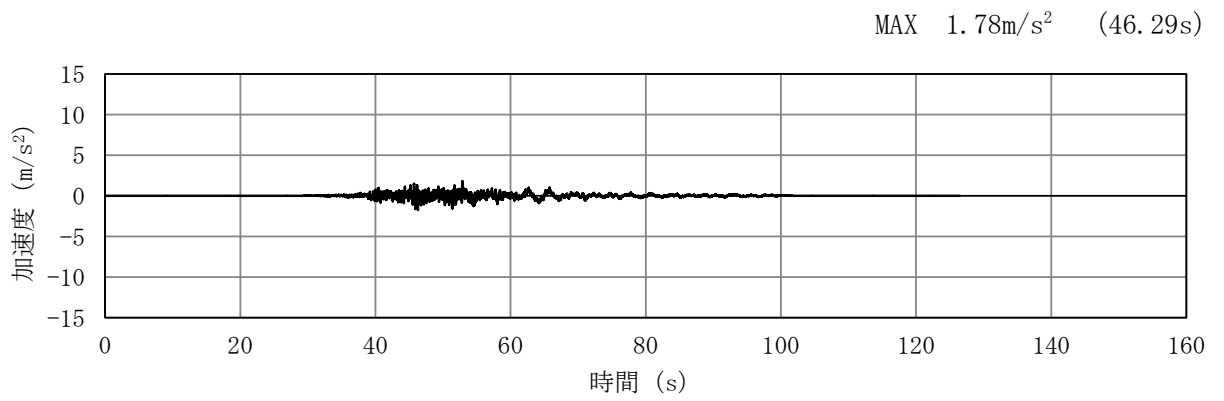


(a) 加速度時刻歴波形

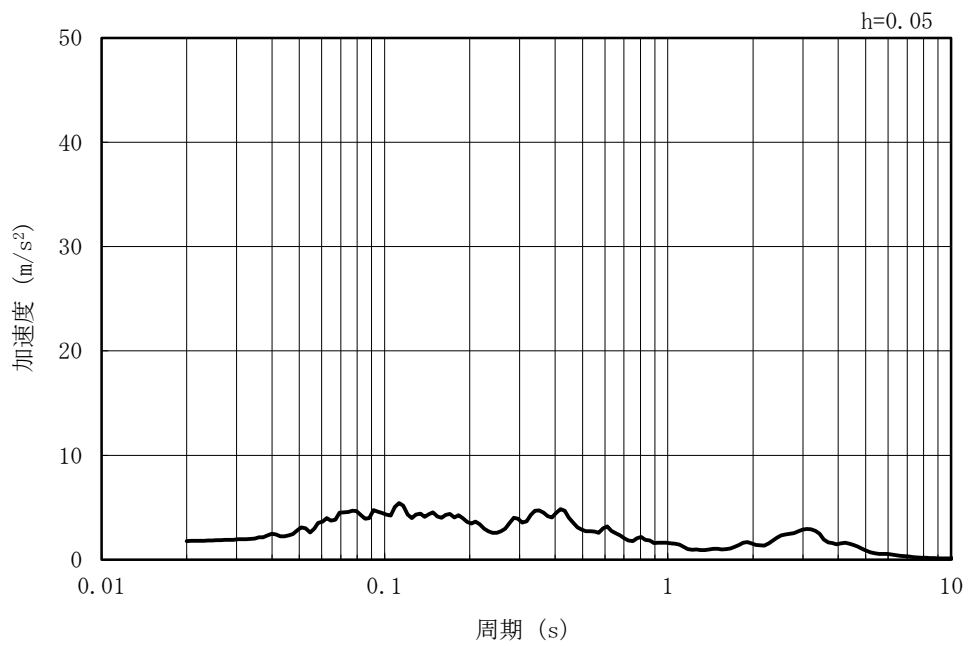


(b) 加速度応答スペクトル

図 4-36 入力地震動の加速度時刻歴波形及び加速度応答スペクトル
(水平方向 : Sd=4EW)

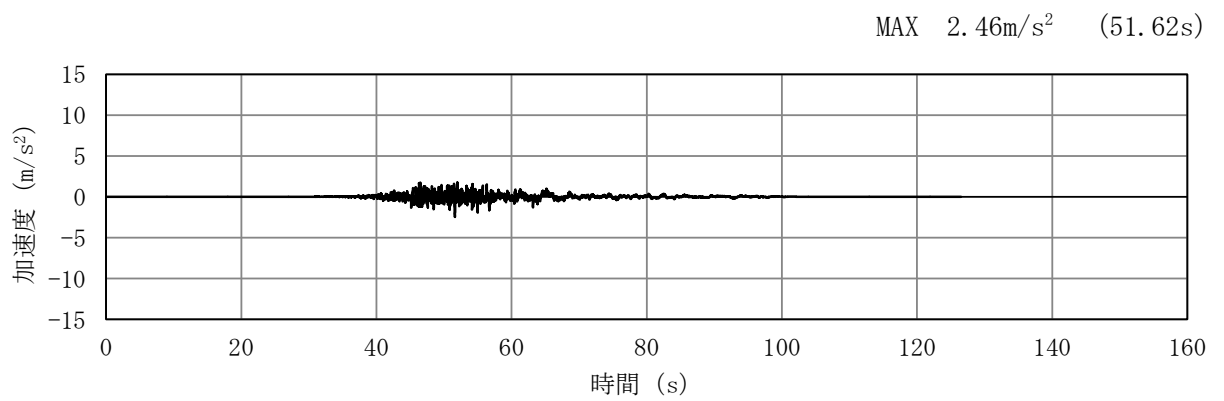


(a) 加速度時刻歴波形

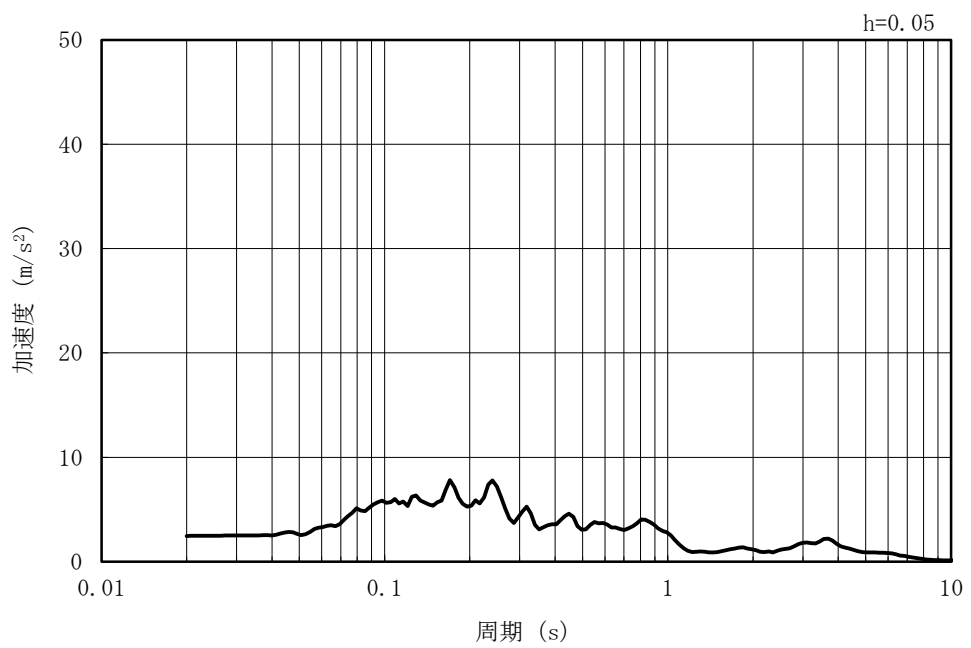


(b) 加速度応答スペクトル

図 4-37 入力地震動の加速度時刻歴波形及び加速度応答スペクトル
(鉛直方向 : Sd=4EW)

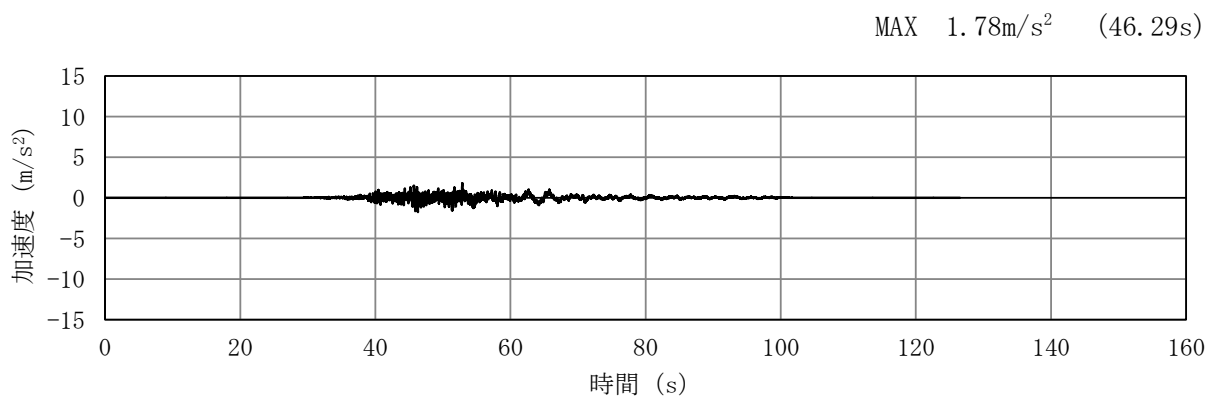


(a) 加速度時刻歴波形

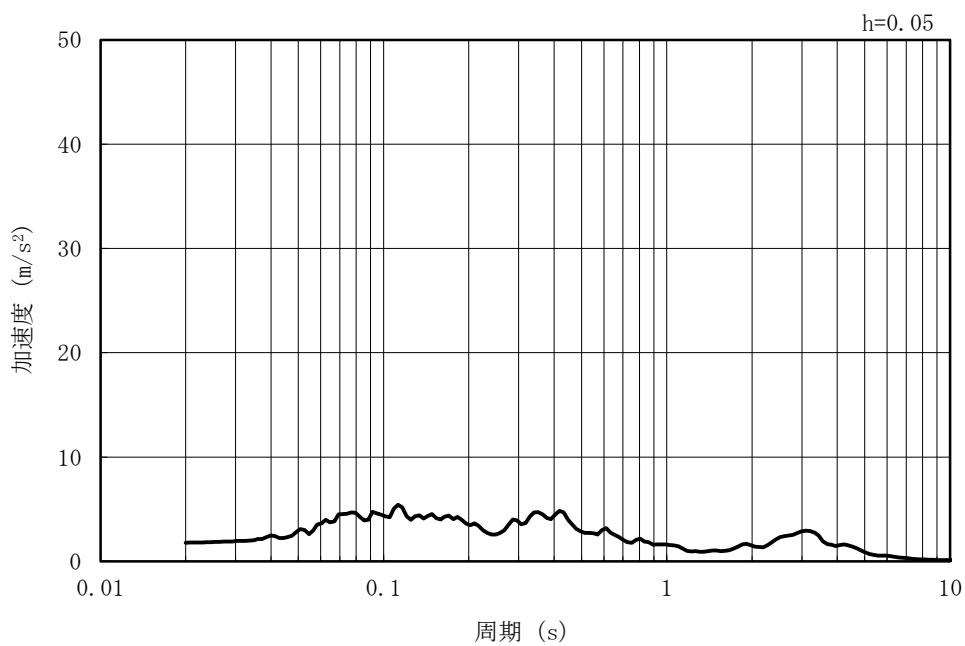


(b) 加速度応答スペクトル

図 4-38 入力地震動の加速度時刻歴波形及び加速度応答スペクトル
(水平方向 : Sd=4NS)

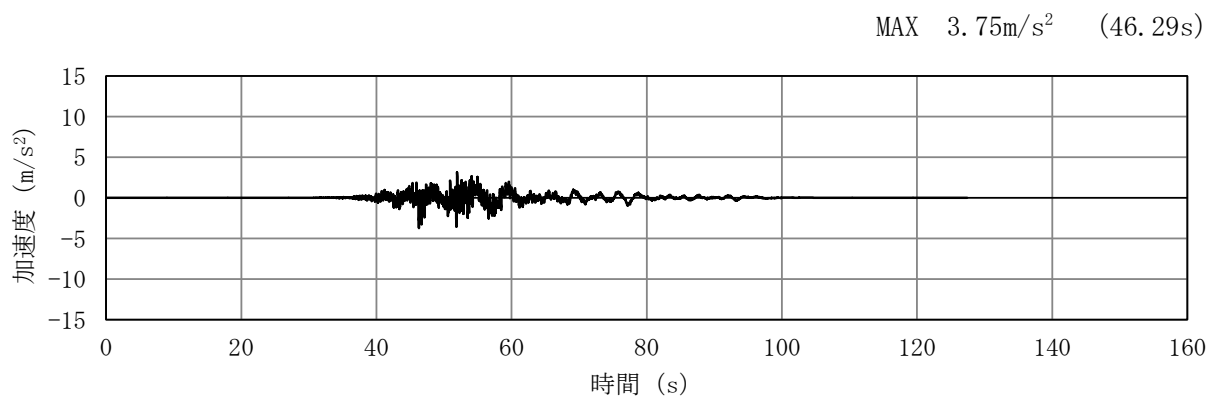


(a) 加速度時刻歴波形

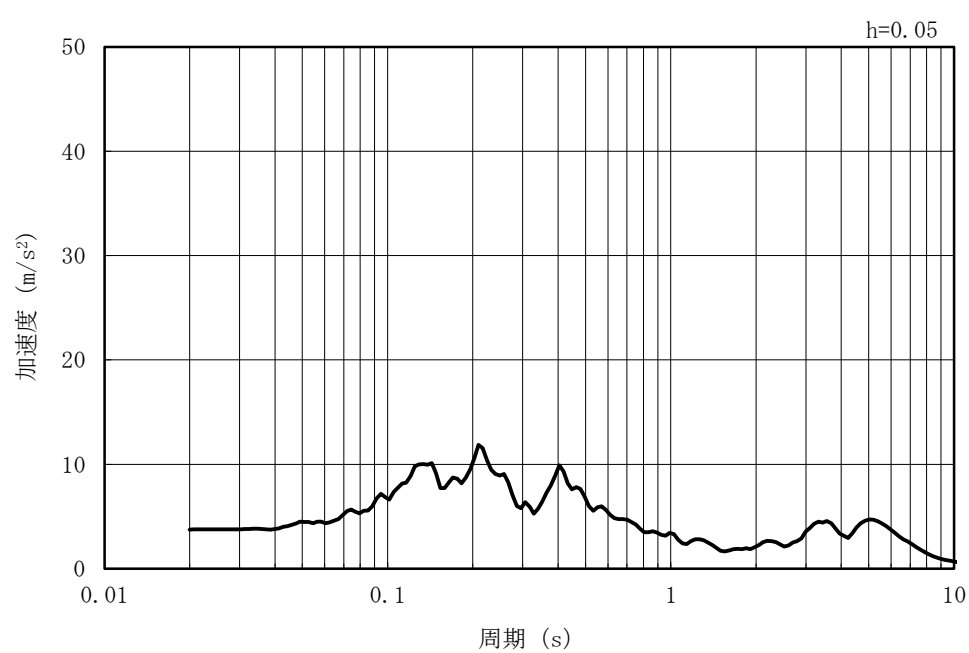


(b) 加速度応答スペクトル

図 4-39 入力地震動の加速度時刻歴波形及び加速度応答スペクトル
(鉛直方向 : Sd=4NS)

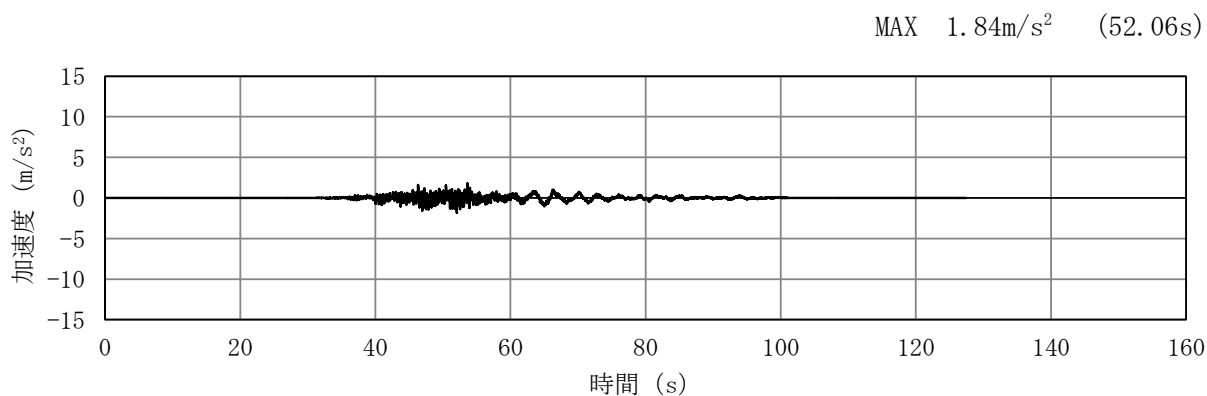


(a) 加速度時刻歴波形

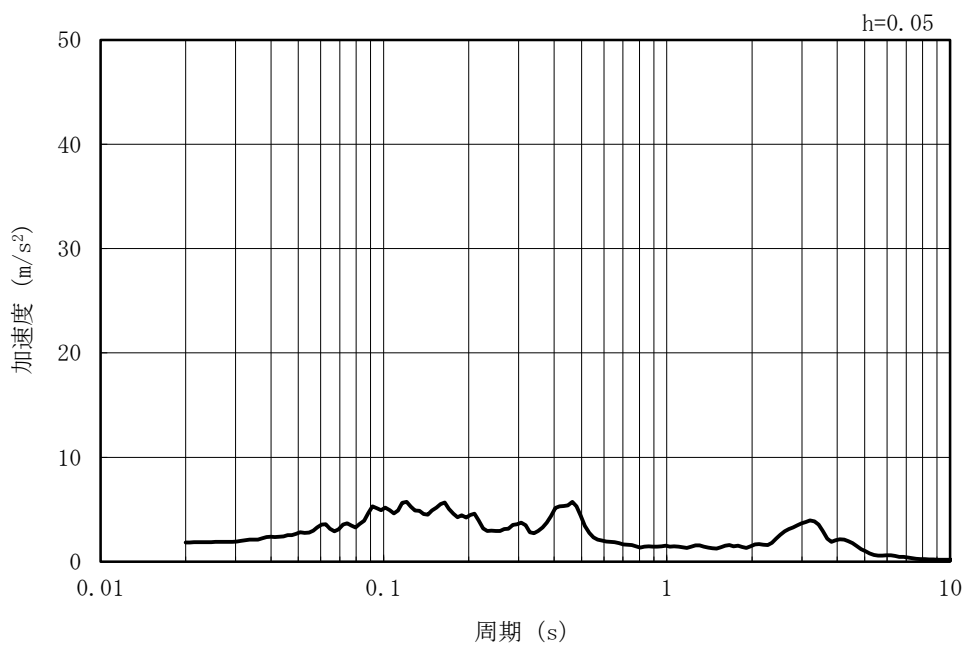


(b) 加速度応答スペクトル

図 4-40 入力地震動の加速度時刻歴波形及び加速度応答スペクトル
(水平方向 : Sd-5EW)

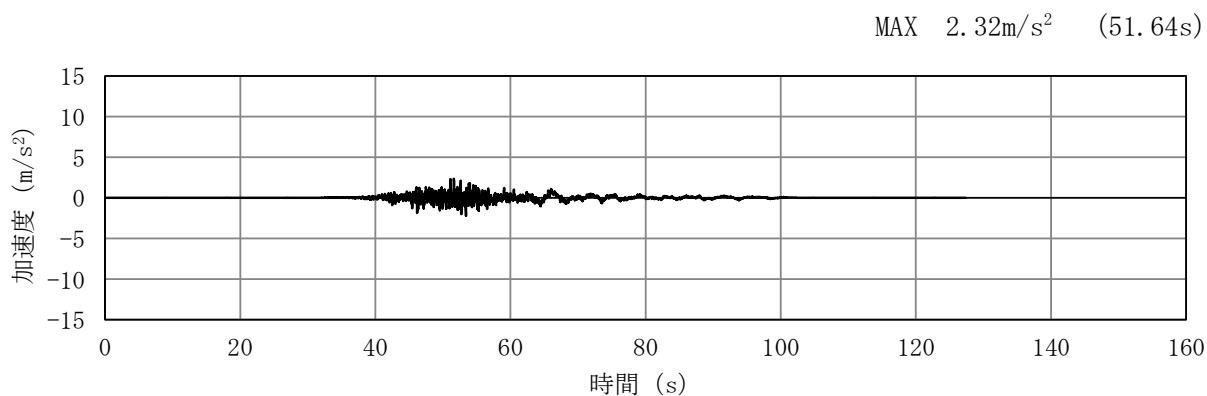


(a) 加速度時刻歴波形

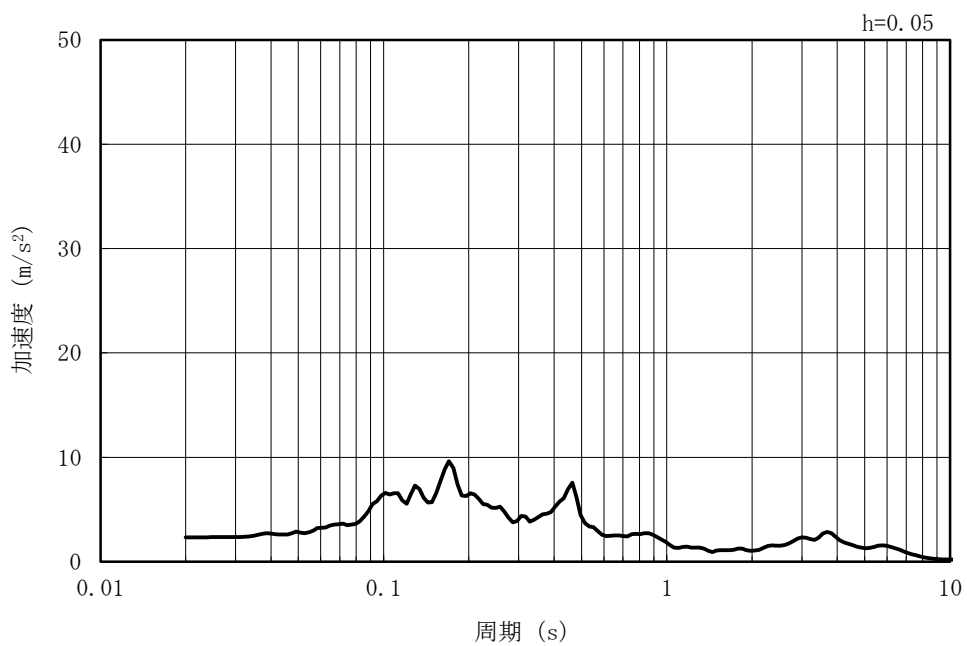


(b) 加速度応答スペクトル

図 4-41 入力地震動の加速度時刻歴波形及び加速度応答スペクトル
(鉛直方向 : Sd-5EW)

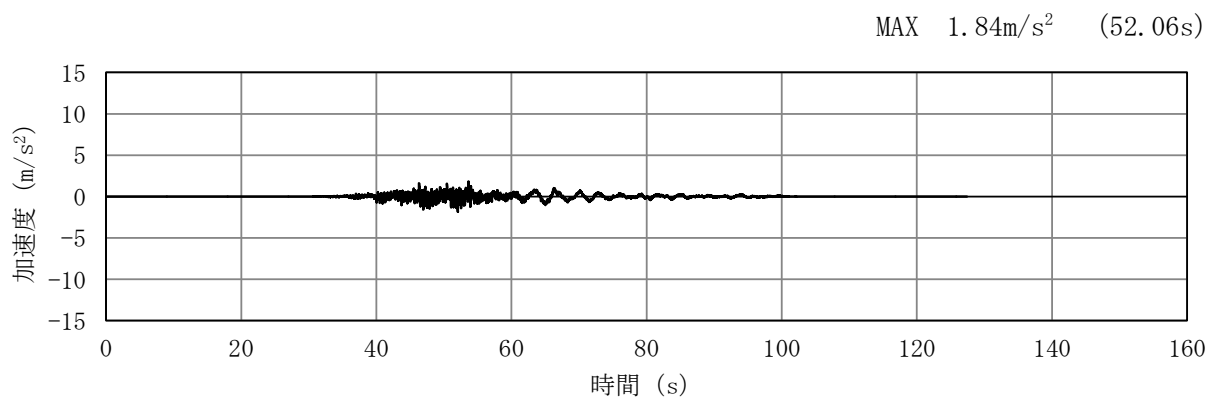


(a) 加速度時刻歴波形

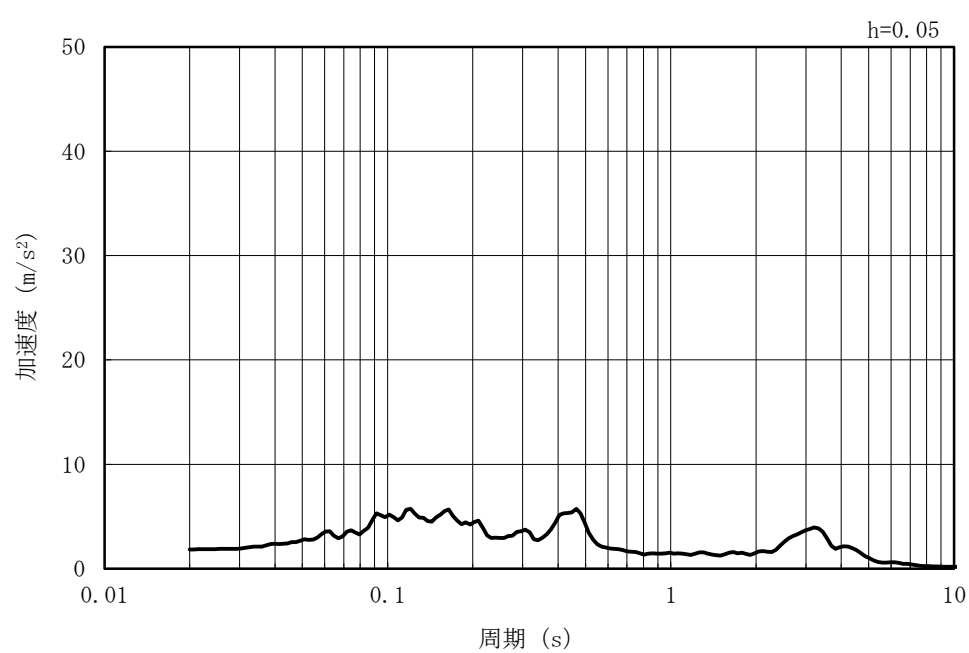


(b) 加速度応答スペクトル

図 4-42 入力地震動の加速度時刻歴波形及び加速度応答スペクトル
(水平方向 : Sd-5NS)

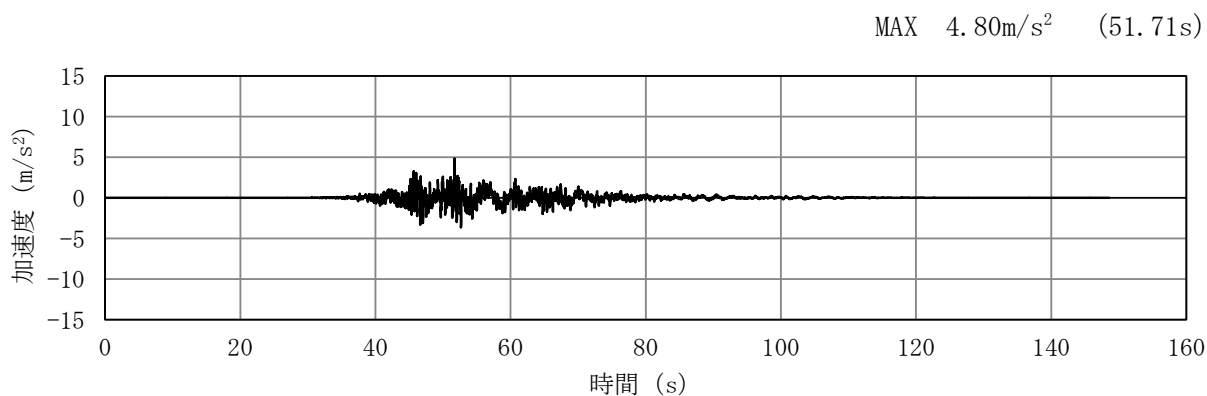


(a) 加速度時刻歴波形

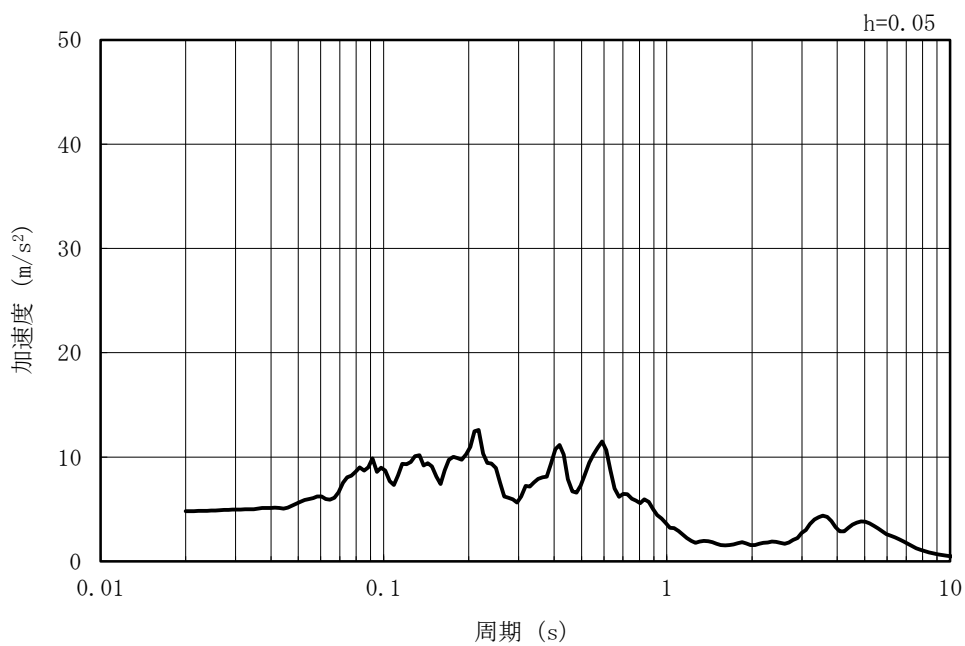


(b) 加速度応答スペクトル

図 4-43 入力地震動の加速度時刻歴波形及び加速度応答スペクトル
(鉛直方向 : Sd=5NS)

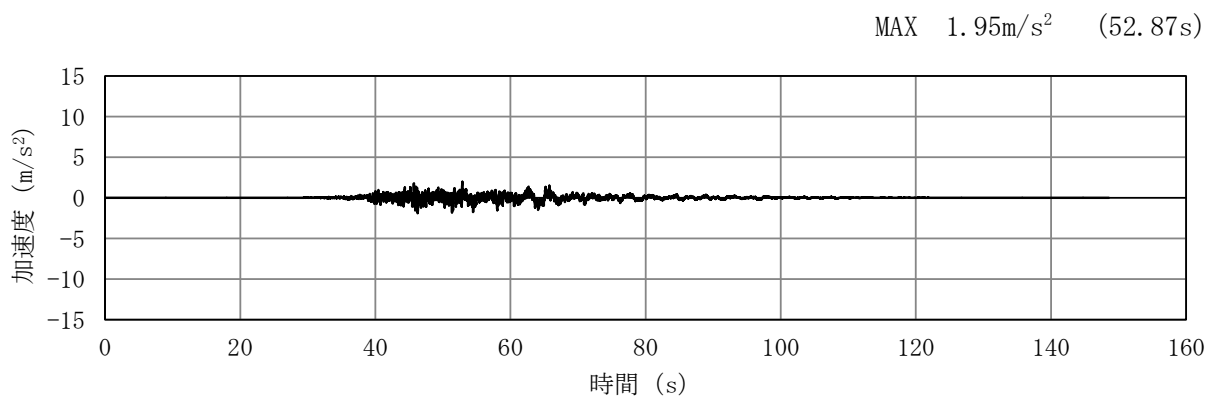


(a) 加速度時刻歴波形

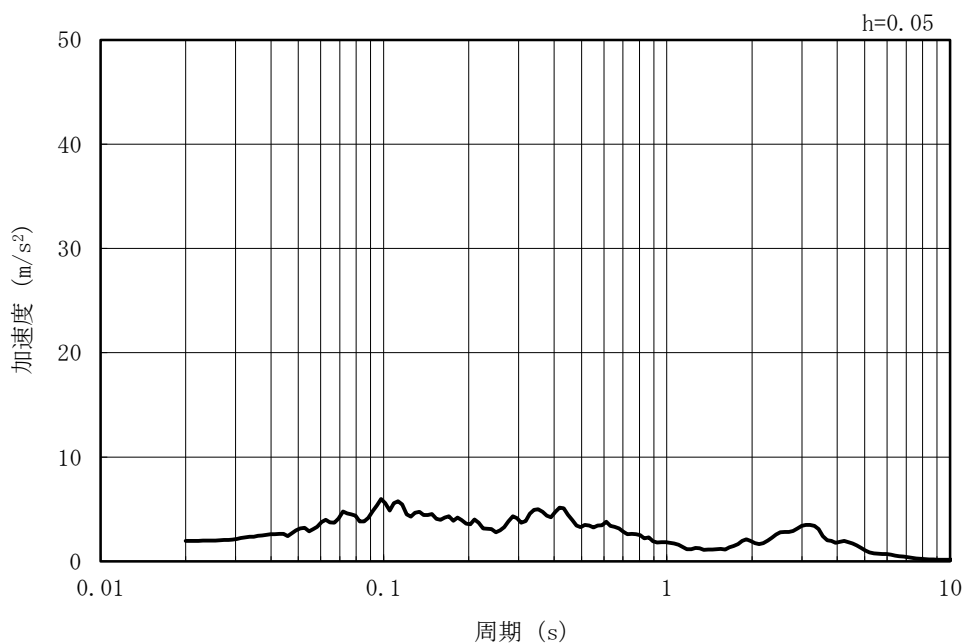


(b) 加速度応答スペクトル

図 4-44 入力地震動の加速度時刻歴波形及び加速度応答スペクトル
(水平方向 : Sd-6EW)

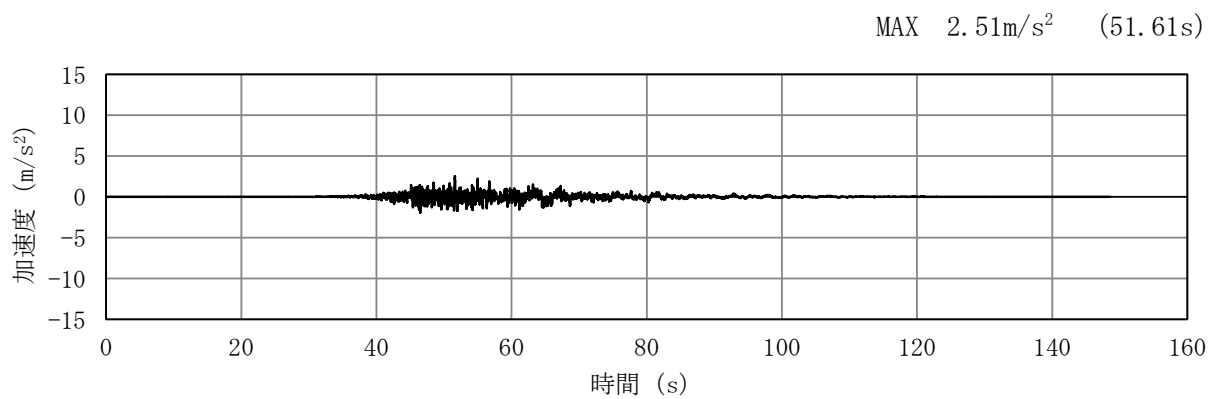


(a) 加速度時刻歴波形

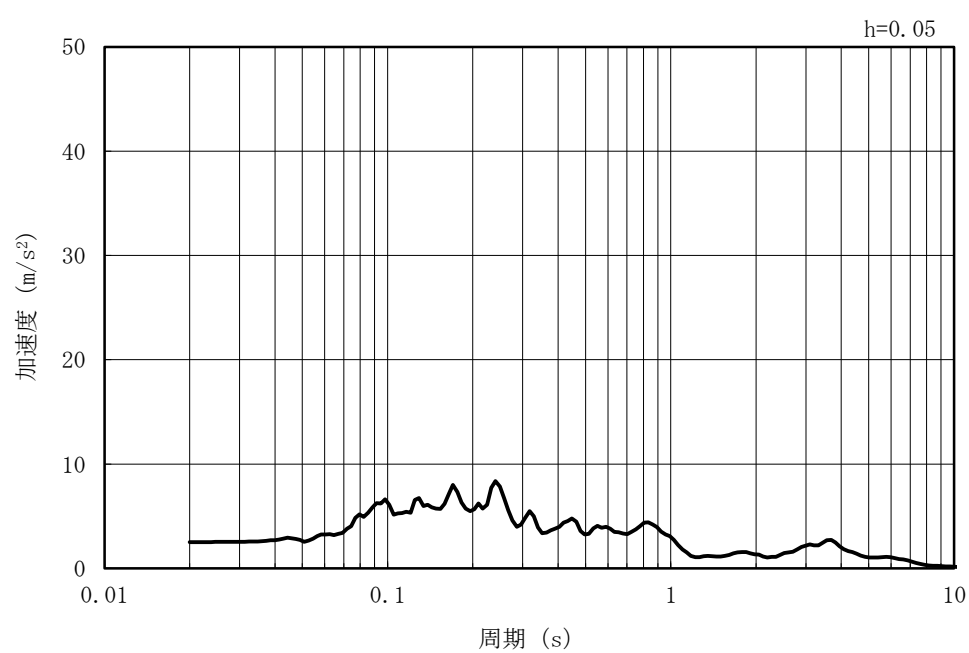


(b) 加速度応答スペクトル

図 4-45 入力地震動の加速度時刻歴波形及び加速度応答スペクトル
(鉛直方向 : Sd-6EW)

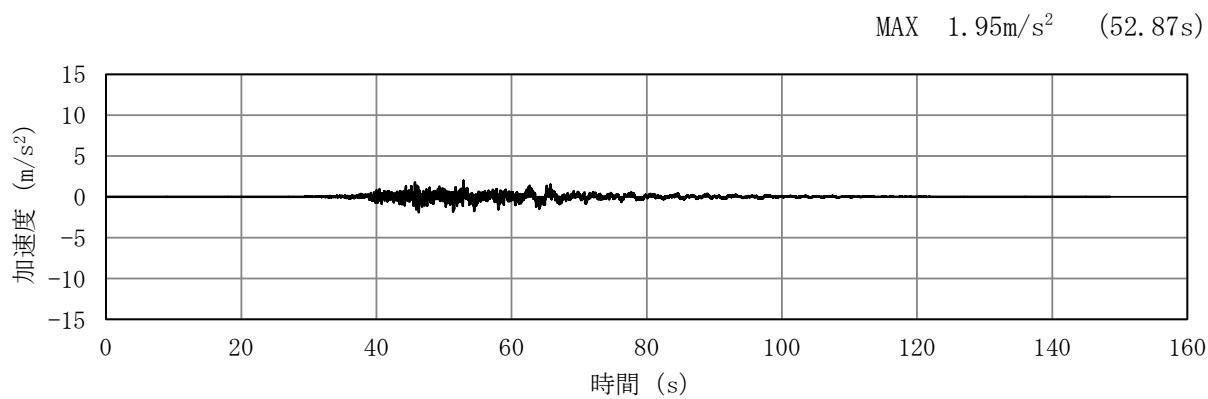


(a) 加速度時刻歴波形

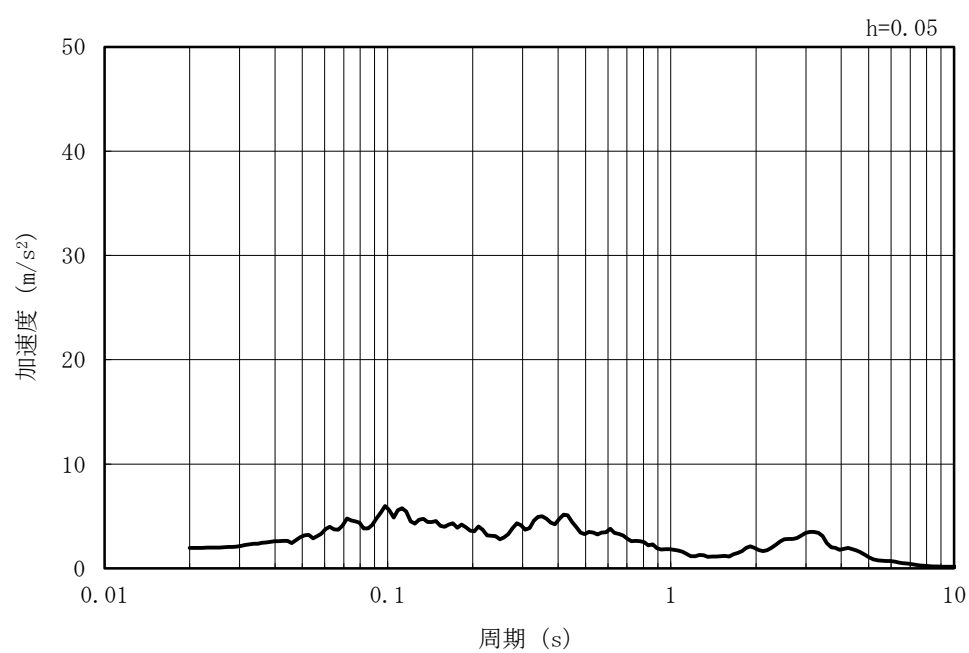


(b) 加速度応答スペクトル

図 4-46 入力地震動の加速度時刻歴波形及び加速度応答スペクトル
(水平方向 : Sd-6NS)

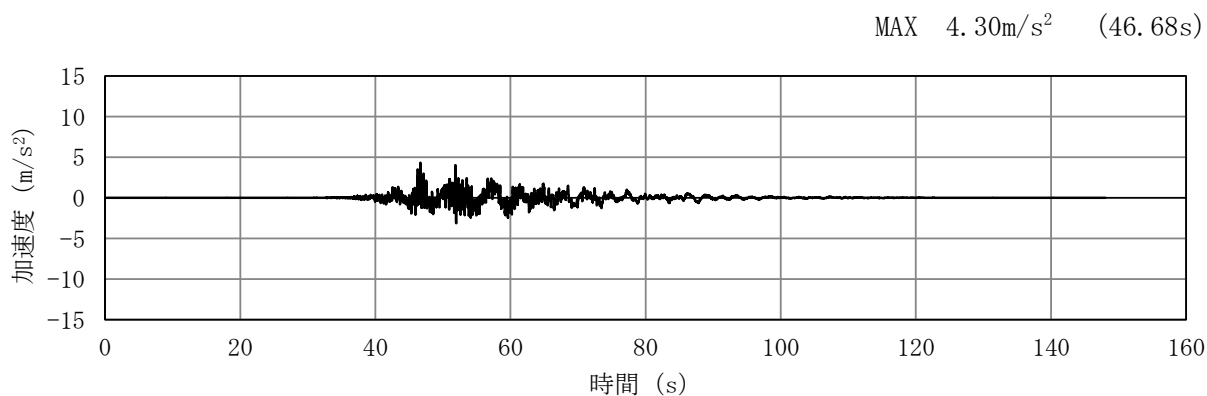


(a) 加速度時刻歴波形

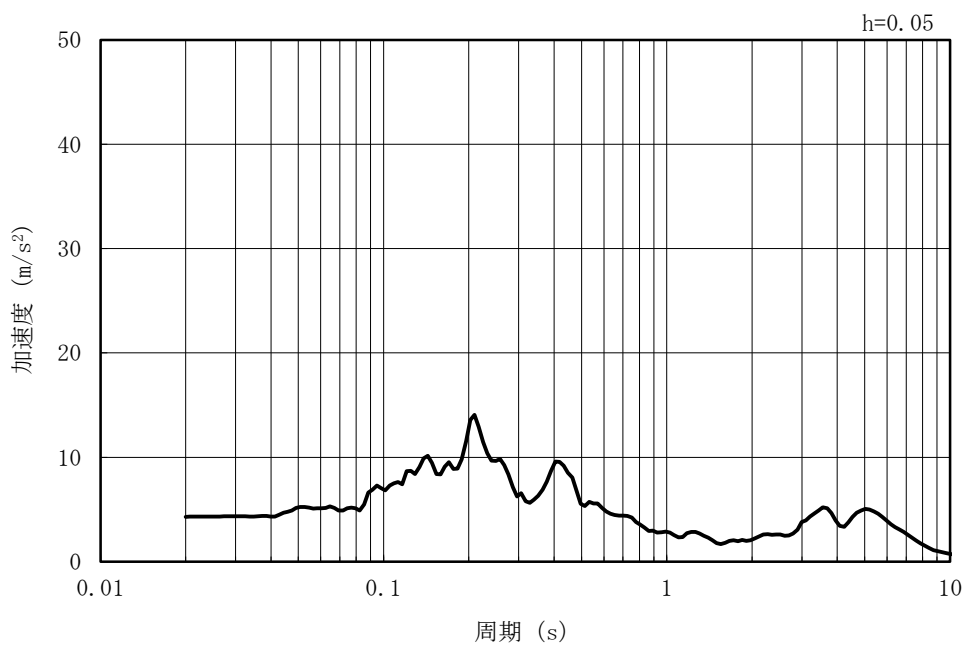


(b) 加速度応答スペクトル

図 4-47 入力地震動の加速度時刻歴波形及び加速度応答スペクトル
(鉛直方向 : Sd-6NS)

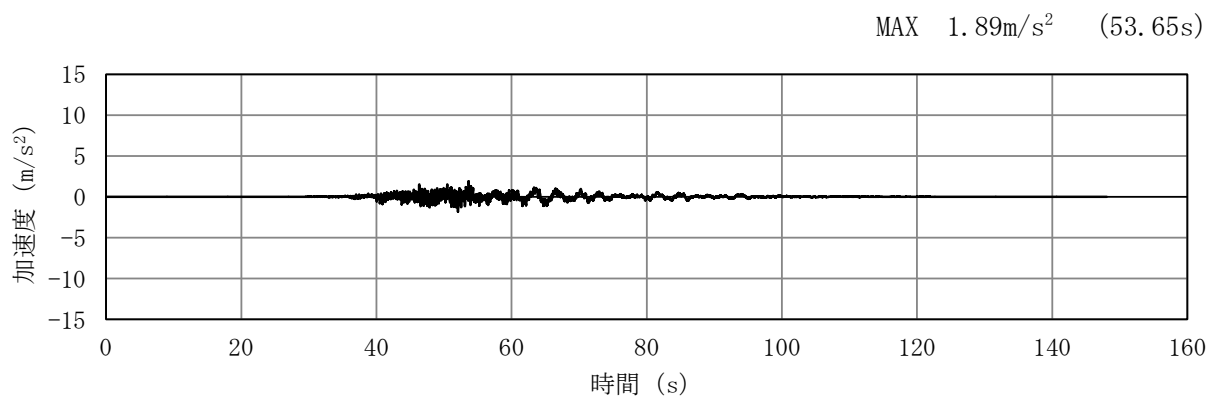


(a) 加速度時刻歴波形

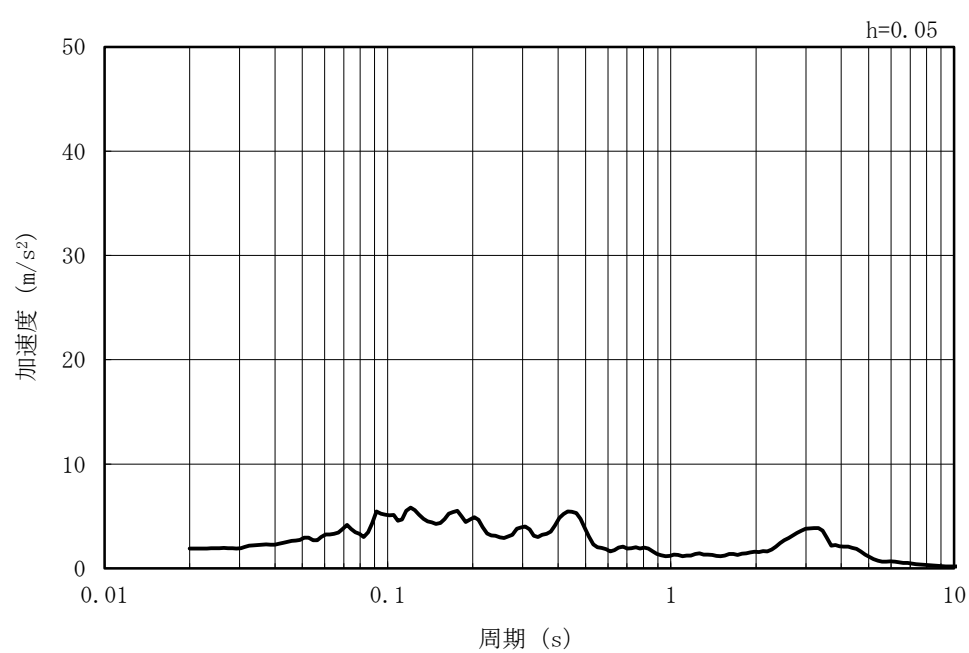


(b) 加速度応答スペクトル

図 4-48 入力地震動の加速度時刻歴波形及び加速度応答スペクトル
(水平方向 : Sd-7EW)

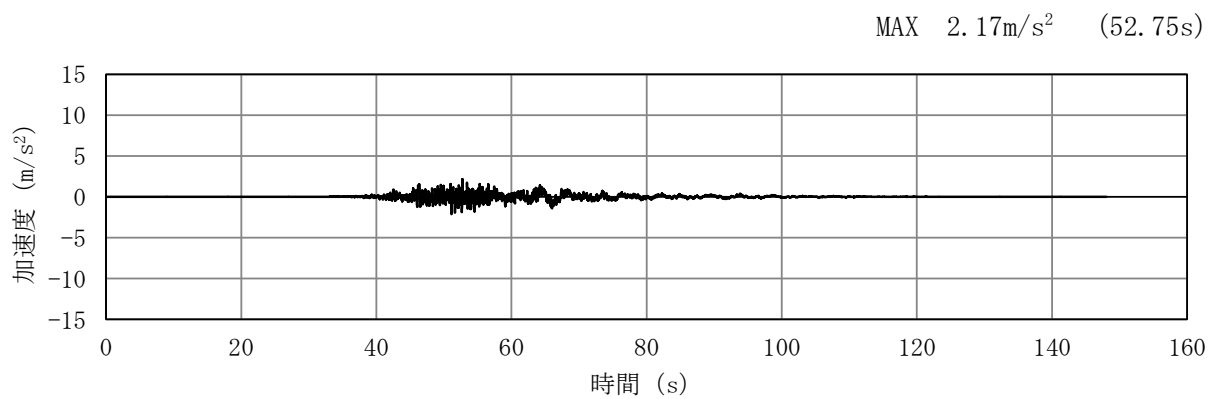


(a) 加速度時刻歴波形

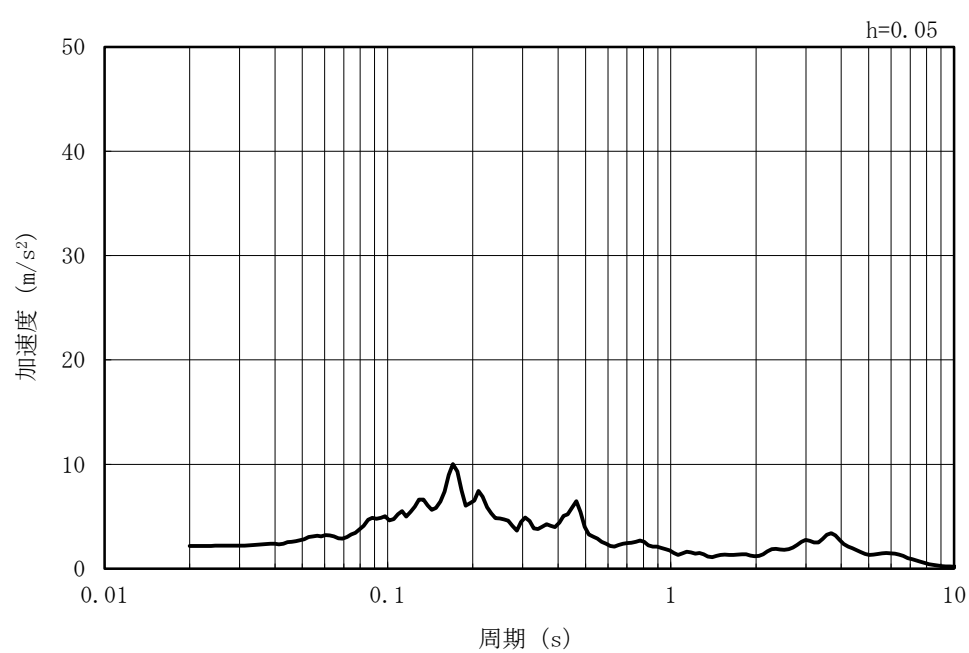


(b) 加速度応答スペクトル

図 4-49 入力地震動の加速度時刻歴波形及び加速度応答スペクトル
(鉛直方向 : Sd-7EW)

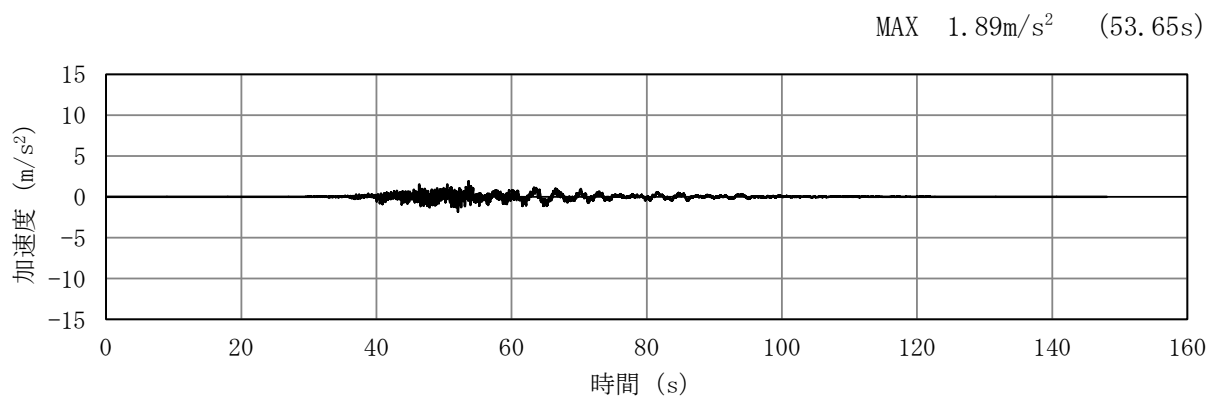


(a) 加速度時刻歴波形

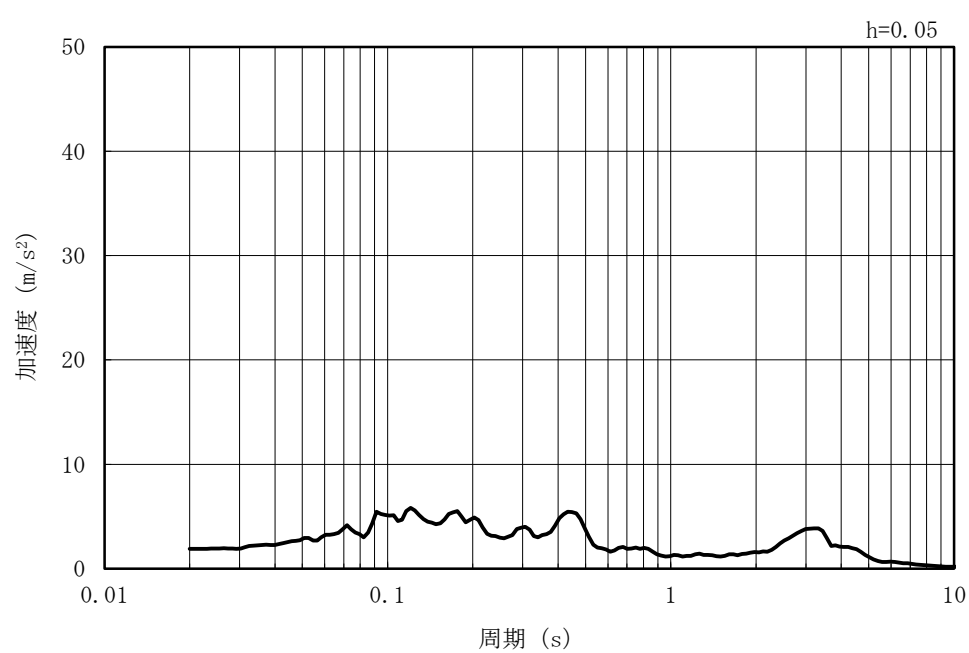


(b) 加速度応答スペクトル

図 4-50 入力地震動の加速度時刻歴波形及び加速度応答スペクトル
(水平方向 : Sd-7NS)

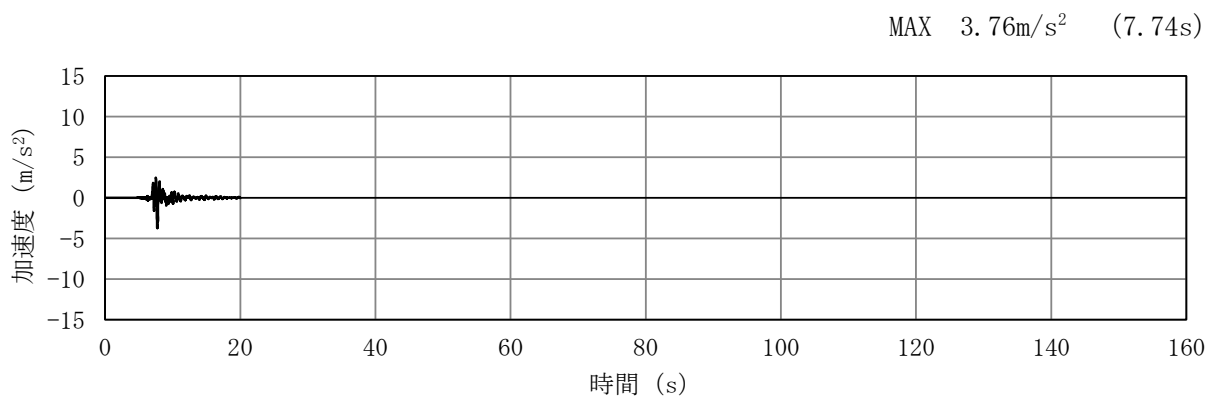


(a) 加速度時刻歴波形

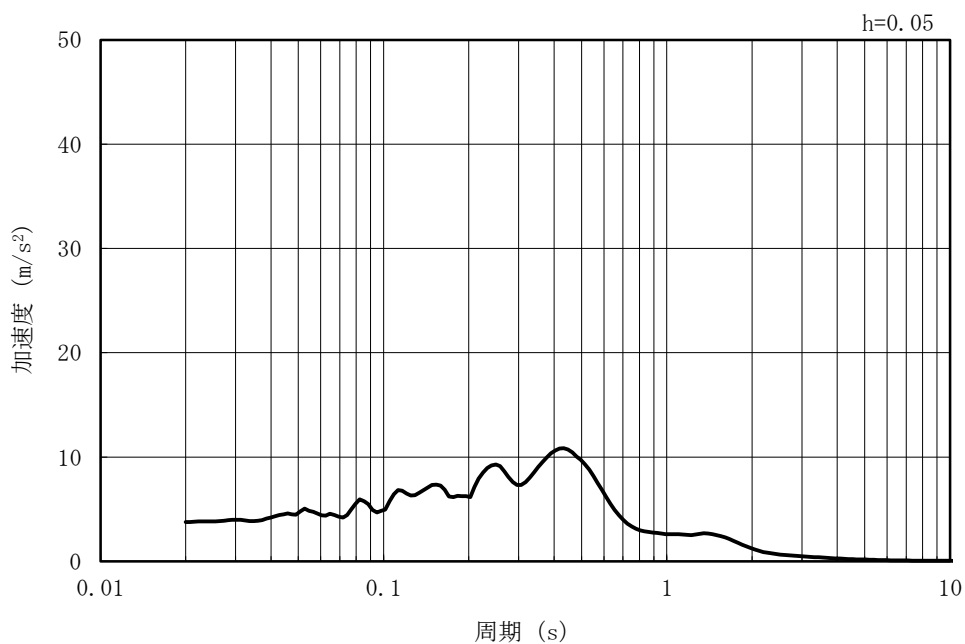


(b) 加速度応答スペクトル

図 4-51 入力地震動の加速度時刻歴波形及び加速度応答スペクトル
(鉛直方向 : Sd-7NS)

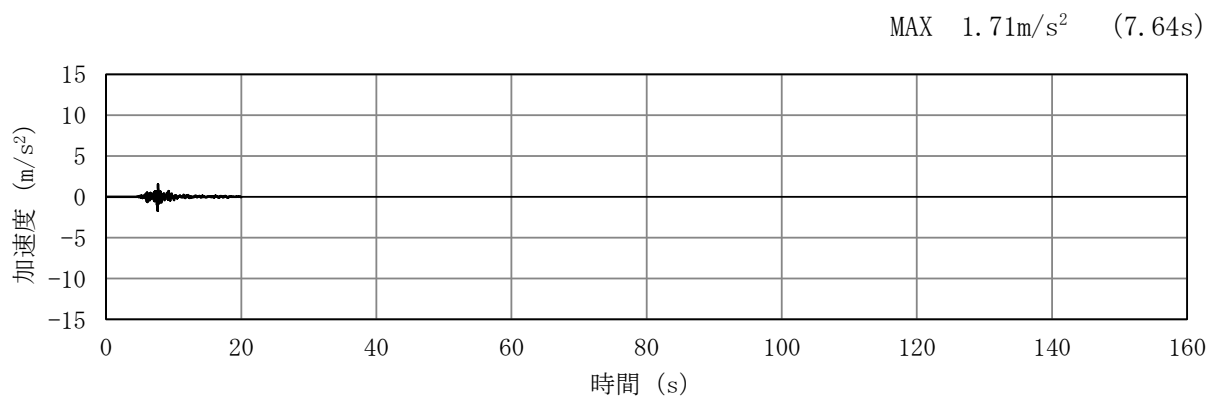


(a) 加速度時刻歴波形

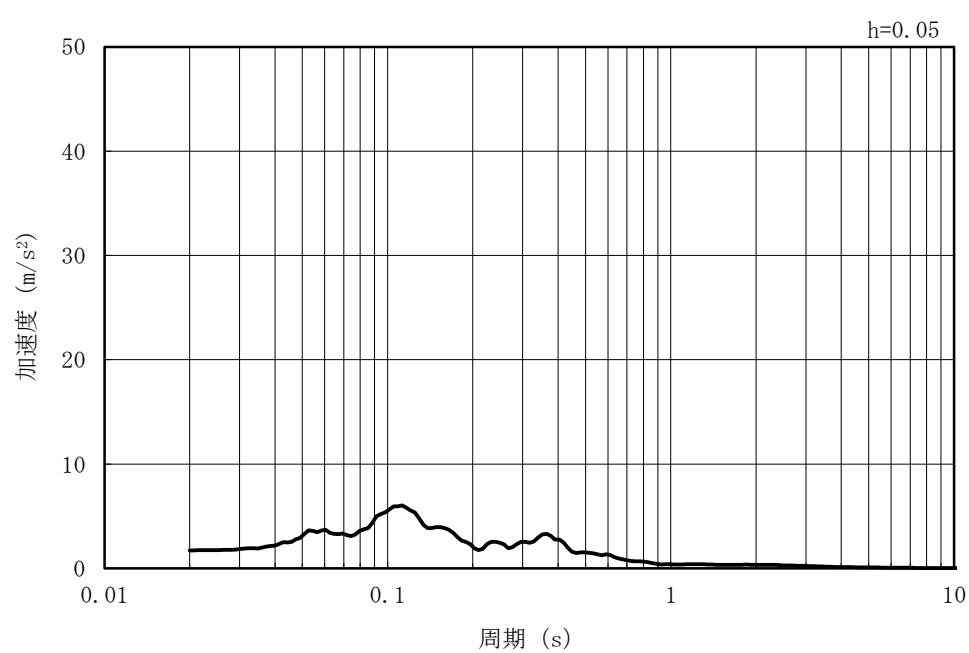


(b) 加速度応答スペクトル

図 4-52 入力地震動の加速度時刻歴波形及び加速度応答スペクトル
(水平方向 : Sd-8)



(a) 加速度時刻歴波形



(b) 加速度応答スペクトル

図 4-53 入力地震動の加速度時刻歴波形及び加速度応答スペクトル
(鉛直方向 : Sd-8)

4.2 許容限界の設定

4.2.1 曲げ軸力に対する許容限界

(1) 鉄筋コンクリート部材

鉄筋コンクリート部材の曲げ軸力に対する照査は、土木学会マニュアルに基づき、限界層間変形角（層間変形角 1/100）を許容限界とし、照査用層間変形角が限界層間変形角を下回ることを確認する。

鉄筋コンクリート部材の曲げ軸力照査に用いる照査用層間変形角は、地震応答解析により得られた層間変形角に安全係数（構造解析係数）1.2 を乗じることにより、曲げ破壊に対して安全余裕を見込んだ評価を実施する。

$$\gamma_i \frac{R_d}{R_u} < 1.0$$

ここで、 γ_i ：構造物係数（ $\gamma_i = 1.0$ ）

R_u ：鉄筋コンクリート部材の層間変形角

R_d ：照査用層間変形角 $R_d = \gamma_a \cdot R$

γ_a ：構造解析係数（ $\gamma_a = 1.2$ ）

R ：応答計算による層間変形角

(2) 鋼管杭

鋼管杭の曲げ軸力に対する照査は、キャスク指針及び鋼・合成構造標準示方書に基づき、鋼管杭の終局曲率を許容限界とし、照査用曲率が終局曲率を下回ることを確認する。

鋼管杭の曲げ軸力照査に用いる照査用曲率は、地震応答解析により得られた曲率に安全係数（構造解析係数）1.05 を乗じることにより、曲げ破壊に対して安全余裕を見込んだ評価を実施する。

$$\gamma_i \frac{\phi_d}{\phi_u} < 1.0$$

ここで、 γ_i : 構造物係数 (=1.0)

$$\phi_d = \gamma_a \cdot \phi$$

γ_a : 構造解析係数 (=1.05)

ϕ : 応答計算による最大曲率

ϕ_u : 鋼管杭の終局曲率

$$\phi_u(N) = \varepsilon_{\max} / [r \cdot \{1 + \sin(\pi N / 2N_y)\}] / \gamma_b \quad (N < 0 : \text{引張}, N > 0 : \text{圧縮})$$

N : 発生軸力

$\varepsilon_{\max} = 0.22 t / r$: 局部座屈発生時ひずみ

r : 杭の半径

t : 腐食しろを除いた鋼材の厚さ

$N_y = 2\pi \cdot r \cdot t \cdot \sigma_y$: 鋼材降伏時の軸力

σ_y : 鋼材の降伏点応力

γ_b : 部材係数 (=1.1)

4.2.2 せん断力に対する許容限界

(1) 鉄筋コンクリート部材

鉄筋コンクリート部材のせん断力に対する許容限界は、土木学会マニュアルに基づき、
a. 棒部材式又は b. ディープビーム式で求まるせん断耐力のうち、いずれか大きい方を許容
限界とし、照査用せん断力がせん断耐力を下回ることを確認する。

鉄筋コンクリート部材のせん断力照査に用いる照査用せん断力は、地震応答解析により
得られたせん断力に安全係数（構造解析係数）1.05 を乗じることにより、せん断破壊に対
して安全余裕を見込んだ評価を実施する。

$$\gamma_i \frac{V_d}{V_{y d}} < 1.0$$

ここで、

γ_i : 構造物係数 ($\gamma_i = 1.0$)

$V_{y d}$: せん断耐力

V_d : 照査用せん断力 ($V_d = \gamma_a \cdot V$)

γ_a : 構造解析係数 ($\gamma_a = 1.05$)

V : 応答計算によるせん断力

a. 棒部材式

$$V_{y d} = V_{c d} + V_{s d}$$

ここで,

$V_{c d}$: コンクリートが分担するせん断耐力

$V_{s d}$: せん断補強筋が分担するせん断耐力

$$V_{c d} = \beta_d \cdot \beta_p \cdot \beta_n \cdot \beta_a \cdot f_{v c d} \cdot b_w \cdot d / \gamma_{b c}$$

$$f_{v c d} = 0.20 \sqrt[3]{f_{c d}} \quad \text{ただし, } f_{v c d} > 0.72 \text{ (N/mm}^2\text{)} \text{ となる場合は } f_{v c d} = 0.72 \text{ (N/mm}^2\text{)}$$

$$\beta_d = \sqrt[4]{1/d} \quad \text{(d [m])} \quad \text{ただし, } \beta_d > 1.5 \text{ となる場合は } \beta_d = 1.5$$

$$\beta_p = \sqrt[3]{100 p_v} \quad \text{ただし, } \beta_p > 1.5 \text{ となる場合は } \beta_p = 1.5$$

$$\beta_n = 1 + M_0 / M_d \quad (N'_d \geq 0) \quad \text{ただし, } \beta_n > 2.0 \text{ となる場合は } \beta_n = 2.0$$

$$= 1 + 2 M_0 / M_d \quad (N'_d < 0) \quad \text{ただし, } \beta_n < 0 \text{ となる場合は } \beta_n = 0$$

$$\beta_a = 0.75 + \frac{1.4}{a/d} \quad \text{ただし, } \beta_a < 1.0 \text{ となる場合は } \beta_a = 1.0$$

$f'_{c d}$: コンクリート圧縮強度の設計用値 (N/mm²) で設計基準強度 $f_{c k}$ を材料係数 $\gamma_{m c}$ (=1.3) で除したもの

$p_v = A_s / (b_w \cdot d)$: 引張鉄筋比

A_s : 引張側鋼材の断面積

b_w : 部材の有効幅

d : 部材の有効高さ

N'_d : 設計軸圧縮力

M_d : 設計曲げモーメント

$M_0 = N'_d \cdot D / 6$: M_d に対する引張縁において, 軸方向力によって発生する応力を打ち消すのに必要なモーメント (デコンプレッションモーメント)

D : 断面高さ

a/d : せん断スパン比

$\gamma_{b c}$: 部材係数 (=1.3)

$$V_{s d} = \{A_w \cdot f_{w y d} \cdot (\sin \alpha + \cos \alpha) / s\} \cdot z / \gamma_{b s}$$

ここで,

A_w : 区間 s におけるせん断補強筋の総断面積

$f_{w y d}$: せん断補強筋の降伏強度を材料係数 $\gamma_{m s}$ (1.0) で除したもので, 400N/mm²以下とする。ただし, コンクリートの圧縮強度の特性値 f'

c_k が 60N/mm^2 以上の時は, 800N/mm^2 以下とする。

α : せん断補強筋と部材軸のなす角

s : せん断補強筋の配置間隔

z : 圧縮応力の合力の作用位置から引張鋼材図心までの距離で $d/1.15$ とする。

γ_{bs} : 部材係数 (=1.1)

b. デュープビーム式

$$V_{ydd} = V_{cdd} + V_{sdd}$$

ここで,

V_{cdd} : コンクリートが分担するせん断耐力

V_{sdd} : せん断補強筋が分担するせん断耐力

$$V_{cdd} = \beta_d \cdot \beta_p \cdot \beta_a \cdot f_{dd} \cdot b_w \cdot d / \gamma_{bc}$$

$$f_{dd} = 0.19 \sqrt{f'_{cd}}$$

$$\beta_d = \sqrt[4]{1/d} \quad (d \text{ [m]})$$

ただし, $\beta_d > 1.5$ となる場合は $\beta_d = 1.5$

$$\beta_p = \sqrt[3]{100 p_v}$$

ただし, $\beta_p > 1.5$ となる場合は $\beta_p = 1.5$

$$\beta_a = \frac{5}{1 + (a/d)^2}$$

γ_{bc} : 部材係数 (=1.3)

$$V_{sdd} = \phi \cdot V_{sd}$$

$$\phi = -0.17 + 0.3 a/d + 0.33/p_{wb} \quad \text{ただし, } 0 \leq \phi \leq 1$$

p_{wb} : せん断補強鉄筋比 (%)

また、分布荷重を受ける部材のせん断耐力については、図 4-54 に示す等価せん断スパンの考え方にに基づき、せん断耐力を算定する。

c. 等価せん断スパンの設定

時刻歴地震応答解析で得られる断面力分布に基づいて、支承前面あるいははり・柱前面から曲げモーメントが発生する位置（あるいはせん断力が零となる点）までを照査対象区間と考える。この区間において、等価せん断スパンを以下のように設定する。

- ① 区間内に曲げモーメントの反曲点（曲げモーメントが零）が存在する場合は、以下の2種類の等価せん断スパンを設定する。

第1等価せん断スパン(a1)：支承前面あるいははり・柱前面から反曲点までの距離

第2等価せん断スパン(a2)：反曲点から最大曲げモーメント点までの距離

- ② 区間内に曲げモーメントの反曲点（曲げモーメントが零）が無い場合は、以下のように等価せん断スパンを設定する。

等価せん断スパン(a)：支承前面あるいははり・柱前面から最大曲げモーメント点までの距離

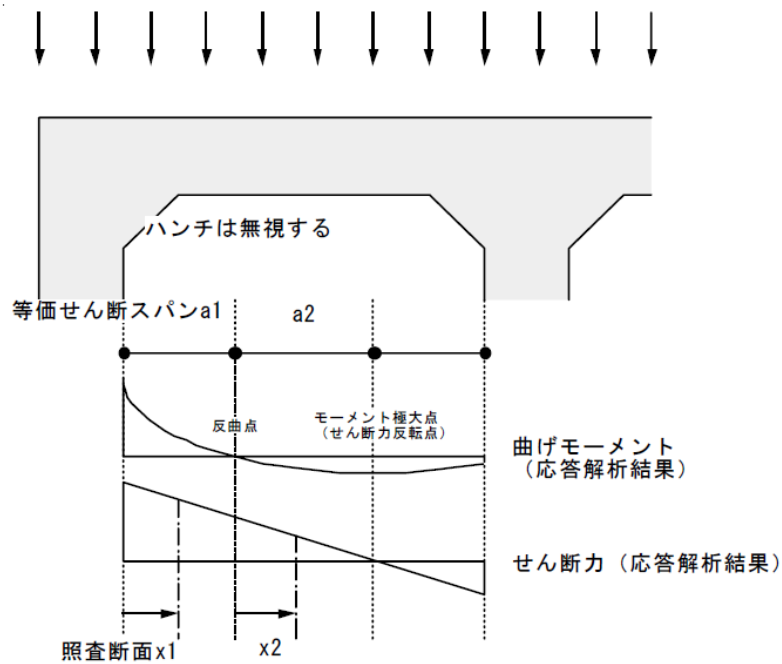


図 4-54 等価せん断スパンの設定方法

(土木学会マニュアルより引用)

土木学会マニュアルでは、コンクリート標準示方書におけるせん断耐力式のうち棒部材式において等価せん断スパンにより設定可能な係数 β_a を考慮している。これは、地中に埋設されたラーメン構造で、分布荷重が卓越、スパン内に曲げモーメントの反曲点が存在する等の載荷形態にある条件下では、せん断耐力が増大するという実験的知見を踏まえ、より合理的なせん断耐力を与えるよう、コンクリート標準示方書のせん断耐力式を精緻化したものである。

土木学会マニュアルにおけるせん断耐力式による評価においては、表 4-1 に示すとおり、複数の安全係数が見込まれていることから、せん断破壊に対して安全余裕を見込んだ評価を実施することが可能である。

表 4-1 せん断耐力式において考慮している安全係数

安全係数			値	内容
材料係数	コンクリート	γ_{mc}	1.30	コンクリートの特性値（圧縮強度）を低減
部材係数	コンクリート	γ_{bc}	1.30	コンクリートが負担するせん断力を低減
	鉄筋	γ_{bs}	1.10	せん断補強筋が負担するせん断力を低減
構造解析係数		γ_a	1.05	応答値（断面力）を割り増し

注記* : 土木学会マニュアルでは、部材係数 $\gamma_b = \gamma_{b1} \times \gamma_{b2}$

$$\gamma_{b1} = \begin{cases} 1.3 & (\text{コンクリート}) \\ 1.1 & (\text{鉄筋}) \end{cases}$$

$$\gamma_{b2} = \begin{cases} 1.0 & (R \leq 0.01) \\ \frac{100R+2}{3} & (0.01 < R \leq 0.025) \\ 1.5 & (R > 0.025) \end{cases}$$

ここで、R: 層間変形角

とされている。

燃料移送系配管ダクトは層間変形角 1/100 を鉄筋コンクリート部材の曲げ軸力照査の許容限界としていることから、 $\gamma_{b2}=1.0$ とする。

(2) 鋼管杭

鋼管杭のせん断力に対する許容限界は、キャスク指針及び鋼・合成構造標準示方書に基づき、以下の式で求まる終局せん断強度とする。

鋼管杭のせん断力照査に用いる照査用せん断力は、地震応答解析により得られたせん断力に安全係数（構造解析係数）1.05 を乗じることにより、せん断破壊に対して安全余裕を見込んだ評価を実施する。

$$\gamma_i \frac{Q_d}{Q_u} < 1.0$$

ここで、 γ_i : 構造物係数 (=1.0)

$$Q_d = \gamma_a \cdot Q$$

γ_a : 構造解析係数 (=1.05)

Q : 応答計算による最大せん断力

Q_u : 鋼管杭の終局せん断強度

$$Q_u = A_e \cdot f_s / \kappa / \gamma_b$$

A_e : 腐食代を除いた杭の断面積

f_s : 鋼材の短期許容せん断応力度

κ : せん断応力度の分布係数で 2.0 とする。

γ_b : 部材係数 (=1.1)

4.2.3 基礎地盤の支持性能に対する許容限界

(1) 基礎地盤の押し込みに対する支持性能評価

基礎地盤の押し込みに対する許容限界は、V-2-1-3「地盤の支持性能に係る基本方針」に基づき、道路橋示方書の杭基礎（中掘り杭工法）より設定する極限支持力に、キャスク指針に基づく安全率 1.2 を考慮した終局鉛直支持力とする。杭周面の地盤が液状化層である場合、有効応力解析により過剰間隙水圧比が 95%以上と判定された地盤については液状化するものとし、周面摩擦力を考慮しないものとする。地盤改良体や非液状化層については、周面摩擦力を支持力として考慮する。

終局鉛直支持力の算定条件を表 4-2 に示す。

$$R_{ua} = \frac{\gamma}{n} R_u$$

ここで、 R_{ua} : 終局鉛直支持力

γ : 極限支持力推定法の相違による安全率の補正係数

(極限支持力を支持力推定式で算定するため、 $\gamma = 1.0$ とする)

n : 安全率 (キャスク指針に基づき、 $n = 1.2$ とする)

R_u : 地盤から決まる杭の極限支持力 (kN)

$$R_u = q_d \cdot A + U \cdot \sum L_i \cdot f_i$$

q_d : 杭先端における単位面積当たりの極限支持力度 (kN/m²)

適用する杭工法及び杭先端の地盤種別に応じて設定

$q_d = 200 \cdot N$ (≤ 10000) (セメントミルク噴出攪拌方式)

A : 杭先端面積 (m²)

N : 杭先端地盤における標準貫入試験の N 値

U : 杭の周長 (m)

L_i : 周面摩擦力を考慮する層の層厚 (m)

f_i : 周面摩擦力を考慮する層の最大周面摩擦力度 (kN/m²)

表 4-2 地盤の支持性能に対する許容限界の算定条件 (押込み)

項目	算定結果				備考
	A-A断面		B-B断面		
	南側	北側	南側	北側	
$q_d A$ (kN)	5001	5001	5001	5001	
杭先端の極限支持力度 q_d (kN/m ²)	10000	10000	10000	10000	
杭先端面積 A (m ²)	0.500	0.500	0.500	0.500	腐食代 1mm 考慮
杭の周長 U (m)	2.507	2.507	2.507	2.507	腐食代 1mm 考慮

(2) 基礎地盤の引抜きに対する評価

基礎地盤の引抜きに対する許容限界は、道路橋示方書の杭基礎（中掘り杭工法）より設定する極限引抜き力に、キャスク指針に基づく安全率 1.2 を考慮した終局引抜き力とする。杭周面の地盤が液状化層である場合、有効応力解析により過剰間隙水圧比が 95%以上と判定された地盤については液状化するものとし、周面摩擦力を考慮しないものとする。地盤改良体や非液状化層については、周面摩擦力を支持力として考慮する。

$$P_a = \frac{1}{n} P_u$$

ここで、 P_a : 終局引抜き力

n : 安全率（キャスク指針に基づき、 $n=1.2$ とする）

P_u : 地盤から決まる杭の極限引抜き力 (kN)

$$P_u = U \cdot \sum L_i \cdot f_i$$

U : 杭の周長 (m)

L_i : 周面摩擦力を考慮する層の層厚 (m)

f_i : 周面摩擦力を考慮する層の最大周面摩擦力度 (kN/m²)

5. 評価結果

5.1 地震応答解析結果

地震応答解析結果として、「層間変形角時刻歴波形」,「断面力分布」,「曲率分布」,「最大せん断ひずみ分布」及び「過剰間隙水圧比分布」を記載する。なお,断面力分布は単位奥行きあたりの断面力を図示する。

耐震評価においては, KK7 補足-027-1「資料1 屋外重要土木構造物の耐震安全性評価について」の「9. 屋外重要土木構造物の耐震評価における追加解析ケースの選定について」に基づき,全ての基準地震動 S_s に対して実施する解析ケース①(基本ケース)において曲げ軸力照査,せん断力照査及び基礎地盤の支持性能照査の各評価項目について,照査値が最も厳しい(許容限界に対する余裕が最も小さい)地震動を用い,追加解析ケース(②~⑤)を実施する。また,上記解析ケースの結果を踏まえ,さらに照査値が大きくなる可能性がある場合は,追加解析を実施する。

5.1.1 解析ケースと照査値

(1) A-A断面

a. 曲げ軸力照査

表 5-1 に、鉄筋コンクリート部材及び鋼管杭の曲げ軸力照査の実施ケースと照査値を示す。

表 5-1 A-A断面の曲げ軸力照査の実施ケースと照査値

鉄筋コンクリート部材

解析ケース 地震動		鉄筋コンクリートの曲げ軸力照査				
		①	②	③	④	⑤
Ss-1	++	0.03				
	-+	0.03				
	+-	0.03				
	--	0.03	0.03	0.03	0.03	0.03
Ss-2		0.02				
Ss-3	++	0.03				
	-+	0.03				
	+-	0.03				
	--	0.02				
Ss-4		0.02				
Ss-5		0.02				
Ss-6		0.02				
Ss-7		0.01				
Ss-8	++	0.03				
	-+	0.03				

鋼管杭

解析ケース 地震動		鋼管杭の曲げ軸力照査				
		①	②	③	④	⑤
Ss-1	++	0.07				
	-+	0.07				
	+-	0.07				
	--	0.06	0.05	0.10	0.07	0.06
Ss-2		0.03				
Ss-3	++	0.07				
	-+	0.06				
	+-	0.06				
	--	0.06				
Ss-4		0.02				
Ss-5		0.02				
Ss-6		0.02				
Ss-7		0.02				
Ss-8	++	0.06				
	-+	0.06				

b. せん断力照査

表 5-2 に鉄筋コンクリート部材及び鋼管杭のせん断力照査の実施ケースと、照査値を示す。

表 5-2 A-A断面のせん断力照査の実施ケースと照査値 (1/3)

鉄筋コンクリート部材 (側壁)

地震動		鉄筋コンクリートのせん断力照査				
		①	②	③	④	⑤
Ss-1	++	0.22				
	-+	0.21				
	+-	0.22				
	--	0.21	0.21	0.18	0.23	0.22
Ss-2		0.16				
Ss-3	++	0.19				
	-+	0.18				
	+-	0.18				
	--	0.17				
Ss-4		0.15				
Ss-5		0.14				
Ss-6		0.15				
Ss-7		0.12				
Ss-8	++	0.19				
	-+	0.19				

鉄筋コンクリート部材 (頂版)

地震動		鉄筋コンクリートのせん断力照査				
		①	②	③	④	⑤
Ss-1	++	0.24				
	-+	0.21				
	+-	0.23				
	--	0.21	0.20	0.20	0.21	0.20
Ss-2		0.15				
Ss-3	++	0.18				
	-+	0.20				
	+-	0.18				
	--	0.18				
Ss-4		0.13				
Ss-5		0.13				
Ss-6		0.14				
Ss-7		0.11				
Ss-8	++	0.18				
	-+	0.19				

表 5-2 A-A断面のせん断力照査の実施ケースと照査値 (2/3)

鉄筋コンクリート部材 (底版)

地震動 \ 解析ケース		鉄筋コンクリートのせん断力照査				
		①	②	③	④	⑤
Ss-1	++	0.50				
	-+	0.50				
	+-	0.51		0.54		
	--	0.52	0.44	0.54	0.47	0.35
Ss-2		0.33				
Ss-3	++	0.40				
	-+	0.45				
	+-	0.45				
	--	0.41				
Ss-4		0.28				
Ss-5		0.22				
Ss-6		0.26				
Ss-7		0.21				
Ss-8	++	0.42				
	-+	0.41				

注： □は、前述 3.5.1 のフローに基づき、解析ケース②～⑤を実施する地震動の基本ケース①の照査値を示す。

鉄筋コンクリート部材 (隔壁)

地震動 \ 解析ケース		鉄筋コンクリートのせん断力照査				
		①	②	③	④	⑤
Ss-1	++	0.33				
	-+	0.34				
	+-	0.34				
	--	0.34	0.33	0.33	0.34	0.32
Ss-2		0.26				
Ss-3	++	0.30				
	-+	0.30				
	+-	0.30				
	--	0.29				
Ss-4		0.22				
Ss-5		0.19				
Ss-6		0.22				
Ss-7		0.17				
Ss-8	++	0.31				
	-+	0.31				

表 5-2 A-A断面のせん断力照査の実施ケースと照査値 (3/3)

鋼管杭

地震動		解析ケース		鋼管杭のせん断力照査				
		①	②	③	④	⑤		
Ss-1	++	0.31						
	-+	0.30						
	+-	0.31						
	--	0.30	0.27	0.35	0.29	0.26		
Ss-2		0.12						
Ss-3	++	0.31						
	-+	0.33						
	+-	0.29						
	--	0.29						
Ss-4		0.08						
Ss-5		0.10						
Ss-6		0.08						
Ss-7		0.08						
Ss-8	++	0.29						
	-+	0.23						

c. 基礎地盤の支持性能照査

表 5-3, 表 5-4 に基礎地盤の押込み及び引抜きに対する支持性能照査の実施ケースと照査値を示す。

表 5-3 A-A断面の基礎地盤の押込みに対する支持性能照査の実施ケースと照査値

地震動		基礎地盤の押込みに対する支持性能照査				
		①	②	③	④	⑤
Ss-1	++	0.07				
	-+	0.07				
	+-	0.07				
	--	0.07	0.06	0.09	0.06	0.06
Ss-2		0.06				
Ss-3	++	0.06				
	-+	0.06				
	+-	0.07				
	--	0.07				
Ss-4		0.05				
Ss-5		0.05				
Ss-6		0.06				
Ss-7		0.05				
Ss-8	++	0.06				
	-+	0.07				

表 5-4 A-A断面の基礎地盤の引抜きに対する支持性能照査の実施ケースと照査値

地震動		鋼管杭の引抜きに対する支持性能照査				
		①	②	③	④	⑤
Ss-1	++	0.18				
	-+	0.18				
	+-	0.19				
	--	0.20	0.17	0.19	0.17	0.13
Ss-2		0.10				
Ss-3	++	0.15				
	-+	0.17				
	+-	0.17				
	--	0.15				
Ss-4		0.06				
Ss-5		0.06				
Ss-6		0.06				
Ss-7		0.05				
Ss-8	++	0.16				
	-+	0.13				

(2) B-B断面

a. 曲げ軸力照査

表 5-5 に鉄筋コンクリート部材及び鋼管杭の曲げ軸力照査の実施ケースと、照査値を示す。

表 5-5 B-B断面の曲げ軸力照査の実施ケースと照査値
鉄筋コンクリート部材

地震動 \ 解析ケース		鉄筋コンクリートの曲げ軸力照査				
		①	②	③	④	⑤
Ss-1	++	0.04	0.03	0.04	0.03	0.03
	-+	0.04				
	+-	0.03				
	--	0.03				
Ss-2		0.03				
Ss-3	++	0.03				
	-+	0.03				
	+-	0.03				
	--	0.03				
Ss-4		0.02				
Ss-5		0.02				
Ss-6		0.02				
Ss-7		0.02				
Ss-8	++	0.03				
	-+	0.03				

鋼管杭

地震動 \ 解析ケース		鋼管杭の曲げ軸力照査				
		①	②	③	④	⑤
Ss-1	++	0.03	0.03	0.04	0.03	0.03
	-+	0.04				
	+-	0.03				
	--	0.04				
Ss-2		0.02				
Ss-3	++	0.03				
	-+	0.03				
	+-	0.03				
	--	0.03				
Ss-4		0.01				
Ss-5		0.01				
Ss-6		0.01				
Ss-7		0.01				
Ss-8	++	0.02				
	-+	0.03				

b. せん断力照査

表 5-6 に鉄筋コンクリート部材及び鋼管杭のせん断力照査の実施ケースと、照査値を示す。

表 5-6 B-B断面のせん断力照査の実施ケースと照査値 (1/3)

鉄筋コンクリート部材 (側壁)

地震動		鉄筋コンクリートのせん断力照査				
		①	②	③	④	⑤
Ss-1	++	0.25	0.24	0.26	0.23	0.21
	-+	0.25				
	+ -	0.25				
	--	0.24				
Ss-2		0.20				
Ss-3	++	0.23				
	-+	0.23				
	+ -	0.22				
	--	0.21				
Ss-4		0.15				
Ss-5		0.15				
Ss-6		0.15				
Ss-7		0.13				
Ss-8	++	0.22				
	-+	0.22				

鉄筋コンクリート部材 (頂版)

地震動		鉄筋コンクリートのせん断力照査				
		①	②	③	④	⑤
Ss-1	++	0.24	0.23	0.25	0.21	0.20
	-+	0.25				
	+ -	0.25				
	--	0.24				
Ss-2		0.19				
Ss-3	++	0.22				
	-+	0.23				
	+ -	0.22				
	--	0.21				
Ss-4		0.13				
Ss-5		0.12				
Ss-6		0.13				
Ss-7		0.12				
Ss-8	++	0.22				
	-+	0.22				

表 5-6 B-B断面のせん断力照査の実施ケースと照査値 (2/3)

鉄筋コンクリート部材 (底版)

地震動		鉄筋コンクリートのせん断力照査				
		①	②	③	④	⑤
Ss-1	++	0.50	0.46	0.54	0.41	0.33
	-+	0.47				
	+-	0.47				
	--	0.43				
Ss-2		0.36				
Ss-3	++	0.45				
	-+	0.42				
	+-	0.40				
	--	0.42				
Ss-4		0.23				
Ss-5		0.21				
Ss-6		0.25				
Ss-7		0.19				
Ss-8	++	0.36				
	-+	0.39				

注： □は、前述 3.5.1 のフローに基づき、解析ケース②～⑤を実施する地震動の基本ケース①の照査値を示す。

鉄筋コンクリート部材 (隔壁)

地震動		鉄筋コンクリートのせん断力照査				
		①	②	③	④	⑤
Ss-1	++	0.35	0.34	0.36	0.32	0.30
	-+	0.35				
	+-	0.34				
	--	0.34				
Ss-2		0.30				
Ss-3	++	0.33				
	-+	0.33				
	+-	0.33				
	--	0.33				
Ss-4		0.20				
Ss-5		0.18				
Ss-6		0.20				
Ss-7		0.17				
Ss-8	++	0.33				
	-+	0.33				

表 5-6 B-B断面のせん断力照査の実施ケースと照査値 (3/3)

鋼管杭

地震動		解析ケース		鋼管杭のせん断力照査				
		①	②	③	④	⑤		
Ss-1	++	0.25	0.19	0.33	0.19	0.13		
	-+	0.22						
	+-	0.24						
	--	0.19						
Ss-2		0.17						
Ss-3	++	0.17						
	-+	0.19						
	+-	0.19						
	--	0.22						
Ss-4		0.07						
Ss-5		0.10						
Ss-6		0.10						
Ss-7		0.10						
Ss-8	++	0.14						
	-+	0.17						

c. 基礎地盤の支持性能照査

表 5-7, 表 5-8 に基礎地盤の押込み及び引抜きに対する支持性能照査の実施ケースと照査値を示す。

表 5-7 B-B断面の基礎地盤の押込みに対する支持性能照査の実施ケースと照査値

地震動 \ 解析ケース		基礎地盤の押込みに対する支持性能照査				
		①	②	③	④	⑤
Ss-1	++	0.11	0.11	0.11	0.09	0.08
	-+	0.09				
	+ -	0.11				
	--	0.09				
Ss-2		0.07				
Ss-3	++	0.11				
	-+	0.11				
	+ -	0.10				
	--	0.11				
Ss-4		0.05				
Ss-5		0.05				
Ss-6		0.06				
Ss-7		0.06				
Ss-8	++	0.07				
	-+	0.06				

表 5-8 B-B断面の基礎地盤の引抜きに対する支持性能照査の実施ケースと照査値

地震動 \ 解析ケース		基礎地盤の引抜きに対する支持性能照査				
		①	②	③	④	⑤
Ss-1	++	0.19	0.18	0.22	0.13	0.11
	-+	0.19				
	+ -	0.20				
	--	0.19				
Ss-2		0.13				
Ss-3	++	0.15				
	-+	0.17				
	+ -	0.19				
	--	0.17				
Ss-4		0.04				
Ss-5		0.07				
Ss-6		0.05				
Ss-7		0.05				
Ss-8	++	0.16				
	-+	0.17				

5.1.2 層間変形角時刻歴波形（鉄筋コンクリート部材の曲げ軸力照査）

燃料移送系配管ダクトの鉄筋コンクリート部材の曲げ軸力照査において、各解析ケースのうち最も厳しい照査値となる結果を表 5-9 に示す。また、該当する解析ケースの層間変形角時刻歴波形を図 5-1 及び図 5-2 に示す。

表 5-9 鉄筋コンクリート部材の曲げ軸力照査結果
(最も厳しい照査値とその地震動)

評価断面	解析ケース	地震動	照査用層間変形角* R_d	限界層間変形角 R_u	照査値 R_d/R_u
A-A断面	①	Ss-1+-	2.73×10^{-4}	1.0×10^{-2}	0.03
B-B断面	③	Ss-1++	3.28×10^{-4}		0.04

注記* : 照査用層間変形角 R_d = 最大層間変形角 R × 構造解析係数 γ_a

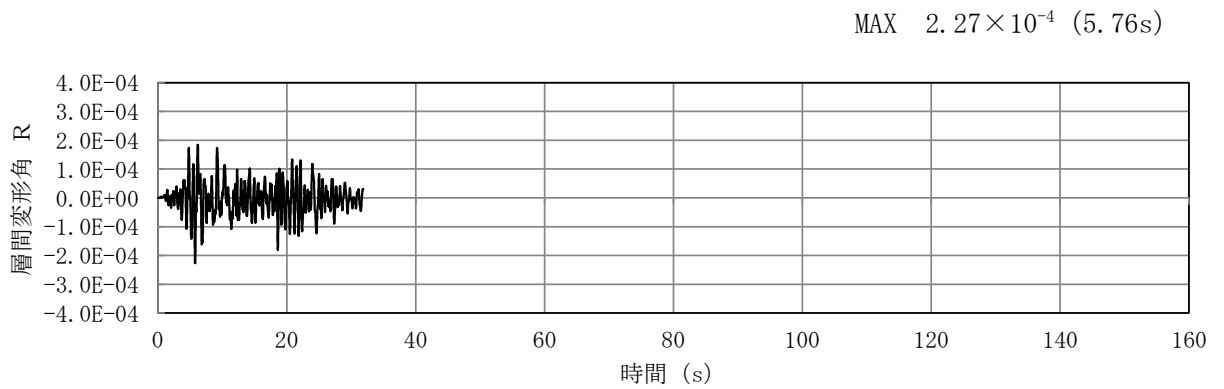


図 5-1 A-A断面における鉄筋コンクリート部材の曲げ軸力照査が最も厳しくなるケースでの
層間変形角時刻歴波形
(解析ケース①, 地震動 Ss-1+-)

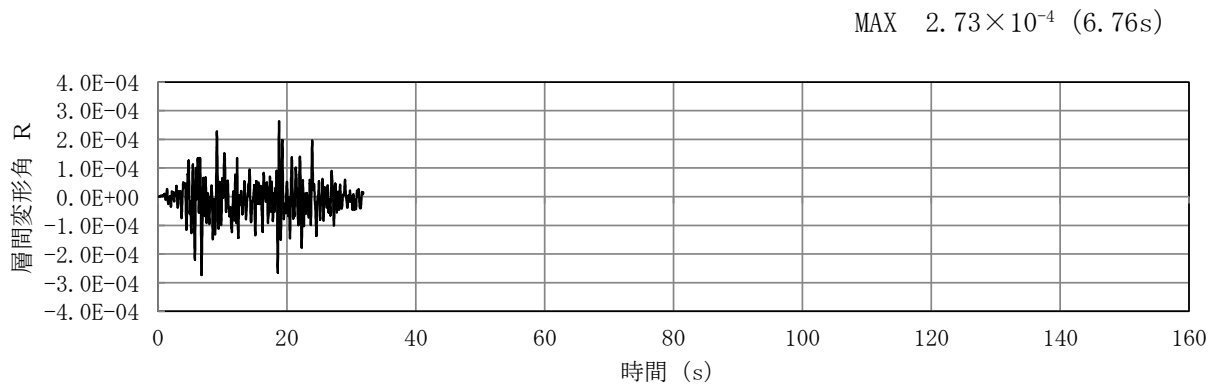


図 5-2 B-B断面における鉄筋コンクリート部材の曲げ軸力照査が最も厳しくなるケースでの
層間変形角時刻歴波形
(解析ケース③, 地震動 Ss-1++)

5.1.3 断面力分布（鉄筋コンクリート部材のせん断力照査）

燃料移送系配管ダクトの鉄筋コンクリート部材のせん断力照査において、各部材の解析ケースのうち、最も厳しい照査値となる解析ケースの一覧を表 5-10 及び表 5-11 に示す。また、各断面で最も厳しい照査値となる時刻における断面力分布図（曲げモーメント、軸力、せん断力）を図 5-3 及び図 5-4 に示す。

表 5-10 鉄筋コンクリート部材のせん断力照査結果 (A-A断面)
 (各部材において最も厳しい照査値とその地震動)

評価位置*1		解析 ケース	地震動	照査用せん断力*2 V_d (kN)	せん断耐力 $V_{y d}$ (kN)	照査値 $V_d / V_{y d}$
頂版	4	①	Ss-1++	118	509	0.24
側壁	1	④	Ss-1--	134	584	0.23
隔壁	2	①	Ss-1+-	132	394	0.34
底版	7	③	Ss-1--	228	425	0.54

注記*1 : 評価位置は下図に示す。

*2 : 照査用せん断力 $V_d =$ 発生せん断力 \times 構造解析係数 γ_a

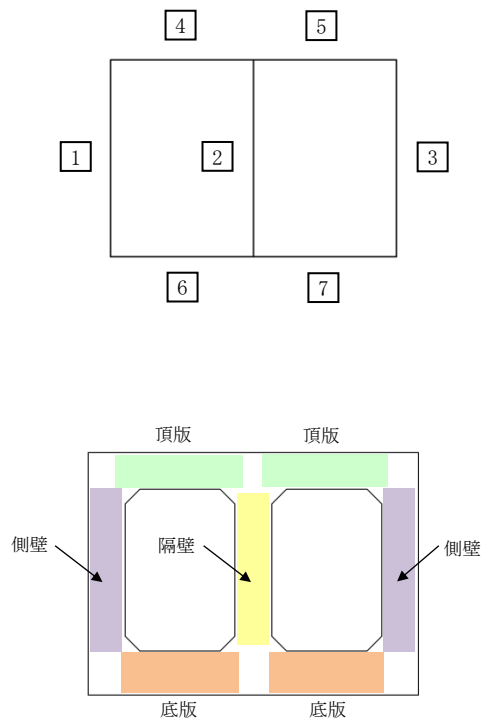
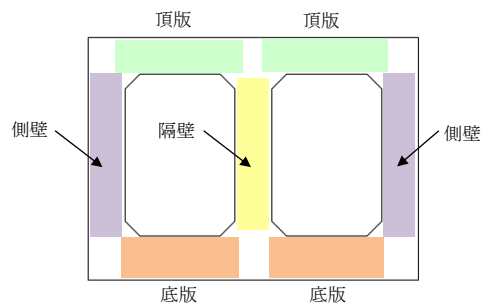
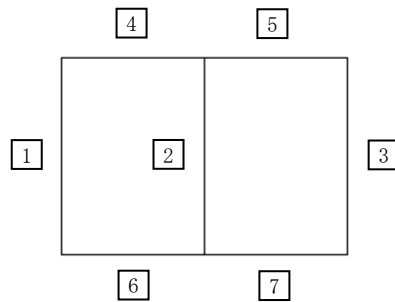


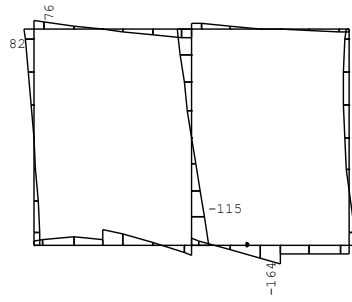
表 5-11 鉄筋コンクリート部材のせん断力照査結果 (B-B断面)
(各部材において最も厳しい照査値とその地震動)

評価位置*1		解析 ケース	地震動	照査用せん断力*2 V_d (kN)	せん断耐力 $V_{y d}$ (kN)	照査値 $V_d / V_{y d}$
頂版	5	①	Ss-1-+	123	500	0.25
側壁	3	③	Ss-1++	146	567	0.26
隔壁	2	③	Ss-1++	140	395	0.36
底版	6	③	Ss-1++	265	496	0.54

注記*1 : 評価位置は下図に示す。

*2 : 照査用せん断力 $V_d =$ 発生せん断力 \times 構造解析係数 γ_a

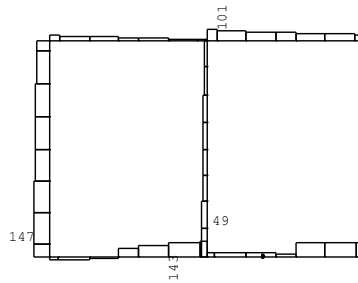




● : せん断照査最大位置 = -82

数値 : 各部材の最大断面力

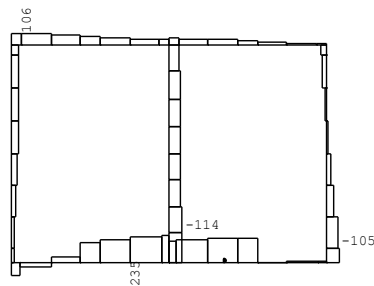
(a) 曲げモーメント (kN・m)



● : せん断照査最大位置 = 39

数値 : 各部材の最大断面力

(b) 軸力(kN) (+ : 圧縮, - : 引張)

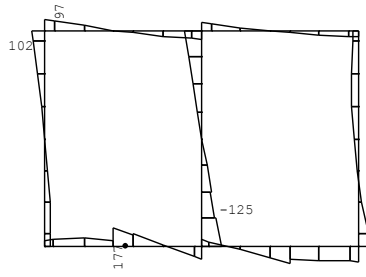


● : せん断照査最大位置 = 216

数値 : 各評価位置の最大断面力

(c) せん断力 (kN)

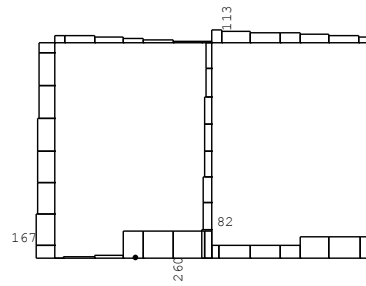
図 5-3 A-A断面において最も厳しい照査値の地震時断面力
(底版, 解析ケース③, 地震動 Ss-1-1, t=6.21s)



● : せん断照査最大位置 = 136

数値 : 各部材の最大断面力

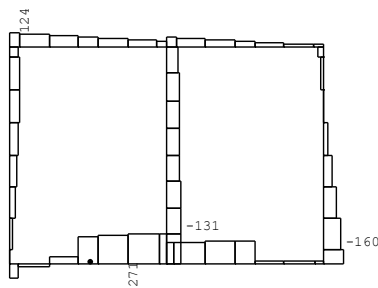
(a) 曲げモーメント (kN・m)



● : せん断照査最大位置 = 258

数値 : 各部材の最大断面力

(b) 軸力(kN) (+ : 圧縮, - : 引張)



● : せん断照査最大位置 = 252

数値 : 各評価位置の最大断面力

(c) せん断力 (kN)

図 5-4 B-B断面において最も厳しい照査値の地震時断面力
(底版, 解析ケース③, 地震動 Ss-1++, t=6.76s)

5.1.4 曲率分布（鋼管杭の曲げ軸力照査）

鋼管杭の曲げ軸力照査について、各解析ケースのうち最も厳しい照査値となる解析ケースを表 5-12 及び表 5-13 に示す。また、該当する解析ケースにおいて最も厳しい照査値となる時刻における曲率分布図を図 5-5 及び図 5-6 に示す。

表 5-12 鋼管杭の曲げ軸力照査結果（A-A断面）
（最も厳しい照査値とその地震動）

評価位置*1	解析ケース	地震動	照査用曲率*2 ϕ_d (1/m)	終局曲率 ϕ_u (1/m)	照査値 ϕ_d / ϕ_u
北側	③	Ss-1--	1.22×10^{-3}	1.35×10^{-2}	0.10

注記*1：評価位置は下図に示す。

*2：照査用曲率 ϕ_d = 発生曲率 × 構造解析係数 γ_a

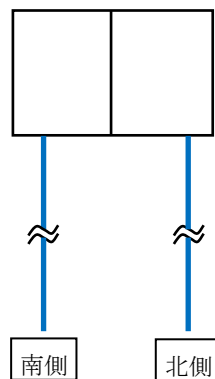
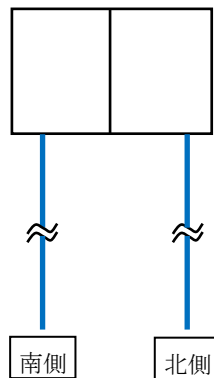


表 5-13 鋼管杭の曲げ軸力照査結果 (B-B断面)
(最も厳しい照査値とその地震動)

評価位置*1	解析ケース	地震動	照査用曲率*2 ϕ_d (1/m)	終局曲率 ϕ_u (1/m)	照査値 ϕ_d / ϕ_u
南側	③	Ss-1++	4.80×10^{-4}	1.32×10^{-2}	0.04

注記*1 : 評価位置は下図に示す。

*2 : 照査用曲率 $\phi_d =$ 発生曲率 \times 構造解析係数 γ_a



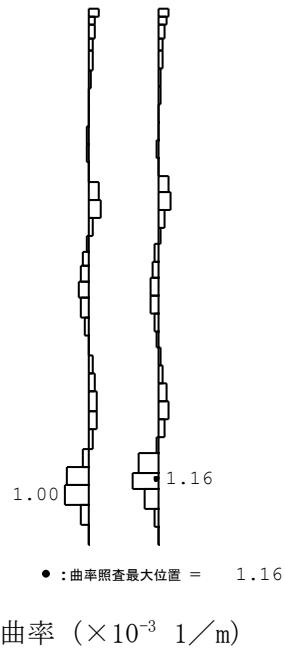


図 5-5 鋼管杭において最も厳しい照査値の曲率分布 (A-A断面)
(解析ケース③, 地震動 Ss-1--, t=6.90s)

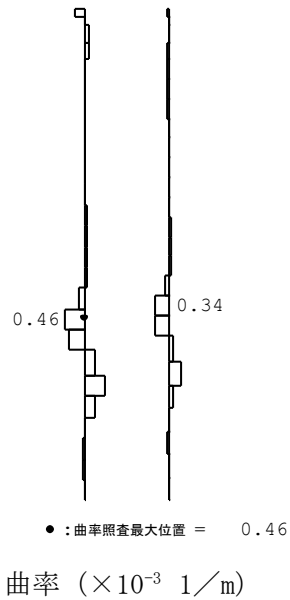


図 5-6 鋼管杭において最も厳しい照査値の曲率分布 (B-B断面)
(解析ケース③, 地震動 Ss-1++, t=6.76s)

5.1.5 せん断力分布（鋼管杭のせん断力照査）

鋼管杭のせん断力照査について、解析ケースのうち最も厳しい照査値となる解析ケースを表 5-14 及び表 5-15 に示す。また、該当する解析ケースにおいて最も厳しい照査値となる時刻におけるせん断力分布図を図 5-7 及び図 5-8 に示す。

表 5-14 鋼管杭のせん断力照査結果（A-A断面）
（最も厳しい照査値とその地震動）

評価位置*1	解析ケース	地震動	照査用せん断力*2 Q_d (kN)	終局せん断強度 Q_u (kN)	照査値 Q_d/Q_u
北側	③	Ss-1---	581	1677	0.35

注記*1：評価位置は下図に示す。

*2：照査用せん断力 $Q_d = \text{発生せん断力} \times \text{構造解析係数 } \gamma_a$

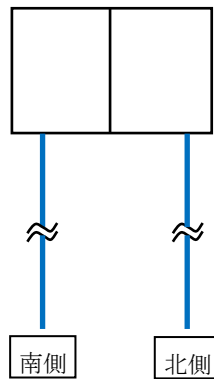
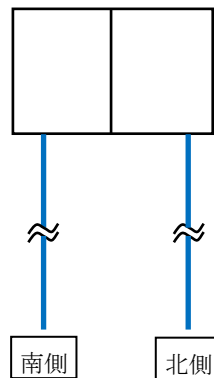


表 5-15 鋼管杭のせん断力照査結果 (B-B断面)
(最も厳しい照査値とその地震動)

評価位置*1	解析ケース	地震動	照査用せん断力*2 Q_d (kN)	終局せん断強度 Q_u (kN)	照査値 Q_d/Q_u
南側	③	Ss-1++	635	1977	0.33

注記*1 : 評価位置は下図に示す。

*2 : 照査用せん断力 $Q_d = \text{発生せん断力} \times \text{構造解析係数 } \gamma_a$



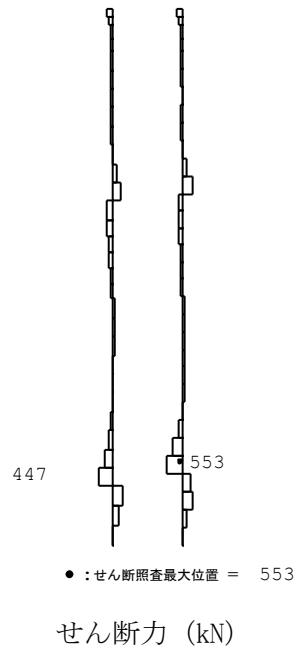


図 5-7 鋼管杭において最も厳しい照査値の地震時せん断力分布 (A-A断面)
(解析ケース③, 地震動 Ss-1--, t=5.24s)

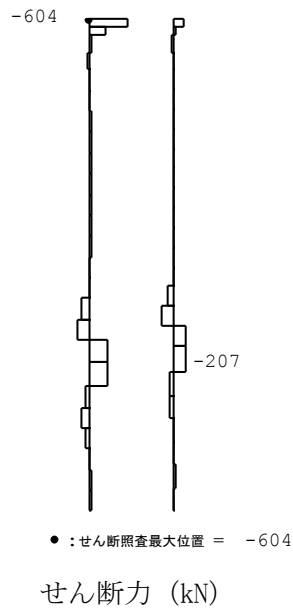


図 5-8 鋼管杭において最も厳しい照査値の地震時せん断力分布 (B-B断面)
(解析ケース③, 地震動 Ss-1++, t=6.77s)

5.1.6 最大せん断ひずみ分布

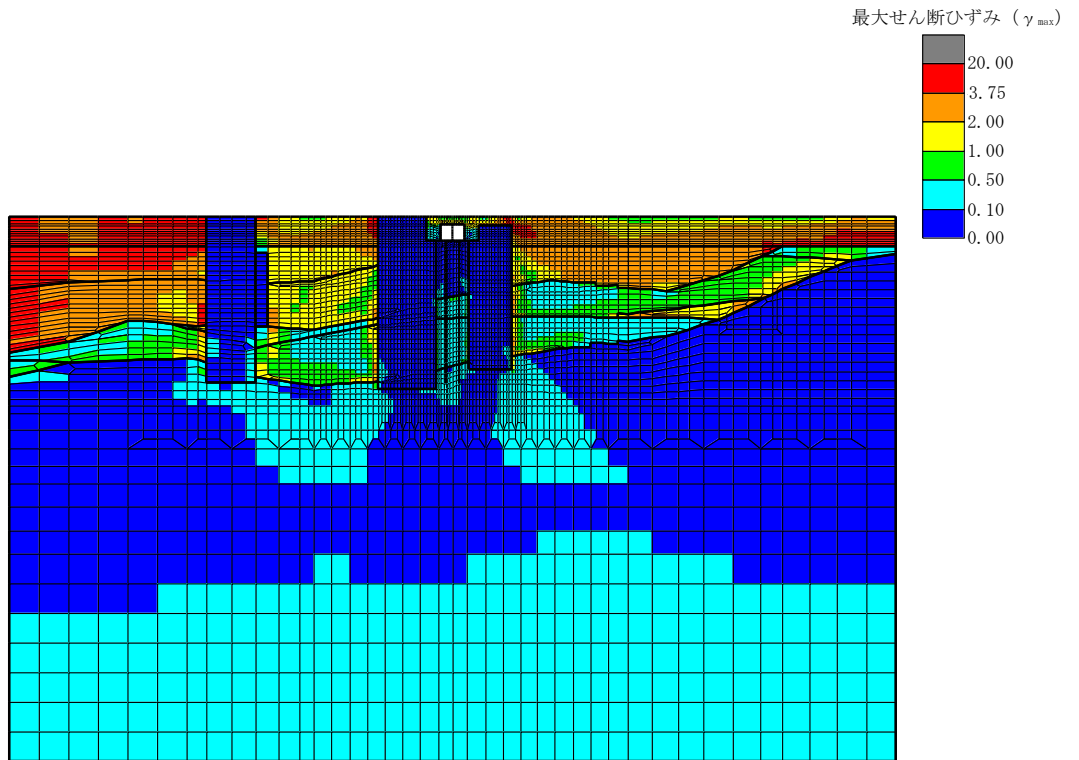
地盤に発生した最大せん断ひずみを確認するため、曲げ軸力照査及びせん断力照査において最大照査値を示した地震動について、地震応答解析の全時刻における各地盤要素の最大せん断ひずみの分布を示す。表 5-16 に最大照査値を示す解析ケース一覧を示す。A-A断面における最大せん断ひずみ分布図を図 5-9 及び図 5-10 に、B-B断面における最大せん断ひずみ分布図を図 5-11 に示す。

表 5-16 最大照査値を示す解析ケース一覧

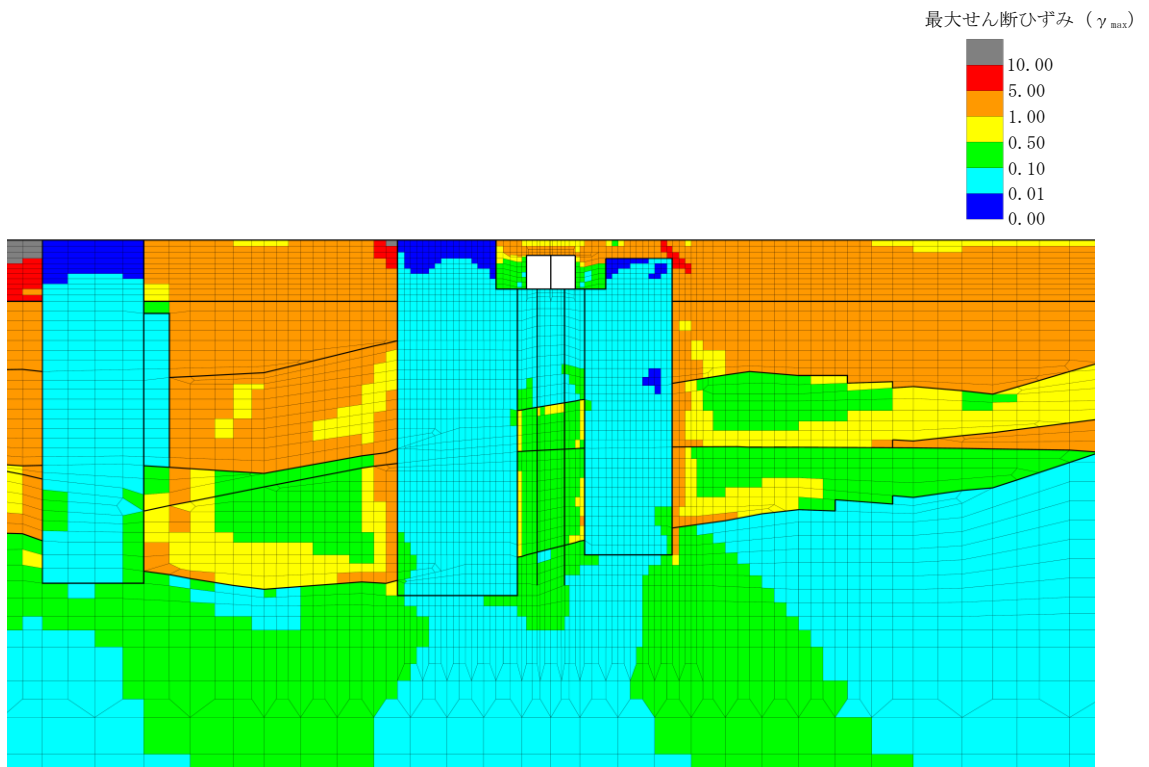
断面	評価部位	評価項目	
		曲げ軸力照査	せん断力照査
A-A断面	鉄筋コンクリート部材	Ss-1+- (解析ケース①)	Ss-1-- (解析ケース③)
	鋼管杭	Ss-1-- (解析ケース③)	Ss-1-- (解析ケース③)
B-B断面	鉄筋コンクリート部材	Ss-1++ (解析ケース③)	Ss-1++ (解析ケース③)
	鋼管杭	Ss-1++ (解析ケース③)	Ss-1++ (解析ケース③)

注：耐震評価における解析ケース一覧

	①	②	③	④	⑤
解析ケース	基本ケース	地盤物性のばらつき(+1 σ)を考慮した解析ケース	地盤物性のばらつき(-1 σ)を考慮した解析ケース	非液状化の条件を仮定した解析ケース	地盤物性のばらつき(+1 σ)を考慮して非液状化の条件を仮定した解析ケース
地盤剛性の設定	地盤剛性(平均値)	地盤剛性(+1 σ)	地盤剛性(-1 σ)	地盤剛性(平均値)	地盤剛性(+1 σ)
液状化強度特性の設定	液状化強度特性(-1 σ)	液状化強度特性(-1 σ)	液状化強度特性(-1 σ)	液状化パラメータを非適用	液状化パラメータを非適用



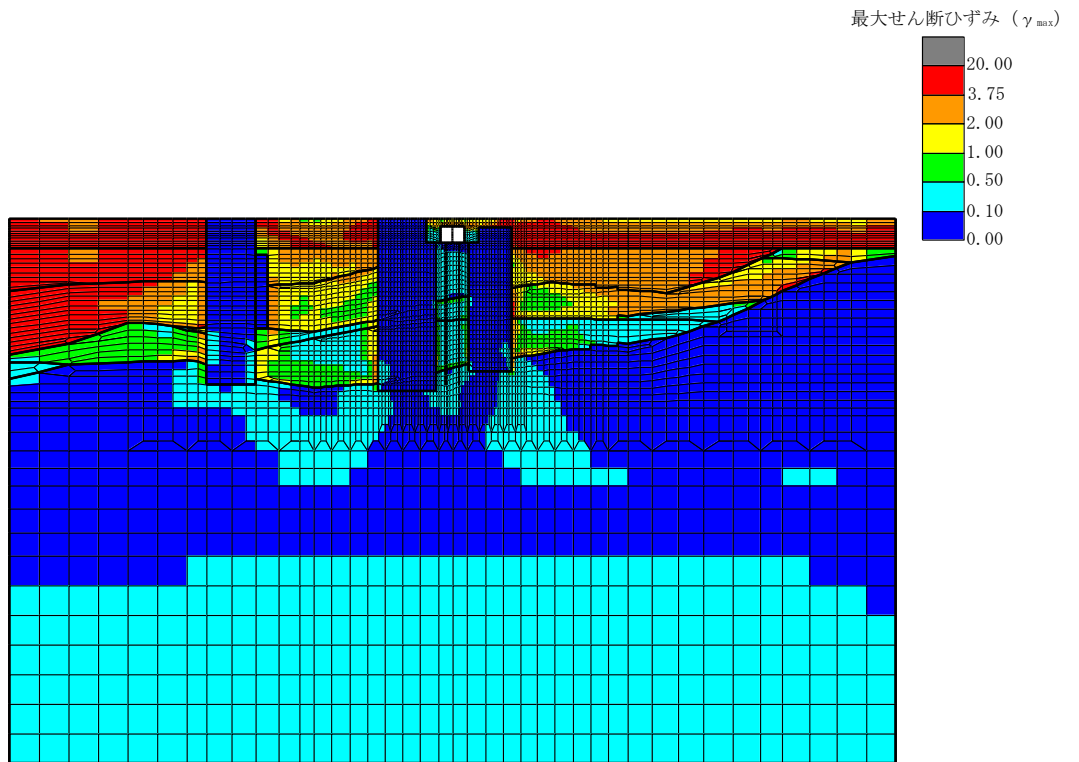
全体図



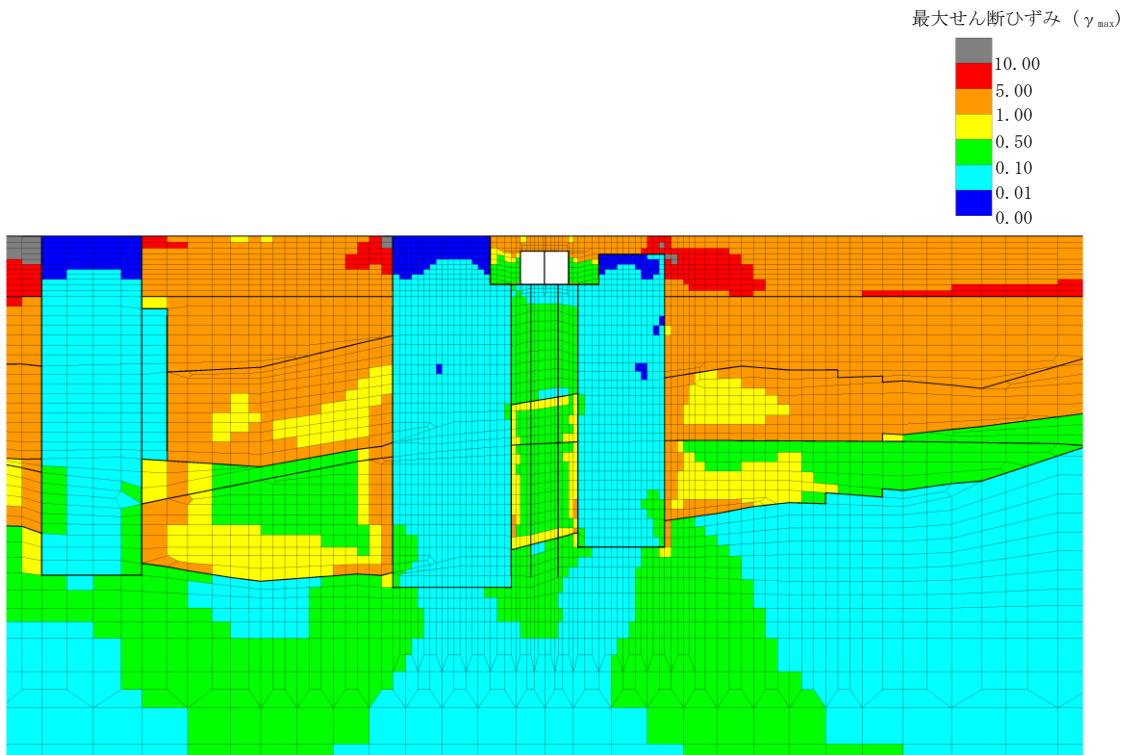
構造物周辺拡大図

図 5-9 A-A断面の地盤の最大せん断ひずみ分布図
(解析ケース①, 地震動 Ss-1+-)

鉄筋コンクリート部材の曲げ軸力照査で照査値が最も厳しい解析ケース



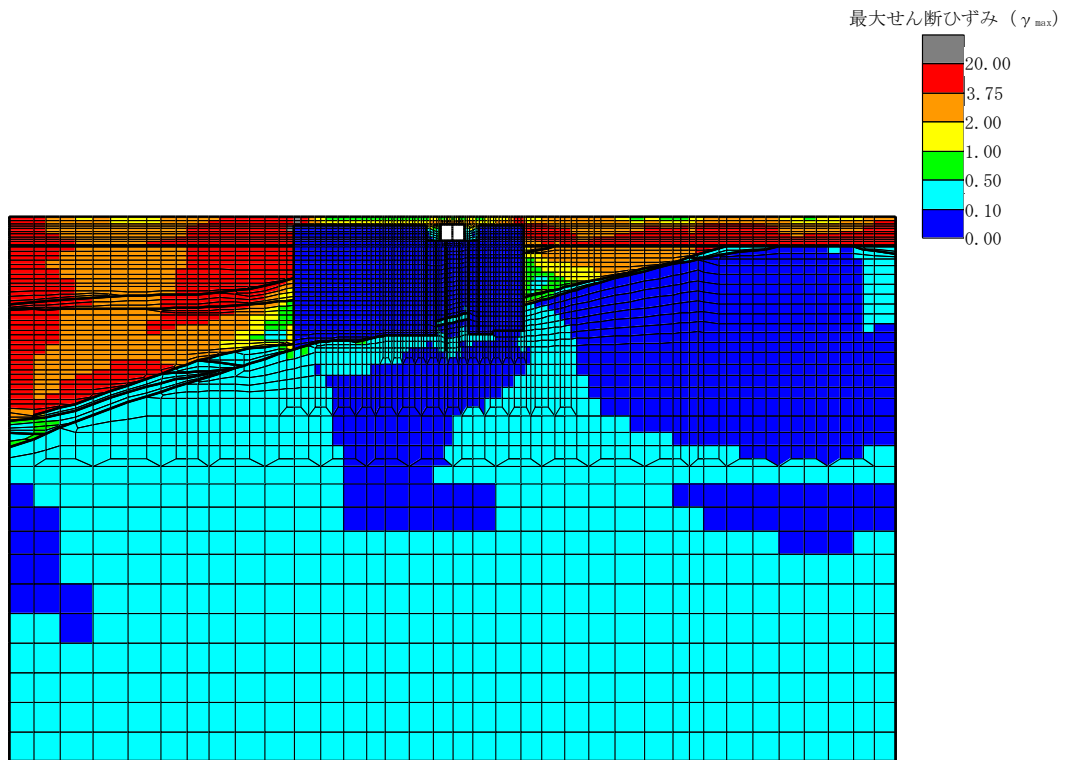
全体図



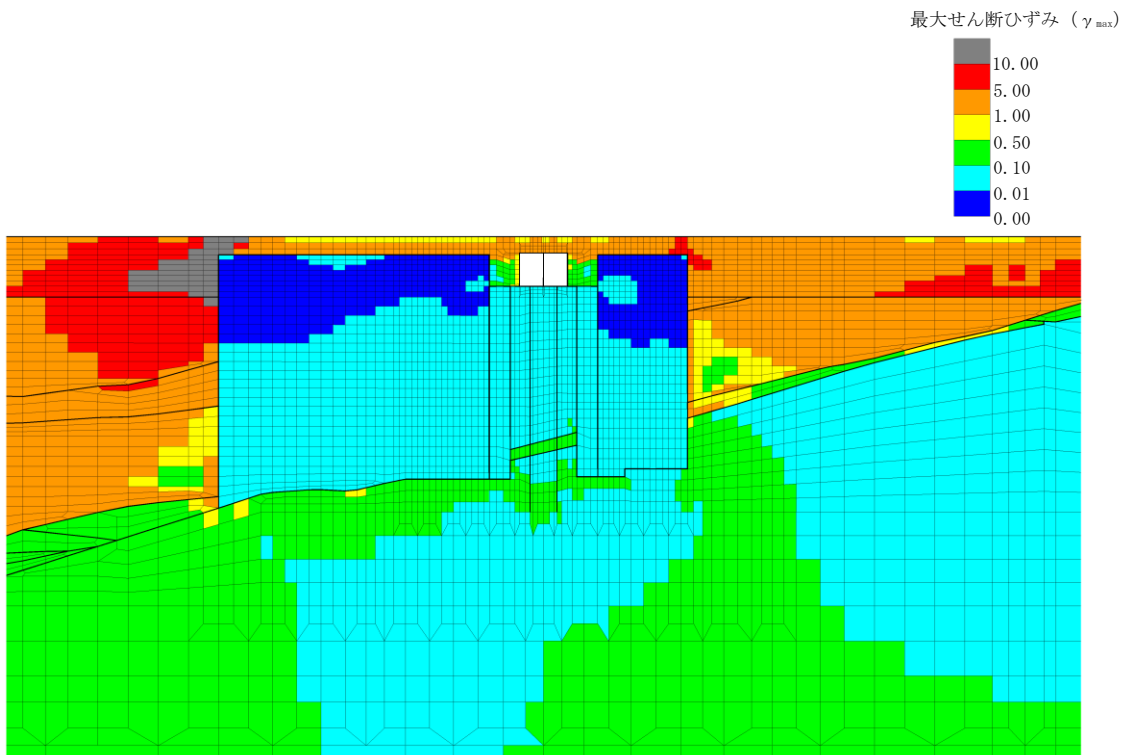
構造物周辺拡大図

図 5-10 A-A断面の地盤の最大せん断ひずみ分布図
(解析ケース③, 地震動 Ss-1--)

鉄筋コンクリート部材のせん断力照査, 鋼管杭の曲げ軸力照査及びせん断力照査で
照査値が最も厳しい解析ケース



全体図



構造物周辺拡大図

図 5-11 B-B断面の地盤の最大せん断ひずみ分布図
(解析ケース③, 地震動 Ss-1++)

鉄筋コンクリート部材の曲げ軸力照査及びせん断力照査, 鋼管杭の曲げ軸力照査及びせん断力照査
で照査値が最も厳しい解析ケース

5.1.7 過剰間隙水圧比分布

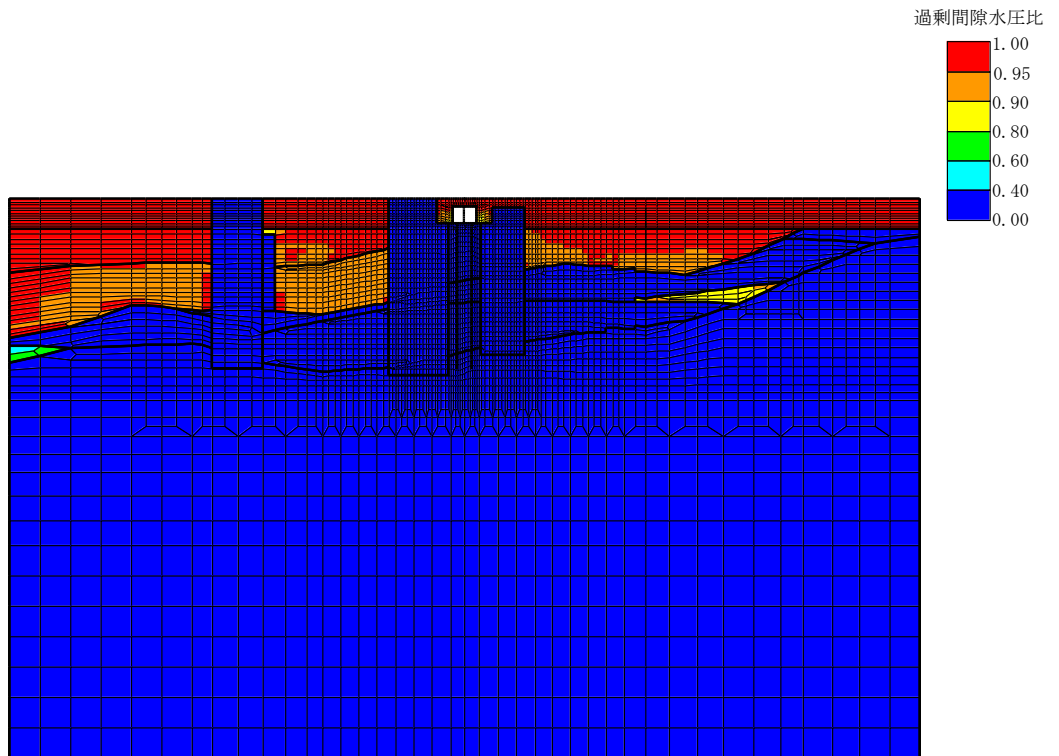
地盤に発生した過剰間隙水圧比を確認するため、曲げ軸力照査及びせん断力照査において最大照査値を示した地震動について、地震応答解析の全時刻における各地盤要素の過剰間隙水圧比の最大値分布を示す。表 5-17 に最大照査値を示す解析ケース一覧を示す。A-A断面における過剰間隙水圧比分布図を図 5-12 及び図 5-13 に、B-B断面における過剰間隙水圧比分布図を図 5-14 に示す。なお、周辺地盤に液状化が生じた場合でも、燃料移送系配管ダクトは鋼管杭によって西山層に支持される杭基礎構造物であることから、浮き上りは生じない。

表 5-17 最大照査値を示す解析ケース一覧

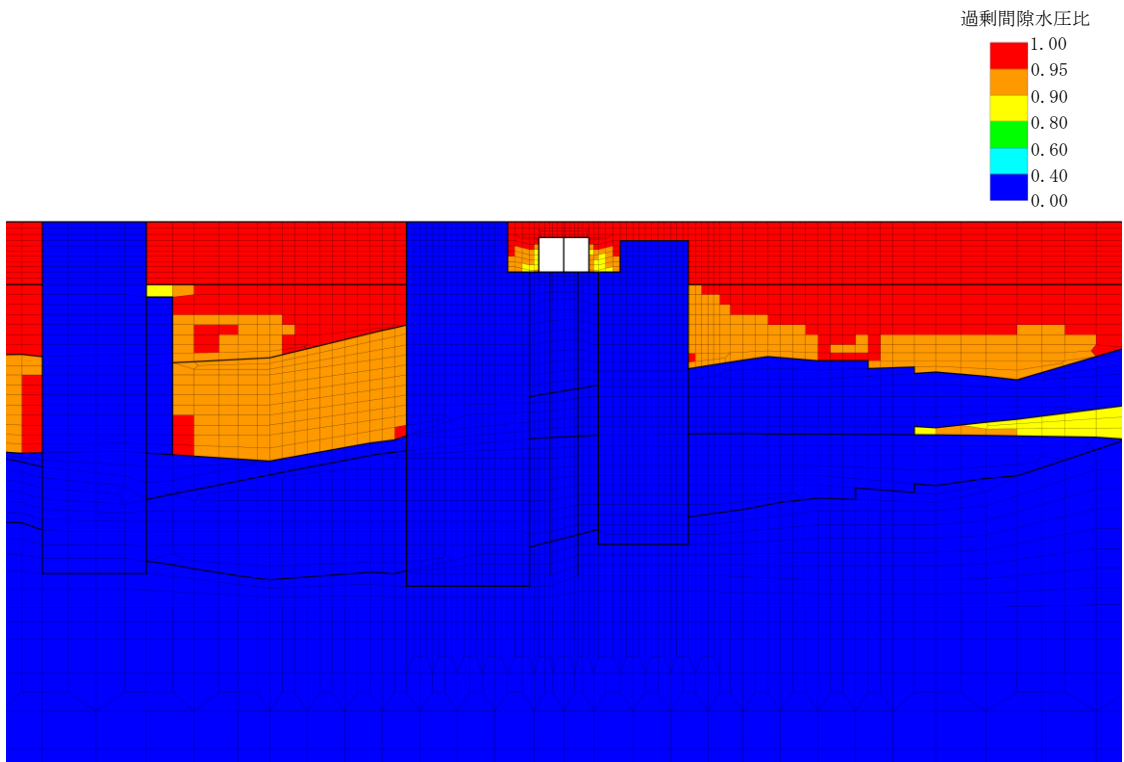
断面	評価部位	評価項目	
		曲げ軸力照査	せん断力照査
A-A断面	鉄筋コンクリート部材	Ss-1++ (解析ケース①)	Ss-1-- (解析ケース③)
	鋼管杭	Ss-1-- (解析ケース③)	Ss-1-- (解析ケース③)
B-B断面	鉄筋コンクリート部材	Ss-1++ (解析ケース③)	Ss-1++ (解析ケース③)
	鋼管杭	Ss-1++ (解析ケース③)	Ss-1++ (解析ケース③)

注：耐震評価における解析ケース一覧

	①	②	③	④	⑤
解析ケース	基本ケース	地盤物性のばらつき(+1σ)を考慮した解析ケース	地盤物性のばらつき(-1σ)を考慮した解析ケース	非液状化の条件を仮定した解析ケース	地盤物性のばらつき(+1σ)を考慮して非液状化の条件を仮定した解析ケース
地盤剛性の設定	地盤剛性(平均値)	地盤剛性(+1σ)	地盤剛性(-1σ)	地盤剛性(平均値)	地盤剛性(+1σ)
液状化強度特性の設定	液状化強度特性(-1σ)	液状化強度特性(-1σ)	液状化強度特性(-1σ)	液状化パラメータを非適用	液状化パラメータを非適用



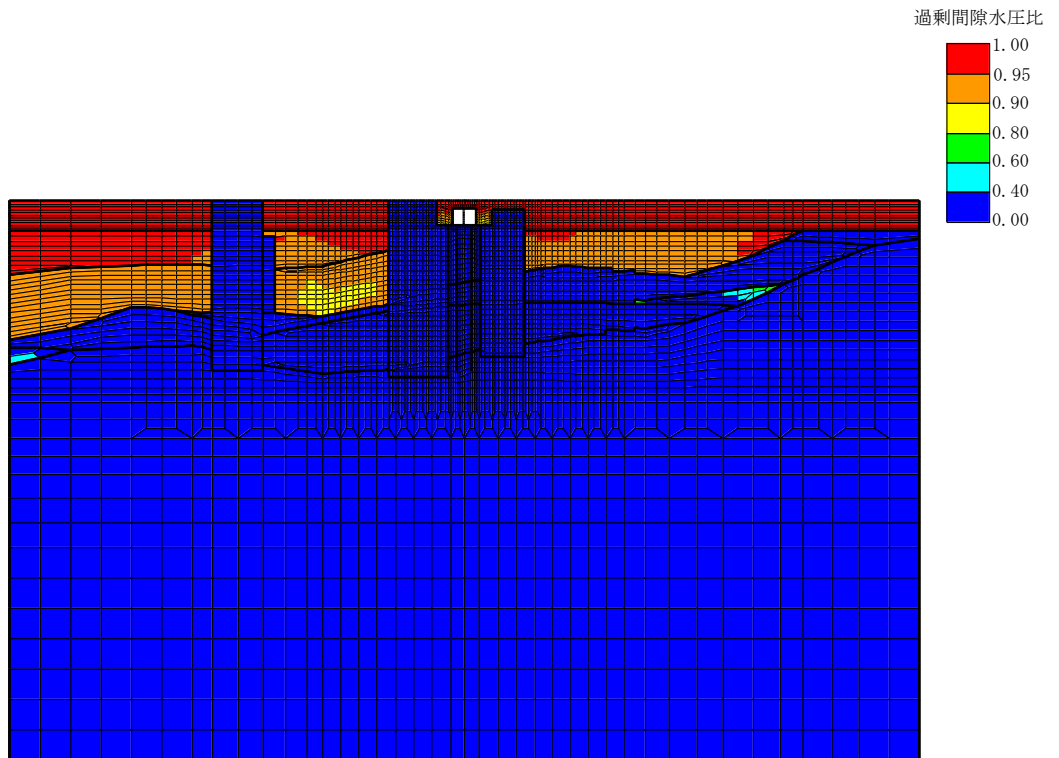
全体図



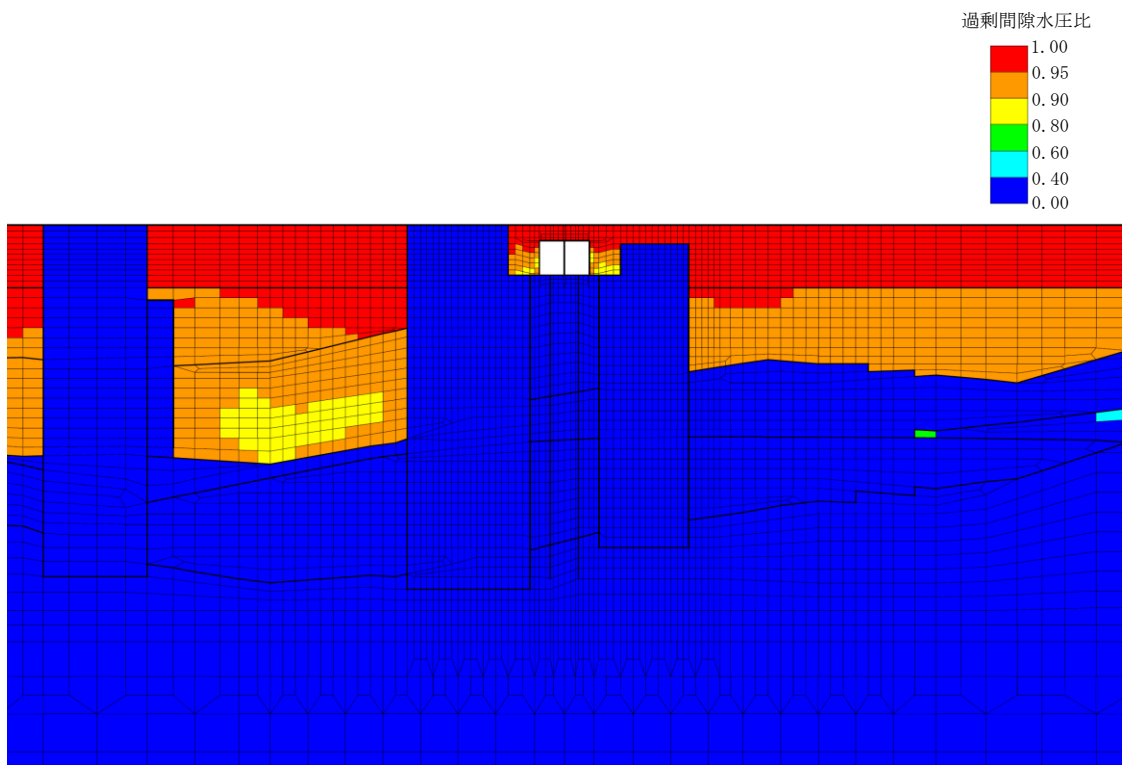
構造物周辺拡大図

図 5-12 A-A断面の最大過剰間隙水圧比分布図
(解析ケース①, 地震動 Ss-1+-)

鉄筋コンクリート部材の曲げ軸力照査で照査値が最も厳しい解析ケース



全体図

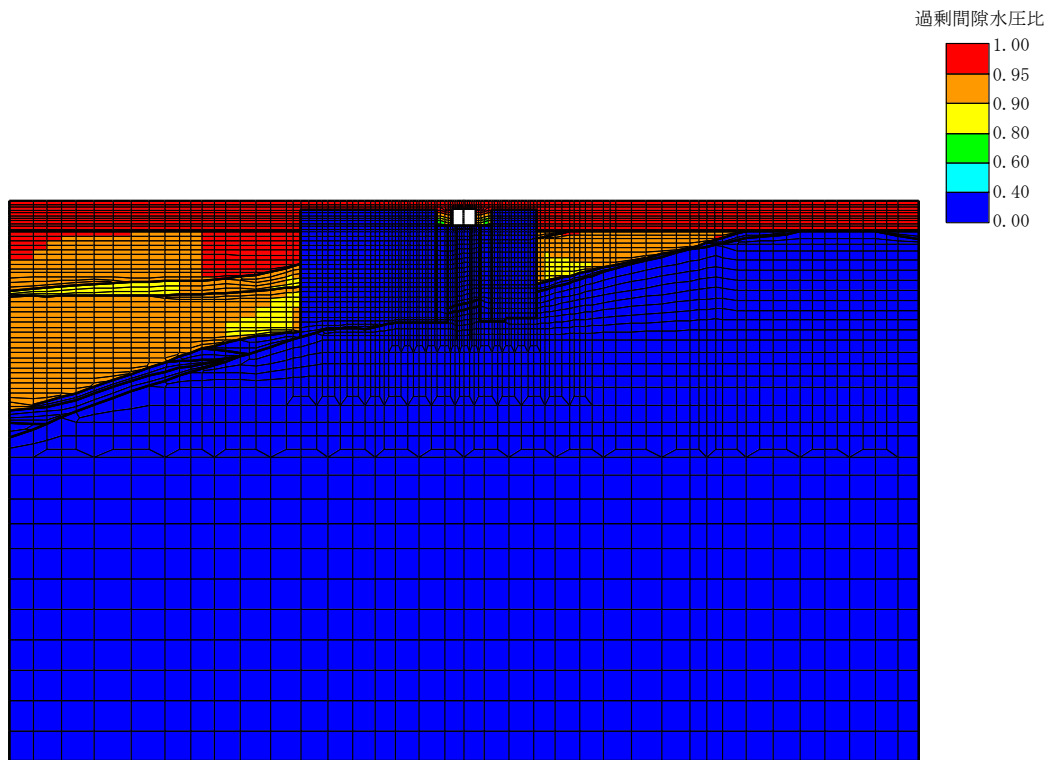


構造物周辺拡大図

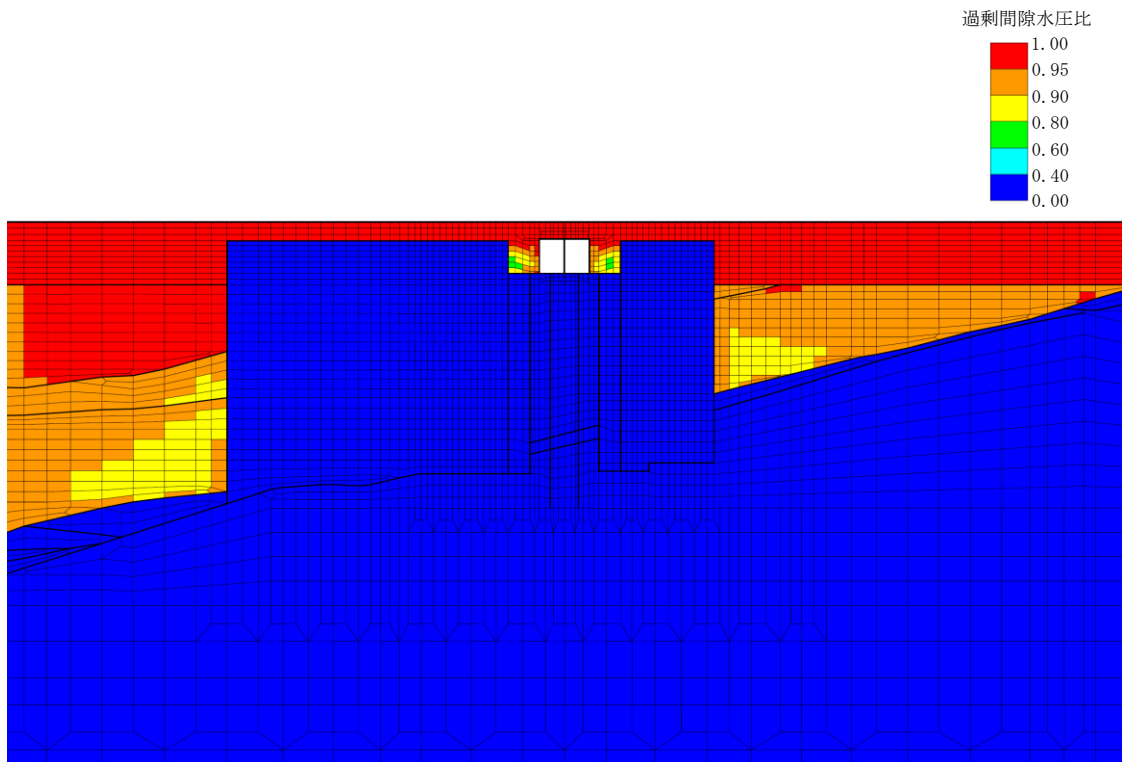
図 5-13 A-A断面の最大過剰間隙水圧比分布図

(解析ケース③, 地震動 Ss-1--)

鉄筋コンクリート部材のせん断力照査, 鋼管杭の曲げ軸力照査及びせん断力照査で照査値が最も厳しい解析ケース



全体図



構造物周辺拡大図

図 5-14 B-B断面の最大過剰間隙水圧比分布図

(解析ケース③, 地震動 Ss-1++)

鉄筋コンクリート部材の曲げ軸力照査及びせん断力照査, 鋼管杭の曲げ軸力照査及びせん断力照査
で照査値が最も厳しい解析ケース

5.2 鉄筋コンクリート部材の耐震評価

5.2.1 鉄筋コンクリート部材の曲げ軸力に対する評価結果

鉄筋コンクリート部材の曲げ軸力照査結果を表 5-18 及び表 5-19 示す。

照査結果より、照査用層間変形角が限界層間変形角を下回ることを確認した。

表 5-18 鉄筋コンクリート部材の曲げ軸力照査結果 (A-A断面)

解析 ケース	地震動	照査用層間変形角* R_d	限界層間変形角 R_u	照査値 R_d/R_u
①	Ss-1++	2.68×10^{-4}	1.0×10^{-2}	0.03
	Ss-1-+	2.68×10^{-4}		0.03
	Ss-1+-	2.73×10^{-4}		0.03
	Ss-1--	2.68×10^{-4}		0.03
	Ss-2	1.60×10^{-4}		0.02
	Ss-3++	2.08×10^{-4}		0.03
	Ss-3-+	2.04×10^{-4}		0.03
	Ss-3+-	2.03×10^{-4}		0.03
	Ss-3--	1.97×10^{-4}		0.02
	Ss-4	1.30×10^{-4}		0.02
	Ss-5	1.13×10^{-4}		0.02
	Ss-6	1.31×10^{-4}		0.02
	Ss-7	0.96×10^{-4}		0.01
	Ss-8++	2.20×10^{-4}		0.03
Ss-8-+	2.13×10^{-4}	0.03		
②	Ss-1--	2.47×10^{-4}	0.03	
③	Ss-1--	2.36×10^{-4}	0.03	
④	Ss-1--	2.71×10^{-4}	0.03	
⑤	Ss-1--	2.39×10^{-4}	0.03	

注記* : 照査用層間変形角 R_d = 最大層間変形角 R × 構造解析係数 γ_a

表 5-19 鉄筋コンクリート部材の曲げ軸力照査結果 (B-B断面)

解析 ケース	地震動	照査用層間変形角* R_d	限界層間変形角 R_u	照査値 R_d/R_u
①	Ss-1++	3.02×10^{-4}	1.0×10^{-2}	0.04
	Ss-1-+	3.07×10^{-4}		0.04
	Ss-1+-	2.95×10^{-4}		0.03
	Ss-1--	2.98×10^{-4}		0.03
	Ss-2	2.05×10^{-4}		0.03
	Ss-3++	2.56×10^{-4}		0.03
	Ss-3-+	2.62×10^{-4}		0.03
	Ss-3+-	2.56×10^{-4}		0.03
	Ss-3--	2.49×10^{-4}		0.03
	Ss-4	1.22×10^{-4}		0.02
	Ss-5	1.07×10^{-4}		0.02
	Ss-6	1.20×10^{-4}		0.02
	Ss-7	1.01×10^{-4}		0.02
	Ss-8++	2.65×10^{-4}		0.03
	Ss-8-+	2.60×10^{-4}		0.03
	②	Ss-1++		2.78×10^{-4}
③	Ss-1++	3.28×10^{-4}	0.04	
④	Ss-1++	2.40×10^{-4}	0.03	
⑤	Ss-1++	2.09×10^{-4}	0.03	

注記* : 照査用層間変形角 $R_d =$ 最大層間変形角 $R \times$ 構造解析係数 γ_a

5.2.2 鉄筋コンクリート部材のせん断力に対する評価結果

鉄筋コンクリート部材のせん断力照査結果を表 5-20 及び表 5-21 に示す。

照査結果より，照査用せん断耐力がせん断耐力を下回ることを確認した。

表 5-20 鉄筋コンクリート部材のせん断力照査結果（A-A断面）（1/3）

解析 ケース	地震動	評価位置		照査用	せん断耐力 V_{yd} (kN)	照査値 V_d/V_{yd}
				せん断力* V_d (kN)		
①	Ss-1++	頂版	4	118	509	0.24
		側壁	3	128	607	0.22
		隔壁	2	129	391	0.33
		底版	6	216	436	0.50
	Ss-1-+	頂版	5	107	513	0.21
		側壁	1	125	597	0.21
		隔壁	2	130	393	0.34
		底版	6	215	433	0.50
	Ss-1+-	頂版	4	115	508	0.23
		側壁	3	131	598	0.22
		隔壁	2	132	394	0.34
		底版	6	220	436	0.51
	Ss-1--	頂版	4	108	529	0.21
		側壁	1	124	597	0.21
		隔壁	2	131	394	0.34
		底版	6	223	435	0.52
	Ss-2	頂版	5	81	564	0.15
		側壁	1	98	629	0.16
		隔壁	2	102	396	0.26
		底版	7	168	515	0.33
Ss-3++	頂版	5	97	552	0.18	
	側壁	1	117	644	0.19	
	隔壁	2	118	396	0.30	
	底版	6	173	438	0.40	

注記* : 照査用せん断力 $V_d =$ 発生せん断力 \times 構造解析係数 γ_a

表 5-20 鉄筋コンクリート部材のせん断力照査結果 (A-A断面) (2/3)

解析 ケース	地震動	評価位置		照査用	せん断耐力 $V_{y d}$ (kN)	照査値 $V_d / V_{y d}$
				せん断力*		
				V_d (kN)		
①	Ss-3-+	頂版	4	108	545	0.20
		側壁	3	118	673	0.18
		隔壁	2	116	394	0.30
		底版	6	193	435	0.45
	Ss-3+-	頂版	4	97	551	0.18
		側壁	1	113	655	0.18
		隔壁	2	115	392	0.30
		底版	6	194	433	0.45
	Ss-3--	頂版	4	96	544	0.18
		側壁	1	110	651	0.17
		隔壁	2	113	390	0.29
		底版	6	176	438	0.41
	Ss-4	頂版	5	71	568	0.13
		側壁	1	92	642	0.15
		隔壁	2	86	397	0.22
		底版	7	143	523	0.28
	Ss-5	頂版	4	70	552	0.13
		側壁	3	86	659	0.14
		隔壁	2	72	398	0.19
		底版	6	115	528	0.22
	Ss-6	頂版	4	77	556	0.14
		側壁	3	95	642	0.15
		隔壁	2	85	397	0.22
		底版	6	135	533	0.26
	Ss-7	頂版	5	58	563	0.11
		側壁	1	78	665	0.12
		隔壁	2	64	399	0.17
		底版	7	110	528	0.21

注記* : 照査用せん断力 $V_d =$ 発生せん断力 \times 構造解析係数 γ_a

表 5-20 鉄筋コンクリート部材のせん断力照査結果 (A-A断面) (3/3)

解析 ケース	地震動	評価位置		照査用	せん断耐力 $V_{y d}$ (kN)	照査値 $V_d / V_{y d}$
				せん断力*		
				V_d (kN)		
①	Ss-8++	頂版	5	95	549	0.18
		側壁	1	114	623	0.19
		隔壁	2	120	394	0.31
		底版	6	179	429	0.42
	Ss-8-+	頂版	4	101	548	0.19
		側壁	3	112	620	0.19
		隔壁	2	118	393	0.31
		底版	7	171	423	0.41
②	Ss-1--	頂版	5	103	527	0.20
		側壁	1	123	599	0.21
		隔壁	2	127	395	0.33
		底版	6	189	436	0.44
③	Ss-1--	頂版	4	104	545	0.20
		側壁	3	114	655	0.18
		隔壁	2	126	391	0.33
		底版	7	228	425	0.54
④	Ss-1--	頂版	5	107	521	0.21
		側壁	1	134	584	0.23
		隔壁	2	131	395	0.34
		底版	6	201	434	0.47
⑤	Ss-1--	頂版	5	103	535	0.20
		側壁	1	126	578	0.22
		隔壁	2	125	396	0.32
		底版	6	149	432	0.35

注記* : 照査用せん断力 $V_d = \text{発生せん断力} \times \text{構造解析係数 } \gamma_a$

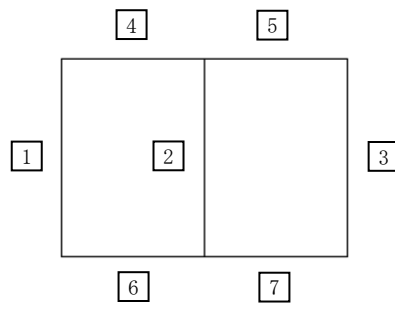
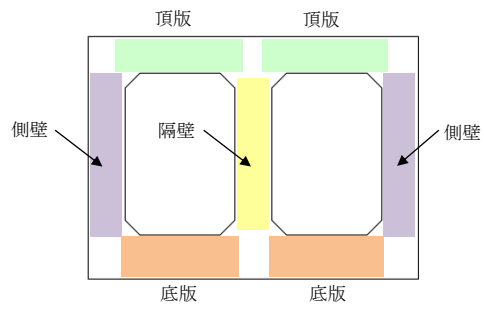


図 5-15 A-A断面の評価位置

表 5-21 鉄筋コンクリート部材のせん断力照査結果 (B-B断面) (1/3)

解析 ケース	地震動	評価位置		照査用	せん断耐力 $V_{y d}$ (kN)	照査値 $V_d / V_{y d}$
				せん断力*		
				V_d (kN)		
①	Ss-1++	頂版	4	116	495	0.24
		側壁	3	140	560	0.25
		隔壁	2	135	395	0.35
		底版	6	245	497	0.50
	Ss-1-+	頂版	5	123	500	0.25
		側壁	3	139	565	0.25
		隔壁	2	134	392	0.35
		底版	6	230	498	0.47
	Ss-1+-	頂版	4	121	503	0.25
		側壁	3	145	582	0.25
		隔壁	2	134	398	0.34
		底版	6	230	494	0.47
	Ss-1--	頂版	5	116	491	0.24
		側壁	1	130	564	0.24
		隔壁	2	131	389	0.34
		底版	6	211	496	0.43
	Ss-2	頂版	5	98	536	0.19
		側壁	3	117	612	0.20
		隔壁	2	115	392	0.30
		底版	6	177	502	0.36
	Ss-3++	頂版	4	113	519	0.22
		側壁	3	135	592	0.23
		隔壁	2	128	396	0.33
		底版	6	222	498	0.45
	Ss-3-+	頂版	5	114	506	0.23
		側壁	1	123	557	0.23
		隔壁	2	128	394	0.33
		底版	6	204	497	0.42

注記* : 照査用せん断力 $V_d =$ 発生せん断力 \times 構造解析係数 γ_a

表 5-21 鉄筋コンクリート部材のせん断力照査結果 (B-B断面) (2/3)

解析 ケース	地震動	評価位置		照査用 せん断力*	せん断耐力 $V_{y d}$ (kN)	照査値 $V_d / V_{y d}$
				V_d (kN)		
①	Ss-3+-	頂版	5	109	518	0.22
		側壁	3	117	557	0.22
		隔壁	2	128	392	0.33
		底版	6	197	497	0.40
	Ss-3--	頂版	5	106	511	0.21
		側壁	3	120	578	0.21
		隔壁	2	126	390	0.33
		底版	6	216	518	0.42
	Ss-4	頂版	5	71	550	0.13
		側壁	1	89	612	0.15
		隔壁	2	78	399	0.20
		底版	7	120	542	0.23
	Ss-5	頂版	5	65	557	0.12
		側壁	1	85	601	0.15
		隔壁	2	69	398	0.18
		底版	6	111	532	0.21
	Ss-6	頂版	4	70	549	0.13
		側壁	3	95	640	0.15
		隔壁	2	78	400	0.20
		底版	6	131	532	0.25
	Ss-7	頂版	5	61	549	0.12
		側壁	3	80	634	0.13
		隔壁	2	65	400	0.17
		底版	7	101	534	0.19
	Ss-8++	頂版	5	109	501	0.22
		側壁	1	113	536	0.22
		隔壁	2	127	392	0.33
		底版	7	176	496	0.36

注記* : 照査用せん断力 $V_d =$ 発生せん断力 \times 構造解析係数 γ_a

表 5-21 鉄筋コンクリート部材のせん断力照査結果 (B-B断面) (3/3)

解析 ケース	地震動	評価位置		照査用 せん断力*	せん断耐力 $V_{y d}$ (kN)	照査値 $V_d / V_{y d}$
				V_d (kN)		
①	Ss-8-+	頂版	4	108	502	0.22
		側壁	3	117	543	0.22
		隔壁	2	126	393	0.33
		底版	6	191	500	0.39
②	Ss-1++	頂版	4	113	504	0.23
		側壁	3	134	565	0.24
		隔壁	2	131	395	0.34
		底版	6	228	497	0.46
③	Ss-1++	頂版	5	121	494	0.25
		側壁	3	146	567	0.26
		隔壁	2	140	395	0.36
		底版	6	265	496	0.54
④	Ss-1++	頂版	4	107	512	0.21
		側壁	3	122	548	0.23
		隔壁	2	126	396	0.32
		底版	6	203	500	0.41
⑤	Ss-1++	頂版	4	101	523	0.20
		側壁	3	112	548	0.21
		隔壁	2	118	396	0.30
		底版	6	166	504	0.33

注記* : 照査用せん断力 $V_d =$ 発生せん断力 \times 構造解析係数 γ_a

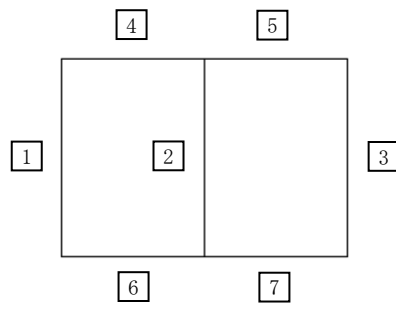
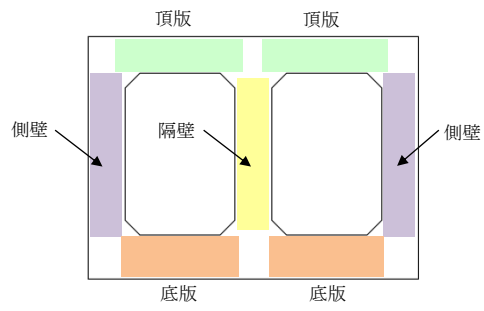


図 5-16 B-B断面の評価位置

5.3 鋼管杭の耐震評価

5.3.1 鋼管杭の曲げ軸力に対する評価結果

鋼管杭の曲げ軸力照査結果を表 5-22 及び表 5-23 に示す。

照査結果より，照査用曲率が終局曲率を下回ることを確認した。

表 5-22 鋼管杭の曲げ軸力照査結果 (A-A断面)

解析 ケース	評価位置*1	地震動	照査用曲率*2 ϕ_d (1/m)	終局曲率 ϕ_u (1/m)	照査値 ϕ_d / ϕ_u
①	北側	Ss-1++	7.94×10^{-4}	1.24×10^{-2}	0.07
	北側	Ss-1-+	9.43×10^{-4}	1.42×10^{-2}	0.07
	北側	Ss-1+-	8.19×10^{-4}	1.28×10^{-2}	0.07
	北側	Ss-1--	8.31×10^{-4}	1.39×10^{-2}	0.06
	北側	Ss-2	3.12×10^{-4}	1.32×10^{-2}	0.03
	北側	Ss-3++	7.92×10^{-4}	1.31×10^{-2}	0.07
	北側	Ss-3-+	8.64×10^{-4}	1.44×10^{-2}	0.06
	南側	Ss-3+-	7.62×10^{-4}	1.36×10^{-2}	0.06
	北側	Ss-3--	7.43×10^{-4}	1.26×10^{-2}	0.06
	北側	Ss-4	2.16×10^{-4}	1.32×10^{-2}	0.02
	北側	Ss-5	2.54×10^{-4}	1.39×10^{-2}	0.02
	北側	Ss-6	2.32×10^{-4}	1.34×10^{-2}	0.02
	北側	Ss-7	2.00×10^{-4}	1.28×10^{-2}	0.02
	北側	Ss-8++	8.36×10^{-4}	1.48×10^{-2}	0.06
	南側	Ss-8-+	7.09×10^{-4}	1.40×10^{-2}	0.06
②	北側	Ss-1--	6.83×10^{-4}	1.38×10^{-2}	0.05
③	北側	Ss-1--	1.22×10^{-3}	1.35×10^{-2}	0.10
④	北側	Ss-1--	7.79×10^{-4}	1.28×10^{-2}	0.07
⑤	北側	Ss-1--	6.81×10^{-4}	1.27×10^{-2}	0.06

注記*1 : 評価位置は下図に示す。

*2 : 照査用曲率 $\phi_d =$ 発生曲率 \times 構造解析係数 γ_a

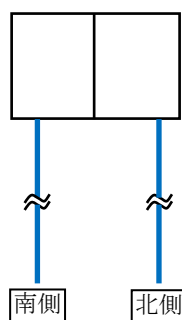
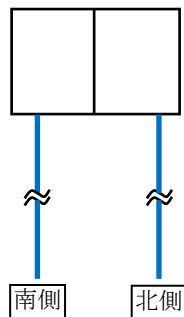


表 5-23 鋼管杭の曲げ軸力照査結果 (B-B断面)

解析 ケース	評価位置*1	地震動	照査用曲率*2 ϕ_d (1/m)	終局曲率 ϕ_u (1/m)	照査値 ϕ_d / ϕ_u
①	南側	Ss-1++	3.78×10^{-4}	1.31×10^{-2}	0.03
	南側	Ss-1-+	4.79×10^{-4}	1.39×10^{-2}	0.04
	南側	Ss-1+-	3.46×10^{-4}	1.34×10^{-2}	0.03
	南側	Ss-1--	4.24×10^{-4}	1.36×10^{-2}	0.04
	南側	Ss-2	2.45×10^{-4}	1.45×10^{-2}	0.02
	北側	Ss-3++	3.01×10^{-4}	1.28×10^{-2}	0.03
	南側	Ss-3-+	3.36×10^{-4}	1.37×10^{-2}	0.03
	南側	Ss-3+-	4.00×10^{-4}	1.42×10^{-2}	0.03
	南側	Ss-3--	3.78×10^{-4}	1.45×10^{-2}	0.03
	南側	Ss-4	1.15×10^{-4}	1.35×10^{-2}	0.01
	南側	Ss-5	1.21×10^{-4}	1.38×10^{-2}	0.01
	南側	Ss-6	1.11×10^{-4}	1.67×10^{-2}	0.01
	北側	Ss-7	1.10×10^{-4}	1.68×10^{-2}	0.01
	南側	Ss-8++	2.73×10^{-4}	1.38×10^{-2}	0.02
	南側	Ss-8-+	3.51×10^{-4}	1.44×10^{-2}	0.03
②	南側	Ss-1++	3.82×10^{-4}	1.49×10^{-2}	0.03
③	南側	Ss-1++	4.80×10^{-4}	1.32×10^{-2}	0.04
④	南側	Ss-1++	3.93×10^{-4}	1.49×10^{-2}	0.03
⑤	南側	Ss-1++	3.55×10^{-4}	1.46×10^{-2}	0.03

注記*1 : 評価位置は下図に示す。

*2 : 照査用曲率 $\phi_d =$ 発生曲率 \times 構造解析係数 γ_a



5.3.2 鋼管杭のせん断力に対する評価結果

鋼管杭のせん断力照査結果を表 5-24 及び表 5-25 に示す。

照査結果より，照査用せん断力が終局せん断強度を下回ることを確認した。

表 5-24 鋼管杭のせん断力照査結果 (A-A断面)

解析 ケース	評価位置*1	地震動	照査用 せん断力*2 Q_d (kN)	終局 せん断強度 Q_u (kN)	照査値 Q_d/Q_u
①	北側	Ss-1++	516	1677	0.31
	北側	Ss-1-+	489	1677	0.30
	北側	Ss-1+-	510	1677	0.31
	北側	Ss-1--	496	1677	0.30
	北側	Ss-2	191	1677	0.12
	北側	Ss-3++	505	1677	0.31
	北側	Ss-3-+	542	1677	0.33
	北側	Ss-3+-	473	1677	0.29
	北側	Ss-3--	471	1677	0.29
	北側	Ss-4	132	1677	0.08
	北側	Ss-5	153	1677	0.10
	北側	Ss-6	132	1677	0.08
	北側	Ss-7	129	1677	0.08
	北側	Ss-8++	476	1677	0.29
	北側	Ss-8-+	375	1677	0.23
②	北側	Ss-1--	438	1677	0.27
③	北側	Ss-1--	581	1677	0.35
④	北側	Ss-1--	474	1677	0.29
⑤	北側	Ss-1--	430	1677	0.26

注記*1 : 評価位置は下図に示す。

*2 : 照査用せん断力 $Q_d =$ 発生せん断力 \times 構造解析係数 γ_a

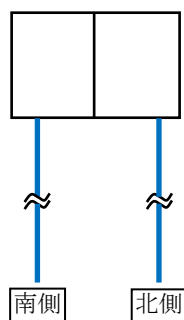
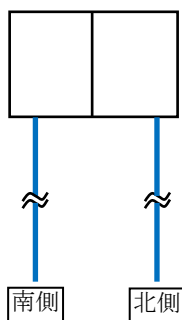


表 5-25 鋼管杭のせん断力照査結果 (B-B断面)

解析 ケース	評価位置*1	地震動	照査用 せん断力*2 Q_d (kN)	終局 せん断強度 Q_u (kN)	照査値 Q_d / Q_u
①	南側	Ss-1++	487	1977	0.25
	南側	Ss-1-+	424	1977	0.22
	南側	Ss-1+-	457	1977	0.24
	南側	Ss-1--	374	1977	0.19
	南側	Ss-2	334	1977	0.17
	南側	Ss-3++	336	1977	0.17
	南側	Ss-3-+	367	1977	0.19
	南側	Ss-3+-	365	1977	0.19
	南側	Ss-3--	427	1977	0.22
	北側	Ss-4	136	1977	0.07
	北側	Ss-5	186	1977	0.10
	南側	Ss-6	184	1977	0.10
	北側	Ss-7	186	1977	0.10
	南側	Ss-8++	273	1977	0.14
	南側	Ss-8-+	328	1977	0.17
②	南側	Ss-1++	336	1977	0.19
③	南側	Ss-1++	635	1977	0.33
④	南側	Ss-1++	361	1977	0.19
⑤	南側	Ss-1++	206	1677	0.13

注記*1 : 評価位置は下図に示す。

*2 : 照査用せん断力 Q_d = 発生せん断力 × 構造解析係数 γ_a



5.4 基礎地盤の支持性能に対する支持力評価

5.4.1 基礎地盤の押し込みに対する支持性能評価

基礎地盤の押し込みに対する支持性能照査結果を表 5-26 及び表 5-27 に示す。

照査結果より、全時刻歴において発生した杭頭の鉛直力が終局鉛直支持力を下回ることを確認した。

表 5-26 基礎地盤の押し込みに対する支持性能照査結果 (A-A断面)

解析 ケース	評価位置*1	地震動	鉛直力 R_a (kN)	終局 鉛直支持力*2 R_{ua} (kN)	照査値 R_a/R_{ua}
①	南側	Ss-1++	581	9160	0.07
	南側	Ss-1-+	579	9160	0.07
	北側	Ss-1+-	562	9160	0.07
	南側	Ss-1--	563	9160	0.07
	北側	Ss-2	497	9160	0.06
	南側	Ss-3++	526	9160	0.06
	南側	Ss-3-+	520	9160	0.06
	南側	Ss-3+-	572	9160	0.07
	南側	Ss-3--	577	9160	0.07
	北側	Ss-4	452	9160	0.05
	南側	Ss-5	447	9160	0.05
	南側	Ss-6	475	9160	0.06
	北側	Ss-7	400	9160	0.05
	北側	Ss-8++	545	9160	0.06
	南側	Ss-8-+	607	9160	0.07
②	南側	Ss-1--	501	9160	0.06
③	北側	Ss-1--	770	9160	0.09
④	南側	Ss-1--	542	9160	0.06
⑤	南側	Ss-1--	481	9160	0.06

注記*1 : 評価位置は下図に示す。

*2 : 終局鉛直支持力 R_{ua} = 極限支持力 R_u ÷ 安全率

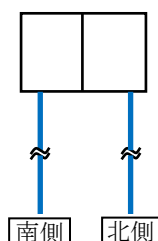
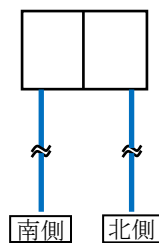


表 5-27 基礎地盤の押込みに対する支持性能照査結果（B-B断面）

解析 ケース	評価位置*1	地震動	鉛直力 R_a (kN)	終局 鉛直支持力*2 R_{ua} (kN)	照査値 R_a / R_{ua}
①	南側	Ss-1++	826	8011	0.11
	南側	Ss-1-+	655	8011	0.09
	南側	Ss-1+-	847	8011	0.11
	南側	Ss-1--	682	8011	0.09
	南側	Ss-2	538	8011	0.07
	南側	Ss-3++	811	8011	0.11
	南側	Ss-3-+	809	8011	0.11
	南側	Ss-3+-	797	8011	0.10
	南側	Ss-3--	809	8011	0.11
	北側	Ss-4	397	8011	0.05
	南側	Ss-5	397	8011	0.05
	南側	Ss-6	456	8011	0.06
	南側	Ss-7	445	8011	0.06
	南側	Ss-8++	505	8011	0.07
南側	Ss-8-+	422	8011	0.06	
②	南側	Ss-1++	818	8011	0.11
③	南側	Ss-1++	806	8011	0.11
④	南側	Ss-1++	661	8011	0.09
⑤	南側	Ss-1++	609	8011	0.08

注記*1 : 評価位置は下図に示す。

*2 : 照査用せん断力 Q_d = 発生せん断力 × 構造解析係数 γ_a



5.4.2 基礎地盤の引抜きに対する評価

基礎地盤の引抜きに対する支持性能照査結果を表 5-28 及び表 5-29 に示す。

照査結果より、全時刻歴において発生した引抜き力が終局引抜き力を下回ることを確認した。

表 5-28 基礎地盤の引抜きに対する支持性能照査結果 (A-A断面)

解析 ケース	評価位置*1	地震動	引抜き力 P_a (kN)	終局 引抜き力*2 P_{ua} (kN)	照査値 P_a / P_{ua}
①	南側	Ss-1++	887	4993	0.18
	南側	Ss-1-+	884	4993	0.18
	南側	Ss-1+-	935	4993	0.19
	南側	Ss-1--	974	4993	0.20
	南側	Ss-2	459	4993	0.10
	南側	Ss-3++	717	4993	0.15
	南側	Ss-3-+	815	4993	0.17
	南側	Ss-3+-	848	4993	0.17
	南側	Ss-3--	742	4993	0.15
	南側	Ss-4	295	4993	0.06
	南側	Ss-5	256	4993	0.06
	南側	Ss-6	267	4993	0.06
	南側	Ss-7	237	4993	0.05
	南側	Ss-8++	771	4993	0.16
	北側	Ss-8-+	633	4993	0.13
②	南側	Ss-1--	823	4993	0.17
③	北側	Ss-1--	948	4993	0.19
④	南側	Ss-1--	818	4993	0.17
⑤	南側	Ss-1--	628	4993	0.13

注記*1 : 評価位置は下図に示す。

*2 : 終局引抜き力 P_{ua} = 極限引抜き力 P_u ÷ 安全率

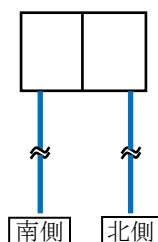
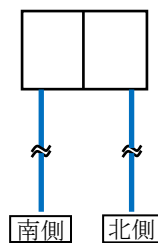


表 5-29 基礎地盤の引抜きに対する支持性能照査結果（B-B断面）

解析 ケース	評価位置*1	地震動	引抜き力 P_a (kN)	終局 引抜き力*2 P_{ua} (kN)	照査値 P_a / P_{ua}
①	北側	Ss-1++	725	3844	0.19
	北側	Ss-1-+	706	3844	0.19
	北側	Ss-1+-	740	3844	0.20
	北側	Ss-1--	724	3844	0.19
	北側	Ss-2	493	3844	0.13
	北側	Ss-3++	557	3844	0.15
	北側	Ss-3-+	621	3844	0.17
	北側	Ss-3+-	707	3844	0.19
	南側	Ss-3--	618	3844	0.17
	南側	Ss-4	131	3844	0.04
	北側	Ss-5	241	3844	0.07
	北側	Ss-6	183	3844	0.05
	南側	Ss-7	180	3844	0.05
	南側	Ss-8++	612	3844	0.16
	北側	Ss-8-+	626	3844	0.17
②	北側	Ss-1++	663	3844	0.18
③	北側	Ss-1++	832	3844	0.22
④	北側	Ss-1++	484	3844	0.13
⑤	北側	Ss-1++	394	3844	0.11

注記*1 : 評価位置は下図に示す。

*2 : 終局引抜き力 P_{ua} = 極限引抜き力 P_u ÷ 安全率



6. まとめ

燃料移送系配管ダクトは、基準地震動 S_s に対して、構造物の地震応答解析に基づく曲げ軸力に伴う層間変形角、曲率及びせん断力が各部材の要求性能に応じた許容限界以下であることを確認した。基礎地盤の支持性能評価については、地震応答解析に基づく杭頭に発生する鉛直力が終局鉛直支持力及び終局引抜き力を下回ることを確認した。

以上のことから、燃料移送系配管ダクトは、基準地震動 S_s による地震力に対して、間接支持機能を維持できる。

燃料移送系配管ダクトの耐震安全性評価に関する参考資料

目 次

(参考資料 1) 軸力の変動が部材の非線形特性に与える影響について	参考 1-1
(参考資料 2) 杭頭部の耐震評価	参考 2-1
(参考資料 3) 積雪荷重の影響評価	参考 3-1
(参考資料 4) 燃料移送系配管ダクト接合部の健全性評価	参考 4-1
(参考資料 5) 杭先端の極限支持力度の設定について	参考 5-1
(参考資料 6) 静的地震力に対する耐震評価	参考 6-1
(参考資料 7) 新設地盤改良体の物性値設定が構造物の耐震評価及び機器・配管系に対する応答加速度に与える影響確認	参考 7-1

(参考資料 1) 軸力の変動が部材の非線形特性に与える影響について

1. 概要

燃料移送系配管ダクトの地震応答解析では、鉄筋コンクリート部材を非線形はり要素にてモデル化しており、鉄筋コンクリート部材の非線形特性（ $M-\phi$ 関係）にはトリリニアモデルを適用している。一方、有効応力解析コード F L I P（Ver. 7.4.1）では、地震時における鉄筋コンクリート部材の軸力は一定として扱われる。

本項では、基準地震動 S_s を入力とした地震応答解析による鉄筋コンクリート部材の各部材の軸力及び曲げモーメントの変動範囲を踏まえた上で、部材の非線形特性に与える影響を検討し、耐震評価において軸力が一定とされる有効応力解析コード F L I P（Ver. 7.4.1）の非線形特性を用いることの妥当性を検討する。

2. 検討内容

2.1 検討ケース

本検討では、鉄筋コンクリート部材の曲げ軸力に対する照査値が最も厳しい解析ケース、地震動及び解析断面を代表ケースとして選定する。部材の軸力変動範囲を確認するための検討ケースを表 2-1 に示す。

対象部材は、土被り荷重を分担する鉛直部材である側壁及び隔壁とし、それぞれの部材において曲げ損傷が大きい部位に着目する。検討ケースにおける対象部材・部位を図 2-1 に示す。

表 2-1 部材の軸力変動範囲を確認するための検討ケース

項目	条件
解析ケース	解析ケース③ (地盤物性のばらつき (-1σ) を考慮した解析ケース)
入力地震動	$S_s - 1$ (++)
解析断面	B-B断面
確認対象部材	図 2-1 に示すとおり

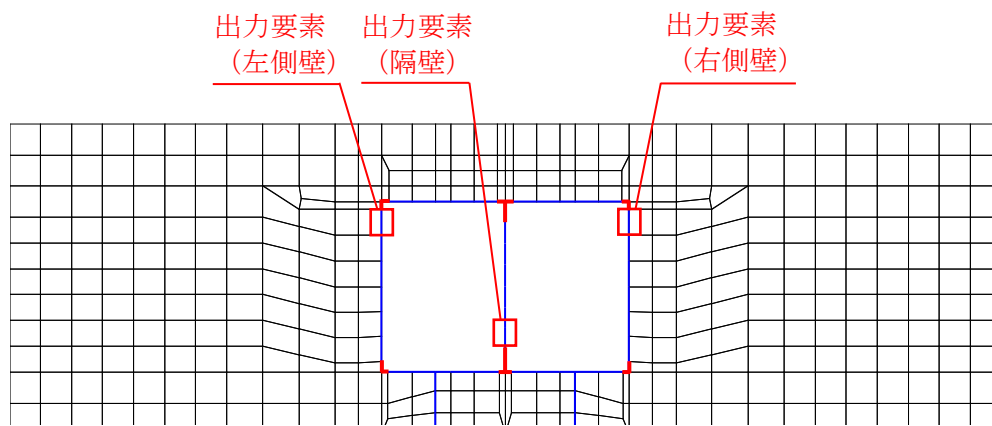


図 2-1 検討ケースにおける対象部材・部位 (B-B断面)

2.2 検討方法

地震応答解析により鉄筋コンクリート部材における軸力及び曲げモーメントの変動範囲を抽出し、当該部材の M_u (終局モーメント) - N (軸力) 関係及び M_y (降伏モーメント) - N (軸力) 関係と比較することにより、軸力変動の影響を検討する。

3. 検討結果

図 3-1～図 3-3 に、検討ケースにおける鉄筋コンクリート部材の軸力及び曲げモーメントの変動範囲と、当該部材の M_u - N 関係及び M_y - N 関係を示す。また、同図には、FLIPにて非線形特性として用いられている M_u 及び M_y の設定根拠である常時応力解析による当該部材の軸力をプロットしている。

これより、地震時の鉄筋コンクリート部材における軸力の変動範囲は、概ね常時応力解析における軸力と同程度であることがわかる。また、本検討での評価対象部位に発生する曲げモーメントは M_y (降伏モーメント) 以下であり、弾性範囲内に収まっている。

以上より、鉄筋コンクリート部材において、軸力の変動が部材の非線形特性に与える影響は軽微であり、耐震評価において軸力が一定とされる有効応力解析コード「FLIP Ver. 7.4.1」の当該非線形特性を用いることは妥当である。

○ 側壁

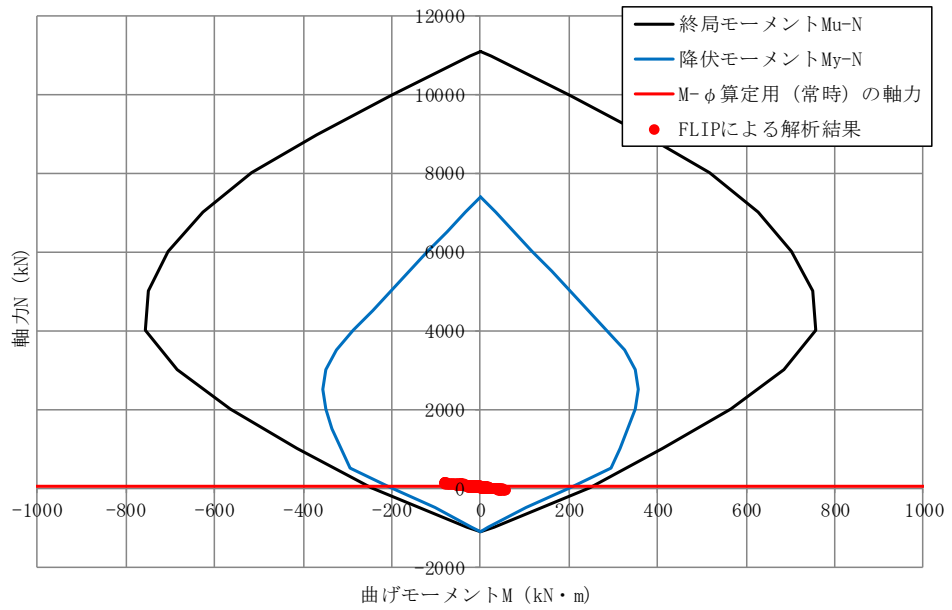


図 3-1 基準地震動 S_s による燃料移送系配管ダクトの部材の応答範囲 (左側壁)

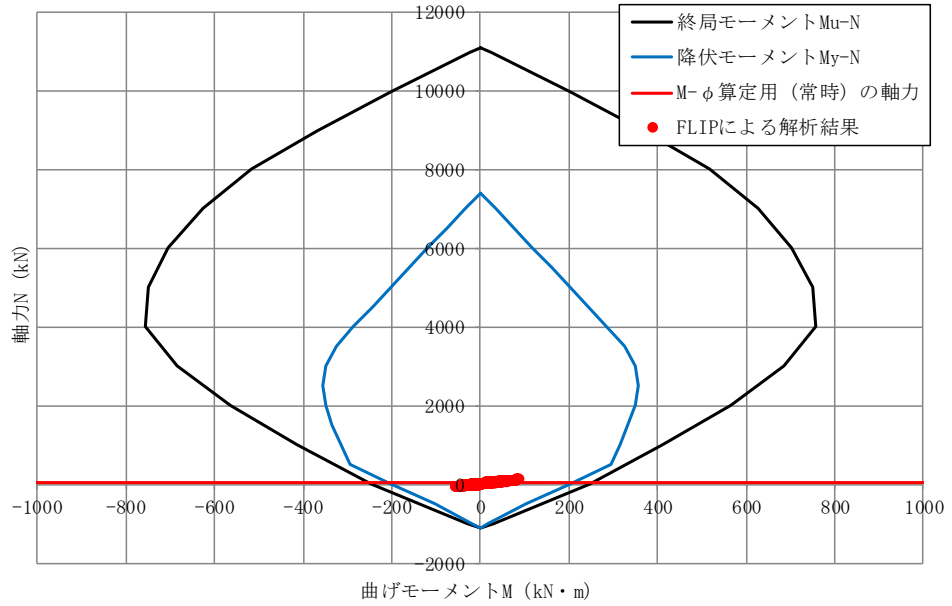


図 3-2 基準地震動 S_s による燃料移送系配管ダクトの部材の応答範囲 (右側壁)

○ 隔壁

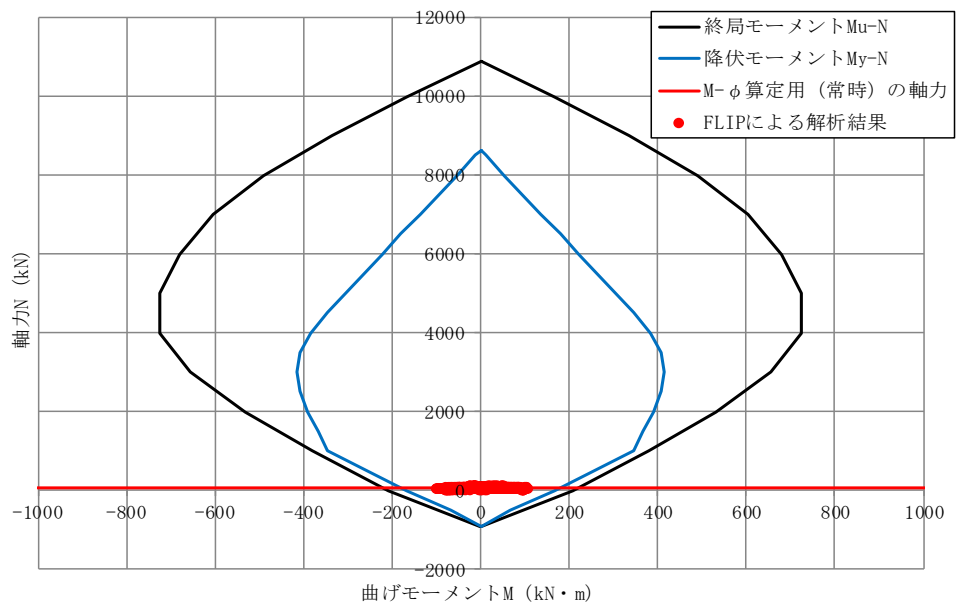


図 3-3 基準地震動 S_s による燃料移送系配管ダクトの部材の応答範囲 (隔壁)

(参考資料 2) 杭頭部の耐震評価

1. 概要

燃料移送系配管ダクトの杭と鉄筋コンクリート部材は、「道路橋示方書・同解説(IV下部構造編)(日本道路協会,平成14年3月)」(以下「道路橋示方書」という。)に示される方法Bにより結合している。燃料移送系配管ダクトの杭頭部の耐震評価として, KK7 補足-027-2「軽油タンク基礎の耐震安全性評価 参考資料1-2」に示す方法Bに対する照査項目に則り, 押抜きせん断応力度照査及び仮想鉄筋コンクリート断面による杭頭部の曲げ軸力照査を実施する。

2. 押抜きせん断応力度照査

2.1 照査方法

押抜きせん断応力度照査は, 「道路橋示方書・同解説(IV下部構造編)(日本道路協会,平成14年3月)」に基づき, ダクト底版に生じる押抜きせん断応力度が, 許容押抜きせん断応力度以下であることを確認する。ダクト底版の押抜きせん断応力度は, 道路橋示方書・同解説(I共通編・IIIコンクリート橋編)(日本道路協会,平成14年3月)」に基づき下式により算定し, 許容押抜きせん断応力度以下となることを確認する。

$$\tau_p = \frac{P}{\pi(D+h)h} \leq \tau_a$$

τ_p : 押抜きせん断応力度(N/mm²)

P : 荷重(N)

D : 杭径(mm)

h : 押し抜きせん断に抵抗する底版の有効高さ(mm)

τ_a : 許容押抜きせん断応力度(N/mm²)

2.2 照査結果

照査結果を表 2-1 及び表 2-2 に示す。各解析ケースにおいて生じるダクト底版の押し抜きせん断応力度が、許容限界以下であることを確認した。

表 2-1 押し抜きせん断応力度照査結果 (A-A 断面)

検討 ケース	地震動	照査位置	圧縮 軸力 (kN)	押し抜き せん断応力度* (N/mm ²)	短期許容 応力度 (N/mm ²)	照査値
①	Ss-1++	南側	580	0.30	0.89	0.34
	Ss-1-+	南側	580	0.30	0.89	0.34
	Ss-1+-	北側	562	0.29	0.89	0.33
	Ss-1--	南側	562	0.29	0.89	0.33
	Ss-2	北側	496	0.26	0.89	0.30
	Ss-3++	南側	526	0.28	0.89	0.32
	Ss-3-+	南側	519	0.27	0.89	0.31
	Ss-3+-	南側	571	0.30	0.89	0.34
	Ss-3--	南側	576	0.30	0.89	0.34
	Ss-4	北側	452	0.24	0.89	0.27
	Ss-5	南側	447	0.24	0.89	0.27
	Ss-6	南側	474	0.25	0.89	0.29
	Ss-7	北側	401	0.21	0.89	0.24
	Ss-8++	北側	545	0.29	0.89	0.33
	Ss-8-+	南側	607	0.32	0.89	0.36
②	Ss-8-+	南側	532	0.28	0.89	0.32
③	Ss-8-+	南側	633	0.33	0.89	0.38
④	Ss-8-+	南側	572	0.30	0.89	0.34
⑤	Ss-8-+	南側	391	0.21	0.89	0.24

注記* : 押し抜きせん断応力度 = 発生押し抜きせん断応力度 × 構造解析係数 γ_a

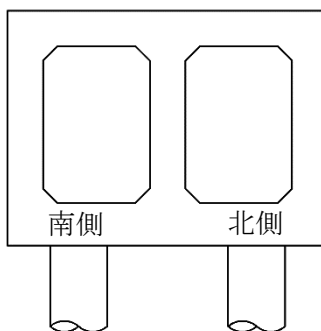


図 2-1 照査位置

表 2-2 押し抜きせん断応力度照査結果 (B-B断面)

検討 ケース	地震動	照査位置	圧縮 軸力 (kN)	押し抜き せん断応力度* (N/mm ²)	短期許容 応力度 (N/mm ²)	照査値
①	Ss-1++	南側	827	0.43	0.89	0.49
	Ss-1-+	北側	658	0.34	0.89	0.39
	Ss-1+-	南側	846	0.44	0.89	0.50
	Ss-1--	南側	681	0.36	0.89	0.41
	Ss-2	南側	538	0.28	0.89	0.32
	Ss-3++	南側	811	0.42	0.89	0.48
	Ss-3-+	南側	809	0.42	0.89	0.48
	Ss-3+-	南側	797	0.42	0.89	0.48
	Ss-3--	南側	809	0.42	0.89	0.48
	Ss-4	北側	396	0.21	0.89	0.24
	Ss-5	南側	397	0.21	0.89	0.24
	Ss-6	南側	456	0.24	0.89	0.27
	Ss-7	南側	445	0.23	0.89	0.26
	Ss-8++	南側	505	0.26	0.89	0.30
	Ss-8-+	南側	423	0.22	0.89	0.25
②	Ss-1+-	南側	828	0.43	0.89	0.49
③	Ss-1+-	南側	811	0.42	0.89	0.48
④	Ss-1+-	南側	704	0.37	0.89	0.42
⑤	Ss-1+-	南側	634	0.33	0.89	0.38

注記* : 押し抜きせん断応力度 = 発生押し抜きせん断応力度 × 構造解析係数 γ_a

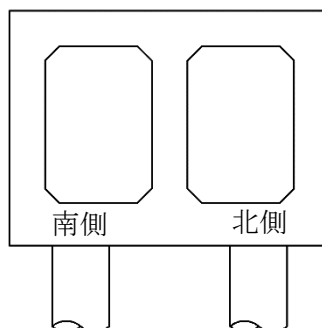


図 2-2 照査位置

3. 仮想鉄筋コンクリート断面による曲げ軸力照査

3.1 照査方法

仮想鉄筋コンクリート断面による曲げ軸力照査は「道路橋示方書（I 共通編・IV 下部構造編）・同解説（平成 29 年 11 月）」に基づき、表 3-1 及び図 3-1 に示す仮想鉄筋コンクリート断面を設定し、杭頭の曲げモーメント及び軸力に対し、仮想鉄筋コンクリート断面の曲げ圧縮応力度及び杭頭補強鉄筋の引張応力度が短期許容応力度以下であることを確認する。

表 3-1 仮想鉄筋コンクリート断面諸元*

項目		諸元
仮想 RC 断面	杭径 D(mm)	798
	仮想 RC 断面の径(mm)	1098
コンクリート	設計基準強度(N/mm ²)	23.5
	短期許容応力度(N/mm ²)	11.7
杭頭補強鉄筋	材質	SD35 (SD345 相当)
	鉄筋径	D22
	鉄筋の本数(本)	23
	配置半径(mm)	348
	短期許容応力度(N/mm ²)	300

注記* : 「道路橋示方書・同解説（IV 下部構造編）（日本道路協会，平成 29 年 3 月）」に基づき設定

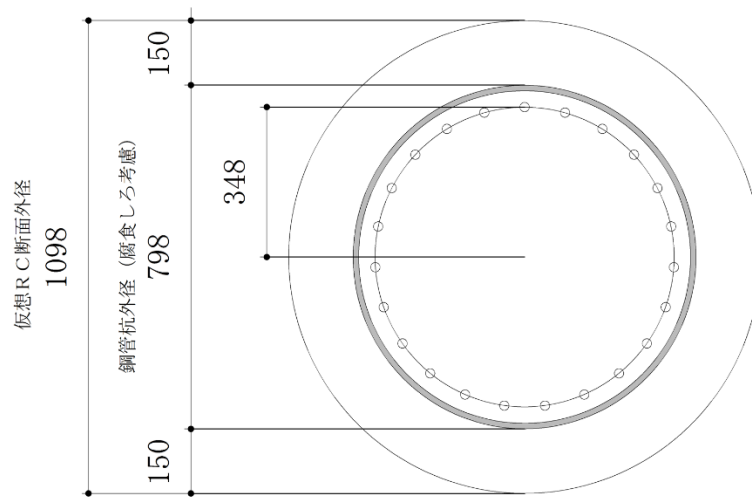


図 3-1 概略補強配筋図（杭頭補強鉄筋）*

注記* : 「道路橋示方書・同解説（IV 下部構造編）（日本道路協会，平成 29 年 3 月）」に基づき設定

3.2 照査結果

照査結果を表 3-2 及び表 3-3 に示す。各解析ケースにおいて生じる仮想鉄筋コンクリート断面の曲げ圧縮応力度及び杭頭補強鉄筋の引張応力度が短期許容応力度以下であることを確認した。

表 3-2 杭頭補強鉄筋の照査結果 (A-A断面) (1/3)

解析 ケース	地震動	照査項目	照査 位置	照査用 応力度* (N/mm ²)	短期許容 応力度 (N/mm ²)	照査値
①	Ss-1++	コンクリートの 曲げ圧縮応力度	南側	1.4	11.7	0.12
		鉄筋の 引張応力度	南側	175	300	0.59
	Ss-1-+	コンクリートの 曲げ圧縮応力度	北側	1.3	11.7	0.12
		鉄筋の 引張応力度	南側	164	300	0.55
	Ss-1+-	コンクリートの 曲げ圧縮応力度	北側	1.4	11.7	0.12
		鉄筋の 引張応力度	南側	179	300	0.60
	Ss-1--	コンクリートの 曲げ圧縮応力度	北側	1.3	11.7	0.12
		鉄筋の 引張応力度	南側	176	300	0.59
	Ss-2	コンクリートの 曲げ圧縮応力度	北側	0.9	11.7	0.08
		鉄筋の 引張応力度	北側	85	300	0.29
	Ss-3++	コンクリートの 曲げ圧縮応力度	北側	1.6	11.7	0.14
		鉄筋の 引張応力度	南側	147	300	0.49
	Ss-3-+	コンクリートの 曲げ圧縮応力度	北側	1.8	11.7	0.16
		鉄筋の 引張応力度	南側	165	300	0.55

注記* : 照査用応力度 = 発生応力度 × 構造解析係数 γ_a

表 3-2 杭頭補強鉄筋の照査結果 (A-A断面) (2/3)

解析 ケース	地震動	照査項目	照査 位置	照査用 応力度* (N/mm ²)	短期許容 応力度 (N/mm ²)	照査値
①	Ss-3+-	コンクリートの 曲げ圧縮応力度	北側	1.6	11.7	0.14
		鉄筋の 引張応力度	南側	160	300	0.54
	Ss-3--	コンクリートの 曲げ圧縮応力度	北側	1.5	11.7	0.13
		鉄筋の 引張応力度	南側	155	300	0.52
	Ss-4	コンクリートの 曲げ圧縮応力度	北側	0.7	11.7	0.06
		鉄筋の 引張応力度	南側	50	300	0.17
	Ss-5	コンクリートの 曲げ圧縮応力度	南側	0.7	11.7	0.06
		鉄筋の 引張応力度	南側	46	300	0.16
	Ss-6	コンクリートの 曲げ圧縮応力度	南側	0.7	11.7	0.06
		鉄筋の 引張応力度	南側	49	300	0.17
	Ss-7	コンクリートの 曲げ圧縮応力度	北側	0.7	11.7	0.06
		鉄筋の 引張応力度	南側	45	300	0.15
	Ss-8++	コンクリートの 曲げ圧縮応力度	北側	1.7	11.7	0.15
		鉄筋の 引張応力度	南側	137	300	0.46
	Ss-8-+	コンクリートの 曲げ圧縮応力度	南側	1.0	11.7	0.09
		鉄筋の 引張応力度	北側	112	300	0.38

注記* : 照査用応力度 = 発生応力度 × 構造解析係数 γ_a

表 3-2 杭頭補強鉄筋の照査結果 (A-A断面) (3/3)

解析 ケース	地震動	照査項目	照査 位置	照査用 応力度* (N/mm ²)	短期許容 応力度 (N/mm ²)	照査値
②	Ss-1+-	コンクリートの 曲げ圧縮応力度	北側	1.0	11.7	0.09
		鉄筋の 引張応力度	北側	121	300	0.41
③	Ss-1+-	コンクリートの 曲げ圧縮応力度	北側	4.1	11.7	0.36
		鉄筋の 引張応力度	南側	257	300	0.86
④	Ss-1+-	コンクリートの 曲げ圧縮応力度	北側	1.2	11.7	0.11
		鉄筋の 引張応力度	南側	147	300	0.49
⑤	Ss-1+-	コンクリートの 曲げ圧縮応力度	南側	0.8	11.7	0.07
		鉄筋の 引張応力度	南側	93	300	0.31

注記* : 照査用応力度 = 発生応力度 × 構造解析係数 γ_a

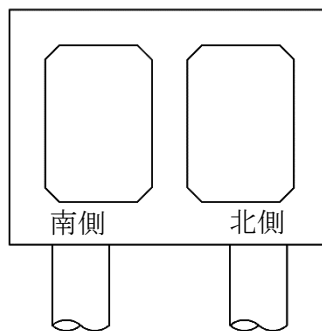


図 3-2 照査位置

表 3-3 杭頭補強鉄筋の照査結果 (B-B断面) (1/3)

解析 ケース	地震動	照査項目	照査 位置	照査用 応力度* (N/mm ²)	短期許容 応力度 (N/mm ²)	照査値
①	Ss-1++	コンクリートの 曲げ圧縮応力度	南側	2.4	11.7	0.21
		鉄筋の 引張応力度	北側	161	300	0.54
	Ss-1-+	コンクリートの 曲げ圧縮応力度	南側	2.0	11.7	0.18
		鉄筋の 引張応力度	南側	164	300	0.55
	Ss-1+-	コンクリートの 曲げ圧縮応力度	南側	2.4	11.7	0.21
		鉄筋の 引張応力度	北側	164	300	0.55
	Ss-1--	コンクリートの 曲げ圧縮応力度	南側	2.1	11.7	0.18
		鉄筋の 引張応力度	北側	161	300	0.54
	Ss-2	コンクリートの 曲げ圧縮応力度	南側	1.2	11.7	0.11
		鉄筋の 引張応力度	南側	105	300	0.35
	Ss-3++	コンクリートの 曲げ圧縮応力度	南側	2.1	11.7	0.18
		鉄筋の 引張応力度	北側	139	300	0.47
	Ss-3-+	コンクリートの 曲げ圧縮応力度	南側	1.9	11.7	0.17
		鉄筋の 引張応力度	北側	140	300	0.47

注記* : 照査用応力度 = 発生応力度 × 構造解析係数 γ_a

表 3-3 杭頭補強鉄筋の照査結果 (B-B断面) (2/3)

解析 ケース	地震動	照査項目	照査 位置	照査用 応力度* (N/mm ²)	短期許容 応力度 (N/mm ²)	照査値
①	Ss-3+-	コンクリートの 曲げ圧縮応力度	南側	1.9	11.7	0.17
		鉄筋の 引張応力度	北側	153	300	0.51
	Ss-3--	コンクリートの 曲げ圧縮応力度	南側	2.0	11.7	0.18
		鉄筋の 引張応力度	南側	149	300	0.50
	Ss-4	コンクリートの 曲げ圧縮応力度	南側	0.6	11.7	0.06
		鉄筋の 引張応力度	南側	33	300	0.11
	Ss-5	コンクリートの曲 げ圧縮応力度	南側	0.7	11.7	0.06
		鉄筋の 引張応力度	北側	52	300	0.18
	Ss-6	コンクリートの 曲げ圧縮応力度	南側	0.9	11.7	0.08
		鉄筋の 引張応力度	北側	48	300	0.16
	Ss-7	コンクリートの 曲げ圧縮応力度	南側	0.9	11.7	0.08
		鉄筋の 引張応力度	南側	49	300	0.17
	Ss-8++	コンクリートの 曲げ圧縮応力度	南側	1.1	11.7	0.10
		鉄筋の 引張応力度	南側	125	300	0.42
	Ss-8-+	コンクリートの 曲げ圧縮応力度	南側	0.9	11.7	0.08
		鉄筋の 引張応力度	北側	113	300	0.38

注記* : 照査用応力度=発生応力度×構造解析係数 γ_a

表 3-3 杭頭補強鉄筋の照査結果 (B-B断面) (3/3)

解析 ケース	地震動	照査項目	照査 位置	照査用 応力度* (N/mm ²)	短期許容 応力度 (N/mm ²)	照査値
②	Ss-1-+	コンクリートの 曲げ圧縮応力度	南側	2.8	11.7	0.24
		鉄筋の 引張応力度	南側	169	300	0.57
③	Ss-1-+	コンクリートの 曲げ圧縮応力度	南側	1.5	11.7	0.13
		鉄筋の 引張応力度	南側	167	300	0.56
④	Ss-1-+	コンクリートの 曲げ圧縮応力度	南側	1.3	11.7	0.12
		鉄筋の 引張応力度	南側	115	300	0.39
⑤	Ss-1-+	コンクリートの 曲げ圧縮応力度	南側	1.6	11.7	0.14
		鉄筋の 引張応力度	南側	111	300	0.37

注記* : 照査用応力度 = 発生応力度 × 構造解析係数 γ_a

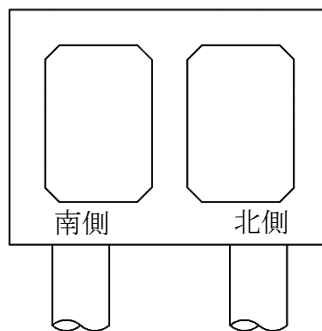


図 3-3 照査位置

(参考資料 3) 積雪荷重の影響評価

1. 概要

屋外重要土木構造物のうち土被りを有する構造物については、積雪荷重が構造物に与える影響は軽微であると判断し、耐震評価における地震力と組み合わせる荷重として積雪荷重を考慮していない。

ここで、燃料移送系配管ダクトは土被りが約 1.0m と、土被りを有する屋外重要土木構造物の中で、最も土被りの小さい構造物である。そこで本項では、燃料移送系配管ダクトに対する積雪荷重の影響検討を行い、上記積雪荷重の方針に対する妥当性を確認する。

2. 検討方針

積雪荷重を考慮しない解析（以下「基本ケース」という。）の耐震評価結果と、積雪荷重を考慮した解析（以下「積雪荷重考慮ケース」という。）の耐震評価結果を比較し、積雪荷重による影響を確認する。

積雪荷重考慮ケースの検討は、基本ケースの耐震評価において照査値が卓越する鉄筋コンクリート部材のせん断力照査の結果に着目し、頂版、側壁、隔壁、底版の各照査値が最も厳しいB-B断面の「解析ケース③、基準地震動 S_s-1++ 」とする。

3. 積雪荷重の設定

積雪荷重の概念図を図 3-1 に示す。積雪荷重は、屋外重要土木構造物のうち積雪荷重を考慮している軽油タンク基礎や常設代替交流電源設備基礎と同一の条件として、積雪厚さ 115.4cm、積雪厚さ 1cm あたりの荷重を $29.4\text{N/cm} \cdot \text{m}^2$ とし、ダクト躯体のモデル幅で地表面に分布荷重として設定する。

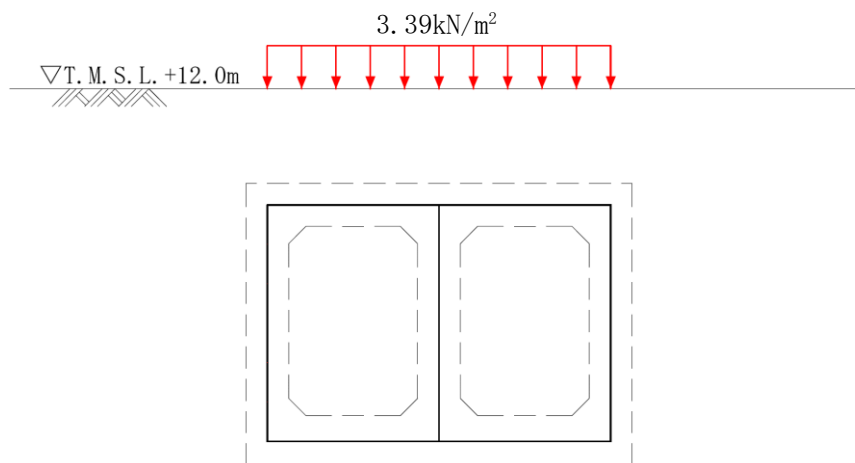


図 3-1 積雪荷重設定の概念図*

注記* : 水平方向にも同位置に載荷する

4. 耐震評価結果の比較

基本ケースと積雪荷重考慮ケースのせん断力照査の比較結果を表 4-1～表 4-4 に示す。積雪荷重考慮ケースの照査値は基本ケースを若干上回るものの、せん断耐力に対して十分余裕があることを確認した。

表 4-1 頂版のせん断照査結果の比較

検討ケース	照査用せん断力* V_d (kN)	せん断耐力 $V_{y d}$ (kN)	照査値 $V_d / V_{y d}$
基本ケース	121	494	0.25
積雪荷重考慮ケース	124	497	0.25

注記* : 照査用せん断力 $V_d =$ 発生せん断力 \times 構造解析係数 γ_a

表 4-2 側壁のせん断照査結果の比較

検討ケース	照査用せん断力* V_d (kN)	せん断耐力 $V_{y d}$ (kN)	照査値 $V_d / V_{y d}$
基本ケース	146	567	0.26
積雪荷重考慮ケース	148	561	0.27

注記* : 照査用せん断力 $V_d =$ 発生せん断力 \times 構造解析係数 γ_a

表 4-3 隔壁のせん断照査結果の比較

検討ケース	照査用せん断力* V_d (kN)	せん断耐力 $V_{y d}$ (kN)	照査値 $V_d / V_{y d}$
基本ケース	140	395	0.36
積雪荷重考慮ケース	143	396	0.37

注記* : 照査用せん断力 $V_d =$ 発生せん断力 \times 構造解析係数 γ_a

表 4-4 底版のせん断照査結果の比較

検討ケース	照査用せん断力* V_d (kN)	せん断耐力 $V_{y d}$ (kN)	照査値 $V_d / V_{y d}$
基本ケース	265	496	0.54
積雪荷重考慮ケース	275	496	0.56

注記* : 照査用せん断力 $V_d =$ 発生せん断力 \times 構造解析係数 γ_a

5. まとめ

土被りを有する屋外重要土木構造物の耐震評価において、積雪荷重を考慮しない方針の妥当性確認として、燃料移送系配管ダクトに対する積雪荷重の影響評価を実施した。積雪荷重未考慮の基本ケースと積雪荷重を考慮したケースの耐震評価結果を比較した結果、発生力に若干の変化はあるものの、照査値の差は最大で 0.02 程度であり、許容限界に対して十分な余裕があることを確認した。

(参考資料 4) 燃料移送系配管ダクトの接合部の健全性評価

1. 概要

燃料移送系配管ダクトの平面図を図 1-1 に示す。燃料移送系配管ダクトは、耐震ジョイント及び緩衝材を介して、西側の原子炉建屋及び東側の軽油タンク基礎と接続している。また、燃料移送系配管ダクト中央付近で耐震ジョイント及び緩衝材を介して2つのブロックに構造分離している。

本項では、これら燃料移送系配管ダクトの接合部の地震時における健全性について検討する。

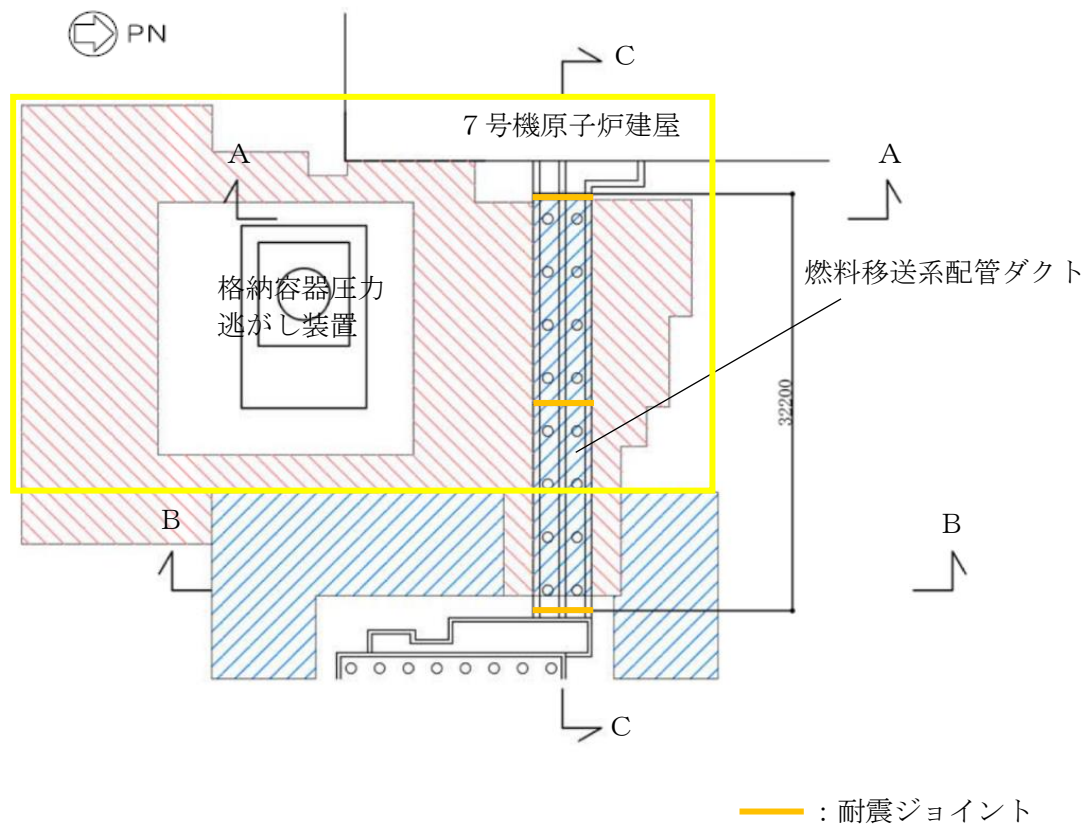


図 1-1 燃料移送系配管ダクトの平面図

2. 検討方針

C-C断面の地震応答解析モデルのダクト周辺拡大図を図 2-1 に示す。燃料移送系配管ダクトと原子炉建屋及び軽油タンク基礎との間には厚さ 5cm の耐震ジョイント及び緩衝材が、燃料移送系配管ダクトのブロック間には厚さ 2cm の耐震ジョイント及び緩衝材が配置されている。

解析モデルでは緩衝材の剛性に基づき、緩衝材を非線形ばね要素としてモデル化しており、接合部における構造物間の軸方向変位に応じ、圧縮力が伝達する設定とすることで、構造物に発生する応力状態を模擬している（本文「3.2.7 非線形ばねの設定」参照）。そのため、C-C断面の地震応答解析における燃料移送系配管ダクトの応答から損傷状態を確認し、接合部における健全性を評価する。

具体的には、燃料移送系配管ダクトの鉄筋コンクリート部材をモデル化した線形平面要素に生じるひずみが、コンクリートのピーク強度に対応する圧縮ひずみ及び鉄筋の降伏ひずみを下回ることを確認することで、構造物の健全性を確認する。

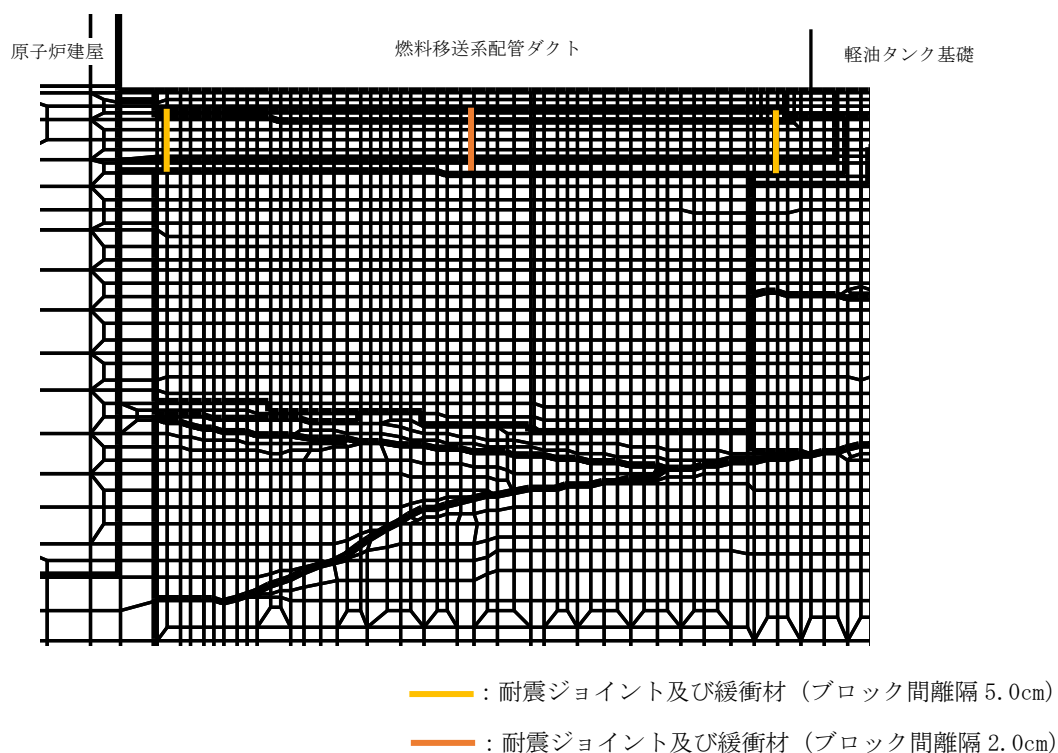


図 2-1 C-C断面の地震応答解析モデル 構造物周辺拡大図

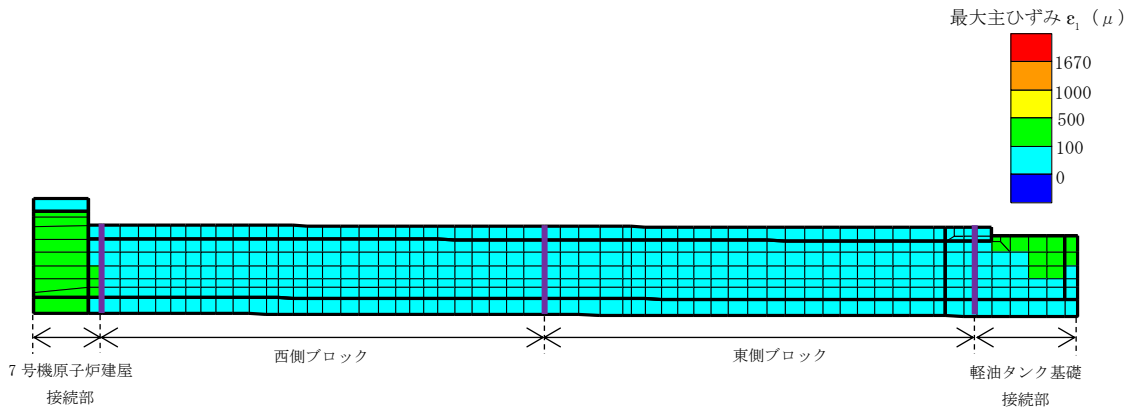
3. 検討結果

ダクトに作用する荷重が大きくなると想定される解析ケースとして、燃料移送系配管ダクトの加速度が最大となるケース（解析ケース③，地震動 Ss-1+-）における最大ひずみ分布図を図 3-1 に示す。燃料移送系配管ダクトに生じるひずみはコンクリートのピーク強度に対応する圧縮ひずみ（ 2000μ ）及び鉄筋の降伏ひずみ（ $1670\mu^*$ ）を下回ることを確認した。

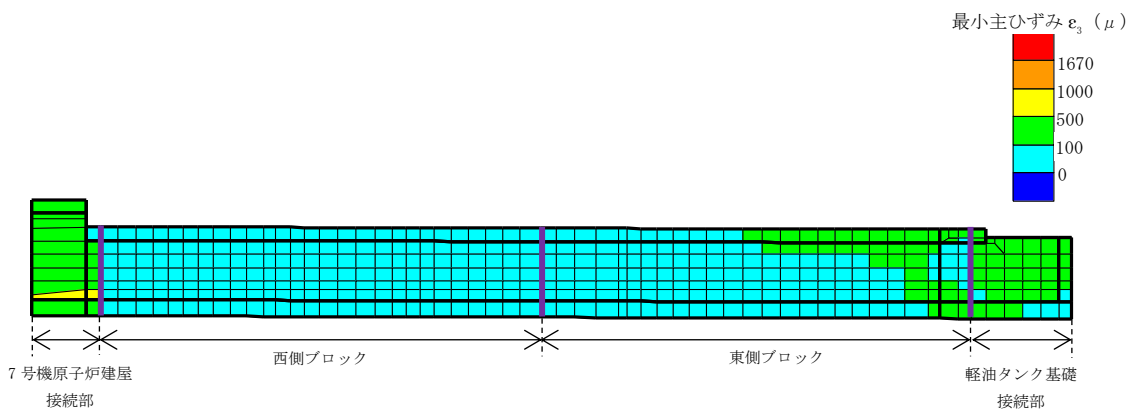
また、同様の確認を C-C 断面で地震応答解析を実施した全ケースに対して実施した結果、全ケースにおいて燃料移送系配管ダクトに生じるひずみはコンクリートのピーク強度に対応する圧縮ひずみ及び鉄筋の降伏ひずみを下回ることを確認した。

注記*：鉄筋降伏時のひずみ（図 3-1 にて ■ で表示）は以下のとおり算定される。

$$f_y/E_s = 345\text{N/mm}^2 \div (2.06 \times 10^5\text{N/mm}^2) = 1.675 \times 10^{-3} \approx 1670\mu$$



最大主ひずみ分布図



最小主ひずみ分布図

図 3-1 C-C 断面の最大ひずみ分布図
(解析ケース③，地震動 Ss-1+-)

4. まとめ

燃料移送系配管ダクトと、原子炉建屋及び軽油タンク基礎との接合部における荷重伝達及び応力状態を模擬できるC-C断面の地震応答解析について、燃料移送系配管ダクト接合部の健全性確認を実施した。C-C断面の鉄筋コンクリート部材の最大ひずみ分布図を確認した結果、解析を実施した全ケースでコンクリートのピーク強度に対応する圧縮ひずみ及び鉄筋の降伏ひずみを下回った。以上より、地震時の燃料移送系配管ダクトの接合部における健全性が確保されることを確認した。

(参考資料 5) 杭先端の極限支持力度の設定について

1. 概要

燃料移送系配管ダクトの杭先端の極限支持力度は、道路橋示方書（I 共通編・IV 下部構造編）・同解説（日本道路協会，平成 14 年 3 月）（以下「道路橋示方書」と言う。）の杭基礎（中掘り杭工法）に基づき設定している。

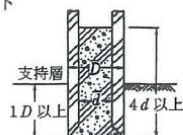
本項では，上記極限支持力度の設定の詳細について説明する。

2. 極限支持力度の設定

道路橋示方書には，中掘り杭工法による杭先端の極限支持力度の設定について表 2-1 の通り示されている。表 2-1 のうち，燃料移送系配管ダクトの先端処理方法は，「セメントミルク噴出攪拌方式」である。

また，表 2-2 に杭の支持層である西山層の標準貫入試験結果を示す。

表 2-1 中掘り杭工法による杭先端の極限支持力度

先端処理方法	杭先端の極限支持力度の算定法
最終打撃方式	打込み杭の算定法を適用する。
セメントミルク 噴出攪拌方式	極限支持力度 (kN/m ²) $q_d = \begin{cases} 150N (\leq 7,500) & \text{砂層} \\ 200N (\leq 10,000) & \text{砂れき層} \end{cases}$ ここに， N ：杭先端地盤の N 値
コンクリート 打設方式 	場所打ち杭の極限支持力度を適用する。

(道路橋示方書より引用)

表 2-2 西山層の標準貫入試験結果

地層	N 値
西山層	62

西山層に対しては砂れき層の極限支持力度を適用し， $q_d = 200N (\leq 10000)$ (kN/m²) より，杭先端の極限支持力度は， $q_d = 10000$ (kN/m²) となる。

3. 西山層の平板載荷試験

図 3-1 に 7 号機原子炉建屋直下の西山層に対する平板載荷試験結果を示す。最大荷重は $63 \text{ (kg/cm}^2\text{)} (=6.17 \times 10^3 \text{ (kN/m}^2\text{)})$ であり、道路橋示方書に基づき N 値から設定している極限支持力度を下回る。

ここで、基礎地盤の押し込みに対する支持性能照査の全解析ケースのうち、照査値が最大となる解析ケース（B-B断面、解析ケース①、地震動 S_s-1+- ）について、極限支持力度を平板載荷試験結果に基づき $6.17 \times 10^3 \text{ (kN/m}^2\text{)}$ として照査を行った結果を表 3-1 に示す。表 3-1 に示すとおり、平板載荷試験結果に基づき基礎地盤の押し込みに対する支持性能照査を行なった場合においても、十分な裕度があることを確認した。

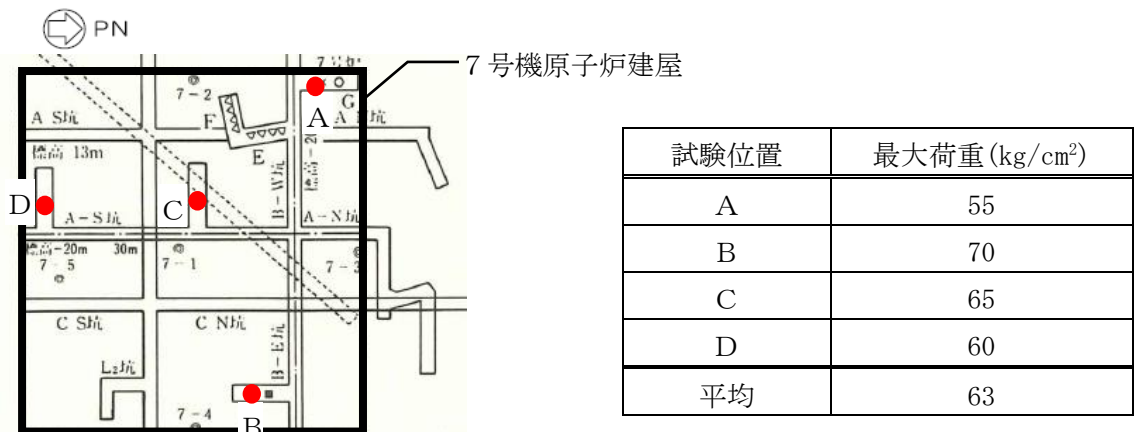


図 3-1 7 号機原子炉建屋直下の平板載荷試験結果

表 3-1 基礎地盤の押し込みに対する支持性能照査の比較

(B-B断面、解析ケース①、地震動 S_s-1+-)

	最大鉛直力 R_a (kN)	終局鉛直支持力* R_{ua} (kN)	照査値 R_a/R_{ua}
道路橋示方書に基づく 極限支持力度	847	8011	0.11
平板載荷試験結果に基づく 極限支持力度	847	6415	0.14

注記* : 終局鉛直支持力 $R_{ua} = \text{極限支持力 } R_u \div \text{安全率}$

4. まとめ

本項では、燃料移送系配管ダクトにおける杭先端の極限支持力度の設定方法の詳細を示した。「2. 極限支持力度の設定」に示したとおり、杭先端の極限支持力度は道路橋示方書に基づき、支持力算定式に西山層の標準貫入試験結果を適用して設定している。

「3. 西山層の平板載荷試験」では、西山層の平板載荷試験の結果と、その結果に基づき極限支持力度を設定した基礎地盤の押し込みに対する支持性能照査を行い、評価結果は十分な裕度があることを確認した。

(参考資料 6) 静的地震力に対する耐震評価

燃料移送系配管ダクトについては、既工認にて評価を実施している同系統の軽油タンク基礎と同様に、Cクラス施設に求められる静的地震力 ($kh=0.16$) を上回る、Asクラス用設計地震 (最大水平加速度 450cm/s^2) による地震力に対して、許容応力度法による耐震評価を実施していることから、今回工認では、静的地震力による評価は省略する。

(参考資料 7) 新設地盤改良体の物性値設定が構造物の耐震評価及び機器・配管系に対する応答加速度に与える影響確認

1. 概要

屋外重要土木構造物の周囲には、構造物の変形抑制対策として、地盤改良体を設置している。このうち 2018 年 12 月時点で施工中もしくは計画中の地盤改良体は「新設地盤改良体」と称し、その解析用物性値は設計値又は文献等に基づき設定している*。実施工における地盤改良体は設計値を上回るように施工されるため、ばらつきを考慮した解析ケースにおいても構造物評価の観点では地盤剛性を低く評価する方が地盤のせん断変形が生じやすいことから、設計値に基づき下限値相当の G_0 を設定している。

本項では、解析用物性値を設計値に基づき設定している新設地盤改良体について、現時点で得られている実施工の事後調査結果に基づく物性値設定が、構造物の耐震評価及び機器・配管系に対する応答加速度に与える影響を確認する。

注記* : KK7 補足-024-1「地盤の支持性能について」参照。

2. 影響確認の方針

既往解析ケース（以下「基本ケース」という。）における構造物の耐震評価結果と、新設地盤改良体の解析用物性値を実施工の事後調査結果に基づき設定した解析ケース（以下「追加ケース」という。）における構造物の耐震評価結果を比較し、構造物の耐震評価に与える影響を確認する。

また、追加ケースの加速度応答スペクトルについて、基本ケースの加速度応答スペクトル及び機器・配管系の設計用床応答曲線と比較し、機器・配管系に対する応答加速度に与える影響を確認する。

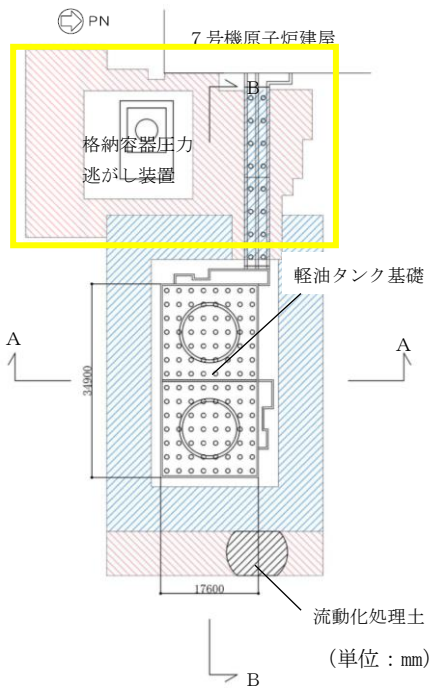
2.1 代表構造物の選定

屋外重要土木構造物のうち、機器・配管系を間接支持する機能が要求される構造物の地盤改良体配置図を図 2-1～図 2-5 に示す。各構造物に対し、新設地盤改良体の物性値設定が構造物の耐震評価及び機器・配管系に対する応答加速度に与える影響の大きさの観点から、構造物と新設地盤改良体の位置関係について表 2-1 のとおり整理した。

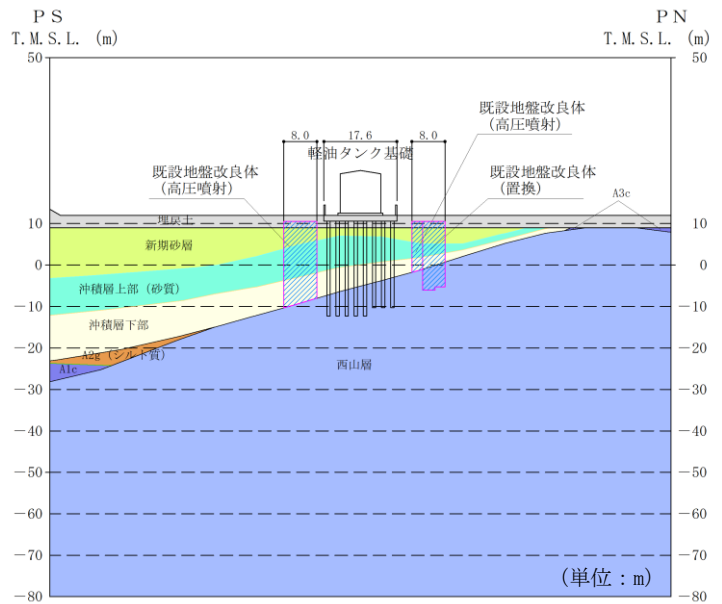
表 2-1 より、本検討は、解析断面中に新設地盤改良体の占める割合が大きく、かつ構造物近傍に新設地盤改良体が位置している燃料移送系配管ダクトを代表として実施する。

表 2-1 代表構造物の選定

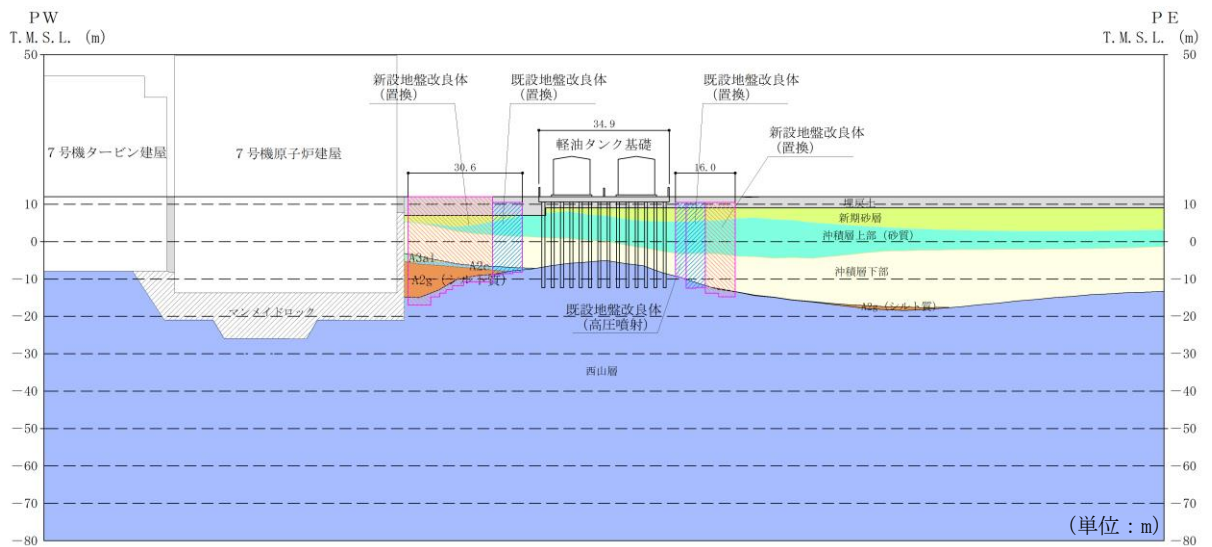
構造物名称	構造物と新設地盤改良体の位置関係	選定結果
軽油タンク基礎	解析断面中に地盤改良体が存在するが、構造物近傍に位置するのは既設地盤改良体のみである。	
燃料移送系配管ダクト	解析断面中に新設地盤改良体が占める割合が大きく、構造物近傍に新設地盤改良体が位置している。	○
常設代替交流電源装置基礎	解析断面中の一部に新設地盤改良体が存在するが、その地盤条件、施工方法及び設計強度が既設地盤改良体と同一であることから、既設地盤改良体の解析用物性値を用い、ばらつきを考慮している。また、大部分は既設地盤改良体である。	
軽油タンク基礎 (6号機設備)	<p>解析断面中の一部に新設地盤改良体が存在するが、大部分は既設地盤改良体である。</p> <p>基礎版直下に構造物と接する新設地盤改良体が存在するが、新設地盤改良体と西山層間の約 10m の深さには埋戻土Ⅱが分布している。A-A断面には構造物位置から西山層までの間に新設地盤改良体が存在するが、その平面的な設置範囲は基礎北東の一部の範囲のみである。</p> <p>また、既設地盤改良体が構造物を取り囲むように位置しているため、構造物の地震時の挙動は既設地盤改良体による影響が大きい。</p>	



(a) 平面図



(b) A-A断面図

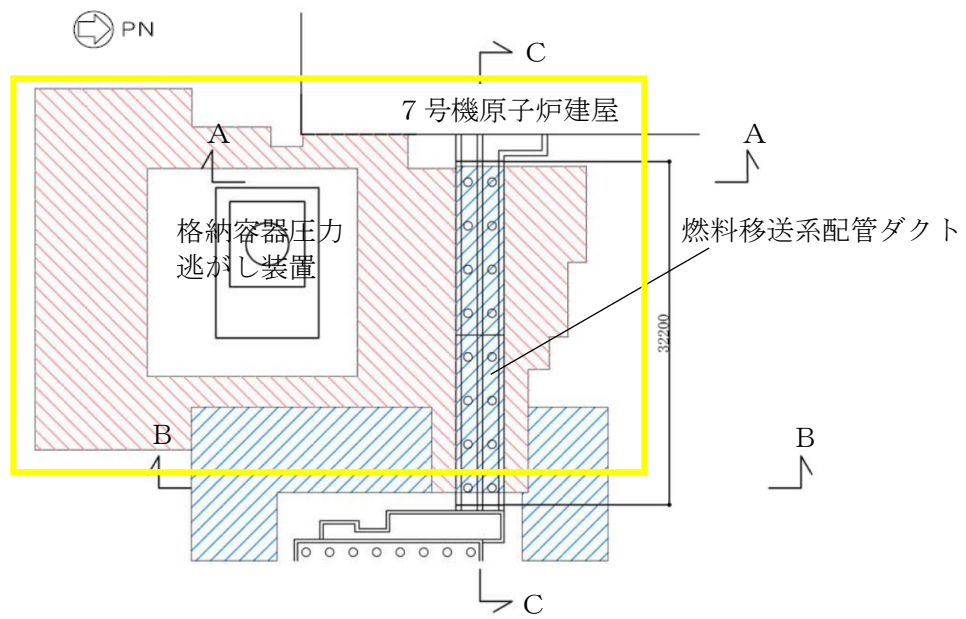


(c) B-B断面図

既設/新設	凡例	地盤改良工法
既設地盤改良体		置換 (CD掘削)
新設地盤改良体		置換 (CD掘削)

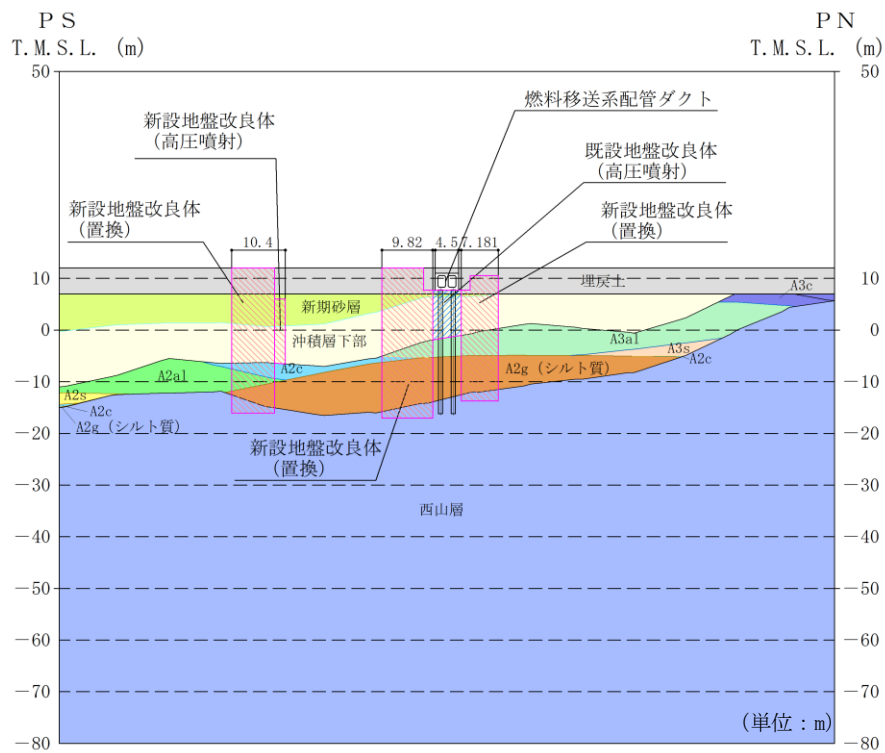
注：置換工法 (CD掘削) の施工範囲の内、上構造物及び埋設構造物がある箇所では、高圧噴射または置換 (開削) を適用

図 2-1 軽油タンク基礎の地盤改良体配置図



(単位：mm)

(a) 平面図

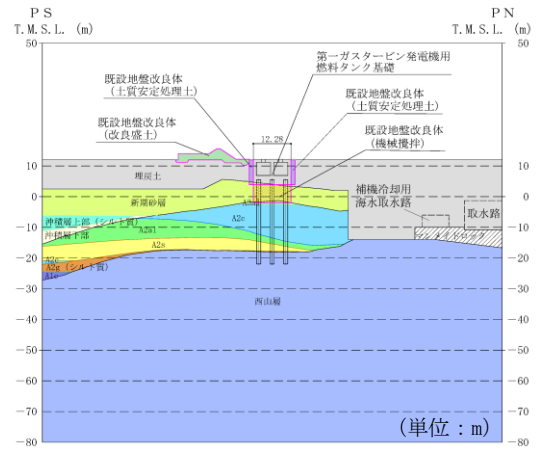
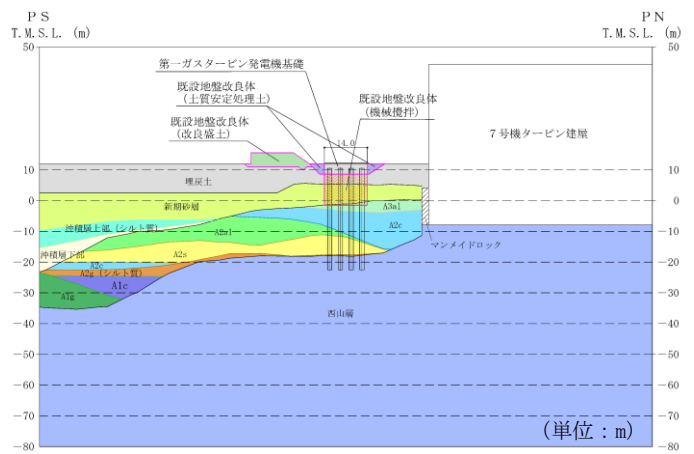
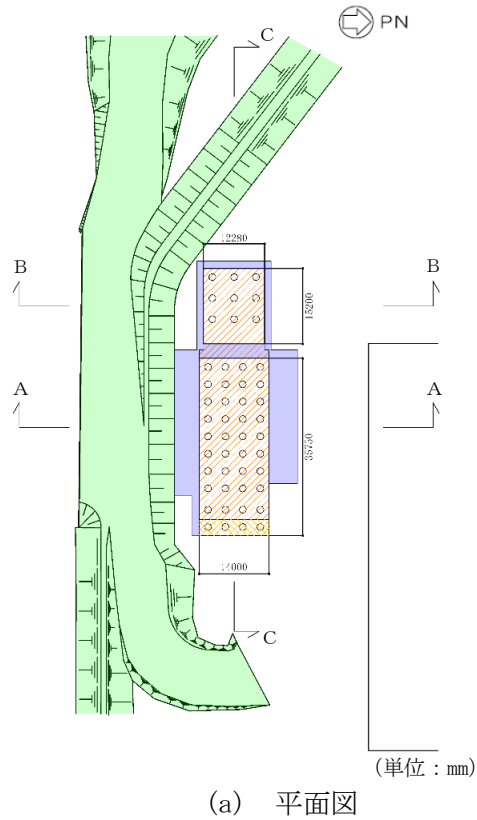


(b) A-A断面図

既設／新設	凡例	地盤改良工法
既設地盤改良体		置換 (CD掘削)
新設地盤改良体		置換 (CD掘削)

注：置換工法 (CD掘削) の施工範囲の内、地上構造物及び埋設構造物がある箇所では、高圧噴射または置換 (開削) を適用

図 2-2 燃料移送系配管ダクトの地盤改良体配置図



既設/新設	凡例	地盤改良工法
既設地盤改良体		機械攪拌
		土質安定処理土
		改良盛土
新設地盤改良体		機械攪拌

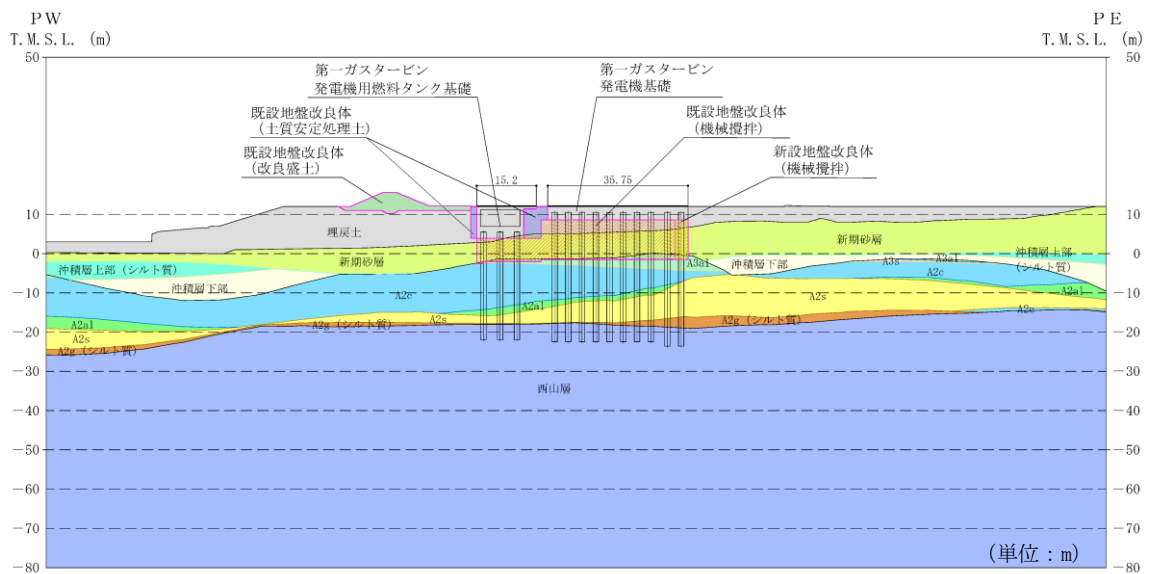
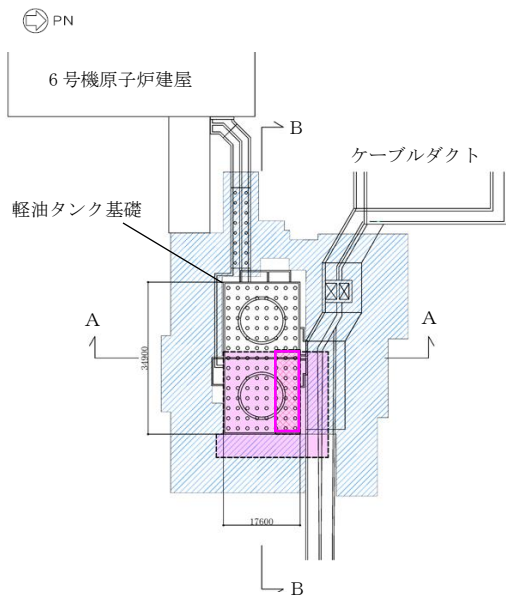
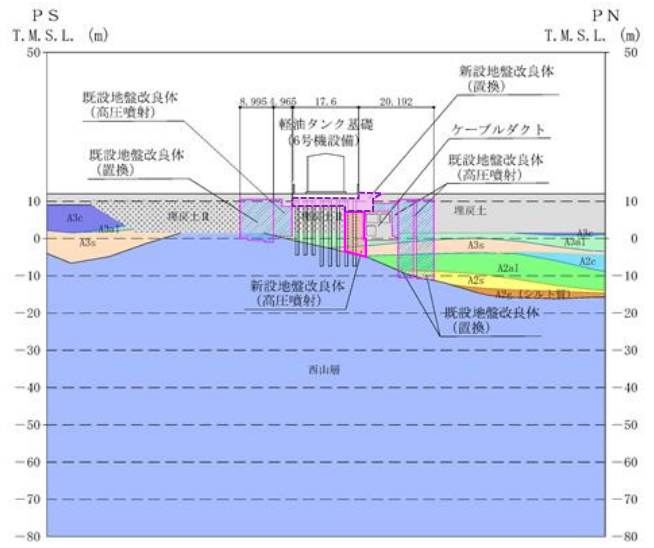


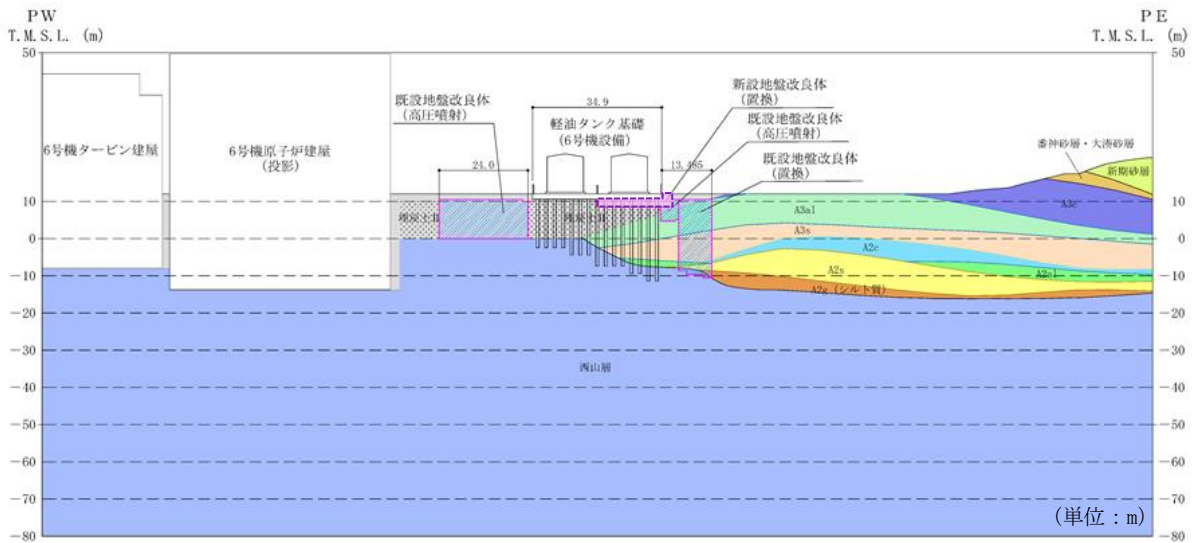
図 2-3 常設代替交流電源設備基礎の地盤改良体配置図



(a) 平面図 (単位：mm)



(b) A-A断面図 (単位：m)

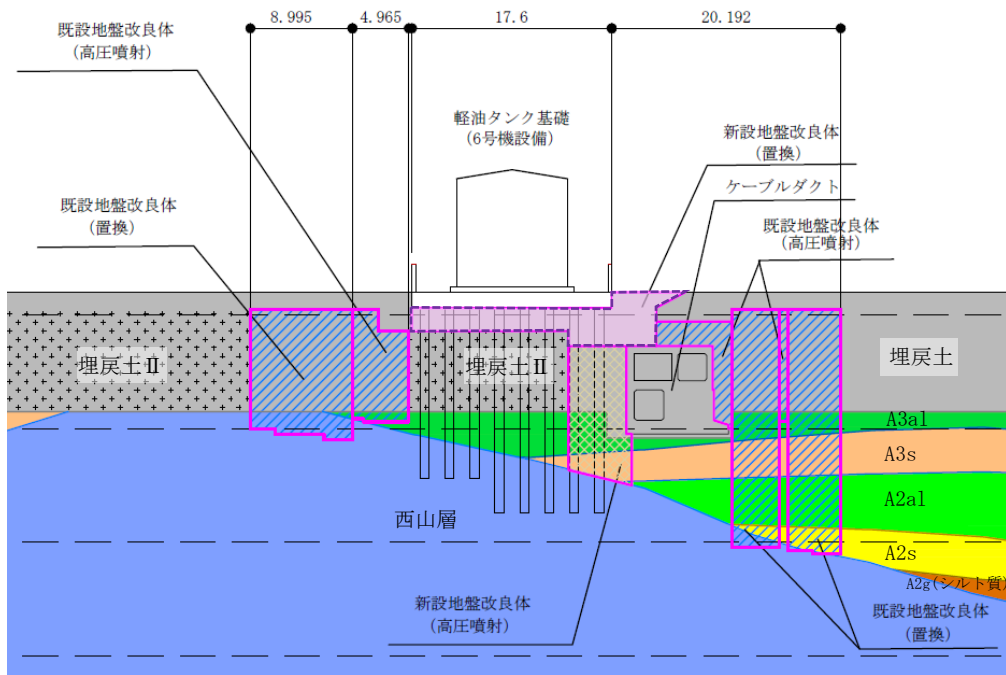


(c) B-B断面図

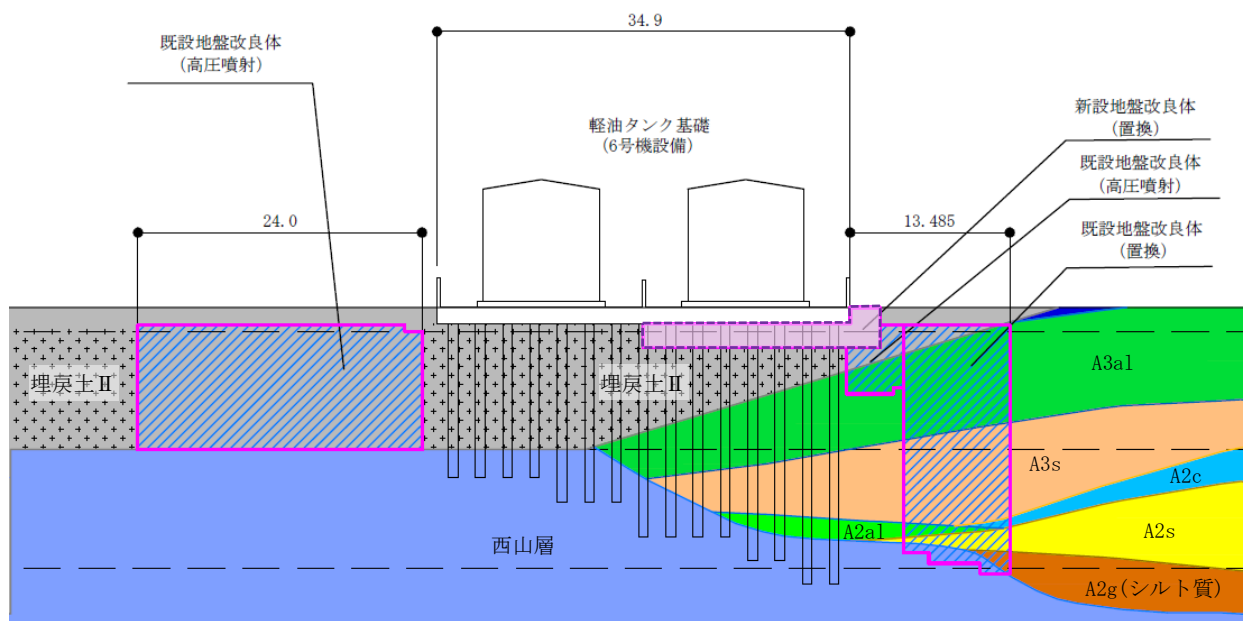
既設／新設	凡例	地盤改良工法
既設地盤改良体		置換 (CD掘削)
新設地盤改良体		置換 (開削)
		高圧噴射

注：置換工法 (CD掘削) の施工範囲の内、地上構造物及び埋設構造物がある箇所では、高圧噴射を適用

図 2-4 軽油タンク基礎 (6号機設備) の地盤改良体配置図



A-A断面 構造物拡大図



B-B断面 構造物拡大図

- : 新設地盤改良体 (置換) の範囲
- : 新設地盤改良体 (高圧噴射) の範囲

図 2-5 軽油タンク基礎 (6号機設備) の地盤改良体配置図 (構造物拡大図)

3. 検討条件

3.1 評価対象断面及び解析ケースの設定

評価対象断面は、燃料移送系配管ダクトの解析断面のうち、新設地盤改良体が占める割合が大きいA-A断面とする。A-A断面の断面図を図3-1に示す。

解析ケースは、構造物の耐震評価及び設計用床応答曲線作成に用いている解析ケースのうち、最も地盤剛性の高い設定である解析ケース⑤（地盤剛性+1 σ 、液状化パラメータを非適用）とする。また、検討に用いる地震動は、燃料移送系配管ダクトの耐震評価結果が最も厳しく、かつ応答加速度も大きい基準地震動Ss-1++、Ss-1-+、Ss-1+-及びSs-1--の4波とする。

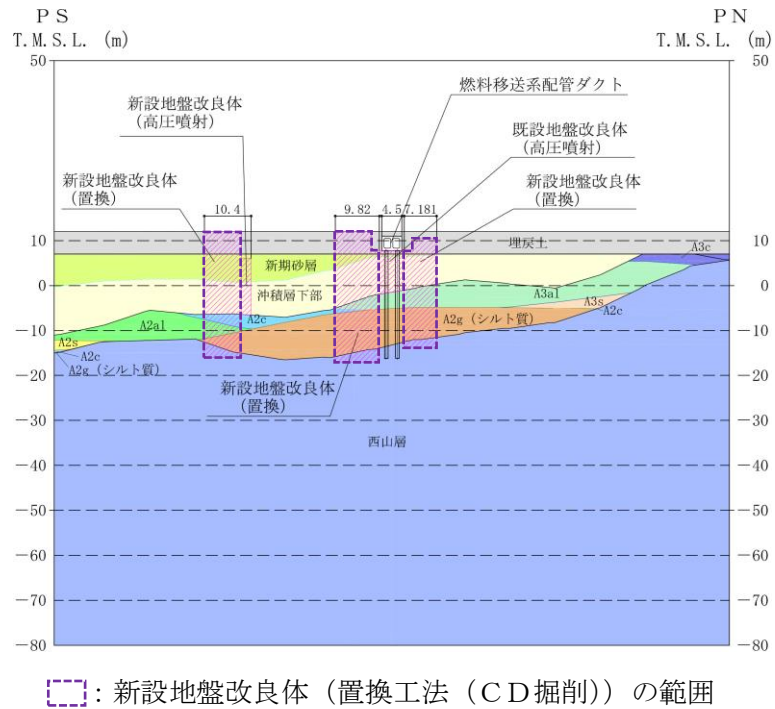


図3-1 評価対象断面図 (A-A断面)

3.2 解析用物性値の設定

燃料移送系配管ダクトの新設地盤改良体は、置換工法 (CD掘削) の施工済みの箇所に対し事後調査を実施しており、当調査結果を用いて追加ケースの解析用物性値を設定する。表3-1に効果確認試験から得られたS波速度及び一軸圧縮強度の実測値について、設計値との比較を示す。

追加ケースの解析用物性値は、事後調査結果の平均値から、KK7 補足-024-1「地盤の支持性能について」の既設地盤改良体の解析用物性値の設定方法に基づき、表3-2に示すとおり設定する。

表 3-1 設計値と実測値の比較

試験項目	単位	設計値	実測値*			
			平均値	最大値	最小値	標準偏差
S 波速度	m/s	840	1643	1873	1508	83
一軸圧縮強度	kN/m ²	8000	12750	15664	9729	1959

注記* : S 波速度の試料数は 22, 一軸圧縮強度の試料数は 18 である。

表 3-2 解析用物性値の設定「新設地盤改良体（置換工法（CD掘削）」

パラメータ		基本ケース		追加ケース	
		設定根拠	物性値	設定根拠	物性値
物理特性	密度 ρ (g/cm ³)	既設地盤改良体の物理試験	1.85	物理試験	1.98
	間隙率 n	既設地盤改良体の物理試験	0.48	既設地盤改良体の物理試験	0.48
変形特性	動せん断弾性係数 G_{ms} (kN/m ²)	設計 S 波速度, 密度に基づき設定	1.31×10^6	PS 検層による S 波速度, 密度に基づき設定	5.34×10^6
	基準平均有効拘束圧 σ_{ms}' (kN/m ²)	慣用値* ¹	98.0	慣用値* ¹	98.0
	ポアソン比 ν	慣用値* ¹	0.33	慣用値* ¹	0.33
	減衰定数の上限値 h_{max}	文献に基づき設定* ²	0.050	動的変形特性に基づき設定	0.030
強度特性	粘着力 c (kN/m ²)	設計一軸圧縮強度 q_{ud} と粘着力 c との関係に基づき設定	4000.0	一軸圧縮強度 q_u と粘着力 c との関係に基づき設定	6375.0

注記*1: 液状化による構造物被害予測プログラム FLIP において必要な各種パラメータの簡易設定方法 (港湾技研資料 No. 869) (運輸省港湾技術研究所, 平成 9 年 6 月)

*2: 第 2 版 流動化処理土利用技術マニュアル (平成 19 年, 独立行政法人 土木研究所 編)

4. 検討結果

4.1 曲げ照査値の比較

A-A断面，解析ケース⑤，基準地震動 Ss-1++による鉄筋コンクリート部材の曲げ軸力照査結果の比較を表 4-1 に，鋼管杭の曲げ軸力照査結果の比較を表 4-2 に示す。

表 4-1 鉄筋コンクリート部材の曲げ軸力照査結果の比較

検討ケース	照査用層間変形角* R_d	限界層間変形角 R_u	照査値 R_d/R_u
基本ケース	2.20×10^{-4}	1.0×10^{-2}	0.03
追加ケース	2.16×10^{-4}	1.0×10^{-2}	0.03

注記* : 照査用層間変形角 R_d = 最大層間変形角 R × 構造解析係数 γ_a

表 4-2 鋼管杭の曲げ軸力照査結果の比較

検討ケース	照査用曲率* ϕ_d	終局曲率 ϕ_u	照査値 ϕ_d/ϕ_u
基本ケース	7.10×10^{-4}	1.30×10^{-2}	0.06
追加ケース	4.69×10^{-4}	1.43×10^{-2}	0.04

注記* : 照査用曲率 ϕ_d = 発生曲率 × 構造解析係数 γ_a

4.2 せん断力照査値の比較

A-A断面，解析ケース⑤，基準地震動Ss-1++による鉄筋コンクリート部材のせん断力照査結果の比較を表4-3～表4-6に，鋼管杭のせん断力照査結果の比較を表4-7に示す。

表4-3 頂版のせん断力照査結果の比較

検討ケース	照査用せん断力* V_d (kN)	せん断耐力 $V_{y d}$ (kN)	照査値 $V_d / V_{y d}$
基本ケース	99	548	0.19
追加ケース	98	547	0.18

注記* : 照査用せん断力 V_d =発生せん断力×構造解析係数 γ_a

表4-4 側壁のせん断力照査結果の比較

検討ケース	照査用せん断力* V_d (kN)	せん断耐力 $V_{y d}$ (kN)	照査値 $V_d / V_{y d}$
基本ケース	115	580	0.20
追加ケース	109	573	0.20

注記* : 照査用せん断力 V_d =発生せん断力×構造解析係数 γ_a

表4-5 隔壁のせん断力照査結果の比較

検討ケース	照査用せん断力* V_d (kN)	せん断耐力 $V_{y d}$ (kN)	照査値 $V_d / V_{y d}$
基本ケース	119	393	0.31
追加ケース	118	392	0.31

注記* : 照査用せん断力 V_d =発生せん断力×構造解析係数 γ_a

表4-6 底版のせん断力照査結果の比較

検討ケース	照査用せん断力* V_d (kN)	せん断耐力 $V_{y d}$ (kN)	照査値 $V_d / V_{y d}$
基本ケース	168	513	0.33
追加ケース	146	421	0.35

注記* : 照査用せん断力 V_d =発生せん断力×構造解析係数 γ_a

表4-7 鋼管杭のせん断力照査結果の比較

検討ケース	照査用せん断力* Q_d (kN)	終局せん断強度 Q_u (kN)	照査値 Q_d / Q_u
基本ケース	436	1677	0.26
追加ケース	260	1677	0.16

注記* : 照査用せん断力 Q_d =発生せん断力×構造解析係数 γ_a

4.3 加速度応答スペクトルの比較

基本ケースと追加ケースの加速度応答スペクトル及び燃料移送系配管ダクトの設計用床応答曲線Ⅱの比較を図 4-1 に示す。なお、燃料移送系配管ダクトに間接支持される設備は全て設計用床応答曲線Ⅱを用いて耐震評価を実施している。

基本ケースと追加ケースの加速度応答スペクトルは、基準地震動 S_s-1++ , S_s-1-+ , S_s-1+- , S_s-1-- の 4 波の各解析において、図 4-2 に示す 6 節点の各加速度応答スペクトル (減衰定数 2%) を包絡したものである。また、図中に基本ケースの全ての基準地震動 S_s の加速度応答スペクトル (上記 6 節点包絡) を参考として示す。基本ケースと追加ケースの加速度応答スペクトルを比較した結果、水平方向については基本ケースと追加ケースで概ね一致していることを確認した。鉛直方向については、短周期側で追加ケースが基本ケースを下回る傾向があることを確認した。

また、追加ケースの加速度応答スペクトルと設計用床応答曲線Ⅱを比較すると、全周期帯で追加ケースの加速度応答スペクトルが設計用床応答曲線Ⅱを下回っており、燃料移送系配管ダクトが間接支持する設備の耐震評価に影響がないことを確認した。

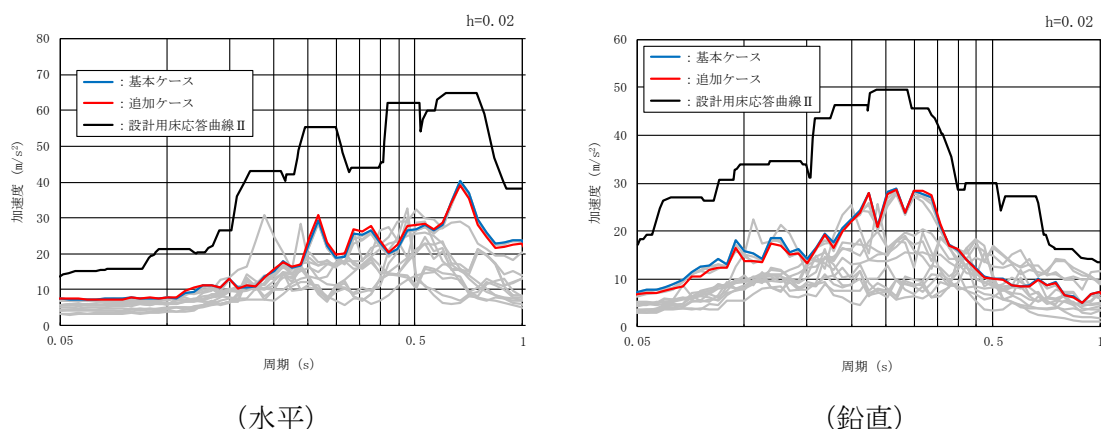


図 4-1 加速度応答スペクトルと設計用床応答曲線Ⅱの比較

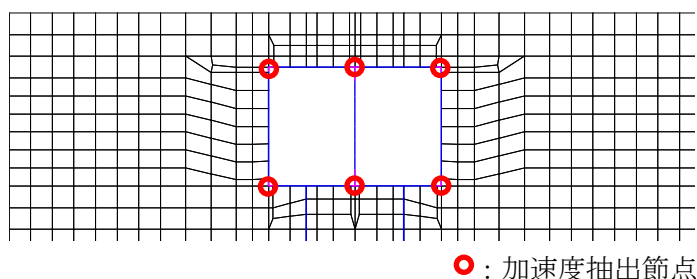


図 4-2 加速度抽出節点

5. まとめ

本項では、新設地盤改良体の解析用物性値を事後調査結果に基づき設定し、構造物の耐震評価、及び機器・配管系に対する応答加速度に与える影響を確認した。

構造物の耐震評価の観点では、基本ケースと追加ケースの耐震評価結果を比較した結果、追加ケースでは地盤改良体の強度が増したことから構造物の変形抑制効果が高まり、照査値が小さくなる傾向にあることを確認した。鉄筋コンクリート部材の底版については照査値が大きくなる結果となったが、基本ケースとの差は 0.02 であり、許容限界に対し十分余裕があることを確認した。

機器・配管系に対する応答加速度の観点では、基本ケースと追加ケースの加速度応答スペクトルを比較した結果、水平方向については基本ケースと追加ケースで概ね一致していることを確認した。鉛直方向については、短周期側で追加ケースが基本ケースを下回る傾向があることを確認した。さらに、追加ケースの加速度応答スペクトルと燃料移送系配管ダクトの設計用床応答曲線Ⅱを比較した結果、全周期帯で追加ケースの加速度応答スペクトルが設計用床応答曲線Ⅱを下回っていることから、燃料移送系配管ダクトが間接支持する設備の耐震評価に影響がないことを確認した。

なお、追加ケースの解析用物性値は、現時点で得られている事後調査結果の平均値から設定している。表 3-1 に示すとおり、事後調査結果は設計値に対し S 波速度で約 2 倍、一軸圧縮強度で約 1.6 倍に増大しているが、耐震評価については照査値が小さくなる傾向にあり、加速度応答スペクトルについては基本ケースと追加ケースの加速度応答スペクトルが同等であり、設計用床応答曲線Ⅱに対しても十分余裕があることから、これらのパラメータにばらつきを見込んだとしても、構造物及び機器・配管系の耐震安全性に影響を与える変動はないと判断した。

資料 4 常設代替交流電源設備基礎の耐震安全性評価

目 次

1. 評価方法	1
2. 評価条件	1
2.1 構造概要	1
2.2 評価対象断面の方向	8
2.3 評価対象断面の選定	8
2.4 使用材料及び材料定数	9
2.5 地盤, マンメイドロック及び地盤改良体の物性値	9
2.6 評価構造物諸元	13
2.7 地下水位	14
2.8 耐震評価フロー	15
2.9 適用規格	17
3. 地震応答解析	19
3.1 地震応答解析手法	19
3.2 地震応答解析モデルの設定	20
3.2.1 解析モデル領域	20
3.2.2 境界条件	25
3.2.3 解析奥行幅	30
3.2.4 構造物のモデル化	31
3.2.5 隣接構造物のモデル化	32
3.2.6 地盤及びマンメイドロックのモデル化	32
3.2.7 地盤改良体のモデル化	32
3.2.8 ジョイント要素の設定	33
3.2.9 杭-地盤相互作用ばねの設定	36
3.2.10 杭先端ばねの設定	39
3.2.11 材料特性の設定	41
3.3 減衰定数	43
3.4 荷重の組合せ	43
3.4.1 機器・配管荷重	44
3.4.2 外水圧	47
3.4.3 雪荷重	47
3.5 地震応答解析の解析ケース	48
3.5.1 耐震評価における解析ケース	48
3.5.2 機器・配管系に対する応答加速度及び応答変位抽出のための解析ケース	51
4. 鉄筋コンクリート部材の解析	52
4.1 解析手法	52

4.2	解析モデルの設定	53
4.2.1	鉄筋コンクリート部材のモデル化	53
4.2.2	材料の非線形特性	62
4.2.3	杭頭ばね要素の設定	66
4.3	照査時刻の選定	68
4.3.1	第一ガスタービン発電機基礎	68
4.3.2	第一ガスタービン発電機用燃料タンク基礎	68
4.4	入力荷重	69
4.4.1	機器・配管の慣性力	71
4.4.2	躯体の慣性力	74
4.4.3	積雪の慣性力	77
4.4.4	土圧及び水圧	80
5.	評価内容	82
5.1	入力地震動の設定	82
5.2	許容限界の設定	109
5.2.1	曲げ軸力に対する許容限界	109
5.2.2	せん断力に対する許容限界	111
5.2.3	壁部材の面内せん断に対する許容限界	117
5.2.4	基礎地盤の支持性能に対する許容限界	118
6.	評価結果	122
6.1	地震応答解析結果	122
6.1.1	解析ケースと照査値	123
6.1.2	ひずみ分布図（鉄筋コンクリート部材の曲げ軸力照査）	139
6.1.3	断面力分布（鉄筋コンクリート部材のせん断力照査）	142
6.1.4	妻壁の面内せん断力及び層間変位	147
6.1.5	曲率分布（鋼管杭の曲げ軸力照査）	152
6.1.6	せん断力分布（鋼管杭のせん断力照査）	156
6.1.7	最大せん断ひずみ分布	160
6.1.8	過剰間隙水圧比分布	172
6.2	鉄筋コンクリート部材の耐震評価	184
6.2.1	鉄筋コンクリート部材の曲げ軸力に対する評価結果	184
6.2.2	鉄筋コンクリート部材のせん断力に対する評価結果	190
6.2.3	壁部材の面内せん断に対する評価結果	196
6.3	鋼管杭の耐震評価	198
6.3.1	鋼管杭の曲げ軸力に対する評価結果	198
6.3.2	鋼管杭のせん断力に対する評価結果	202

6.4 基礎地盤の支持性能に対する支持力評価.....	206
6.4.1 基礎地盤の押込みに対する支持性能評価.....	206
6.4.2 基礎地盤の引抜きに対する支持性能評価.....	210
7. まとめ	214

参考資料

(参考資料 1) 杭頭部の評価	参考 1-1
(参考資料 2) 機器荷重の載荷方法の違いによる影響検討	参考 2-1
(参考資料 3) 3次元構造解析における照査時刻の選定について	参考 3-1

1. 評価方法

常設代替交流電源設備基礎は、重大事故等対処施設である第一ガスタービン発電機を間接支持する機能を求められる第一ガスタービン発電機基礎と、同じく重大事故等対処施設である第一ガスタービン発電機用燃料タンクを間接支持する機能を求められる第一ガスタービン発電機用燃料タンク基礎で構成される土木構造物である。常設代替交流電源設備基礎について基準地震動 S_s による耐震評価として、構造部材の曲げ、せん断評価及び地盤の支持性能評価を実施する。

常設代替交流電源設備基礎の地震応答解析においては、地震時の地盤の有効応力の変化に応じた影響を考慮できる有効応力解析を実施する。有効応力解析に用いる液状化強度特性は、代表性及び網羅性を踏まえた上で、保守性を考慮して設定する。

屋外重要土木構造物及び機器・配管系への応答加速度に対する保守的な配慮として、地盤の非液状化の影響を考慮した解析ケースを設定する。

常設代替交流電源設備基礎の構造部材のうち、鉄筋コンクリート部材の健全性評価については、水平 2 方向及び鉛直方向の荷重に対する評価を行い、部材に生じる圧縮縁コンクリートひずみ、せん断力及び壁部材の面内せん断ひずみが要求性能に応じた許容限界以下であることを確認する。

鋼管杭の健全性評価については、部材に生じる曲率及びせん断力が要求性能に応じた許容限界以下であることを確認する。

基礎地盤の支持性能評価については、杭頭に生じる鉛直力が極限支持力及び極限引抜き力に基づく許容限界以下であることを確認する。

2. 評価条件

2.1 構造概要

常設代替交流電源設備基礎の位置図を図 2-1 に、平面図を図 2-2 に、断面図を図 2-3、図 2-4 及び図 2-5 に、配筋図を図 2-6 に示す。

常設代替交流電源設備基礎のうち、第一ガスタービン発電機基礎は、幅約 36m（東西方向）×約 14m（南北方向）、高さ約 3.6m の地中構造物であり、鉄筋コンクリート造の基礎版が等間隔に配置した杭を介して西山層に支持される。

第一ガスタービン発電機用燃料タンク基礎は、幅約 15m（東西方向）×約 12m（南北方向）、高さ約 8.3m の地中構造物であり、鉄筋コンクリート造のピットが等間隔に配置した杭を介して西山層に支持される。

常設代替交流電源設備基礎直下には、地盤改良を実施している。

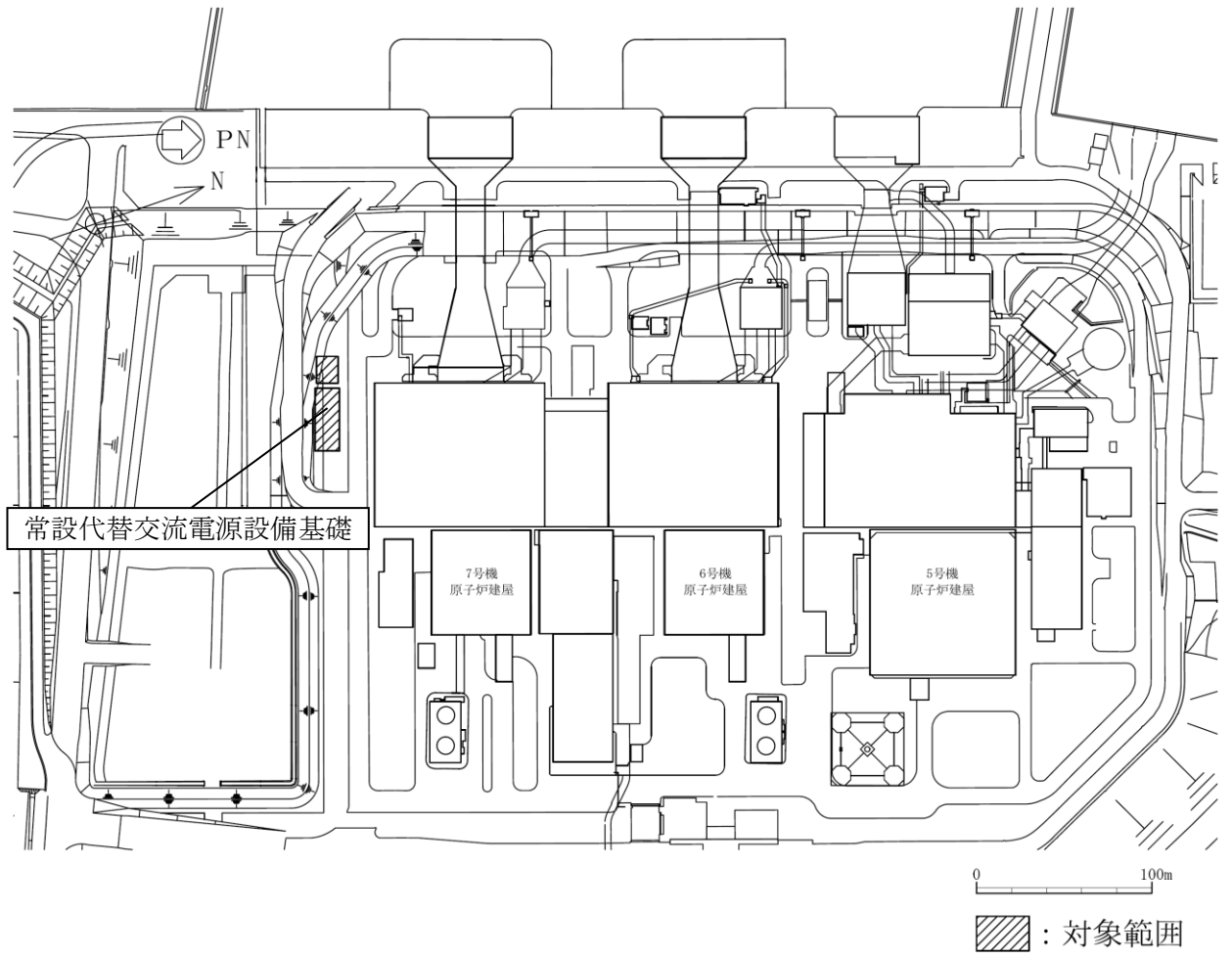
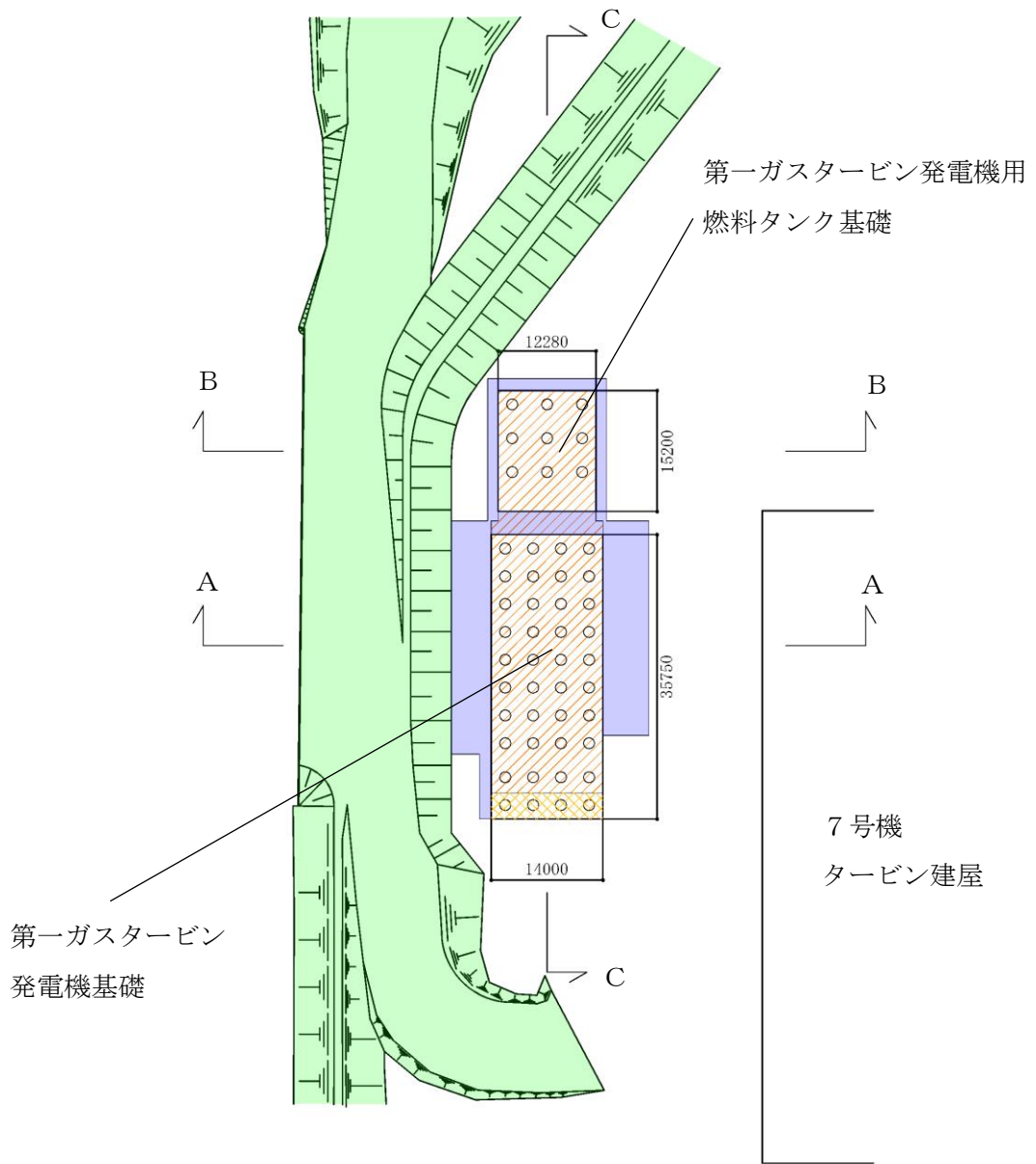


図 2-1 常設代替交流電源設備基礎の位置図



(単位：mm)

既設/新設	凡例	地盤改良工法
既設地盤改良体		機械攪拌
		土質安定処理土
新設地盤改良体		改良盛土
		機械攪拌

図 2-2 常設代替交流電源設備基礎の平面図

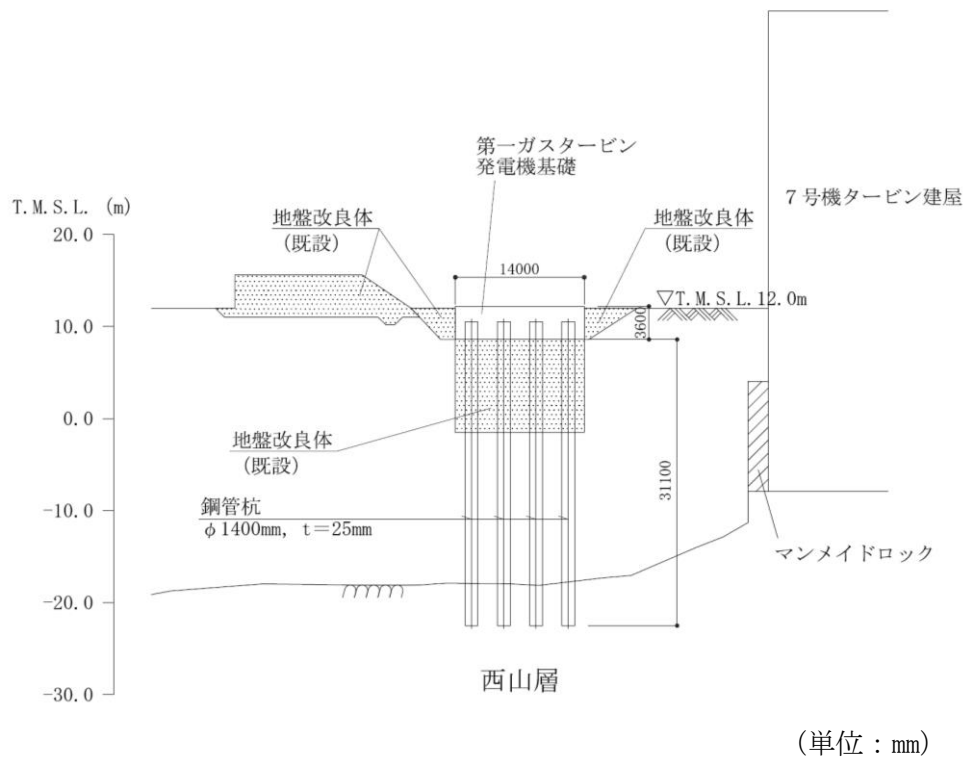


図 2-3 常設代替交流電源設備基礎断面図 (A-A断面)

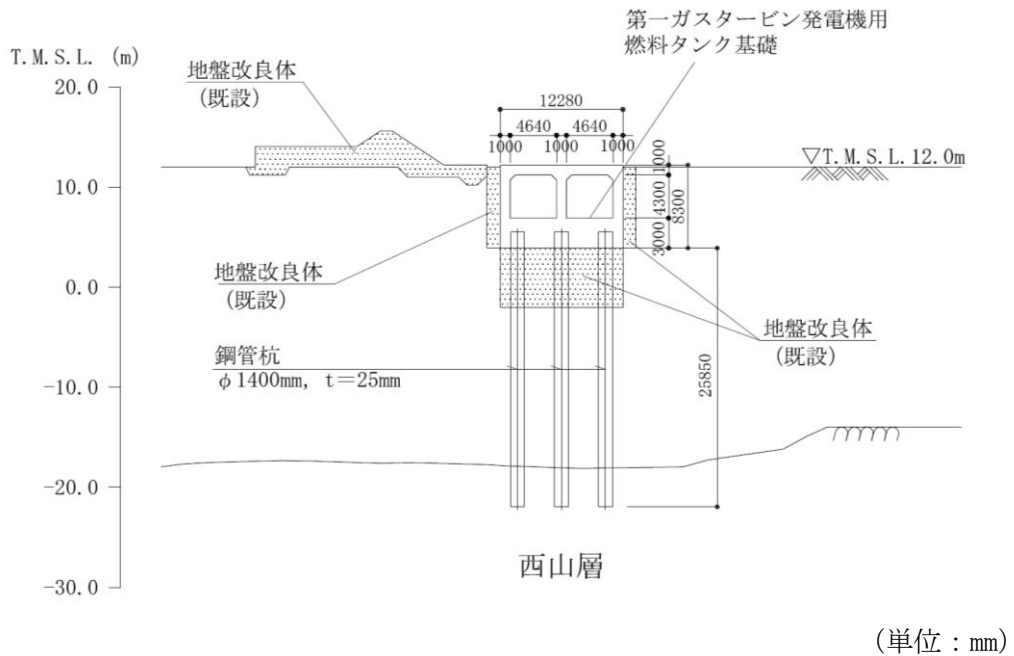


図 2-4 常設代替交流電源設備基礎断面図 (B-B断面)

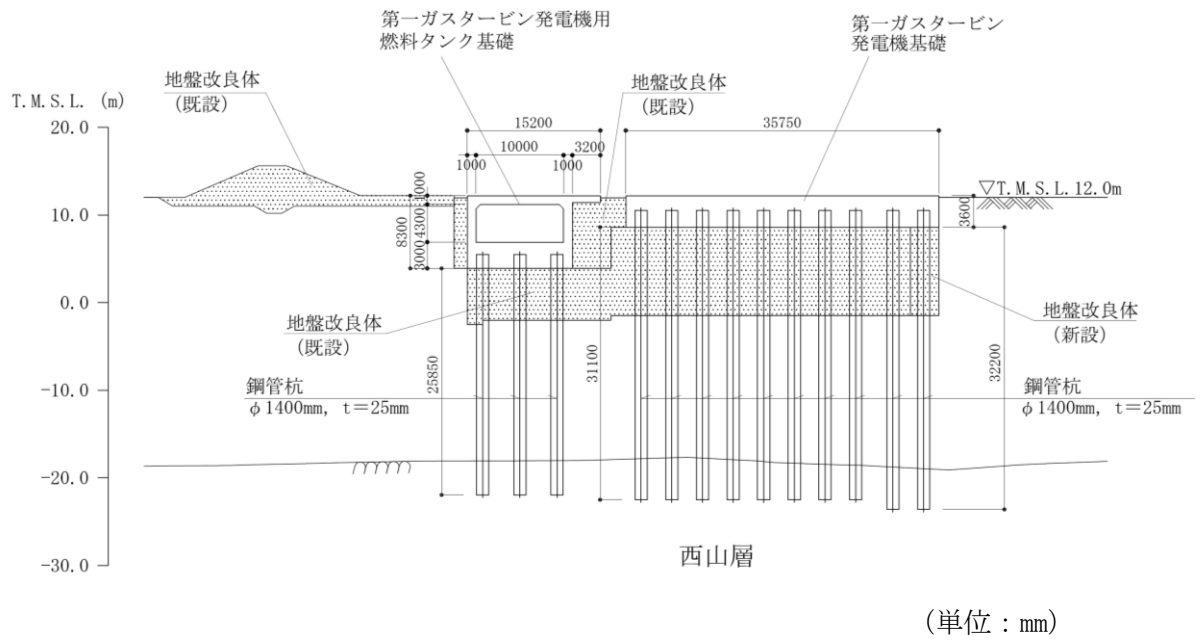
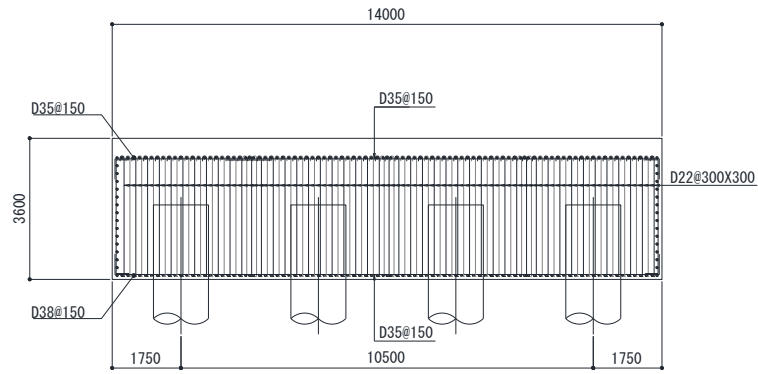
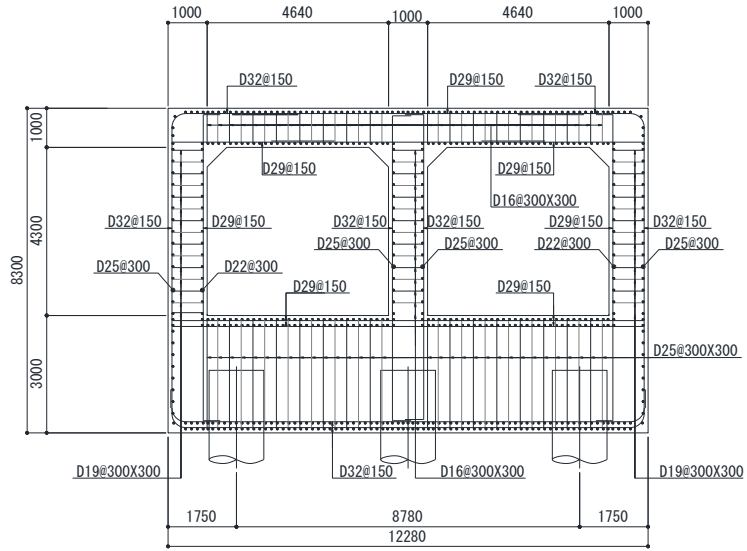


図 2-5 常設代替交流電源設備基礎断面図 (C-C 断面)



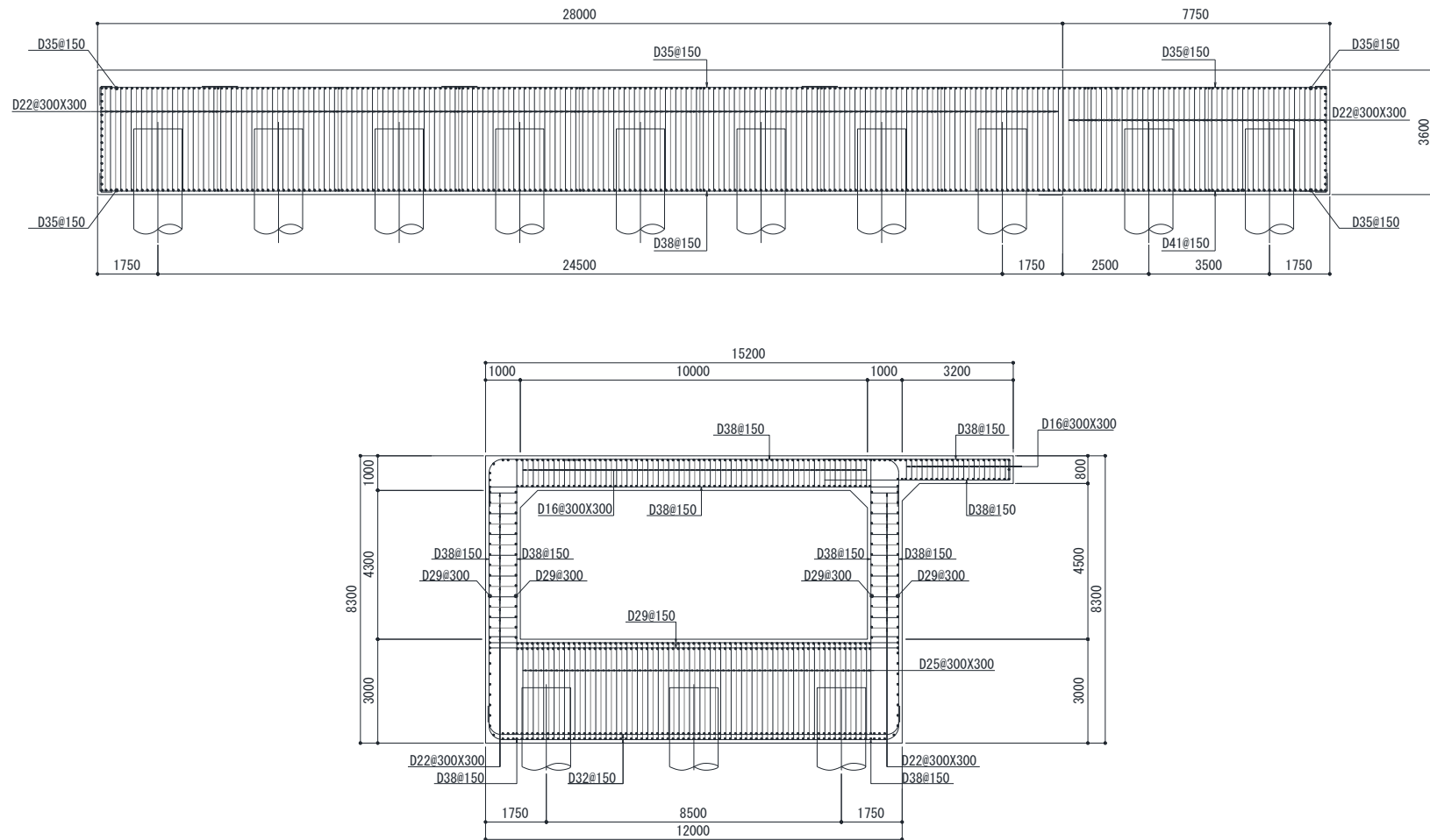
(単位：mm)

図 2-6 (1) 常設代替交流電源設備基礎の概略配筋図 (A-A 断面)



(単位：mm)

図 2-6 (2) 常設代替交流電源設備基礎の概略配筋図 (B-B 断面)



(単位：mm)

図 2-6 (3) 常設代替交流電源設備基礎の概略配筋図 (C-C 断面)

2.2 評価対象断面の方向

常設代替交流電源設備基礎は「2.1 構造概要」で示したとおり、鉄筋コンクリート造の基礎版及びピットを等間隔に配置した杭で支持する比較的単純な構造物である。また、構造物直下には地盤改良を実施しており、周辺の地盤が構造物に与える影響はどの断面も大きな差はないと考えられることから、常設代替交流電源設備基礎の耐震評価では南北方向及び東西方向を評価対象断面とする。

2.3 評価対象断面の選定

評価対象断面は、KK7 補足-027-1「資料1 屋外重要土木構造物の耐震安全性評価について」の「4.7 常設代替交流電源設備基礎の断面選定の考え方」で記載したとおり、南北方向については第一ガスタービン発電機基礎の中心を通るA-A断面及び第一ガスタービン発電機用燃料タンク基礎の中心を通るB-B断面、東西方向については第一ガスタービン発電機基礎及び第一ガスタービン発電機用燃料タンク基礎の中心を通るC-C断面を対象として耐震評価を実施する。

2.4 使用材料及び材料定数

耐震評価に用いる材料定数は、建設時の設計値に基づき設定する。構造物の使用材料を表 2-1 に、材料物性値を表 2-2 に示す。

表 2-1 構造物の使用材料

諸元	
コンクリート	設計基準強度 30 N/mm ²
鉄筋	SD345 SD490
鋼管杭	SKK490

表 2-2 構造物の材料物性値

材料	単位体積重量 (kN/m ³)	ヤング係数 (N/mm ²)	ポアソン比
鉄筋コンクリート	24*	2.80×10 ⁴ *	0.2*
鋼管杭	77*	2.00×10 ⁵ *	0.3*

注記* : 設計値に基づく

2.5 地盤、マンメイドロック及び地盤改良体の物性値

地盤、マンメイドロックの物性値は、V-2-1-3「地盤の支持性能に係る基本方針」にて設定している物性値を用いる。地盤改良体の物性値は、V-2-1-3「地盤の支持性能に係る基本方針」にて設定している物性値に基づき、地盤改良体の配置を考慮した物性値を設定する。地盤の物性値を表 2-3～表 2-5 に、マンメイドロックの物性値を表 2-6 に、地盤改良体の配置を考慮した物性値を表 2-7 に示す。

なお、常設代替交流電源設備基礎周辺に位置する新設地盤改良体(機械攪拌)については、近傍に既設地盤改良体(機械攪拌)があり、その地盤条件・施工方法・設計強度が同一のものであることから、既設地盤改良体(機械攪拌)の解析用物性値を設定する。

表 2-3 地盤の解析用物性値一覧（液状化検討対象層）

物性値		地質区分		埋戻土	新期砂層・沖積層		古安田層		
					新期砂層	沖積層下部	A2s 層	A1g 層	
		物理特性	密度 ρ (g/cm ³)				1.94 (1.79)*	2.05 (2.00)*	2.02
	間隙率 n			0.45	0.44	0.42	0.45	0.45	
変形特性	動せん断弾性係数 G_{ms} (kN/m ²)			1.04×10^5	1.26×10^5	1.92×10^5	2.14×10^5	2.14×10^5	
	基準平均有効拘束圧 σ_{ms}' (kN/m ²)			98.0	98.0	150.0	200.0	200.0	
	ポアソン比 ν			0.33 (0.42)*	0.33 (0.44)*	0.33	0.33	0.33	
	減衰定数の上限値 h_{max}			0.225	0.234	0.211	0.157	0.157	
強度特性	粘着力 c' (kN/m ²)			0.0 (9.6)*	0.0 (94.4)*	0.0	0.0	0.0	
	内部摩擦角 ϕ' (°)			35.9 (34.8)*	34.6 (27.6)*	35.6	36.6	36.6	
液状化特性	変相角 ϕ_p (°)			32.0	31.0	32.0	32.0	32.0	
	液状化パラメータ	S_l			0.005	0.005	0.005	0.005	0.005
		w_l			5.50	7.90	8.00	25.00	25.00
		p_l			0.50	0.50	0.50	0.50	0.50
		p_2			1.00	0.70	0.65	0.80	0.80
		c_l			1.69	2.13	2.00	8.75	8.75

注記* : 括弧内の数字は、地下水位以浅の数値を表す。

表 2-4 地盤の解析用物性値一覧（非液状化層）

物性値		地質区分		古安田層					
		新期砂層・沖積層	沖積層上部 (シルト質)	A3a1 層	A2c 層	A2a1 層	A2g 層 (シルト質)	A1c 層	
物理特性	密度 ρ (g/cm ³)			1.66	1.81	1.80	1.88	1.80	1.80
	間隙率 n			0.61	0.52	0.52	0.48	0.52	0.52
変形特性	動せん断弾性係数 G_{ms} (kN/m ²)			5.50×10^4	9.57×10^4	1.39×10^5	1.61×10^5	1.39×10^5	1.39×10^5
	基準平均有効拘束圧 σ_{ms}' (kN/m ²)			170.0	94.0	140.0	170.0	140.0	140.0
	ポアソン比 ν			0.33	0.33	0.33	0.33	0.33	0.33
	減衰定数の上限値 h_{max}			0.136	0.162	0.110	0.147	0.110	0.110
強度特性	粘着力 c' (kN/m ²)			82.5	29.2	113.0	82.8	113.0	113.0
	内部摩擦角 ϕ' (°)			19.6	34.2	27.9	28.7	27.9	27.9

表 2-5 地盤の解析用物性値 (西山層)

物性値		地質区分	西山層	
			T. M. S. L. -33.0m 以浅	T. M. S. L. -33.0m~-90.0m
物理特性	密度 ρ (g/cm ³)		1.73	1.69
	間隙率 n		0.56	0.56
変形特性	動せん断弾性係数 G_{sm} (kN/m ²)		4.16×10^5	4.75×10^5
	基準平均有効拘束圧 σ_{ms}' (kN/m ²)		98.0	98.0
	ポアソン比 ν		0.33	0.33
	減衰定数の上限値 h_{max}		0.257	0.257
強度特性	粘着力 c (kN/m ²)		1370-5.04Z*	1370-5.04Z*
	内部摩擦角 ϕ (°)		0.0	0.0

注記* : Zは、標高 (m) を示す

表 2-6 マンメイドロックの解析用物性値

名称		マンメイドロック
物理特性	密度 ρ (g/cm ³)	1.75
	間隙率 n	0.56
変形特性	動せん断弾性係数 G_{sm} (kN/m ²)	1.91×10^6
	基準平均有効拘束圧 σ_{ms}' (kN/m ²)	98.0
	ポアソン比 ν	0.36
	減衰定数の上限値 h_{max}	0.190
強度特性	粘着力 c (kN/m ²)	1840
	内部摩擦角 ϕ (°)	0.0

表 2-7 地盤改良体の解析用物性値

既設/新設		既設地盤改良体		
種別		機械攪拌	改良盛土	土質安定処理土
物理特性	密度 ρ (g/cm ³)	2.00	1.69	1.85
	間隙率 n	0.49 ^{*1}	0.48	0.48
変形特性	動せん断弾性係数 G_{mn} (kN/m ²)	5.84×10^5	1.49×10^6	9.58×10^3
	基準平均有効拘束圧 σ_{mn}' (kN/m ²)	98.0	98.0	98.0
	ポアソン比 ν	0.33 (0.43) ^{*2}	0.28	0.20
	減衰定数の上限値 h_{max}	0.060	0.160	0.050
強度特性	粘着力 c (kN/m ²)	2413	462	100

注記*1 : 高圧噴射（砂質土）における間隙率の工法別平均値

*2 : 括弧内の数字は、地下水位以浅の数値を表す。

2.6 評価構造物諸元

照査を行う常設代替交流電源設備基礎の鉄筋コンクリート部材に関する諸元を表 2-8 に、表 2-8 のうち第一ガスタービン発電機用燃料タンク基礎の評価部位を図 2-7 に示す。また、鋼管杭に関する諸元を表 2-9 に示す。

表 2-8 構造物の評価部位とその仕様（その 1：鉄筋コンクリート部材）

設備	部位	部材高 (m)	材料		機能要求
			コンクリート f'_{ck} (N/mm ²)	鉄筋	
第一ガスタービン 発電機基礎	基礎版	3.6	30	SD490 SD345 (せん断補強筋)	間接支持
第一ガスタービン 発電機用 燃料タンク基礎	東側壁	1.0			
	西側壁	1.0			
	北側壁	1.0			
	南側壁	1.0			
	隔壁	1.0			
	頂版	1.0			
	底板	3.0			
張出部	0.8				

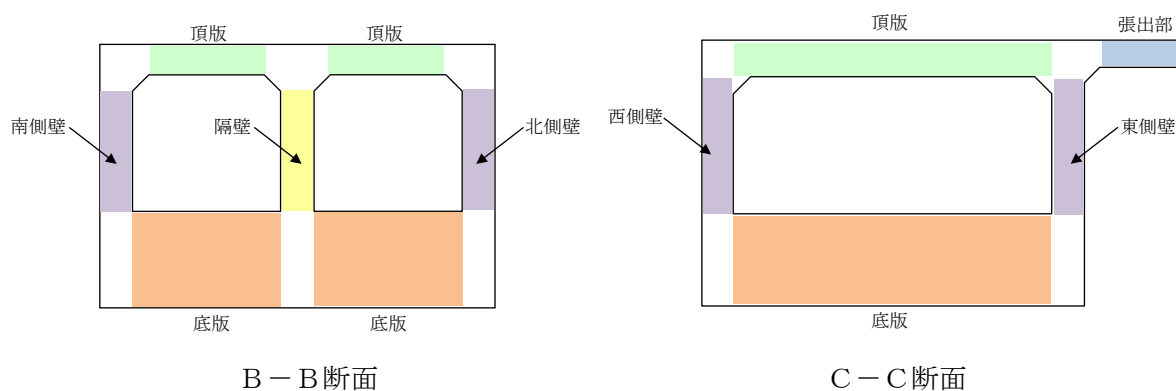


図 2-7 第一ガスタービン発電機用燃料タンク基礎 評価部位

表 2-9 構造物の評価部位とその仕様（その 2：鋼管杭）

部位	仕様		材料	機能要求
	杭径 (mm)	肉厚 (mm)		
鋼管杭	1400	25	SKK490	間接支持

注：道路橋示方書（IV下部構造編）・同解説（日本道路協会，平成 14 年 3 月）では，杭中心間隔が杭径の 2.5 倍以上の場合，単杭で評価する旨が記載されている。第一ガスタービン発電機基礎の杭中心間隔は基礎版長辺方向，短辺方向ともに 3500mm であり，杭径の 2.5 倍となる 3500mm のため，単杭として評価する。

また，第一ガスタービン発電機用燃料タンク基礎の杭中心間隔は，基礎長辺方向で 4250mm，短辺方向で 4390mm であり，ともに杭径の 2.5 倍となる 3500mm 以上のため，単杭として評価する。

2.7 地下水位

地下水位は V-2-1-3 「地盤の支持性能に係る基本方針」より，T. M. S. L. 8. 0m に設定する。

2.8 耐震評価フロー

図 2-8 に常設代替交流電源設備基礎の地震応答解析フローを, 図 2-9 に常設代替交流電源設備基礎の耐震評価フローを示す。

常設代替交流電源設備基礎の鉄筋コンクリート部材については, 3次元非線形積層シェル要素による水平2方向及び鉛直方向の荷重を踏まえた3次元静的有限要素法解析(以下「3次元構造解析」という。)に基づき, 耐震評価を実施する。3次元構造解析にあたっては, 2次元動的有限要素法解析により得られた応答値から, 3次元構造解析モデルへ入力する水平2方向及び鉛直方向の荷重を算出する。

鋼管杭及び基礎地盤の支持性能については, 2次元動的有限要素法解析より得られた応答値を用いて耐震評価を行う。

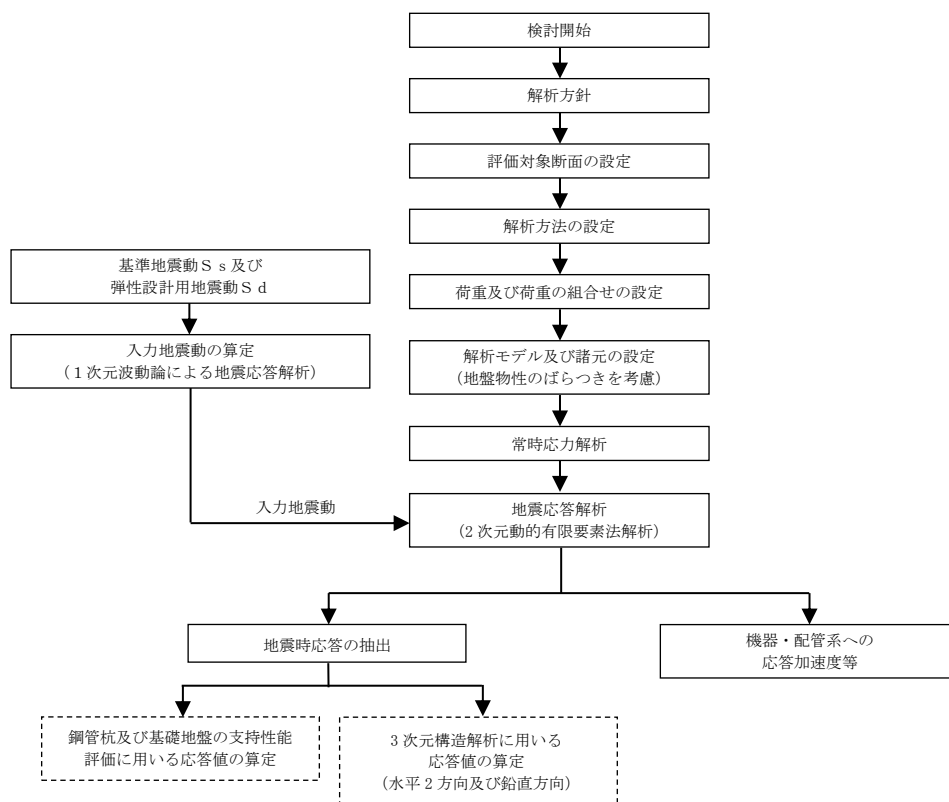


図 2-8 常設代替交流電源設備基礎の地震応答解析フロー

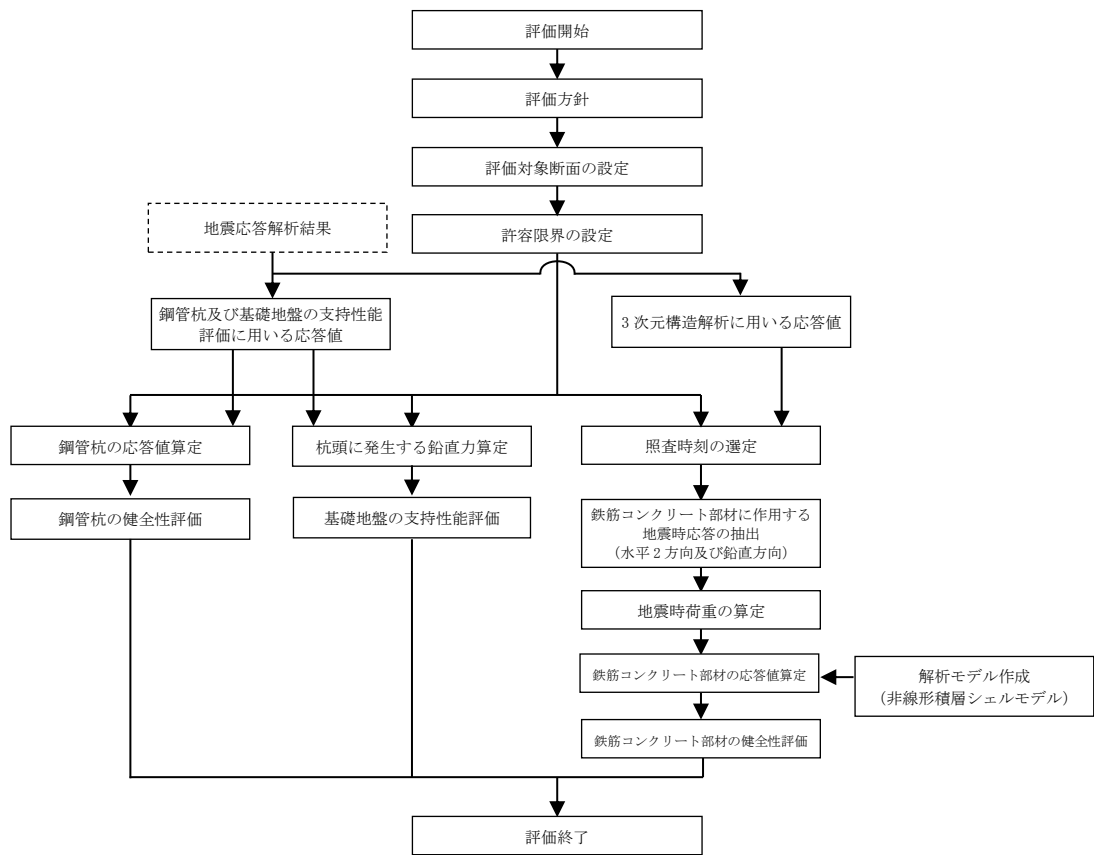


図 2-9 常設代替交流電源設備基礎の耐震評価フロー

2.9 適用規格

常設代替交流電源設備基礎の耐震評価に当たっては、コンクリート標準示方書〔構造性能照査編〕（土木学会，2002年）（以下「コンクリート標準示方書」という。），原子力発電所耐震設計技術指針 J E A G 4 6 0 1 -1987（日本電気協会）を適用するが，鉄筋コンクリート部材の曲げ及びせん断の許容限界については，原子力発電所屋外重要土木構造物の耐震性能照査指針・マニュアル（土木学会，2005年）（以下「土木学会マニュアル」という。），壁部材の面内せん断の許容限界については，原子力発電所耐震設計技術指針 J E A G 4 6 0 1 -1987（日本電気協会）を適用する。鋼管杭の曲げ及びせん断の許容限界は，乾式キャスクを用いる使用済燃料中間貯蔵建屋の基礎構造の設計に関する技術規程 J E A C 4 6 1 6 -2009（日本電気協会）（以下「キャスク指針」という。），鋼・合成構造標準示方書〔耐震設計編〕（土木学会，2008年）（以下「鋼・合成構造標準示方書」という。）を適用する。また，基礎地盤の支持性能の許容限界は，道路橋示方書（I 共通編・IV 下部構造編）・同解説（日本道路協会，平成14年3月）（以下「道路橋示方書」という。）を適用する。

表 2-10 に適用する規格，基準類を示す。

表 2-10 適用する規格, 基準類

項目	適用する規格, 基準類	備考
使用材料及び材料定数	・コンクリート標準示方書〔構造性能照査編〕(2002年)	—
荷重及び荷重の組合せ	・コンクリート標準示方書〔構造性能照査編〕(2002年)	・永久荷重+偶発荷重+従たる変動荷重の適切な組合せを検討
許容限界	【鉄筋コンクリート部材】 ・原子力発電所屋外重要土木構造物の耐震性能照査指針・マニュアル(2005年) ・原子力発電所耐震設計技術指針 J E A G 4 6 0 1 -1987	・曲げに対する照査は, 限界ひずみを設定した上で, 発生ひずみが限界ひずみを下回ることを確認* ・せん断に対する照査は, 発生せん断力がせん断耐力を下回ることを確認* ・壁部材の発生面内ひずみが許容限界を下回ることを確認*
	【鋼管杭】 ・乾式キャスクを用いる使用済燃料中間貯蔵建屋の基礎構造の設計に関する技術規程 J E A C 4 6 1 6 -2009 ・鋼・合成構造標準示方書〔耐震設計編〕(2008年)	・曲げに対する照査は, 終局曲率を設定した上で, 発生曲率が終局曲率を下回ることを確認* ・せん断に対する照査は, 発生せん断力が終局せん断強度を下回ることを確認*
	【基礎地盤の支持性能】 ・道路橋示方書 (I 共通編・IV下部構造編)・同解説(平成14年3月)	・基礎地盤の支持性能に対する照査は, 杭頭に発生する鉛直力が終局鉛直支持力及び終局引抜き力を下回ることを確認*
地震応答解析	・原子力発電所耐震設計技術指針 J E A G 4 6 0 1 -1987	・有限要素法による2次元モデルを用いた時刻歴非線形解析

注記* : 妥当な安全余裕を考慮する。

3. 地震応答解析

3.1 地震応答解析手法

常設代替交流電源設備基礎の地震応答解析は、地盤と構造物の相互作用を考慮できる2次元有限要素法を用いて、基準地震動 S_s に基づき設定した水平地震動と鉛直地震動の同時加振による逐次時間積分の時刻歴応答解析にて行う。常設代替交流電源設備基礎を構成する部材のうち、鉄筋コンクリート部材については線形平面ひずみ要素で、鋼管杭については非線形はり要素でモデル化する。非線形はり要素の非線形特性については鋼管杭の $M-\phi$ 関係を適切にモデル化する。また、地盤については、有効応力の変化に応じた地震時挙動を適切に考慮できるようにモデル化する。地震応答解析については、解析コード「FLIP ver. 7.4.1」を使用する。

地盤の繰返しせん断応力～せん断ひずみ関係の骨格曲線の構成則を有効応力解析へ適用する際は、地盤の繰返しせん断応力～せん断ひずみ関係の骨格曲線に関するせん断ひずみ及び有効応力の変化に応じた特徴を適切に表現できるモデルを用いる必要がある。一般に、地盤は荷重を与えることによりせん断ひずみを増加させていくと、地盤のせん断応力は上限値に達し、それ以上はせん断応力が増加しなくなる特徴がある。また、地盤のせん断応力の上限値は有効応力に応じて変化する特徴がある。よって、耐震評価における有効応力解析では、地盤の繰返しせん断応力～せん断ひずみ関係の骨格曲線の構成則として、地盤の繰返しせん断応力～せん断ひずみ関係の骨格曲線に関するせん断ひずみ及び有効応力の変化に応じたこれら2つの特徴を表現できる双曲線モデル（H-Dモデル）を選定する。

地震応答解析手法の選定フローを図3-1に示す。

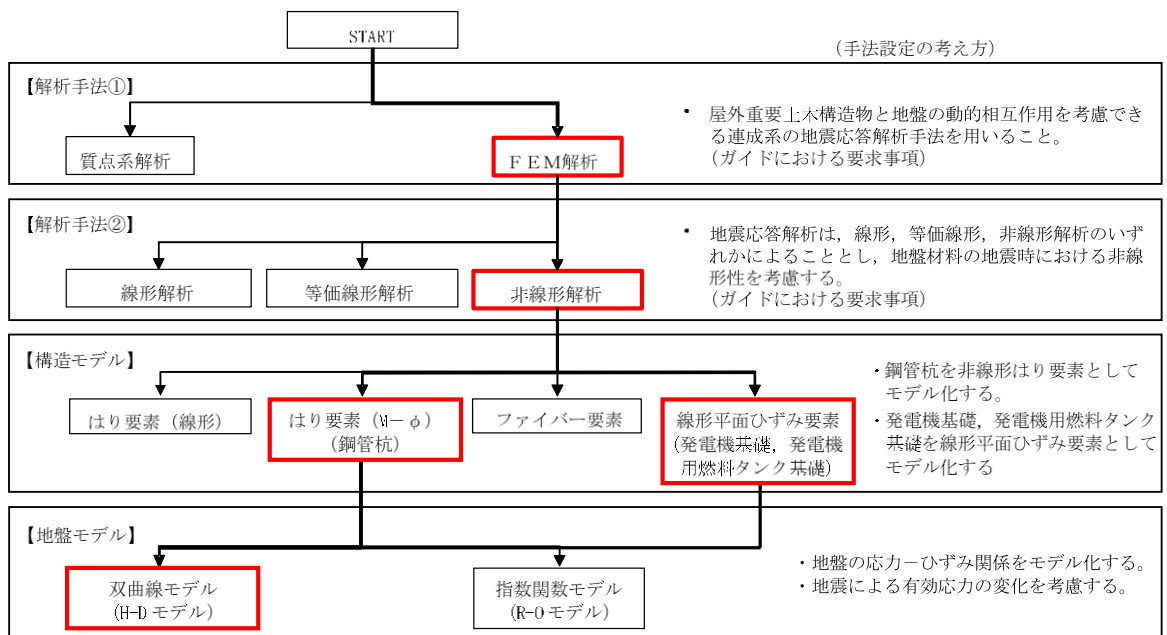


図 3-1 地震応答解析手法の選定フロー

3.2 地震応答解析モデルの設定

3.2.1 解析モデル領域

地震応答解析モデルは，境界条件の影響が地盤及び構造物の応力状態に影響を及ぼさないよう，十分広い領域とする。具体的には，原子力発電所耐震設計技術指針 J E A G 4 6 0 1 -1987（日本電気協会）を参考に，図 3-2 に示すとおりモデル幅を構造物基礎幅の 5 倍程度，モデル高さを構造物幅の 2 倍程度とする。

なお，解析モデルの境界条件は，側面及び底面ともに粘性境界とする。

地盤の要素分割については，地盤の波動をなめらかに表現するために，最大周波数 20Hz 及びせん断波速度 V_s で算定される波長の 5 又は 4 分割，すなわち $V_s/100$ 又は $V_s/80$ を考慮し，要素高さを 0.5m~1m 程度まで細分割して設定する。

構造物の要素分割については，土木学会マニュアルに，線材モデルの要素分割については，要素長さを部材の断面厚さ又は有効高さの 2.0 倍以下とし，1.0 倍程度とするのが良い旨が示されていることを考慮し，部材の断面厚さ又は有効高さの 1.0 倍程度まで細分割して設定する。なお，杭の要素分割については，杭に接する地盤の要素分割に合わせて設定する。

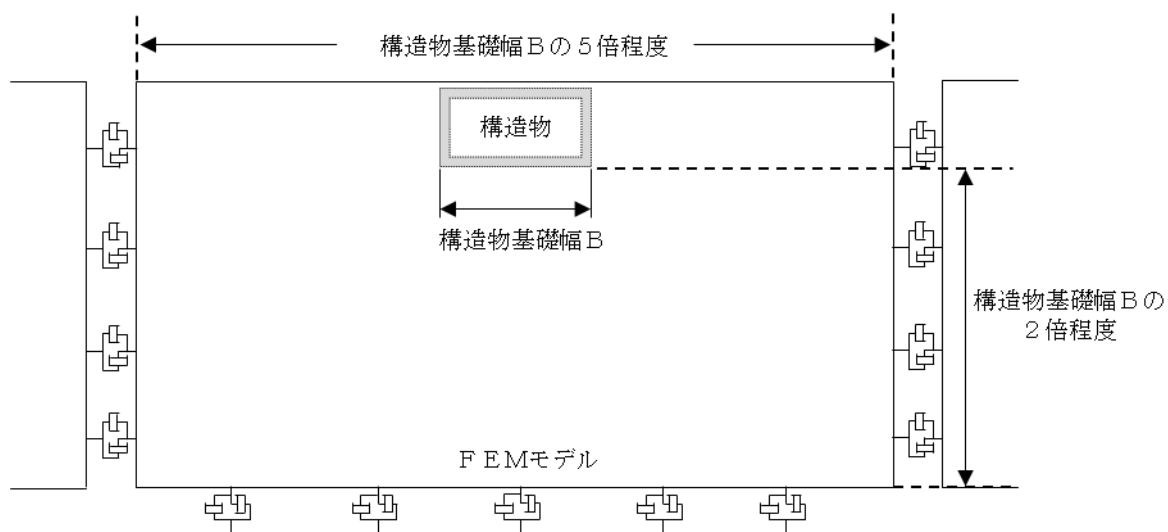


図 3-2 モデル範囲の考え方

2次元有効応力解析モデルは、検討対象構造物とその周辺地盤をモデル化した不整形地盤に加え、この不整形地盤の左右に広がる地盤をモデル化した自由地盤で構成される。この自由地盤は、不整形地盤の左右端と同じ地層構成を有する1次元地盤モデルである。2次元有効応力解析における自由地盤の初期応力解析から不整形地盤の地震応答解析までのフローを図3-3に示す。また、常設代替交流電源設備基礎周辺の地質断面図を図3-4～図3-6に示す。

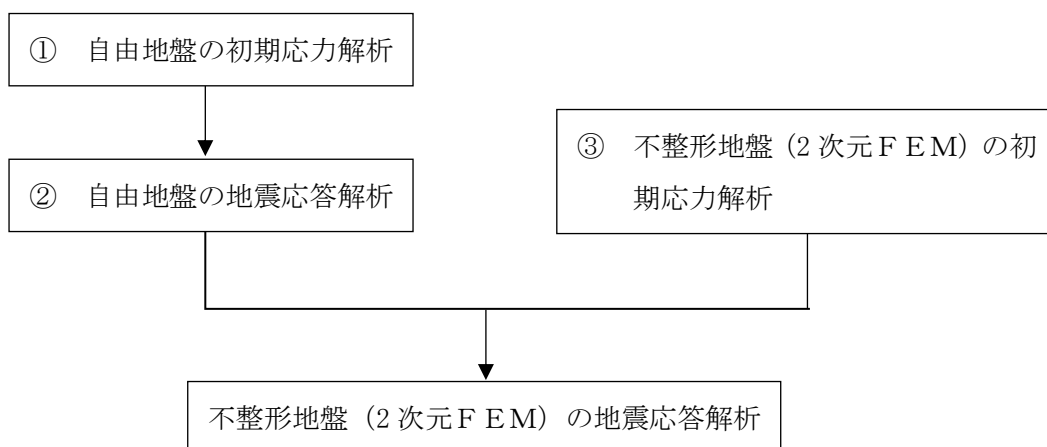
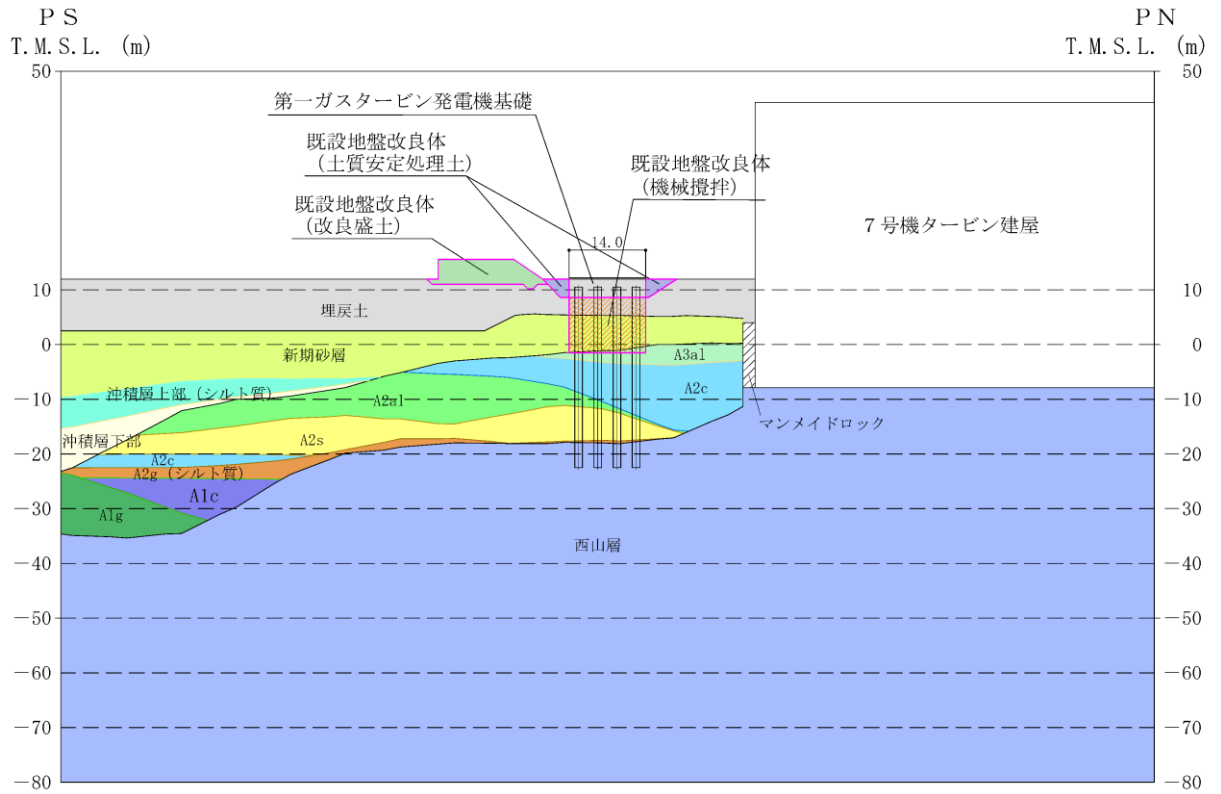


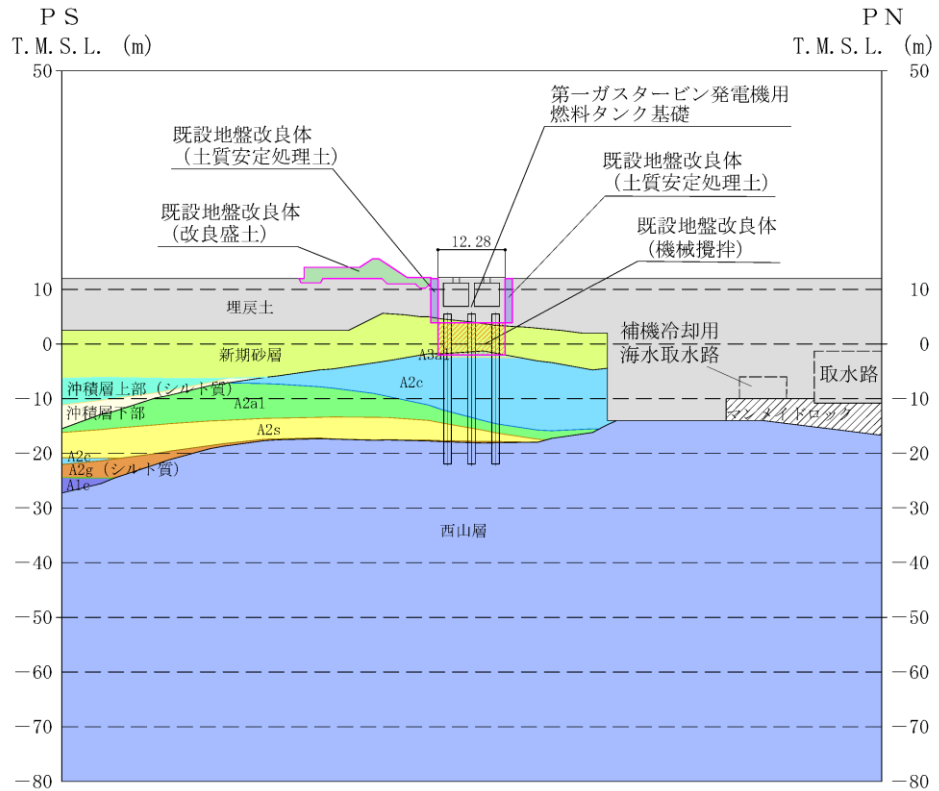
図 3-3 自由地盤の初期応力解析から不整形地盤 (2次元FEM) の地震応答解析までのフロー



(単位：m)

既設／新設	凡例	地盤改良工法
既設地盤改良体		機械攪拌
		土質安定処理土
		改良盛土
新設地盤改良体		機械攪拌

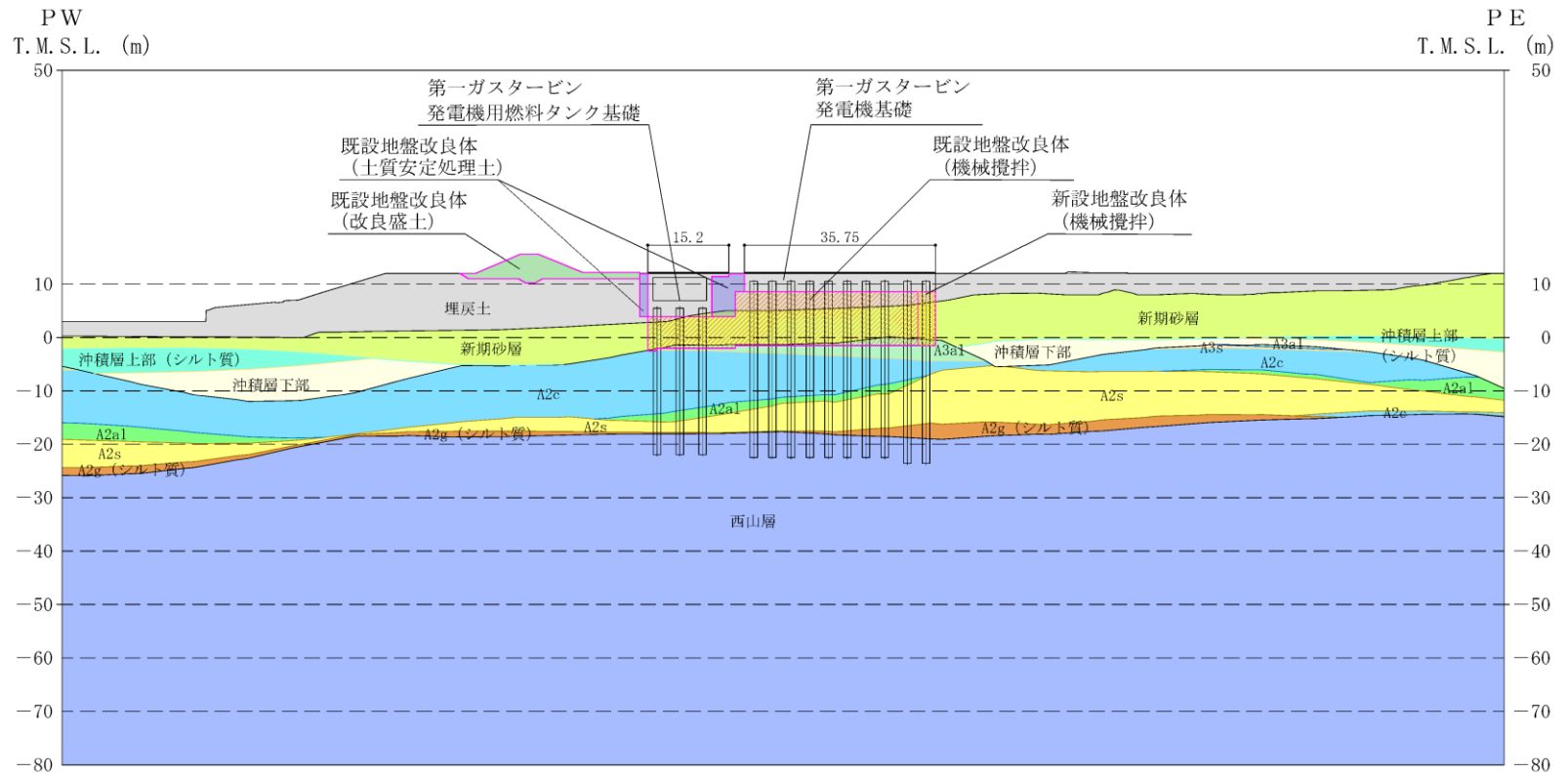
図 3-4 常設代替交流電源設備基礎周辺地質断面図 (A-A断面)



(単位：m)

既設／新設	凡例	地盤改良工法
既設地盤改良体		機械攪拌
		土質安定処理土
		改良盛土
新設地盤改良体		機械攪拌

図 3-5 常設代替交流電源設備基礎周辺地質断面図 (B-B断面)



(単位：m)

既設/新設	凡例	地盤改良工法
既設地盤改良体		機械攪拌
		土質安定処理土
新設地盤改良体		改良盛土
		機械攪拌

図 3-6 常設代替交流電源設備基礎周辺敷地断面図 (C-C断面)

3.2.2 境界条件

(1) 初期応力解析時

初期応力解析は、地盤や構造物の自重等の静的な荷重を載荷することによる常時の初期応力を算定するために行う。初期応力解析時の境界条件は底面固定とし、側方は自重等による地盤の鉛直方向の変形を拘束しないよう鉛直ローラーとする。境界条件の概念図を図3-7に示す。

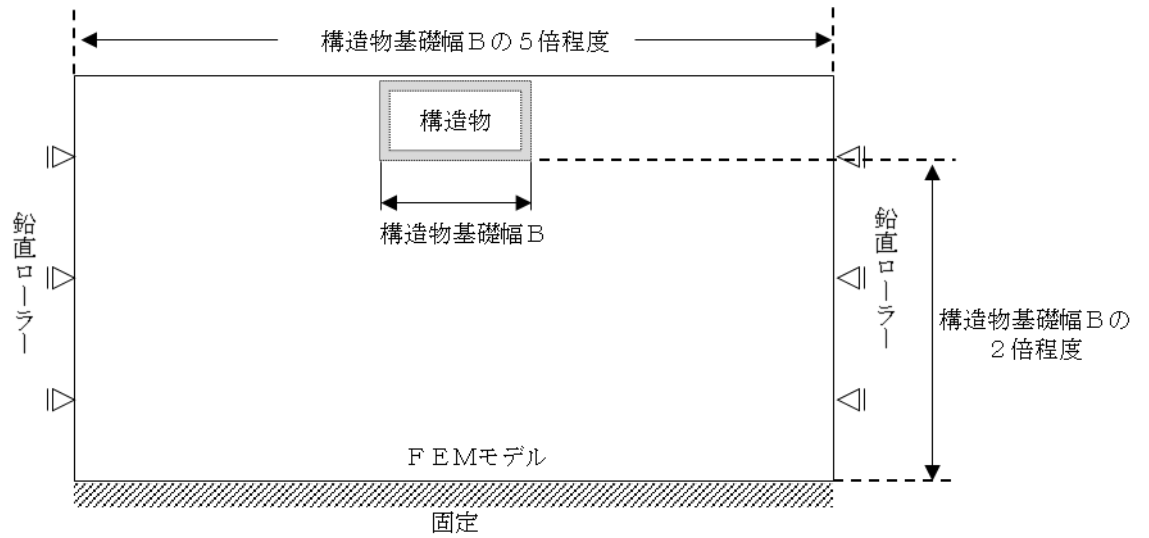


図 3-7 初期応力解析における境界条件の概念図

(2) 地震応答解析時

地震応答解析時の境界条件については、有限要素解析における半無限地盤を模擬するため、粘性境界を設ける。底面の粘性境界については、地震動の下降波がモデル底面境界から半無限地盤へ通過していく状態を模擬するため、ダッシュポットを設定する。側方の粘性境界については、自由地盤の地盤振動と不整形地盤側方の地盤振動の差分が側方を通過していく状態を模擬するため、自由地盤の側方にダッシュポットを設定する。常設代替交流電源設備基礎の地震応答解析モデルを図 3-8、図 3-9 及び図 3-10 に示す。

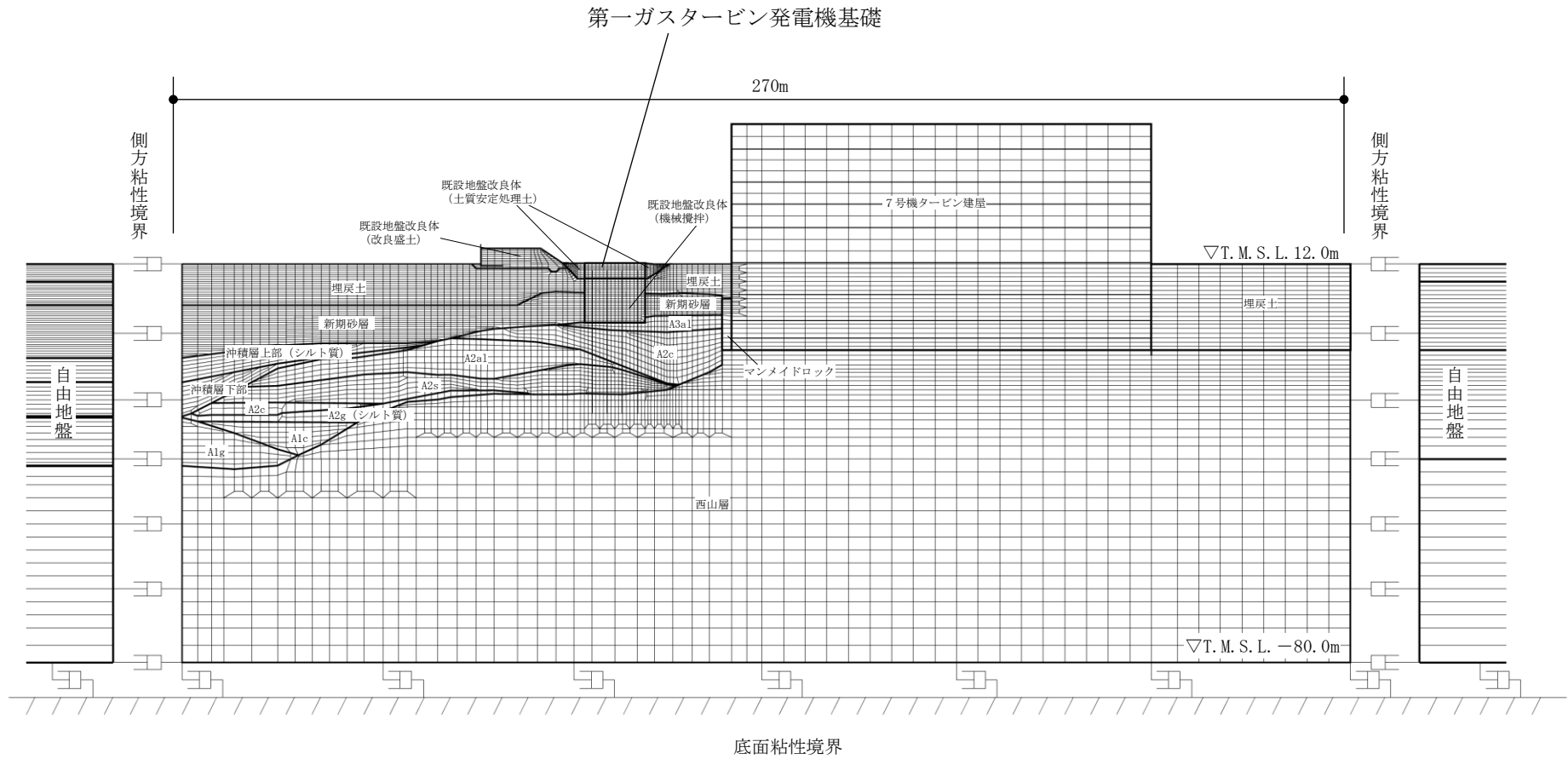


図 3-8 常設代替交流電源設備基礎の地震応答解析モデル (A-A断面)

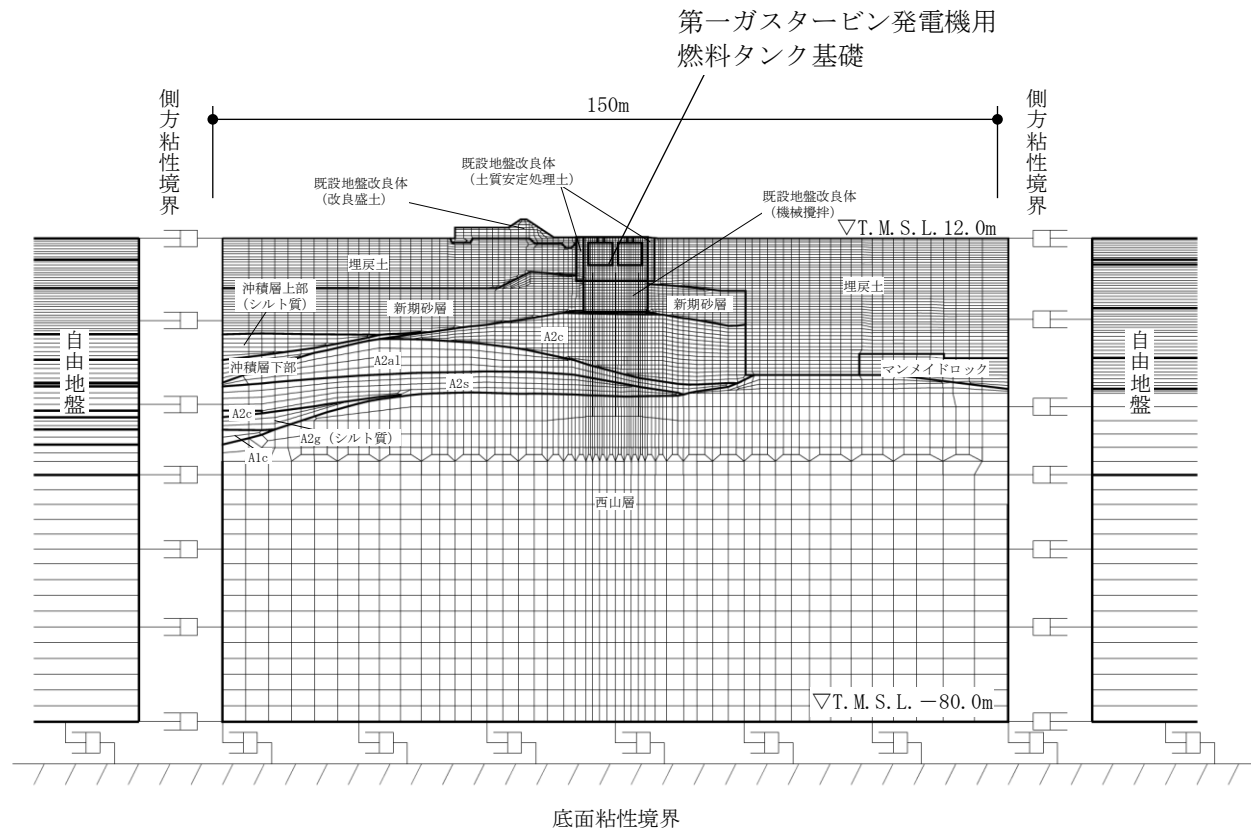


図 3-9 常設代替交流電源設備基礎の地震応答解析モデル (B-B断面)

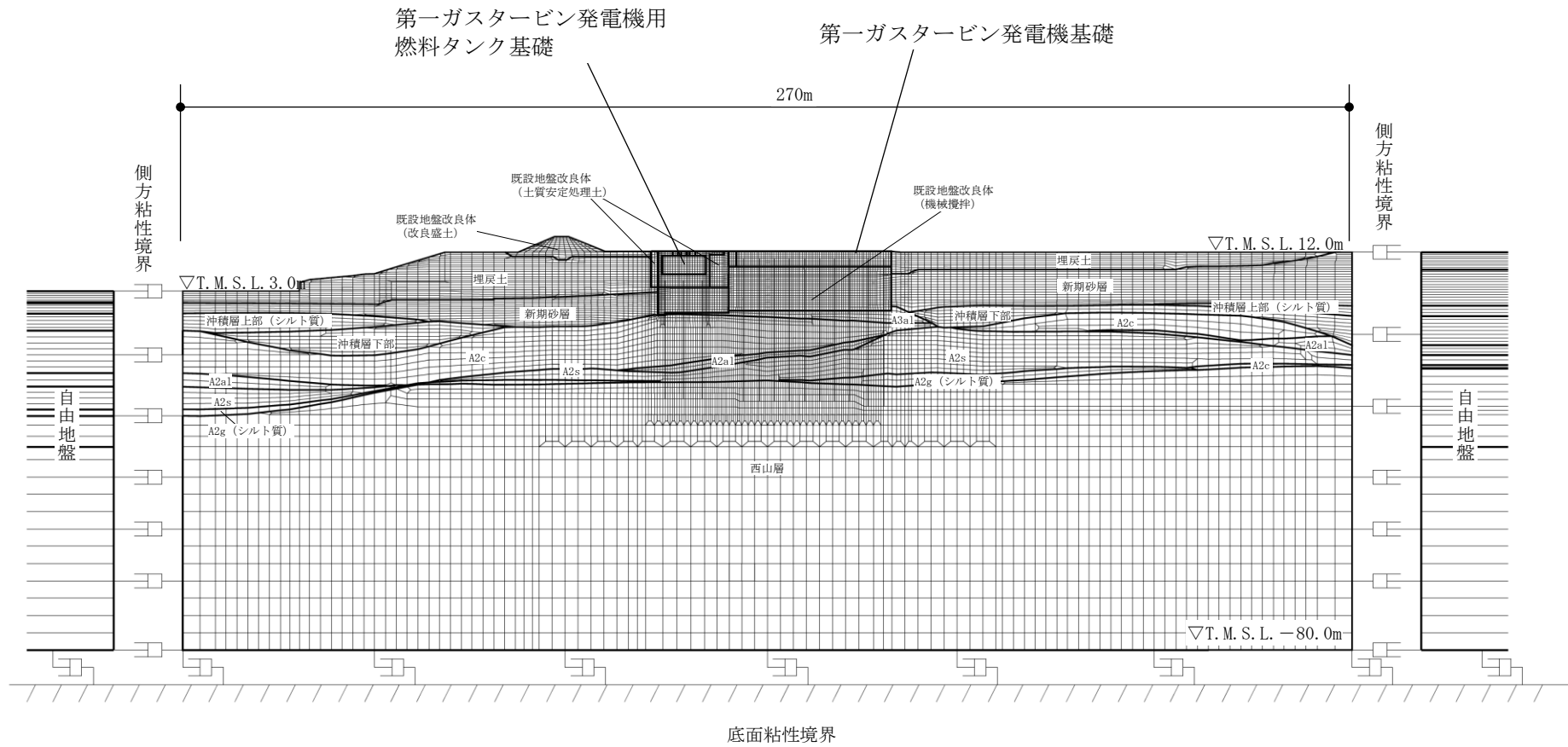


図 3-10 常設代替交流電源設備基礎の地震応答解析モデル (C-C断面)

3.2.3 解析奥行幅

A-A断面及びB-B断面の解析奥行幅は、それぞれ第一ガスタービン発電機基礎及び第一ガスタービン発電機用燃料タンク基礎の基礎幅（張出部を除く）として設定する。C-C断面の解析奥行幅は、第一ガスタービン発電機基礎の基礎幅として設定する。各断面の解析奥行幅の考え方を図 3-11 に示す。

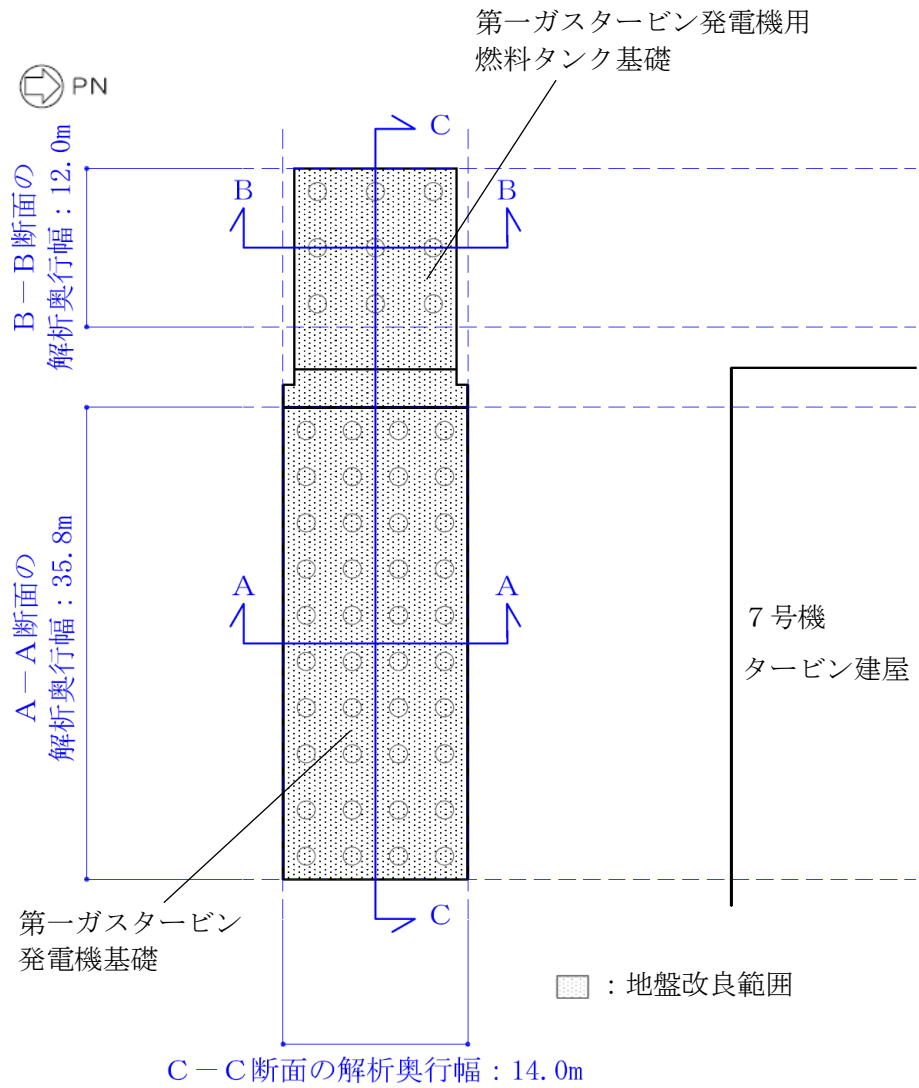


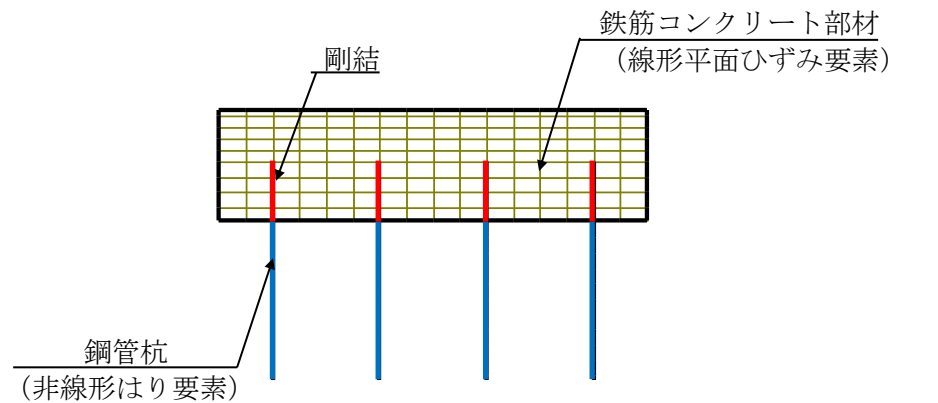
図 3-11 各断面の解析奥行幅の考え方

3.2.4 構造物のモデル化

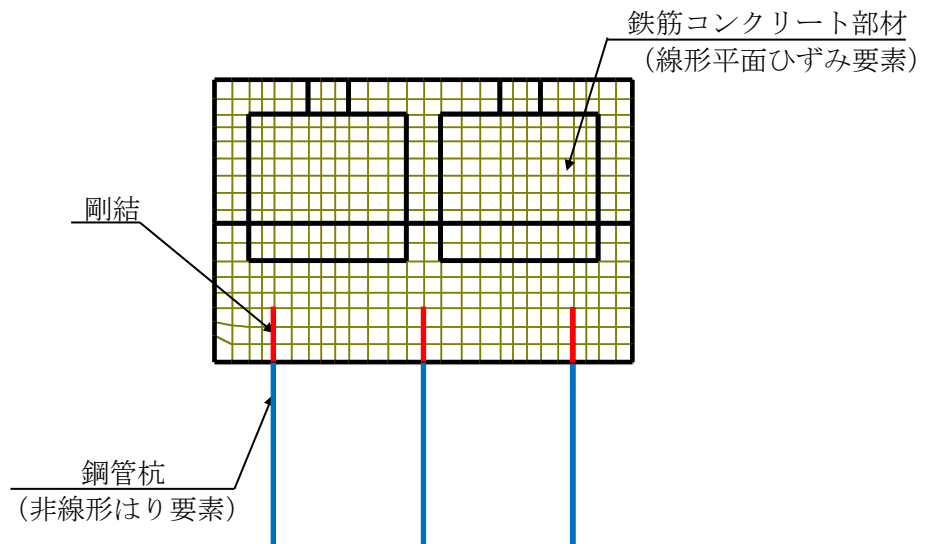
各構造物の解析モデル拡大図を図 3-12 に示す。

鉄筋コンクリート部材は、線形平面ひずみ要素でモデル化し、第一ガスタービン発電機用燃料タンク基礎については、解析奥行幅に対する部材の奥行幅に応じて各部材に等価剛性を設定する。

鋼管杭は、非線形はり要素でモデル化し、解析奥行幅に対する本数に応じて等価剛性を設定し、杭頭部を鉄筋コンクリート部材と剛結する。



(a) 第一ガスタービン発電機基礎 (A-A断面, 構造物部分拡大部)



(b) 第一ガスタービン発電機用燃料タンク基礎 (B-B断面, 構造物部分拡大部)

図 3-12 各構造物の解析モデル拡大図

3.2.5 隣接構造物のモデル化

常設代替交流電源設備基礎の評価対象断面のうちA-A断面には、隣接構造物である7号機タービン建屋をモデル化している。7号機タービン建屋のモデル化手法概念図を図3-13に示す。7号機タービン建屋は、設置変更許可申請書の基礎地盤安定性評価におけるモデル化と同様に、質点系建屋モデルから建屋各層の水平剛性 K_H 、鉛直剛性 K_V 及び曲げ剛性 K_θ を用いて、せん断剛性 G_i 、ポアソン比 ν_i 及びヤング係数 E_i を求め、等価な有限要素モデルを作成する。

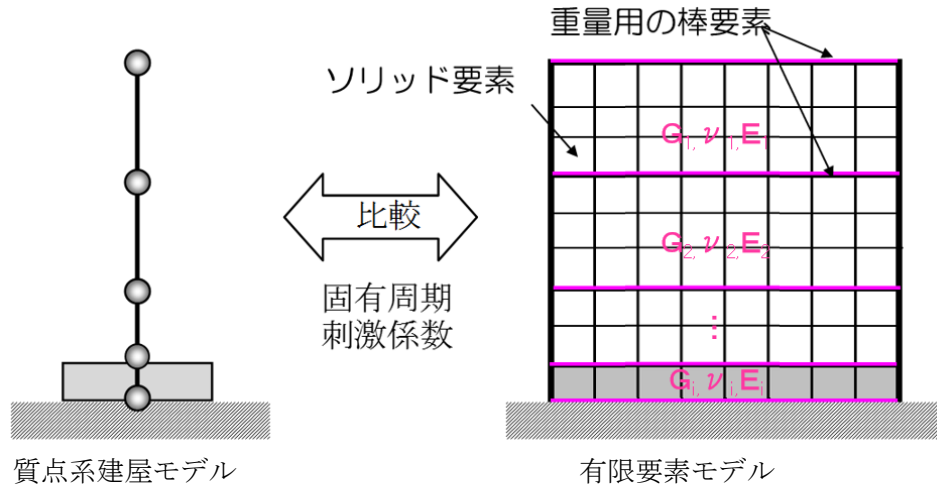


図 3-13 7号機タービン建屋のモデル化手法概念図

3.2.6 地盤及びマンメイドロックのモデル化

地盤及びマンメイドロックはマルチスプリング要素及び間隙水要素でモデル化し、地盤については地震時の有効応力の変化に応じた非線形せん断応力～せん断ひずみ関係を考慮する。

3.2.7 地盤改良体のモデル化

構造物周辺の地盤改良体の効果を考慮するため、改良率及び解析奥行幅に応じた等価剛性を設定し、マルチスプリング要素及び間隙水要素でモデル化する。

3.2.8 ジョイント要素の設定

「地盤と構造物」、「地盤改良体と構造物」及び「地盤と地盤改良体」との接合面にジョイント要素を設けることにより、地震時の接合面における剥離及びすべりを考慮する。

ジョイント要素は、隣接する要素の接合面で法線方向及びせん断方向に対して設定する。法線方向については、常時の圧縮荷重以上の引張荷重が生じた場合、剛性及び応力を零とし、剥離を考慮する。せん断方向については、各要素間の接合面におけるせん断抵抗力以上のせん断荷重が生じた場合、せん断剛性を零とし、すべりを考慮する。

なお、せん断強度 τ_f は、次式により設定する。

$$\tau_f = c_B + \sigma' \tan \phi_B$$

ここで、

σ' : 要素間の直応力

c_B : 付着力

ϕ_B : 摩擦角

要素間の付着力 c_B 、摩擦角 ϕ_B は、表 3-1 に示す道路橋示方書の設定を参考に、表 3-2 のとおり設定する。周辺地盤の粘着力 c 、内部摩擦角 ϕ は、V-2-1-3「地盤の支持性能に係る基本方針」に基づき、表 3-3 のとおり設定する。

表 3-1 周辺地盤の粘着力 c と内部摩擦角 ϕ

条 件	摩擦角 ϕ_B (摩擦係数 $\tan \phi_B$)	付着力 c_B
土とコンクリート	$\phi_B = \frac{2}{3} \phi$	$c_B = 0$
土とコンクリートの間に栗石を敷く場合	$\left. \begin{array}{l} \tan \phi_B = 0.6 \\ \phi_B = \phi \end{array} \right\} \text{の小さい方}$	$c_B = 0$
岩とコンクリート	$\tan \phi_B = 0.6$	$c_B = 0$
土と土又は岩と岩	$\phi_B = \phi$	$c_B = c$

ただし、 ϕ : 支持地盤のせん断抵抗角 (°) c : 支持地盤の粘着力 (kN/m²)

(道路橋示方書より引用)

表 3-2 要素間の付着力 c_B と摩擦角 ϕ_B

条件	付着力 c_B	摩擦角 ϕ_B (°)
地盤と構造物	0	$2/3 \phi$
地盤改良体*1と構造物	0	31
地盤と地盤改良体*2	c	ϕ

注記*1 : 地盤改良体は、その性状から道路橋示方書における岩とみなす。

*2 : 地盤と地盤改良体の付着力と摩擦角は、地盤の c 、 ϕ を適用する。

表 3-3 周辺地盤の粘着力 c と内部摩擦角 ϕ

地層区分	粘着力 c (kN/m ²)	内部摩擦角 ϕ (°)
埋戻土	0.0(9.6)*	35.9(34.8)*
新期砂層	0.0	34.6
A3a1	29.2	34.2
A2c	113.0	27.9

注記* : 括弧内の数字は、地下水位以浅の数値を表す。

また、ジョイント要素のばね定数は、数値解析上不安定な挙動を起こさない程度に十分大きい値として、港湾構造物設計事例集(上巻)(沿岸技術研究センター,平成19年3月)に従い、表3-4のとおり設定する。ジョイント要素の力学特性を図3-14に、ジョイント要素の配置を図3-15に示す。

表 3-4 ジョイント要素のばね定数

せん断剛性 k_s (kN/m ³)	圧縮剛性 k_n (kN/m ³)
1.0×10^6	1.0×10^6

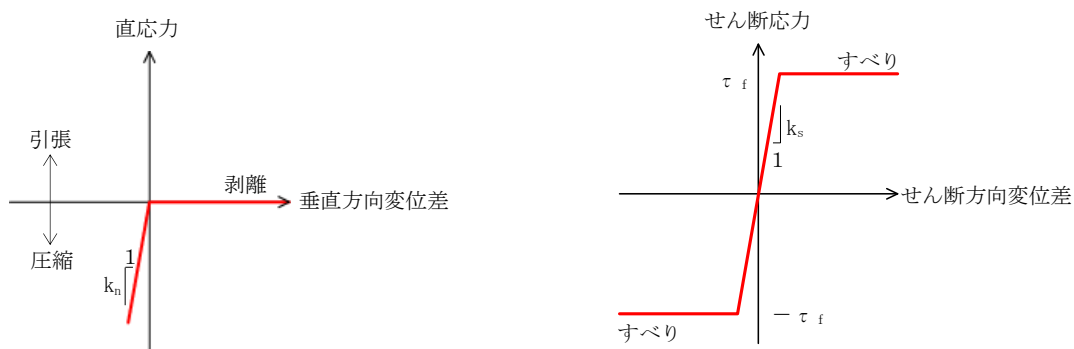
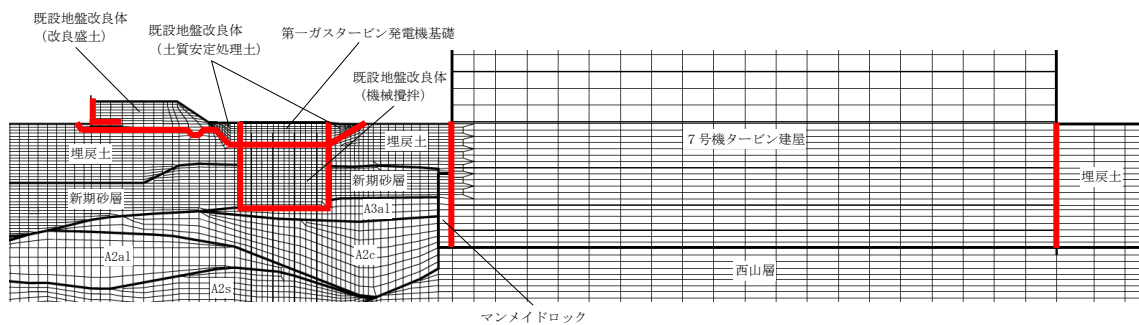
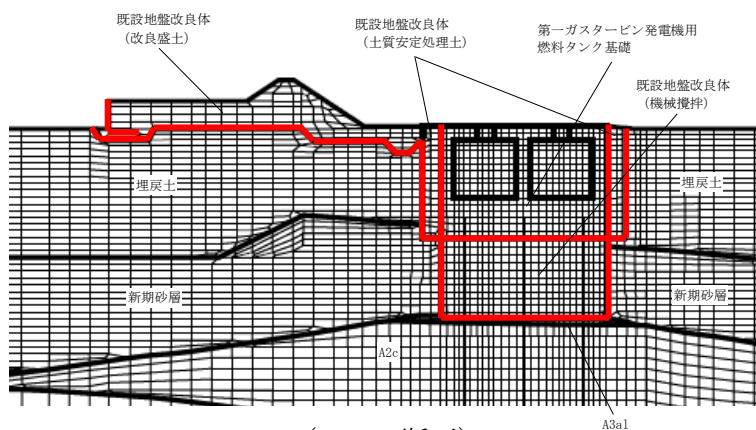


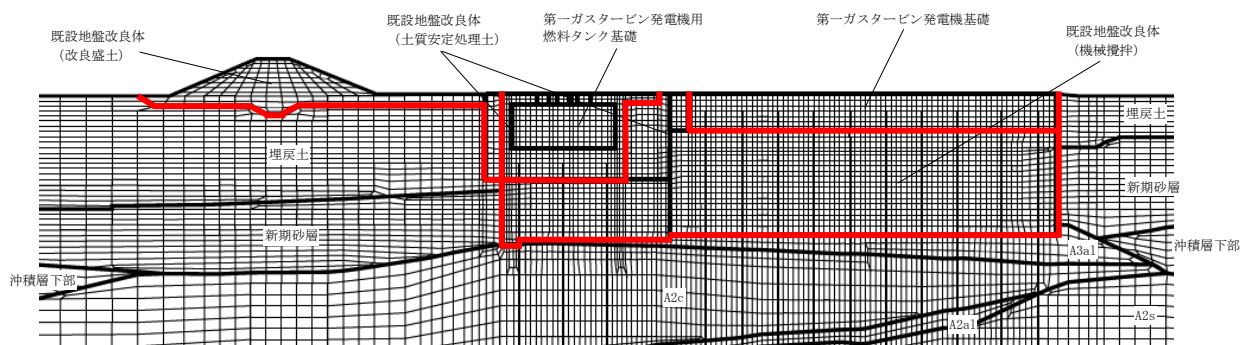
図 3-14 ジョイント要素の力学特性



(A-A断面)



(B-B断面)



(C-C断面)

— : ジョイント要素

図 3-15 ジョイント要素の配置

3.2.9 杭―地盤相互作用ばねの設定

地盤と杭の接合面に杭―地盤相互作用ばねを設けることにより、地震時の地盤と杭の接合面における相互作用の3次元効果を2次元モデルで適切に考慮する。

杭―地盤相互作用ばねの杭軸方向については、地盤と杭の接合面におけるせん断抵抗力以上のせん断荷重が発生した場合、せん断剛性を零とし、すべりを考慮する。図 3-16 に杭―地盤相互作用ばねの力学特性を示す。

せん断強度 τ_f は、次式により設定する。

$$\tau_f = c_B + \sigma' \tan \phi_B$$

ここで、

σ' : 要素間の直応力

c_B : 付着力

ϕ_B : 摩擦角

付着力 c_B 及び摩擦角 ϕ_B は、燃料移送系配管ダクトの杭が鋼管杭であることを踏まえ、鋼材と地盤間の条件であることを考慮し設定する。付着力 c_B は道路橋示方書に基づき、表 3-2 に示す「地盤と構造物」の条件から考慮しないものとする。摩擦角 ϕ_B は、港湾の施設の技術上の基準・同解説（日本港湾協会、平成 19 年 7 月）において、構造物と地盤間の壁面摩擦角を $15 \sim 20^\circ$ とする旨が記載されるとともに、港湾構造物設計事例集（上巻）（沿岸技術研究センター、平成 19 年 3 月）において、鋼材と地盤間の摩擦角を 15° と設定していることから、本解析における摩擦角 ϕ_B は 15° と設定する。

杭―地盤相互作用ばねの杭軸方向のばね定数は、数値解析上不安定な挙動を起こさない程度に十分大きい値として、港湾構造物設計事例集（上巻）（沿岸技術研究センター、平成 19 年 3 月）に従い、表 3-5 のとおり設定する。

また、杭―地盤相互作用ばねの杭軸直角方向のばね定数については、杭径及び杭間隔より設定する*。

杭―地盤相互作用ばねの力学特性を図 3-16 に、杭―地盤相互作用ばねの配置を図 3-17 に示す。

注記* : FLIP 研究会 14 年間の検討結果のまとめ「理論編」(FLIP コンソーシアム)

表 3-5 杭―地盤相互作用ばねのばね定数

	せん断剛性 k_s (kN/m^3)
杭軸方向	1.0×10^6

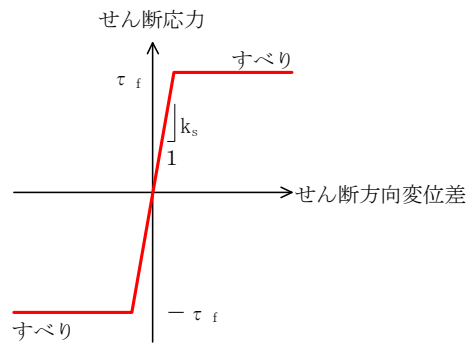
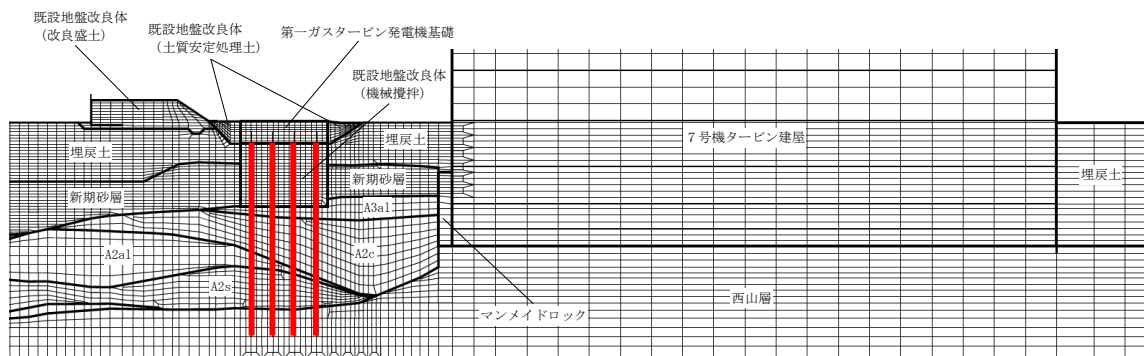
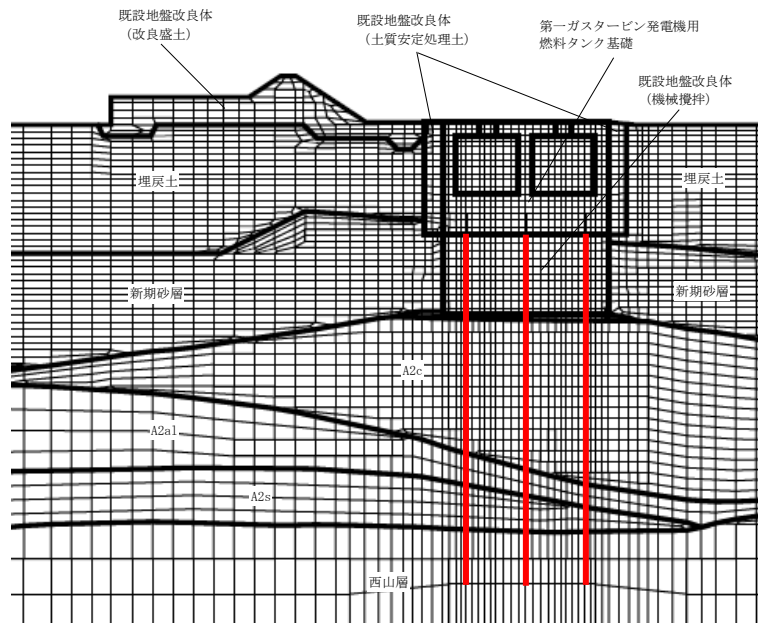


図 3-16 杭-地盤相互作用ばねの力学特性



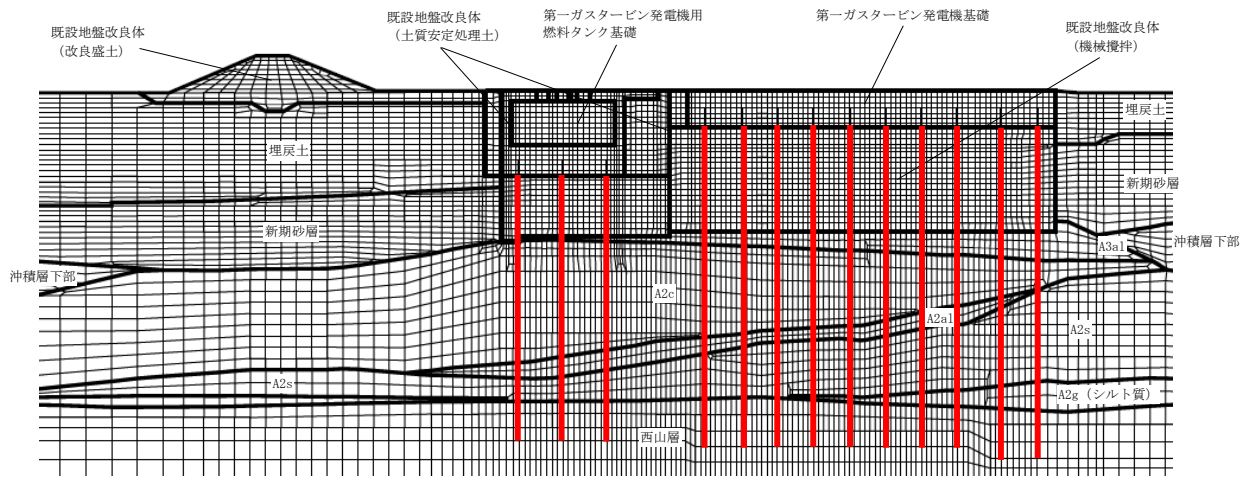
(A-A断面)



(B-B断面)

— : 杭-地盤相互作用ばね要素

図 3-17(1) 杭-地盤相互作用ばねの配置



(C-C断面)

— : 杭-地盤相互作用ばね要素

図 3-17(2) 杭-地盤相互作用ばねの配置

3.2.10 杭先端ばねの設定

杭軸方向の荷重変位関係は、杭の鉛直載荷試験の結果等から図 3-18に示すとおり、双曲線型の関係を示すことが知られている。本解析においても実現象を精緻にモデル化する観点から、杭先端と地盤間にHirayama(1990)*による杭先端抵抗と杭先端変位の双曲線型の関係を杭軸方向のばねの抵抗力と変位差関係に置き換えたばねを設けることにより、杭先端における地盤と杭の相互作用を適切に考慮する。このばねは、圧縮側の関係を取り扱うため、杭先端と地盤間の変位差が引張り状態となった場合、剛性及び応力を零とし、剥離を考慮する。

杭先端ばねの杭軸方向のばねの抵抗力と変位差関係は、次式および図 3-19に示す双曲線型の式で設定される。

Hirayama(1990)では、N値が30または50程度の硬質な砂層地盤における橋梁建設時の杭の鉛直載荷試験結果に対して、当杭先端ばねを用いた荷重変位関係の再現解析を実施し、適用性を検証している。また、当杭先端ばねは「一般社団法人F L I Pコンソーシアム平成25年度研究成果報告書（F L I Pコンソーシアム，2013年）」にて、解析コードF L I Pに対して適用性を確認している。報告書では、砂層に対する杭の押込み実験結果の杭先端抵抗－杭先端変位関係を、当杭先端ばねが概ね再現可能であることを確認している。また、パラメータスタディとして支持層の相対密度を変化させた解析を実施し、当杭先端ばねの適用性を検証している。検証の結果、支持層に液状化等による剛性低下が生じず、所定の支持力を発揮できる場合、当杭先端ばねは解析コードF L I Pに対し適用性を有することが確認されている。

第一ガスタービン発電機基礎及び第一ガスタービン発電機用燃料タンク基礎については、杭の支持層は西山層であり、地震時においても液状化が生じず、所定の杭先端支持力が期待できる岩盤であることから、当杭先端ばねを適用できると判断した。

注記* : Load-settlement analysis for bored piles using hyperbolic transfer functions (Soils and Foundations, Vol. 30, No. 1, pp55-64, H.Hirayama, 1990)

$$q = z_e / (a_e + b_e \cdot z_e)$$

q : 杭先端抵抗

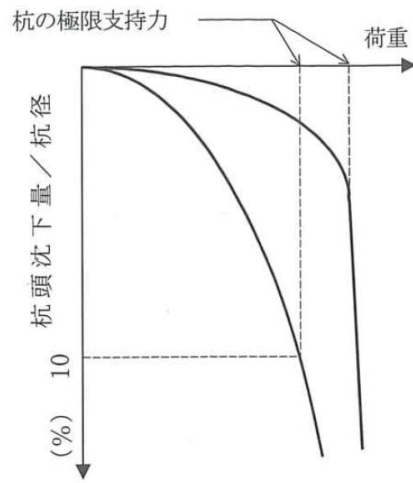
z_e : 杭先端変位

a_e : 基準変位を杭先端における極限支持力で除した値 ($=0.25D_e / q_{ult}$)

b_e : 杭先端における極限支持力の逆数 ($=1 / q_{ult}$)

D_e : 杭径

q_{ult} : 杭先端における極限支持力



(道路橋示方書より引用)

図 3-18 杭の鉛直載荷試験における一般的な荷重-変位関係

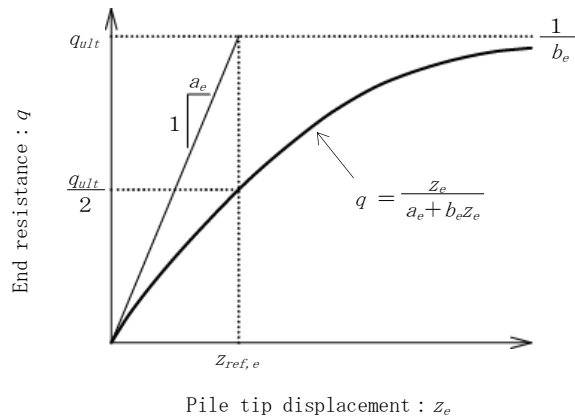


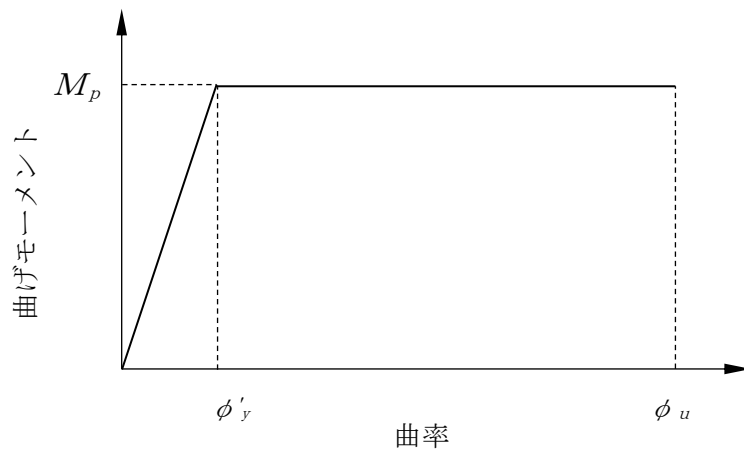
図 3-19 杭先端ばねの杭軸方向のばねの抵抗力と変位差関係 (Hirayama(1990))

3.2.11 材料特性の設定

鉄筋コンクリート部材は、線形平面ひずみ要素を用いてモデル化する。鋼管杭は、非線形はり要素でモデル化し、非線形性を考慮する。材料の非線形特性は、コンクリート標準示方書に基づき設定する。

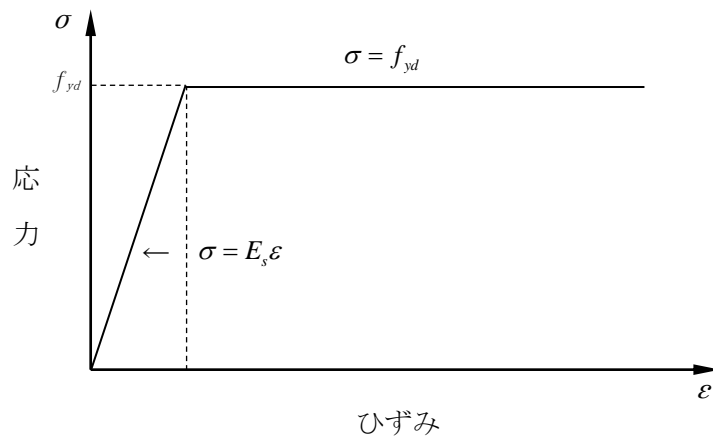
図 3-20 に、鋼管杭におけるM- ϕ 関係のバイリニアモデルを示す。また、鋼管杭の応力-ひずみ関係を図 3-21 に示す。

なお、解析コードFLIPにおいては、鋼管杭の軸力変動に応じて非線形特性を自動的に設定し、応答を算定している。



- M_p : 終局曲げ強度 (全塑性モーメント)
- ϕ'_y : 全塑性モーメントに至る時の曲率
- ϕ_u : 局部座屈が発生する時の曲率

図 3-20 鋼管杭のM- ϕ 関係



- f_{yd} : 鋼材の降伏応力
- E_s : 鋼材のヤング係数

図 3-21 鋼管杭の応力-ひずみ関係

3.3 減衰定数

減衰定数は、KK7 補足-027-1「資料 1 屋外重要土木構造物の耐震安全性評価について」に基づき設定する。

3.4 荷重の組合せ

耐震評価にて考慮する荷重は、通常運転時の荷重（永久荷重）及び地震荷重を抽出し、それぞれを組み合わせ設定する。地震荷重には、地震時土圧、機器・配管系からの反力による荷重が含まれるものとする。

なお、常設代替交流電源設備基礎は、地中に埋設されている構造物であることから運転時の異常な過度変化時の状態及び設計基準事故時の状態の影響を受けないと考えられるため、当該状態についての組合せは考慮しないものとする。また、重大事故等対処時においても、地中で設計基準事故時の条件を上回るような事象は発生しないため、設計基準事故時の条件を上回る荷重はない。

荷重の組合せを表 3-6 に示す。

地震時に常設代替交流電源設備基礎に作用する機器・配管系の荷重については、機器・配管系を解析モデルに付加質量として与えることで考慮する。

表 3-6 荷重の組合せ

種別		荷重		算定方法
永久荷重	固定荷重	躯体自重	○	・設計図書に基づいて、対象構造物の体積に材料の密度を乗じて設定する
		機器・配管自重	○	・機器・配管の重さに基づいて設定する
		土被り荷重	—	・構造物に土被りはないため考慮しない
		永久上載荷重	—	・地盤表面に恒常的に置かれる構造物はないため考慮しない
	静止土圧		○	・常時応力解析により算定する
	外水圧		○	・地下水位に応じた静水圧として設定する ・地下水の密度を考慮する
	雪荷重		○	・積雪を考慮する
偶発荷重 (地震荷重)		水平地震動	○	・基準地震動 S_s による水平・鉛直同時加振を考慮する ・躯体、機器・配管の慣性力、動土圧を考慮する
		鉛直地震動	○	

3.4.1 機器・配管荷重

荷重を考慮する機器・配管系を図 3-22 及び表 3-7 に示す。機器・配管荷重は図 3-23 に示すとおり，地震応答解析モデルに載荷する。

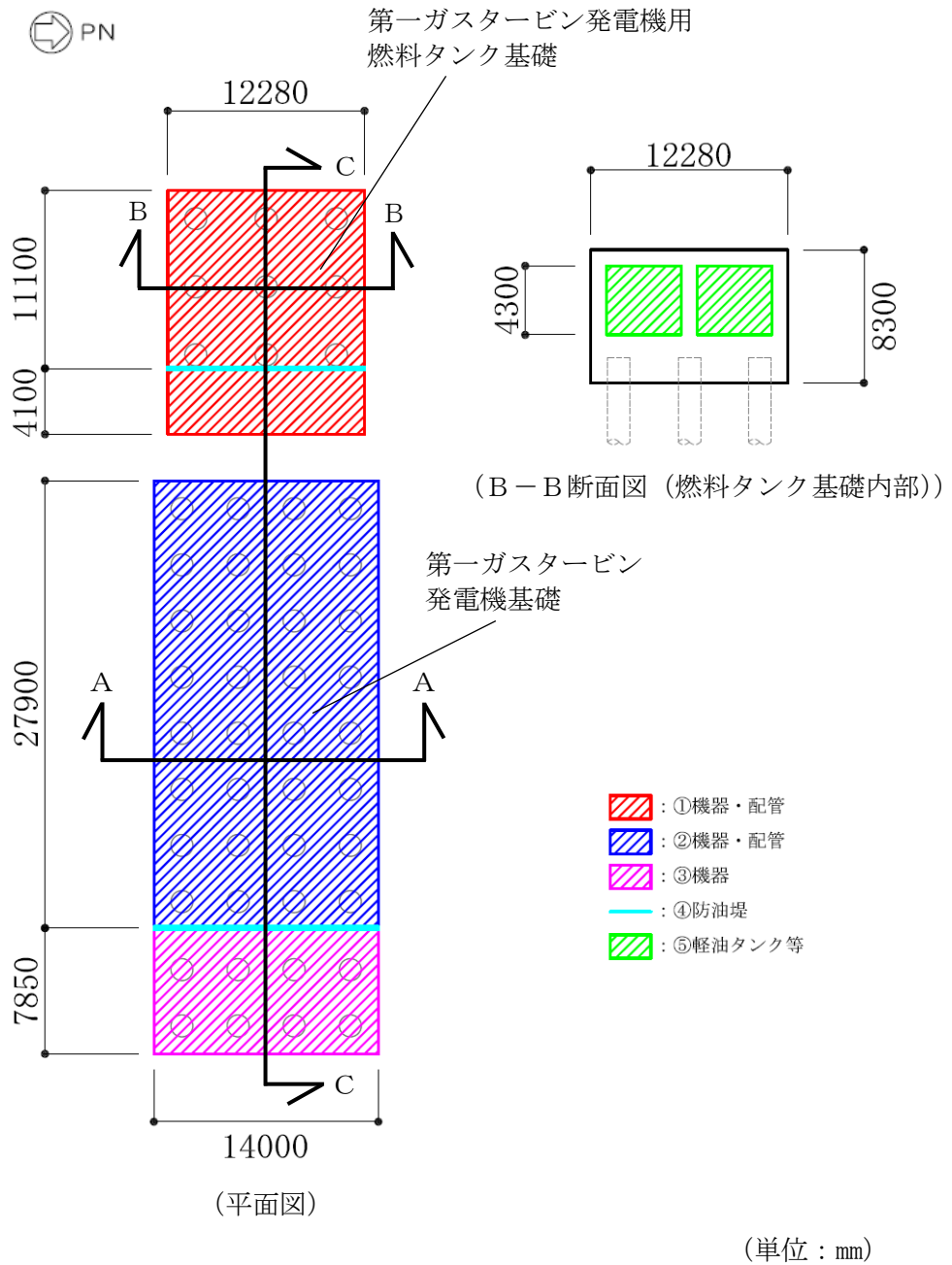


図 3-22 荷重を考慮する機器・配管系

表 3-7 荷重を考慮する機器・配管系

設備名称	質量	考慮する質量
①機器・配管 (燃料タンク基礎)	0.377t/m ²	<ul style="list-style-type: none"> ・機器 ・電路, ケーブル ・配管 ・ベースコンクリート
②機器・配管 (発電機基礎)	0.736t/m ²	<ul style="list-style-type: none"> ・機器 ・電路, ケーブル ・配管
③機器 (発電機基礎)	0.615t/m ²	<ul style="list-style-type: none"> ・機器 ・電路, ケーブル
④防油堤	0.092t/m	<ul style="list-style-type: none"> ・防油提躯体
⑤軽油タンク等 (燃料タンク基礎内部)	74t/基	<ul style="list-style-type: none"> ・軽油タンク (内包液含む)
	2.0t/m ³	<ul style="list-style-type: none"> ・乾燥砂
	2.45t/m ³	<ul style="list-style-type: none"> ・ベースコンクリート
	2.3t/m ³	<ul style="list-style-type: none"> ・均しコンクリート

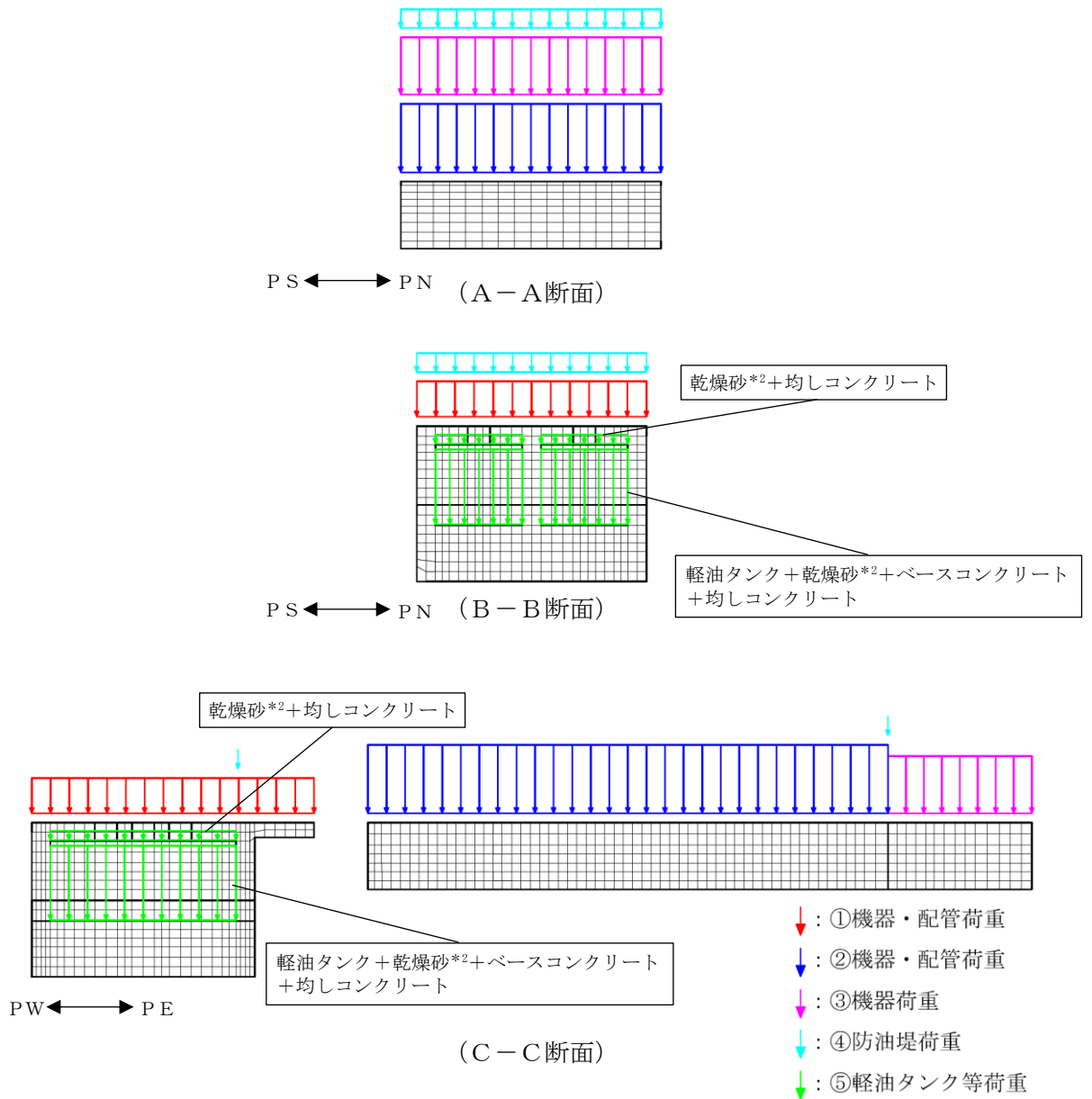


図 3-23 機器・配管荷重 (鉛直方向*1)

注記*1 : 水平方向にも同位置に載荷する。

*2 : 乾燥砂の水平荷重は、側壁及び隔壁に載荷する。

3.4.2 外水圧

地下水位は T.M.S.L. 8.0m として設定する。地下水の密度は、 1.00g/cm^3 とする。

3.4.3 雪荷重

雪荷重については、V-1-1-3「発電用原子炉施設の自然現象等による損傷の防止に関する説明書」のうち、V-1-1-3-1-1「発電用原子炉施設に対する自然現象等による損傷防止に関する基本方針」に従い、積雪厚さ 115.4cm、積雪厚さ 1cm あたりの荷重を $29.4\text{N/cm} \cdot \text{m}^2$ とし、積雪荷重を 3.39kN/m^2 として設定する。

3.5 地震応答解析の解析ケース

3.5.1 耐震評価における解析ケース

常設代替交流電源設備基礎は、第一ガスタービン発電機及び第一ガスタービン発電機用燃料タンクの間接支持機能が要求される杭基礎構造物であり、地震時における上位クラス機器の応答加速度及び構造物の変形は、地盤のせん断弾性係数に大きく依存する。したがって、耐震評価においてばらつきを考慮する物性値は、地盤のせん断変形を定義する初期せん断弾性係数 G_0 とする。

耐震評価における解析ケースを表 3-8 に示す。

地盤剛性のばらつきの影響を考慮するため、地表付近で地下水面をまたぐ地層（埋戻土及び新期砂層）のばらつきは、初期せん断弾性係数と有効拘束圧の関係から初期せん断弾性係数の標準偏差 σ を用いてせん断波速度のばらつきとして設定する。地下水以深の飽和土層（沖積層及び古安田層）のばらつきは、各地層のPS検層の結果から得られるせん断波速度の標準偏差 σ を求め、せん断波速度のばらつきとして設定する（解析ケース②，③，⑤）。

地盤の液状化強度特性は、代表性及び網羅性を踏まえた上で保守性を考慮し、液状化強度試験データの最小二乗法による回帰曲線と、その回帰係数の自由度を考慮した不偏分散に基づく標準偏差 σ を用いて、液状化強度特性を (-1σ) にて設定する（解析ケース①，②，③）。

また、構造物及び機器・配管系への応答加速度に対する保守的な配慮として、地盤の非液状化の条件を仮定した解析ケースを設定する（解析ケース④，⑤）。

上記の地盤剛性及び液状化強度特性の設定を組み合わせた解析ケース（①～⑤）を実施することにより、地盤物性のばらつきの影響を網羅的に考慮する。

耐震評価においては、全ての基準地震動 S_s に対して解析ケース①（基本ケース）で地震応答解析を実施し、鋼管杭及び基礎地盤の支持性能については得られた応答値から、鉄筋コンクリート部材については「4. 鉄筋コンクリート部材の解析」に示す3次元構造解析から照査値を算定する。また、解析ケース①において、曲げ軸力照査及びせん断力照査をはじめとした全ての評価項目について、各照査値が最も厳しい（許容限界に対する余裕が最も小さい）地震動を用い、追加解析ケースとして解析ケース②～⑤で地震応答解析を実施し、解析ケース①（基本ケース）と同様に照査値を算定する。最も厳しい地震動の選定は、照査値1.0に対して2倍の余裕となる照査値0.5以上を相対的に厳しい地震動の選定の目安として実施する。また、上記解析ケースの結果を踏まえ、さらに照査値が大きくなる可能性がある場合は、追加解析を実施する。

追加解析ケースを実施する地震動の選定フローを図 3-24 に示す。

表 3-8 耐震評価における解析ケース

解析ケース		①	②	③	④	⑤
		基本ケース	地盤物性のばらつき (+1σ) を考慮した解析ケース	地盤物性のばらつき (-1σ) を考慮した解析ケース	非液状化の条件を仮定した解析ケース	地盤物性のばらつき (+1σ) を考慮して非液状化の条件を仮定した解析ケース
地盤剛性の設定		地盤剛性 (平均値)	地盤剛性 (+1σ)	地盤剛性 (-1σ)	地盤剛性 (平均値)	地盤剛性 (+1σ)
液状化強度特性の設定		液状化強度特性 (-1σ)	液状化強度特性 (-1σ)	液状化強度特性 (-1σ)	液状化パラメータを非適用	液状化パラメータを非適用
地震動 (位相)	Ss-1	++*	実施			
		+ -*	実施			
		- +*	実施			
		--*	実施			
	Ss-2		実施			
	Ss-3	++*	実施			
		+ -*	実施			
		- +*	実施			
		--*	実施			
	Ss-4		実施			
	Ss-5		実施			
	Ss-6		実施			
	Ss-7		実施			
	Ss-8	++*	実施			
- +*		実施				

全ての基準地震動 S_s に対して実施する①の解析ケース (基本ケース) において、せん断力照査及び曲げ軸力照査をはじめとした全ての照査項目について、各照査値が最も厳しい (許容限界に対する余裕が最も小さい) 地震動を用い、②~⑤より追加解析ケースを実施する。また、上記解析ケースの結果を踏まえ、さらに照査値が大きくなる可能性がある場合は、追加解析を実施する。

注記* : 表中の符号+, -は地震動の位相 (水平, 鉛直) を示す。

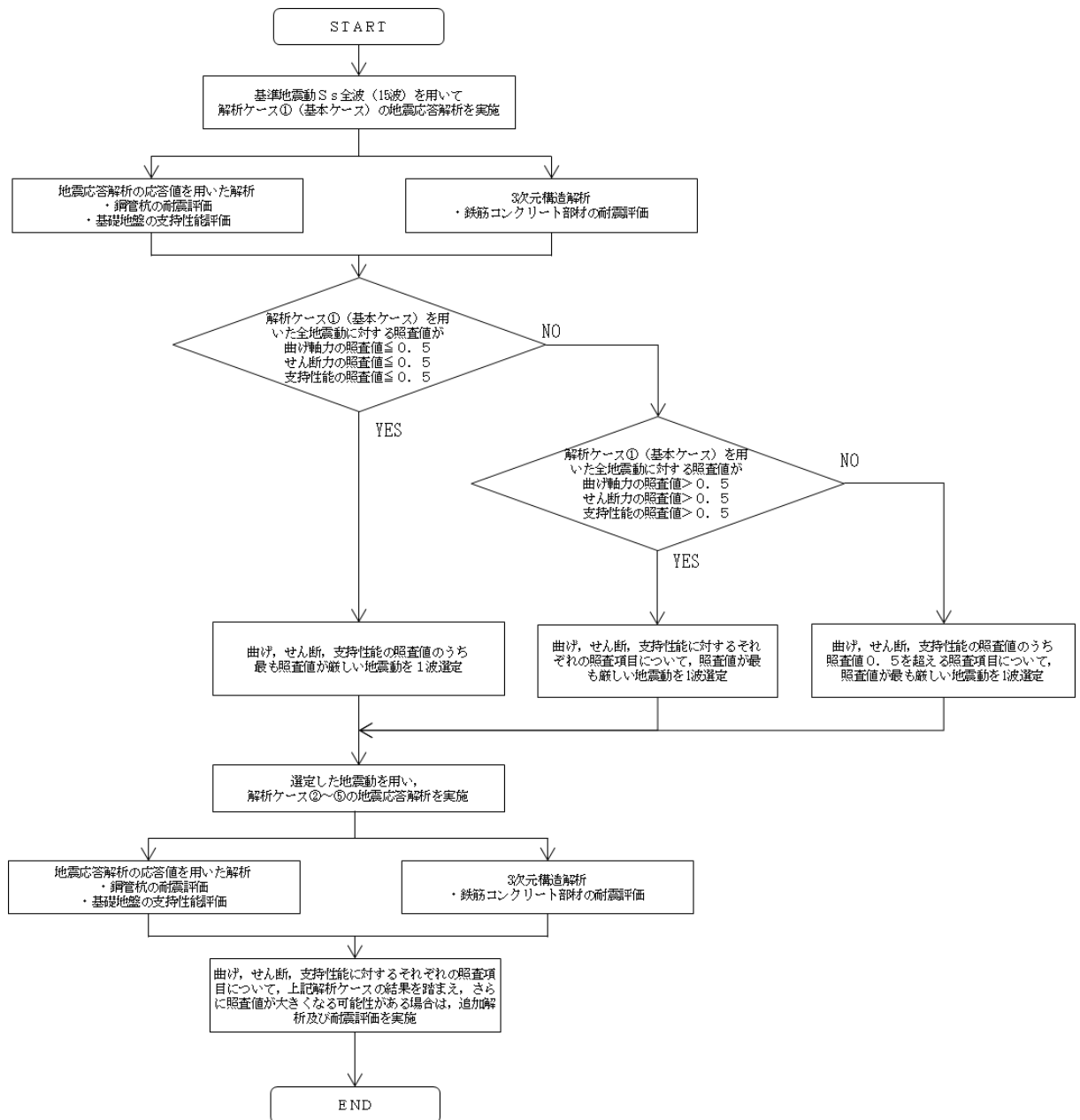


図 3-24 追加解析ケースを実施する地震動の選定フロー

3.5.2 機器・配管系に対する応答加速度及び応答変位抽出のための解析ケース

機器・配管系に対する応答加速度及び応答変位の抽出における解析ケースを表 3-9 に示す。

全ての基準地震動 S_s に対して、解析ケース③、④、⑤を実施する。機器・配管系に対する応答加速度及び応答変位抽出の基本ケースである解析ケース④に対し、応答加速度については、最も地盤が軟らかい条件となる解析ケース③及び最も地盤が固い条件となる解析ケース⑤を実施することで、地盤剛性のばらつき及び液状化の有無を網羅的に考慮する。

応答変位については、最も地盤が軟らかい条件となる解析ケース③を含んでいることから、変位を保守的に見込むことができる。

表 3-9 機器・配管系に対する応答加速度及び応答変位抽出のための解析ケース

解析ケース		③	④	⑤	
		地盤物性のばらつき (-1σ) を考慮した解析ケース	非液状化の条件を仮定した解析ケース	地盤物性のばらつき ($+1\sigma$) を考慮して非液状化の条件を仮定した解析ケース	
地盤剛性の設定		地盤剛性 (-1σ)	地盤剛性 (平均値)	地盤剛性 ($+1\sigma$)	
液状化強度特性の設定		液状化強度特性 (-1σ)	液状化パラメータを非適用	液状化パラメータを非適用	
地震動 (位相)	Ss-1	++	実施	実施	実施
		+-	実施	実施	実施
		-+	実施	実施	実施
		--	実施	実施	実施
	Ss-2		実施	実施	実施
	Ss-3	++	実施	実施	実施
		+-	実施	実施	実施
		-+	実施	実施	実施
		--	実施	実施	実施
	Ss-4		実施	実施	実施
	Ss-5		実施	実施	実施
	Ss-6		実施	実施	実施
	Ss-7		実施	実施	実施
	Ss-8	++	実施	実施	実施
		-+	実施	実施	実施

注記* : 表中の符号+, -は地震動の位相(水平, 鉛直)を示す。

4. 鉄筋コンクリート部材の解析

4.1 解析手法

常設代替交流電源設備基礎の鉄筋コンクリート部材（第一ガスタービン発電機基礎の基礎版及び第一ガスタービン発電機用燃料タンク基礎のピット）の評価は、鉄筋コンクリート部材を非線形積層シェル要素でモデル化し、水平 2 方向及び鉛直方向の荷重に対する評価を、3 次元構造解析を用いて行う。

鉄筋コンクリート部材に作用する荷重は、地震応答解析（2 次元動的有限要素法解析）において鉄筋コンクリート部材の評価に支配的な荷重が最大となる時刻を選定し、当該時刻における地震時応答から設定する。3 次元構造解析には、解析コード「Engineer's Studio Ver. 8.0.1」を用いる。

本検討で扱う非線形積層シェル要素は、断面高さ方向に分割された鉄筋コンクリート部材の各層に対し、前川モデルに基づく非線形性を考慮しており、これを断面高さ方向に積分することで、面内変形だけではなく面外変形の非線形挙動も考慮しているものである。

なお、前川モデルは新規制基準適合性審査において使用実績のある解析コード「WCOMD」に適用されている構成則であり、「コンクリート標準示方書〔設計編〕（土木学会，2012 年）」にも規定されている。

解析コードの検証及び妥当性確認の概要については、V-2 別紙「計算機プログラム（解析コード）の概要」に示す。

4.2 解析モデルの設定

4.2.1 鉄筋コンクリート部材のモデル化

(1) 第一ガスタービン発電機基礎

第一ガスタービン発電機基礎の基礎版は材料の非線形特性を考慮した非線形積層シェル要素で、杭は杭頭バネ要素でモデル化する。モデル概念図を図 4-1 に、要素分割図を図 4-2 に示す。非線形積層シェル要素は 16 層とし、主鉄筋の位置が層の中心となるよう上側、下側の鉄筋コンクリート要素を設定する。鉄筋コンクリート要素を除く範囲は、無筋コンクリート要素としてモデル化する。

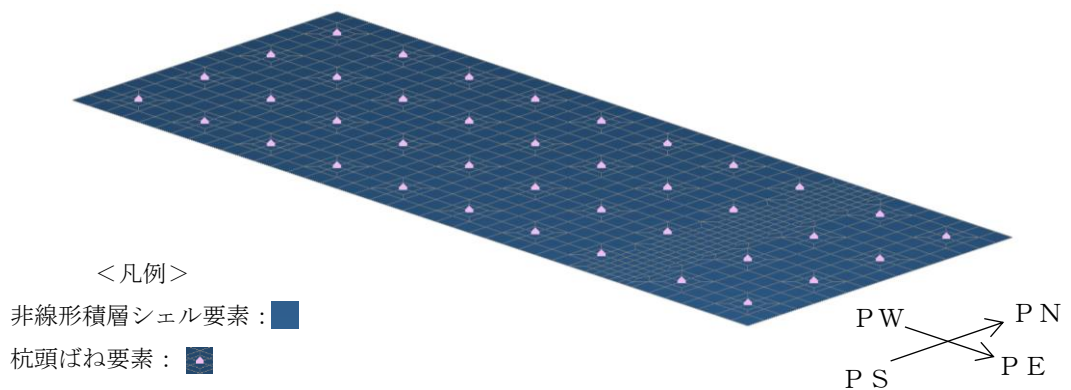


図 4-1 第一ガスタービン発電機基礎モデル概念図

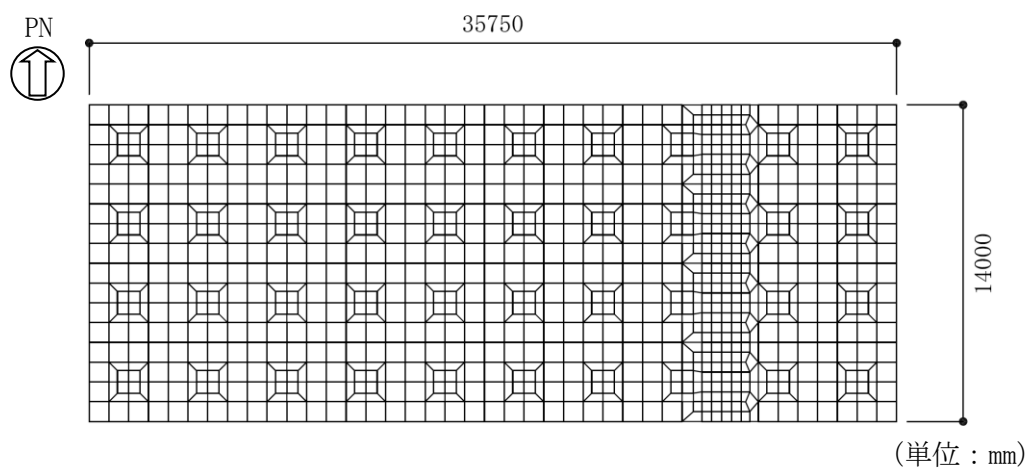


図 4-2 第一ガスタービン発電機基礎要素分割図

なお、第一ガスタービン発電機基礎を支持する鋼管杭は、道路橋示方書における方法Aによって基礎版と結合されており、基礎版中に杭頭部が1.9m根入れされている。そのため、基礎版の杭設置位置は、杭の外径を内接する要素を線形要素とし、照査対象から除外する。線形要素として設定する範囲を図4-3に示す。

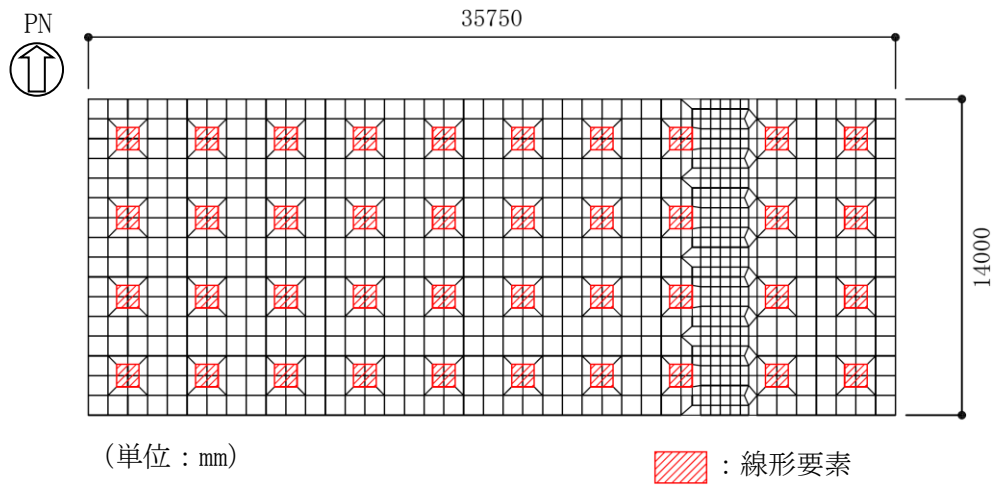
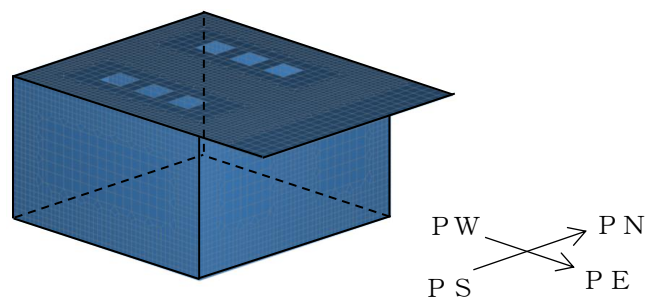


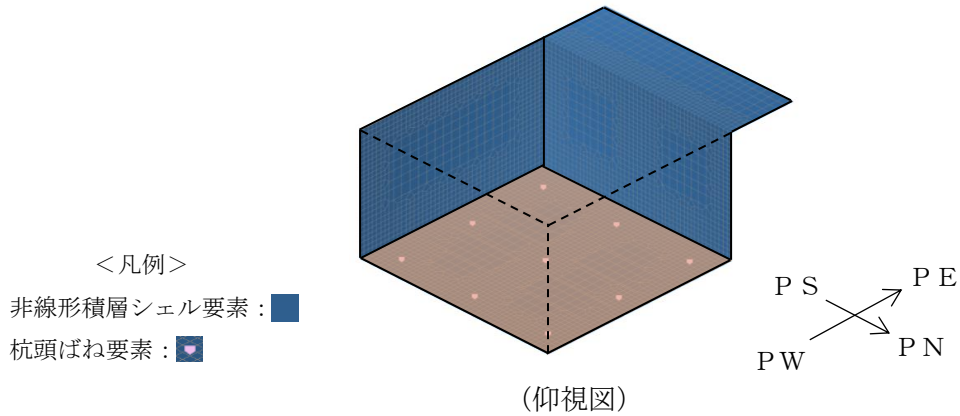
図4-3 第一ガスタービン発電機基礎 線形要素の設定範囲

(2) 第一ガスタービン発電機用燃料タンク基礎

第一ガスタービン発電機用燃料タンク基礎のピットは材料の非線形特性を考慮した非線形積層シェル要素で、杭は杭頭バネ要素でモデル化する。モデル概念図を図 4-4 に、要素分割図を図 4-5 に示す。非線形積層シェル要素は部材厚に応じて、底板は 15 層、張出部を 6 層、それ以外の部材は 7 層とし、主鉄筋の位置が層の中心となるよう上側、下側の鉄筋コンクリート要素を設定する。鉄筋コンクリート要素を除く範囲は、無筋コンクリート要素としてモデル化する。

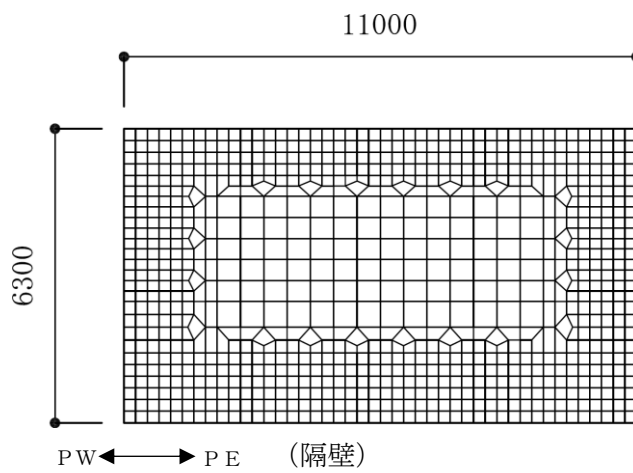
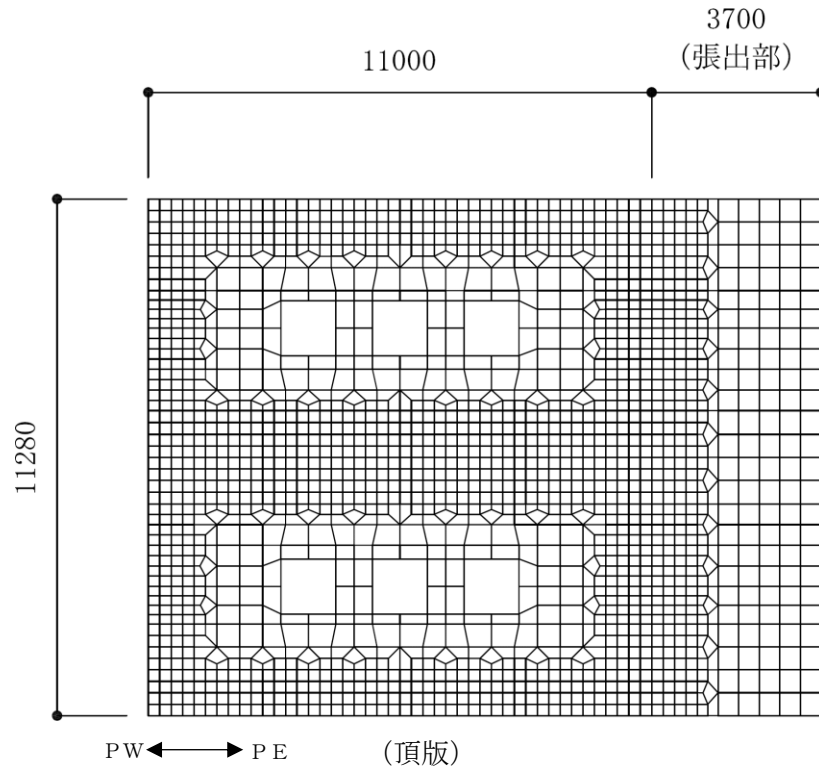
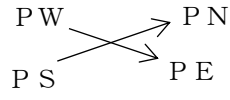
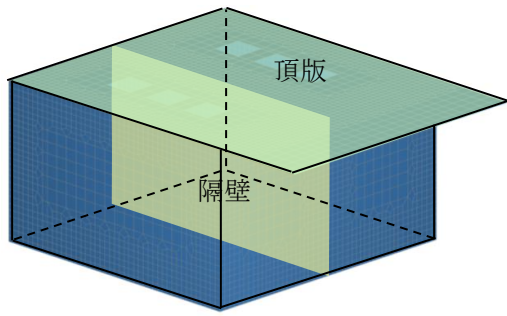


(俯瞰図)



(仰視図)

図 4-4 第一ガスタービン発電機用燃料タンク基礎モデル概念図



(単位：mm)

図 4-5 第一ガスタービン発電機用燃料タンク基礎要素分割図 (1/4)

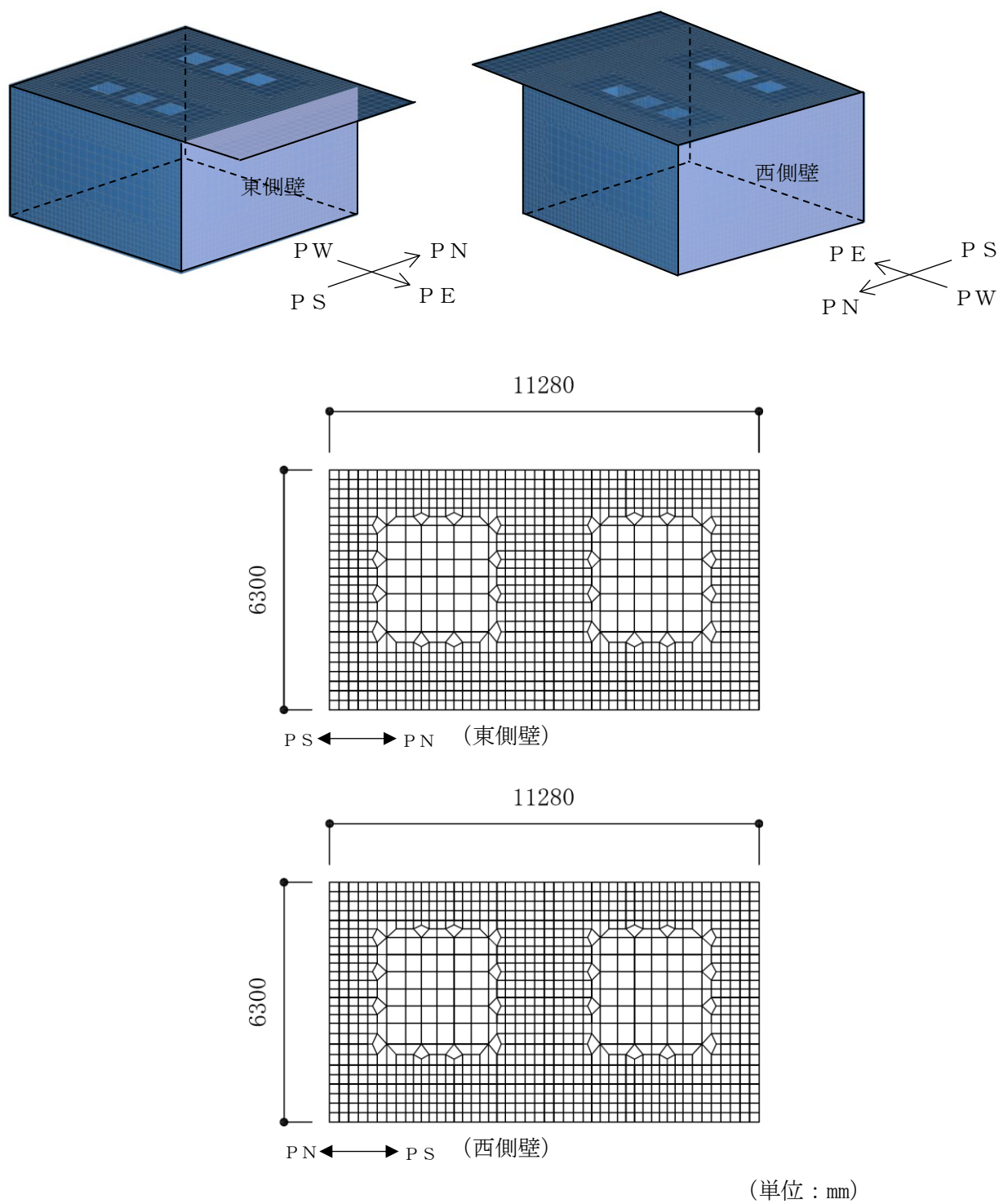
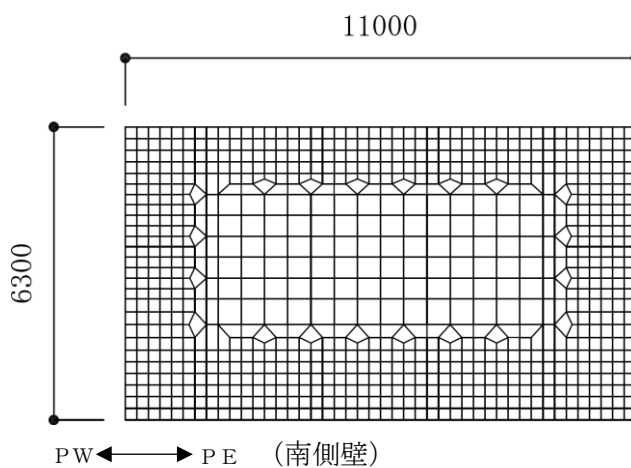
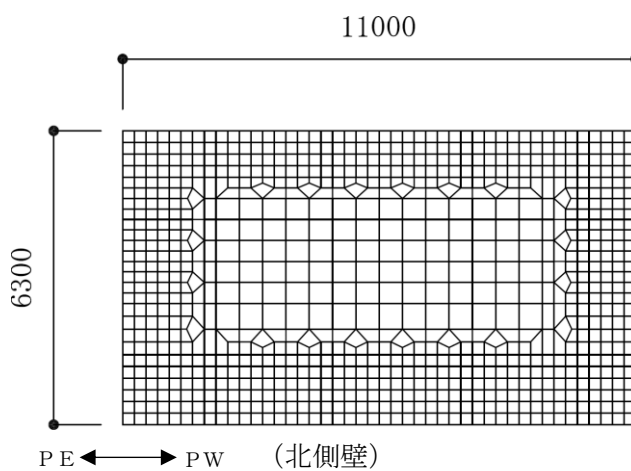
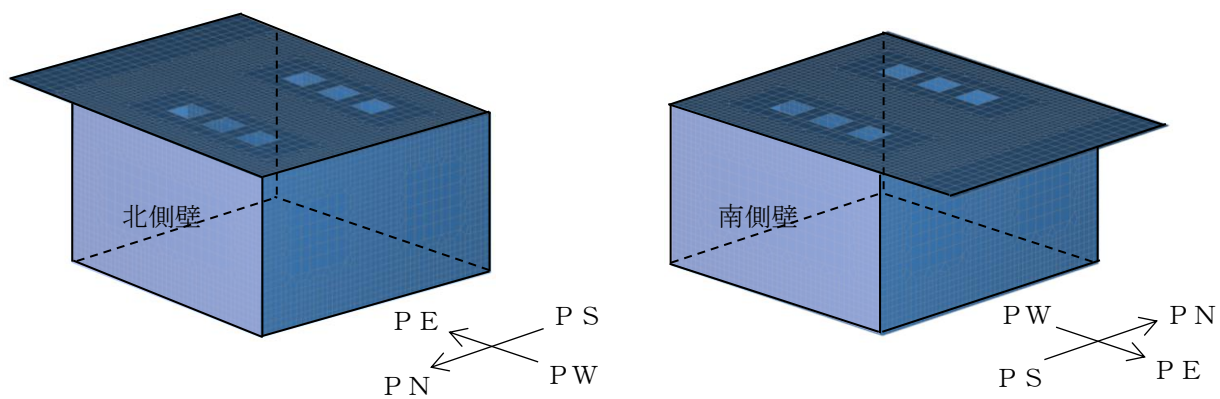


図 4-5 第一ガスタービン発電機用燃料タンク基礎要素分割図 (2/4)



(単位：mm)

図 4-5 第一ガスタービン発電機用燃料タンク基礎要素分割図 (3/4)

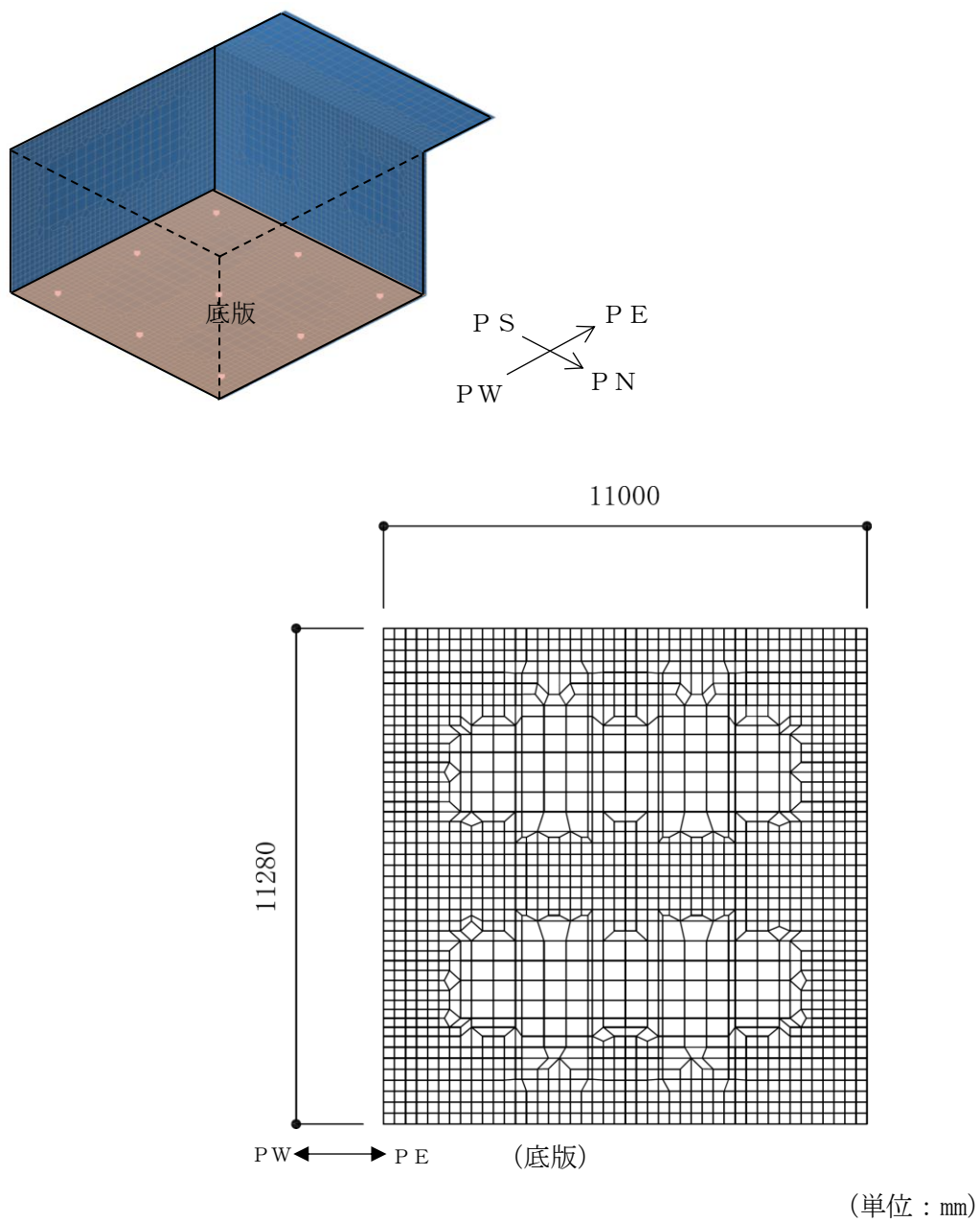


図 4-5 第一ガスタービン発電機用燃料タンク基礎要素分割図 (4/4)

一般に、3次元の解析モデルでは、2次元の地震応答解析モデルと同様の方法で剛域に大きな剛性を付与すると、フレームのような構造体だけで多くの荷重成分を受け持ち本来の構造躯体の特性を表現できない場合がある。これを避けるため、3次元構造解析モデルには剛域を設定しないことを基本とする。ただし、第一ガスタービン発電機用燃料タンク基礎については、底版の部材厚が他の部材と比較して相対的に厚いことを踏まえ、2次元の地震応答解析と同様に土木学会マニュアルに基づく剛域を設定する（図4-6参照）。

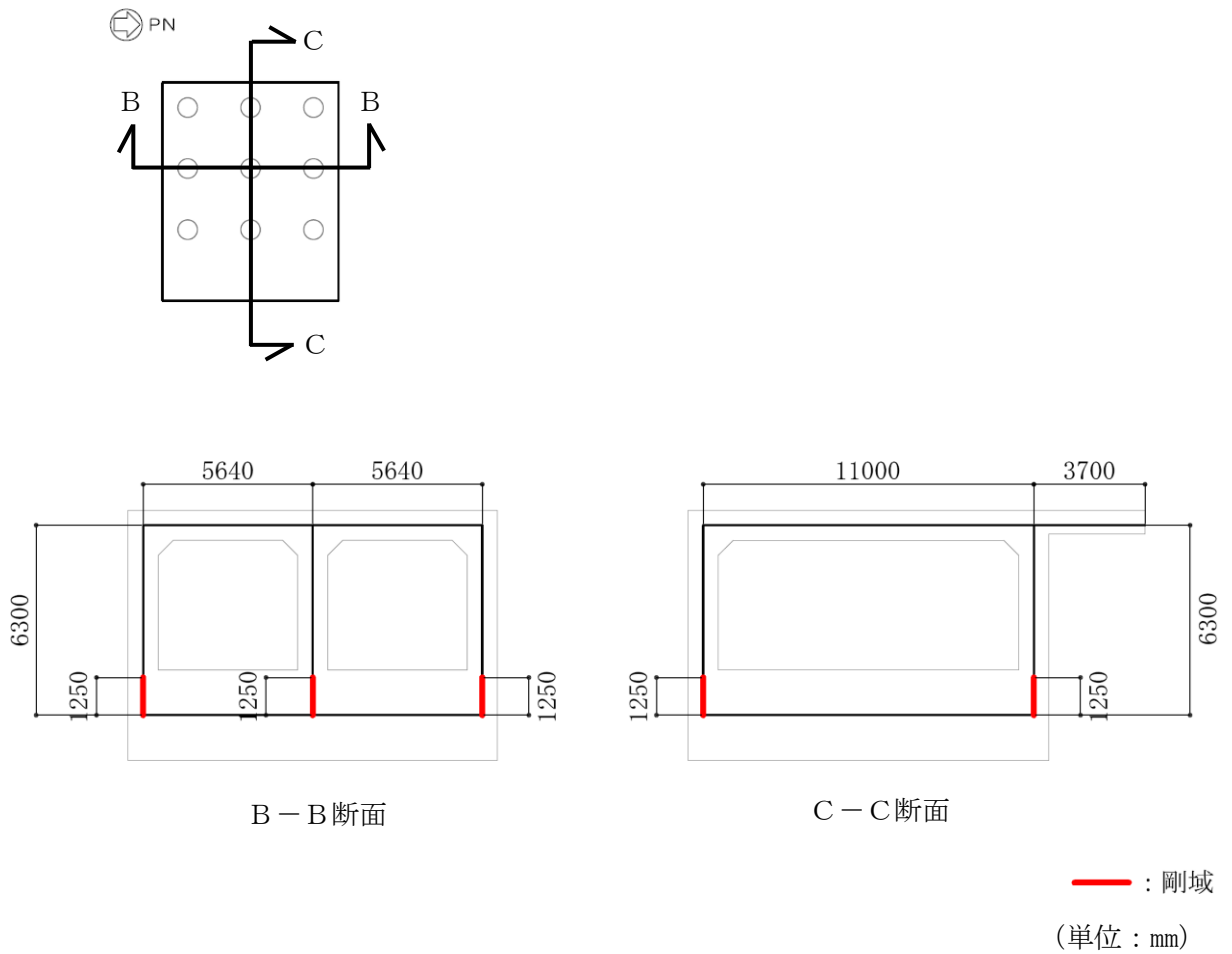


図 4-6 第一ガスタービン発電機用燃料タンク基礎 剛域設定範囲

なお、第一ガスタービン発電機用燃料タンク基礎を支持する鋼管杭は、道路橋示方書における方法Aによって底版と結合されており、底版中に杭頭部が1.6m根入れされている。そのため、第一ガスタービン発電機用燃料タンク基礎底版の杭設置位置は、杭の外径を内接する要素を線形要素とし、照査対象から除外する。線形要素として設定する範囲を図4-6に示す。

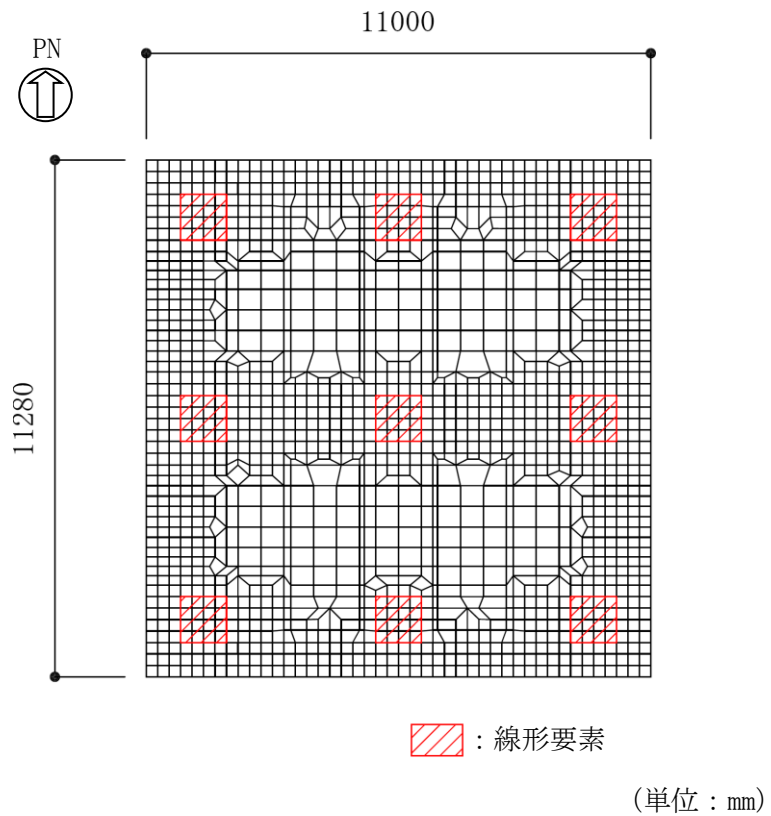


図 4-6 第一ガスタービン発電機用燃料タンク基礎 線形要素の設定範囲

4.2.2 材料の非線形特性

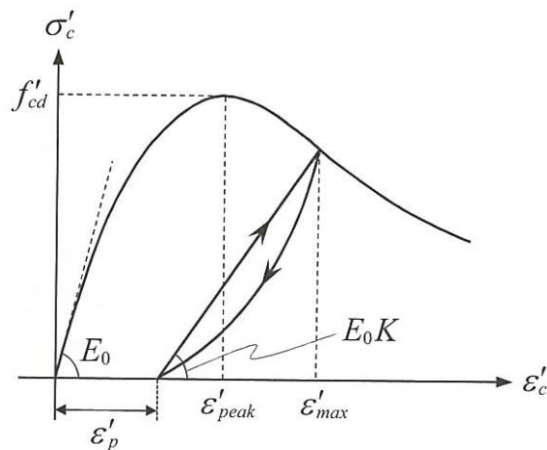
(1) コンクリート

a. 圧縮応力下における応力-ひずみ関係

図 4-7 に一軸圧縮応力下における応力-ひずみ関係を示す。

圧縮応力下の応力-ひずみの骨格曲線は、最大応力点までの硬化域と、最大応力点を越えた軟化域で表され、残留塑性ひずみと除荷再載荷時の剛性低下を考慮している。

また、ひび割れ発生後のコンクリートの圧縮強度については、図 4-8 に示す低減係数を破壊パラメータに乗じることで、ひび割れ発生後の圧縮強度の低下を考慮する。



$$\sigma'_c = E_0 K (\varepsilon'_c - \varepsilon'_p) \geq 0$$

$$E_0 = \frac{2 \cdot f'_{cd}}{\varepsilon'_{peak}}$$

$$K = \exp \left\{ -0.73 \frac{\varepsilon'_{max}}{\varepsilon'_{peak}} \left(1 - \exp \left(-1.25 \frac{\varepsilon'_{max}}{\varepsilon'_{peak}} \right) \right) \right\}$$

$$\varepsilon'_p = \varepsilon'_{max} - 2.86 \cdot \varepsilon'_{peak} \left\{ 1 - \exp \left(-0.35 \frac{\varepsilon'_{max}}{\varepsilon'_{peak}} \right) \right\}$$

ここに、 $f'_{cd} = f'_{ck} / \gamma_c$

ε'_{peak} : 圧縮強度に対応するひずみ (一般に、0.002 としてもよい)

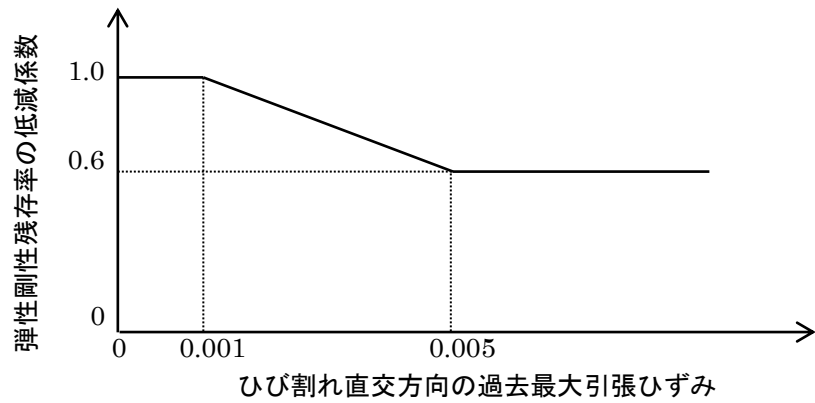
ε'_{max} : 過去に受けた圧縮ひずみの最大値

ε'_p : 塑性ひずみ

K : 弾性剛性残存率

(コンクリート標準示方書 [設計編] (土木学会, 2012 年) より引用)

図 4-7 圧縮応力下におけるコンクリートの非線形特性

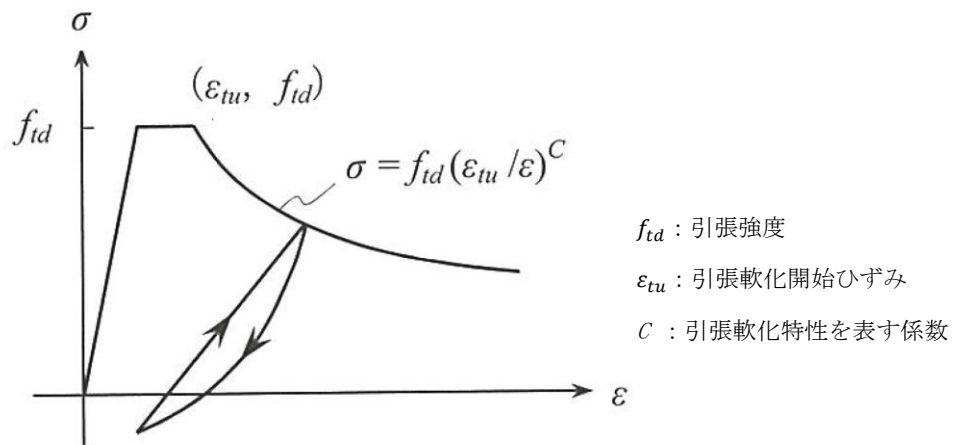


(コンクリート標準示方書〔設計編〕(土木学会, 2012年)より引用)

図 4-8 弾性剛性残存率の低減係数

b. 引張応力下における応力-ひずみ関係

引張応力下における応力-ひずみ関係は、ひび割れ発生までは線形弾性とし、ひび割れ強度以降は、鉄筋とコンクリートの付着の影響等を考慮し、図 4-9 に示す骨格曲線を用いて、ひび割れ間のコンクリートに引張応力分担を考慮する。



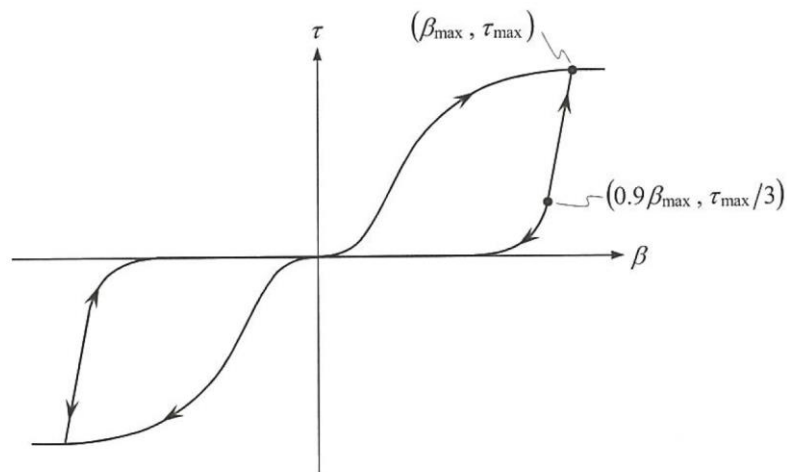
(コンクリート標準示方書〔設計編〕(土木学会, 2012年)より引用)

図 4-9 引張応力下における応力-ひずみ関係*

c. ひび割れ面でのせん断伝達関係

コンクリートのひび割れ発生後にひび割れ角度を固定する固定ひび割れモデルでは、ひび割れ面のずれによるせん断応力伝達特性を考慮する必要がある。

ひび割れ面でのせん断伝達挙動は、斜めひび割れの発生に伴う剛性低下や破壊を評価するため、図 4-10 に示すとおり、ひび割れ面におけるせん断ひずみ γ とひび割れ開口ひずみ ε の比をパラメータとし、コンクリートの剛性低下を考慮するモデルを用いる。



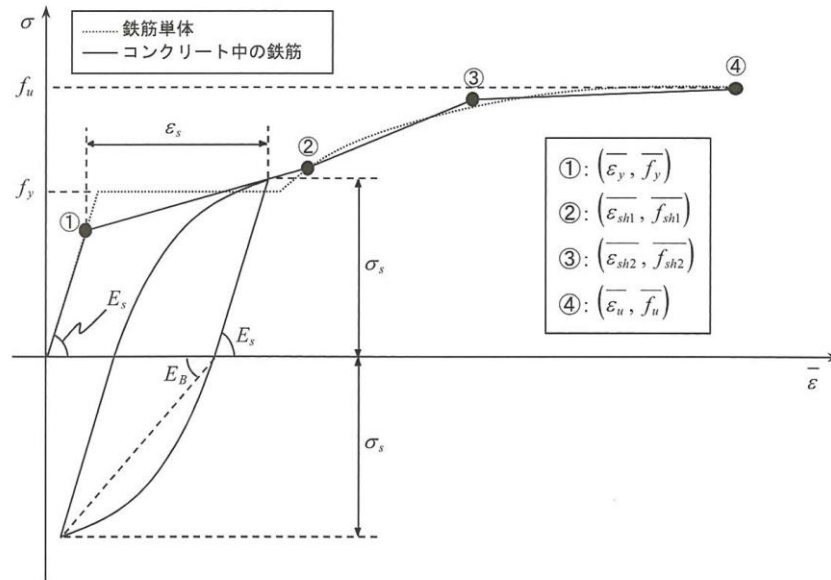
- β : ひび割れ面におけるせん断ひずみ γ とひび割れ開口ひずみ ε の比 (γ / ε)
- τ : ひび割れ面でのせん断応力
- τ_{max} : 除荷開始時せん断応力
- β_{max} : 除荷開始時せん断ひずみ γ とひび割れ開口ひずみ ε の比

(コンクリート標準示方書 [設計編] (土木学会, 2012 年) より引用)

図 4-10 ひび割れ面でのせん断伝達モデル

(2) 鉄筋

ひび割れを複数含む領域におけるコンクリート中の鉄筋の平均応力-平均ひずみ関係は、単体鉄筋の応力-ひずみ関係と異なり、図 4-11 に示すひずみ硬化特性を考慮する。



(コンクリート標準示方書〔設計編〕(土木学会, 2012年)より引用)

図 4-11 ひずみ硬化域までモデル化した鉄筋の平均応力-平均ひずみ関係

(3) 鉄筋コンクリートとしてのモデル化

コンクリートと鉄筋の界面の付着特性をテンションスティフニング効果(引張特性が硬化する現象)として、鉄筋コンクリート要素の中に取り込むことにより、鉄筋コンクリートの構成則を直接与える。

鉄筋コンクリートの引張応力下の平均応力は、以下の式*で表される。

$$\bar{\sigma}_{RC} = \frac{A_s}{A_{RC}} \bar{\sigma}_s + \frac{A_c}{A_{RC}} \bar{\sigma}_c$$

ここに、 $\bar{\sigma}_s$ 、 $\bar{\sigma}_c$: それぞれ鉄筋とコンクリートの平均応力

A_s 、 A_c : それぞれ鉄筋とコンクリートの断面積、 $A_{RC} = A_s + A_c$

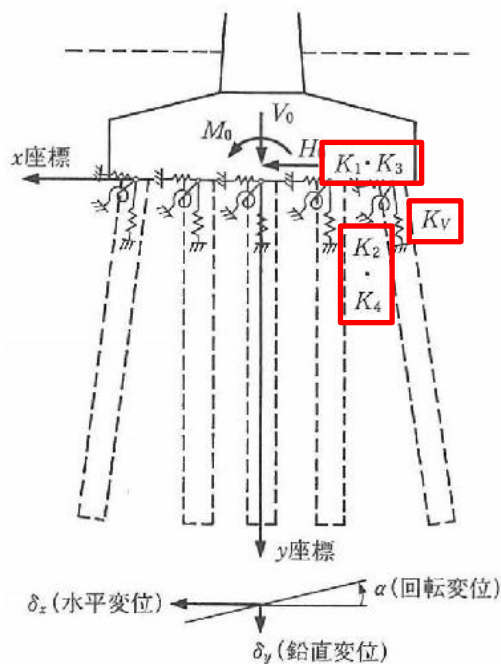
注記* : 土木学会マニュアルより引用

4.2.3 杭頭ばね要素の設定

杭頭ばね要素の剛性は、道路橋示方書に基づき算出する。設定する杭頭ばね要素の区分を表 4-1 に、概念図を図 4-12 に示す。

表 4-1 杭頭ばね要素の区分

名称	記号	区分	単位
軸方向ばね	K_v	杭軸方向のばね	kN/m
軸直角方向ばね	K_1	杭の法線方向ばね	kN/m
	K_2	杭の回転ばね	kN/rad
	K_3	杭の法線方向ばね (モーメント)	kNm/m
	K_4	杭の回転ばね (モーメント)	kNm/rad



(杭基礎設計便覧 (日本道路協会, 平成 19 年 1 月) より引用)

図 4-12 杭頭ばね要素の概念図

各杭頭ばね要素のばね定数は、以下のとおり算出する。

$$K_V = a \frac{A_p E_p}{L}$$

ここで、 K_V : 杭の軸方向ばね定数 (kN/m)

a : 適用する杭工法に応じて設定

$$a = 0.010 (L/D) + 0.36 \text{ (中掘り杭)}$$

A_p : 杭の純断面積 (mm²)

E_p : 杭のヤング係数 (kN/mm²)

L : 杭長 (m)

D : 杭径 (m)

$$K_1 = \frac{12E I \beta^3}{(1 + \beta h)^3 + 2}$$

$$K_2 = K_3 = K_1 \frac{\lambda}{2}$$

$$K_4 = \frac{4E I \beta (1 + \beta h)^3 + 0.5}{1 + \beta h (1 + \beta h)^3 + 2}$$

ここで、 β : 杭の特性値 $\beta = \sqrt[4]{\frac{\kappa_H D}{4E I}} \text{ (m}^{-1}\text{)}$

λ : $h + \frac{1}{\beta}$

κ_H : 水平方向地盤反力係数 (kN/m³)

D : 杭径 (m)

$E I$: 杭の曲げ剛性 (kNm²)

h : 設計上の地盤面から上の杭の杭軸方向の長さ (m)

4.3 照査時刻の選定

4.3.1 第一ガスタービン発電機基礎

第一ガスタービン発電機基礎は第一ガスタービン発電機を間接支持する版状の構造物であり、面外方向の変形による損傷が想定されることから、照査時刻は下向きの慣性力最大時とする。なお、照査時刻選定の妥当性については（参考資料3）に示す。

4.3.2 第一ガスタービン発電機用燃料タンク基礎

第一ガスタービン発電機用燃料タンク基礎は、第一ガスタービン発電機用燃料タンクを間接支持する箱型の地中構造物であり、地中の土水圧に起因する妻壁の面内せん断応力や、側壁に作用する土水圧による損傷が想定されることから、照査時刻は妻壁の面内せん断応力最大時及び側壁に作用する土水圧最大時とする。なお、照査時刻選定の妥当性については（参考資料3）に示す。

一方、壁部材に対する面内せん断照査は、面内せん断力が最大となる解析ケース及び時刻として、妻壁に生じる応力の観点から、地震応答解析を実施した全解析ケースにおいて妻壁の面内せん断応力が最大の解析ケース及び時刻を、妻壁に生じる変形の観点から、地震応答解析を実施した全解析ケースにおいて妻壁の層間変位が最大となる解析ケース及び時刻をそれぞれ選定し、照査を行う。

4.4 入力荷重

3次元構造解析の入力荷重は、「4.3 照査時刻の選定」にて選定した照査時刻に対し、地震応答解析から同時刻における水平2方向及び鉛直方向の地震時応答を抽出し、算定する。NS方向の地震時応答はA-A断面及びB-B断面から、EW方向の地震時応答はC-C断面から抽出する。鉛直方向の地震時応答は、各断面からそれぞれ抽出される地震時応答のうち、より大きい方を使用する。

入力荷重の一覧を表4-2に、各荷重の算定フローを図4-8に示す。

表 4-2 入力荷重一覧

入力荷重		地震応答解析から抽出する地震時応答	載荷位置
慣性力	機器・配管の慣性力	応答加速度	設置位置
	躯体の慣性力	応答加速度	躯体全体
	積雪の慣性力	応答加速度	躯体上面
土圧及び水圧		土圧・水圧	躯体側面

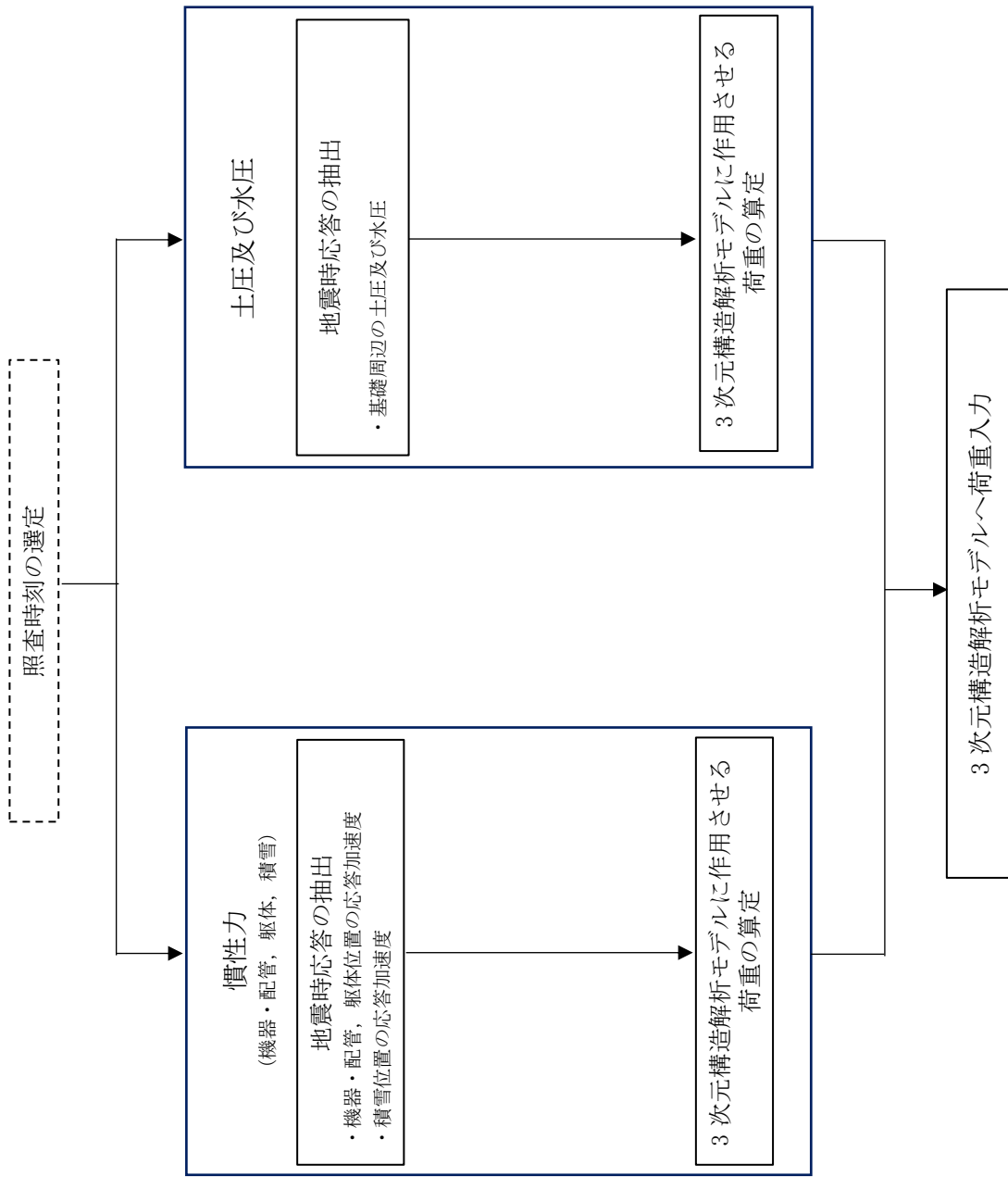


図 4-13 各入力荷重の算定フロー

4.4.1 機器・配管の慣性力

機器・配管の慣性力は、地震応答解析モデルにおける鉄筋コンクリート部材位置にあたる全節点の、照査時刻における応答加速度の平均値から算定する。応答加速度抽出位置を図 4-14 に示す。NS 方向の加速度については A-A 断面及び B-B 断面の鉄筋コンクリート部材位置にあたる全節点を、EW 方向の加速度については C-C 断面の鉄筋コンクリート部材位置にあたる全節点を加速度抽出位置とする。

鉛直方向については、各断面におけるそれぞれの加速度抽出範囲の平均加速度のうち、より大きい方を使用して慣性力を算定する。

算定した慣性力は、図 4-15 の概略図に示すとおり、解析モデルに入力する。

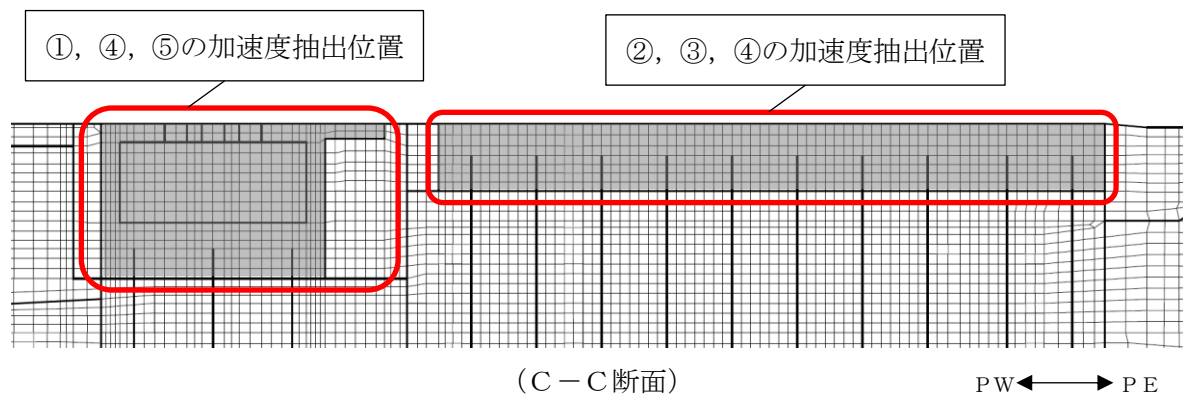
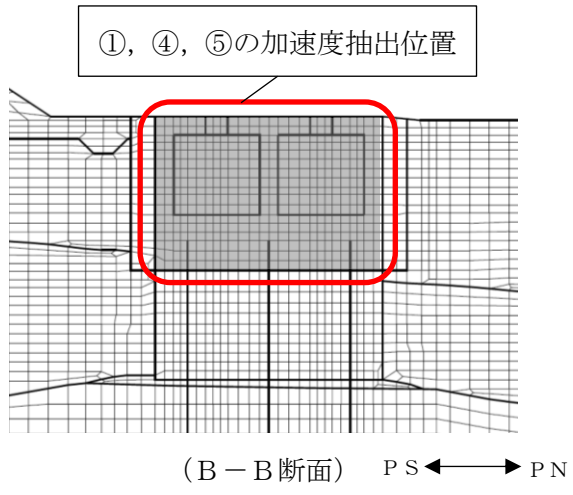
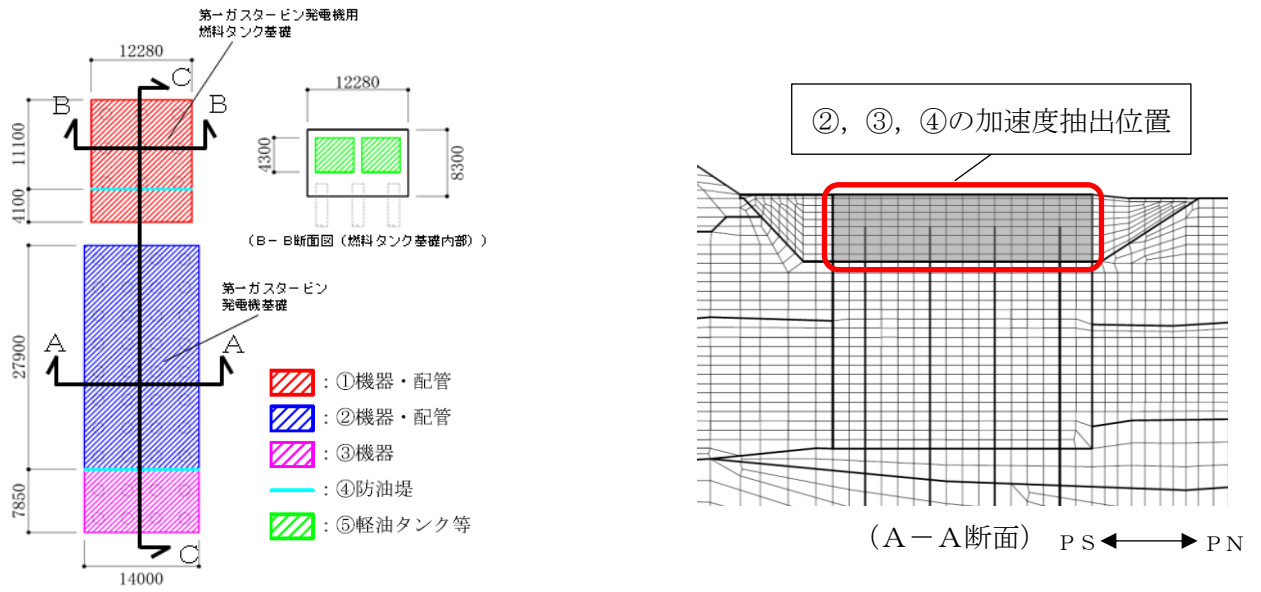
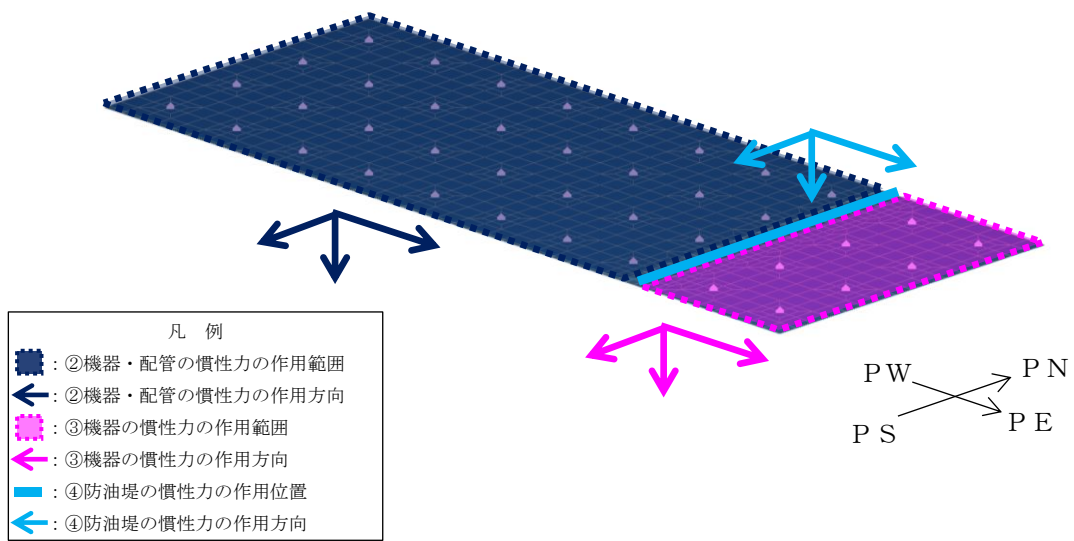
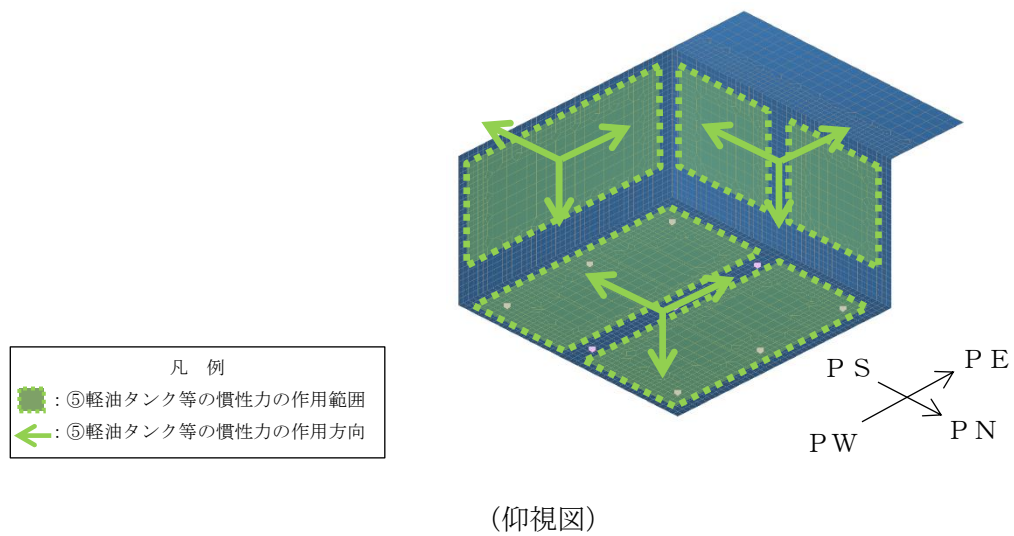
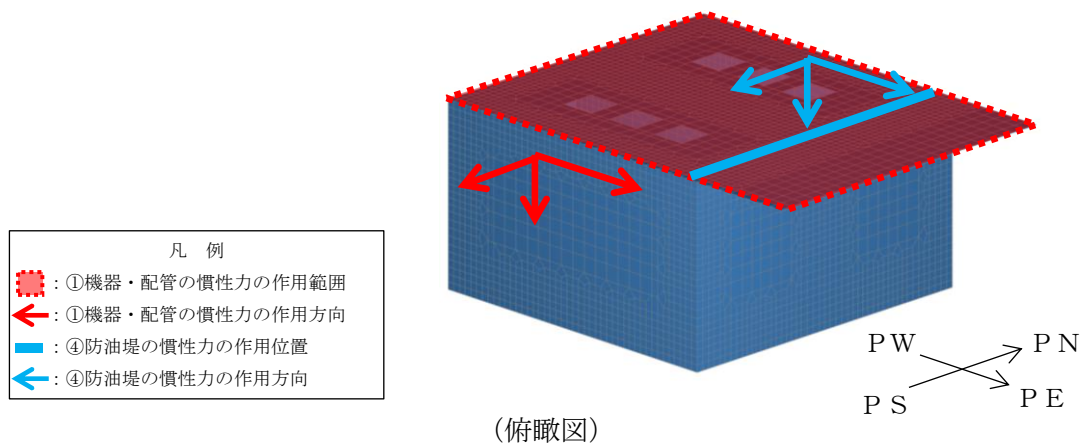


図 4-14 加速度抽出位置



(a) 第一ガスタービン発電機基礎



(b) 第一ガスタービン発電機用燃料タンク基礎

図 4-15 機器・配管の慣性力の概略図

4.4.2 躯体の慣性力

躯体の慣性力は、地震応答解析モデルにおける鉄筋コンクリート部材位置にあたる全節点の、照査時刻における応答加速度の平均値から算定する。加速度抽出位置を図 4-16 に示す。NS 方向の加速度については A-A 断面及び B-B 断面の鉄筋コンクリート部材位置にあたる全節点を、EW 方向の加速度については C-C 断面の鉄筋コンクリート部材位置にあたる全節点を加速度抽出位置とする。

鉛直方向の加速度については、各断面における加速度抽出範囲の平均加速度のうち、より大きい方を使用して慣性力を算定する。

算定した慣性力は、図 4-17 の概略図に示すとおり、解析モデルに入力する。

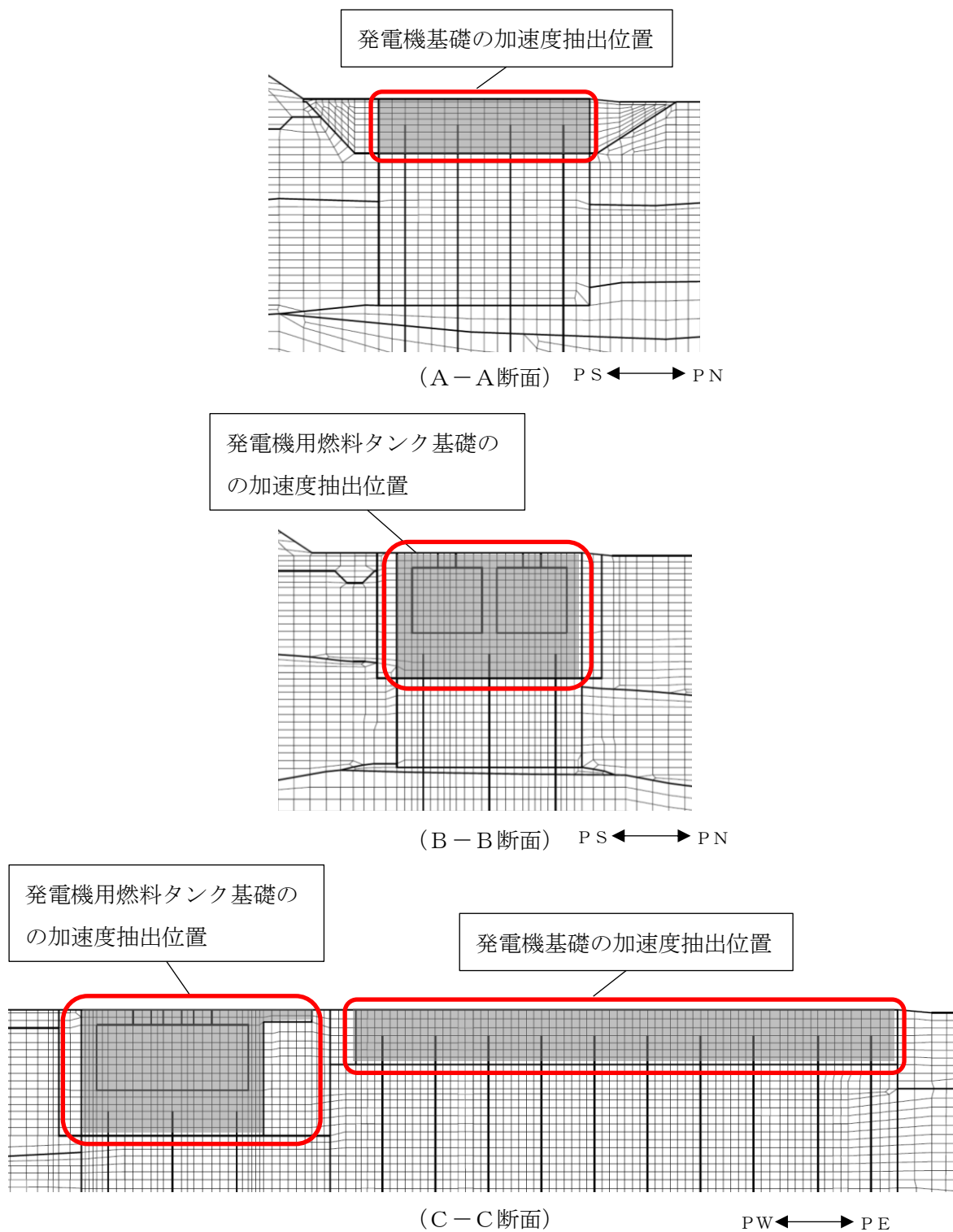
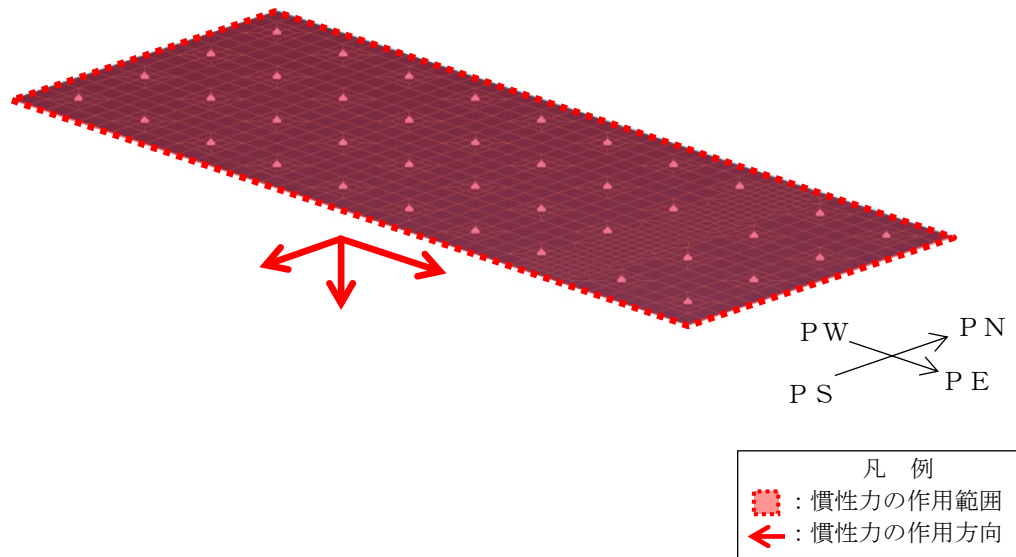
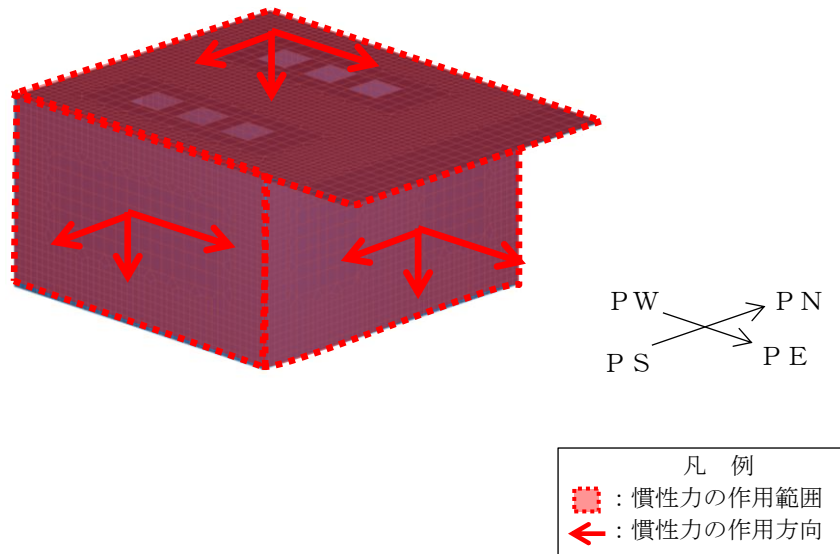


図 4-16 加速度抽出位置



(a) 第一ガスタービン発電機基礎



(b) 第一ガスタービン発電機用燃料タンク基礎

図 4-17 躯体の慣性力の概略図

4.4.3 積雪の慣性力

積雪の慣性力は、地震応答解析モデルにおける鉄筋コンクリート部材位置にあたる全節点の、照査時刻における応答加速度の平均値から算定する。加速度抽出位置を図 4-18 に示す。NS 方向の加速度については A-A 断面及び B-B 断面の鉄筋コンクリート部材位置にあたる全節点を、EW 方向の加速度については C-C 断面の鉄筋コンクリート部材位置にあたる全節点を加速度抽出位置とする。

鉛直方向については、各断面における加速度抽出範囲の平均加速度のうち、より大きい方を使用して慣性力を算定する。

算定した慣性力は、図 4-19 の概略図に示すとおり、解析モデルに入力する。

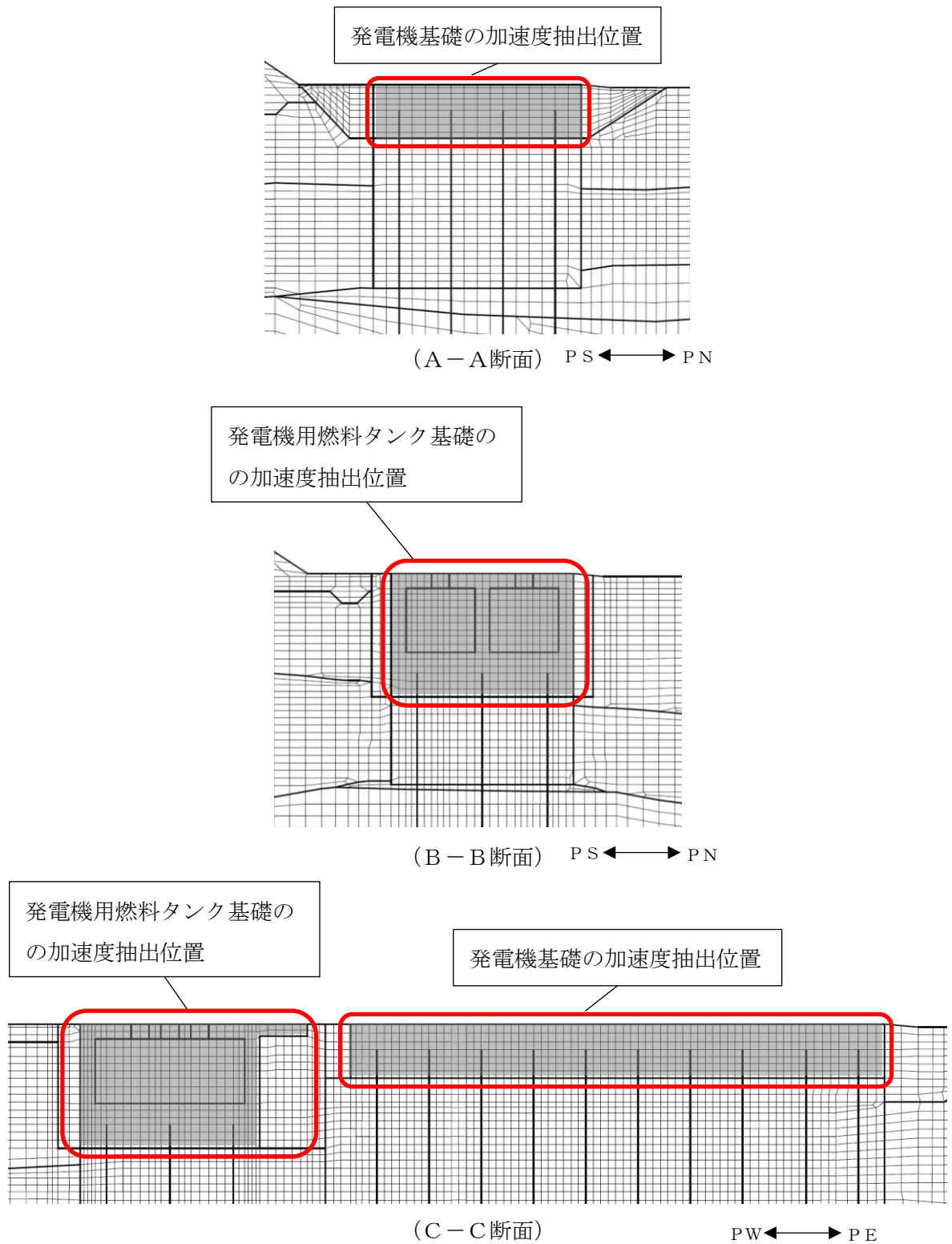
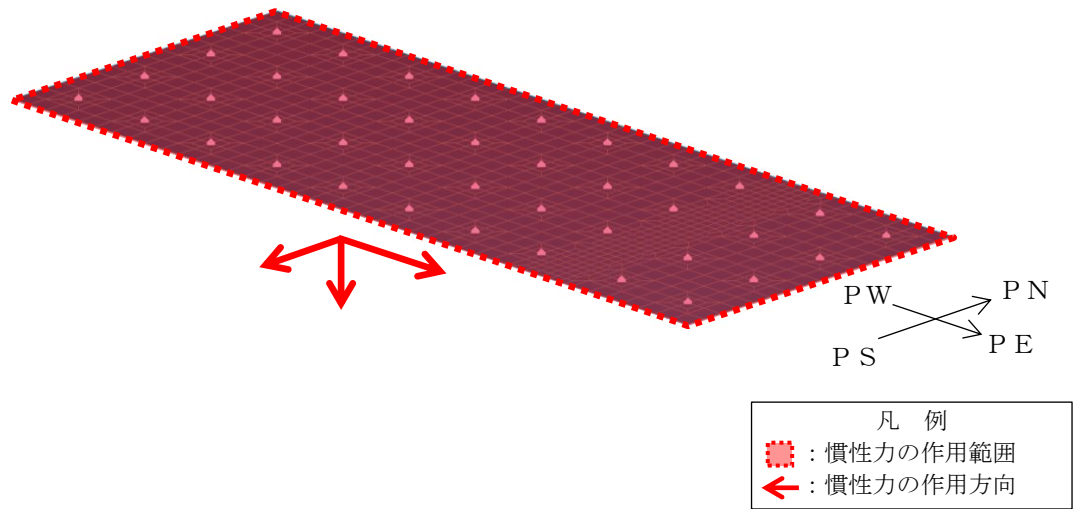
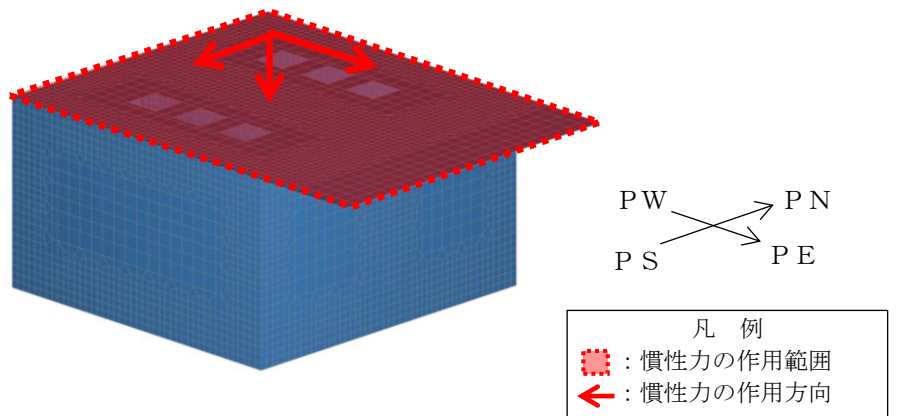


図 4-18 加速度抽出位置



(a) 第一ガスタービン発電機基礎



(b) 第一ガスタービン発電機用燃料タンク基礎

図 4-19 積雪の慣性力の概略図

4.4.4 土圧及び水圧

鉄筋コンクリート部材の側面に作用する土圧及び水圧は、地震応答解析モデルにおける鉄筋コンクリート部材の側面及び底面に接する地盤要素及び間隙水要素の、照査時刻における要素応力から算定する。また、第一ガスタービン発電機用燃料タンク基礎の底面には常時分の水圧を作用させる。土圧及び水圧の抽出位置を図 4-20 に示す。

算定した土圧及び水圧は図 4-21 の概略図に示すとおり、解析モデルに入力する。

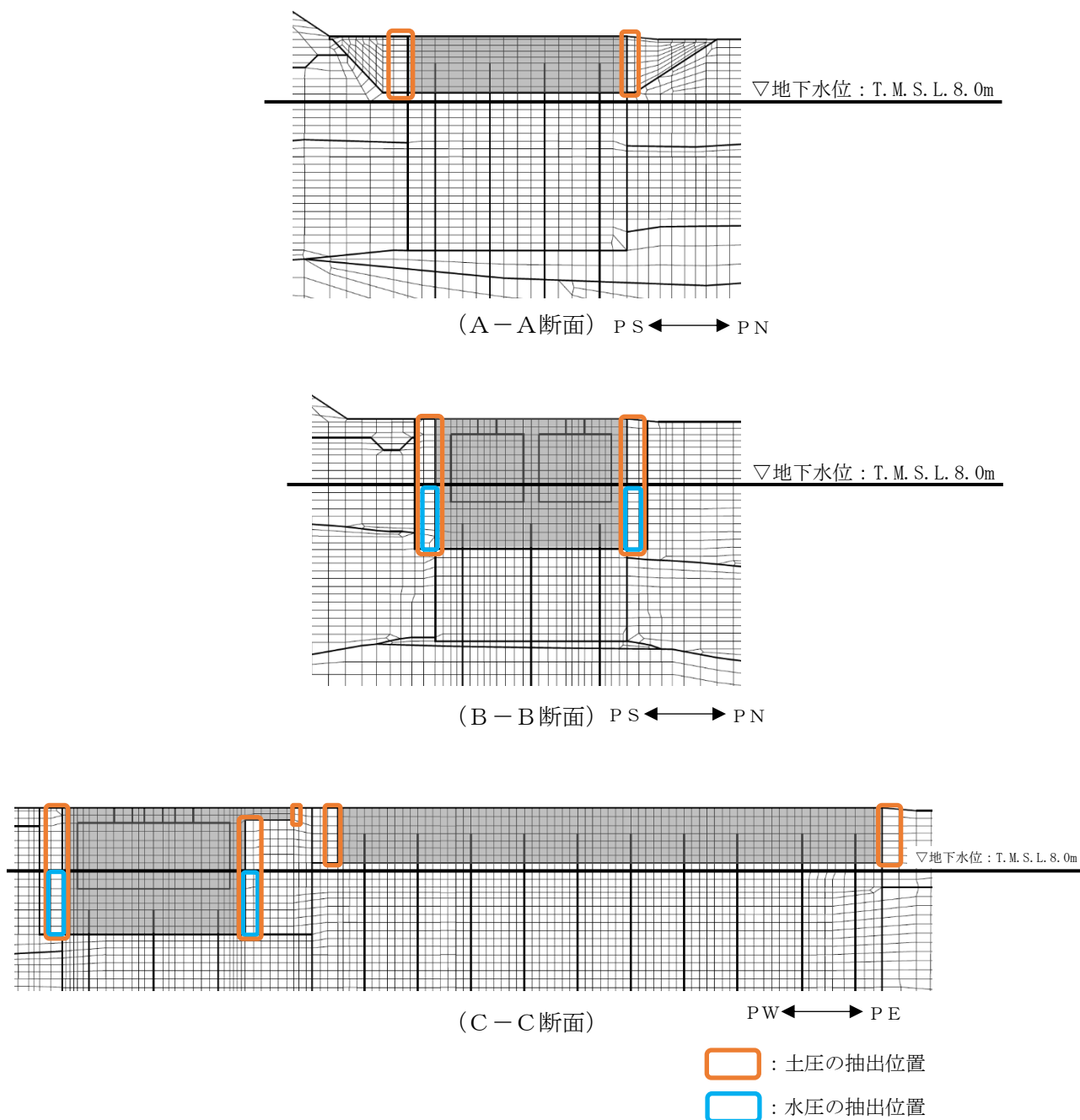
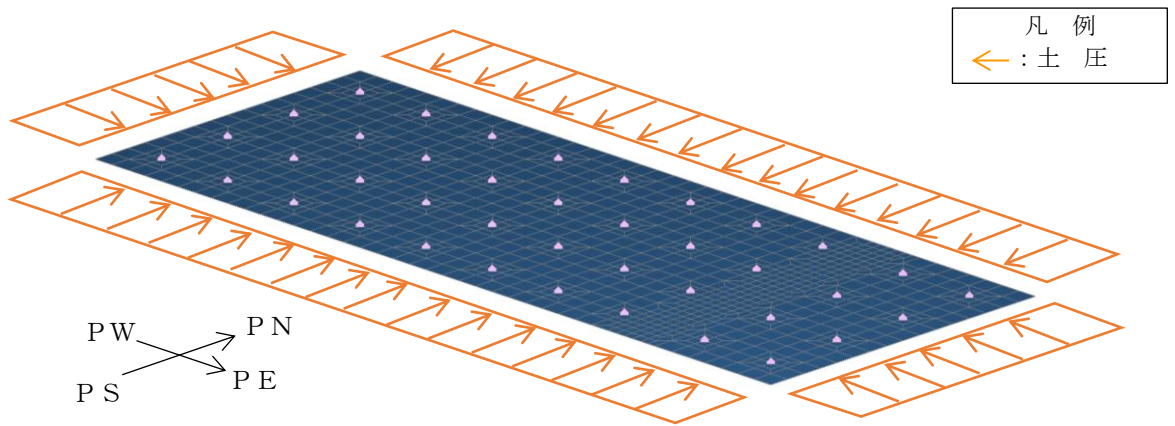
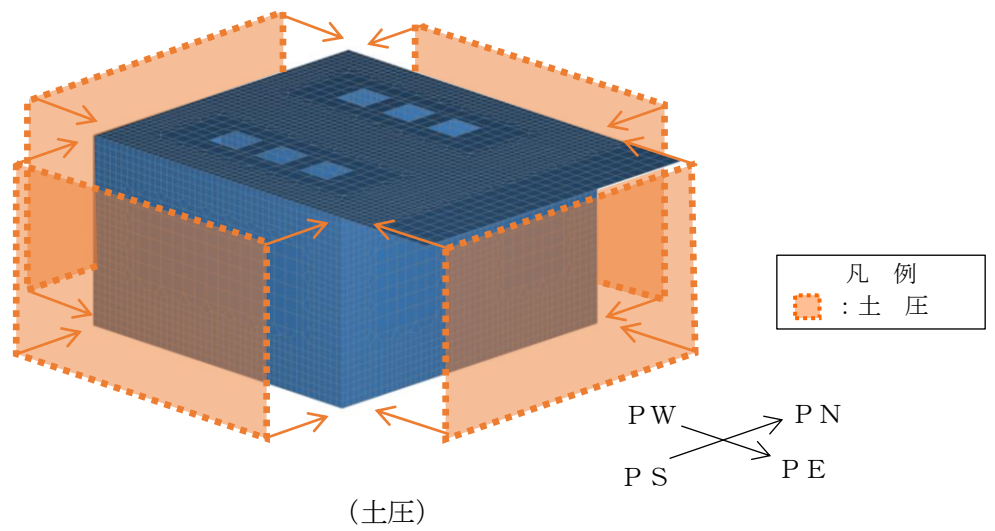


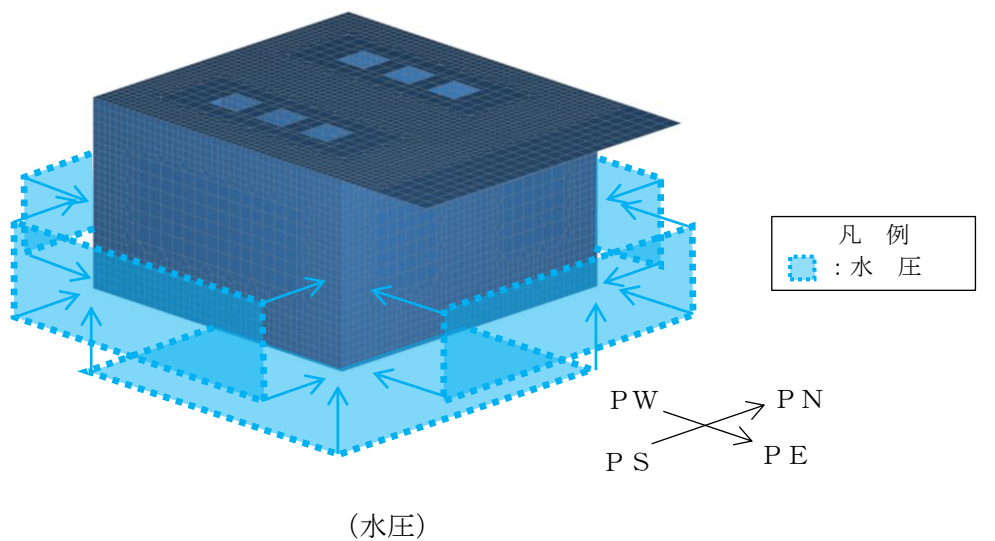
図 4-20 躯体側面の土圧及び水圧の抽出位置



(a) 第一ガスタービン発電機基礎



(土圧)



(水圧)

(b) 第一ガスタービン発電機用燃料タンク基礎

図 4-21 鉄筋コンクリート部材の土圧及び水圧の概略図

5. 評価内容

5.1 入力地震動の設定

地震応答解析に用いる入力地震動は、解放基盤表面で定義される基準地震動 S_s を 1 次元波動論により地震応答解析モデルの底面位置で評価したものをを用いる。入力地震動の設定においては、V-2-1-3「地盤の支持性能に係る基本方針」に示す地下構造モデルとし、原子炉建屋と同様のものをを用いる。

入力地震動算定の概念図を図 5-1 に、入力地震動の加速度時刻歴波形と加速度応答スペクトルを図 5-2～図 5-27 に示す。入力地震動の算定には解析コード「S L O K Ver. 2.0」を使用する。

なお、基準地震動 S_s のうち特定の方向性を有しない地震動については、位相を反転させた場合の影響も確認する。

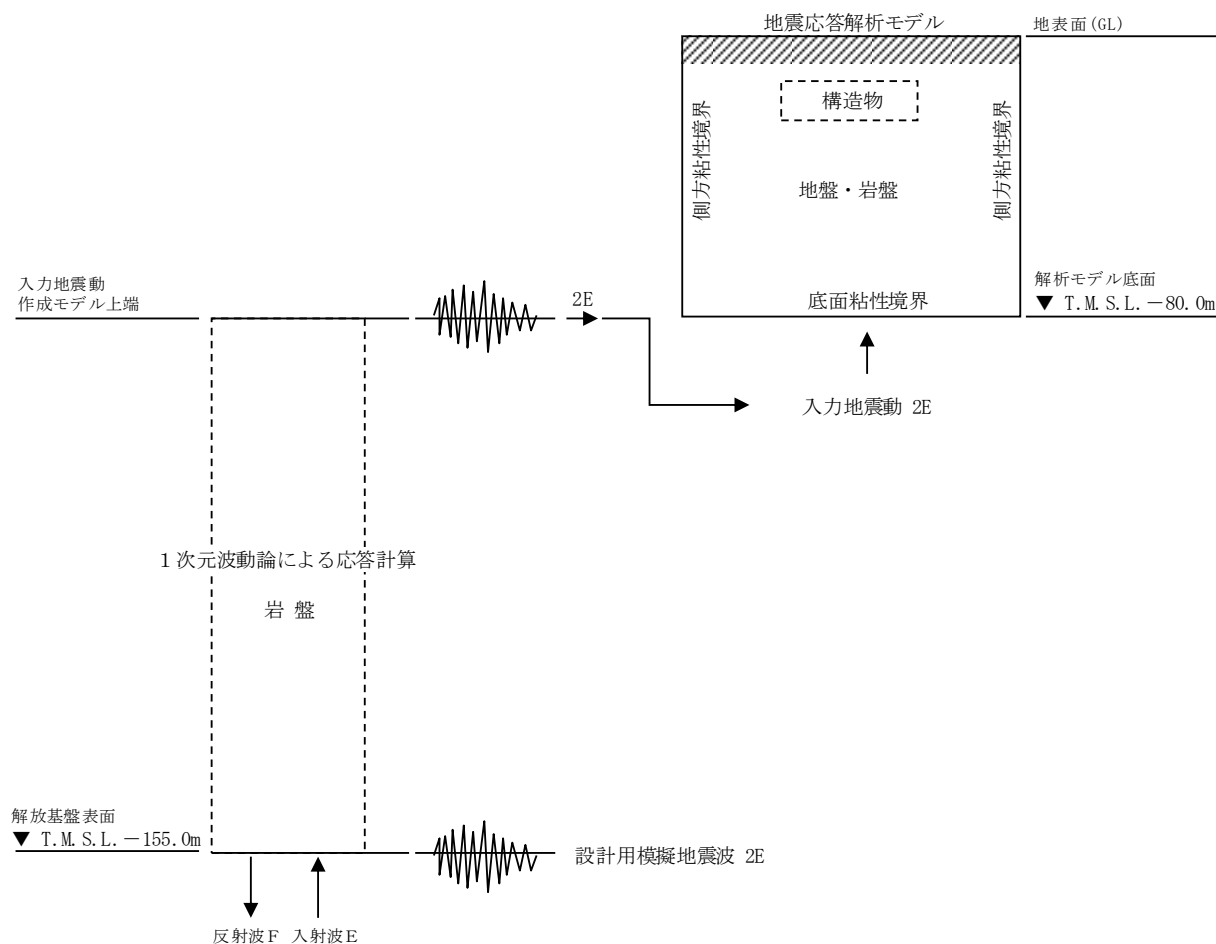
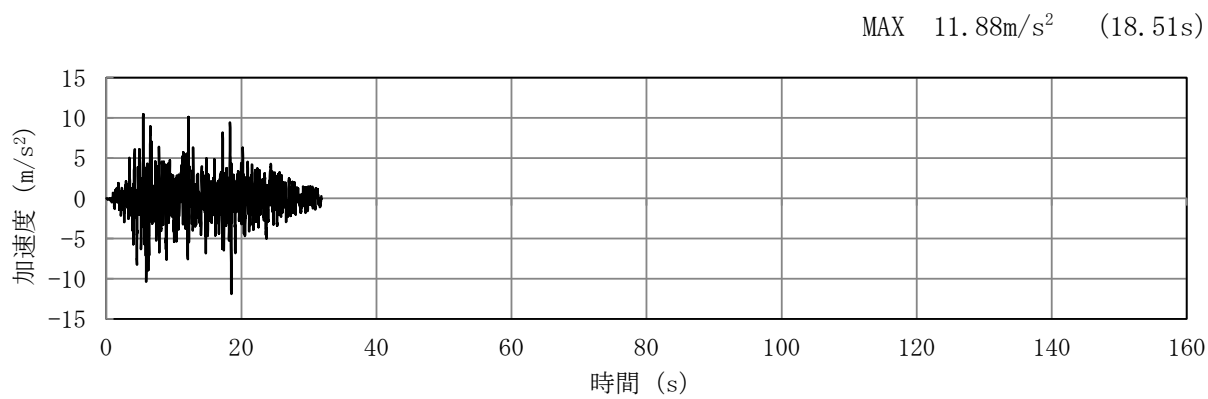
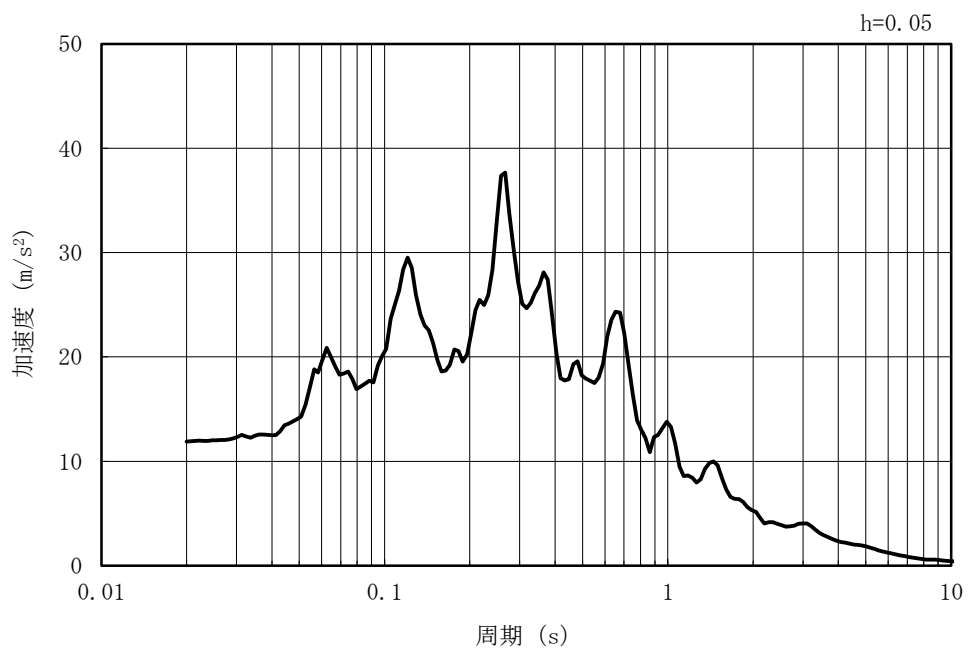


図 5-1 入力地震動算定の概念図

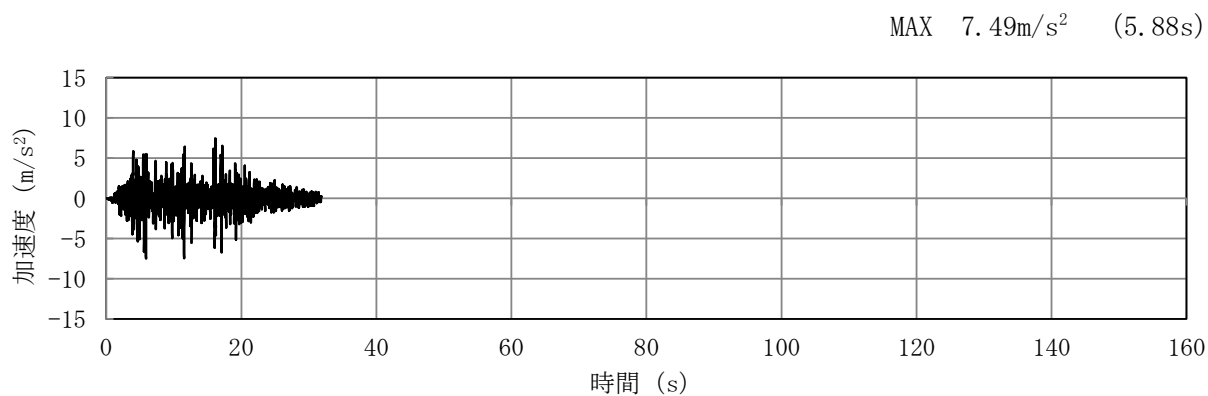


(a) 加速度時刻歴波形

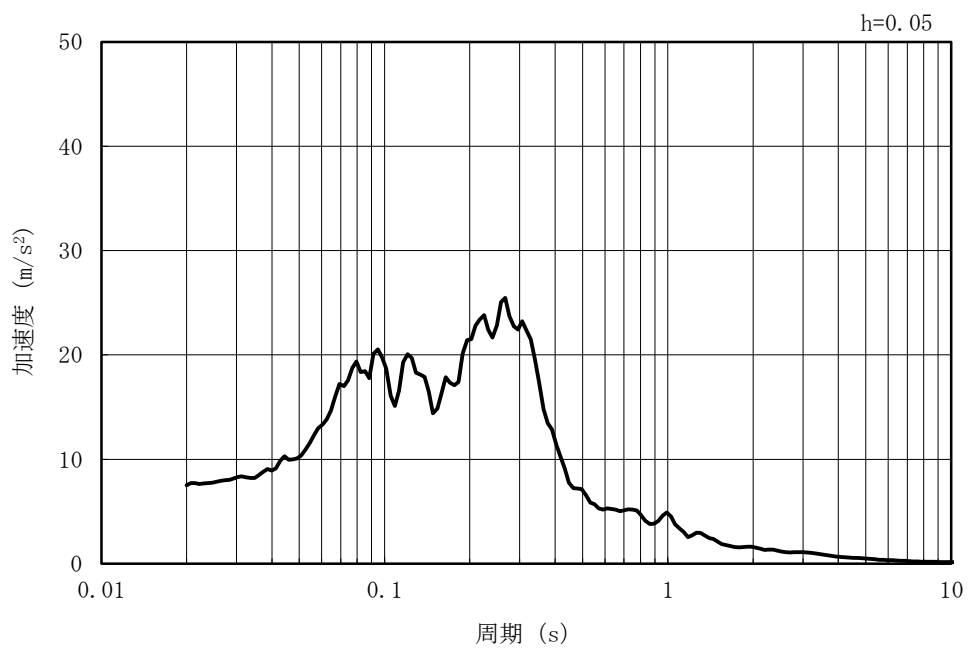


(b) 加速度応答スペクトル

図 5-2 入力地震動の加速度時刻歴波形及び加速度応答スペクトル
(水平方向 : Ss-1)

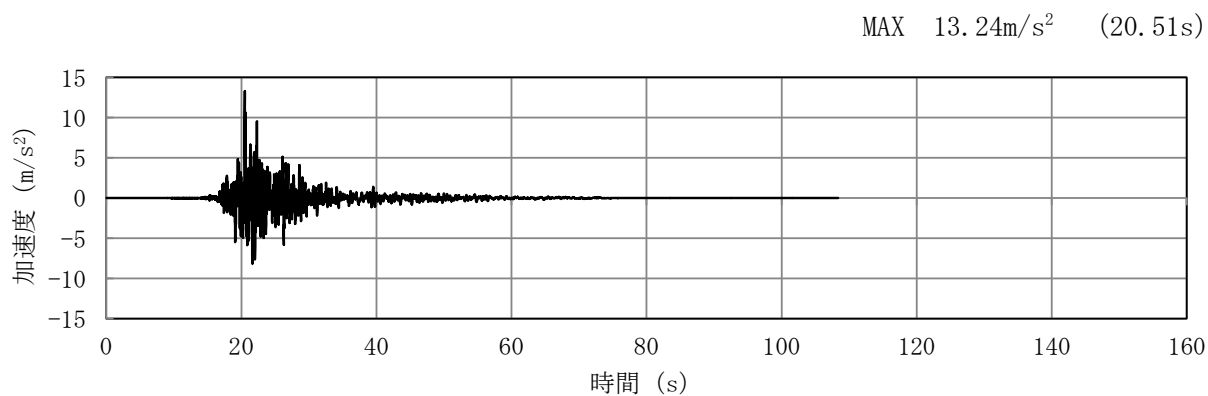


(a) 加速度時刻歴波形

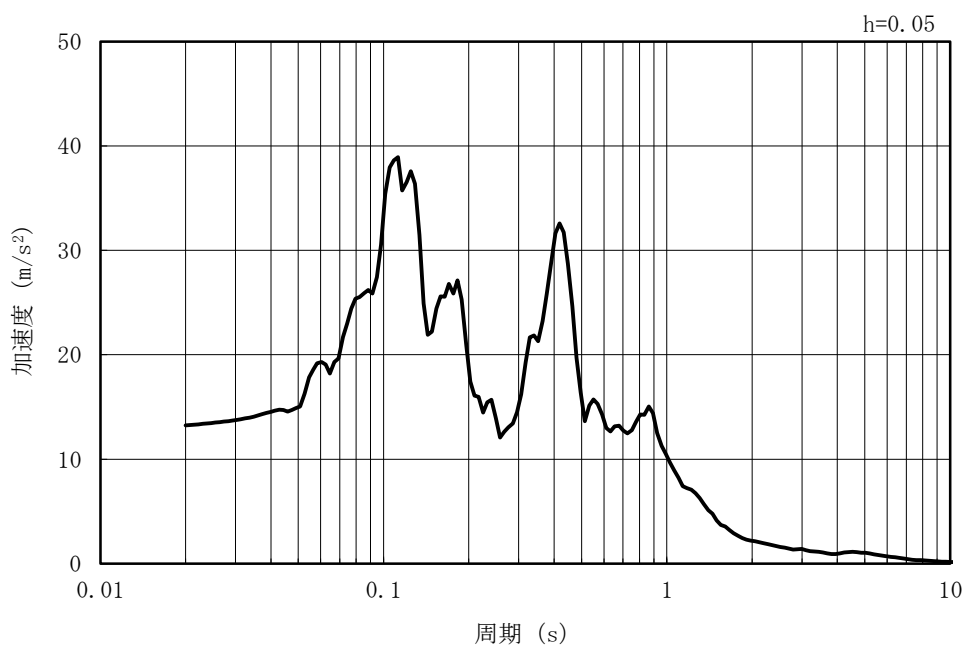


(b) 加速度応答スペクトル

図 5-3 入力地震動の加速度時刻歴波形及び加速度応答スペクトル
(鉛直方向 : Ss-1)

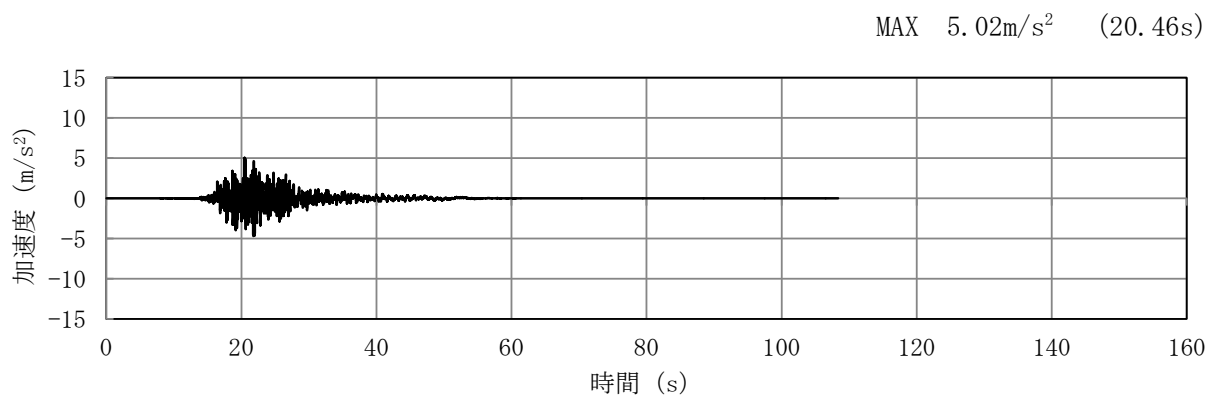


(a) 加速度時刻歴波形

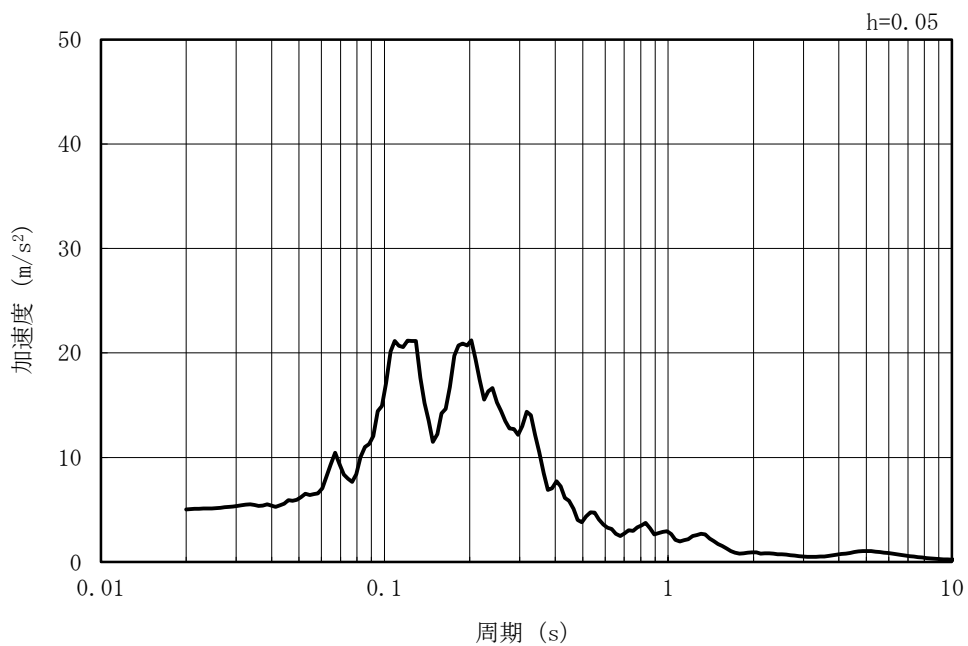


(b) 加速度応答スペクトル

図 5-4 入力地震動の加速度時刻歴波形及び加速度応答スペクトル
(水平方向 : Ss-2EW)

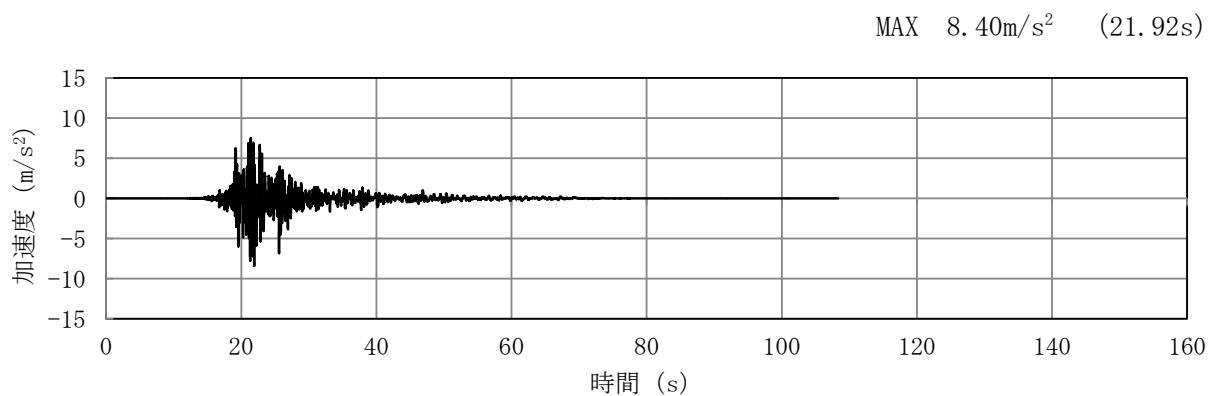


(a) 加速度時刻歴波形

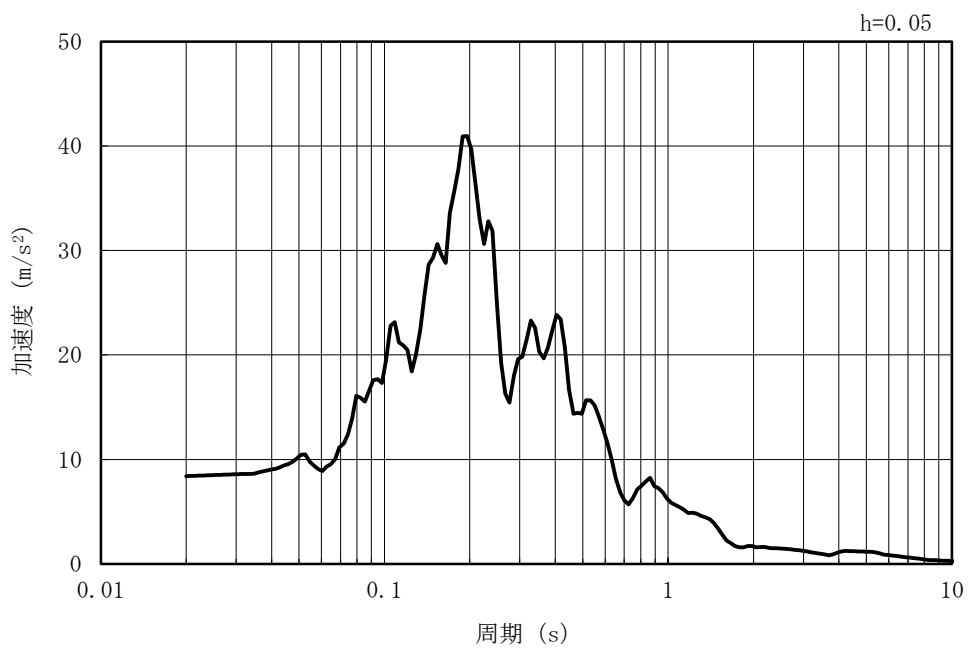


(b) 加速度応答スペクトル

図 5-5 入力地震動の加速度時刻歴波形及び加速度応答スペクトル
(鉛直方向 : Ss-2EW)

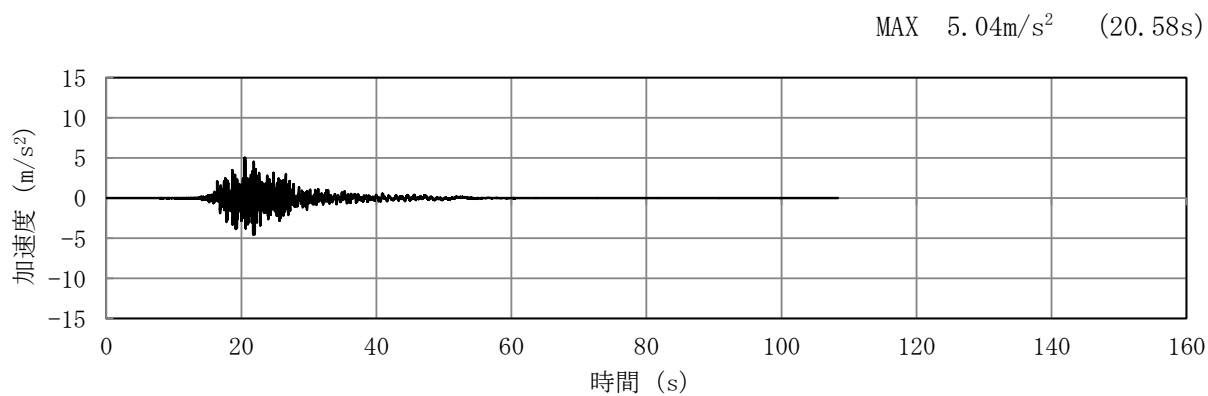


(a) 加速度時刻歴波形

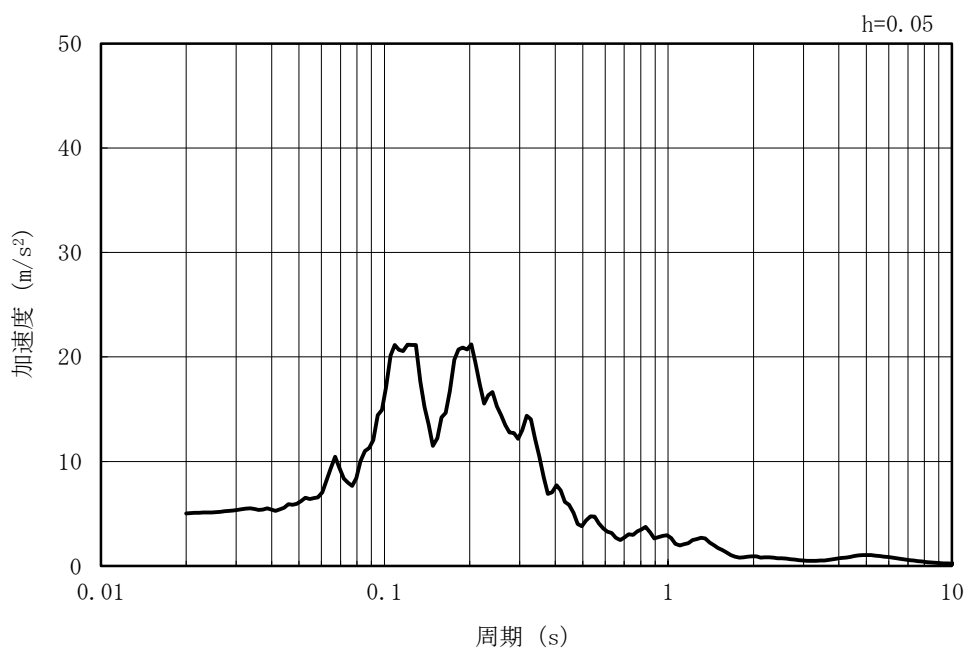


(b) 加速度応答スペクトル

図 5-6 入力地震動の加速度時刻歴波形及び加速度応答スペクトル
(水平方向 : Ss-2NS)



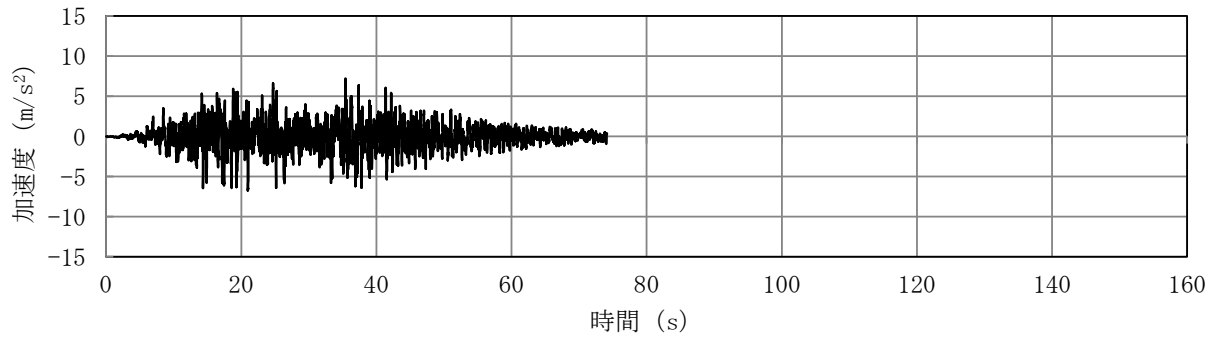
(a) 加速度時刻歴波形



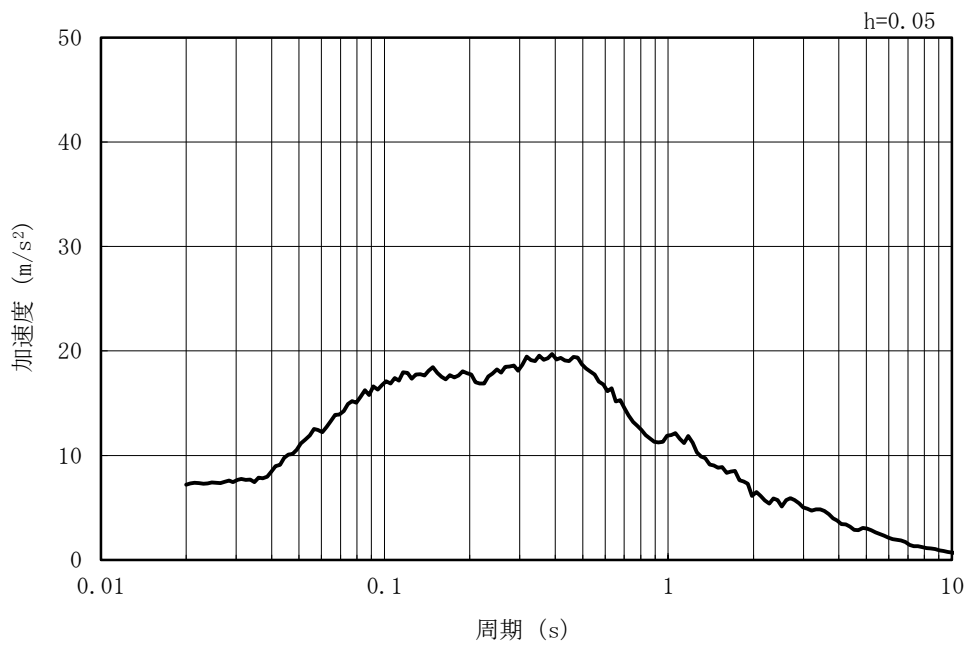
(b) 加速度応答スペクトル

図 5-7 入力地震動の加速度時刻歴波形及び加速度応答スペクトル
(鉛直方向 : Ss-2NS)

MAX 7.18m/s² (35.43s)

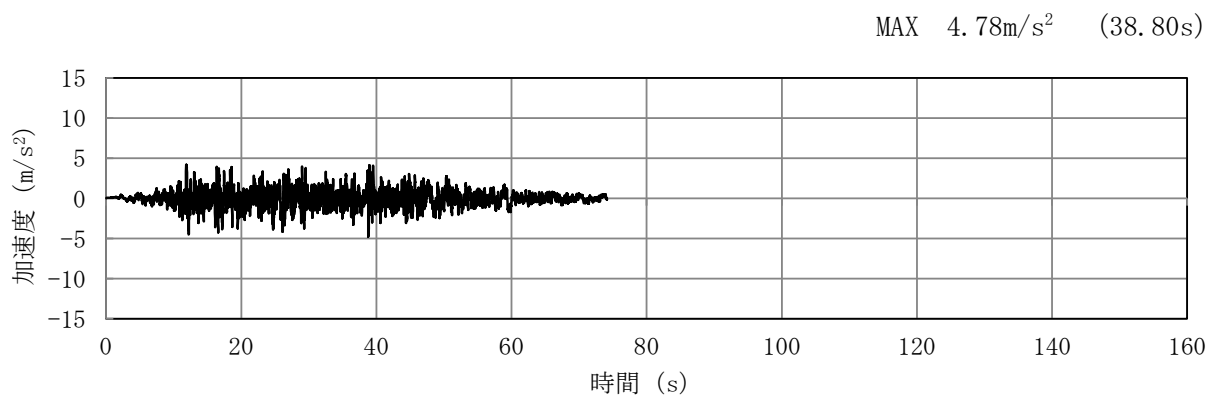


(a) 加速度時刻歴波形

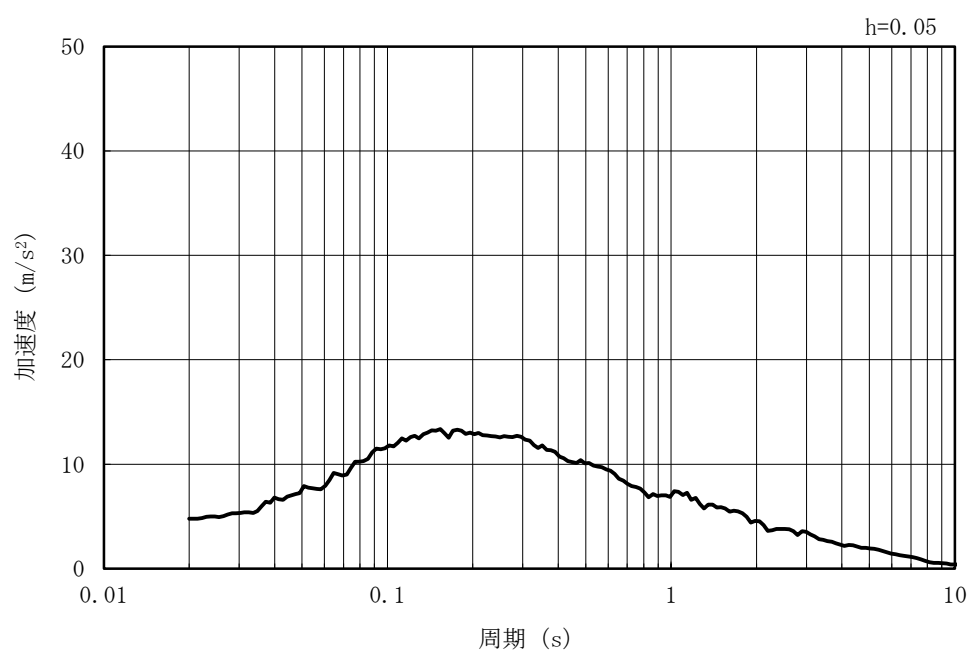


(b) 加速度応答スペクトル

図 5-8 入力地震動の加速度時刻歴波形及び加速度応答スペクトル
(水平方向 : Ss-3)

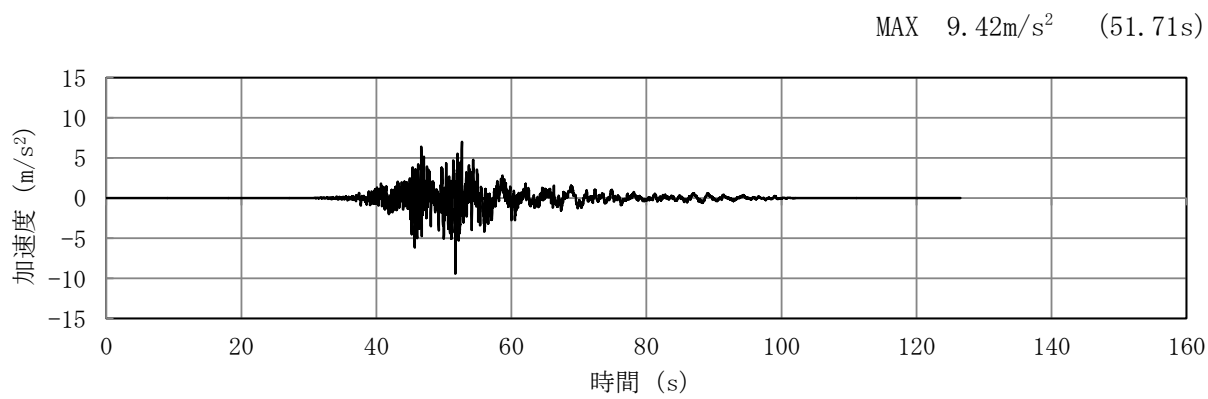


(a) 加速度時刻歴波形

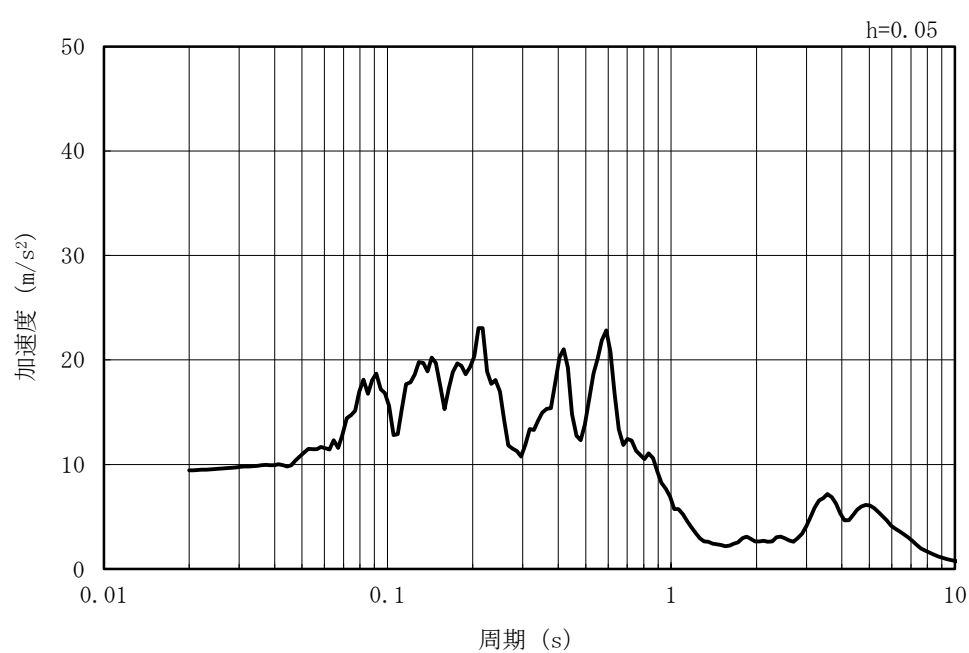


(b) 加速度応答スペクトル

図 5-9 入力地震動の加速度時刻歴波形及び加速度応答スペクトル
(鉛直方向 : Ss-3)

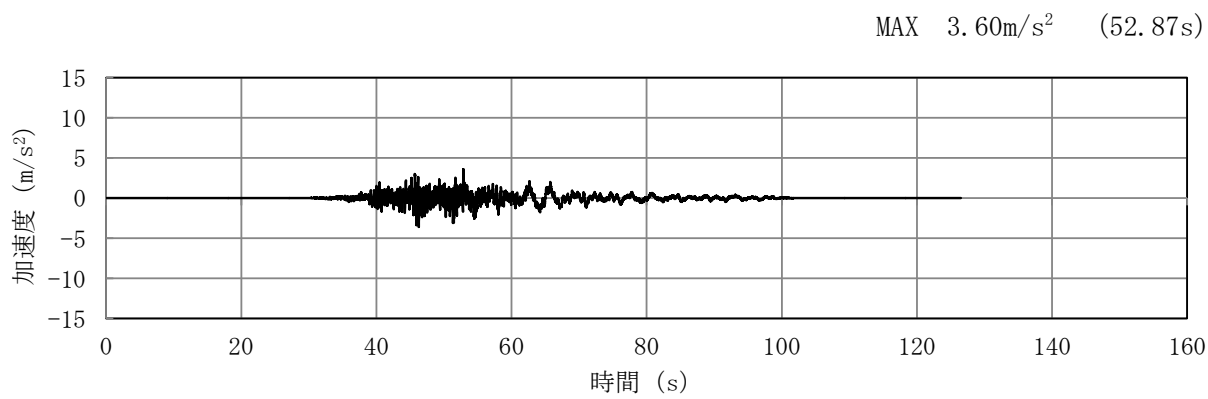


(a) 加速度時刻歴波形

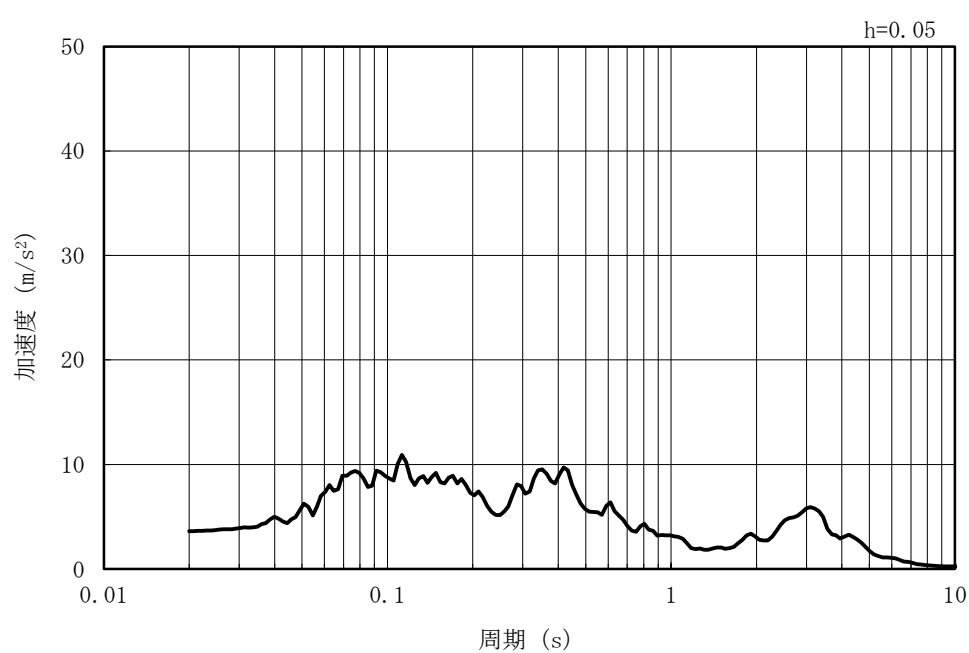


(b) 加速度応答スペクトル

図 5-10 入力地震動の加速度時刻歴波形及び加速度応答スペクトル
(水平方向 : Ss-4EW)

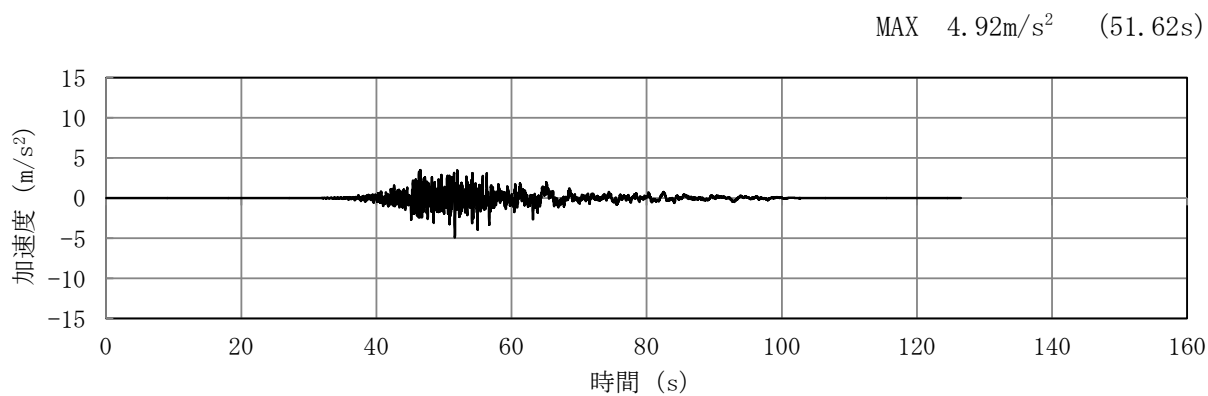


(a) 加速度時刻歴波形

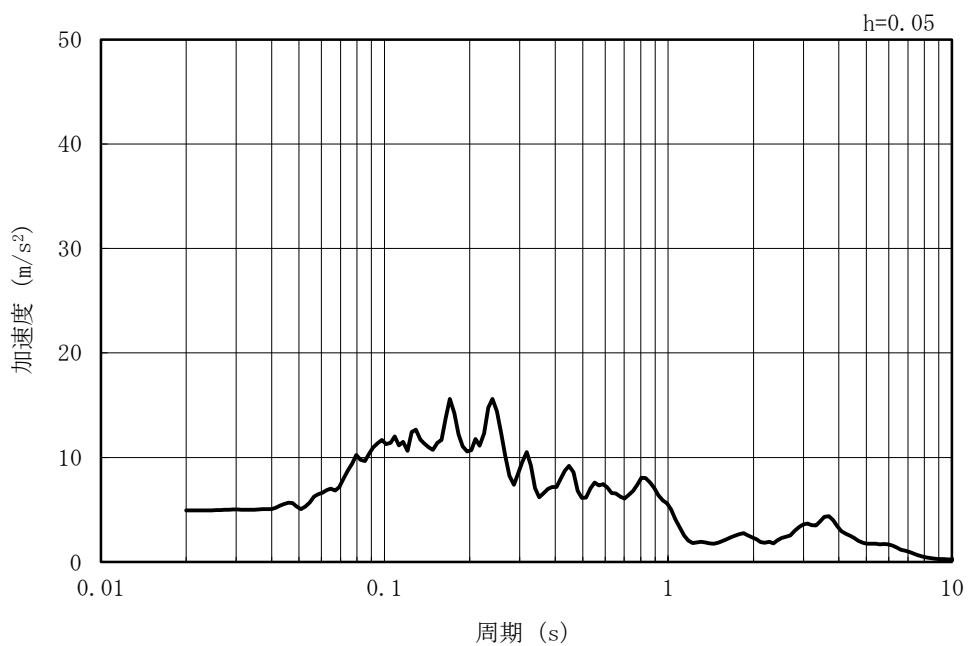


(b) 加速度応答スペクトル

図 5-11 入力地震動の加速度時刻歴波形及び加速度応答スペクトル
(鉛直方向：Ss-4EW)

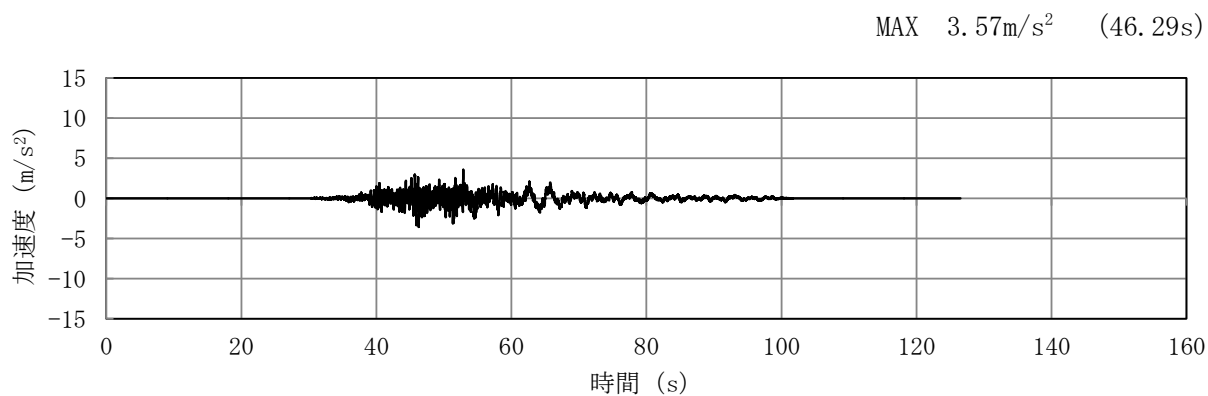


(a) 加速度時刻歴波形

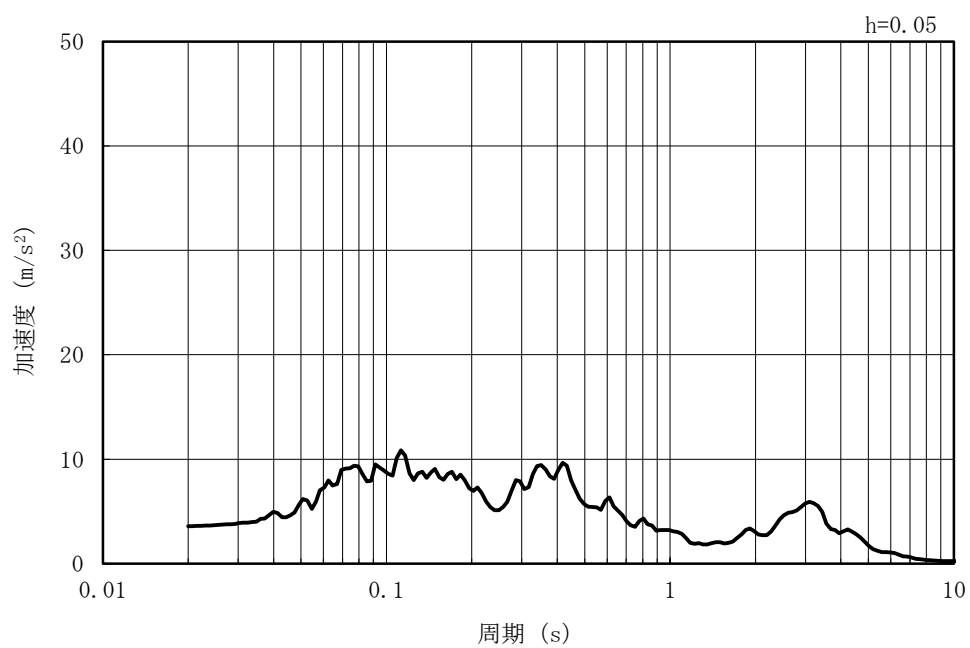


(b) 加速度応答スペクトル

図 5-12 入力地震動の加速度時刻歴波形及び加速度応答スペクトル
(水平方向 : S_s-4NS)

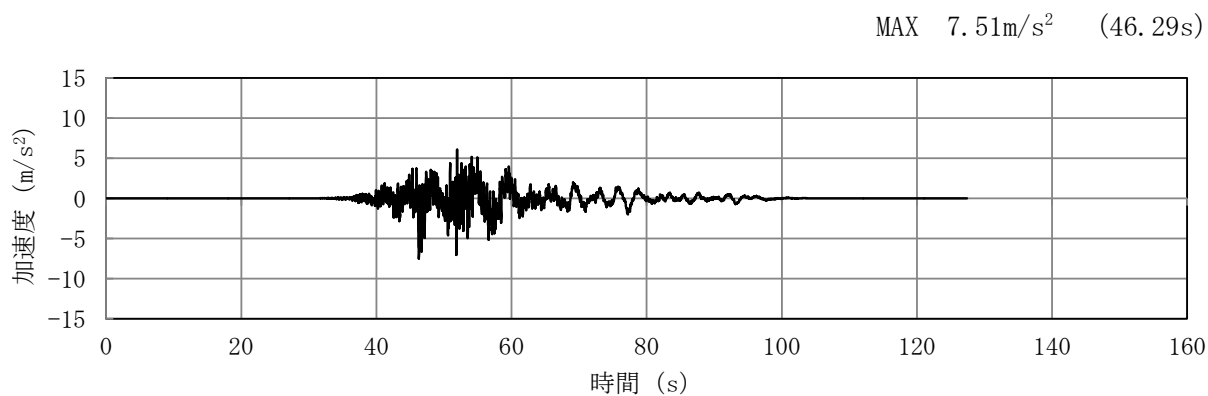


(a) 加速度時刻歴波形

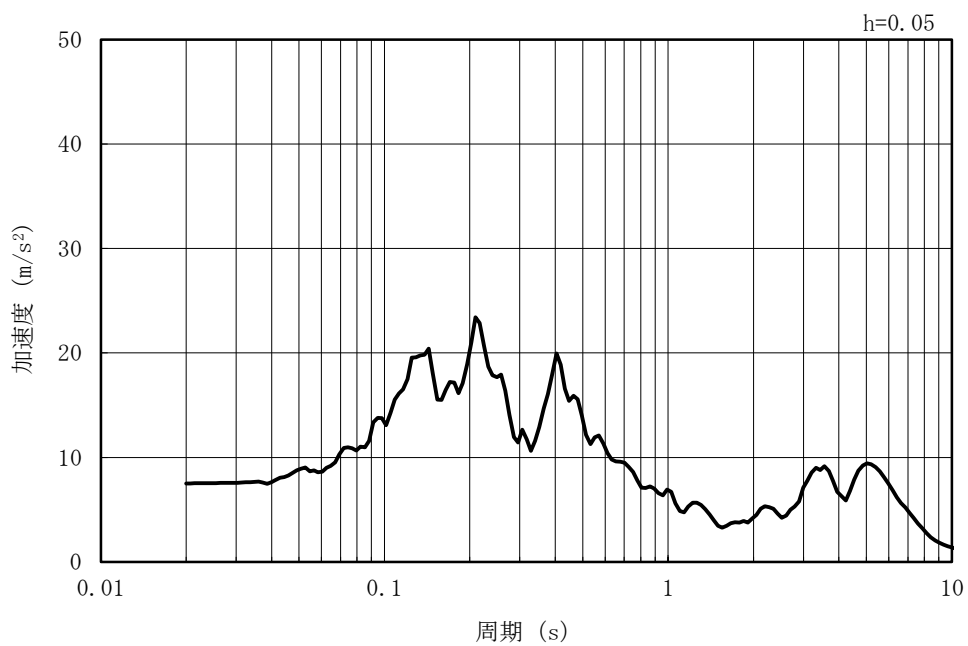


(b) 加速度応答スペクトル

図 5-13 入力地震動の加速度時刻歴波形及び加速度応答スペクトル
(鉛直方向 : Ss-4NS)

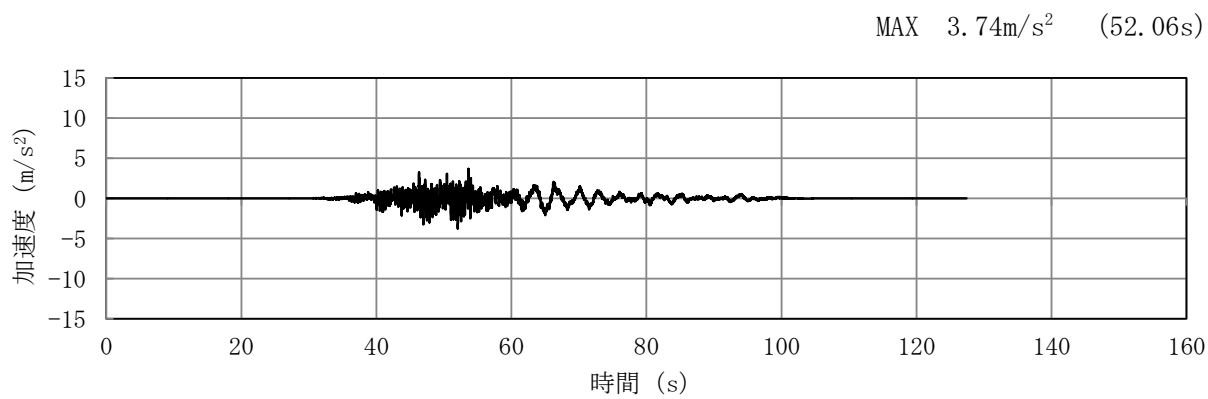


(a) 加速度時刻歴波形

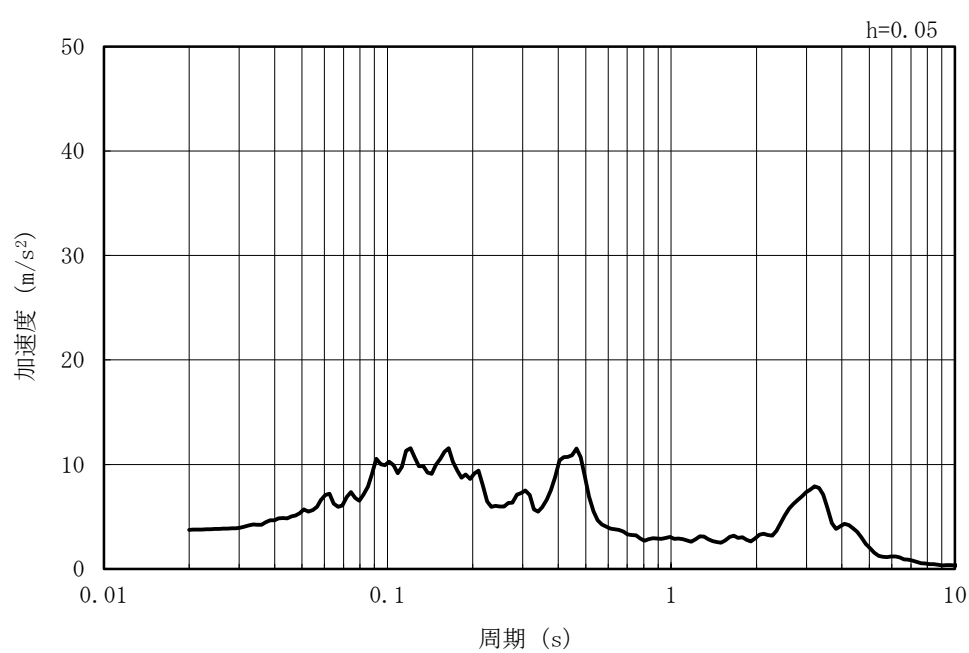


(b) 加速度応答スペクトル

図 5-14 入力地震動の加速度時刻歴波形及び加速度応答スペクトル
(水平方向 : Ss-5EW)

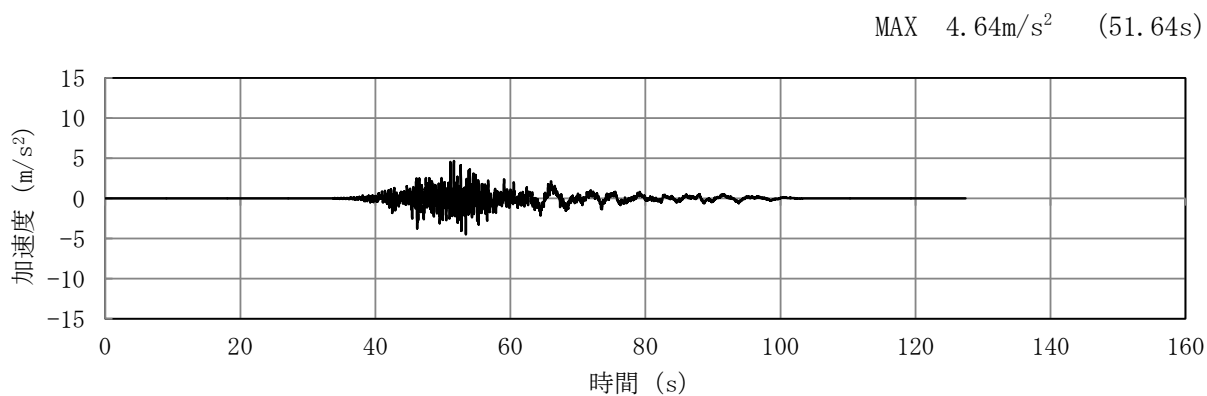


(a) 加速度時刻歴波形

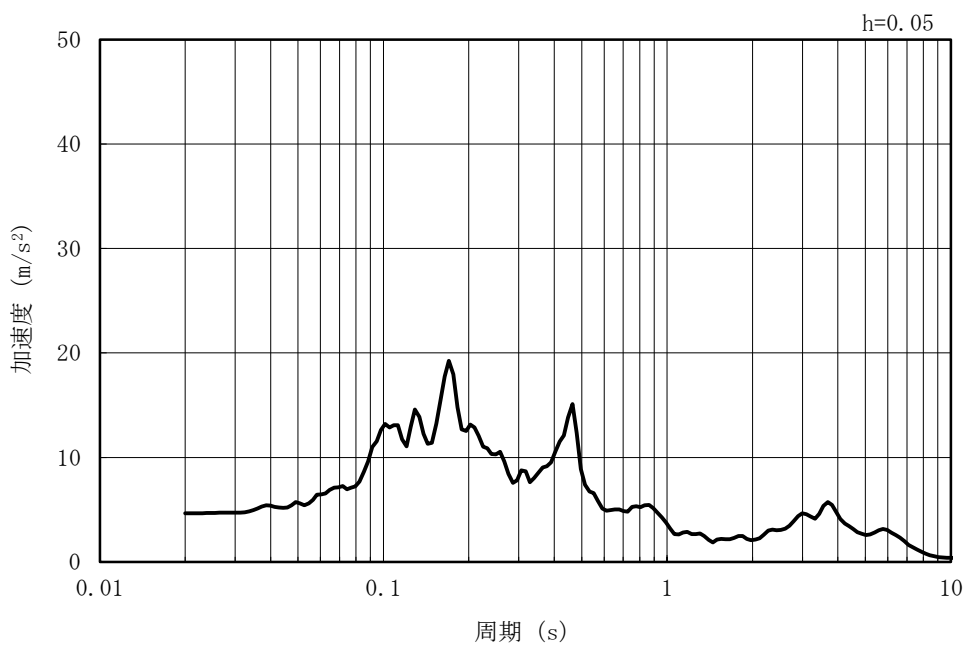


(b) 加速度応答スペクトル

図 5-15 入力地震動の加速度時刻歴波形及び加速度応答スペクトル
(鉛直方向 : Ss-5EW)

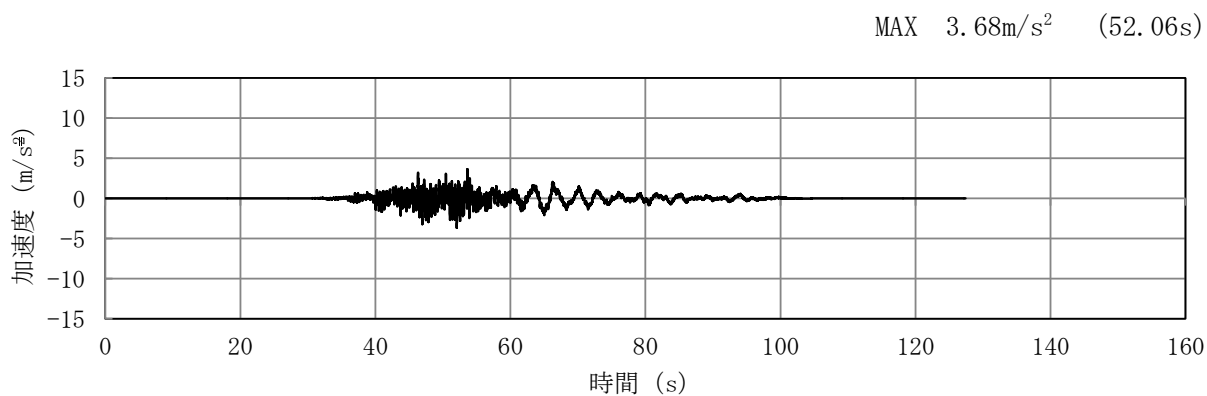


(a) 加速度時刻歴波形

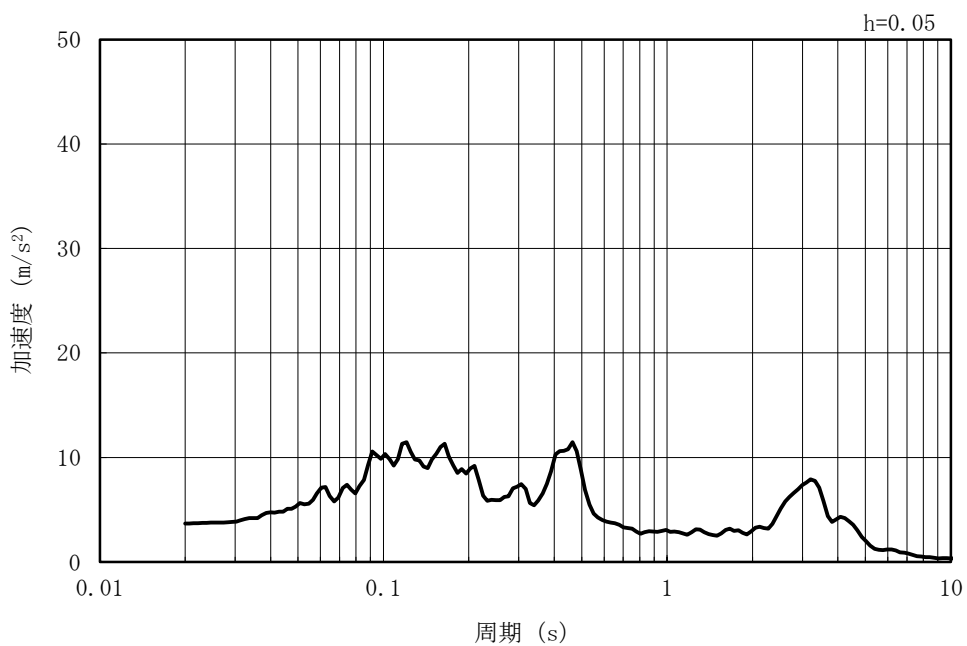


(b) 加速度応答スペクトル

図 5-16 入力地震動の加速度時刻歴波形及び加速度応答スペクトル
(水平方向 : Ss-5NS)

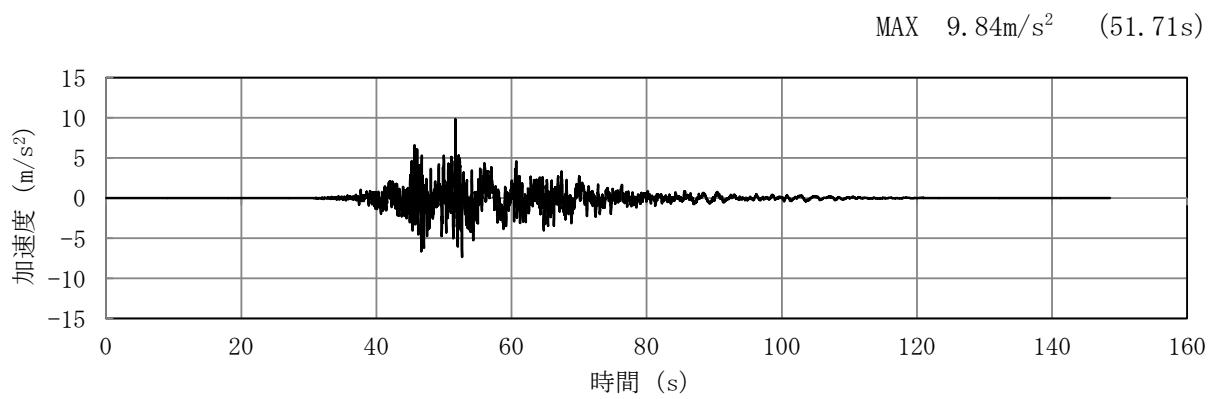


(a) 加速度時刻歴波形

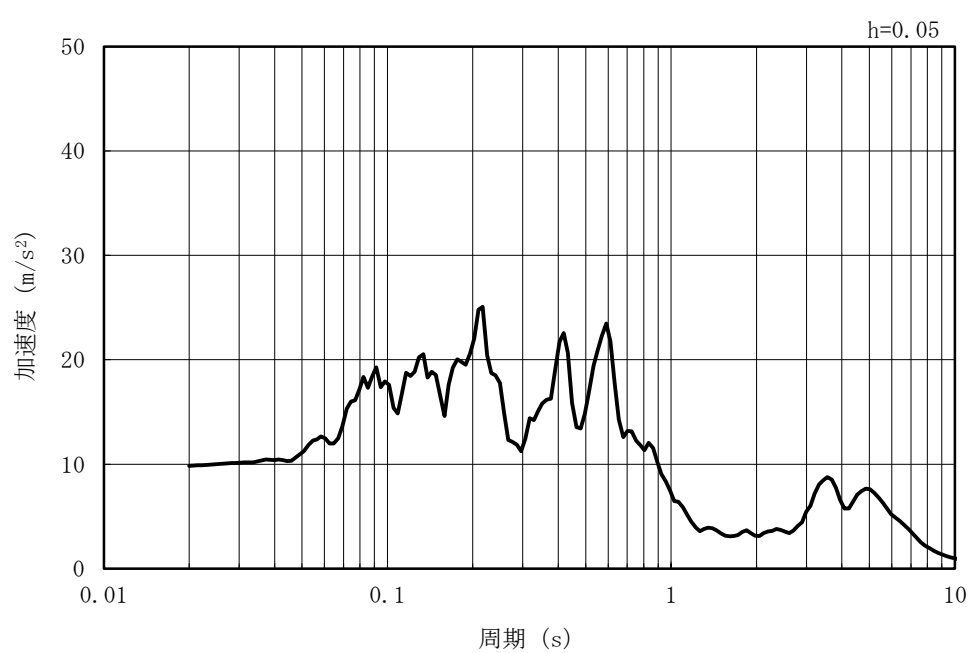


(b) 加速度応答スペクトル

図 5-17 入力地震動の加速度時刻歴波形及び加速度応答スペクトル
(鉛直方向 : Ss-5NS)

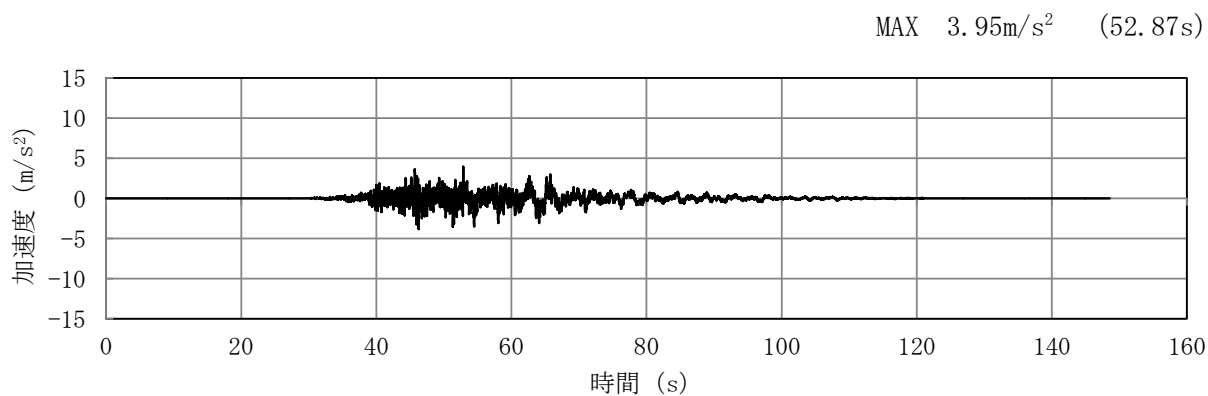


(a) 加速度時刻歴波形

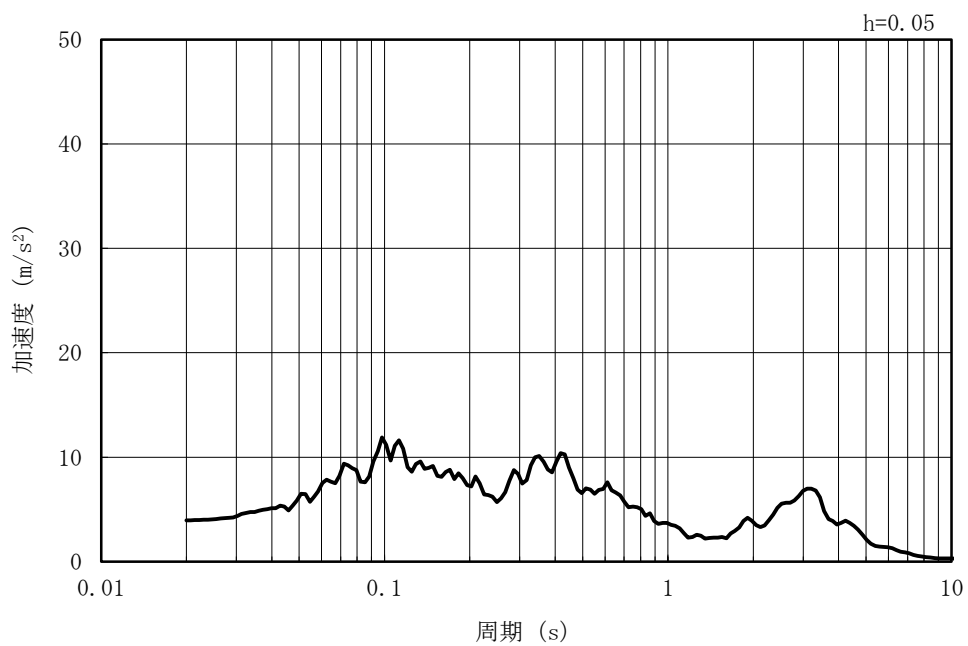


(b) 加速度応答スペクトル

図 5-18 入力地震動の加速度時刻歴波形及び加速度応答スペクトル
(水平方向 : Ss-6EW)

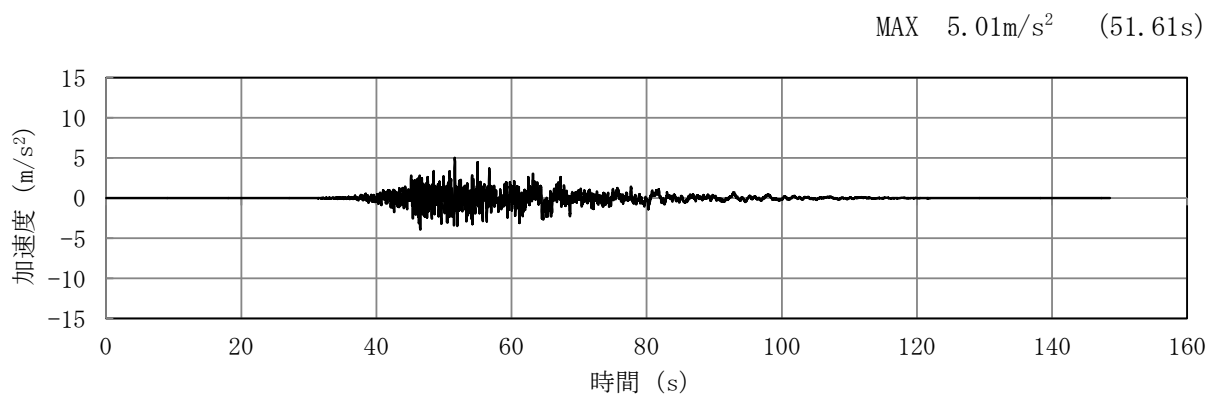


(a) 加速度時刻歴波形

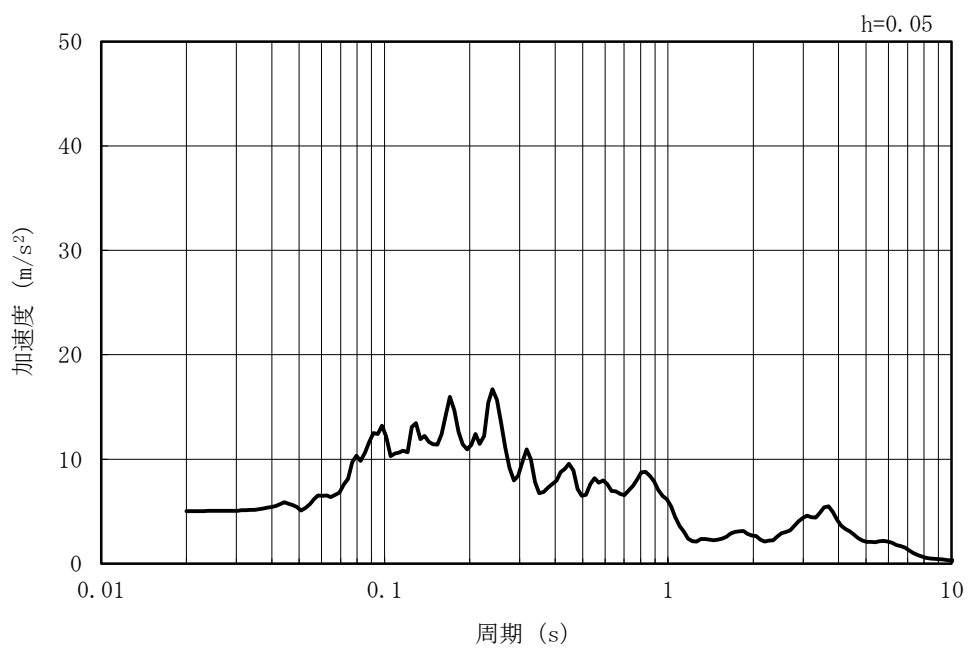


(b) 加速度応答スペクトル

図 5-19 入力地震動の加速度時刻歴波形及び加速度応答スペクトル
(鉛直方向 : Ss-6EW)

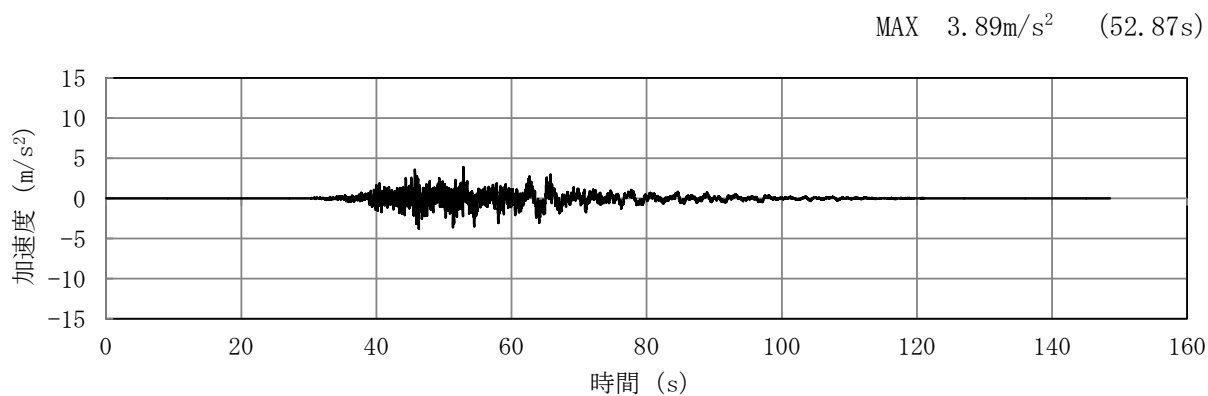


(a) 加速度時刻歴波形

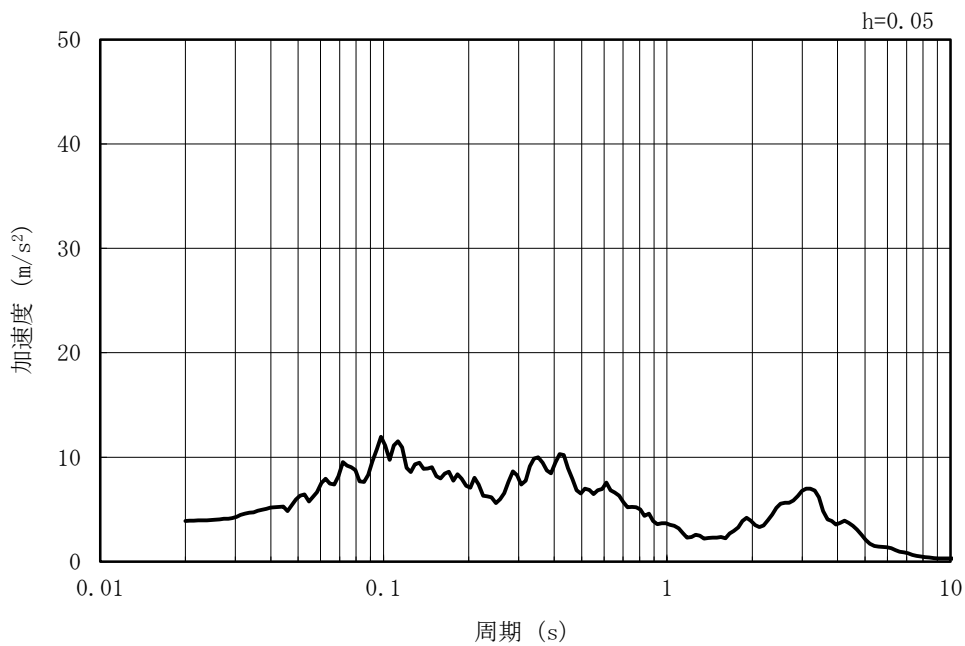


(b) 加速度応答スペクトル

図 5-20 入力地震動の加速度時刻歴波形及び加速度応答スペクトル
(水平方向 : Ss-6NS)

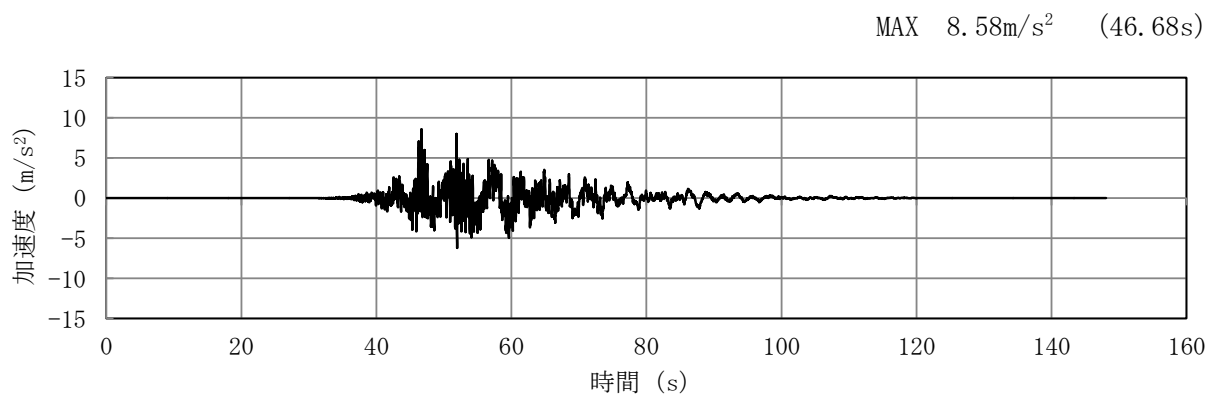


(a) 加速度時刻歴波形

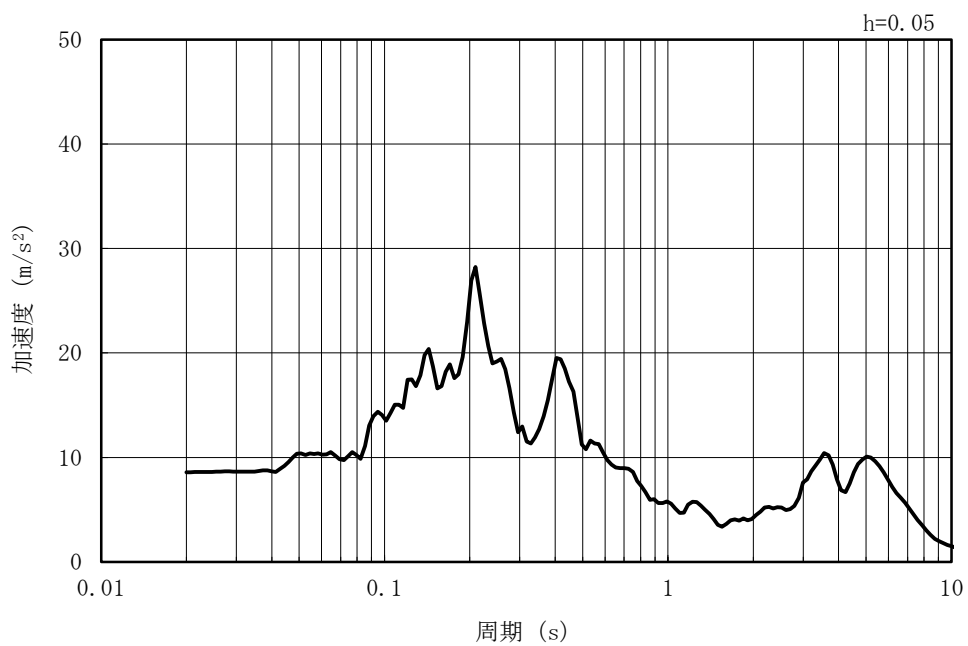


(b) 加速度応答スペクトル

図 5-21 入力地震動の加速度時刻歴波形及び加速度応答スペクトル
(鉛直方向 : Ss-6NS)

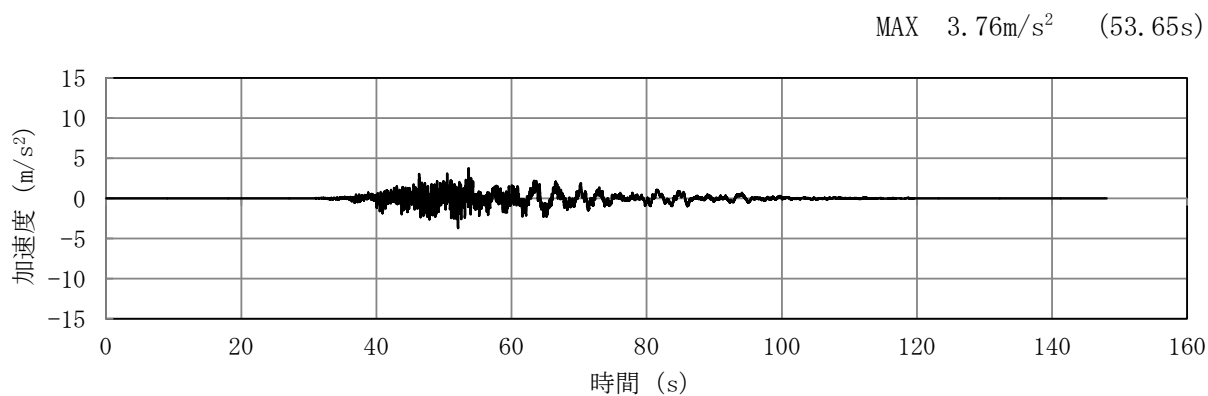


(a) 加速度時刻歴波形

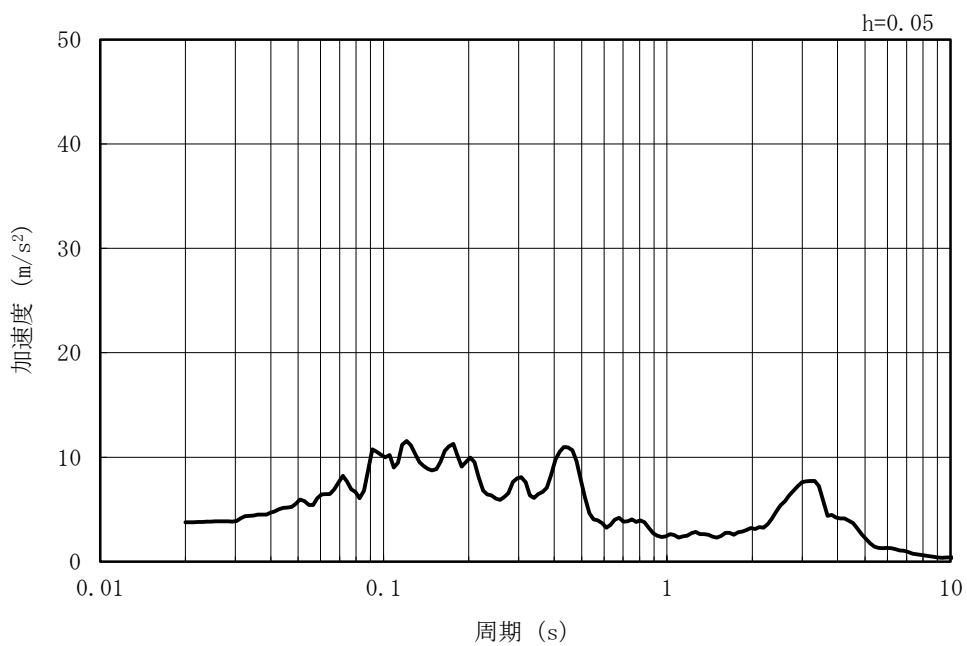


(b) 加速度応答スペクトル

図 5-22 入力地震動の加速度時刻歴波形及び加速度応答スペクトル
(水平方向 : Ss-7EW)

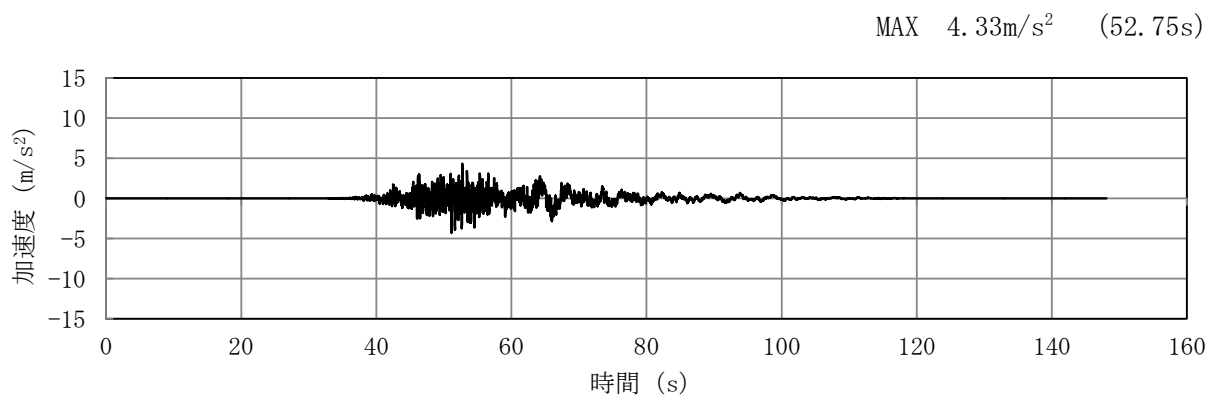


(a) 加速度時刻歴波形

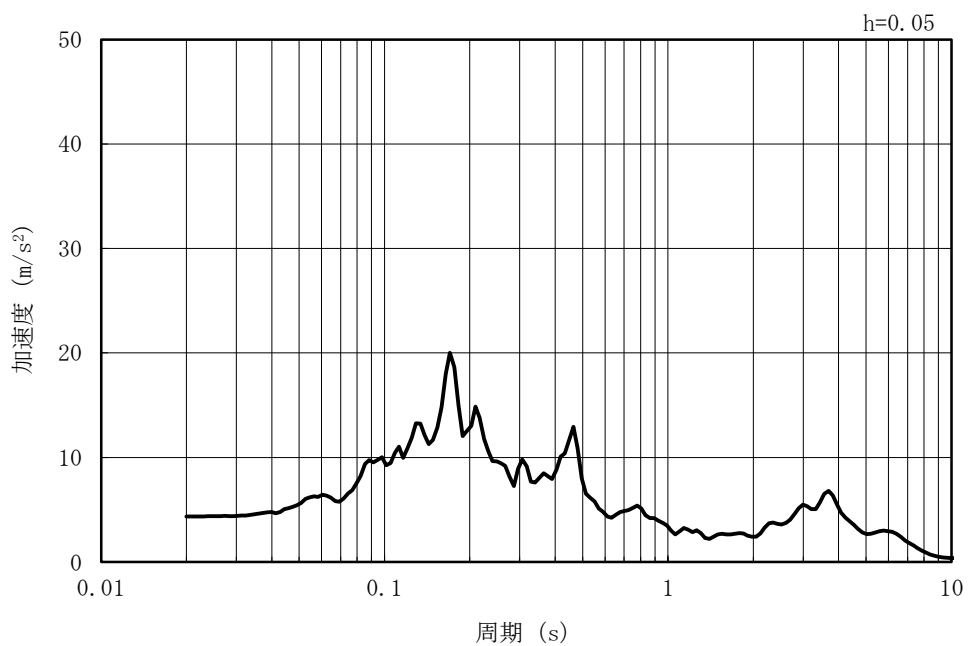


(b) 加速度応答スペクトル

図 5-23 入力地震動の加速度時刻歴波形及び加速度応答スペクトル
(鉛直方向 : Ss-7EW)

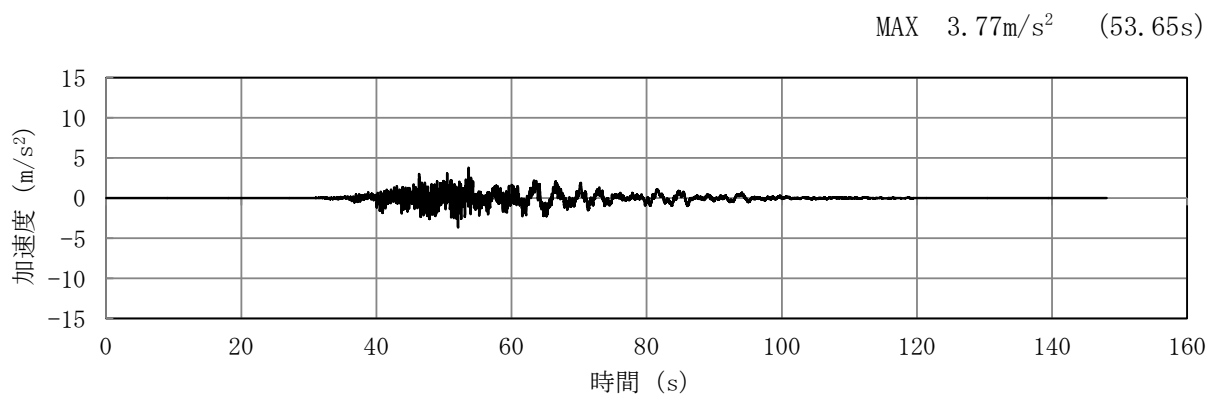


(a) 加速度時刻歴波形

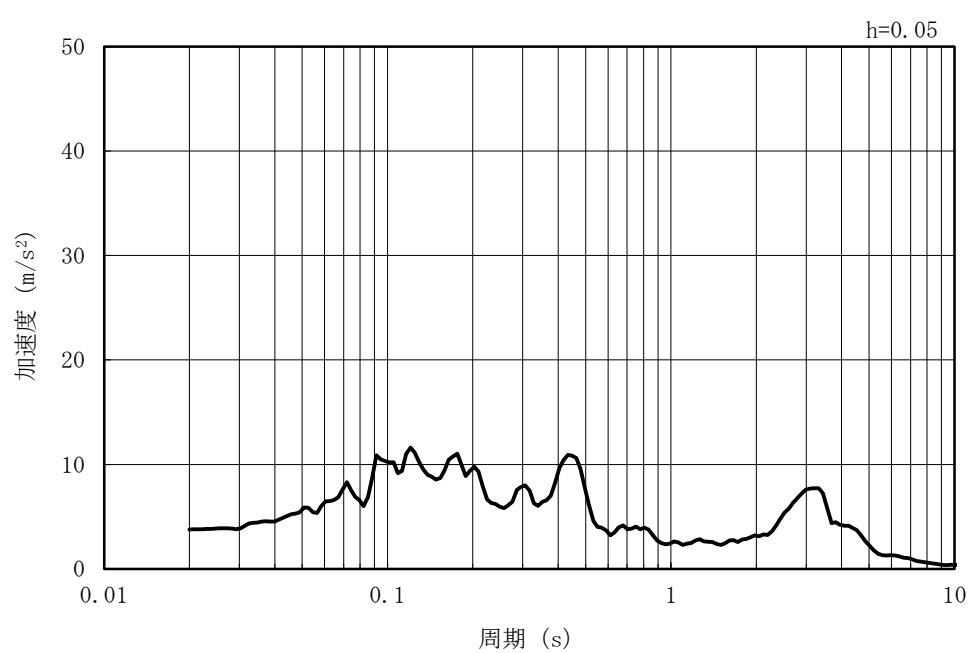


(b) 加速度応答スペクトル

図 5-24 入力地震動の加速度時刻歴波形及び加速度応答スペクトル
(水平方向 : Ss-7NS)

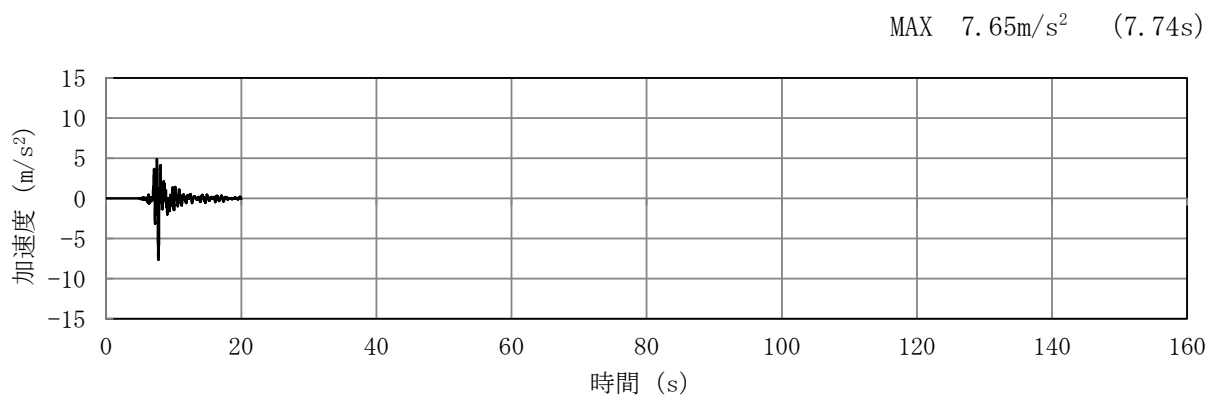


(a) 加速度時刻歴波形

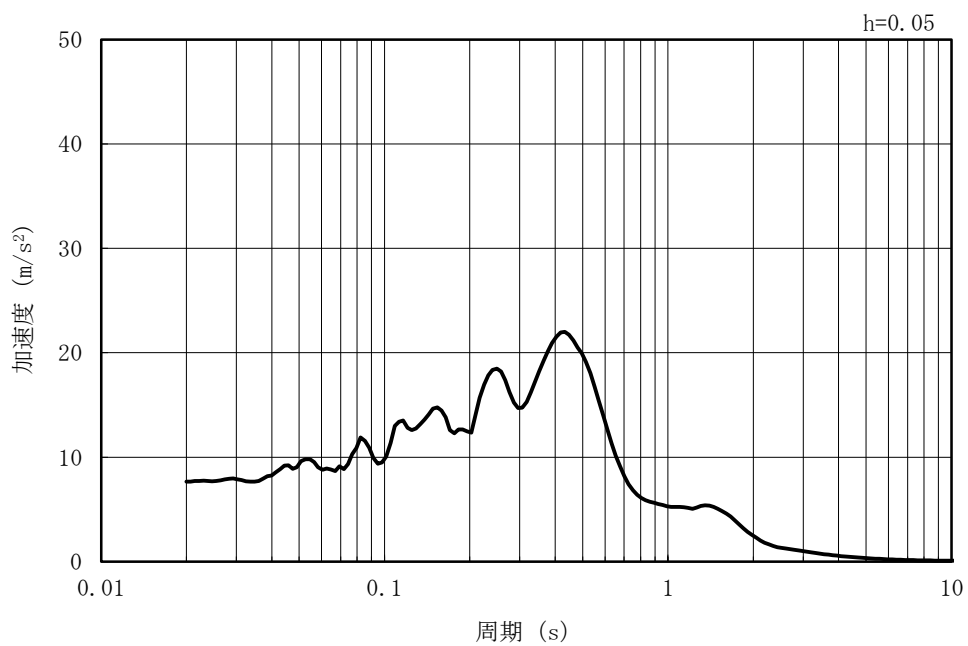


(b) 加速度応答スペクトル

図 5-25 入力地震動の加速度時刻歴波形及び加速度応答スペクトル
(鉛直方向 : Ss-7NS)

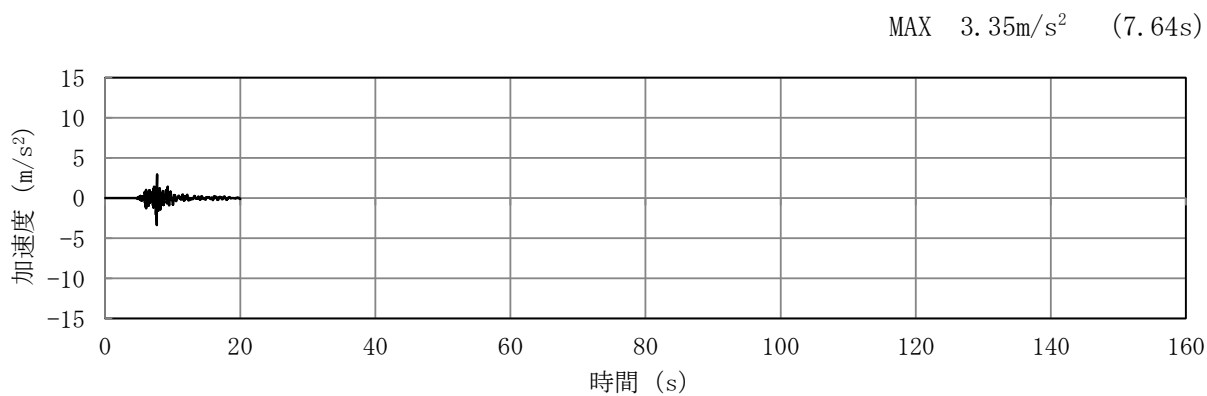


(a) 加速度時刻歴波形

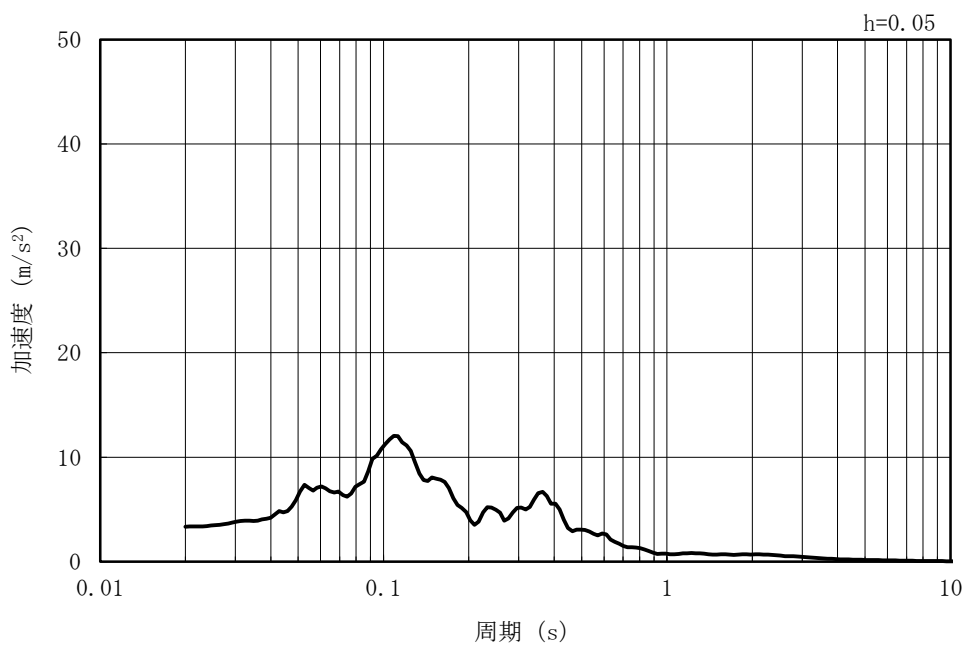


(b) 加速度応答スペクトル

図 5-26 入力地震動の加速度時刻歴波形及び加速度応答スペクトル
(水平方向 : Ss-8)



(a) 加速度時刻歴波形



(b) 加速度応答スペクトル

図 5-27 入力地震動の加速度時刻歴波形及び加速度応答スペクトル
(鉛直方向 : Ss-8)

5.2 許容限界の設定

5.2.1 曲げ軸力に対する許容限界

(1) 鉄筋コンクリート部材

鉄筋コンクリート部材の曲げ軸力に対する照査は、土木学会マニュアルに基づき、限界ひずみ（圧縮縁コンクリートひずみ 1%）を許容限界とし、照査用コンクリートひずみが限界ひずみを下回ることを確認する。

鉄筋コンクリート部材の曲げ軸力照査に用いるコンクリートの照査用圧縮ひずみは、3次元構造解析より得られたコンクリートの圧縮縁の発生ひずみに安全係数(構造解析係数) 1.2 を乗じることにより、曲げ破壊に対して安全余裕を見込んだ評価を実施する。

$$\gamma_i \frac{\varepsilon_d}{\varepsilon_r} < 1.0$$

ここで、

γ_i : 構造物係数 ($\gamma_i = 1.0$)

ε_r : 限界ひずみ

ε_d : 照査用圧縮ひずみ ($\varepsilon_d = \gamma_a \cdot \varepsilon$)

γ_a : 構造解析係数 ($\gamma_a = 1.2$)

ε : 圧縮縁の発生ひずみ

(2) 鋼管杭

鋼管杭の曲げ軸力に対する照査は、キャスク指針及び鋼・合成構造標準示方書に基づき、鋼管杭の終局曲率を許容限界とし、照査用曲率が終局曲率を下回ることを確認する。

鋼管杭の曲げ軸力照査に用いる照査用曲率は、地震応答解析により得られた曲率に安全係数（構造解析係数）1.05 を乗じることにより、曲げ破壊に対して安全余裕を見込んだ評価を実施する。

$$\gamma_i \frac{\phi_d}{\phi_u} < 1.0$$

ここで、 γ_i : 構造物係数 (=1.0)

$$\phi_d = \gamma_a \cdot \phi$$

γ_a : 構造解析係数 (=1.05)

ϕ : 応答計算による最大曲率

ϕ_u : 鋼管杭の終局曲率

$$\phi_u(N) = \varepsilon_{\max} / [r \cdot \{1 + \sin(\pi N / 2N_y)\}] / \gamma_b \quad (N < 0 : \text{引張}, N > 0 : \text{圧縮})$$

N : 発生軸力

$\varepsilon_{\max} = 0.22 t / r$: 局部座屈発生時ひずみ

r : 杭の半径

t : 腐食しろを除いた鋼材の厚さ

$N_y = 2\pi \cdot r \cdot t \cdot \sigma_y$: 鋼材降伏時の軸力

σ_y : 鋼材の降伏点応力

γ_b : 部材係数 (=1.1)

5.2.2 せん断力に対する許容限界

(1) 鉄筋コンクリート部材

鉄筋コンクリート部材のせん断力に対する許容限界は、土木学会マニュアルに基づき、
a. 棒部材式又は b. ディープビーム式で求まるせん断耐力のうち、いずれか大きい方を許容
限界とし、照査用せん断力がせん断耐力を下回ることを確認する。

鉄筋コンクリート部材のせん断照査に用いる照査用せん断力は、3次元構造解析により
得られたせん断力に安全係数（構造解析係数）1.05 を乗じることにより、せん断破壊に対
して安全余裕を見込んだ評価を実施する。

$$\gamma_i \frac{V_d}{V_{y d}} < 1.0$$

ここで、

γ_i : 構造物係数 ($\gamma_i = 1.0$)

$V_{y d}$: せん断耐力

V_d : 照査用せん断力 ($V_d = \gamma_a \cdot V$)

γ_a : 構造解析係数 ($\gamma_a = 1.05$)

V : 応答計算によるせん断力

a. 棒部材式

$$V_{y d} = V_{c d} + V_{s d}$$

ここで,

$V_{c d}$: コンクリートが分担するせん断耐力

$V_{s d}$: せん断補強筋が分担するせん断耐力

$$V_{c d} = \beta_d \cdot \beta_p \cdot \beta_n \cdot \beta_a \cdot f_{v c d} \cdot b_w \cdot d / \gamma_{b c}$$

$$f_{v c d} = 0.20 \sqrt[3]{f'_{c d}}$$

ただし, $f_{v c d} > 0.72$ (N/mm²) となる場合は $f_{v c d} = 0.72$ (N/mm²)

$$\beta_d = \sqrt[4]{1/d} \quad (d \text{ [m]})$$

ただし, $\beta_d > 1.5$ となる場合は $\beta_d = 1.5$

$$\beta_p = \sqrt[3]{100 p_v}$$

ただし, $\beta_p > 1.5$ となる場合は $\beta_p = 1.5$

$$\beta_n = 1 + 2 M_0 / M_u \quad (N'_d \geq 0) \quad \text{ただし, } \beta_n > 2.0 \text{ となる場合は } \beta_n = 2.0$$

$$= 1 + 4 M_0 / M_u \quad (N'_d < 0) \quad \text{ただし, } \beta_n < 0 \text{ となる場合は } \beta_n = 0$$

$$\beta_a = 0.75 + \frac{1.4}{a/d}$$

ただし, $\beta_a < 1.0$ となる場合は $\beta_a = 1.0$

$f'_{c d}$: コンクリート圧縮強度の設計用値 (N/mm²) で設計基準強度 $f_{c k}$ を材料係数 $\gamma_{m c}$ (=1.3) で除したもの

$p_v = A_s / (b_w \cdot d)$: 引張鉄筋比

A_s : 引張側鋼材の断面積

b_w : 部材の有効幅

d : 部材の有効高さ

N'_d : 設計軸圧縮力

M_u : 曲げモーメント耐力

$M_0 = N'_d \cdot D / 6$: M_d に対する引張縁において, 軸方向力によって発生する応力を打ち消すのに必要なモーメント (デコンプレッションモーメント)

D : 断面高さ

a/d : せん断スパン比

$\gamma_{b c}$: 部材係数 (=1.3)

$$V_{s d} = \{A_w \cdot f_{w y d} \cdot (\sin \alpha + \cos \alpha) / s\} \cdot z / \gamma_{b s}$$

ここで、

- A_w : 区間 s におけるせん断補強筋の総断面積
- $f_{w y d}$: せん断補強筋の降伏強度を材料係数 $\gamma_{m s}$ (1.0) で除したもので、
400N/mm²以下とする。ただし、コンクリートの圧縮強度の特性値 $f'_{c k}$ が 60N/mm² 以上の時は、800N/mm² 以下とする。
- α : せん断補強筋と部材軸のなす角
- s : せん断補強筋の配置間隔
- z : 圧縮応力の合力の作用位置から引張鋼材図心までの距離で $d / 1.15$ とする。
- $\gamma_{b s}$: 部材係数 (=1.1)

b. ディープビーム式

$$V_{ydd} = V_{cdd} + V_{sdd}$$

ここで,

V_{cdd} : コンクリートが分担するせん断耐力

V_{sdd} : せん断補強筋が分担するせん断耐力

$$V_{cdd} = \beta_d \cdot \beta_p \cdot \beta_a \cdot f_{dd} \cdot b_w \cdot d / \gamma_{bc}$$

$$f_{dd} = 0.19 \sqrt{f'_{cd}}$$

$$\beta_d = \sqrt[4]{1/d} \quad (d \text{ [m]})$$

ただし, $\beta_d > 1.5$ となる場合は $\beta_d = 1.5$

$$\beta_p = \sqrt[3]{100 p_v}$$

ただし, $\beta_p > 1.5$ となる場合は $\beta_p = 1.5$

$$\beta_a = \frac{5}{1 + (a/d)^2}$$

γ_{bc} : 部材係数 (=1.3)

$$V_{sdd} = \phi \cdot V_{sd}$$

$\phi = -0.17 + 0.3 a/d + 0.33/p_{wb}$ ただし, $0 \leq \phi \leq 1$

p_{wb} : せん断補強鉄筋比 (%)

土木学会マニュアルでは、コンクリート標準示方書におけるせん断耐力式のうち棒部材式において等価せん断スパンにより設定可能な係数 β_a を考慮している。これは、地中に埋設されたラーメン構造で、分布荷重が卓越、スパン内に曲げモーメントの反曲点が存在する等の载荷形態にある条件下では、せん断耐力が増大するという実験的知見を踏まえ、より合理的なせん断耐力を与えるよう、コンクリート標準示方書のせん断耐力式を精緻化したものである。

土木学会マニュアルにおけるせん断耐力式による評価においては、表 5-1 に示すとおり、複数の安全係数が見込まれていることから、せん断破壊に対して安全余裕を見込んだ評価を実施することが可能である。

表 5-1 せん断耐力式において考慮している安全係数

安全係数			値	内容
材料係数	コンクリート	γ_{mc}	1.30	コンクリートの特性値（圧縮強度）を低減
部材係数*	コンクリート	γ_{bc}	1.30	コンクリートが負担するせん断力を低減
	鉄筋	γ_{bs}	1.10	せん断補強筋が負担するせん断力を低減
構造解析係数			γ_a	応答値（断面力）を割り増し

注記* : 土木学会マニュアルでは、部材係数 $\gamma_b = \gamma_{b1} \times \gamma_{b2}$

$$\gamma_{b1} = \begin{cases} 1.3 & (\text{コンクリート}) \\ 1.1 & (\text{鉄筋}) \end{cases}$$

$$\gamma_{b2} = \begin{cases} 1.0 & (R \leq 0.01) \\ \frac{100R+2}{3} & (0.01 < R \leq 0.025) \\ 1.5 & (R > 0.025) \end{cases}$$

ここで、R：層間変形角

とされている。

γ_{b2} は層間変形角の値によらず、部材が降伏していない状態であれば $\gamma_{b2}=1.0$ としてよいとされている。解析結果から常設代替交流電源設備基礎の鉄筋コンクリート部材については降伏が認められなかったため、 $\gamma_{b2}=1.0$ とする。

(2) 鋼管杭

鋼管杭のせん断力に対する許容限界は、キャスク指針及び鋼・合成構造標準示方書に基づき、以下の式で求まる終局せん断強度とする。

鋼管杭のせん断力照査に用いる照査用せん断力は、地震応答解析により得られたせん断力に安全係数（構造解析係数）1.05 を乗じることにより、せん断破壊に対して安全余裕を見込んだ評価を実施する。

$$\gamma_i \frac{Q_d}{Q_u} < 1.0$$

ここで、 γ_i : 構造物係数 (=1.0)

$$Q_d = \gamma_a \cdot Q$$

γ_a : 構造解析係数 (=1.05)

Q : 応答計算による最大せん断力

Q_u : 鋼管杭の終局せん断強度

$$Q_u = A_e \cdot f_s / \kappa / \gamma_b$$

A_e : 腐食代を除いた杭の断面積

f_s : 鋼材の短期許容せん断応力度

κ : せん断応力度の分布係数で 2.0 とする。

γ_b : 部材係数 (=1.1)

5.2.3 壁部材の面内せん断に対する許容限界

第一ガスタービン発電機用燃料タンク基礎の壁部材の面内せん断に対する許容限界は、原子力発電所耐震設計技術指針 J E A G 4 6 0 1 -1987 (日本電気協会) に基づき、以下の式で求まるせん断ひずみ度に関する許容限界の目安値とする。

壁部材の面内せん断照査に用いる照査用せん断ひずみは、3次元構造解析により得られた面内せん断ひずみに安全係数(構造解析係数) 1.2 を乗じることにより、せん断破壊に対して安全余裕を見込んだ評価を実施する。

$$\gamma_i \frac{\gamma_d}{\gamma_A} < 1.0$$

ここで、 γ_i : 構造物係数 (=1.0)

$$\gamma_d = \gamma_a \cdot \gamma$$

γ_a : 構造解析係数 (=1.2)

γ : 応答計算による面内せん断ひずみ

γ_A : せん断ひずみ度に関する許容限界の目安値

$$\gamma_A = \gamma_u / 2.0$$

γ_u : 終局せん断ひずみ度で 4.0×10^{-3}

5.2.4 基礎地盤の支持性能に対する許容限界

(1) 基礎地盤の押し込みに対する支持性能評価

基礎地盤の押し込みに対する許容限界は、V-2-1-3「地盤の支持性能に係る基本方針」に基づき、道路橋示方書の杭基礎（中掘り杭工法）より設定する極限支持力に、キャスク指針に基づく安全率 1.2 を考慮した終局鉛直支持力とする。杭周面の地盤が液状化層である場合、有効応力解析により過剰間隙水圧比が 95%以上と判定された地盤については液状化するものとし、周面摩擦力を考慮しない。地盤改良体や非液状化層については、周面摩擦力を支持力として考慮する。

終局鉛直支持力の算定条件を表 5-2～表 5-4 に示す。

$$R_{ua} = \frac{\gamma}{n} R_u$$

ここで、 R_{ua} : 終局鉛直支持力

γ : 極限支持力推定法の相違による安全率の補正係数

(極限支持力を支持力推定式で算定するため、 $\gamma = 1.0$ とする)

n : 安全率 (キャスク指針に基づき、 $n = 1.2$ とする)

R_u : 地盤から決まる杭の極限支持力 (kN)

$$R_u = q_d \cdot A + U \cdot \sum L_i \cdot f_i$$

q_d : 杭先端における単位面積当たりの極限支持力度 (kN/m²)

適用する杭工法及び杭先端の地盤種別に応じて設定

$q_d = 3q_u$: コンクリート打設方式

($q_d = 3q_u$ は西山層の平板載荷試験結果に基づき設定する。)

A : 杭先端面積 (m²)

N : 杭先端地盤における標準貫入試験の N 値

U : 杭の周長 (m)

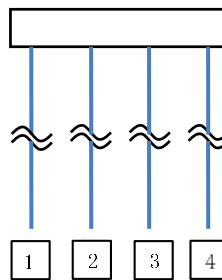
L_i : 周面摩擦力を考慮する層の層厚 (m)

f_i : 周面摩擦力を考慮する層の最大周面摩擦力度 (kN/m²)

表 5-2 地盤の支持性能に対する許容限界（押込み，A-A断面）

項目	算定結果			
	1	2	3	4
$q_d A$ (kN)	9483	9483	9483	9483
杭先端の極限支持力度 q_d (kN/m ²)	6178	6178	6178	6178
杭先端面積 A (m ²) *	1.535	1.535	1.535	1.535
杭の周長 U (m) *	4.392	4.392	4.392	4.392

注記* : 腐食代 1mm 考慮

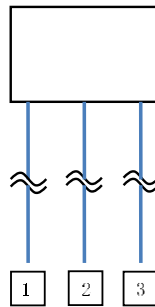


評価位置

表 5-3 地盤の支持性能に対する許容限界（押込み，B-B断面）

項目	算定結果		
	1	2	3
$q_d A$ (kN)	9483	9483	9483
杭先端の極限支持力度 q_d (kN/m ²)	6178	6178	6178
杭先端面積 A (m ²) *	1.535	1.535	1.535
杭の周長 U (m) *	4.392	4.392	4.392

注記* : 腐食代 1mm 考慮



評価位置

表 5-4 地盤の支持性能に対する許容限界（押込み，C-C断面）（1/2）

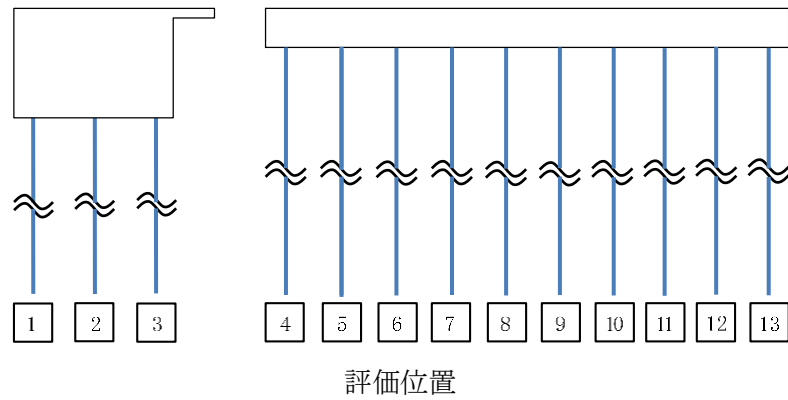
項目	算定結果						
	1	2	3	4	5	6	7
$q_d A$ (kN)	9483	9483	9483	9483	9483	9483	9483
杭先端の極限支持力度 q_d (kN/m ²)	6178	6178	6178	6178	6178	6178	6178
杭先端面積 A (m ²) *	1.535	1.535	1.535	1.535	1.535	1.535	1.535
杭の周長 U (m) *	4.392	4.392	4.392	4.392	4.392	4.392	4.392

注記* : 腐食代 1mm 考慮

表 5-4 地盤の支持性能に対する許容限界（押込み，C-C断面）（2/2）

項目	算定結果					
	8	9	10	11	12	13
$q_d A$ (kN)	9483	9483	9483	9483	9483	9483
杭先端の極限支持力度 q_d (kN/m ²)	6178	6178	6178	6178	6178	6178
杭先端面積 A (m ²) *	1.535	1.535	1.535	1.535	1.535	1.535
杭の周長 U (m) *	4.392	4.392	4.392	4.392	4.392	4.392

注記* : 腐食代 1mm 考慮



(2) 基礎地盤の引抜きに対する評価

基礎地盤の引抜きに対する許容限界は、道路橋示方書の杭基礎（中掘り杭工法）より設定する極限引抜き力に、キャスク指針に基づく安全率 1.2 を考慮した終局引抜き力とする。杭周面の地盤が液状化層である場合、有効応力解析により過剰間隙水圧比が 95%以上と判定された地盤については液状化するものとし、周面摩擦力を考慮しない。地盤改良体や非液状化層については、周面摩擦力を支持力として考慮する。

各杭（1本）について引抜きに対する評価を行うことを基本とするが、照査値が 1 以上となる場合は、全ての杭頭に生じる鉛直力の総和と終局引抜き力の総和を比較することで、基礎一体として評価する。

$$P_a = \frac{1}{n} P_u$$

ここで、 P_a : 終局引抜き力

n : 安全率（キャスク指針に基づき、 $n=1.2$ とする）

P_u : 地盤から決まる杭の極限引抜き力(kN)

$$P_u = U \cdot \sum L_i \cdot f_i$$

U : 杭の周長(m)

L_i : 周面摩擦力を考慮する層の層厚(m)

f_i : 周面摩擦力を考慮する層の最大周面摩擦力度(kN/m²)

6. 評価結果

6.1 地震応答解析結果

地震応答解析結果として、「ひずみ分布」,「断面力分布」,「曲率分布」,「最大せん断ひずみ分布」及び「過剰間隙水圧比分布」を記載する。なお,断面力分布は単位奥行きあたりの断面力を図示する。

耐震評価においては, KK7 補足-027-1「資料1 屋外重要土木構造物の耐震安全性評価について」の「9. 屋外重要土木構造物の耐震評価における追加解析ケースの選定について」に基づき, 全ての基準地震動 S_s に対して実施する解析ケース①(基本ケース)で地震応答解析を実施し, 鋼管杭及び基礎地盤の支持性能については得られた応答値から, 鉄筋コンクリート部材については「4. 鉄筋コンクリート部材の解析」に示す3次元構造解析から照査値を算定する。また, 曲げ軸力照査, せん断力照査及び基礎地盤の支持性能照査の各評価項目について, 照査値が最も厳しい(許容限界に対する余裕が最も小さい)地震動を用い, 追加解析ケースとして解析ケース②~⑤で地震応答解析を実施し, 解析ケース①(基本ケース)と同様に照査値を算定する。上記解析ケースの結果を踏まえ, さらに照査値が大きくなる可能性がある場合は, 追加解析を実施する。

6.1.1 解析ケースと照査値

(1) 曲げ軸力照査

a. 鉄筋コンクリート部材

表 6-1 及び表 6-2 に、3次元構造解析に基づく鉄筋コンクリート部材の曲げ軸力照査の実施ケースと照査値を示す。

表 6-1 鉄筋コンクリート部材の曲げ軸力照査の実施ケースと照査値
(第一ガスタービン発電機基礎)

解析ケース 地震動		鉄筋コンクリートの曲げ軸力照査				
		①	②	③	④	⑤
Ss-1	++	0.00080				
	-+	0.0011				
	+-	0.0018				
	--	0.0010				
Ss-2		0.00080				
Ss-3	++	0.00090	0.00090	0.0010	0.00070	0.00060
	-+	0.00080				
	+-	0.0010				
	--	0.00070	0.00070	0.00070	0.00070	0.00070
Ss-4		0.00060				
Ss-5		0.00060				
Ss-6		0.0014				
Ss-7		0.00090				
Ss-8	++	0.00060				
	-+	0.00060				

表 6-2 鉄筋コンクリート部材の曲げ軸力照査の実施ケースと照査値
(第一ガスタービン発電機用燃料タンク基礎 1/3)

第一ガスタービン発電機用燃料タンク基礎 側壁

地震動		鉄筋コンクリートの曲げ軸力照査				
		①	②	③	④	⑤
Ss-1	++	0.014				
	-+	0.016				
	+-	0.014				
	--	0.018				
Ss-2		0.012				
Ss-3	++	0.012	0.012	0.011	0.013	0.013
	-+	0.0089				
	+-	0.012				
	--	0.016	0.013	0.016	0.013	0.013
Ss-4		0.011				
Ss-5		0.014				
Ss-6		0.015				
Ss-7		0.013				
Ss-8	++	0.016				
	-+	0.0092				

第一ガスタービン発電機用燃料タンク基礎 隔壁

地震動		鉄筋コンクリートの曲げ軸力照査				
		①	②	③	④	⑤
Ss-1	++	0.0048				
	-+	0.0049				
	+-	0.0049				
	--	0.0053				
Ss-2		0.0045				
Ss-3	++	0.0044	0.0045	0.0043	0.0050	0.0048
	-+	0.0052				
	+-	0.0054				
	--	0.0061	0.0056	0.0055	0.0053	0.0051
Ss-4		0.0044				
Ss-5		0.0054				
Ss-6		0.0049				
Ss-7		0.0049				
Ss-8	++	0.0052				
	-+	0.0056				

表 6-2 鉄筋コンクリート部材の曲げ軸力照査の実施ケースと照査値
(第一ガスタービン発電機用燃料タンク基礎 2/3)

第一ガスタービン発電機用燃料タンク基礎 頂版

地震動		鉄筋コンクリートの曲げ軸力照査				
		①	②	③	④	⑤
Ss-1	++	0.0097				
	-+	0.013				
	+-	0.0093				
	--	0.014				
Ss-2		0.0091				
Ss-3	++	0.0081	0.0085	0.0096	0.0084	0.0089
	-+	0.0081				
	+-	0.0086				
	--	0.014	0.0094	0.014	0.010	0.010
Ss-4		0.0085				
Ss-5		0.0085				
Ss-6		0.012				
Ss-7		0.011				
Ss-8	++	0.012				
	-+	0.0081				

第一ガスタービン発電機用燃料タンク基礎 底版

地震動		鉄筋コンクリートの曲げ軸力照査				
		①	②	③	④	⑤
Ss-1	++	0.0064				
	-+	0.0072				
	+-	0.0063				
	--	0.0080				
Ss-2		0.0050				
Ss-3	++	0.0067	0.0075	0.0055	0.0070	0.0076
	-+	0.0046				
	+-	0.0061				
	--	0.0084	0.0058	0.0082	0.0062	0.0065
Ss-4		0.0045				
Ss-5		0.0047				
Ss-6		0.0062				
Ss-7		0.0058				
Ss-8	++	0.0071				
	-+	0.0047				

表 6-2 鉄筋コンクリート部材の曲げ軸力照査の実施ケースと照査値
(第一ガスタービン発電機用燃料タンク基礎 3/3)

第一ガスタービン発電機用燃料タンク基礎 張出部

地震動		鉄筋コンクリートの曲げ軸力照査				
		①	②	③	④	⑤
Ss-1	++	0.011				
	-+	0.011				
	+-	0.0096				
	--	0.011				
Ss-2		0.0099				
Ss-3	++	0.0098	0.0092	0.011	0.0084	0.0079
	-+	0.0087				
	+-	0.0099				
	--	0.011	0.012	0.0097	0.010	0.011
Ss-4		0.0098				
Ss-5		0.011				
Ss-6		0.011				
Ss-7		0.011				
Ss-8	++	0.0089				
	-+	0.0092				

b. 鋼管杭

表 6-3 に、鋼管杭の曲げ軸力照査の実施ケースと照査値を示す。

表 6-3 鋼管杭の曲げ軸力照査の実施ケースと照査値 (1/2)

A-A断面

地震動		鋼管杭の曲げ軸力照査				
		①	②	③	④	⑤
Ss-1	++	0.16				
	-+	0.15				
	+-	0.17				
	--	0.16				
Ss-2		0.059				
Ss-3	++	0.21	0.23	0.19	0.18	0.15
	-+	0.19				
	+-	0.21				
	--	0.19				
Ss-4		0.053				
Ss-5		0.046				
Ss-6		0.050				
Ss-7		0.057				
Ss-8	++	0.13				
	-+	0.12				

B-B断面

地震動		鋼管杭の曲げ軸力照査				
		①	②	③	④	⑤
Ss-1	++	0.20				
	-+	0.22				
	+-	0.20				
	--	0.22				
Ss-2		0.058				
Ss-3	++	0.28	0.25	0.28	0.30	0.25
	-+	0.32				
	+-	0.28				
	--	0.31				
Ss-4		0.051				
Ss-5		0.075				
Ss-6		0.069				
Ss-7		0.12				
Ss-8	++	0.15				
	-+	0.13				

表 6-3 鋼管杭の曲げ軸力照査の実施ケースと照査値 (2/2)

C-C断面

地震動		鋼管杭の曲げ軸力照査				
		①	②	③	④	⑤
Ss-1	++	0.30				
	-+	0.30				
	+-	0.32				
	--	0.30				
Ss-2		0.18				
Ss-3	++	0.45	0.38	0.54	0.32	0.29
	-+	0.73		0.85		
	+-	0.44				
	--	0.73	0.62	0.85	0.42	0.36
Ss-4		0.15				
Ss-5		0.28				
Ss-6		0.25				
Ss-7		0.28				
Ss-8	++	0.16				
	-+	0.17				

注： □は、前述 3.5.1 のフローに基づき、解析ケース②～⑤を実施する地震動の基本ケース①の照査値を示す。

(2) せん断力照査

a. 鉄筋コンクリート部材

表 6-4 及び表 6-5 に、鉄筋コンクリート部材のせん断力照査の実施ケースと照査値を示す。

表 6-4 鉄筋コンクリート部材のせん断力照査の実施ケースと照査値
(第一ガスタービン発電機基礎)

地震動		鉄筋コンクリートのせん断力照査				
		①	②	③	④	⑤
Ss-1	++	0.069				
	-+	0.070				
	+-	0.078				
	--	0.084				
Ss-2		0.065				
Ss-3	++	0.063	0.068	0.066	0.063	0.061
	-+	0.071				
	+-	0.062				
	--	0.062	0.060	0.064	0.061	0.060
Ss-4		0.018				
Ss-5		0.061				
Ss-6		0.062				
Ss-7		0.057				
Ss-8	++	0.057				
	-+	0.057				

表 6-5 鉄筋コンクリート部材のせん断力照査の実施ケースと照査値
(第一ガスタービン発電機用燃料タンク基礎 1/3)

第一ガスタービン発電機用燃料タンク基礎 側壁

地震動		鉄筋コンクリートのせん断力照査				
		①	②	③	④	⑤
Ss-1	++	0.31				
	-+	0.37				
	+-	0.34				
	--	0.43				
Ss-2		0.26				
Ss-3	++	0.29	0.31	0.28	0.30	0.31
	-+	0.23				
	+-	0.30				
	--	0.38	0.30	0.39	0.31	0.29
Ss-4		0.25				
Ss-5		0.30				
Ss-6		0.33				
Ss-7		0.30				
Ss-8	++	0.37				
	-+	0.21				

第一ガスタービン発電機用燃料タンク基礎 隔壁

地震動		鉄筋コンクリートのせん断力照査				
		①	②	③	④	⑤
Ss-1	++	0.061				
	-+	0.068				
	+-	0.055				
	--	0.070				
Ss-2		0.045				
Ss-3	++	0.060	0.062	0.058	0.068	0.067
	-+	0.053				
	+-	0.059				
	--	0.10	0.050	0.099	0.059	0.054
Ss-4		0.041				
Ss-5		0.045				
Ss-6		0.053				
Ss-7		0.050				
Ss-8	++	0.068				
	-+	0.070				

表 6-5 鉄筋コンクリート部材のせん断力照査の実施ケースと照査値
(第一ガスタービン発電機用燃料タンク基礎 2/3)

第一ガスタービン発電機用燃料タンク基礎 頂版

地震動		鉄筋コンクリートのせん断力照査				
		①	②	③	④	⑤
Ss-1	++	0.19				
	-+	0.23				
	+-	0.18				
	--	0.26				
Ss-2		0.18				
Ss-3	++	0.16	0.17	0.18	0.17	0.17
	-+	0.15				
	+-	0.17				
	--	0.22	0.19	0.22	0.20	0.20
Ss-4		0.17				
Ss-5		0.17				
Ss-6		0.22				
Ss-7		0.20				
Ss-8	++	0.21				
	-+	0.15				

第一ガスタービン発電機用燃料タンク基礎 底版

地震動		鉄筋コンクリートのせん断力照査				
		①	②	③	④	⑤
Ss-1	++	0.28				
	-+	0.31				
	+-	0.25				
	--	0.34				
Ss-2		0.27				
Ss-3	++	0.28	0.29	0.26	0.34	0.33
	-+	0.25				
	+-	0.27				
	--	0.34	0.24	0.31	0.28	0.30
Ss-4		0.25				
Ss-5		0.27				
Ss-6		0.25				
Ss-7		0.27				
Ss-8	++	0.34				
	-+	0.26				

表 6-5 鉄筋コンクリート部材のせん断力照査の実施ケースと照査値
(第一ガスタービン発電機用燃料タンク基礎 3/3)

第一ガスタービン発電機用燃料タンク基礎 張出部

地震動		鉄筋コンクリートのせん断力照査				
		①	②	③	④	⑤
Ss-1	++	0.19				
	-+	0.19				
	+-	0.17				
	--	0.21				
Ss-2		0.18				
Ss-3	++	0.18	0.17	0.18	0.17	0.16
	-+	0.16				
	+-	0.18				
	--	0.20	0.19	0.19	0.19	0.20
Ss-4		0.18				
Ss-5		0.18				
Ss-6		0.19				
Ss-7		0.17				
Ss-8	++	0.17				
	-+	0.16				

b. 鋼管杭

表 6-6 に、鋼管杭のせん断力照査の実施ケースと照査値を示す。

表 6-6 鋼管杭のせん断力照査の実施ケースと照査値 (1/2)

A-A断面

地震動		鋼管杭のせん断力照査				
		①	②	③	④	⑤
Ss-1	++	0.32				
	-+	0.30				
	+-	0.32				
	--	0.30				
Ss-2		0.16				
Ss-3	++	0.39	0.41	0.35	0.36	0.37
	-+	0.37				
	+-	0.38				
	--	0.37				
Ss-4		0.15				
Ss-5		0.13				
Ss-6		0.14				
Ss-7		0.17				
Ss-8	++	0.26				
	-+	0.25				

B-B断面

地震動		鋼管杭のせん断力照査				
		①	②	③	④	⑤
Ss-1	++	0.44				
	-+	0.43				
	+-	0.44				
	--	0.43				
Ss-2		0.24				
Ss-3	++	0.47	0.47	0.44	0.45	0.47
	-+	0.45				
	+-	0.47				
	--	0.45				
Ss-4		0.25				
Ss-5		0.32				
Ss-6		0.31				
Ss-7		0.39				
Ss-8	++	0.39				
	-+	0.37				

注： □は、前述 3.5.1 のフローに基づき、解析ケース②～⑤を実施する地震動の基本ケース①の照査値を示す。

表 6-6 鋼管杭のせん断力照査の実施ケースと照査値 (2/2)

C-C断面

地震動		鋼管杭のせん断力照査				
		①	②	③	④	⑤
Ss-1	++	0.60				
	-+	0.62				
	+-	0.62				
	--	0.62				
Ss-2		0.37				
Ss-3	++	0.85	0.82	0.87	0.70	0.67
	-+	0.76				
	+-	0.85		0.86		
	--	0.76	0.85	0.76	0.69	0.73
Ss-4		0.32				
Ss-5		0.57				
Ss-6		0.53				
Ss-7		0.74				
Ss-8	++	0.39				
	-+	0.37				

注： □は、前述 3.5.1 のフローに基づき、解析ケース②～⑤を実施する地震動の基本ケース①の照査値を示す。

(3) 基礎地盤の支持性能照査

表 6-7 に基礎地盤の押込みに対する支持性能照査の実施ケースと照査値, 表 6-8 に基礎地盤の引抜きに対する支持性能照査の実施ケースと照査値を示す。

表 6-7 基礎地盤の押込みに対する支持性能照査の実施ケースと照査値 (1/2)

A-A断面

地震動		基礎地盤の押込みに対する支持性能照査				
		①	②	③	④	⑤
Ss-1	++	0.22				
	-+	0.24				
	+-	0.21				
	--	0.23				
Ss-2		0.13				
Ss-3	++	0.22	0.24	0.23	0.22	0.21
	-+	0.26				
	+-	0.23				
	--	0.25				
Ss-4		0.12				
Ss-5		0.12				
Ss-6		0.14				
Ss-7		0.15				
Ss-8	++	0.15				
	-+	0.19				

B-B断面

地震動		基礎地盤の押込みに対する支持性能照査				
		①	②	③	④	⑤
Ss-1	++	0.61				
	-+	0.56				
	+-	0.59				
	--	0.59				
Ss-2		0.35				
Ss-3	++	0.63	0.61	0.64	0.49	0.40
	-+	0.57				
	+-	0.65				
	--	0.63				
Ss-4		0.35				
Ss-5		0.42				
Ss-6		0.44				
Ss-7		0.54				
Ss-8	++	0.48				
	-+	0.43				

表 6-7 基礎地盤の押込みに対する支持性能照査の実施ケースと照査値 (2/2)

C-C断面

地震動		基礎地盤の押込みに対する支持性能照査				
		①	②	③	④	⑤
Ss-1	++	0.30				
	-+	0.27				
	+-	0.32				
	--	0.27				
Ss-2		0.24				
Ss-3	++	0.28	0.27	0.27	0.25	0.25
	-+	0.30				
	+-	0.28				
	--	0.29	0.29	0.27	0.27	0.29
Ss-4		0.22				
Ss-5		0.25				
Ss-6		0.26				
Ss-7		0.27				
Ss-8	++	0.21				
	-+	0.22				

表 6-8 基礎地盤の引抜きに対する支持性能照査の実施ケースと照査値 (1/2)

A-A断面

地震動 \ 解析ケース		鋼管杭の引抜きに対する支持性能照査				
		①	②	③	④	⑤
Ss-1	++	0.41				
	-+	0.35				
	+-	0.40				
	--	0.34				
Ss-2		0.031				
Ss-3	++	0.41	0.34	0.49	0.27	0.17
	-+	0.50				
	+-	0.46				
	--	0.49				
Ss-4		0.054				
Ss-5		0.079				
Ss-6		0.043				
Ss-7		0.066				
Ss-8	++	0.21				
	-+	0.12				

B-B断面

地震動 \ 解析ケース		鋼管杭の引抜きに対する支持性能照査				
		①	②	③	④	⑤
Ss-1	++	0.75				
	-+	0.77				
	+-	0.78				
	--	0.80				
Ss-2		0.22				
Ss-3	++	0.88	0.84	0.87	0.61	0.49
	-+	0.98				
	+-	0.83				
	--	1.00*				
Ss-4		0.28				
Ss-5		0.47				
Ss-6		0.33				
Ss-7		0.55				
Ss-8	++	0.49				
	-+	0.58				

注記* : 基礎一体として評価した場合、杭頭に生じる鉛直力の総和は全時刻歴において圧縮側となるため、引抜きは生じない。

表 6-8 基礎地盤の引抜きに対する支持性能照査の実施ケースと照査値 (2/2)

C-C断面

地震動 \ 解析ケース		鋼管杭の引抜きに対する支持性能照査				
		①	②	③	④	⑤
Ss-1	++	0.098				
	-+	0.17				
	+-	0.052				
	--	0.18				
Ss-2		0.056				
Ss-3	++	0.081	0.067	0.25	0.11	0.081
	-+	0.078				
	+-	0.077				
	--	0.054	0.033	0.16	0.039	0.00
Ss-4		0.068				
Ss-5		0.20				
Ss-6		0.039				
Ss-7		0.085				
Ss-8	++	0.12				
	-+	0.00				

6.1.2 ひずみ分布図（鉄筋コンクリート部材の曲げ軸力照査）

常設代替交流電源設備基礎の鉄筋コンクリート部材の曲げ軸力照査において、各解析ケースのうち最も厳しい照査値となる結果を表 6-9 及び表 6-10 に示す。また、該当する解析ケースのひずみ分布図を図 6-1 及び図 6-2 に示す。なお図 6-1 及び図 6-2 は、表 6-9 及び表 6-10 に示す解析ケースの照査値最大時における最大ひずみと同方向のひずみ分布を示している。

表 6-9 鉄筋コンクリート部材の曲げ軸力照査結果（第一ガスタービン発電機基礎）

（最も厳しい照査値とその地震動）

解析 ケース	地震動	照査用圧縮ひずみ* $\epsilon_d (\mu)$	限界ひずみ $\epsilon_r (\mu)$	照査値
①	Ss-1+-	18	10000	0.0018

注記* : 照査用圧縮ひずみ $\epsilon_d =$ 圧縮縁の発生ひずみ $\epsilon \times$ 構造解析係数 γ

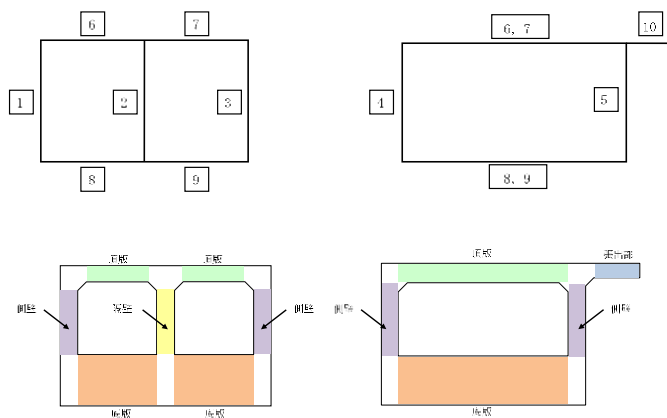
表 6-10 鉄筋コンクリート部材の曲げ軸力照査結果(第一ガスタービン発電機用燃料タンク基礎)

（最も厳しい照査値とその地震動）

評価位置*1		解析 ケース	地震動	照査用圧縮ひずみ* $\epsilon_d (\mu)$	限界ひずみ $\epsilon_r (\mu)$	照査値
側壁	4	①	Ss-1--	176	10000	0.018
隔壁	2	①	Ss-3--	61	10000	0.0061
頂版	7	①	Ss-1--	137	10000	0.014
底版	9	①	Ss-3--	84	10000	0.0084
張出部	10	②	Ss-3--	111	10000	0.012

注記*1 : 評価位置は下図に示す。

*2 : 照査用圧縮ひずみ $\epsilon_d =$ 圧縮縁の発生ひずみ $\epsilon \times$ 構造解析係数 γ



B-B断面

C-C断面

評価位置

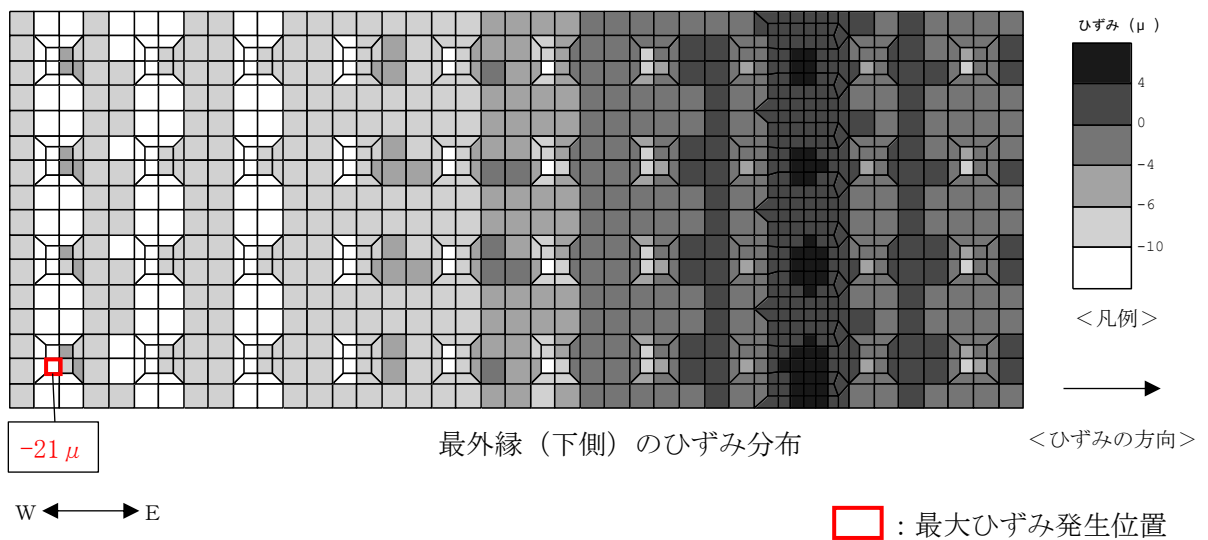
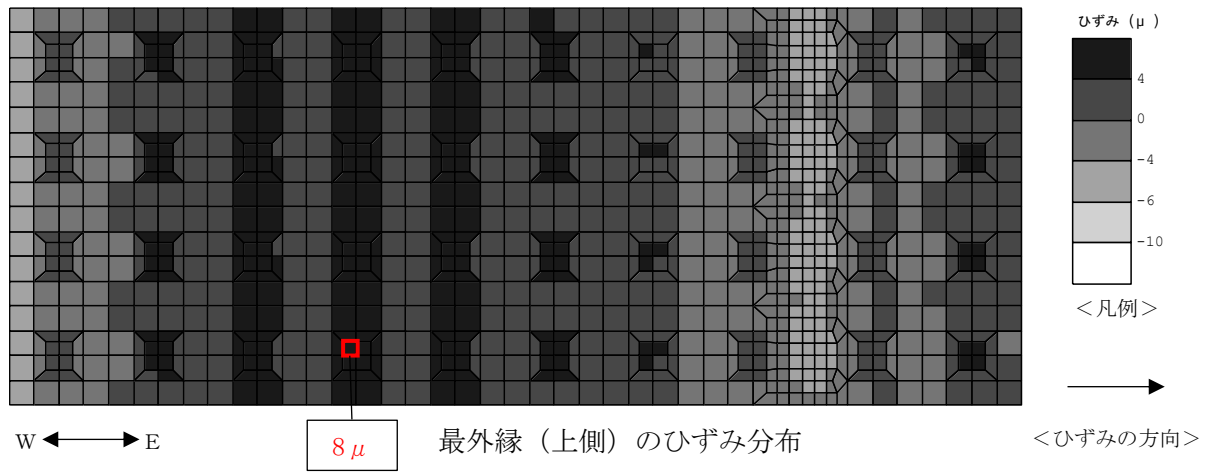
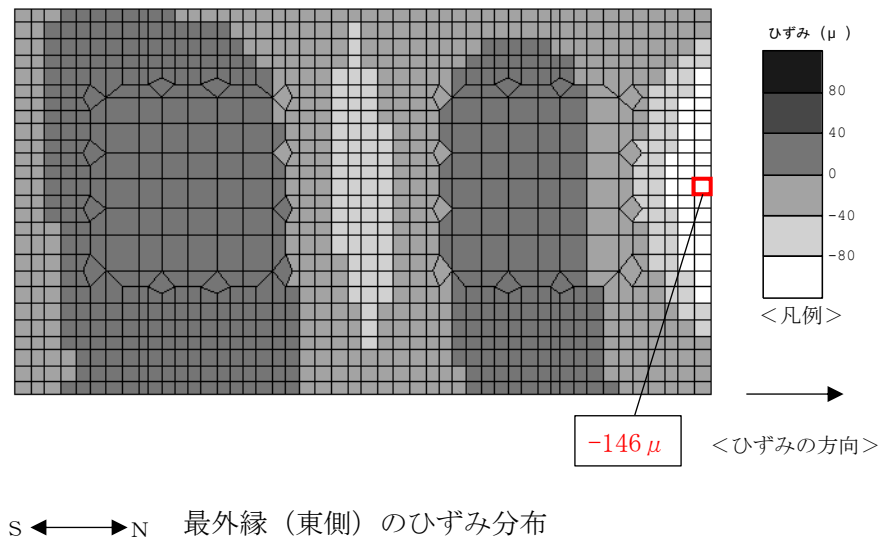
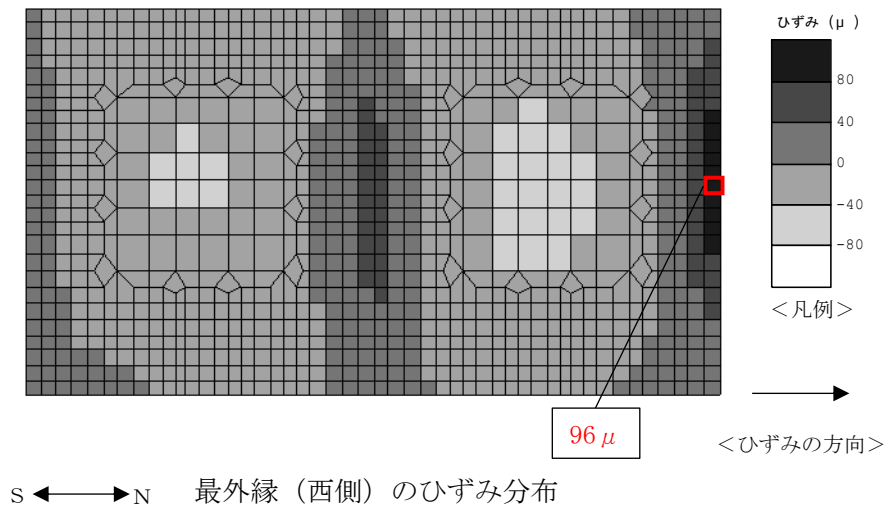


図 6-1 鉄筋コンクリート部材の曲げ軸力照査が最も厳しくなるケースでのひずみ分布図
 (第一ガスタービン発電機基礎, 解析ケース①, 地震動 Ss-1+-, t=5.93s)



□ : 最大ひずみ発生位置

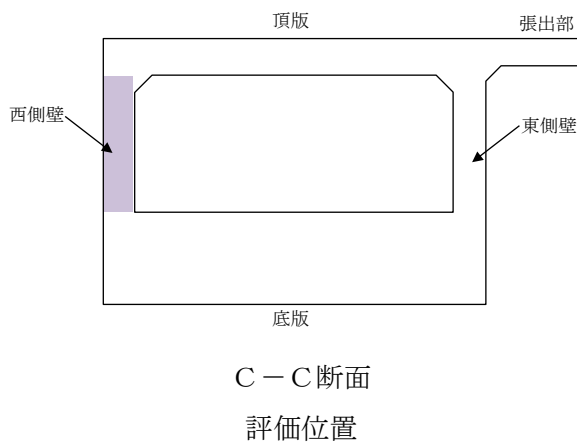


図 6-2 鉄筋コンクリート部材の曲げ軸力照査が最も厳しくなるケースでのひずみ分布図
(第一ガスタービン発電機用燃料タンク基礎(側壁④), 解析ケース①, 地震動 Ss-1-1, t=5.96s)

6.1.3 断面力分布（鉄筋コンクリート部材のせん断力照査）

常設代替交流電源設備基礎の鉄筋コンクリート部材のせん断力照査において、各解析ケースのうち、最も厳しい照査値となる解析ケースの一覧表を表 6-11 及び表 6-12 に示す。また、該当する解析ケースの断面力分布図（曲げモーメント、軸力、せん断力）を図 6-3 及び図 6-4 に示す。なお図 6-3 及び図 6-4 は、表 6-11 及び表 6-12 に示す解析ケースの照査値最大時における各断面力最大値と同方向の断面力分布を示している。

表 6-11 鉄筋コンクリート部材のせん断力照査結果（第一ガスタービン発電機基礎）
（最も厳しい照査値とその地震動）

解析ケース	地震動	照査用せん断力* V_d (kN)	せん断耐力 $V_{y d}$ (kN)	照査値 $V_d / V_{y d}$
①	Ss-1---	542	6520	0.084

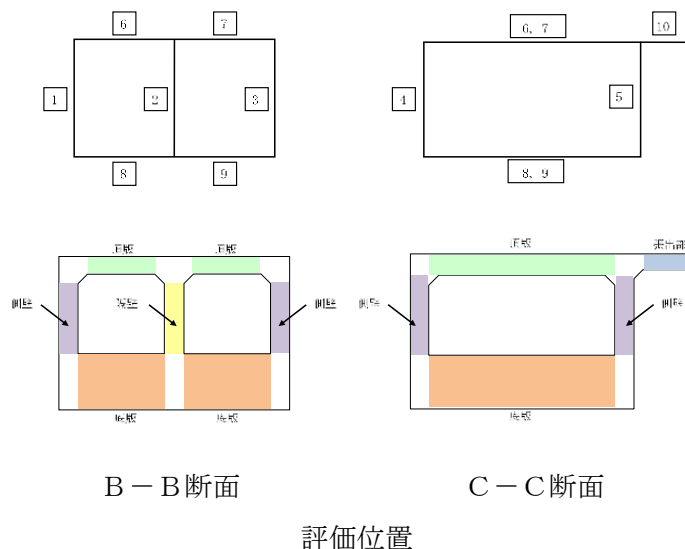
注記* : 照査用せん断力 $V_d =$ 発生せん断力 \times 構造解析係数 γ_a

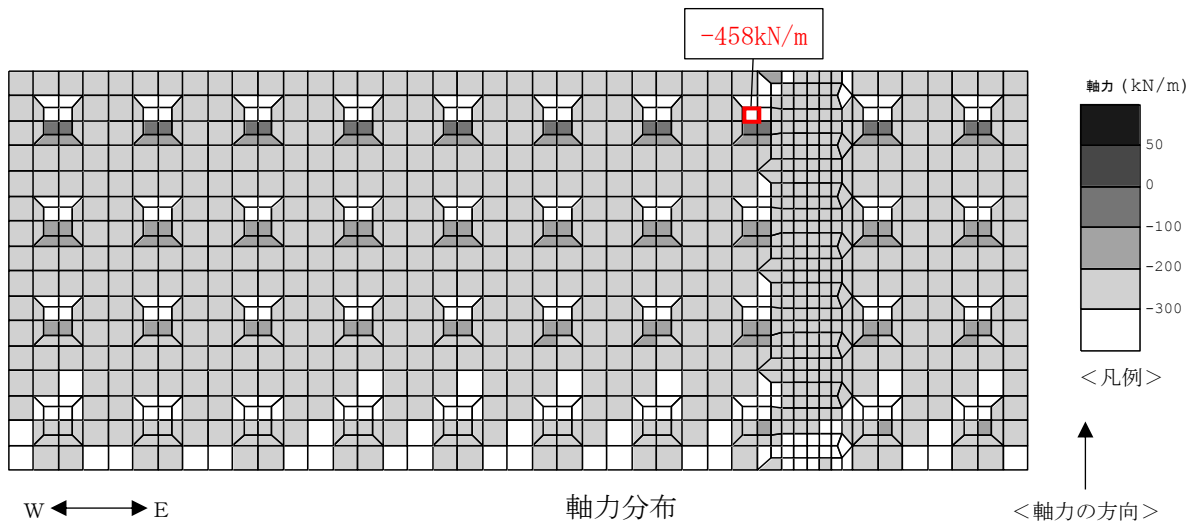
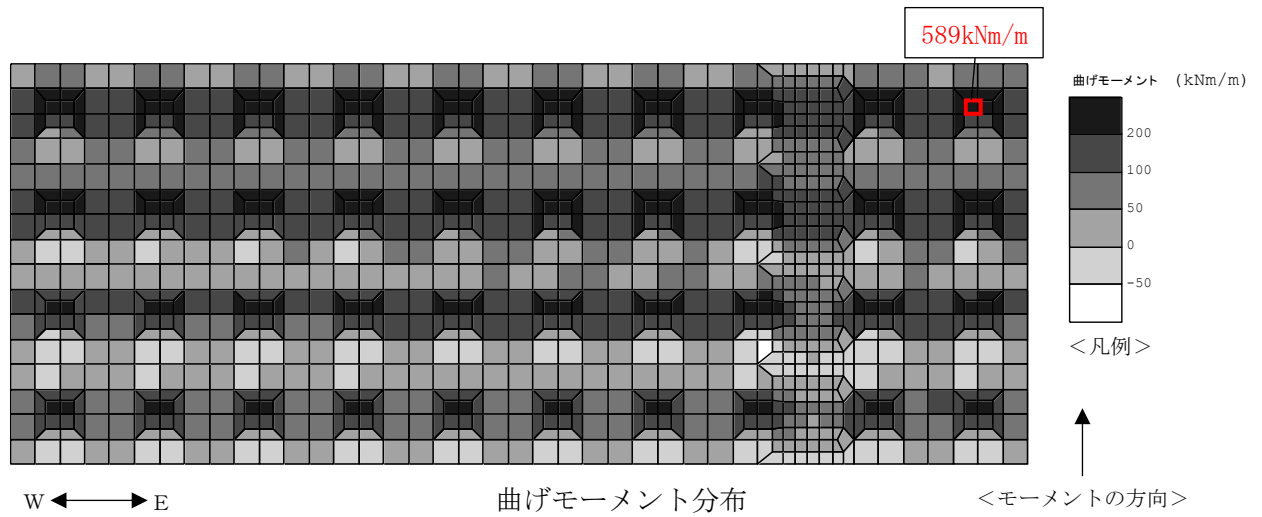
表 6-12 鉄筋コンクリート部材のせん断力照査結果（第一ガスタービン発電機用燃料タンク基礎）
（最も厳しい照査値とその地震動）

評価位置*1	解析ケース	地震動	照査用せん断力*2 V_d (kN)	せん断耐力 $V_{y d}$ (kN)	照査値 $V_d / V_{y d}$
側壁	3	①	794	1881	0.43
隔壁	2	①	209	2099	0.10
頂版	7	①	285	1138	0.26
底版	8	①	2481	7347	0.34
張出部	10	①	193	935	0.21

注記*1 : 評価位置は下図に示す。

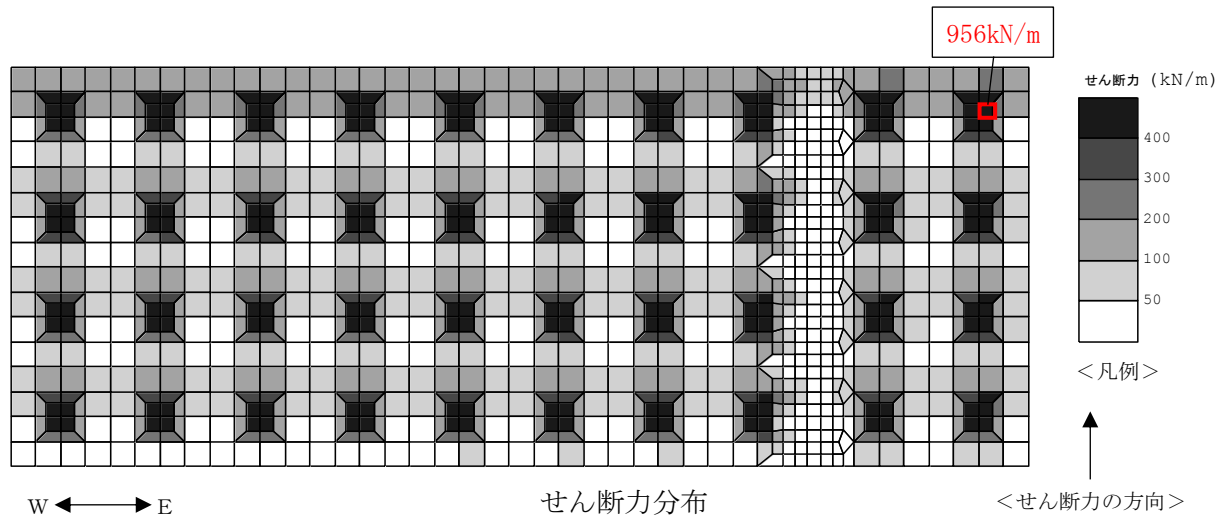
*2 : 照査用せん断力 $V_d =$ 発生せん断力 \times 構造解析係数 γ_a





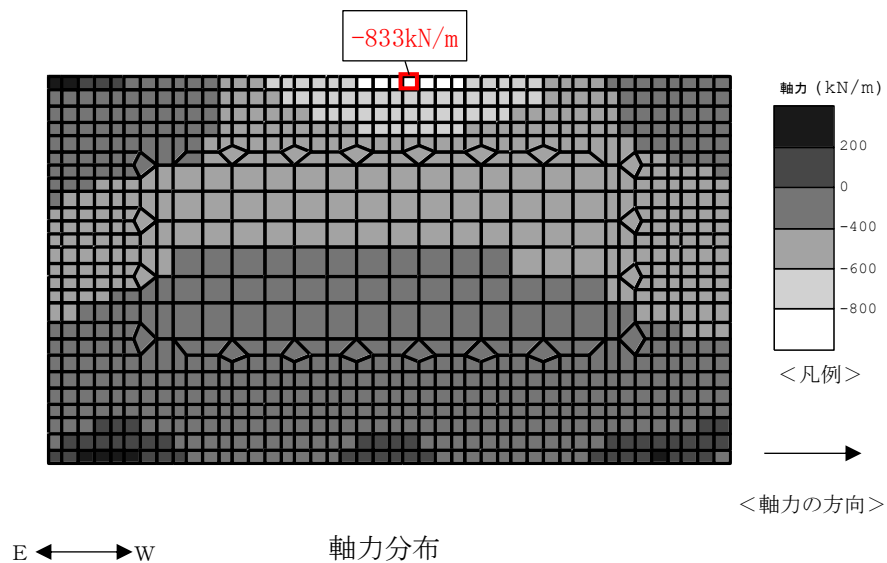
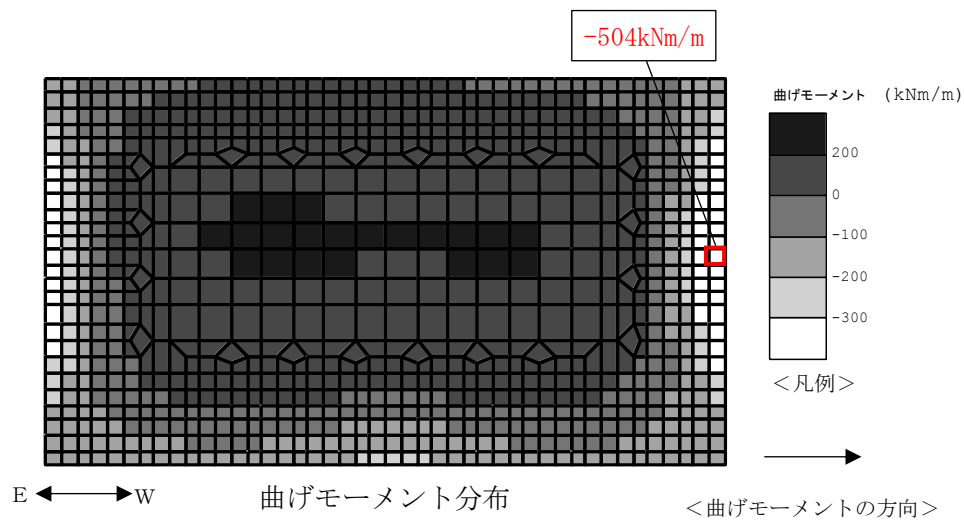
□ : 最大断面力発生位置

図 6-3 (1) 鉄筋コンクリート部材のせん断力照査が最も厳しくなるケースでの断面力分布図
(第一ガスタービン発電機基礎, 解析ケース①, 地震動 Ss-1--, t=5.93s)



□ : 最大断面力発生位置

図 6-3(2) 鉄筋コンクリート部材のせん断力照査が最も厳しくなるケースでの断面力分布図
 (第一ガスタービン発電機基礎, 解析ケース①, 地震動 Ss-1-1, t=5.93s)



□ : 最大断面力発生位置

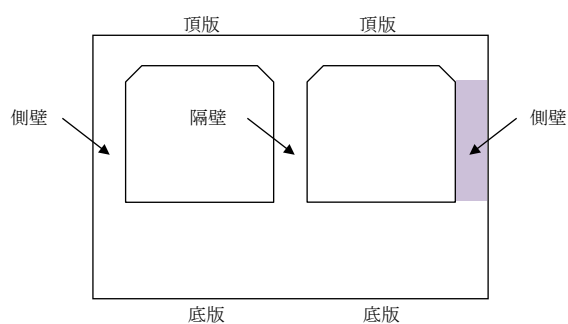
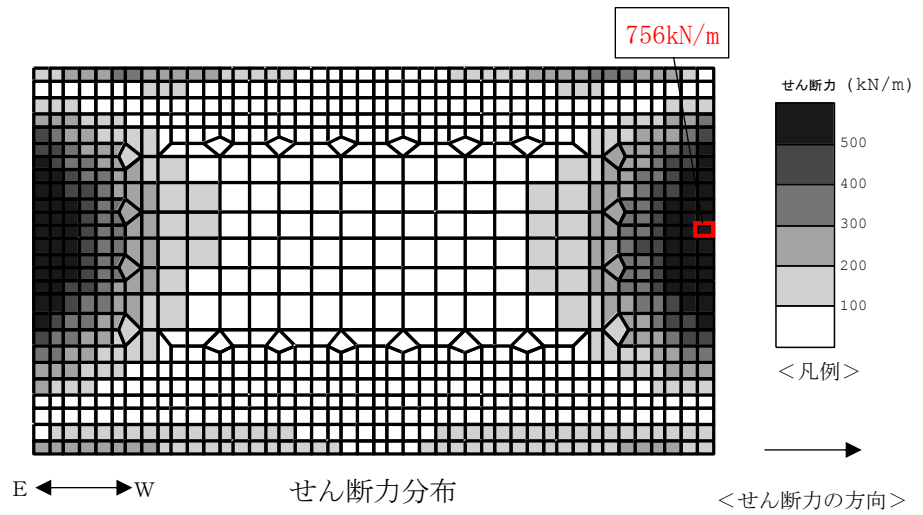


図 6-4(1) 鉄筋コンクリート部材のせん断力照査が最も厳しくなるケースでの断面力分布図
(第一ガスタービン発電機用燃料タンク基礎 (側壁③), 解析ケース①, 地震動 Ss-1--, t=5.96s)



□ : 最大断面力発生位置

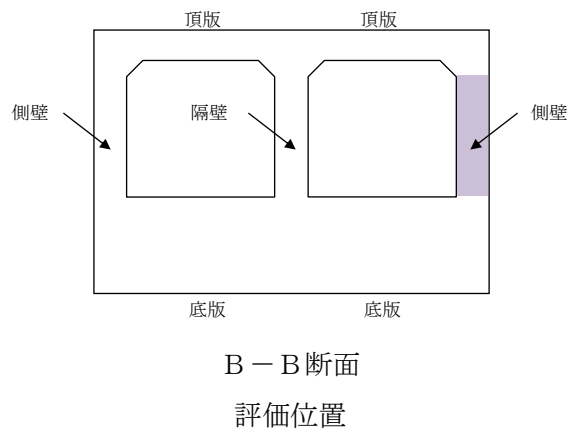


図 6-4 (2) 鉄筋コンクリート部材のせん断力照査が最も厳しくなるケースでの断面力分布図 (第一ガスタービン発電機用燃料タンク基礎 (側壁③), 解析ケース①, 地震動 Ss-1-1, t=5.96s)

6.1.4 妻壁の面内せん断力及び層間変位

地震応答解析における妻壁の面内せん断応力の最大値と時刻を表 6-13 及び表 6-14, 地震応答解析における妻壁の層間変位の最大値と時刻を表 6-15 及び表 6-16, 妻壁の位置を図 6-5～図 6-8 に示す。

表 6-13 地震応答解析における妻壁の面内せん断応力の最大値と時刻 (B-B断面)

解析ケース	地震動	面内せん断応力の最大値 (kN/m ²)		面内せん断応力最大時の時刻 (s)	
		南妻壁	北妻壁	南妻壁	北妻壁
①	Ss-1++	775	762	5.90	10.68
	Ss-1-+	893	683	10.62	6.67
	Ss-1+-	801	759	5.91	10.66
	Ss-1--	886	687	10.59	6.68
	Ss-2	503	473	25.78	22.57
	Ss-3++	843	822	19.53	17.91
	Ss-3-+	948	723	17.88	17.87
	Ss-3+-	853	830	19.54	17.92
	Ss-3--	962	713	17.89	19.53
	Ss-4	617	480	65.65	65.67
	Ss-5	663	571	66.93	64.93
	Ss-6	668	582	65.86	65.85
	Ss-7	722	684	66.69	66.69
	Ss-8++	751	669	8.24	8.24
	Ss-8-+	770	639	8.24	8.23
②	Ss-3++	835	807	19.52	17.89
	Ss-3--	930	719	17.87	19.51
③	Ss-3++	794	753	17.91	17.93
	Ss-3--	931	710	17.92	17.93
④	Ss-3++	627	627	37.58	37.58
	Ss-3--	708	539	37.59	19.52
⑤	Ss-3++	556	546	37.56	37.56
	Ss-3--	656	479	37.56	36.73

注 : □は、壁部材の面内せん断に対する照査を実施するケース

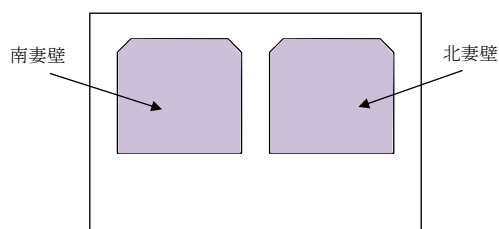


図 6-5 妻壁の位置 (B-B断面)

表 6-14 地震応答解析における妻壁の面内せん断応力の最大値と時刻 (C-C断面)

解析ケース	地震動	面内せん断応力の 最大値 (kN/m ²)	面内せん断応力 最大時の時刻 (s)
①	Ss-1++	307	6.62
	Ss-1-+	374	6.07
	Ss-1+-	308	6.69
	Ss-1--	410	6.01
	Ss-2	360	19.53
	Ss-3++	252	17.84
	Ss-3-+	219	8.94
	Ss-3+-	236	19.44
	Ss-3--	258	17.3
	Ss-4	339	46.34
	Ss-5	455	46.97
	Ss-6	359	54.84
	Ss-7	406	55.44
	Ss-8++	461	8.23
Ss-8-+	210	8.11	
②	Ss-3++	266	17.81
	Ss-3--	267	17.28
③	Ss-3++	265	17.89
	Ss-3--	246	17.34
④	Ss-3++	448	17.81
	Ss-3--	322	25.07
⑤	Ss-3++	459	37.54
	Ss-3--	324	19.51

注 : □は、壁部材の面内せん断に対する照査を実施するケース

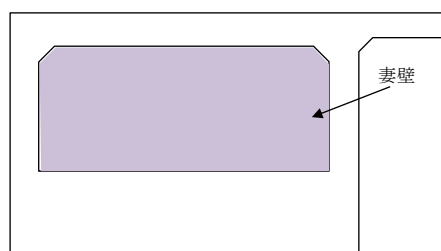


図 6-6 妻壁の位置 (C-C断面)

表 6-15 地震応答解析における妻壁の層間変位の最大値と時刻 (B-B断面)

解析ケース	地震動	層間変位の最大値 (cm)		層間変位最大時の 時刻(s)	
		南妻壁	北妻壁	南妻壁	北妻壁
①	Ss-1++	2.34×10^{-2}	2.29×10^{-2}	5.92	10.68
	Ss-1-+	2.66×10^{-2}	2.04×10^{-2}	10.60	5.92
	Ss-1+-	2.29×10^{-2}	2.29×10^{-2}	5.91	10.65
	Ss-1--	2.65×10^{-2}	2.04×10^{-2}	10.63	6.02
	Ss-2	1.47×10^{-2}	1.35×10^{-2}	25.78	22.58
	Ss-3++	2.55×10^{-2}	2.46×10^{-2}	19.53	17.91
	Ss-3-+	2.84×10^{-2}	2.10×10^{-2}	17.89	19.54
	Ss-3+-	2.52×10^{-2}	2.48×10^{-2}	19.54	17.93
	Ss-3--	2.84×10^{-2}	2.07×10^{-2}	17.89	19.53
	Ss-4	1.84×10^{-2}	1.36×10^{-2}	65.62	63.62
	Ss-5	2.00×10^{-2}	1.71×10^{-2}	66.91	64.93
	Ss-6	1.73×10^{-2}	1.70×10^{-2}	65.85	65.85
	Ss-7	2.03×10^{-2}	2.03×10^{-2}	65.09	66.68
	Ss-8++	2.00×10^{-2}	1.99×10^{-2}	8.23	8.24
Ss-8-+	2.28×10^{-2}	1.74×10^{-2}	8.24	8.23	
②	Ss-3++	2.51×10^{-2}	2.44×10^{-2}	19.52	17.89
	Ss-3--	2.73×10^{-2}	2.11×10^{-2}	17.85	19.51
③	Ss-3++	2.33×10^{-2}	2.16×10^{-2}	19.55	17.95
	Ss-3--	2.70×10^{-2}	1.97×10^{-2}	17.92	17.34
④	Ss-3++	1.73×10^{-2}	1.89×10^{-2}	19.52	37.58
	Ss-3--	2.09×10^{-2}	1.60×10^{-2}	37.59	19.51
⑤	Ss-3++	1.60×10^{-2}	1.66×10^{-2}	19.50	37.56
	Ss-3--	1.90×10^{-2}	1.41×10^{-2}	37.56	19.49

注 : □は、壁部材の面内せん断に対する照査を実施するケース

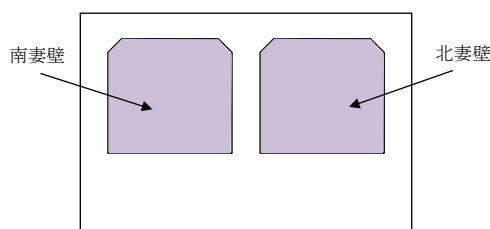


図 6-7 妻壁の位置 (B-B断面)

表 6-16 地震応答解析における妻壁の層間変位の最大値と時刻 (C-C断面)

解析ケース	地震動	層間変位の最大値 (cm)	層間変位最大時の 時刻(s)
①	Ss-1++	7.11×10^{-3}	4.32
	Ss-1-+	9.29×10^{-3}	6.07
	Ss-1+-	7.53×10^{-3}	4.33
	Ss-1--	9.40×10^{-3}	6.01
	Ss-2	9.56×10^{-3}	19.52
	Ss-3++	5.70×10^{-3}	19.43
	Ss-3-+	5.82×10^{-3}	8.93
	Ss-3+-	5.72×10^{-3}	19.44
	Ss-3--	6.18×10^{-3}	8.94
	Ss-4	8.60×10^{-3}	46.34
	Ss-5	1.12×10^{-2}	46.97
	Ss-6	7.11×10^{-3}	54.85
	Ss-7	8.77×10^{-3}	55.44
	Ss-8++	1.18×10^{-2}	8.23
Ss-8-+	5.36×10^{-3}	7.43	
②	Ss-3++	5.86×10^{-3}	19.4
	Ss-3--	6.12×10^{-3}	17.57
③	Ss-3++	5.36×10^{-3}	19.46
	Ss-3--	5.40×10^{-3}	8.99
④	Ss-3++	1.14×10^{-2}	17.8
	Ss-3--	7.84×10^{-3}	25.08
⑤	Ss-3++	1.19×10^{-2}	37.54
	Ss-3--	8.20×10^{-3}	19.51

注 : □は、壁部材の面内せん断に対する照査を実施するケース

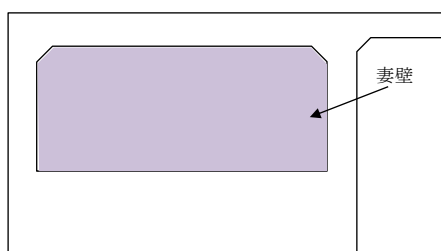


図 6-8 妻壁の位置 (C-C断面)

6.1.5 曲率分布（鋼管杭の曲げ軸力照査）

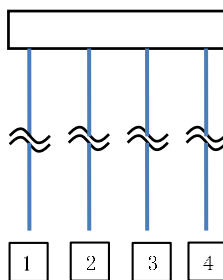
鋼管杭の曲げ軸力照査について、各解析ケースのうち最も厳しい照査値となる解析ケースを表 6-17～表 6-19 に示す。また、該当する解析ケースにおいて最も厳しい照査値となる時刻における曲率分布図を図 6-9～図 6-11 に示す。

表 6-17 鋼管杭の曲げ軸力照査結果（A-A断面）
（最も厳しい照査値とその地震動）

評価位置*1	解析ケース	地震動	照査用曲率*2 ϕ_d (1/m)	終局曲率 ϕ_u (1/m)	照査値 ϕ_d / ϕ_u
1	②	Ss-3++	1.64×10^{-3}	7.38×10^{-3}	0.23

注記*1：評価位置は下図に示す。

*2：照査用曲率 ϕ_d = 発生曲率 × 構造解析係数 γ_a



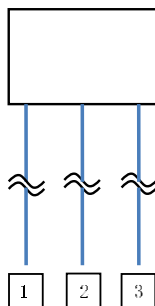
評価位置

表 6-18 鋼管杭の曲げ軸力照査結果（B-B断面）
（各部材において最も厳しい照査値とその地震動）

評価位置*1	解析ケース	地震動	照査用曲率*2 ϕ_d (1/m)	終局曲率 ϕ_u (1/m)	照査値 ϕ_d / ϕ_u
1	①	Ss-3-+	2.13×10^{-3}	6.86×10^{-3}	0.32

注記*1：評価位置は下図に示す。

*2：照査用曲率 ϕ_d = 発生曲率 × 構造解析係数 γ_a



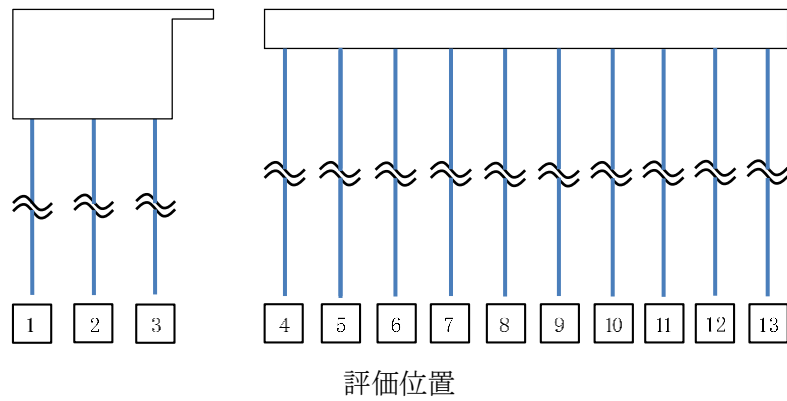
評価位置

表 6-19 鋼管杭の曲げ軸力照査結果 (C-C断面)
 (各部材において最も厳しい照査値とその地震動)

評価位置*1	解析ケース	地震動	照査用曲率*2 ϕ_d (1/m)	終局曲率 ϕ_u (1/m)	照査値 ϕ_d / ϕ_u
7	③	Ss-3---	8.27×10^{-3}	9.83×10^{-3}	0.85

注記*1 : 評価位置は下図に示す。

*2 : 照査用曲率 $\phi_d =$ 発生曲率 \times 構造解析係数 γ_a



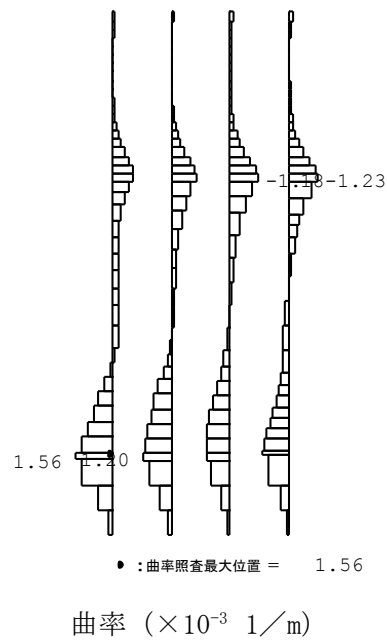


図 6-9 鋼管杭において最も厳しい照査値の曲率分布 (A-A断面)
(解析ケース②, 地震動 Ss-3+, t=36.62s)

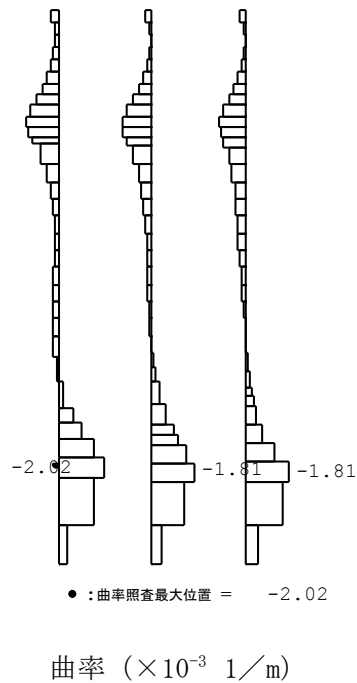


図 6-10 鋼管杭において最も厳しい照査値の曲率分布 (B-B断面)
(解析ケース①, 地震動 Ss-3-, t=37.49s)

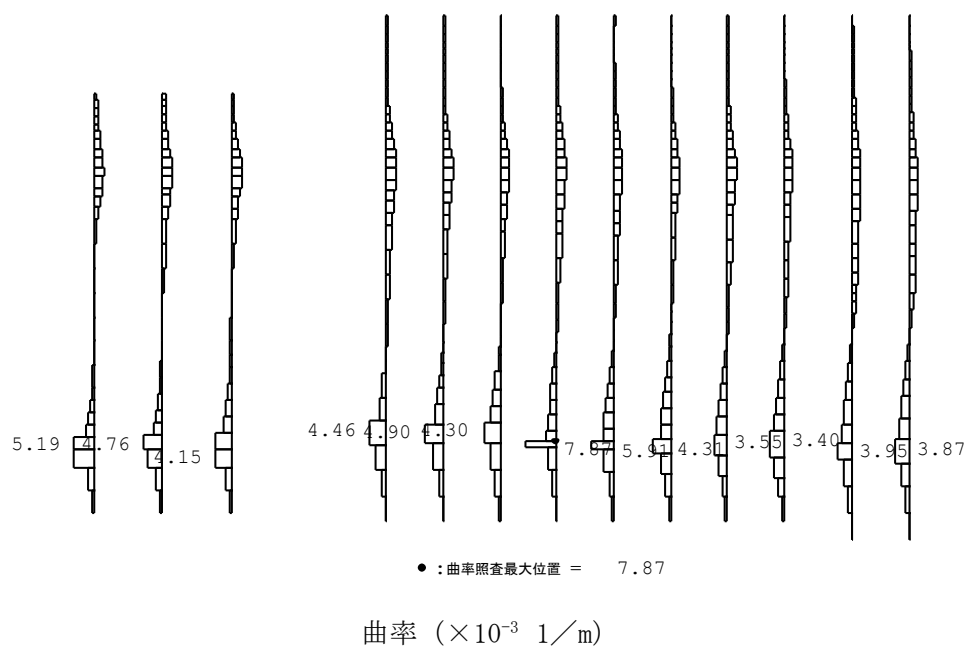


図 6-11 鋼管杭において最も厳しい照査値の曲率分布 (C-C断面)
 (解析ケース③, 地震動 Ss-3--, t=37.56s)

6.1.6 せん断力分布（鋼管杭のせん断力照査）

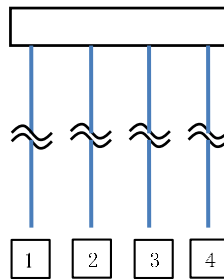
鋼管杭のせん断力照査について、解析ケースのうち最も厳しい照査値となる解析ケースを表 6-20～表 6-22 示す。また、該当する解析ケースにおいて最も厳しい照査値となる時刻におけるせん断力分布図を図 6-12～図 6-14 に示す。

表 6-20 鋼管杭のせん断力照査結果（A-A断面）
（最も厳しい照査値とその地震動）

評価位置*1	解析ケース	地震動	照査用せん断力*2 Q_d (kN)	終局せん断強度 Q_u (kN)	照査値 Q_d/Q_u
3	②	Ss-3++	3426	8563	0.41

注記*1：評価位置は下図に示す。

*2：照査用せん断力 $Q_d = \text{発生せん断力} \times \text{構造解析係数 } \gamma_a$



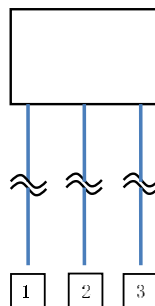
評価位置

表 6-21 鋼管杭のせん断力照査結果（B-B断面）
（最も厳しい照査値とその地震動）

評価位置*1	解析ケース	地震動	照査用せん断力*2 Q_d (kN)	終局せん断強度 Q_u (kN)	照査値 Q_d/Q_u
2	①	Ss-3++	3983	8563	0.47

注記*1：評価位置は下図に示す。

*2：照査用せん断力 $Q_d = \text{発生せん断力} \times \text{構造解析係数 } \gamma_a$



評価位置

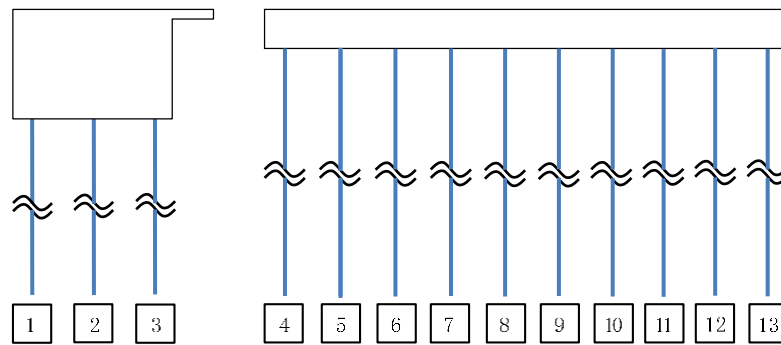
表 6-22 鋼管杭のせん断力照査結果 (C-C断面)

(各部材において最も厳しい照査値とその地震動)

評価位置*1	解析ケース	地震動	照査用せん断力*2 Q_d (kN)	終局せん断強度 Q_u (kN)	照査値 Q_d/Q_u
1	③	Ss-3++	7446	8563	0.87

注記*1 : 評価位置は下図に示す。

*2 : 照査用せん断力 $Q_d = \text{発生せん断力} \times \text{構造解析係数 } \gamma_a$



評価位置

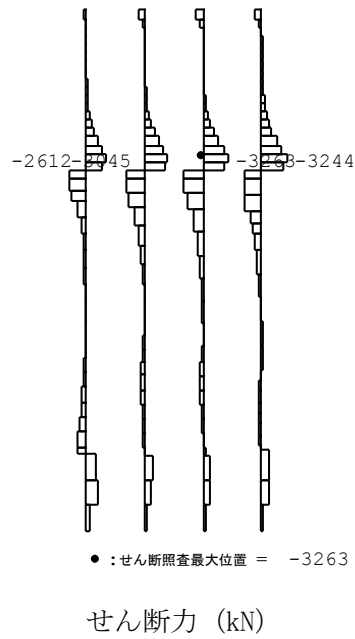


図 6-12 鋼管杭において最も厳しい照査値の地震時せん断力分布 (A-A断面)
(解析ケース②, 地震動 Ss-3++, t=17.71s)

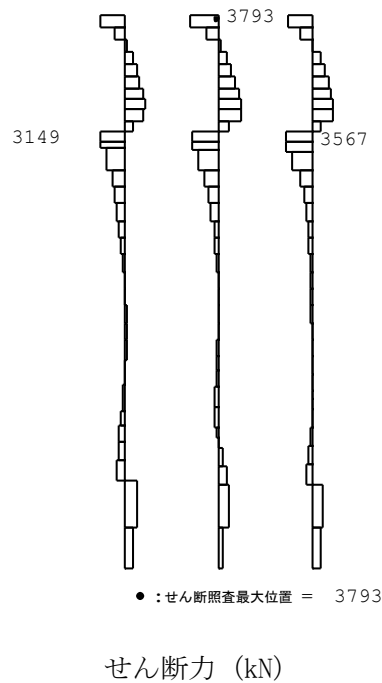


図 6-13 鋼管杭において最も厳しい照査値の地震時せん断力分布 (B-B断面)
(解析ケース①, 地震動 Ss-3++, t=17.89s)

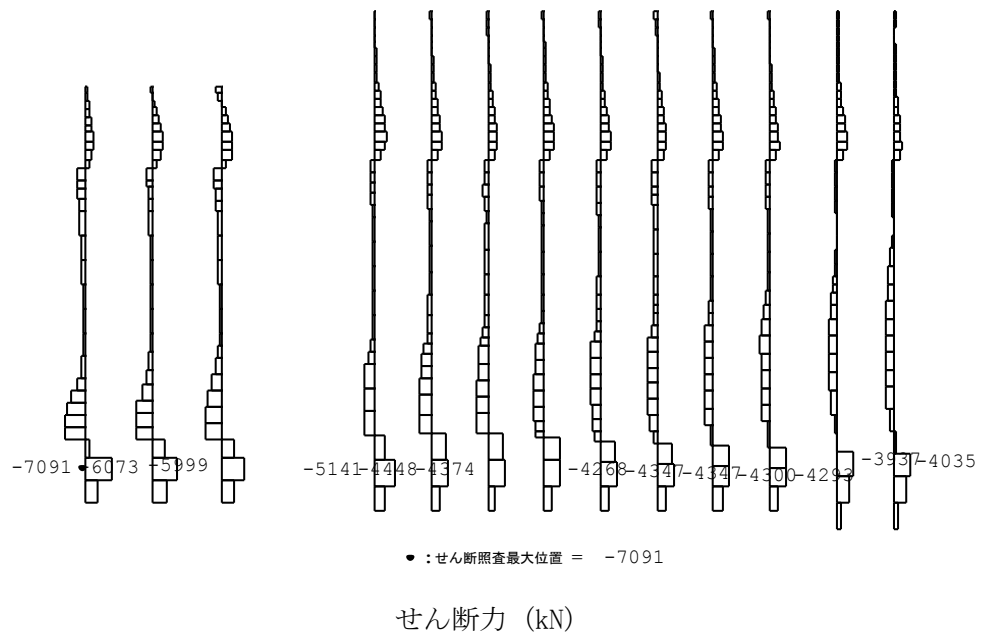


図 6-14 鋼管杭において最も厳しい照査値の地震時せん断力分布 (C-C断面)
 (解析ケース③, 地震動 Ss-3+, t=37.48s)

6.1.7 最大せん断ひずみ分布

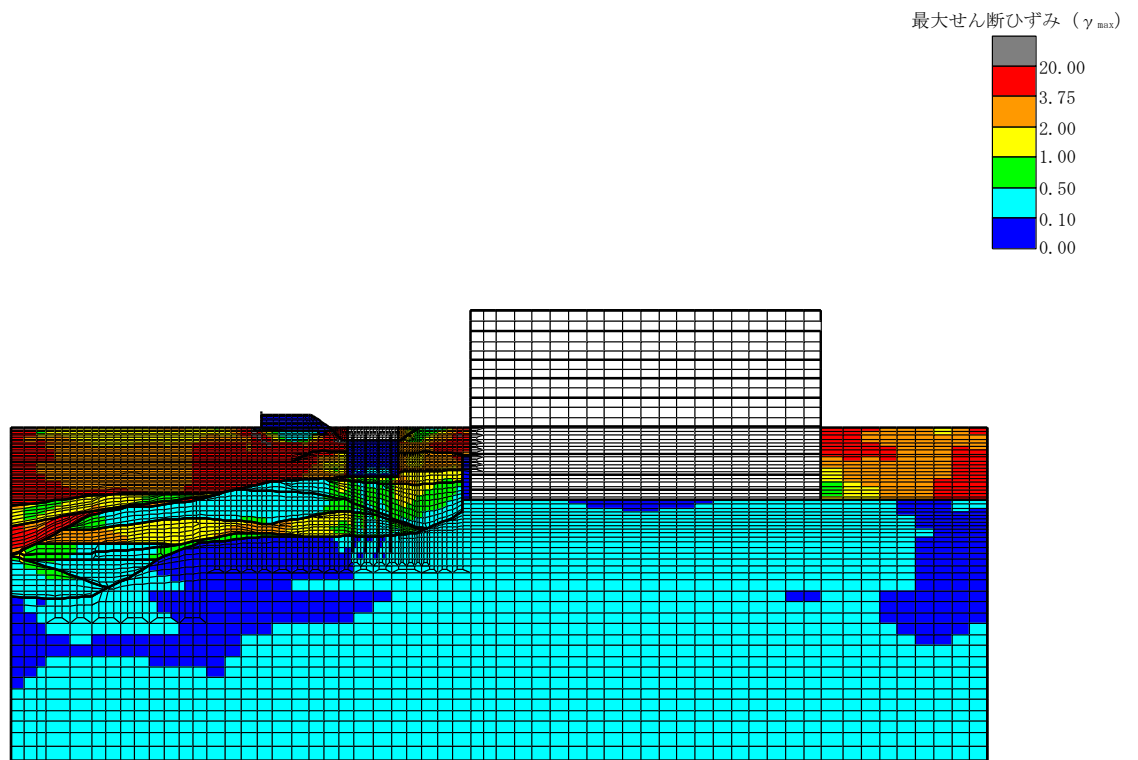
地盤に発生した最大せん断ひずみを確認するため、曲げ軸力照査及びせん断力照査において最大照査値を示した地震動について、地震応答解析の全時刻における各地盤要素の最大せん断ひずみの分布を示す。表 6-23 に最大照査値を示す解析ケース一覧を示す。A-A断面における最大せん断ひずみ分布図を図 6-15～図 6-17 に、B-B断面における最大せん断ひずみ分布図を図 6-18～図 6-20 に、C-C断面における最大せん断ひずみ分布図を図 6-21～図 6-25 示す。

表 6-23 最大照査値を示す解析ケース一覧

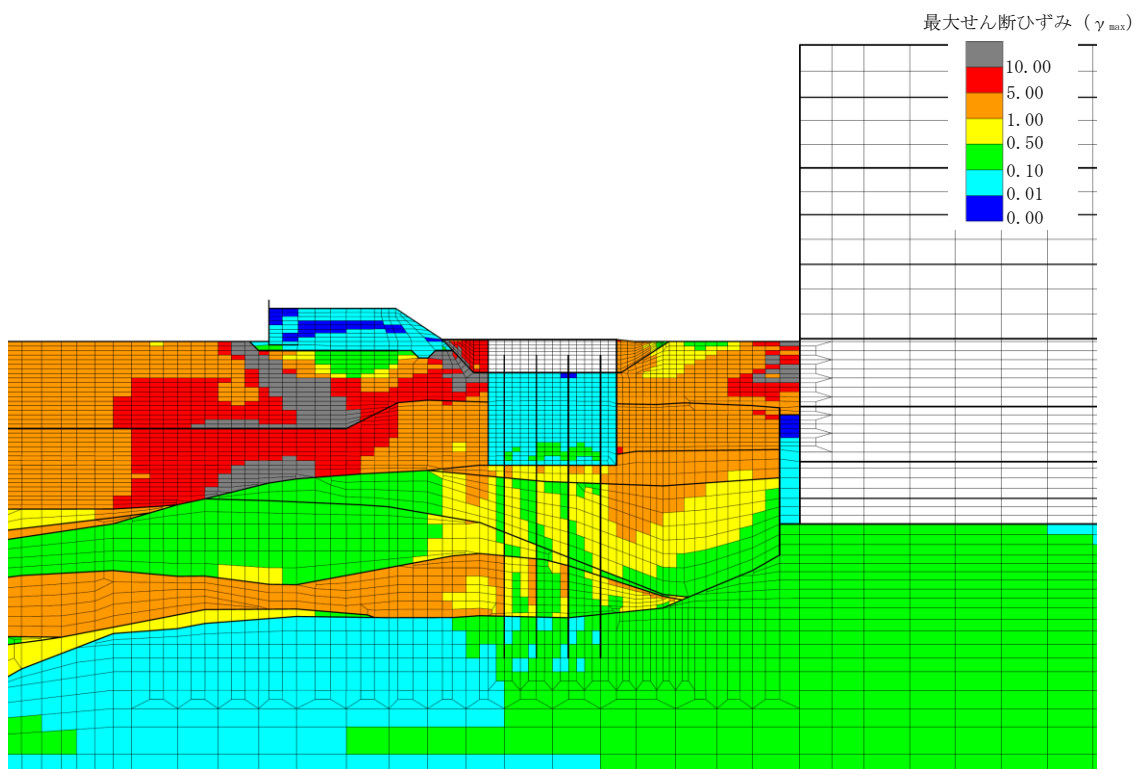
評価部位	断面	評価項目	
		曲げ軸力照査	せん断力照査
鉄筋コンクリート部材 (第一ガスタービン 発電機基礎)	—	Ss-1+- (解析ケース①)	Ss-1-- (解析ケース①)
鉄筋コンクリート部材 (第一ガスタービン 発電機用燃料タンク基礎)	—	Ss-1-- (解析ケース①)	Ss-1-- (解析ケース①)
鋼管杭	A-A断面	Ss-3++ (解析ケース②)	Ss-3++ (解析ケース②)
	B-B断面	Ss-3+- (解析ケース①)	Ss-3++ (解析ケース①)
	C-C断面	Ss-3-- (解析ケース③)	Ss-3++ (解析ケース③)

注：耐震評価における解析ケース一覧

	①	②	③	④	⑤
解析ケース	基本ケース	地盤物性のばらつき(+1σ)を考慮した解析ケース	地盤物性のばらつき(-1σ)を考慮した解析ケース	非液状化の条件を仮定した解析ケース	地盤物性のばらつき(+1σ)を考慮して非液状化の条件を仮定した解析ケース
地盤剛性の設定	地盤剛性(平均値)	地盤剛性(+1σ)	地盤剛性(-1σ)	地盤剛性(平均値)	地盤剛性(+1σ)
液状化強度特性の設定	液状化強度特性(-1σ)	液状化強度特性(-1σ)	液状化強度特性(-1σ)	液状化パラメータを非適用	液状化パラメータを非適用



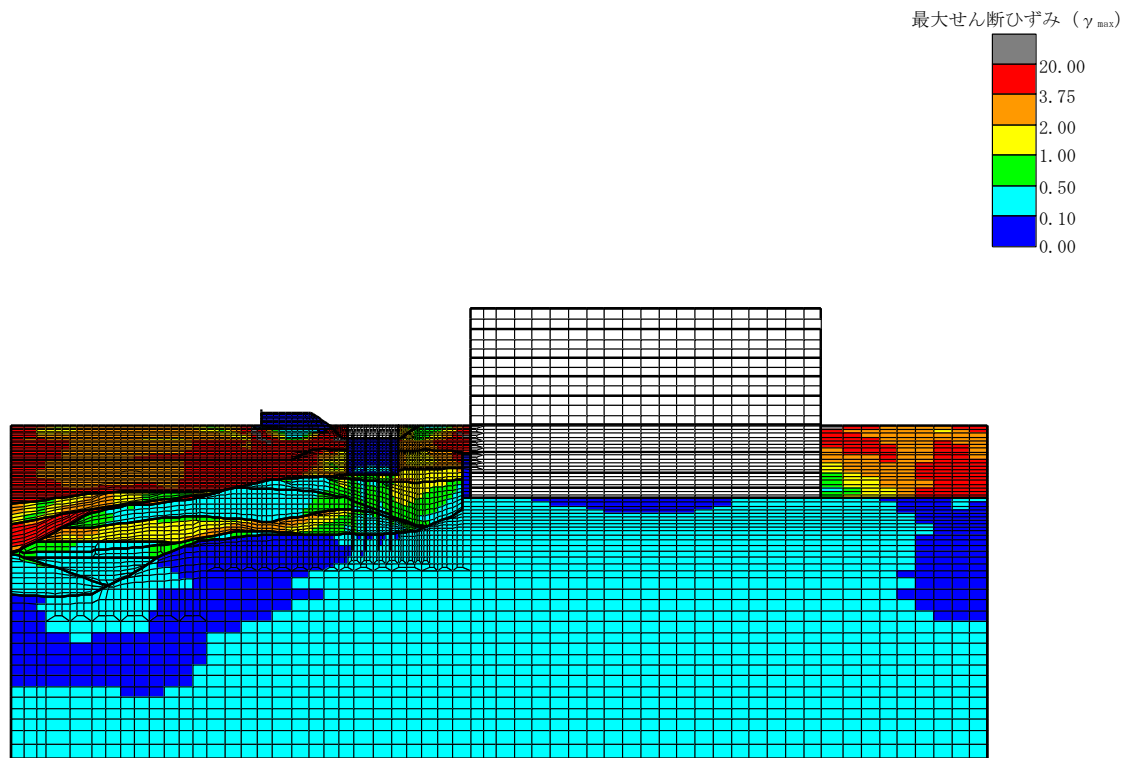
全体図



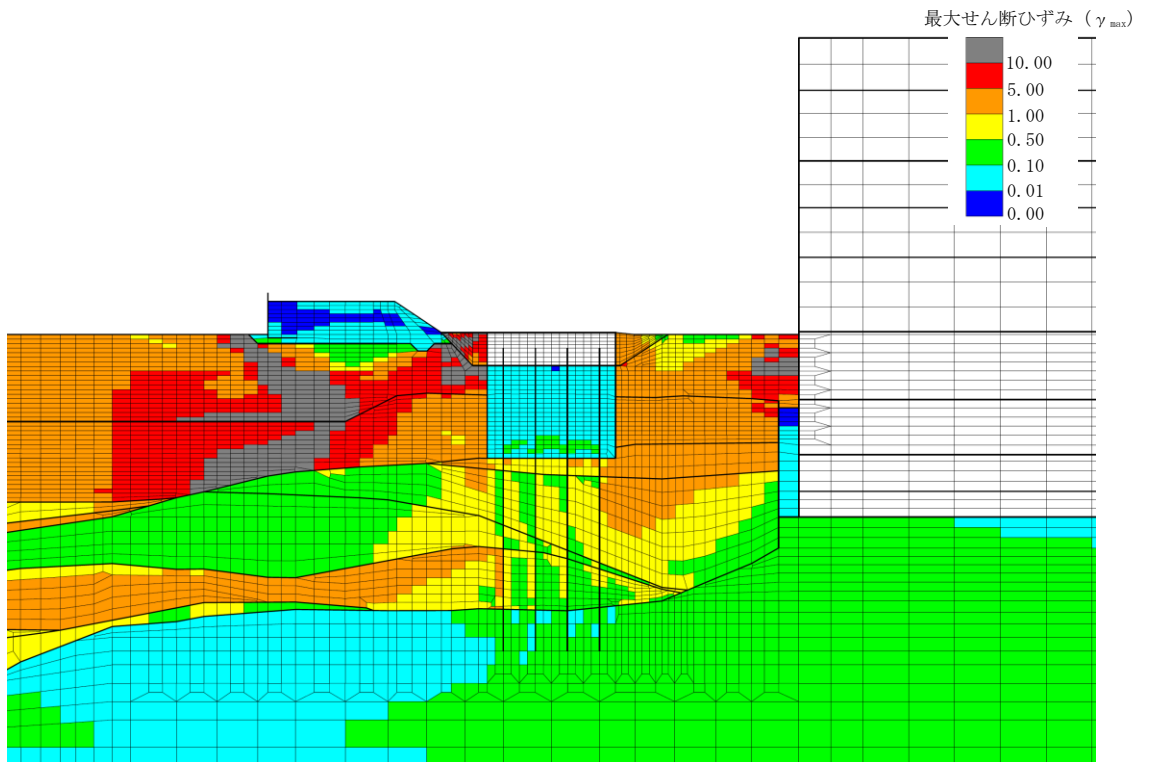
構造物周辺拡大図

図 6-15 A-A断面の地盤の最大せん断ひずみ分布図
(解析ケース①, 地震動 Ss-1+-)

鉄筋コンクリート部材（第一ガスタービン発電機基礎）の曲げ軸力照査で
照査値が最も厳しい解析ケース



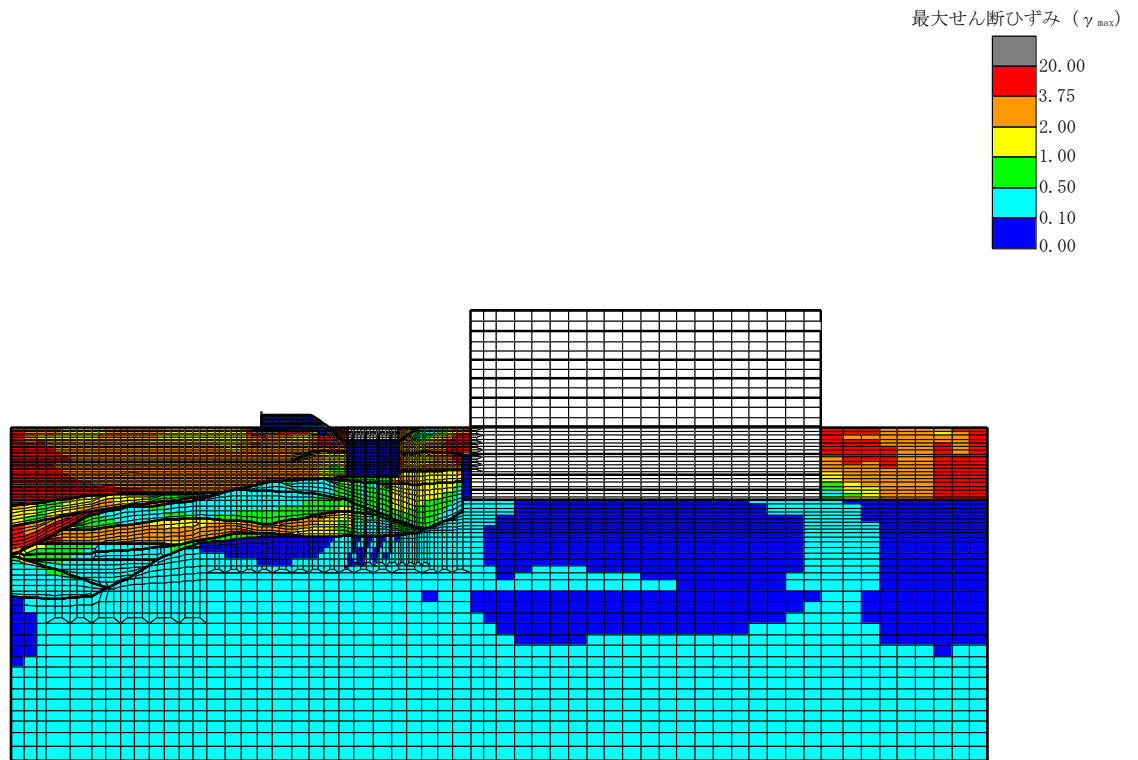
全体図



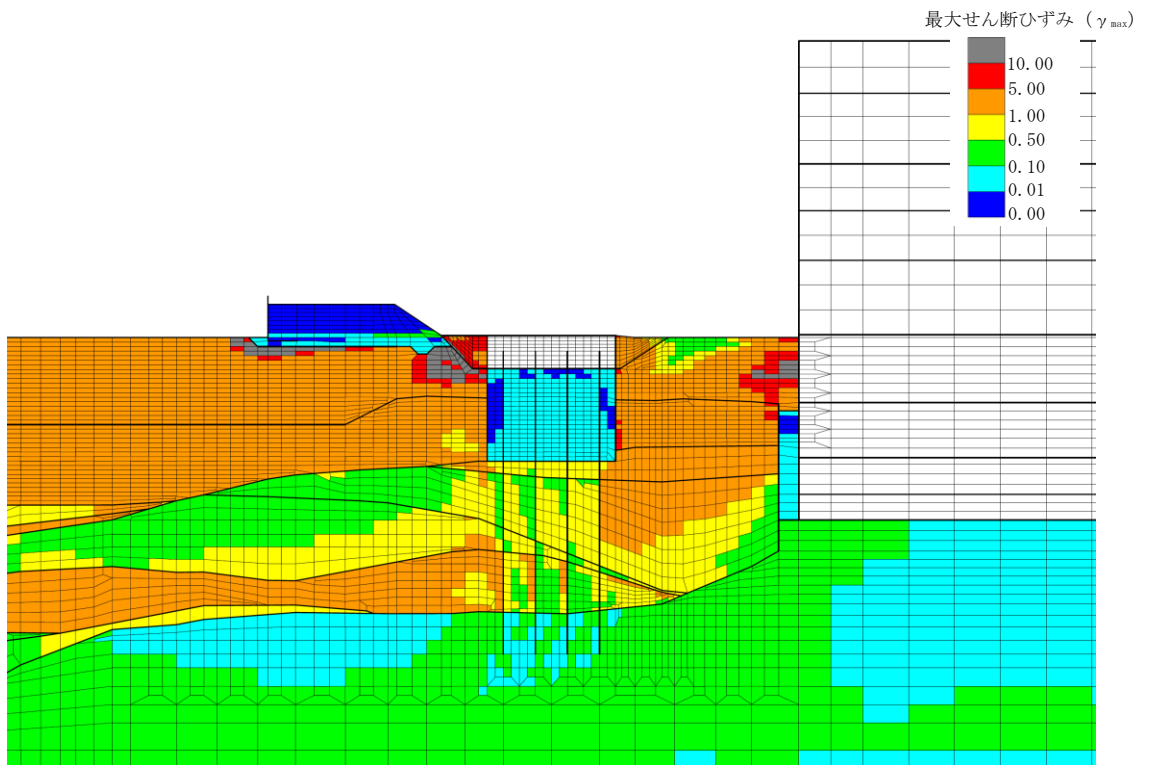
構造物周辺拡大図

図 6-16 A-A断面の地盤の最大せん断ひずみ分布図
(解析ケース①, 地震動 Ss-1--)

鉄筋コンクリート部材 (第一ガスタービン発電機基礎) のせん断力照査で
照査値が最も厳しい解析ケース



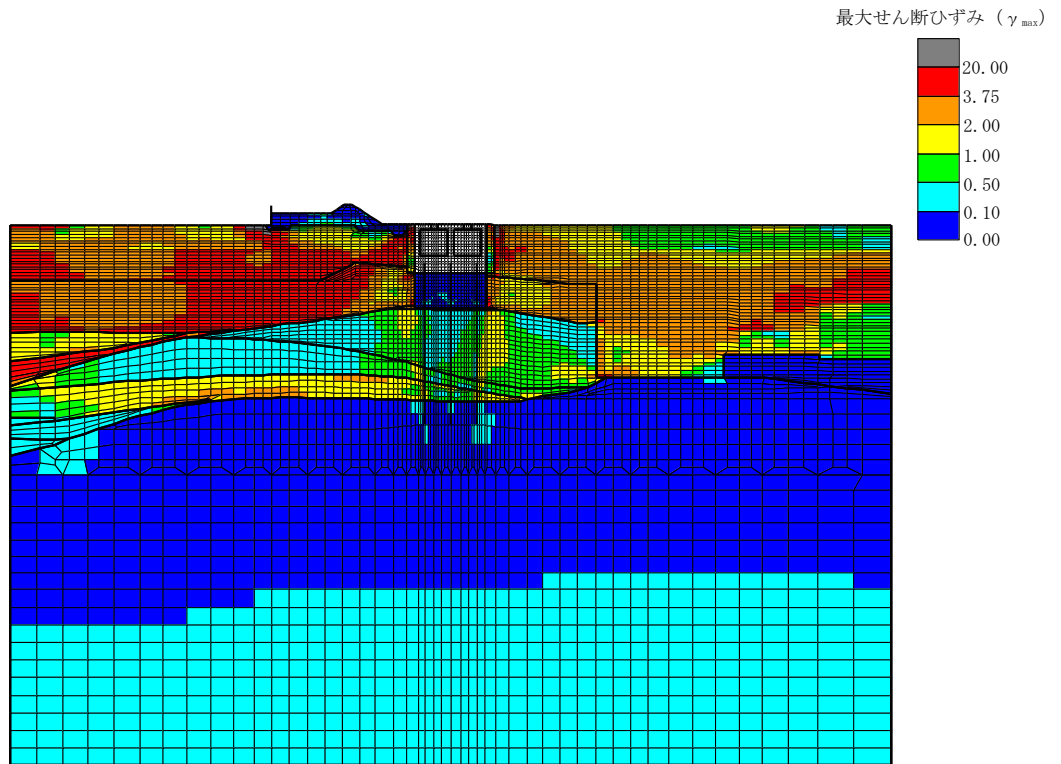
全体図



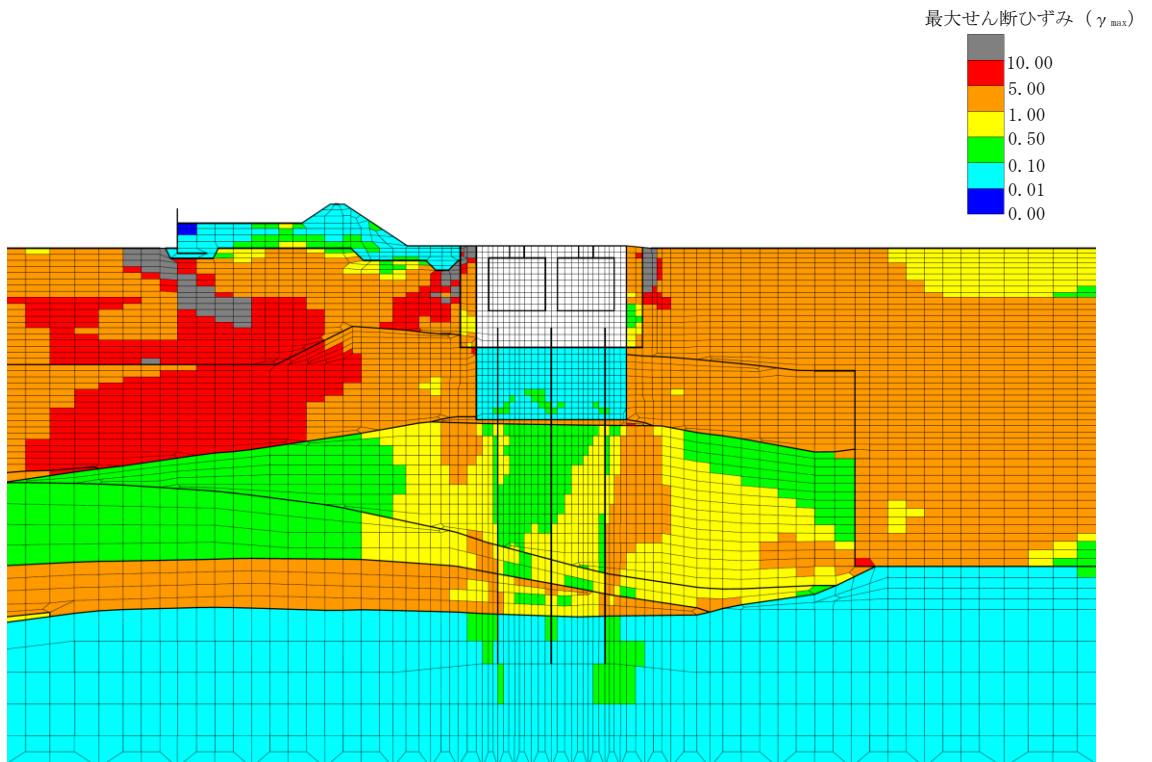
構造物周辺拡大図

図 6-17 A-A断面の地盤の最大せん断ひずみ分布図
(解析ケース②, 地震動 Ss-3++)

鋼管杭の曲げ軸力照査及びせん断力照査で照査値が最も厳しい解析ケース



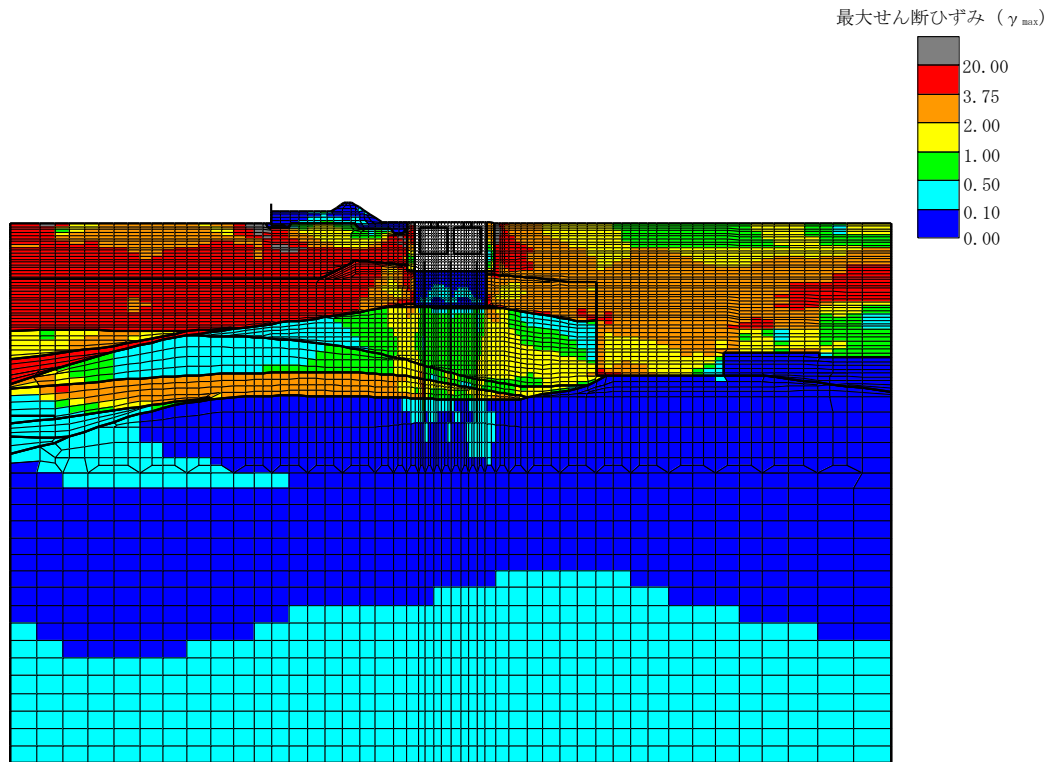
全体図



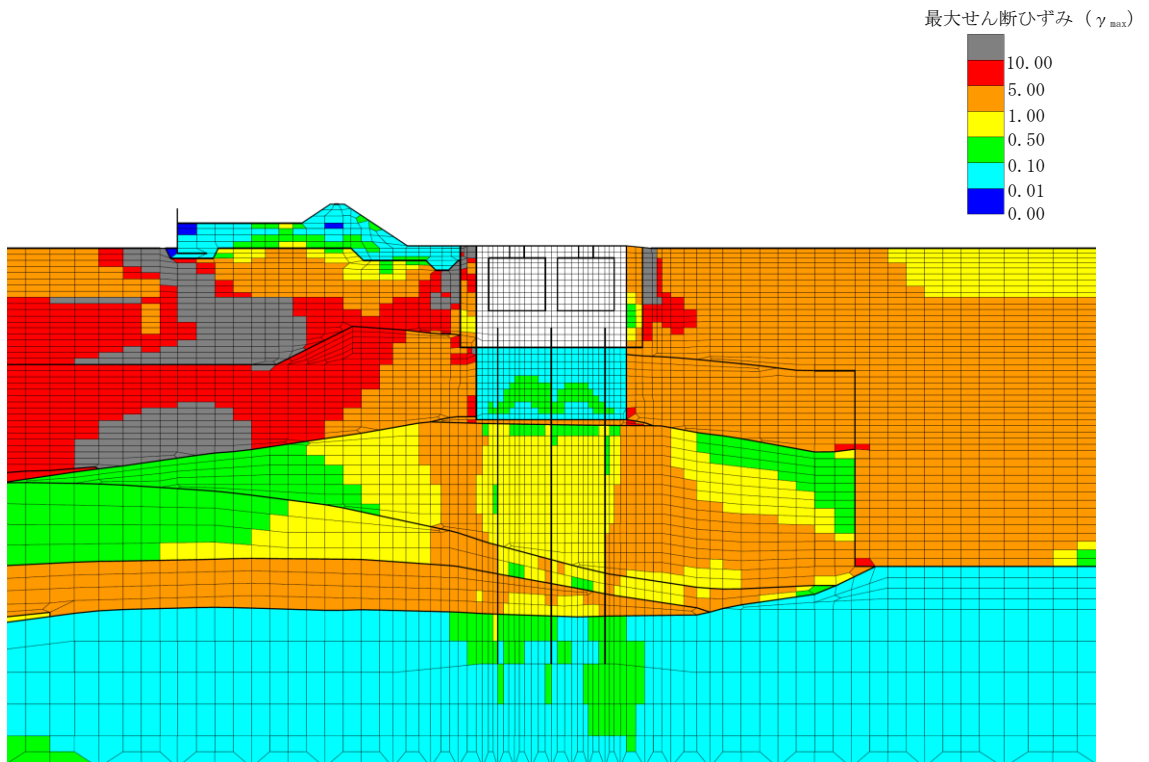
構造物周辺拡大図

図 6-18 B-B断面の地盤の最大せん断ひずみ分布図
(解析ケース①, 地震動 Ss-1--)

鉄筋コンクリート部材（第一ガスタービン発電機用燃料タンク基礎）の曲げ軸力照査及びせん断力照査で照査値が最も厳しい解析ケース



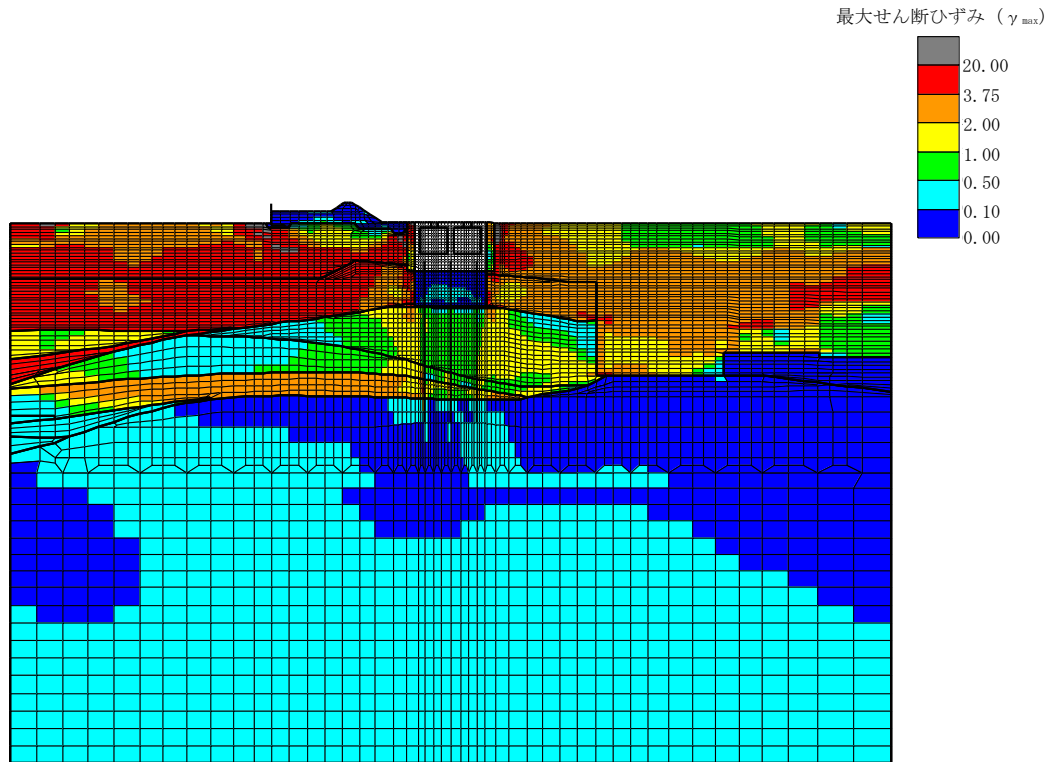
全体図



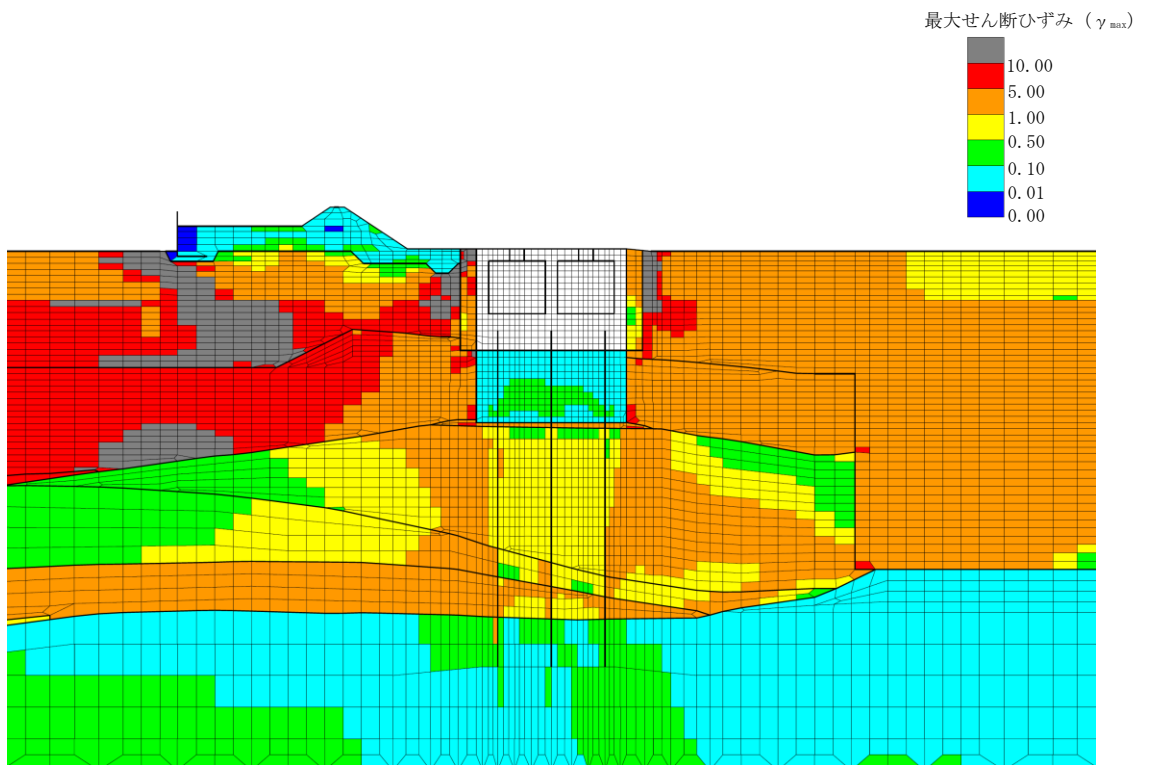
構造物周辺拡大図

図 6-19 B-B断面の地盤の最大せん断ひずみ分布図
(解析ケース①, 地震動 Ss-3-+)

鋼管杭の曲げ軸力照査で照査値が最も厳しい解析ケース



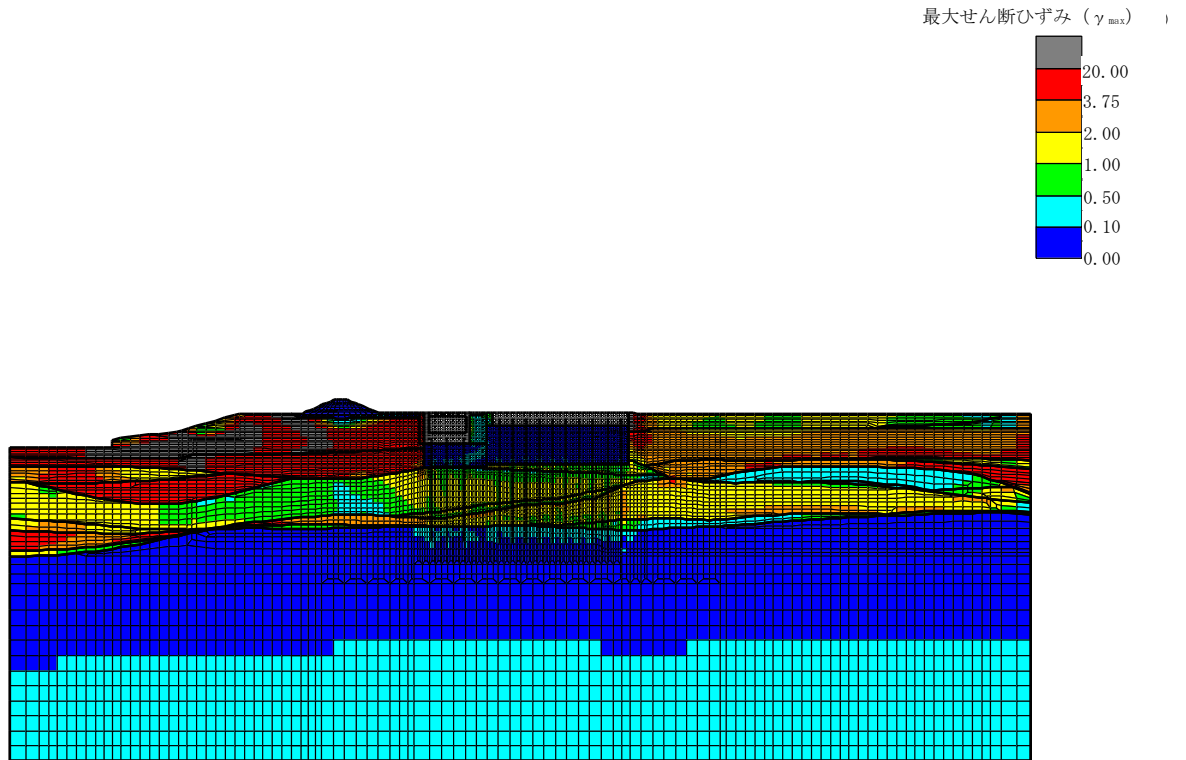
全体図



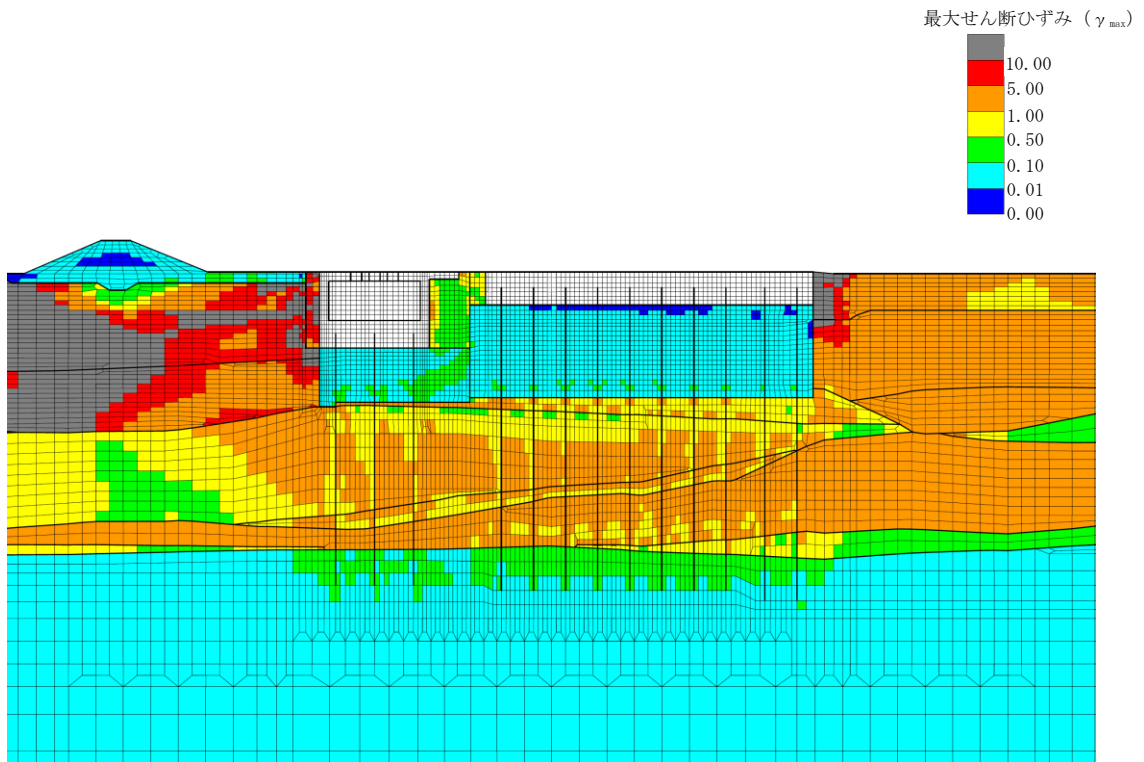
構造物周辺拡大図

図 6-20 B-B断面の地盤の最大せん断ひずみ分布図
(解析ケース①, 地震動 Ss-3++)

鋼管杭のせん断力照査で照査値が最も厳しい解析ケース



全体図

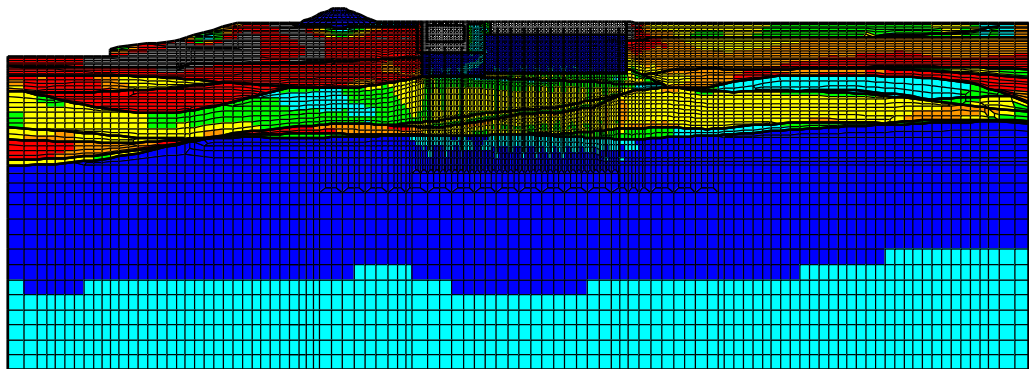
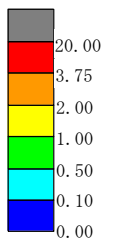


構造物周辺拡大図

図 6-21 C-C断面の地盤の最大せん断ひずみ分布図
(解析ケース①, 地震動 Ss-1+-)

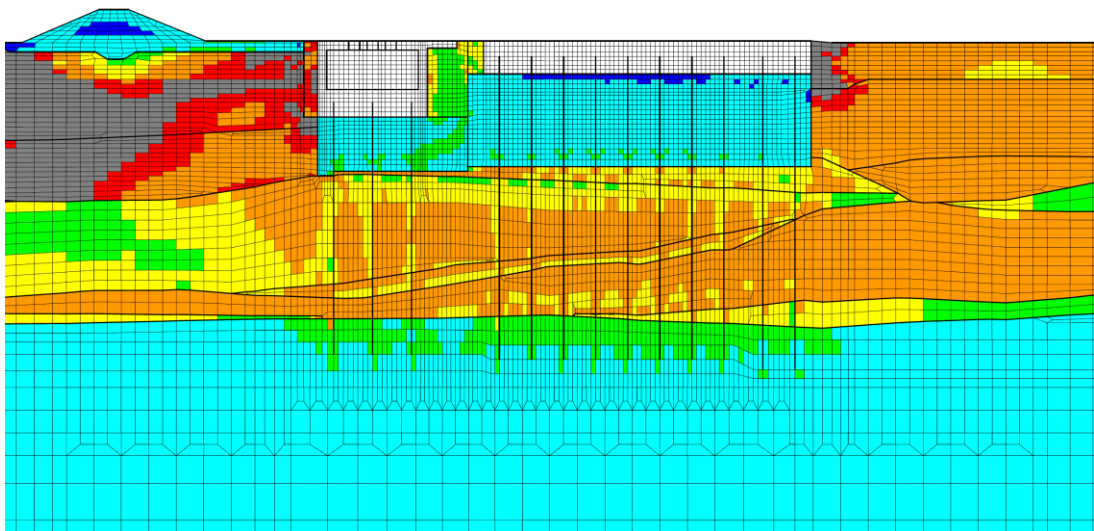
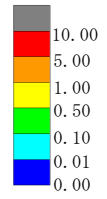
鉄筋コンクリート部材 (第一ガスタービン発電機基礎) の曲げ軸力照査で
照査値が最も厳しい解析ケース

最大せん断ひずみ (γ_{max})



全体図

最大せん断ひずみ (γ_{max})

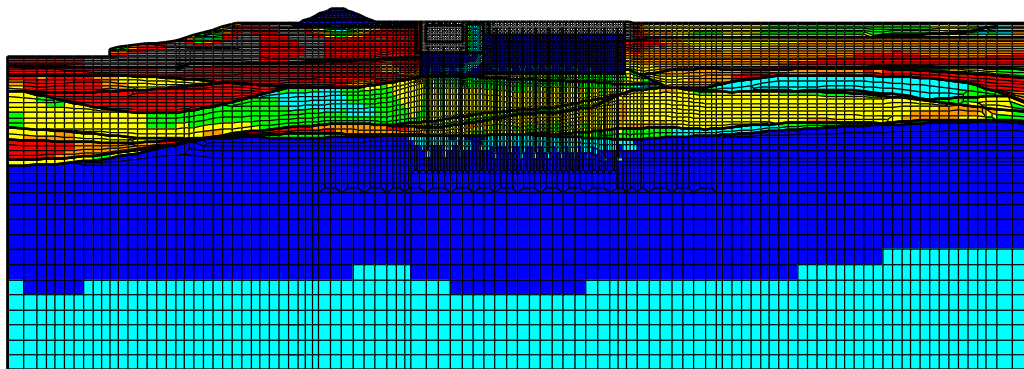
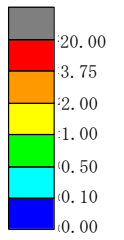


構造物周辺拡大図

図 6-22 C-C断面の地盤の最大せん断ひずみ分布図
(解析ケース①, 地震動 Ss-1--)

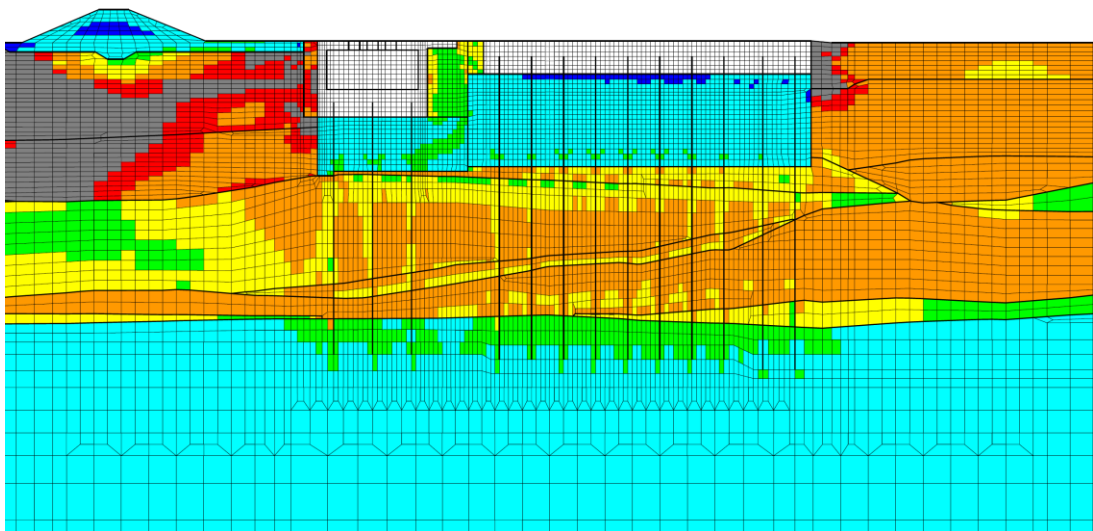
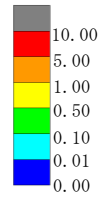
鉄筋コンクリート部材 (第一ガスタービン発電機基礎) のせん断力照査で
照査値が最も厳しい解析ケース

最大せん断ひずみ (γ_{max})



全体図

最大せん断ひずみ (γ_{max})



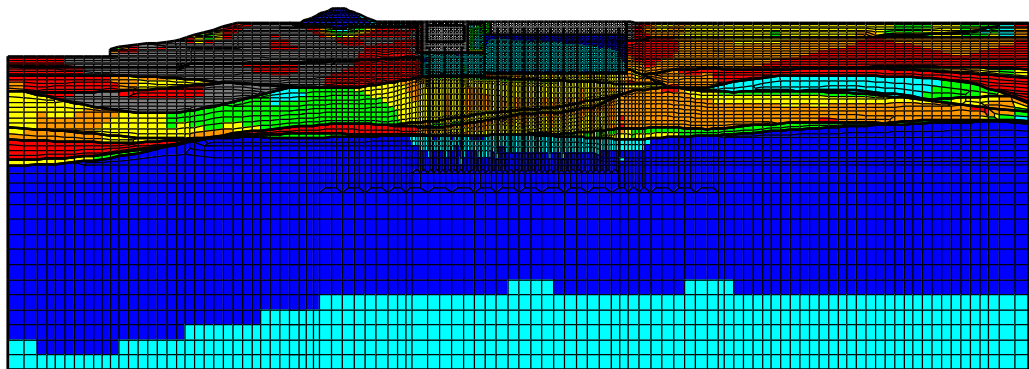
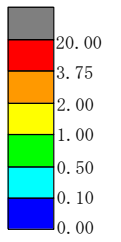
構造物周辺拡大図

図 6-23 C-C断面の地盤の最大せん断ひずみ分布図

(解析ケース①, 地震動 Ss-1--)

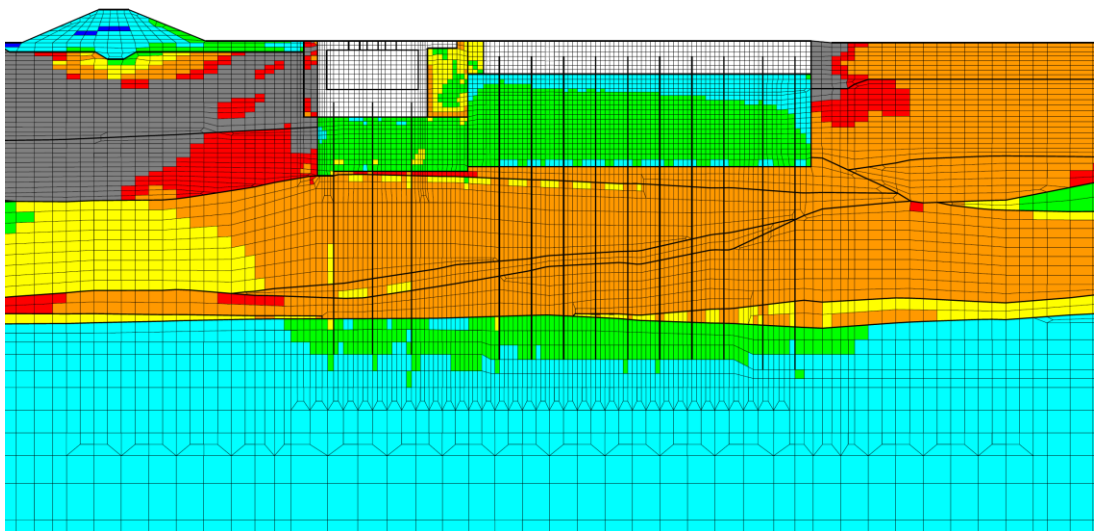
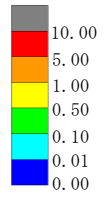
鉄筋コンクリート部材 (第一ガスタービン発電機用燃料タンク基礎) の曲げ軸力照査及びせん断力照査で照査値が最も厳しい解析ケース

最大せん断ひずみ (γ_{max})



全体図

最大せん断ひずみ (γ_{max})

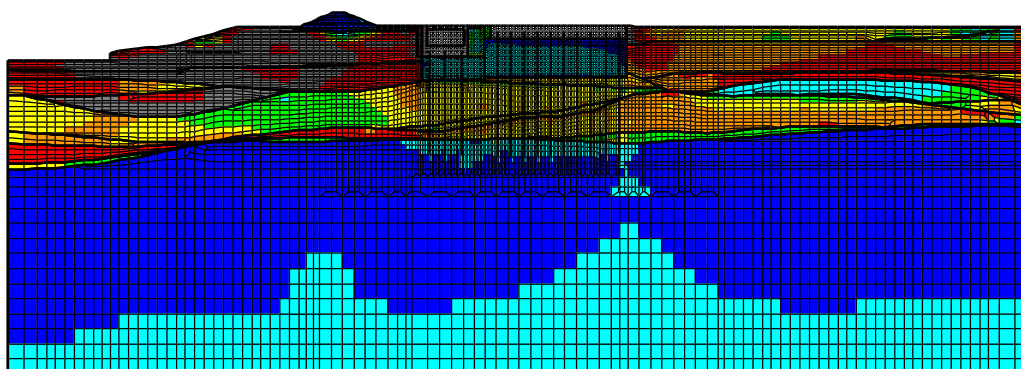
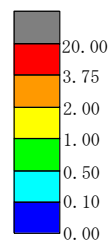


構造物周辺拡大図

図 6-24 C-C断面の地盤の最大せん断ひずみ分布図
(解析ケース③, 地震動 Ss-3--)

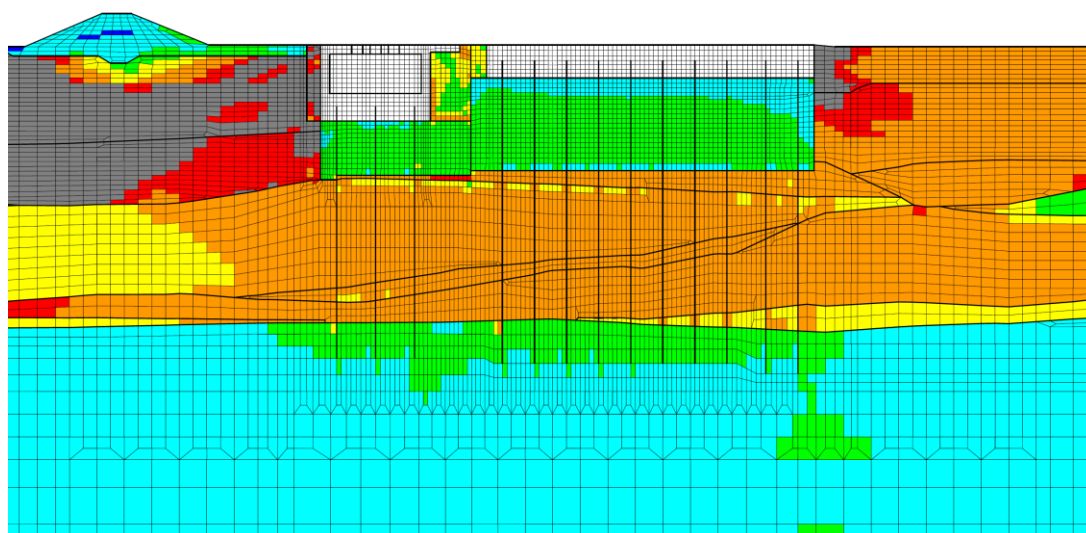
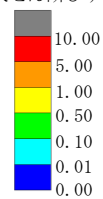
鋼管杭の曲げ軸力照査で照査値が最も厳しい解析ケース

最大せん断ひずみ (γ_{max})



全体図

最大せん断ひずみ (γ_{max})



構造物周辺拡大図

図 6-25 C-C断面の地盤の最大せん断ひずみ分布図

(解析ケース③, 地震動 Ss-3++)

鋼管杭のせん断力照査で照査値が最も厳しい解析ケース

6.1.8 過剰間隙水圧比分布

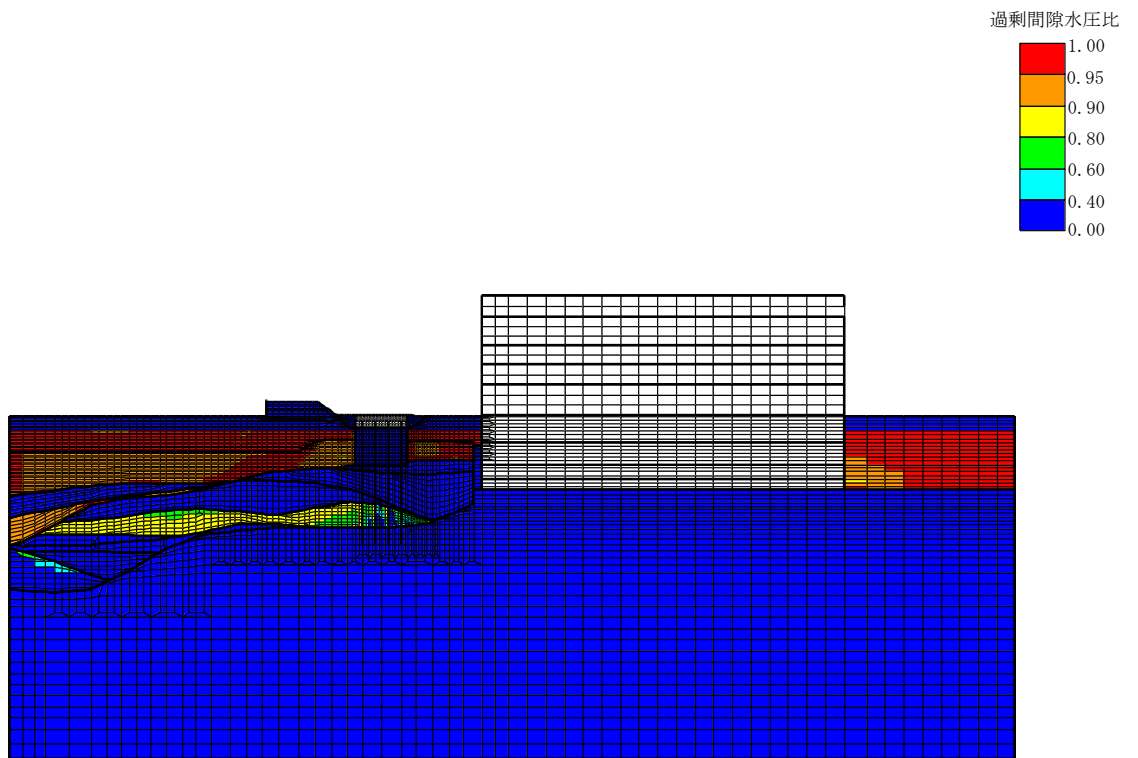
地盤に発生した過剰間隙水圧比を確認するため、曲げ軸力照査及びせん断力照査において最大照査値を示した地震動について、地震応答解析の全時刻における各地盤要素の過剰間隙水圧比の最大値分布を示す。表 6-24 に最大照査値を示す解析ケース一覧を示す。A-A断面における過剰間隙水圧比分布図を図 6-26～図 6-28 に、B-B断面における過剰間隙水圧比分布図を図 6-29～図 6-31 に、C-C断面における過剰間隙水圧比分布図を図 6-32～図 6-36 に示す。

表 6-24 最大照査値を示す解析ケース一覧

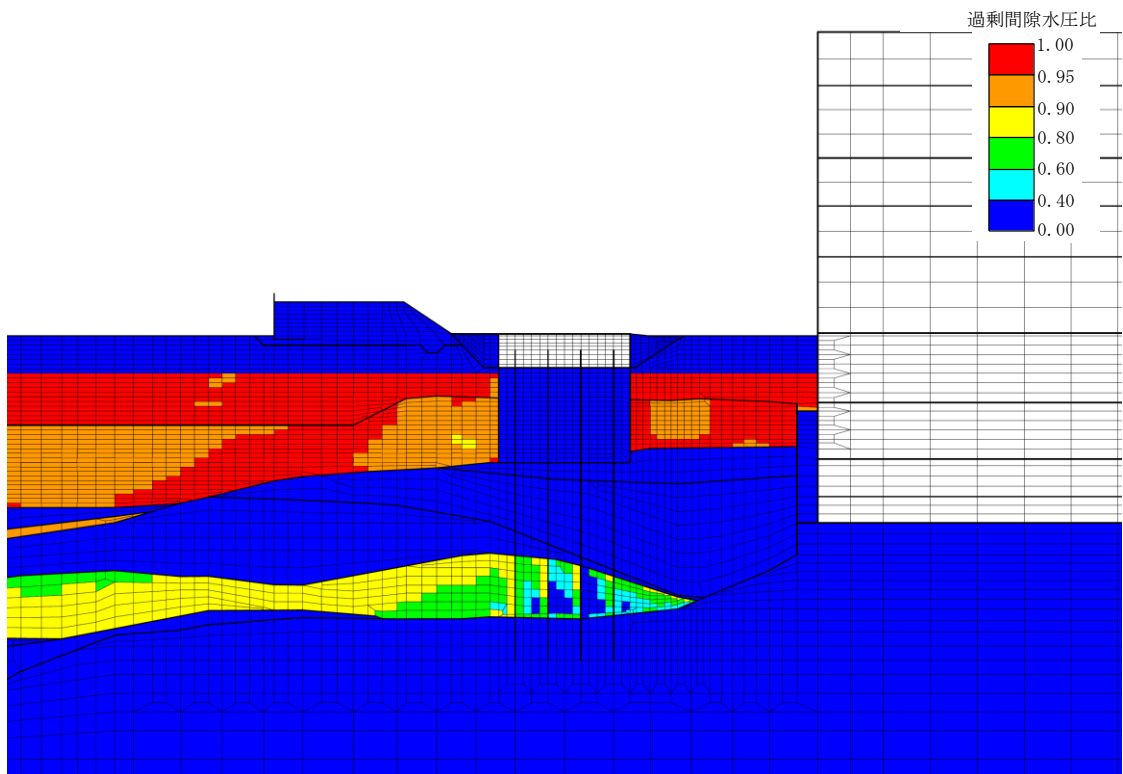
評価部位	断面	評価項目	
		曲げ軸力照査	せん断力照査
鉄筋コンクリート部材 (第一ガスタービン 発電機基礎)	—	Ss-1+- (解析ケース①)	Ss-1-- (解析ケース①)
鉄筋コンクリート部材 (第一ガスタービン 発電機用燃料タンク基礎)	—	Ss-1-- (解析ケース①)	Ss-1-- (解析ケース①)
鋼管杭	A-A断面	Ss-3++ (解析ケース②)	Ss-3++ (解析ケース②)
	B-B断面	Ss-3+- (解析ケース①)	Ss-3++ (解析ケース①)
	C-C断面	Ss-3-- (解析ケース③)	Ss-3++ (解析ケース③)

注：耐震評価における解析ケース一覧

	①	②	③	④	⑤
解析ケース	基本ケース	地盤物性のばらつき(+1σ)を考慮した解析ケース	地盤物性のばらつき(-1σ)を考慮した解析ケース	非液状化の条件を仮定した解析ケース	地盤物性のばらつき(+1σ)を考慮して非液状化の条件を仮定した解析ケース
地盤剛性の設定	地盤剛性(平均値)	地盤剛性(+1σ)	地盤剛性(-1σ)	地盤剛性(平均値)	地盤剛性(+1σ)
液状化強度特性の設定	液状化強度特性(-1σ)	液状化強度特性(-1σ)	液状化強度特性(-1σ)	液状化パラメータを非適用	液状化パラメータを非適用



全体図



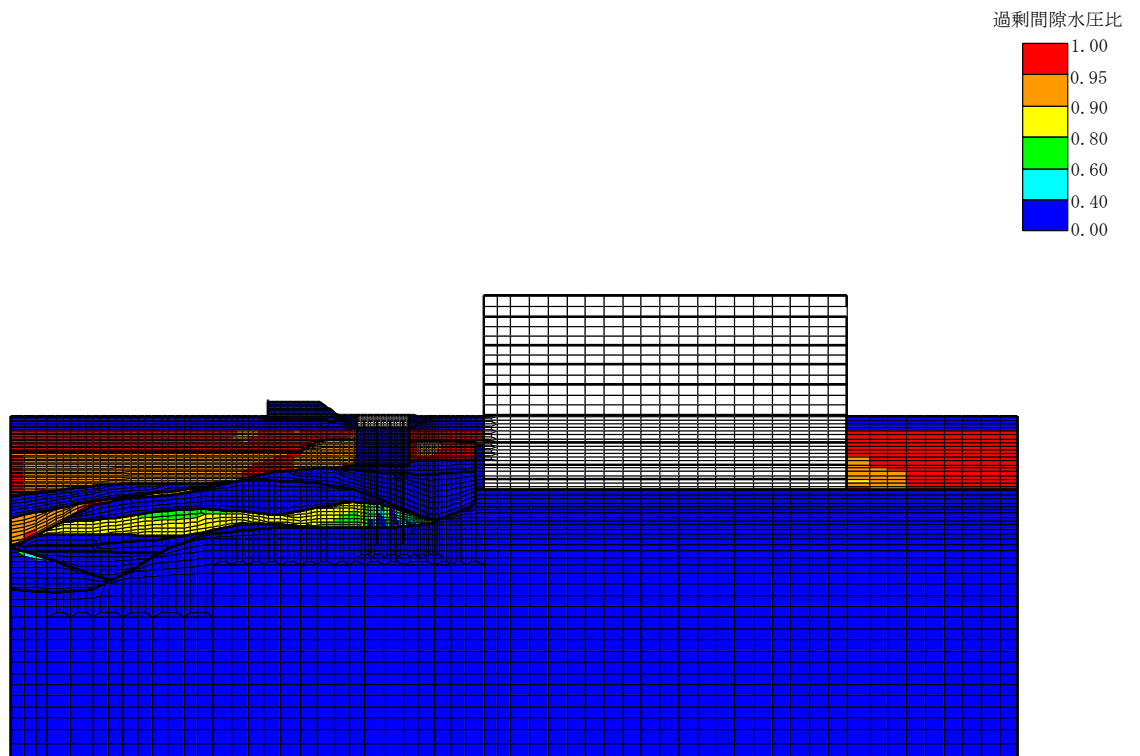
構造物周辺拡大図

図 6-26 A-A断面の最大過剰間隙水圧比分布図

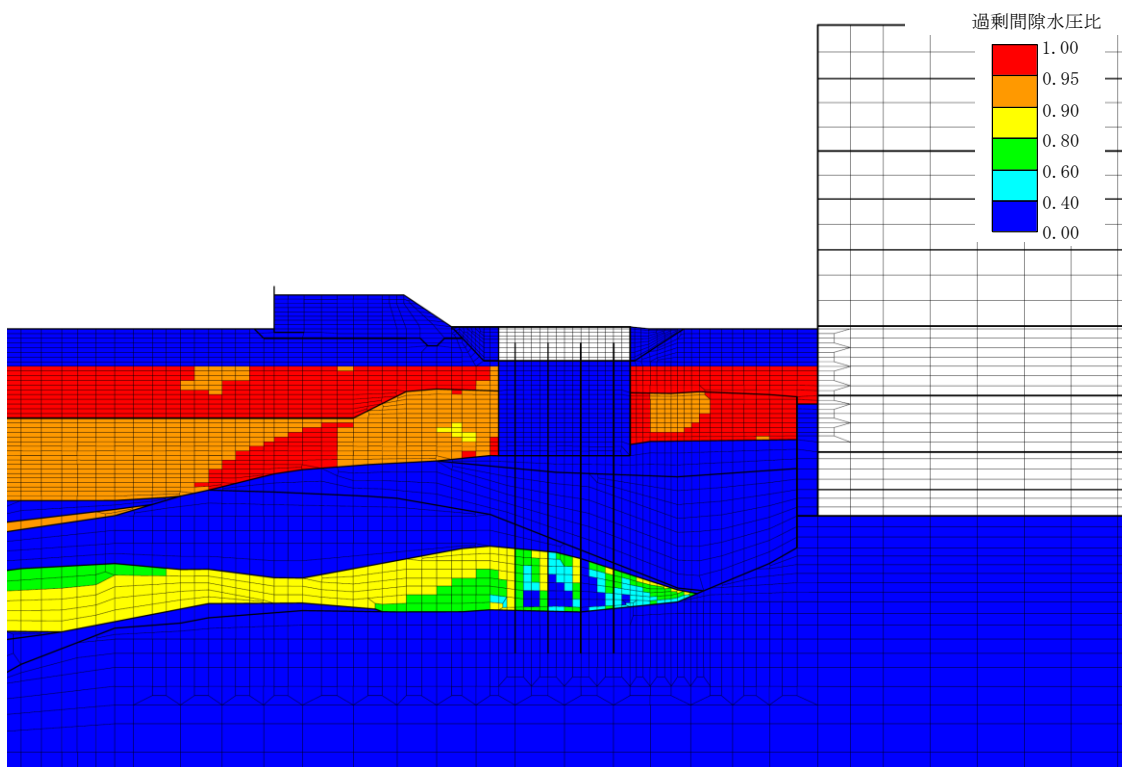
(解析ケース①, 地震動 Ss-1+-)

鉄筋コンクリート部材 (第一ガスタービン発電機基礎) の曲げ軸力照査で

照査値が最も厳しい解析ケース



全体図



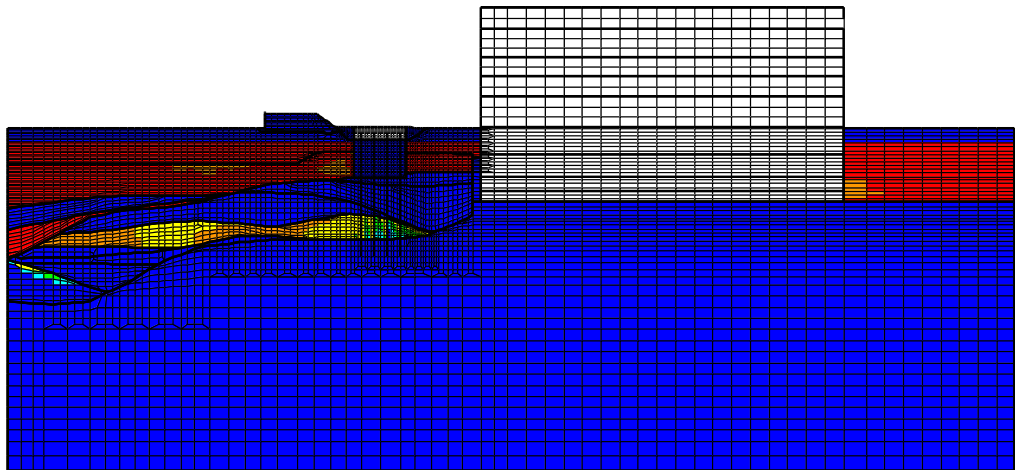
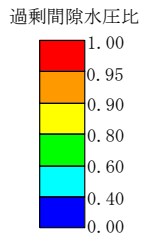
構造物周辺拡大図

図 6-27 A-A断面の最大過剰間隙水圧比分布図

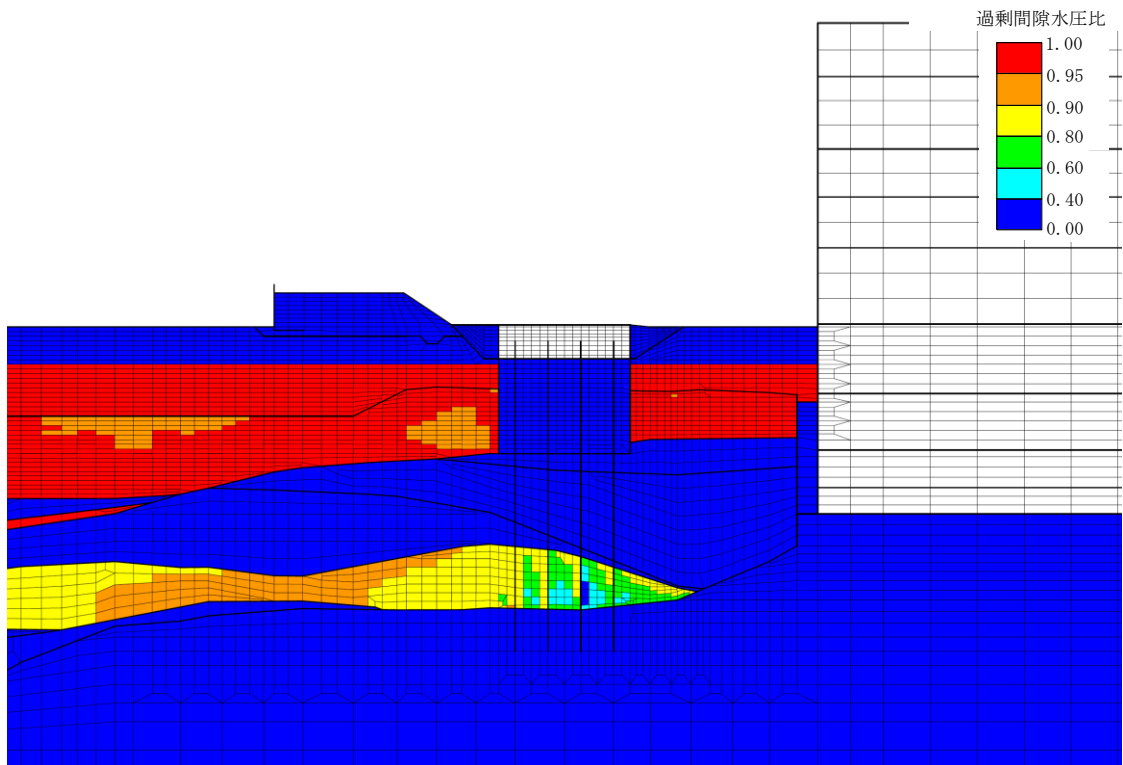
(解析ケース①, 地震動 Ss-1--)

鉄筋コンクリート部材 (第一ガスタービン発電機基礎) のせん断力照査で

照査値が最も厳しい解析ケース



全体図

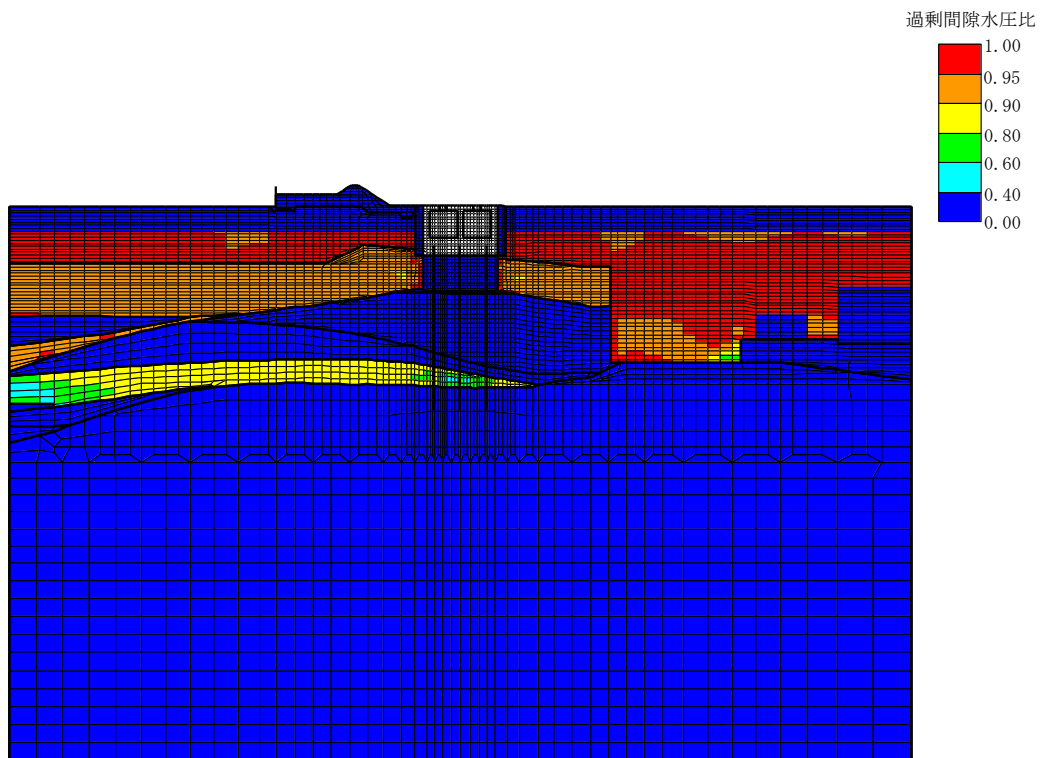


構造物周辺拡大図

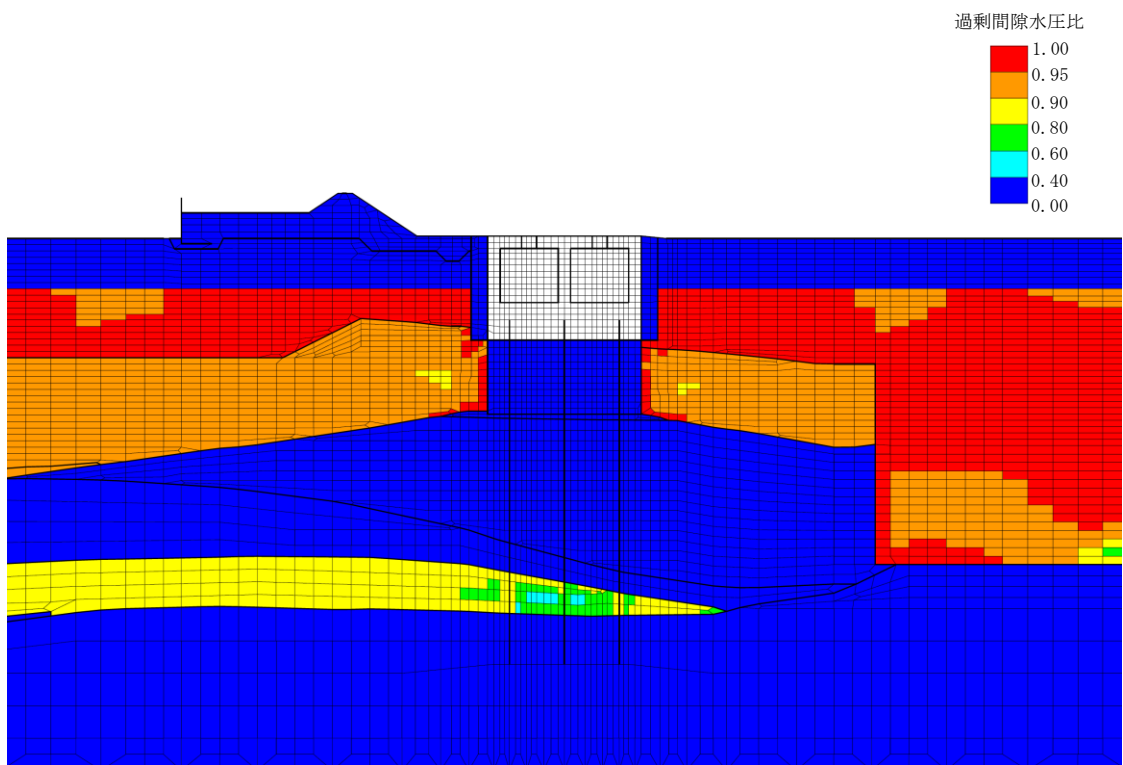
図 6-28 A-A断面の最大過剰間隙水圧比分布図

(解析ケース②, 地震動 Ss-3++)

鋼管杭の曲げ軸力照査及びせん断力照査で照査値が最も厳しい解析ケース



全体図

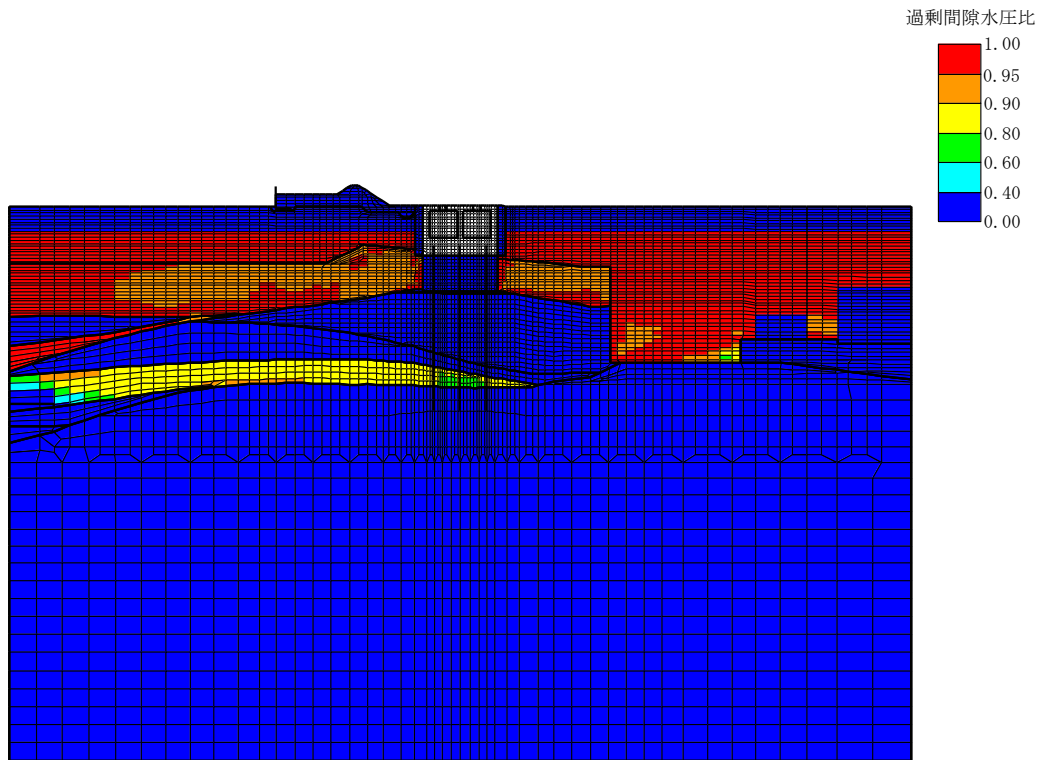


構造物周辺拡大図

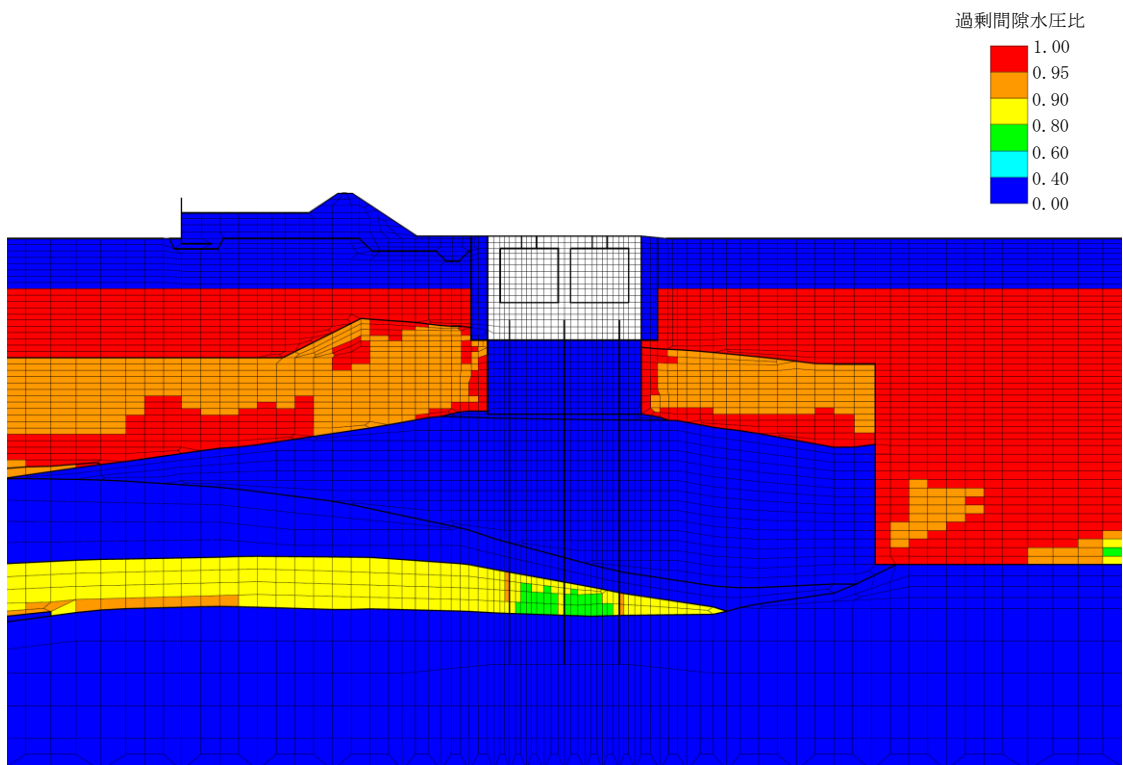
図 6-29 B-B断面の最大過剰間隙水圧比分布図

(解析ケース①, 地震動 Ss-1-)

鉄筋コンクリート部材（第一ガスタービン発電機用燃料タンク基礎）の曲げ軸力照査及びせん断力照査で照査値が最も厳しい解析ケース



全体図

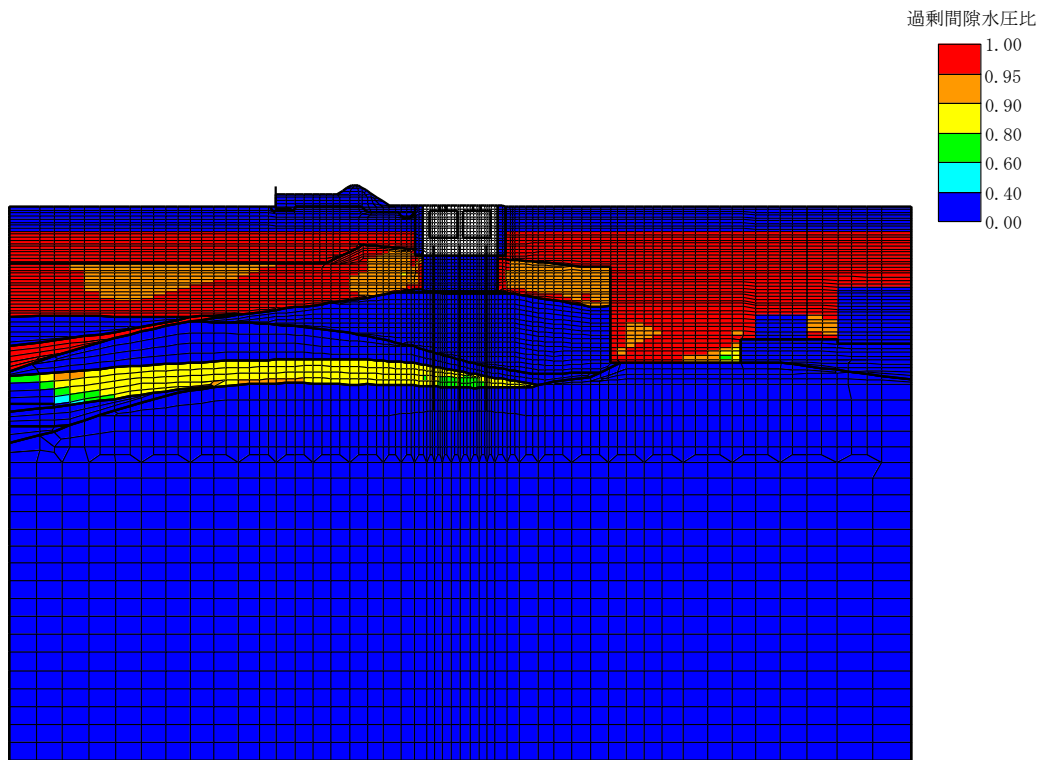


構造物周辺拡大図

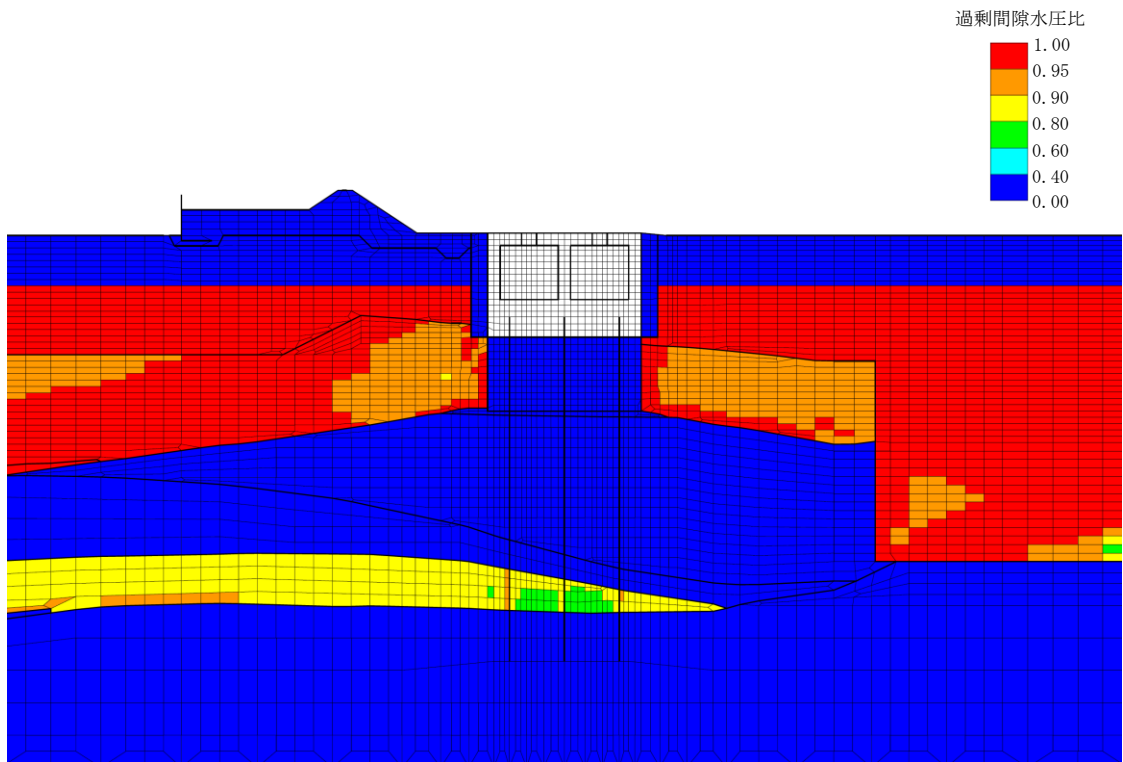
図 6-30 B-B断面の最大過剰間隙水圧比分布図

(解析ケース①, 地震動 Ss-3-+)

鋼管杭の曲げ軸力照査で照査値が最も厳しい解析ケース



全体図

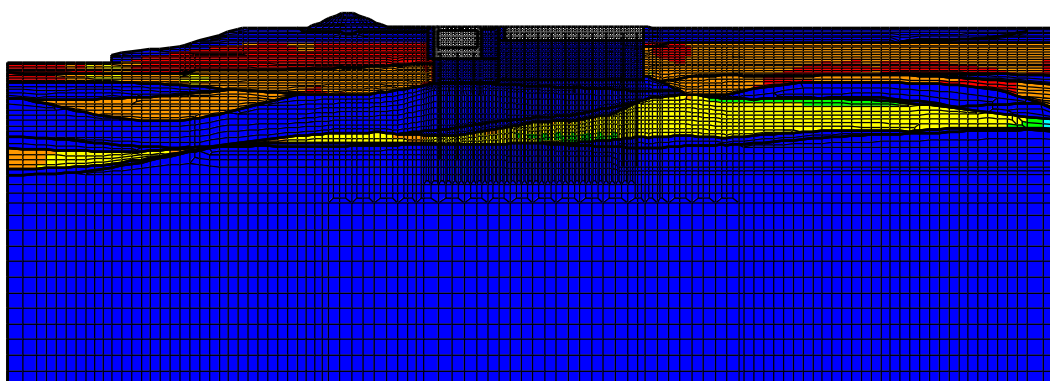
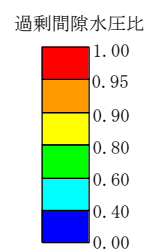


構造物周辺拡大図

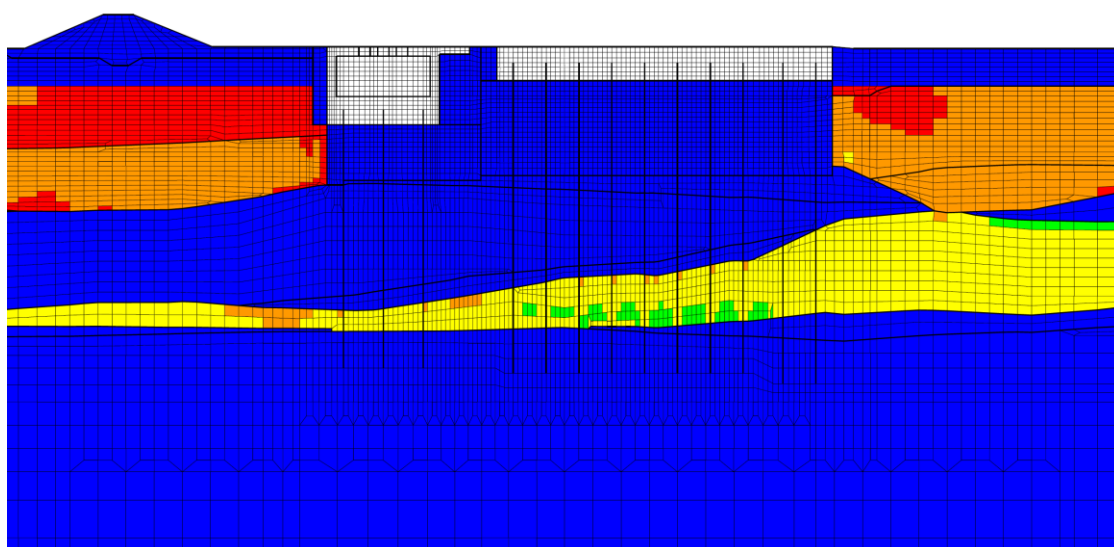
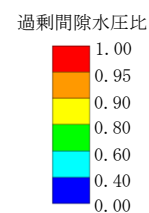
図 6-31 B-B断面の最大過剰間隙水圧比分布図

(解析ケース①, 地震動 Ss-3++)

鋼管杭のせん断力照査で照査値が最も厳しい解析ケース



全体図

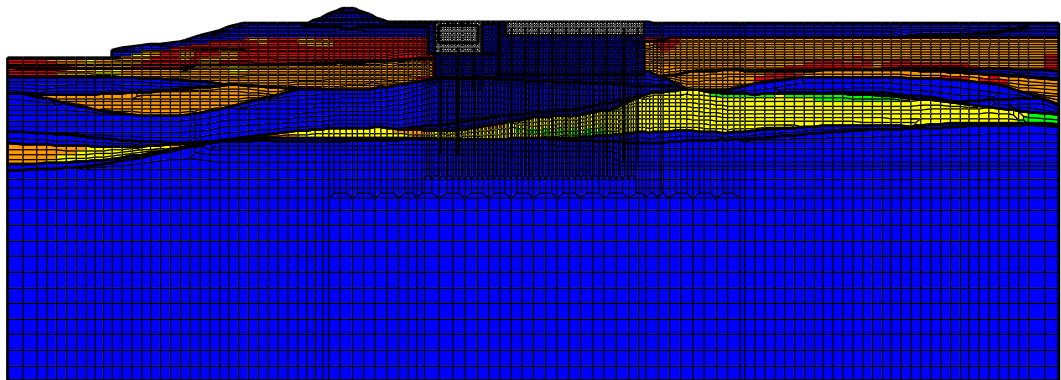
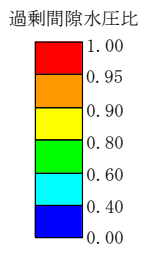


構造物周辺拡大図

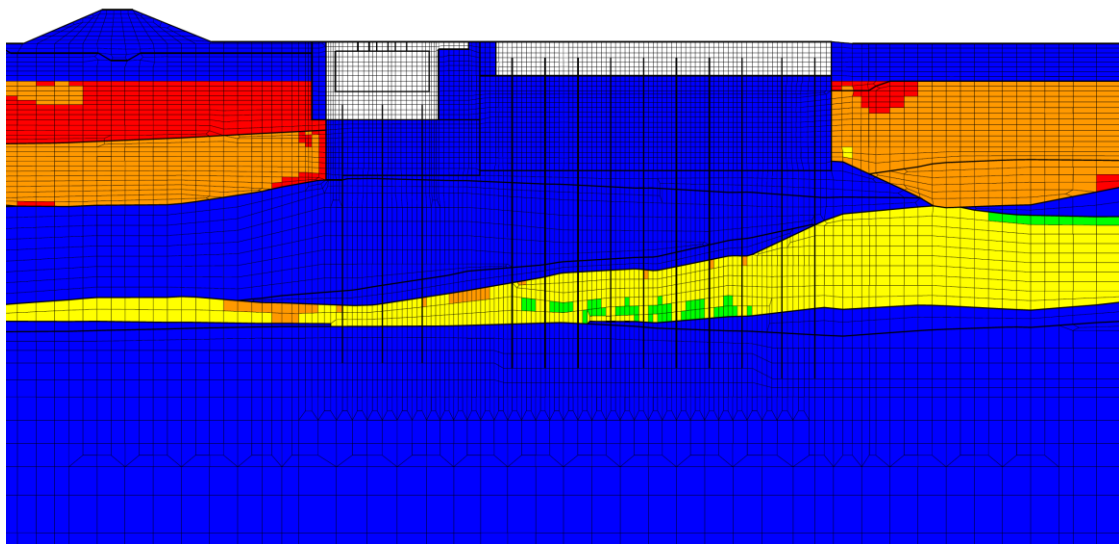
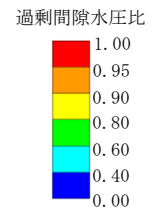
図 6-32 C-C断面の最大過剰間隙水圧比分布図

(解析ケース①, 地震動 Ss-1+-)

鉄筋コンクリート部材 (第一ガスタービン発電機基礎) の曲げ軸力照査で
照査値が最も厳しい解析ケース



全体図



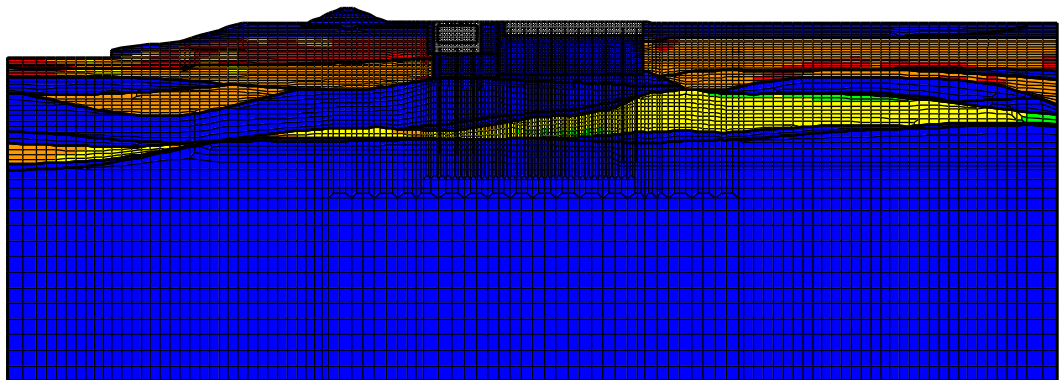
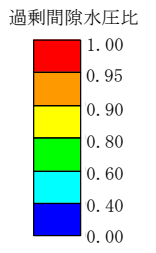
構造物周辺拡大図

図 6-33 C-C断面の最大過剰間隙水圧比分布図

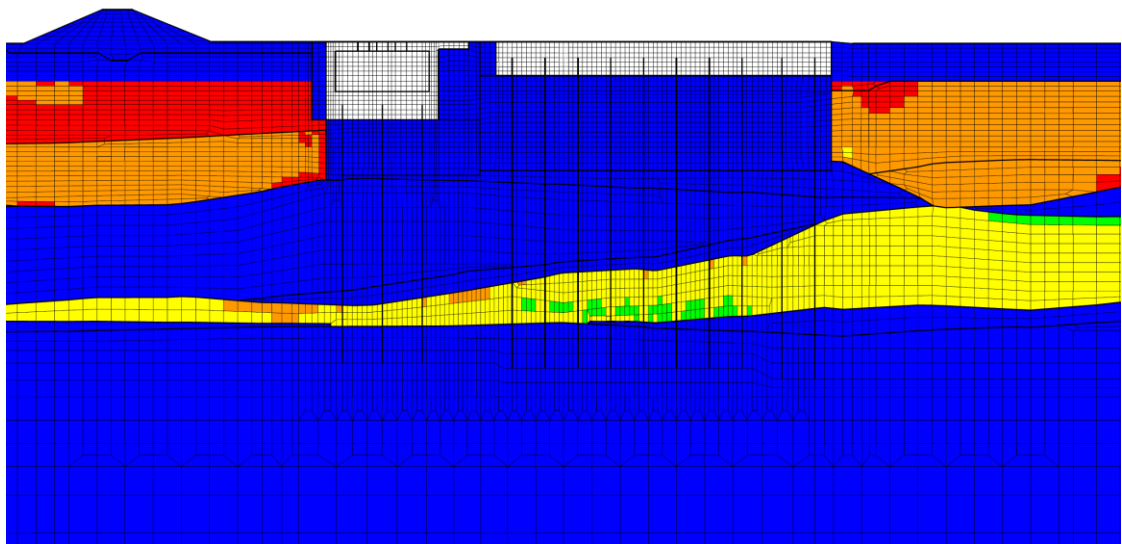
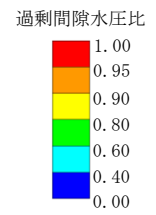
(解析ケース①, 地震動 Ss-1--)

鉄筋コンクリート部材 (第一ガスタービン発電機基礎) のせん断力照査で

照査値が最も厳しい解析ケース



全体図

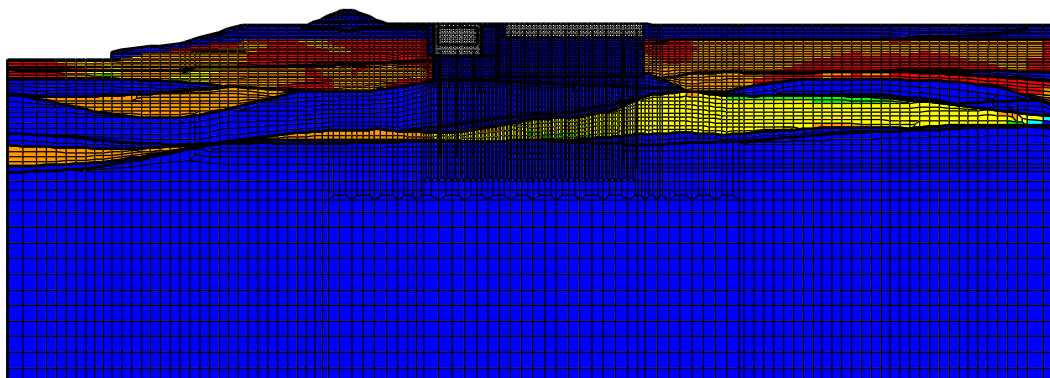
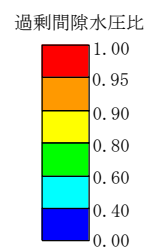


構造物周辺拡大図

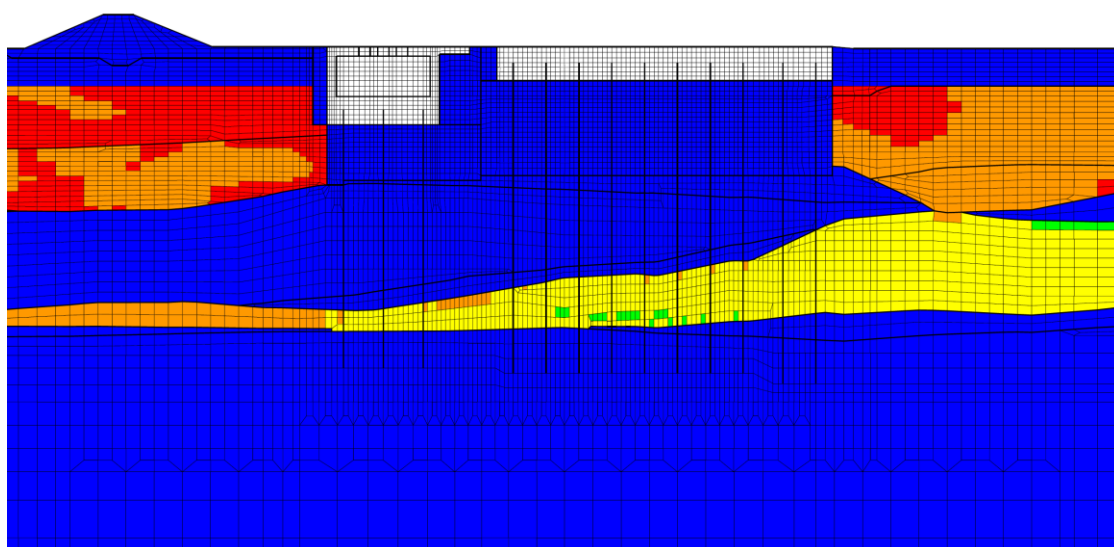
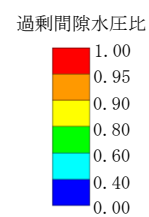
図 6-34 C-C断面の最大過剰間隙水圧比分布図

(解析ケース①, 地震動 Ss-1-1-1)

鉄筋コンクリート部材（第一ガスタービン発電機用燃料タンク基礎）の曲げ軸力照査及びせん断力照査で照査値が最も厳しい解析ケース



全体図

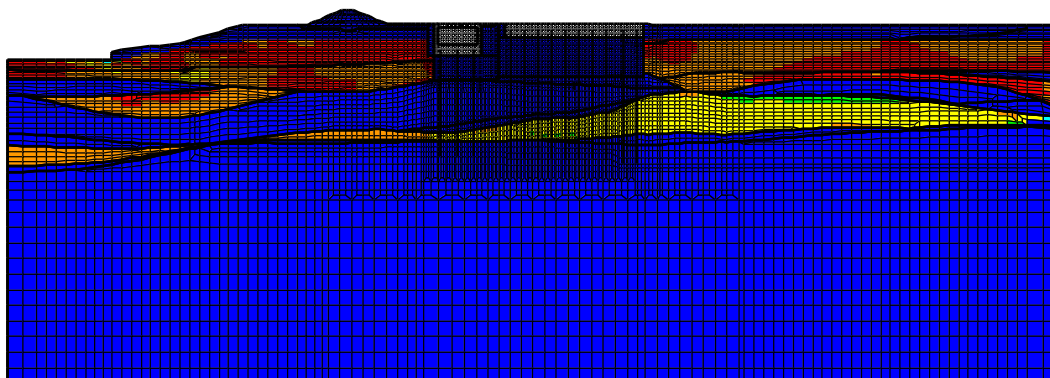
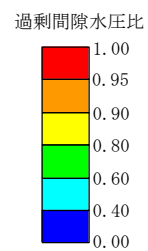


構造物周辺拡大図

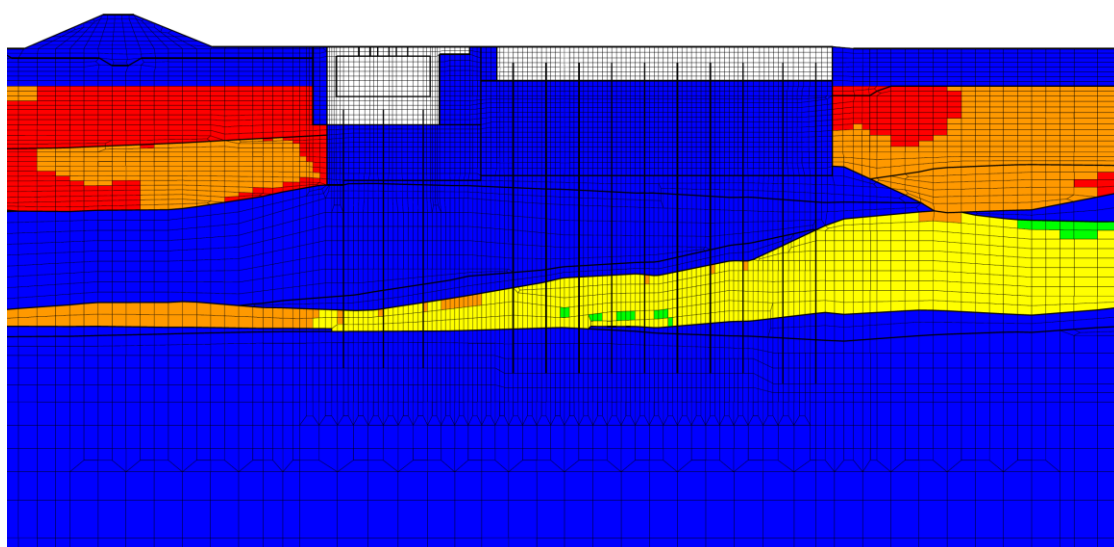
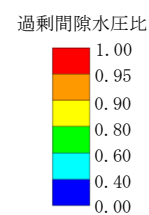
図 6-35 C-C断面の最大過剰間隙水圧比分布図

(解析ケース③, 地震動 Ss-3--)

鋼管杭の曲げ軸力照査で照査値が最も厳しい解析ケース



全体図



構造物周辺拡大図

図 6-36 C-C断面の最大過剰間隙水圧比分布図

(解析ケース③, 地震動 Ss-3++)

鋼管杭のせん断力照査で照査値が最も厳しい解析ケース

6.2 鉄筋コンクリート部材の耐震評価

6.2.1 鉄筋コンクリート部材の曲げ軸力に対する評価結果

3次元構造解析に基づく鉄筋コンクリート部材の曲げ軸力照査結果を表 6-25 及び表 6-26, 評価位置 (第一ガスタービン発電機用燃料タンク基礎) を図 6-37 に示す。各表には, 「4.3 照査時刻の選定」に基づき選定した各照査時刻における評価結果のうち, 解析ケース及び地震動ごとに照査値が最大となる結果を示している。

照査結果より, 照査用圧縮ひずみが限界ひずみを下回ることを確認した。

表 6-25 鉄筋コンクリート部材の曲げ軸力照査結果 (第一ガスタービン発電機基礎)

解析 ケース	地震動	照査用圧縮ひずみ* $\epsilon_d (\mu)$	限界ひずみ $\epsilon_r (\mu)$	照査値
①	Ss-1++	8	10000	0.00080
	Ss-1-+	11		0.0011
	Ss-1+-	18		0.0018
	Ss-1--	10		0.0010
	Ss-2	8		0.00080
	Ss-3++	9		0.00090
	Ss-3-+	8		0.00080
	Ss-3+-	10		0.0010
	Ss-3--	7		0.00070
	Ss-4	6		0.00060
	Ss-5	6		0.00060
	Ss-6	14		0.0014
	Ss-7	9		0.00090
	Ss-8++	6		0.00060
Ss-8-+	6	0.00060		
②	Ss-3++	9	0.00090	
	Ss-3--	7	0.00070	
③	Ss-3++	10	0.0010	
	Ss-3--	7	0.00070	
④	Ss-3++	7	0.00070	
	Ss-3--	7	0.00070	
⑤	Ss-3++	6	0.00060	
	Ss-3--	7	0.00070	

注記* : 照査用圧縮ひずみ $\epsilon_d =$ 圧縮縁の発生ひずみ $\epsilon \times$ 構造解析係数 γ_a

表 6-26 鉄筋コンクリート部材の曲げ軸力照査結果(第一ガスタービン発電機用燃料タンク基礎)(1/4)

解析 ケース	地震動	評価位置		照査用圧縮ひずみ*	限界ひずみ	照査値
				$\epsilon_d (\mu)$	$\epsilon_r (\mu)$	
①	Ss-1++	側壁	4	132	10000	0.014
		隔壁	2	48		0.0048
		頂版	7	97		0.0097
		底版	9	64		0.0064
		張出部	10	102		0.011
	Ss-1-+	側壁	4	152		0.016
		隔壁	2	49		0.0049
		頂版	7	127		0.013
		底版	9	72		0.0072
		張出部	10	101		0.011
	Ss-1+-	側壁	4	138		0.014
		隔壁	2	49		0.0049
		頂版	7	93		0.0093
		底版	9	63		0.0063
		張出部	10	96		0.0096
	Ss-1--	側壁	4	176		0.018
		隔壁	2	53		0.0053
		頂版	7	137		0.014
		底版	9	80		0.0080
		張出部	10	110		0.011
	Ss-2	側壁	3	112		0.012
		隔壁	2	45		0.0045
		頂版	7	91		0.0091
		底版	9	50		0.0050
		張出部	10	99		0.0099
Ss-3++	側壁	3	113	0.012		
	隔壁	2	44	0.0044		
	頂版	7	81	0.0081		
	底版	9	67	0.0067		
	張出部	10	98	0.0098		

注記* : 照査用圧縮ひずみ $\epsilon_d =$ 圧縮縁の発生ひずみ $\epsilon \times$ 構造解析係数 γ_a

表 6-26 鉄筋コンクリート部材の曲げ軸力照査結果(第一ガスタービン発電機用燃料タンク基礎)(2/4)

解析 ケース	地震動	評価位置		照査用圧縮ひずみ*	限界ひずみ	照査値
				$\epsilon_d (\mu)$	$\epsilon_r (\mu)$	
①	Ss-3-+	側壁	5	89	10000	0.0089
		隔壁	2	52		0.0052
		頂版	7	81		0.0081
		底版	9	46		0.0046
		張出部	10	87		0.0087
	Ss-3+-	側壁	3	117		0.012
		隔壁	2	54		0.0054
		頂版	7	86		0.0086
		底版	9	61		0.0061
		張出部	10	99		0.0099
	Ss-3--	側壁	3	158		0.016
		隔壁	2	61		0.0061
		頂版	7	135		0.014
		底版	9	84		0.0084
		張出部	10	107		0.011
	Ss-4	側壁	3	108		0.011
		隔壁	2	44		0.0044
		頂版	7	85		0.0085
		底版	9	45		0.0045
		張出部	10	98		0.0098
	Ss-5	側壁	3	131		0.014
		隔壁	2	54		0.0054
		頂版	7	85		0.0085
		底版	9	47		0.0047
		張出部	10	102		0.011
	Ss-6	側壁	3	142		0.015
		隔壁	2	49		0.0049
		頂版	7	117		0.012
		底版	9	62		0.0062
		張出部	10	110		0.011

注記* : 照査用圧縮ひずみ ϵ_d = 圧縮縁の発生ひずみ ϵ × 構造解析係数 γ_a

表 6-26 鉄筋コンクリート部材の曲げ軸力照査結果(第一ガスタービン発電機用燃料タンク基礎)(3/4)

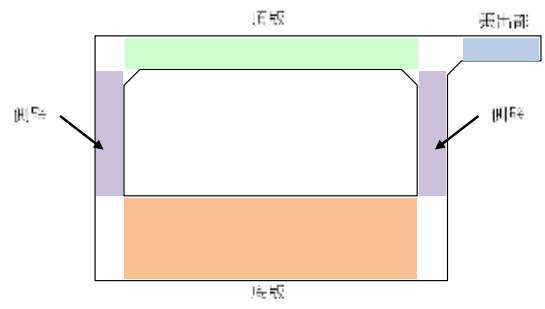
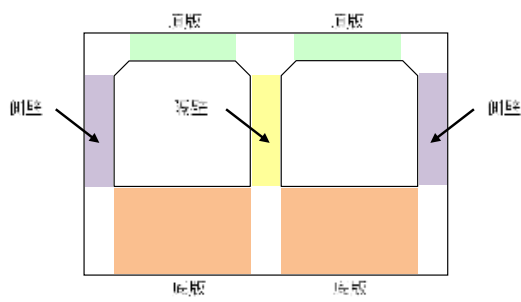
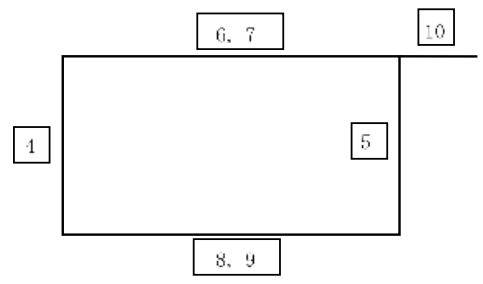
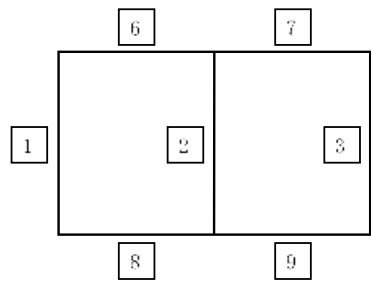
解析 ケース	地震動	評価位置		照査用圧縮ひずみ*	限界ひずみ $\epsilon_r (\mu)$	照査値
				$\epsilon_d (\mu)$		
①	Ss-7	側壁	3	128	10000	0.013
		隔壁	2	49		0.0049
		頂版	7	101		0.011
		底版	9	58		0.0058
		張出部	10	101		0.011
	Ss-8++	側壁	4	151		0.016
		隔壁	2	52		0.0052
		頂版	7	114		0.012
		底版	9	71		0.0071
		張出部	10	89		0.0089
	Ss-8-+	側壁	1	92		0.0092
		隔壁	2	56		0.0056
		頂版	6	81		0.0081
		底版	9	47		0.0047
		張出部	10	92		0.0092
②	Ss-3++	側壁	3	120	0.012	
		隔壁	2	45	0.0045	
		頂版	7	85	0.0085	
		底版	9	75	0.0075	
		張出部	10	92	0.0092	
	Ss-3--	側壁	3	123	0.013	
		隔壁	2	56	0.0056	
		頂版	7	94	0.0094	
		底版	9	58	0.0058	
		張出部	10	111	0.012	
③	Ss-3++	側壁	3	110	0.011	
		隔壁	2	43	0.0043	
		頂版	7	96	0.0096	
		底版	9	55	0.0055	
		張出部	10	101	0.011	

注記* : 照査用圧縮ひずみ $\epsilon_d =$ 圧縮縁の発生ひずみ $\epsilon \times$ 構造解析係数 γ_a

表 6-26 鉄筋コンクリート部材の曲げ軸力照査結果(第一ガスタービン発電機用燃料タンク基礎) (4/4)

解析 ケース	地震動	評価位置		照査用圧縮ひずみ*	限界ひずみ $\epsilon_r (\mu)$	照査値
				$\epsilon_d (\mu)$		
③	Ss-3--	側壁	3	158	10000	0.016
		隔壁	2	55		0.0055
		頂版	7	132		0.014
		底版	9	82		0.0082
		張出部	10	97		0.0097
④	Ss-3++	側壁	3	125		0.013
		隔壁	2	50		0.0050
		頂版	7	84		0.0084
		底版	9	70		0.0070
		張出部	10	84		0.0084
	Ss-3--	側壁	4	124		0.013
		隔壁	2	53		0.0053
		頂版	7	100		0.010
		底版	9	62		0.0062
		張出部	10	100		0.010
⑤	Ss-3++	側壁	4	128	0.013	
		隔壁	2	48	0.0048	
		頂版	7	89	0.0089	
		底版	9	76	0.0076	
		張出部	10	79	0.0079	
	Ss-3--	側壁	3	122	0.013	
		隔壁	2	51	0.0051	
		頂版	7	100	0.010	
		底版	9	65	0.0065	
		張出部	10	105	0.011	

注記* : 照査用圧縮ひずみ $\epsilon_d =$ 圧縮縁の発生ひずみ $\epsilon \times$ 構造解析係数 γ_a



B-B断面

C-C断面

図 6-37 評価位置 (第一ガスタービン発電機用燃料タンク基礎)

6.2.2 鉄筋コンクリート部材のせん断力に対する評価結果

3次元構造解析に基づく鉄筋コンクリート部材のせん断力照査結果を表6-27及び表6-28、評価位置（第一ガスタービン発電機用燃料タンク基礎）を図6-38に示す。各表には、「4.3 照査時刻の選定」に基づき選定した各照査時刻における評価結果のうち、解析ケース、地震動及び評価位置ごとに照査値が最大となる結果を示している。

照査結果より、照査用せん断耐力がせん断耐力を下回ることを確認した。

表6-27 鉄筋コンクリート部材のせん断力照査結果（第一ガスタービン発電機基礎）

解析 ケース	地震動	照査用せん断力* V_d (kN)	せん断耐力 $V_{y d}$ (kN)	照査値 $V_d / V_{y d}$
①	Ss-1++	447	6504	0.069
	Ss-1-+	455	6527	0.070
	Ss-1+-	517	6696	0.078
	Ss-1--	542	6520	0.084
	Ss-2	421	6527	0.065
	Ss-3++	409	6518	0.063
	Ss-3-+	457	6523	0.071
	Ss-3+-	403	6520	0.062
	Ss-3--	403	6526	0.062
	Ss-4	113	6394	0.018
	Ss-5	392	6526	0.061
	Ss-6	412	6704	0.062
	Ss-7	367	6522	0.057
	Ss-8++	368	6527	0.057
	Ss-8-+	371	6527	0.057
②	Ss-3++	440	6527	0.068
	Ss-3--	390	6524	0.060
③	Ss-3++	430	6526	0.066
	Ss-3--	414	6519	0.064
④	Ss-3++	406	6514	0.063
	Ss-3--	393	6518	0.061
⑤	Ss-3++	391	6504	0.061
	Ss-3--	389	6523	0.060

注記* : 照査用せん断力 $V_d =$ 発生せん断力 \times 構造解析係数 γ_a

表 6-28 鉄筋コンクリート部材のせん断力照査結果(第一ガスタービン発電機用燃料タンク基礎)(1/4)

解析 ケース	地震動	評価位置		照査用せん断力*	せん断耐力	照査値
				V_d (kN)	V_{yd} (kN)	V_d/V_{yd}
①	Ss-1++	側壁	3	610	1973	0.31
		隔壁	2	116	1913	0.061
		頂版	7	236	1274	0.19
		底版	8	2140	7765	0.28
		張出部	10	174	929	0.19
	Ss-1-+	側壁	3	700	1893	0.37
		隔壁	2	141	2087	0.068
		頂版	7	242	1095	0.23
		底版	8	2277	7350	0.31
		張出部	10	163	874	0.19
	Ss-1+-	側壁	3	629	1867	0.34
		隔壁	2	103	1876	0.055
		頂版	7	219	1236	0.18
		底版	8	1816	7349	0.25
		張出部	10	150	883	0.17
	Ss-1--	側壁	3	794	1881	0.43
		隔壁	2	146	2103	0.070
		頂版	7	285	1138	0.26
		底版	8	2470	7356	0.34
		張出部	10	193	935	0.21
	Ss-2	側壁	3	498	1964	0.26
		隔壁	2	92	2052	0.045
		頂版	7	215	1252	0.18
		底版	8	2044	7758	0.27
		張出部	10	157	898	0.18
	Ss-3++	側壁	3	558	1971	0.29
		隔壁	2	115	1920	0.060
		頂版	7	217	1365	0.16
		底版	8	2000	7350	0.28
		張出部	10	152	876	0.18

注記* : 照査用せん断力 $V_d =$ 発生せん断力 \times 構造解析係数 γ_a

表 6-28 鉄筋コンクリート部材のせん断力照査結果(第一ガスタービン発電機用燃料タンク基礎)(2/4)

解析 ケース	地震動	評価位置		照査用せん断力*	せん断耐力	照査値
				V_d (kN)	V_{yd} (kN)	V_d/V_{yd}
①	Ss-3-+	側壁	3	416	1890	0.23
		隔壁	2	101	1933	0.053
		頂版	7	194	1346	0.15
		底版	8	1911	7758	0.25
		張出部	10	140	887	0.16
	Ss-3+-	側壁	3	572	1935	0.30
		隔壁	2	114	1949	0.059
		頂版	7	218	1312	0.17
		底版	9	1936	7355	0.27
		張出部	10	152	882	0.18
	Ss-3--	側壁	3	728	1950	0.38
		隔壁	2	209	2099	0.10
		頂版	7	256	1168	0.22
		底版	8	2481	7347	0.34
		張出部	10	185	925	0.20
	Ss-4	側壁	3	488	1986	0.25
		隔壁	2	81	1992	0.041
		頂版	7	218	1337	0.17
		底版	8	1932	7755	0.25
		張出部	10	161	902	0.18
	Ss-5	側壁	3	522	1763	0.30
		隔壁	2	87	1969	0.045
		頂版	7	227	1378	0.17
		底版	8	2069	7760	0.27
		張出部	10	156	901	0.18
	Ss-6	側壁	3	644	1996	0.33
		隔壁	2	109	2082	0.053
		頂版	7	261	1206	0.22
		底版	8	1901	7761	0.25
		張出部	10	168	900	0.19

注記* : 照査用せん断力 $V_d =$ 発生せん断力 \times 構造解析係数 γ_a

表 6-28 鉄筋コンクリート部材のせん断力照査結果(第一ガスタービン発電機用燃料タンク基礎)(3/4)

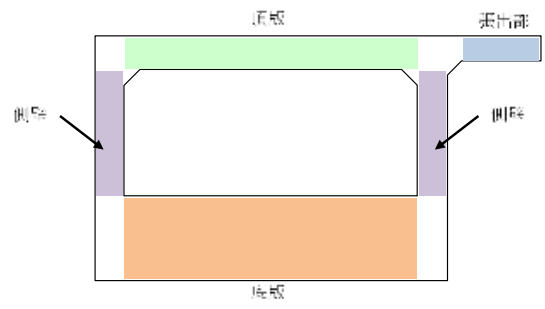
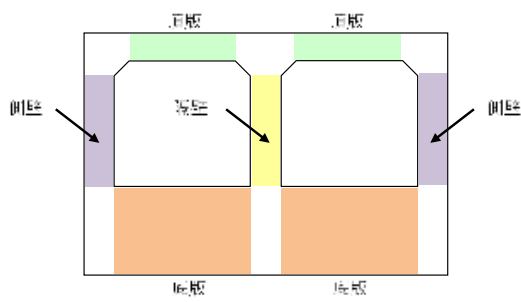
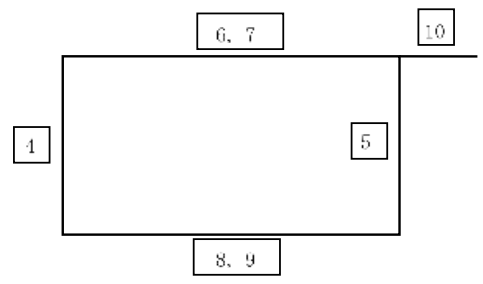
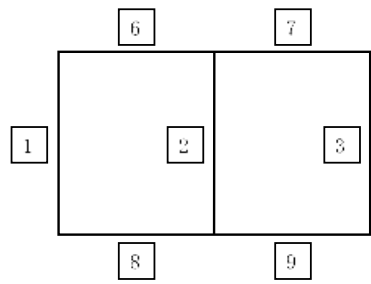
解析 ケース	地震動	評価位置		照査用せん断力*	せん断耐力	照査値
				V_d (kN)	V_{yd} (kN)	V_d/V_{yd}
①	Ss-7	側壁	3	586	2014	0.30
		隔壁	2	94	1910	0.050
		頂版	7	232	1219	0.20
		底版	8	2081	7757	0.27
		張出部	10	152	906	0.17
	Ss-8++	側壁	3	682	1863	0.37
		隔壁	2	140	2079	0.068
		頂版	7	231	1122	0.21
		底版	8	2597	7745	0.34
		張出部	10	149	877	0.17
	Ss-8-+	側壁	1	420	2042	0.21
		隔壁	2	138	1985	0.070
		頂版	6	203	1377	0.15
		底版	9	1850	7348	0.26
		張出部	10	139	886	0.16
②	Ss-3++	側壁	3	600	1955	0.31
		隔壁	2	119	1926	0.062
		頂版	7	211	1283	0.17
		底版	8	2119	7322	0.29
		張出部	10	142	864	0.17
	Ss-3--	側壁	3	584	1991	0.30
		隔壁	2	96	1947	0.050
		頂版	7	241	1315	0.19
		底版	9	1755	7345	0.24
		張出部	10	166	885	0.19
③	Ss-3++	側壁	3	541	1944	0.28
		隔壁	2	115	2003	0.058
		頂版	7	217	1243	0.18
		底版	8	1901	7389	0.26
		張出部	10	155	878	0.18

注記* : 照査用せん断力 $V_d = \text{発生せん断力} \times \text{構造解析係数 } \gamma_a$

表 6-28 鉄筋コンクリート部材のせん断力照査結果(第一ガスタービン発電機用燃料タンク基礎) (4/4)

解析 ケース	地震動	評価位置		照査用せん断力*	せん断耐力	照査値
				V_d (kN)	V_{yd} (kN)	V_d / V_{yd}
③	Ss-3--	側壁	3	738	1942	0.39
		隔壁	2	206	2100	0.099
		頂版	7	233	1104	0.22
		底版	8	2236	7339	0.31
		張出部	10	160	881	0.19
④	Ss-3++	側壁	3	537	1818	0.30
		隔壁	2	135	2005	0.068
		頂版	6	258	1585	0.17
		底版	8	2602	7747	0.34
		張出部	10	142	854	0.17
	Ss-3--	側壁	3	566	1882	0.31
		隔壁	2	115	1969	0.059
		頂版	7	240	1263	0.20
		底版	8	2156	7750	0.28
		張出部	10	161	878	0.19
⑤	Ss-3++	側壁	3	564	1843	0.31
		隔壁	2	123	1848	0.067
		頂版	7	204	1217	0.17
		底版	8	2534	7719	0.33
		張出部	10	143	915	0.16
	Ss-3--	側壁	3	549	1924	0.29
		隔壁	2	105	1958	0.054
		頂版	7	246	1283	0.20
		底版	8	2278	7738	0.30
		張出部	10	168	882	0.20

注記* : 照査用せん断力 $V_d =$ 発生せん断力 \times 構造解析係数 γ_a



B-B断面

C-C断面

図 6-38 評価位置 (第一ガスタービン発電機用燃料タンク基礎)

6.2.3 壁部材の面内せん断に対する評価結果

3次元構造解析に基づく第一ガスタービン発電機用燃料タンク基礎の壁部材の面内せん断照査結果を表 6-29 に、評価位置を図 6-39 に示す。

照査結果より、照査用面内せん断ひずみが許容限界を下回ることを確認した。

表 6-29 第一ガスタービン発電機用燃料タンク基礎の壁部材の面内せん断照査結果 (1/2)

ケースの 着目事象	解析 ケース	地震動	時刻	評価位置	照査用面内 せん断ひずみ* γ_d	許容限界 γ_A	照査値 γ_d / γ_A
応力	①	Ss-3--	17.89	北側壁	7.65×10^{-6}	2.0×10^{-3}	0.0039
				隔壁	9.27×10^{-6}		0.0047
				南側壁	6.25×10^{-6}		0.0032
				北東妻壁	9.75×10^{-6}		0.0049
				北西妻壁	7.78×10^{-6}		0.0039
				南東妻壁	1.21×10^{-5}		0.0061
				南西妻壁	1.12×10^{-5}		0.0056
	①	Ss-8++	8.23	北側壁	3.56×10^{-5}		0.018
				隔壁	5.14×10^{-5}		0.026
				南側壁	3.23×10^{-5}		0.017
				北東妻壁	3.63×10^{-5}		0.019
				北西妻壁	3.44×10^{-5}		0.018
				南東妻壁	4.77×10^{-5}		0.024
				南西妻壁	4.51×10^{-5}		0.023

注記* : 照査用面内せん断ひずみ $\gamma_d =$ 発生面内せん断ひずみ \times 構造解析係数 γ_a

表 6-29 第一ガスタービン発電機用燃料タンク基礎の壁部材の面内せん断照査結果 (2/2)

ケースの 着目事象	解析 ケース	地震動	時刻	評価位置	照査用面内 せん断ひずみ* γ_d	許容限界 γ_A	照査値 γ_d / γ_A
変形	①	Ss-3-+	17.89	北側壁	3.77×10^{-6}	2.0×10^{-3}	0.0019
				隔壁	3.35×10^{-6}		0.0017
				南側壁	8.57×10^{-7}		0.00043
				北東妻壁	4.17×10^{-5}		0.021
				北西妻壁	3.87×10^{-5}		0.020
				南東妻壁	3.53×10^{-5}		0.018
				南西妻壁	3.45×10^{-5}		0.018
	⑤	Ss-3++	37.54	北側壁	3.72×10^{-5}		0.019
				隔壁	5.00×10^{-5}		0.025
				南側壁	3.39×10^{-5}		0.017
				北東妻壁	4.30×10^{-5}		0.022
				北西妻壁	4.02×10^{-5}		0.021
				南東妻壁	4.70×10^{-5}		0.024
				南西妻壁	4.48×10^{-5}		0.023

注記* : 照査用面内せん断ひずみ $\gamma_d =$ 発生面内せん断ひずみ \times 構造解析係数 γ_a

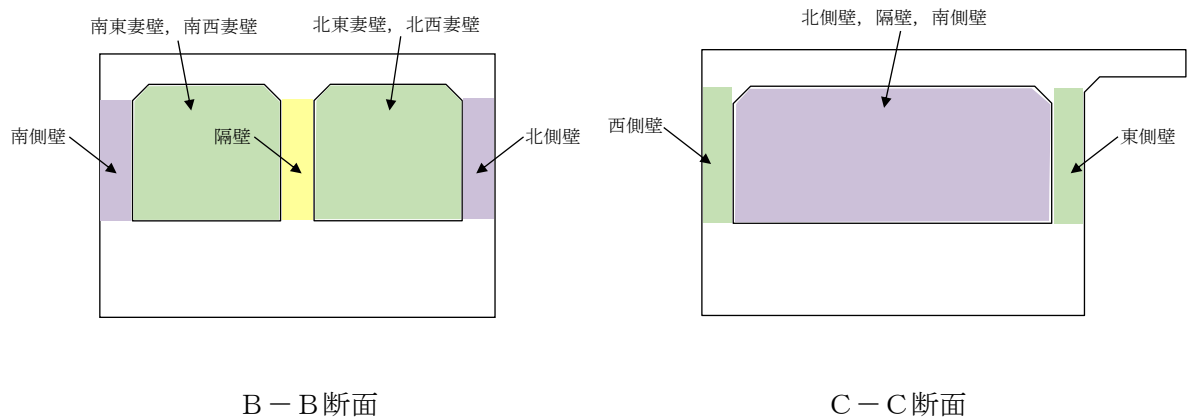


図 6-39 評価位置

6.3 鋼管杭の耐震評価

6.3.1 鋼管杭の曲げ軸力に対する評価結果

鋼管杭の曲げ軸力照査結果を表 6-30～表 6-32 に示す。

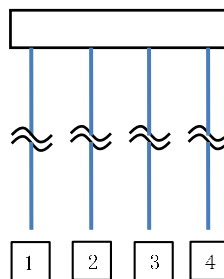
照査結果より，照査用曲率が終局曲率を下回ることを確認した。

表 6-30 鋼管杭の曲げ軸力照査結果 (A-A断面)

解析 ケース	評価位置*1	地震動	照査用曲率*2 ϕ_d (1/m)	終局曲率 ϕ_u (1/m)	照査値 ϕ_d / ϕ_u
①	4	Ss-1++	1.36×10^{-3}	8.54×10^{-3}	0.16
	1	Ss-1-+	1.17×10^{-3}	7.81×10^{-3}	0.15
	4	Ss-1+-	1.35×10^{-3}	8.35×10^{-3}	0.17
	4	Ss-1--	1.31×10^{-3}	8.73×10^{-3}	0.16
	4	Ss-2	5.53×10^{-4}	9.52×10^{-3}	0.059
	4	Ss-3++	1.65×10^{-3}	8.06×10^{-3}	0.21
	4	Ss-3-+	1.58×10^{-3}	8.48×10^{-3}	0.19
	4	Ss-3+-	1.63×10^{-3}	8.08×10^{-3}	0.21
	4	Ss-3--	1.52×10^{-3}	8.11×10^{-3}	0.19
	4	Ss-4	4.95×10^{-4}	9.35×10^{-3}	0.053
	4	Ss-5	4.37×10^{-4}	9.57×10^{-3}	0.046
	4	Ss-6	4.46×10^{-4}	9.05×10^{-3}	0.050
	4	Ss-7	5.00×10^{-4}	8.92×10^{-3}	0.057
	4	Ss-8++	1.14×10^{-3}	9.04×10^{-3}	0.13
	2	Ss-8-+	9.88×10^{-4}	8.82×10^{-3}	0.12
②	1	Ss-3++	1.64×10^{-3}	7.38×10^{-3}	0.23
③	4	Ss-3++	1.51×10^{-3}	8.08×10^{-3}	0.19
④	1	Ss-3++	1.43×10^{-3}	7.95×10^{-3}	0.18
⑤	2	Ss-3++	1.26×10^{-3}	8.51×10^{-3}	0.15

注記*1 : 評価位置は下図に示す。

*2 : 照査用曲率 $\phi_d = \text{発生曲率} \times \text{構造解析係数 } \gamma_a$



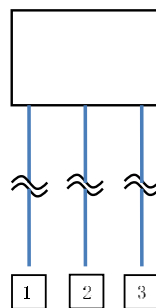
評価位置

表 6-31 鋼管杭の曲げ軸力照査結果 (B-B断面)

解析 ケース	評価位置*1	地震動	照査用曲率*2 ϕ_d (1/m)	終局曲率 ϕ_u (1/m)	照査値 ϕ_d / ϕ_u
①	3	Ss-1++	1.33×10^{-3}	6.87×10^{-3}	0.20
	1	Ss-1-+	1.57×10^{-3}	7.42×10^{-3}	0.22
	3	Ss-1+-	1.34×10^{-3}	6.83×10^{-3}	0.20
	1	Ss-1--	1.56×10^{-3}	7.40×10^{-3}	0.22
	3	Ss-2	4.61×10^{-4}	7.95×10^{-3}	0.058
	3	Ss-3++	1.98×10^{-3}	7.30×10^{-3}	0.28
	1	Ss-3-+	2.13×10^{-3}	6.86×10^{-3}	0.32
	3	Ss-3+-	1.98×10^{-3}	7.33×10^{-3}	0.28
	1	Ss-3--	2.12×10^{-3}	6.89×10^{-3}	0.31
	3	Ss-4	3.99×10^{-4}	7.89×10^{-3}	0.051
	3	Ss-5	5.58×10^{-4}	7.51×10^{-3}	0.075
	3	Ss-6	5.10×10^{-4}	7.45×10^{-3}	0.069
	3	Ss-7	8.18×10^{-4}	7.05×10^{-3}	0.12
	3	Ss-8++	1.04×10^{-3}	7.25×10^{-3}	0.15
	1	Ss-8-+	9.42×10^{-4}	7.51×10^{-3}	0.13
	②	3	Ss-3++	1.85×10^{-3}	7.41×10^{-3}
③	3	Ss-3++	2.04×10^{-3}	7.30×10^{-3}	0.28
④	3	Ss-3++	2.23×10^{-3}	7.65×10^{-3}	0.30
⑤	3	Ss-3++	1.92×10^{-3}	7.86×10^{-3}	0.25

注記*1 : 評価位置は下図に示す。

*2 : 照査用曲率 $\phi_d =$ 発生曲率 \times 構造解析係数 γ_a



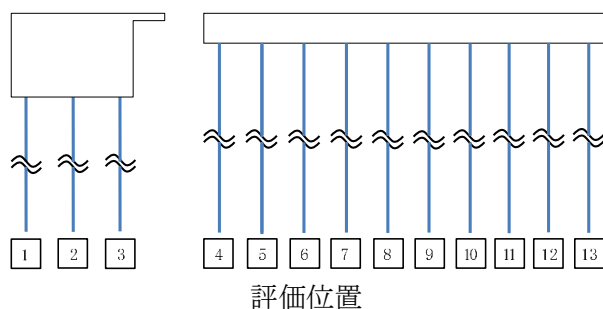
評価位置

表 6-32 鋼管杭の曲げ軸力照査結果 (C-C断面)

解析 ケース	評価位置*1	地震動	照査用曲率*2 ϕ_d (1/m)	終局曲率 ϕ_u (1/m)	照査値 ϕ_d / ϕ_u
①	1	Ss-1++	2.40×10^{-3}	8.11×10^{-3}	0.30
	1	Ss-1-+	2.42×10^{-3}	8.14×10^{-3}	0.30
	1	Ss-1+-	2.45×10^{-3}	7.74×10^{-3}	0.32
	1	Ss-1--	2.42×10^{-3}	8.14×10^{-3}	0.30
	1	Ss-2	1.50×10^{-3}	8.81×10^{-3}	0.18
	7	Ss-3++	4.30×10^{-3}	9.71×10^{-3}	0.45
	7	Ss-3-+	7.18×10^{-3}	9.91×10^{-3}	0.73
	7	Ss-3+-	4.23×10^{-3}	9.69×10^{-3}	0.44
	7	Ss-3--	7.20×10^{-3}	9.87×10^{-3}	0.73
	1	Ss-4	1.24×10^{-3}	8.38×10^{-3}	0.15
	1	Ss-5	2.24×10^{-3}	8.15×10^{-3}	0.28
	1	Ss-6	2.01×10^{-3}	8.21×10^{-3}	0.25
	1	Ss-7	2.61×10^{-3}	9.46×10^{-3}	0.28
	3	Ss-8++	1.35×10^{-3}	8.65×10^{-3}	0.16
	1	Ss-8-+	1.49×10^{-3}	8.85×10^{-3}	0.17
②	3	Ss-3++	3.48×10^{-3}	9.19×10^{-3}	0.38
	1	Ss-3--	4.89×10^{-3}	8.00×10^{-3}	0.62
③	7	Ss-3++	5.20×10^{-3}	9.74×10^{-3}	0.54
	7	Ss-3-+	8.28×10^{-3}	9.85×10^{-3}	0.85
	7	Ss-3--	8.27×10^{-3}	9.83×10^{-3}	0.85
④	3	Ss-3++	2.79×10^{-3}	8.99×10^{-3}	0.32
	1	Ss-3--	3.36×10^{-3}	8.10×10^{-3}	0.42
⑤	3	Ss-3++	2.62×10^{-3}	9.19×10^{-3}	0.29
	1	Ss-3--	2.90×10^{-3}	8.12×10^{-3}	0.36

注記*1 : 評価位置は下図に示す。

*2 : 照査用曲率 $\phi_d =$ 発生曲率 \times 構造解析係数 γ_a



6.3.2 鋼管杭のせん断力に対する評価結果

鋼管杭のせん断力照査結果を表 6-33～表 6-35 に示す。

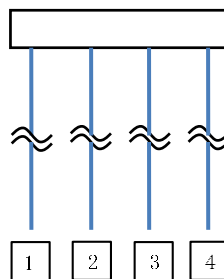
照査結果より，照査用せん断力が終局せん断強度を下回ることを確認した。

表 6-33 鋼管杭のせん断力照査結果 (A-A断面)

解析 ケース	評価位置*1	地震動	照査用せん断力*2 Q_d (kN)	終局せん断強度 Q_u (kN)	照査値 Q_d / Q_u
①	4	Ss-1++	2672	8563	0.32
	3	Ss-1-+	2508	8563	0.30
	4	Ss-1+-	2666	8563	0.32
	3	Ss-1--	2555	8563	0.30
	4	Ss-2	1325	8563	0.16
	3	Ss-3++	3260	8563	0.39
	4	Ss-3-+	3097	8563	0.37
	3	Ss-3+-	3227	8563	0.38
	4	Ss-3--	3126	8563	0.37
	4	Ss-4	1249	8563	0.15
	4	Ss-5	1104	8563	0.13
	4	Ss-6	1193	8563	0.14
	4	Ss-7	1407	8563	0.17
	4	Ss-8++	2207	8563	0.26
	3	Ss-8-+	2066	8563	0.25
②	3	Ss-3++	3426	8563	0.41
③	1	Ss-3++	2925	8563	0.35
④	3	Ss-3++	3051	8563	0.36
⑤	4	Ss-3++	3153	8563	0.37

注記*1 : 評価位置は下図に示す。

*2 : 照査用せん断力 $Q_d = \text{発生せん断力} \times \text{構造解析係数 } \gamma_a$



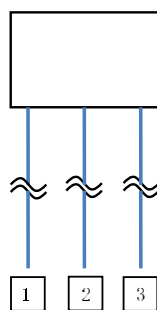
評価位置

表 6-34 鋼管杭のせん断力照査結果 (B-B断面)

解析 ケース	評価位置*1	地震動	照査用せん断力*2 Q_d (kN)	終局せん断強度 Q_u (kN)	照査値 Q_d / Q_u
①	2	Ss-1++	3756	8563	0.44
	2	Ss-1-+	3603	8563	0.43
	2	Ss-1+-	3759	8563	0.44
	2	Ss-1--	3601	8563	0.43
	2	Ss-2	2039	8563	0.24
	2	Ss-3++	3983	8563	0.47
	1	Ss-3-+	3841	8563	0.45
	2	Ss-3+-	3955	8563	0.47
	1	Ss-3--	3834	8563	0.45
	2	Ss-4	2126	8563	0.25
	2	Ss-5	2705	8563	0.32
	2	Ss-6	2649	8563	0.31
	2	Ss-7	3318	8563	0.39
	2	Ss-8++	3287	8563	0.39
	2	Ss-8-+	3114	8563	0.37
②	2	Ss-3++	3948	8563	0.47
③	2	Ss-3++	3711	8563	0.44
④	1	Ss-3++	3806	8563	0.45
⑤	2	Ss-3++	3982	8563	0.47

注記*1 : 評価位置は下図に示す。

*2 : 照査用せん断力 $Q_d =$ 発生せん断力 \times 構造解析係数 γ_a



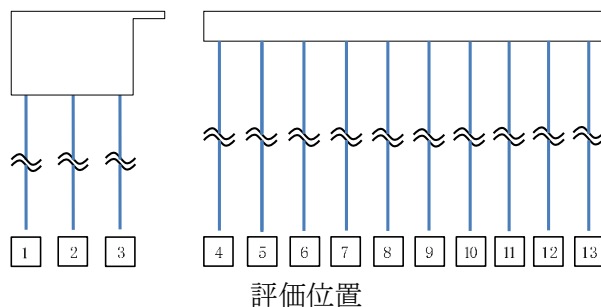
評価位置

表 6-35 鋼管杭のせん断力照査結果 (C-C断面)

解析 ケース	評価位置*1	地震動	照査用せん断力*2 Q_d (kN)	終局せん断強度 Q_u (kN)	照査値 Q_d/Q_u
①	1	Ss-1++	5106	8563	0.60
	1	Ss-1-+	5298	8563	0.62
	1	Ss-1+-	5240	8563	0.62
	1	Ss-1--	5239	8563	0.62
	3	Ss-2	3131	8563	0.37
	1	Ss-3++	7261	8563	0.85
	1	Ss-3-+	6430	8563	0.76
	1	Ss-3+-	7256	8563	0.85
	1	Ss-3--	6425	8563	0.76
	1	Ss-4	2725	8563	0.32
	1	Ss-5	4833	8563	0.57
	1	Ss-6	4491	8563	0.53
	1	Ss-7	6317	8563	0.74
	3	Ss-8++	3274	8563	0.39
	3	Ss-8-+	3161	8563	0.37
②	1	Ss-3++	7010	8563	0.82
	3	Ss-3--	7236	8563	0.85
③	1	Ss-3++	7446	8563	0.87
	1	Ss-3+-	7291	8563	0.86
	3	Ss-3--	6453	8563	0.76
④	1	Ss-3++	5921	8563	0.70
	1	Ss-3--	5877	8563	0.69
⑤	3	Ss-3++	5717	8563	0.67
	3	Ss-3--	6218	8563	0.73

注記*1 : 評価位置は下図に示す。

*2 : 照査用せん断力 $Q_d = \text{発生せん断力} \times \text{構造解析係数 } \gamma_a$



6.4 基礎地盤の支持性能に対する支持力評価

6.4.1 基礎地盤の押し込みに対する支持性能評価

基礎地盤の押し込みに対する支持性能照査結果を表 6-36～表 6-38 に示す。

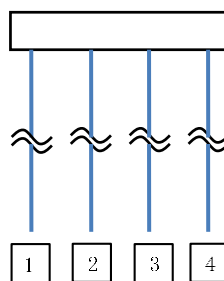
照査結果より、全時刻歴において発生した杭頭の鉛直力が終局鉛直支持力を下回ることを確認した。

表 6-36 基礎地盤の押込みに対する支持性能照査結果（A-A断面）

解析 ケース	評価位置*1	地震動	鉛直力 R_a (kN)	終局鉛直支持力*2 R_{ua} (kN)	照査値 R_a / R_{ua}
①	4	Ss-1++	3709	17413	0.22
	4	Ss-1-+	4134	17413	0.24
	4	Ss-1+-	3628	17413	0.21
	1	Ss-1--	3836	16781	0.23
	1	Ss-2	2146	16781	0.13
	1	Ss-3++	3625	16781	0.22
	1	Ss-3-+	4220	16781	0.26
	1	Ss-3+-	3733	16781	0.23
	1	Ss-3--	4155	16781	0.25
	1	Ss-4	2071	16781	0.12
	1	Ss-5	2053	16781	0.12
	1	Ss-6	2370	16781	0.14
	1	Ss-7	2453	16781	0.15
	4	Ss-8++	2527	17413	0.15
	1	Ss-8-+	3218	16781	0.19
②	1	Ss-3++	3942	16781	0.24
③	1	Ss-3++	3732	16781	0.23
④	1	Ss-3++	3638	16781	0.22
⑤	1	Ss-3++	3380	16781	0.21

注記*1：評価位置は下図に示す。

*2：終局鉛直支持力 R_{ua} = 極限支持力 R_u ÷ 安全率



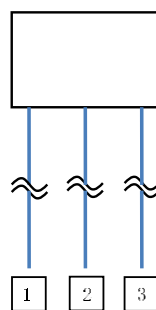
評価位置

表 6-37 基礎地盤の押込みに対する支持性能照査結果（B-B断面）

解析 ケース	評価位置*1	地震動	鉛直力 R_a (kN)	終局鉛直支持力*2 R_{ua} (kN)	照査値 R_a/R_{ua}
①	3	Ss-1++	10209	16883	0.61
	1	Ss-1-+	9138	16496	0.56
	3	Ss-1+-	9887	16883	0.59
	3	Ss-1--	9881	16883	0.59
	3	Ss-2	5809	16883	0.35
	3	Ss-3++	10601	16883	0.63
	3	Ss-3-+	9520	16883	0.57
	3	Ss-3+-	10940	16883	0.65
	3	Ss-3--	10546	16883	0.63
	1	Ss-4	5715	16496	0.35
	3	Ss-5	7016	16883	0.42
	3	Ss-6	7398	16883	0.44
	3	Ss-7	9014	16883	0.54
	3	Ss-8++	8098	16883	0.48
	1	Ss-8-+	6960	16496	0.43
②	3	Ss-3++	10235	16883	0.61
③	3	Ss-3++	10753	16883	0.64
④	3	Ss-3++	8136	16883	0.49
⑤	3	Ss-3++	6679	16883	0.40

注記*1：評価位置は下図に示す。

*2：終局鉛直支持力 R_{ua} =極限支持力 R_u ÷安全率



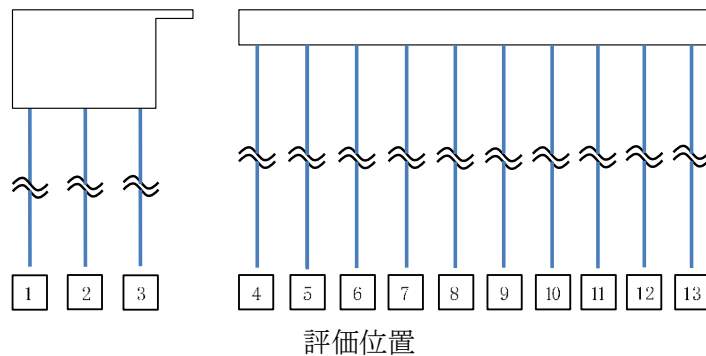
評価位置

表 6-38 基礎地盤の押込みに対する支持性能照査結果 (C-C断面)

解析 ケース	評価位置*1	地震動	鉛直力 R_a (kN)	終局鉛直支持力*2 R_{ua} (kN)	照査値 R_a / R_{ua}
①	2	Ss-1++	4777	16246	0.30
	2	Ss-1-+	4318	16246	0.27
	2	Ss-1+-	5040	16246	0.32
	2	Ss-1--	4309	16246	0.27
	3	Ss-2	3776	16081	0.24
	2	Ss-3++	4402	16246	0.28
	2	Ss-3-+	4807	16246	0.30
	2	Ss-3+-	4541	16246	0.28
	2	Ss-3--	4679	16246	0.29
	2	Ss-4	3530	16246	0.22
	2	Ss-5	3942	16246	0.25
	2	Ss-6	4064	16246	0.26
	2	Ss-7	4350	16246	0.27
	3	Ss-8++	3362	16081	0.21
	3	Ss-8-+	3512	16081	0.22
②	2	Ss-3++	4253	16246	0.27
	2	Ss-3--	4555	16246	0.29
③	3	Ss-3++	4331	16081	0.27
	1	Ss-3--	4331	16283	0.27
④	2	Ss-3++	3941	16246	0.25
	2	Ss-3--	4318	16246	0.27
⑤	3	Ss-3++	3944	16081	0.25
	3	Ss-3--	4538	16081	0.29

注記*1 : 評価位置は下図に示す。

*2 : 終局鉛直支持力 R_{ua} = 極限支持力 R_u ÷ 安全率



6.4.2 基礎地盤の引抜きに対する支持性能評価

基礎地盤の引抜きに対する支持性能照査結果を表 6-39～表 6-41 に示す。

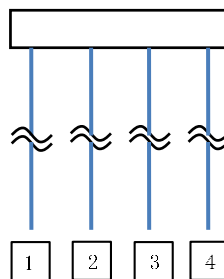
照査結果より、全時刻歴において発生した引抜き力が終局引抜き力を下回ることを確認した。

表 6-39 基礎地盤の引抜きに対する支持性能照査結果（A-A断面）

解析 ケース	評価位置*1	地震動	引抜き力 P_a (kN)	終局引抜き力*2 P_{ua} (kN)	照査値 P_a / P_{ua}
①	1	Ss-1++	3586	8879	0.41
	1	Ss-1-+	3100	8879	0.35
	1	Ss-1+-	3522	8879	0.40
	1	Ss-1--	2990	8879	0.34
	1	Ss-2	271	8879	0.031
	1	Ss-3++	3633	8879	0.41
	1	Ss-3-+	4386	8879	0.50
	1	Ss-3+-	4069	8879	0.46
	1	Ss-3--	4329	8879	0.49
	1	Ss-4	473	8879	0.054
	1	Ss-5	696	8879	0.079
	1	Ss-6	376	8879	0.043
	1	Ss-7	581	8879	0.066
	1	Ss-8++	1824	8879	0.21
	4	Ss-8-+	1111	9511	0.12
②	1	Ss-3++	2943	8879	0.34
③	1	Ss-3++	4330	8879	0.49
④	1	Ss-3++	2392	8879	0.27
⑤	4	Ss-3++	1602	9511	0.17

注記*1：評価位置は下図に示す。

*2：終局引抜き力 P_{ua} = 極限引抜き力 P_u ÷ 安全率



評価位置

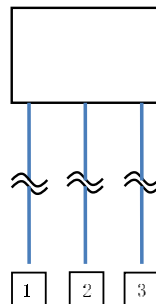
表 6-40 基礎地盤の引抜きに対する支持性能照査結果 (B-B断面)

解析 ケース	評価位置*1	地震動	引抜き力 P_a (kN)	終局引抜き力*2 P_{ua} (kN)	照査値 P_a / P_{ua}
①	1	Ss-1++	6430	8594	0.75
	3	Ss-1-+	6827	8980	0.77
	1	Ss-1+-	6620	8594	0.78
	3	Ss-1--	7183	8980	0.80
	3	Ss-2	1929	8980	0.22
	3	Ss-3++	7876	8980	0.88
	3	Ss-3-+	8786	8980	0.98
	1	Ss-3+-	7132	8594	0.83
	3	Ss-3--	8965	8980	1.00*3
	1	Ss-4	2350	8594	0.28
	1	Ss-5	4022	8594	0.47
	1	Ss-6	2821	8594	0.33
	1	Ss-7	4643	8594	0.55
	1	Ss-8++	4196	8594	0.49
	3	Ss-8-+	5151	8980	0.58
②	3	Ss-3++	7529	8980	0.84
③	3	Ss-3++	7765	8980	0.87
④	1	Ss-3++	5166	8594	0.61
⑤	1	Ss-3++	4175	8594	0.49

注記*1 : 評価位置は下図に示す。

*2 : 終局引抜き力 $P_{ua} = \text{極限引抜き力 } P_u \div \text{安全率}$

*3 : 基礎一体として評価した場合、杭頭に生じる鉛直力の総和は全時刻歴において圧縮側となるため、引抜きは生じない。



評価位置

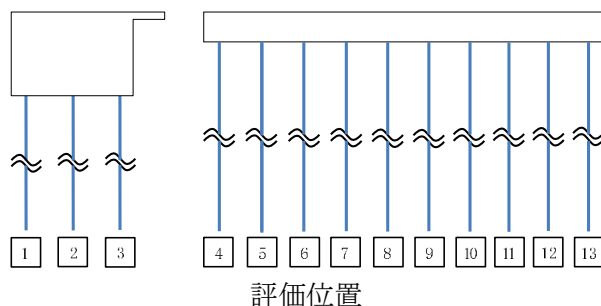
表 6-41 基礎地盤の引抜きに対する支持性能照査結果 (C-C断面)

解析 ケース	評価位置*1	地震動	引抜き力 P_a (kN)	終局引抜き力*2 P_{ua} (kN)	照査値 P_a / P_{ua}
①	2	Ss-1++	814	8343	0.098
	2	Ss-1-+	1358	8343	0.17
	2	Ss-1+-	429	8343	0.052
	1	Ss-1--	1499	8380	0.18
	1	Ss-2	465	8380	0.056
	2	Ss-3++	675	8343	0.081
	2	Ss-3-+	646	8343	0.078
	2	Ss-3+-	637	8343	0.077
	13	Ss-3--	473	8850	0.054
	1	Ss-4	563	8380	0.068
	1	Ss-5	1668	8380	0.20
	2	Ss-6	325	8343	0.039
	2	Ss-7	705	8343	0.085
	1	Ss-8++	988	8380	0.12
—*3	Ss-8-+	0	—*3	0.00	
②	2	Ss-3++	557	8343	0.067
	2	Ss-3--	269	8343	0.033
③	1	Ss-3++	2084	8380	0.25
	3	Ss-3--	1261	8179	0.16
④	2	Ss-3++	847	8343	0.11
	13	Ss-3--	340	8850	0.039
⑤	2	Ss-3++	671	8343	0.081
	—*3	Ss-3--	0	—*3	0.00

注記*1 : 評価位置は下図に示す。

*2 : 終局引抜き力 P_{ua} = 極限引抜き力 P_u ÷ 安全率

*3 : 各杭頭に生じる鉛直力が全時刻歴で圧縮側となるため、評価対象となる杭が存在しない。



7. まとめ

常設代替交流電源設備基礎は、基準地震動 S_s に対して、構造物の地震応答解析に基づく曲げ軸力に伴う圧縮縁コンクリートひずみ、曲率、せん断力及び面内せん断ひずみが各部材の要求性能に応じた許容限界以下であることを確認した。基礎地盤の支持性能評価については、地震応答解析に基づく杭頭に発生する鉛直力が終局鉛直支持力及び終局引抜き力を下回ることを確認した。

以上のことから、常設代替交流電源設備基礎は、基準地震動 S_s による地震力に対して、間接支持機能を維持できる。

常設代替交流電源設備基礎の耐震安全性評価に関する参考資料

目 次

(参考資料 1) 杭頭部の耐震評価	参考 1-1
(参考資料 2) 機器荷重の載荷方法の違いによる影響検討	参考 2-1
(参考資料 3) 3次元構造解析における照査時刻の選定について	参考 3-1

(参考資料 1) 杭頭部の耐震評価

1. 概要

常設代替交流電源設備基礎の杭頭部はフーチングに対し、「道路橋示方書・同解説（IV下部構造編）（日本道路協会，平成 14 年 3 月）」（以下「道路橋示方書」という。）に示される方法 A により結合されている。常設代替交流電源設備基礎の杭頭部の耐震評価として、「KK7 補足-027-2 軽油タンク基礎の耐震安全性評価 参考資料 1-2」に示す方法 A に対する照査項目に則り，フーチングコンクリートの垂直支圧応力度，押抜きせん断応力度，水平支圧応力度及び水平方向の押抜きせん断応力度に対する照査を実施する。

2. フーチングコンクリートの照査

2.1 垂直支圧応力度

垂直支圧応力度による照査は，道路橋示方書に基づき，フーチングコンクリートに生じる垂直支圧応力度が，許容支圧応力度以下であることを確認する。垂直支圧応力度は，下式により算定する。

$$\sigma_{cv} = \frac{P}{\pi D^2/4} \leq \sigma_{ba}$$

σ_{cv} : 垂直支圧応力度 (N/mm²)

P : 軸方向押込み力 (N)

D : 杭径 (mm)

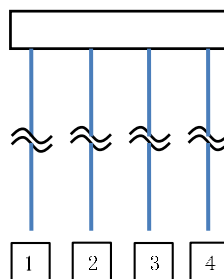
σ_{ba} : コンクリートの許容支圧応力度 (N/mm²)

照査結果を表 2-1～表 2-3 に示す。各解析ケースにおけるフーチングコンクリートの垂直支圧応力度が，許容支圧応力度以下であることを確認した。

表 2-1 垂直支圧応力度による照査結果 (A-A断面)

検討 ケース	地震動	照査位置	軸方向 押込み力 (kN)	垂直支圧応力度* (N/mm ²)	許容支圧応力度 (N/mm ²)	照査値
①	Ss-1++	4	3704	2.54	13.50	0.19
	Ss-1-+	4	4129	2.83		0.21
	Ss-1+-	4	3625	2.48		0.19
	Ss-1--	4	3839	2.63		0.20
	Ss-2	1	2143	1.47		0.11
	Ss-3++	1	3621	2.48		0.19
	Ss-3-+	1	4214	2.89		0.22
	Ss-3+-	1	3729	2.56		0.19
	Ss-3--	1	4150	2.84		0.22
	Ss-4	1	2068	1.42		0.11
	Ss-5	1	2050	1.41		0.11
	Ss-6	1	2367	1.62		0.12
	Ss-7	1	2450	1.68		0.13
	Ss-8++	4	2524	1.73		0.13
	Ss-8-+	1	3215	2.20		0.17
	②	Ss-3-+	1	4379		3.00
③	Ss-3-+	1	4504	3.09	0.23	
④	Ss-3-+	1	3384	2.32	0.18	
⑤	Ss-3-+	1	3363	2.31	0.18	

注記* : 垂直支圧応力度 = 発生垂直支圧応力度 × 構造解析係数 γ_a

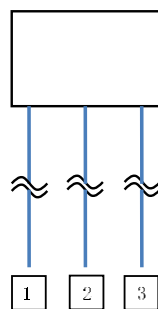


評価位置

表 2-2 垂直支圧応力度による照査結果 (B-B断面)

検討 ケース	地震動	照査位置	軸方向 押込み力 (kN)	垂直支圧応力度* (N/mm ²)	許容支圧応力度 (N/mm ²)	照査値
①	Ss-1++	3	10208	6.99	13.50	0.52
	Ss-1-+	1	9136	6.25		0.47
	Ss-1+-	3	9888	6.77		0.51
	Ss-1--	3	9880	6.76		0.51
	Ss-2	3	5808	3.98		0.30
	Ss-3++	3	10600	7.26		0.54
	Ss-3-+	3	9520	6.52		0.49
	Ss-3+-	3	10940	7.49		0.56
	Ss-3--	3	10544	7.22		0.54
	Ss-4	3	5740	3.93		0.30
	Ss-5	3	7016	4.80		0.36
	Ss-6	3	7396	5.06		0.38
	Ss-7	3	9012	6.17		0.46
	Ss-8++	3	8096	5.54		0.42
	Ss-8-+	1	6960	4.77		0.36
	②	Ss-3+-	3	10344		7.08
③	Ss-3+-	3	11204	7.67	0.57	
④	Ss-3+-	3	7980	5.46	0.41	
⑤	Ss-3+-	1	6976	4.78	0.36	

注記* : 垂直支圧応力度 = 発生垂直支圧応力度 × 構造解析係数 γ_a

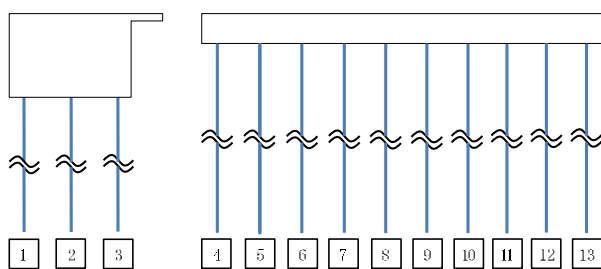


評価位置

表 2-3 垂直支圧応力度による照査結果 (C-C断面)

検討 ケース	地震動	照査位置	軸方向 押込み力 (kN)	垂直支圧応力度* (N/mm ²)	許容支圧応力度 (N/mm ²)	照査値
①	Ss-1++	2	4780	3.27	13.50	0.25
	Ss-1-+	2	4321	2.96		0.22
	Ss-1+-	2	5042	3.45		0.26
	Ss-1--	2	4288	2.94		0.22
	Ss-2	3	3778	2.59		0.20
	Ss-3++	2	4404	3.02		0.23
	Ss-3-+	2	4808	3.29		0.25
	Ss-3+-	2	4543	3.11		0.24
	Ss-3--	2	4720	3.23		0.24
	Ss-4	2	3532	2.42		0.18
	Ss-5	2	3944	2.70		0.20
	Ss-6	2	4066	2.79		0.21
	Ss-7	2	4352	2.98		0.23
	Ss-8++	3	3364	2.31		0.18
	Ss-8-+	3	3513	2.41		0.18
	②	Ss-1+-	2	4780		3.27
③	Ss-1+-	1	4586	3.14	0.24	
④	Ss-1+-	2	4673	3.20	0.24	
⑤	Ss-1+-	2	4270	2.93	0.22	

注記* : 垂直支圧応力度 = 発生垂直支圧応力度 × 構造解析係数 γ_a



評価位置

2.2 押抜きせん断応力度

押抜きせん断応力度による照査は、道路橋示方書に基づき、フーチングコンクリートに生じる押抜きせん断応力度が、許容押抜きせん断応力度以下であることを確認する。押抜きせん断応力度は、下式により算定する。

$$\tau_v = \frac{P}{\pi (D+h)h} \leq \tau_a$$

τ_v : 垂直方向の押抜きせん断応力度(N/mm²)

P : 軸方向押込み力(N)

D : 杭径(mm)

h : 垂直方向の押抜きせん断に抵抗するフーチングの有効高さ(mm)

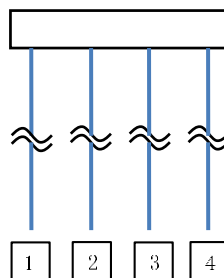
τ_a : コンクリートの許容押抜きせん断応力度(N/mm²)

照査結果を表 2-4～表 2-6 に示す。各解析ケースにおけるフーチングコンクリートの押抜きせん断応力度が、許容押抜きせん断応力度以下であることを確認した。

表 2-4 押抜きせん断応力度による照査結果 (A-A断面)

検討 ケース	地震動	照査位置	軸方向 押込み力 (kN)	押抜き せん断応力度* (N/mm ²)	許容押抜き せん断応力度 (N/mm ²)	照査値
①	Ss-1++	4	3704	0.24	1.00	0.24
	Ss-1-+	4	4129	0.27		0.27
	Ss-1+-	4	3625	0.24		0.24
	Ss-1--	4	3839	0.25		0.25
	Ss-2	1	2143	0.14		0.14
	Ss-3++	1	3621	0.23		0.23
	Ss-3-+	1	4214	0.27		0.27
	Ss-3+-	1	3729	0.24		0.24
	Ss-3--	1	4150	0.27		0.27
	Ss-4	1	2068	0.14		0.14
	Ss-5	1	2050	0.14		0.14
	Ss-6	1	2367	0.16		0.16
	Ss-7	1	2450	0.16		0.16
	Ss-8++	4	2524	0.17		0.17
	Ss-8-+	1	3215	0.21		0.21
②	Ss-3-+	1	4379	0.28	0.28	
③	Ss-3-+	1	4504	0.29	0.29	
④	Ss-3-+	1	3384	0.22	0.22	
⑤	Ss-3-+	1	3363	0.22	0.22	

注記* : 押抜きせん断応力度 = 発生押抜きせん断応力度 × 構造解析係数 γ_a

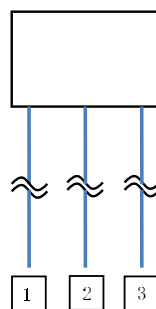


評価位置

表 2-5 押抜きせん断応力度による照査結果 (B-B断面)

検討 ケース	地震動	照査位置	軸方向 押込み力 (kN)	押抜き せん断応力度* (N/mm ²)	許容押抜き せん断応力度 (N/mm ²)	照査値
①	Ss-1++	3	10208	0.88	1.00	0.88
	Ss-1-+	1	9136	0.78		0.78
	Ss-1+-	3	9888	0.85		0.85
	Ss-1--	3	9880	0.85		0.85
	Ss-2	3	5808	0.50		0.50
	Ss-3++	3	10600	0.91		0.91
	Ss-3-+	3	9520	0.82		0.82
	Ss-3+-	3	10940	0.94		0.94
	Ss-3--	3	10544	0.90		0.90
	Ss-4	3	5740	0.49		0.49
	Ss-5	3	7016	0.60		0.60
	Ss-6	3	7396	0.64		0.64
	Ss-7	3	9012	0.77		0.77
	Ss-8++	3	8096	0.70		0.70
	Ss-8-+	1	6960	0.60		0.60
②	Ss-3+-	3	10344	0.89	0.89	
③	Ss-3+-	3	11204	0.96	0.96	
④	Ss-3+-	3	7980	0.69	0.69	
⑤	Ss-3+-	1	6976	0.60	0.60	

注記* : 押抜きせん断応力度 = 発生押抜きせん断応力度 × 構造解析係数 γ_a

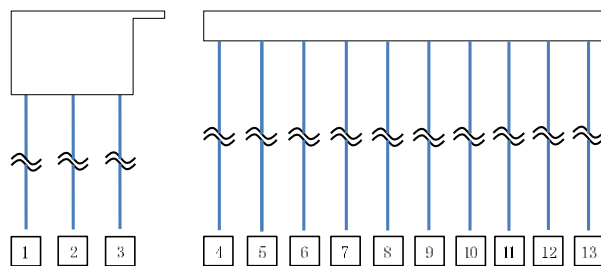


評価位置

表 2-6 押抜きせん断応力度による照査結果 (C-C断面)

検討 ケース	地震動	照査位置	軸方向 押込み力 (kN)	押抜き せん断応力度* (N/mm ²)	許容押抜き せん断応力度 (N/mm ²)	照査値
①	Ss-1++	2	4780	0.41	1.00	0.41
	Ss-1-+	2	4321	0.37		0.37
	Ss-1+-	2	5042	0.44		0.44
	Ss-1--	2	4288	0.37		0.37
	Ss-2	3	3778	0.33		0.33
	Ss-3++	2	4404	0.38		0.38
	Ss-3-+	2	4808	0.42		0.42
	Ss-3+-	2	4543	0.39		0.39
	Ss-3--	2	4720	0.41		0.41
	Ss-4	2	3532	0.31		0.31
	Ss-5	2	3944	0.34		0.34
	Ss-6	2	4066	0.35		0.35
	Ss-7	2	4352	0.38		0.38
	Ss-8++	3	3364	0.29		0.29
	Ss-8-+	3	3513	0.30		0.30
	②	Ss-1+-	2	4780		0.41
③	Ss-1+-	1	4586	0.40	0.40	
④	Ss-1+-	2	4673	0.40	0.40	
⑤	Ss-1+-	2	4270	0.37	0.37	

注記* : 押抜きせん断応力度 = 発生押抜きせん断応力度 × 構造解析係数 γ_a



評価位置

2.3 水平支圧応力度

水平支圧応力度による照査は、道路橋示方書に基づき、フーチングコンクリートに生じる水平支圧応力度が、許容支圧応力度以下であることを確認する。水平支圧応力度は、下式により算定する。

$$\sigma_{ch} = \frac{H}{Dl} + \frac{6M}{Dl^2} \leq \sigma_{ba}$$

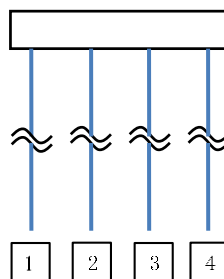
- σ_{ch} : 水平支圧応力度 (N/mm²)
H : 軸直角方向力 (N)
M : モーメント (N・mm)
D : 杭径 (mm)
l : 杭の埋込み長 (mm)
 σ_{ba} : コンクリートの許容支圧応力度 (N/mm²)

照査結果を表 2-7～表 2-9 に示す。各解析ケースにおけるフーチングコンクリートの水平支圧応力度が、許容支圧応力度以下であることを確認した。

表 2-7 水平支圧応力度による照査結果 (A-A断面)

検討 ケース	地震動	照査 位置	軸直角 方向力 (kN)	モーメント (kN・m)	水平支圧 応力度* (N/mm ²)	許容支圧 応力度 (N/mm ²)	照査値
①	Ss-1++	3	982	793	1.38	16.88	0.09
	Ss-1-+	2	1013	988	1.64		0.10
	Ss-1+-	2	1008	769	1.36		0.09
	Ss-1--	2	1030	991	1.65		0.10
	Ss-2	3	594	403	0.74		0.05
	Ss-3++	2	968	1130	1.80		0.11
	Ss-3-+	2	1153	961	1.66		0.10
	Ss-3+-	2	955	1087	1.74		0.11
	Ss-3--	2	1149	1015	1.73		0.11
	Ss-4	3	623	436	0.80		0.05
	Ss-5	3	661	450	0.83		0.05
	Ss-6	3	658	459	0.84		0.05
	Ss-7	3	703	482	0.88		0.06
	Ss-8++	3	869	613	1.11		0.07
	Ss-8-+	2	916	658	1.19		0.08
②	Ss-3++	3	1161	987	1.70	0.11	
③	Ss-3++	3	1009	2411	3.41	0.21	
④	Ss-3++	3	1024	938	1.58	0.10	
⑤	Ss-3++	3	980	591	1.13	0.07	

注記* : 水平支圧応力度 = 発生水平支圧応力度 × 構造解析係数 γ_a

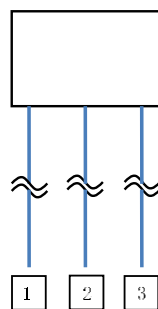


評価位置

表 2-8 水平支圧応力度による照査結果 (B-B断面)

検討 ケース	地震動	照査 位置	軸直角 方向力 (kN)	モーメント (kN・m)	水平支圧 応力度* (N/mm ²)	許容支圧 応力度 (N/mm ²)	照査値
①	Ss-1++	2	3578	1911	5.05	16.88	0.30
	Ss-1-+	2	3431	1828	4.83		0.29
	Ss-1+-	2	3580	1908	5.05		0.30
	Ss-1--	2	3429	1815	4.81		0.29
	Ss-2	2	1942	848	2.41		0.15
	Ss-3++	2	3793	2165	5.60		0.34
	Ss-3-+	2	3483	1938	5.05		0.30
	Ss-3+-	2	3766	2176	5.60		0.34
	Ss-3--	2	3595	2021	5.25		0.32
	Ss-4	2	2024	930	2.59		0.16
	Ss-5	2	2576	1174	3.28		0.20
	Ss-6	2	2522	1147	3.21		0.20
	Ss-7	2	3160	1526	4.18		0.25
	Ss-8++	2	3130	1507	4.13		0.25
	Ss-8-+	2	2965	1493	4.02		0.24
②	Ss-3+-	2	3778	1208	3.90	0.24	
③	Ss-3+-	2	3566	5460	11.29	0.67	
④	Ss-3+-	2	3041	1788	4.58	0.28	
⑤	Ss-3+-	2	2800	850	2.81	0.17	

注記* : 水平支圧応力度 = 発生水平支圧応力度 × 構造解析係数 γ_a

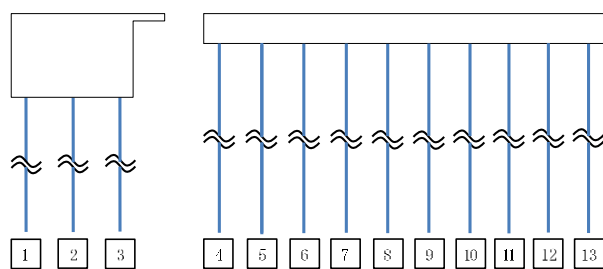


評価位置

表 2-9 水平支圧応力度による照査結果 (C-C断面)

検討 ケース	地震動	照査 位置	軸直角 方向力 (kN)	モーメント (kN・m)	水平支圧 応力度* (N/mm ²)	許容支圧 応力度 (N/mm ²)	照査値
①	Ss-1++	3	2909	1032	3.19	16.88	0.19
	Ss-1-+	3	2672	904	2.85		0.17
	Ss-1+-	3	2838	1014	3.12		0.19
	Ss-1--	3	2831	919	2.95		0.18
	Ss-2	3	2471	799	2.57		0.16
	Ss-3++	3	3221	1160	3.56		0.22
	Ss-3-+	3	2901	1142	3.38		0.21
	Ss-3+-	3	3100	1180	3.54		0.21
	Ss-3--	3	2900	1164	3.42		0.21
	Ss-4	3	2235	677	2.25		0.14
	Ss-5	3	2957	836	2.87		0.18
	Ss-6	3	2522	739	2.49		0.15
	Ss-7	3	2856	793	2.74		0.17
	Ss-8++	3	3120	651	2.62		0.16
	Ss-8-+	2	1002	999	2.23		0.14
②	Ss-3++	3	3674	671	2.91	0.18	
③	Ss-3++	2	1172	3978	7.56	0.45	
④	Ss-3++	3	3263	971	3.25	0.20	
⑤	Ss-3++	3	3665	562	2.71	0.17	

注記* : 水平支圧応力度 = 発生水平支圧応力度 × 構造解析係数 γ_a



評価位置

2.4 水平押抜きせん断応力度

水平押抜きせん断応力度による照査は、道路橋示方書に基づき、フーチングコンクリートに生じる水平押抜きせん断応力度が、許容押抜きせん断応力度以下であることを確認する。水平押抜きせん断応力度は、下式により算定する。

$$\tau_h = \frac{H}{h'(2l+D+2h')} \leq \tau_a$$

τ_h : 水平方向の押抜きせん断応力度(N/mm²)

H : 軸直角方向力(N)

D : 杭径(mm)

h' : 水平方向の押抜きせん断力に抵抗するフーチングの有効高さ(mm)

l : 杭の埋込み長(mm)

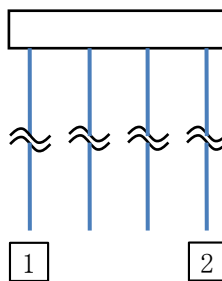
τ_a : コンクリートの許容押抜きせん断応力度(N/mm²)

照査結果を表 2-10～表 2-12 に示す。各解析ケースにおけるフーチングコンクリートの水平押抜きせん断応力度が、許容押抜きせん断応力度以下であることを確認した。

表 2-10 水平押抜きせん断応力度による照査結果 (A-A断面)

検討 ケース	地震動	照査位置	軸直角 方向力 (kN)	水平押し抜き せん断応力度* (N/mm ²)	許容押し抜き せん断応力度 (N/mm ²)	照査値
①	Ss-1++	2	894	0.13	1.00	0.13
	Ss-1-+	2	805	0.12		0.12
	Ss-1+-	2	816	0.12		0.12
	Ss-1--	2	858	0.12		0.12
	Ss-2	1	556	0.08		0.08
	Ss-3++	2	890	0.13		0.13
	Ss-3-+	2	891	0.13		0.13
	Ss-3+-	2	854	0.12		0.12
	Ss-3--	2	880	0.13		0.13
	Ss-4	2	565	0.08		0.08
	Ss-5	2	598	0.09		0.09
	Ss-6	2	625	0.09		0.09
	Ss-7	1	633	0.09		0.09
	Ss-8++	2	791	0.11		0.11
	Ss-8-+	1	664	0.10		0.10
②	Ss-1++	2	902	0.13	0.13	
③	Ss-1++	1	870	0.12	0.12	
④	Ss-1++	2	903	0.13	0.13	
⑤	Ss-1++	2	949	0.13	0.13	

注記* : 水平押し抜きせん断応力度 = 発生水平押し抜きせん断応力度 × 構造解析係数 γ_a

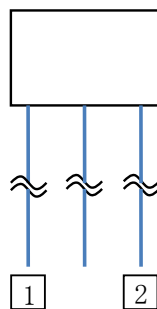


評価位置

表 2-11 水平押抜きせん断応力度による照査結果 (B-B断面)

検討 ケース	地震動	照査位置	軸直角 方向力 (kN)	水平押し抜き せん断応力度* (N/mm ²)	許容押し抜き せん断応力度 (N/mm ²)	照査値
①	Ss-1++	2	3156	0.48	1.00	0.48
	Ss-1-+	1	3101	0.47		0.47
	Ss-1+-	2	3156	0.48		0.48
	Ss-1--	1	3094	0.47		0.47
	Ss-2	2	1549	0.24		0.24
	Ss-3++	2	3308	0.50		0.50
	Ss-3-+	1	3086	0.47		0.47
	Ss-3+-	2	3300	0.50		0.50
	Ss-3--	1	3202	0.48		0.48
	Ss-4	1	1739	0.26		0.26
	Ss-5	2	2246	0.34		0.34
	Ss-6	2	2095	0.32		0.32
	Ss-7	2	2810	0.42		0.42
	Ss-8++	2	2795	0.42		0.42
	Ss-8-+	1	2628	0.40		0.40
②	Ss-3++	2	3392	0.51	0.51	
③	Ss-3++	2	2867	0.43	0.43	
④	Ss-3++	2	2737	0.41	0.41	
⑤	Ss-3++	2	2549	0.39	0.39	

注記* : 水平押し抜きせん断応力度 = 発生水平押し抜きせん断応力度 × 構造解析係数 γ_a

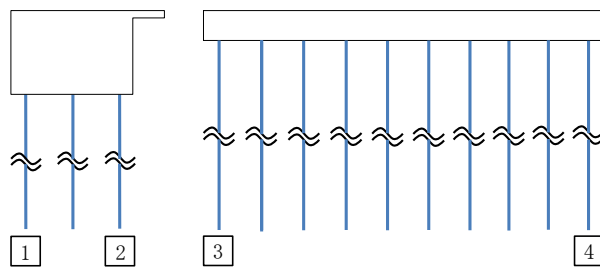


評価位置

表 2-12 水平押し抜きせん断応力度による照査結果 (C-C断面)

検討 ケース	地震動	照査位置	軸直角 方向力 (kN)	水平押し抜き せん断応力度* (N/mm ²)	許容押し抜き せん断応力度 (N/mm ²)	照査値
①	Ss-1++	2	2909	0.44	1.00	0.44
	Ss-1-+	2	2672	0.40		0.40
	Ss-1+-	2	2838	0.43		0.43
	Ss-1--	2	2831	0.43		0.43
	Ss-2	2	2471	0.37		0.37
	Ss-3++	2	3221	0.49		0.49
	Ss-3-+	2	2901	0.44		0.44
	Ss-3+-	2	3100	0.47		0.47
	Ss-3--	2	2900	0.44		0.44
	Ss-4	2	2235	0.34		0.34
	Ss-5	2	2957	0.45		0.45
	Ss-6	2	2522	0.38		0.38
	Ss-7	2	2856	0.43		0.43
	Ss-8++	2	3120	0.47		0.47
	Ss-8-+	2	1693	0.26		0.26
②	Ss-3++	2	3674	0.55	0.55	
③	Ss-3++	2	2186	0.33	0.33	
④	Ss-3++	2	3263	0.49	0.49	
⑤	Ss-3++	2	3665	0.55	0.55	

注記* : 水平押し抜きせん断応力度 = 発生水平押し抜きせん断応力度 × 構造解析係数 γ_a



評価位置

(参考資料 2) 機器荷重の載荷方法の違いによる影響検討

1. 概要

図 1-1 に第一ガスタービン発電機基礎における車両配置図を示す。第一ガスタービン発電機基礎には、発電機車及び制御車が 2 台ずつ、及び各車両を固定するための転倒防止装置据付用部材が設置される。ここで、図 1-2 に第一ガスタービン発電機基礎の地震応答解析モデルにおける発電機車、制御車及び転倒防止装置据付用部材の荷重（以下「車両荷重」という。）の載荷図を示す。地震応答解析において車両荷重は、車両の位置によらず平均的な荷重を考慮するため、等分布荷重として第一ガスタービン発電機基礎に載荷している。

一方、実際の車両には、車両荷重は車輪を介した集中荷重として第一ガスタービン発電機基礎に伝達される。そこで本検討では、車両荷重を集中荷重として作用させた場合における耐震評価に対する影響を確認する。

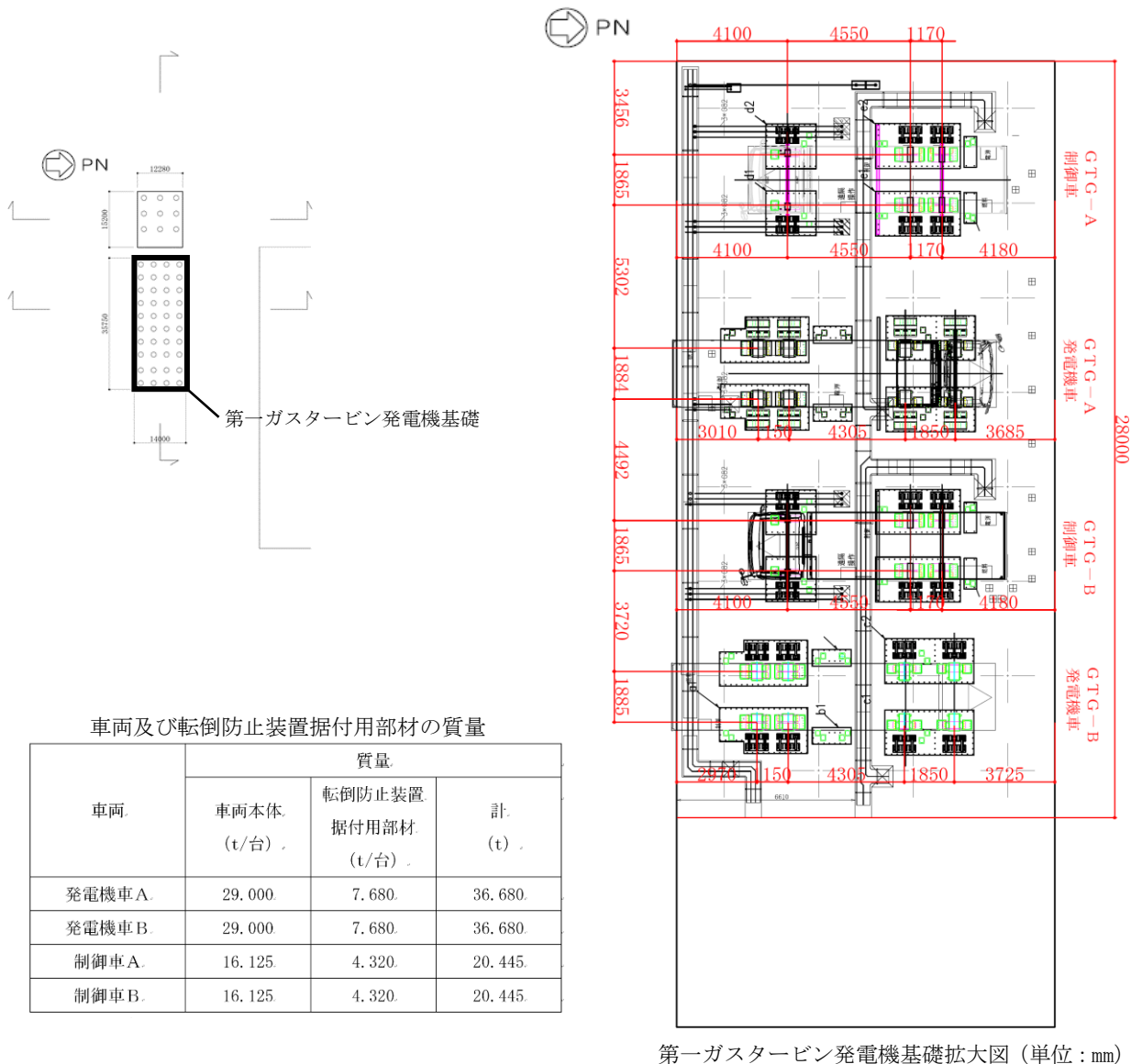


図 1-1 第一ガスタービン発電機基礎の車両配置図

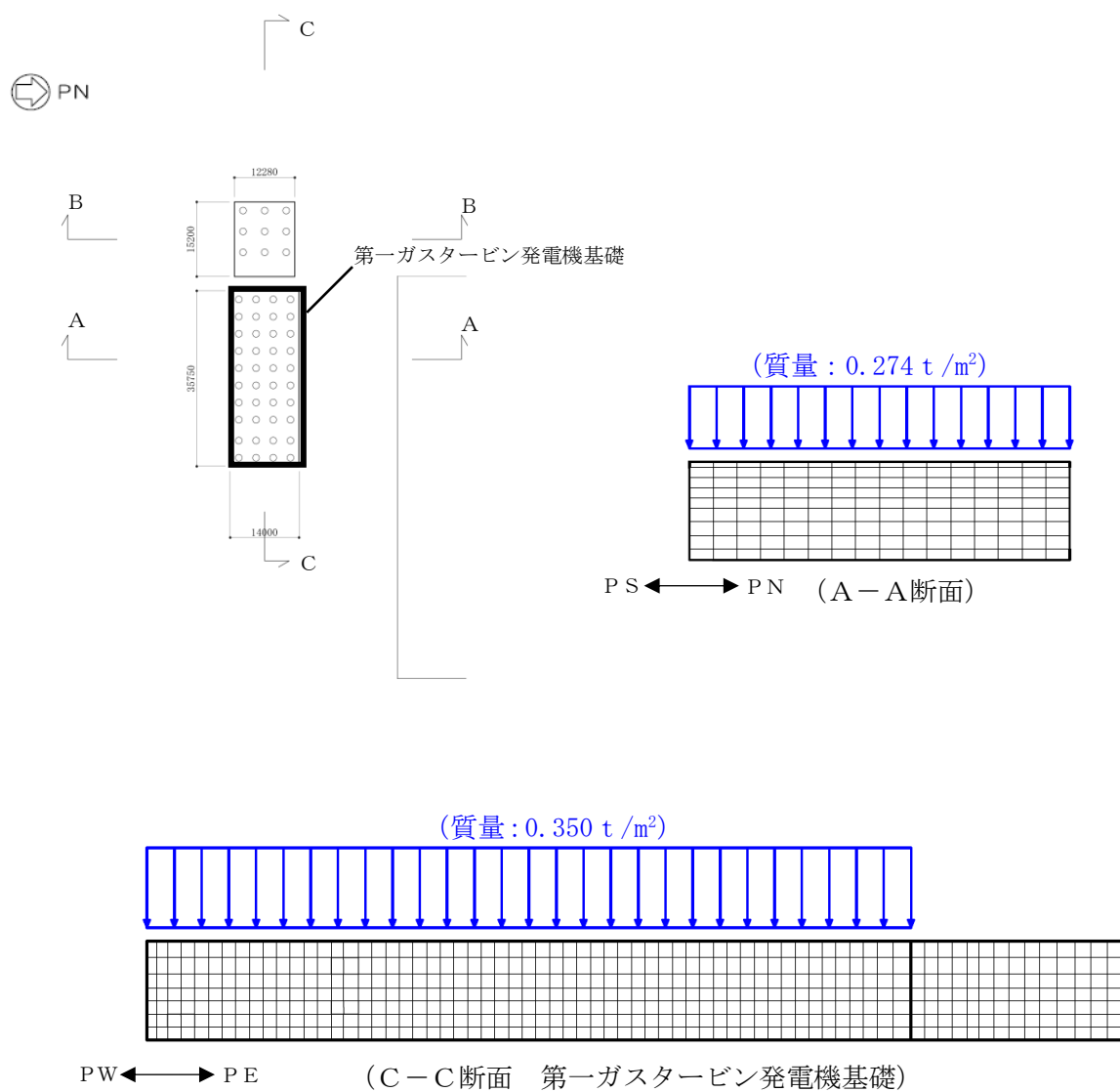


図 1-2 基本ケースにおける車両荷重の載荷方法*

注記* : 水平方向にも同位置に載荷する。荷重値は安全率 1.2 を考慮した値

2. 検討方針

車両荷重を等分布荷重として考慮した解析ケース（以下、「基本ケース」という。）に対し、車両荷重を図 1-1 に基づく各車輪位置に集中荷重として考慮した解析（以下、「追加検討ケース」という。）を実施し、耐震評価結果を比較することで、車両荷重の載荷方法が常設代替交流電源設備基礎の耐震評価に与える影響を確認する。

影響検討を実施する解析ケースは、常設代替交流電源設備基礎が杭の照査値が卓越することを踏まえ、杭の照査値が最大となる「C-C断面、解析ケース③、地震動 Ss-3-1」とする。

3. 追加検討ケースにおける車両荷重の設定

図 1-1 に基づき、各車両の車輪位置に作用する質量を算定し、図 3-1 に示すとおり、第一ガスタービン発電機基礎に集中荷重として載荷する。

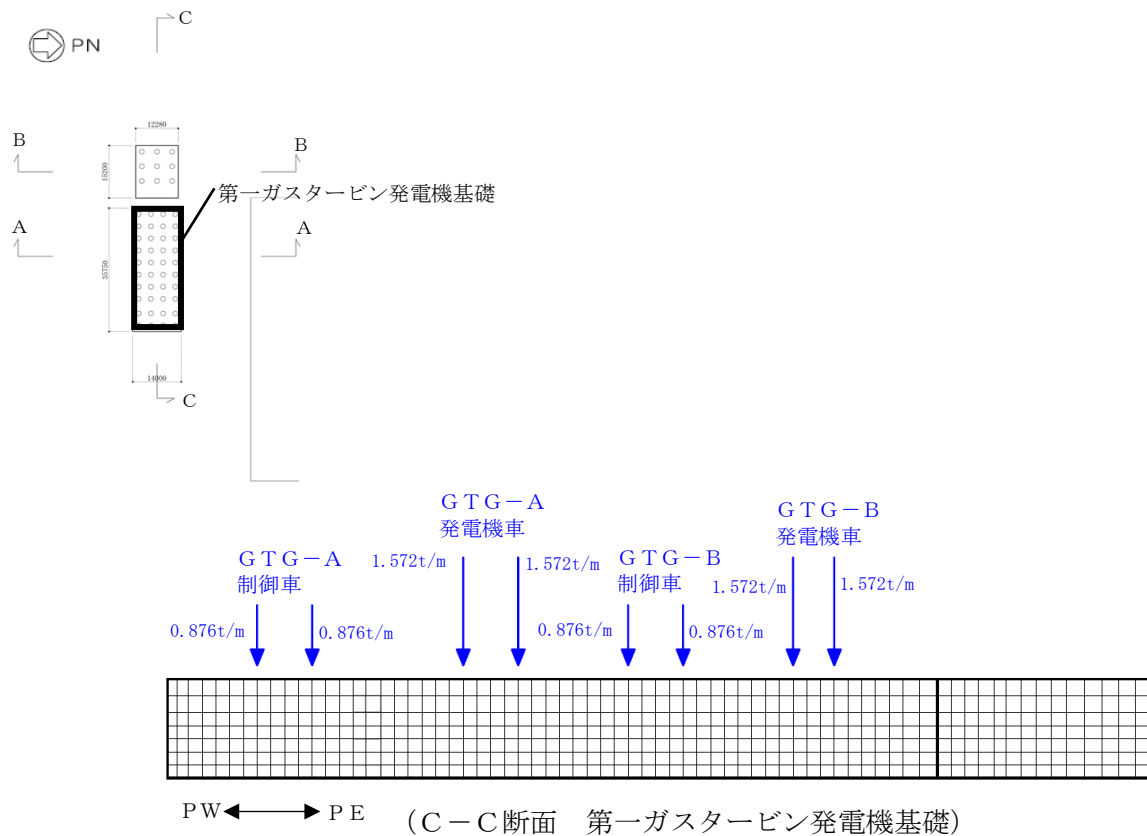


図 3-1 追加検討ケースにおける車両荷重の載荷方法*

注記* : 水平方向にも同位置に載荷する。荷重値は安全率 1.2 を考慮した値

4. 評価結果

鋼管杭の曲げ軸力照査結果の比較を表 4-1 に、せん断力照査結果の比較を表 4-2 に示す。いずれの照査値についても基本ケースと追加検討ケースの照査値に差は見られなかった。

表 4-1 鋼管杭の曲げ軸力照査結果

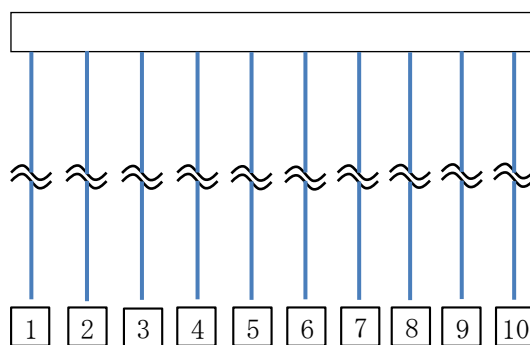
検討ケース	評価位置	照査用曲率* ϕ_d (1/m)	終局曲率 ϕ_u (1/m)	照査値 ϕ_d / ϕ_u
①基本ケース	4	8.27×10^{-3}	9.83×10^{-3}	0.85
②追加検討ケース	4	8.27×10^{-3}	9.83×10^{-3}	0.85

注記* : 照査用曲率 $\phi_d =$ 発生曲率 \times 構造解析係数 γ_a

表 4-2 鋼管杭のせん断力照査結果

検討ケース	評価位置	照査用せん断力* Q_d (kN)	終局せん断強度 Q_u (kN)	照査値 Q_d / Q_u
①基本ケース	1	5364	8563	0.63
②追加検討ケース	1	5364	8563	0.63

注記* : 照査用せん断力 $Q_d =$ 発生せん断力 \times 構造解析係数 γ_a



評価位置

5. まとめ

本検討では、第一ガスタービン発電機基礎における車両荷重について、等分布荷重として載荷している基本ケースに対し、各車両の車輪位置に集中荷重として載荷した場合の追加検討ケースを実施し、載荷方法の違いが耐震評価に与える影響を確認した。その結果、基本ケースと追加検討ケースで照査値に差がないことから、車両荷重を等分布荷重として載荷することは妥当である。

(参考資料 3) 3次元構造解析における照査時刻の選定について

1. 概要

第一ガスタービン発電機基礎及び第一ガスタービン発電機用燃料タンク基礎の鉄筋コンクリート部材の耐震評価では、部材評価に支配的な荷重が発生する時刻として、表 1-1 に示す事象を各加振方向の照査時刻として選定している。

第一ガスタービン発電機基礎は、第一ガスタービン発電機を間接支持する版状の構造物である。第一ガスタービン発電機は地上部に設置されており、地震応答解析においてその質量は構造物の解析モデルに付加質量として与えることで考慮している。地震時に第一ガスタービン発電機基礎に作用する主な外力は、第一ガスタービン発電機の荷重であり、版状の構造物であることから面外方向の変形による損傷が想定されるため、第一ガスタービン発電機基礎の耐震評価における支配的な荷重は、躯体の慣性力としている。

第一ガスタービン発電機用燃料タンク基礎は、第一ガスタービン発電機用燃料タンクを間接支持する箱型の構造物である。第一ガスタービン発電機用燃料タンクは構造物中に内包されており、地震応答解析においてその質量は構造物の解析モデルに付加質量として与えることで考慮している。第一ガスタービン発電機用燃料タンク基礎の耐震評価における支配的な荷重は、第一ガスタービン発電機用燃料タンク基礎が地中に設置された箱型の構造物という特徴を踏まえ、側壁に作用する土水圧及び妻壁の面内せん断応力としている。

本項では、表 1-1 に示す事象が発生する時刻を照査時刻とすることに対して、表 1-1 の照査時刻以外で構造物に対して大きな外力が生じると想定される事象を抽出し、各事象の発生時刻における照査値を比較し、選定した照査時刻の妥当性を確認する。

表 1-1 第一ガスタービン発電機基礎及び第一ガスタービン発電機用燃料タンク基礎の照査時刻

施設	加振方向	事象
第一ガスタービン発電機基礎 (鉄筋コンクリート部材)	N S	躯体の慣性力最大時 (鉛直下向き方向)
	E W	躯体の慣性力最大時 (鉛直下向き方向)
第一ガスタービン発電機用 燃料タンク基礎 (鉄筋コンクリート部材)	N S	妻壁の面内せん断応力最大時
		側壁に作用する土水圧最大時
	E W	妻壁の面内せん断応力最大時
		側壁に作用する土水圧最大時

2. 耐震評価による検証

2.1 抽出事象

構造物に対して大きな外力が生じると想定される事象として、抽出した事象一覧を表 2-1 に示す。

構造物に影響を与える事象として、第一ガスタービン発電機基礎では慣性力や土水圧、第一ガスタービン発電機用燃料タンク基礎では慣性力や土水圧に起因する妻壁の面内せん断応力や、側壁に作用する土水圧及び躯体の慣性力が考えられる。

表 2-1 抽出事象一覧

(a) 第一ガスタービン発電機基礎

	抽出事象	卓越すると想定される荷重
採用事象	躯体の慣性力最大時（鉛直下向き方向）	・ 躯体， 機器類の慣性力
検証用 抽出事象	躯体の慣性力最大時（水平方向）	・ 躯体， 機器類の慣性力
	側方に作用する土水圧最大時	・ 土水圧

(b) 第一ガスタービン発電機用燃料タンク基礎

	抽出事象	卓越すると想定される荷重
採用事象	妻壁の面内せん断応力最大時	・ 土水圧 ・ 慣性力
	側壁に作用する土水圧最大時	・ 土水圧
検証用 抽出事象	躯体の慣性力最大時（水平方向）	・ 躯体の慣性力

2.2 検証方法

前述 2.1 に示した事象が最大となる時刻に着目し、第一ガスタービン発電機基礎及び第一ガスタービン発電機用燃料タンク基礎の照査値が最大となる事象を確認する。検証フローを図 2-1 に示す。

検証ケースは、それぞれの構造物で照査値が最大となった解析ケース、入力地震動とする。検証部材は、第一ガスタービン発電機基礎については基礎版を、第一ガスタービン発電機用燃料タンク基礎については地中に設置された箱型の構造物という特徴を踏まえ、側壁を対象とする。検証ケースを表 2-2 に示す。

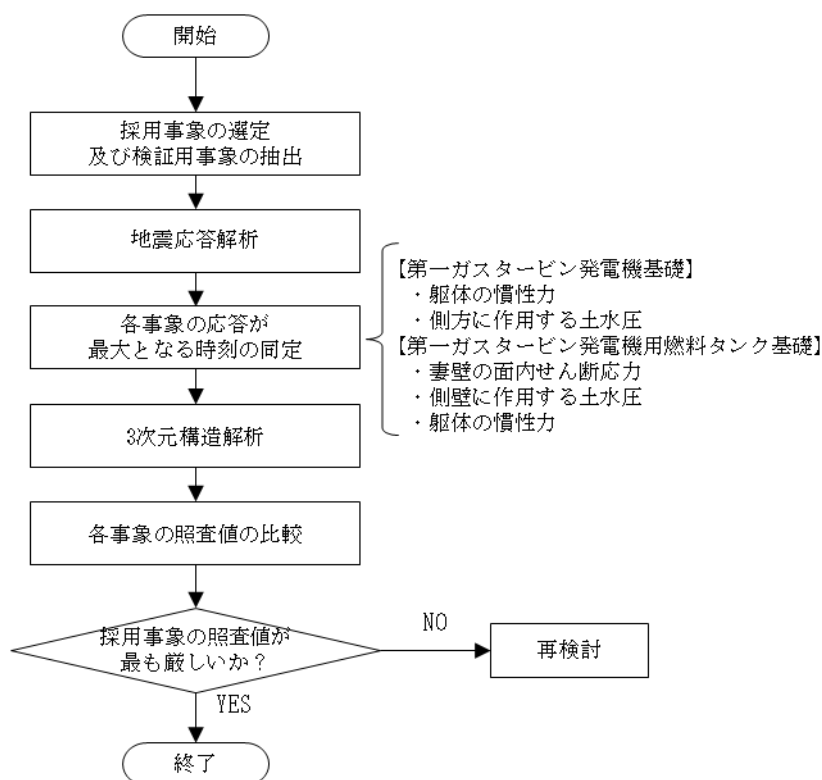


図 2-1 照査時刻の検証フロー

表 2-2 検証ケース

対象	解析ケース	入力地震動	部材
第一ガスタービン発電機基礎 (鉄筋コンクリート部材)	解析ケース①	Ss-1--	基礎版
第一ガスタービン発電機用 燃料タンク基礎 (鉄筋コンクリート部材)	解析ケース①	Ss-1--	側壁

2.3 検証結果

各抽出事象に対する照査結果一覧を表 2-3 に示す。

曲げ軸力に対する照査値は、いずれの事象においてもせん断力に対する照査値と比較し小さいことから、ここではせん断力に対する照査結果に着目する。

第一ガスタービン発電機基礎は躯体の慣性力が下向きに最大となる時刻、第一ガスタービン発電機用燃料タンク基礎は側壁に作用する土水圧が最大となる時刻で照査値が最大となることを確認した。

表 2-3 各抽出事象に対する照査結果一覧

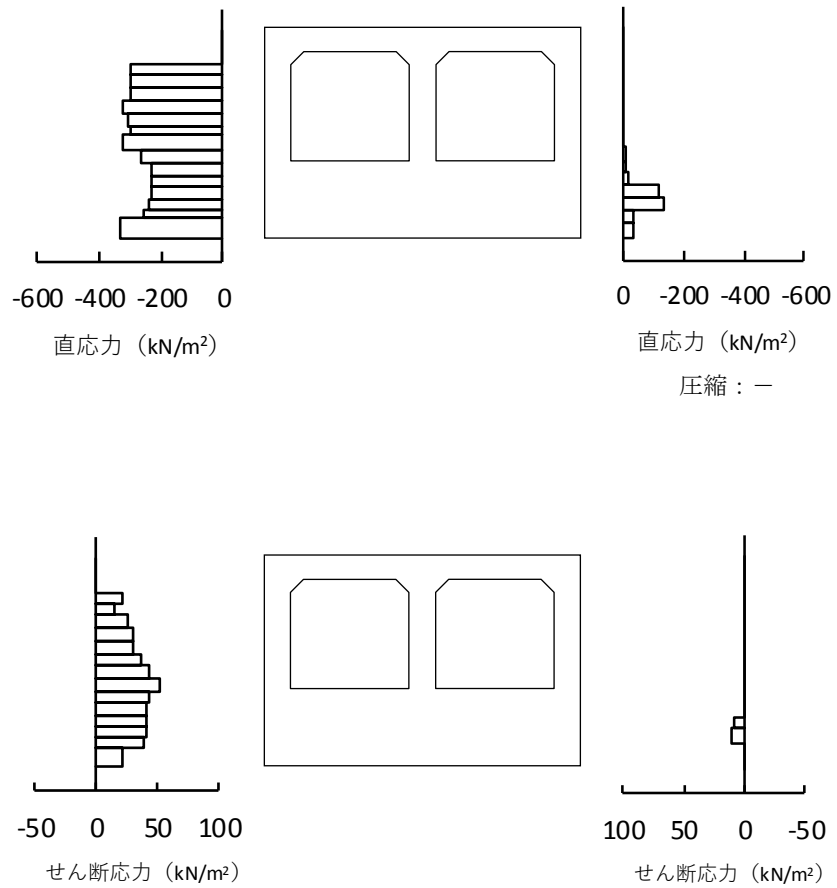
(a) 第一ガスタービン発電機基礎

	抽出事象	解析断面	事象	照査時刻 (s)	曲げ軸力照査値	せん断力照査値
採用事象	躯体の慣性力 (鉛直下向き方向)	A-A断面 (NS方向)	躯体の慣性力最大時 (下向き)	17.12	0.0008	0.069
		C-C断面 (EW方向)	躯体の慣性力最大時 (下向き)	5.93	0.0010	0.084
検証用抽出事象	躯体の慣性力 (水平方向)	A-A断面 (NS方向)	躯体の慣性力最大時 (NS方向)	5.25	0.0015	0.078
		C-C断面 (EW方向)	躯体の慣性力最大時 (EW方向)	5.27	0.0014	0.077
	側方に作用する土水圧	A-A断面 (NS方向)	側方に作用する土水圧最大時 (NS方向)	5.99	0.0007	0.056
		C-C断面 (EW方向)	側方に作用する土水圧最大時 (EW方向)	6.53	0.0012	0.048

(b) 第一ガスタービン発電機用燃料タンク基礎

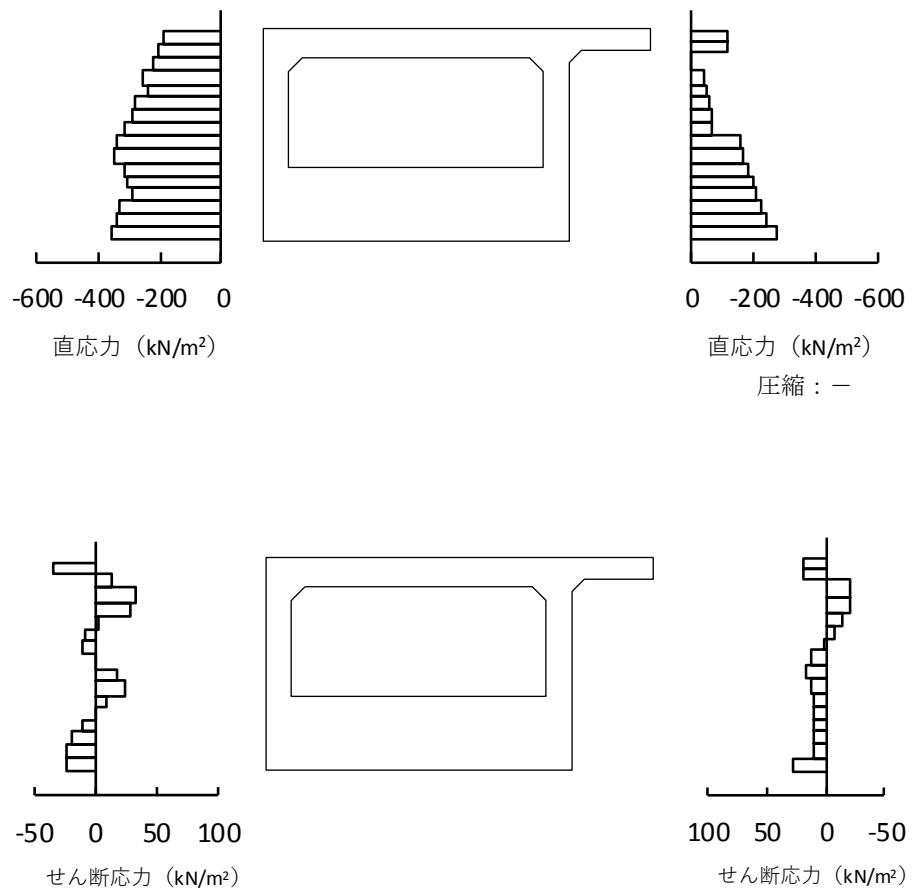
	抽出事象	解析断面	事象	照査時刻 (s)	曲げ軸力照査値	せん断力照査値
採用事象	妻壁の面内せん断応力	B-B断面 (NS方向)	妻壁の面内せん断応力最大時	10.59	0.0080	0.18
		C-C断面 (EW方向)	妻壁の面内せん断応力最大時	6.01	0.016	0.38
	側壁に作用する土水圧	B-B断面 (NS方向)	側壁に作用する土水圧最大時 (NS方向)	5.96	0.018	0.43
		C-C断面 (EW方向)	側壁に作用する土水圧最大時 (EW方向)	5.96	0.018	0.43
検証用抽出事象	躯体の慣性力 (水平方向)	B-B断面 (NS方向)	躯体の慣性力最大時 (NS方向)	9.31	0.015	0.34
		C-C断面 (EW方向)	躯体の慣性力最大時 (EW方向)	4.86	0.0049	0.12

なお、第一ガスタービン発電機用燃料タンク基礎について、照査値が最大となる時刻における作用荷重の分布を、図 2-2～図 2-3 に示す。



・側壁に作用する土水圧最大時

図 2-2 NS 断面の作用荷重の分布
(照査時刻=5.96s)



・側壁に作用する土水圧最大時

図 2-3 EW 断面の作用荷重の分布
(照査時刻=5.96s)

3. まとめ

第一ガスタービン発電機基礎及び第一ガスタービン発電機用燃料タンク基礎の鉄筋コンクリート部材の評価で選定した照査時刻の妥当性確認として、構造物に対して大きな外力が生じると想定される事象を抽出し、各事象の発生時刻における曲げ軸力照査及びせん断力に対する照査値の比較を行った。曲げ軸力に対する照査値はいずれの事象においてもせん断力に対する照査値と比較し小さいことから、せん断力に対する照査値に着目した結果、照査値が最大となる時刻は、第一ガスタービン発電機基礎では躯体の慣性力が下向きに最大時、第一ガスタービン発電機用燃料タンク基礎では側壁に作用する土水圧が最大時となり、照査時刻の採用事象に包絡されていることを確認した。

以上の結果より、第一ガスタービン発電機基礎及び第一ガスタービン発電機用燃料タンク基礎の耐震評価において選定した照査時刻は妥当である。